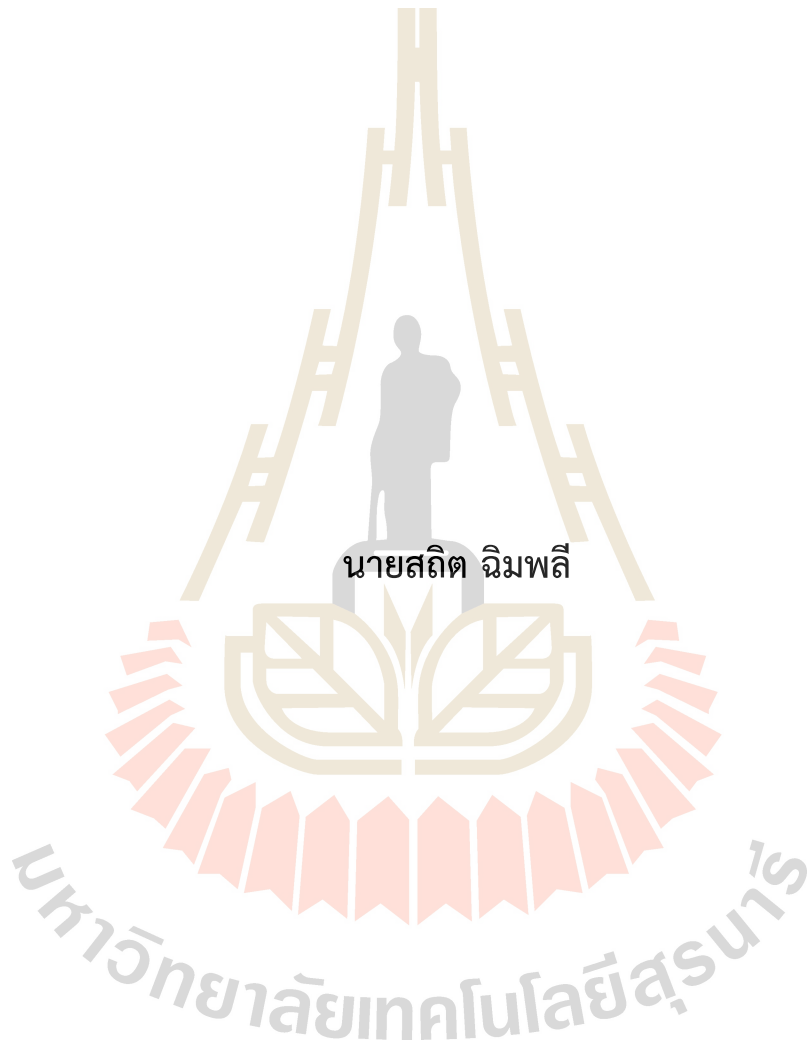
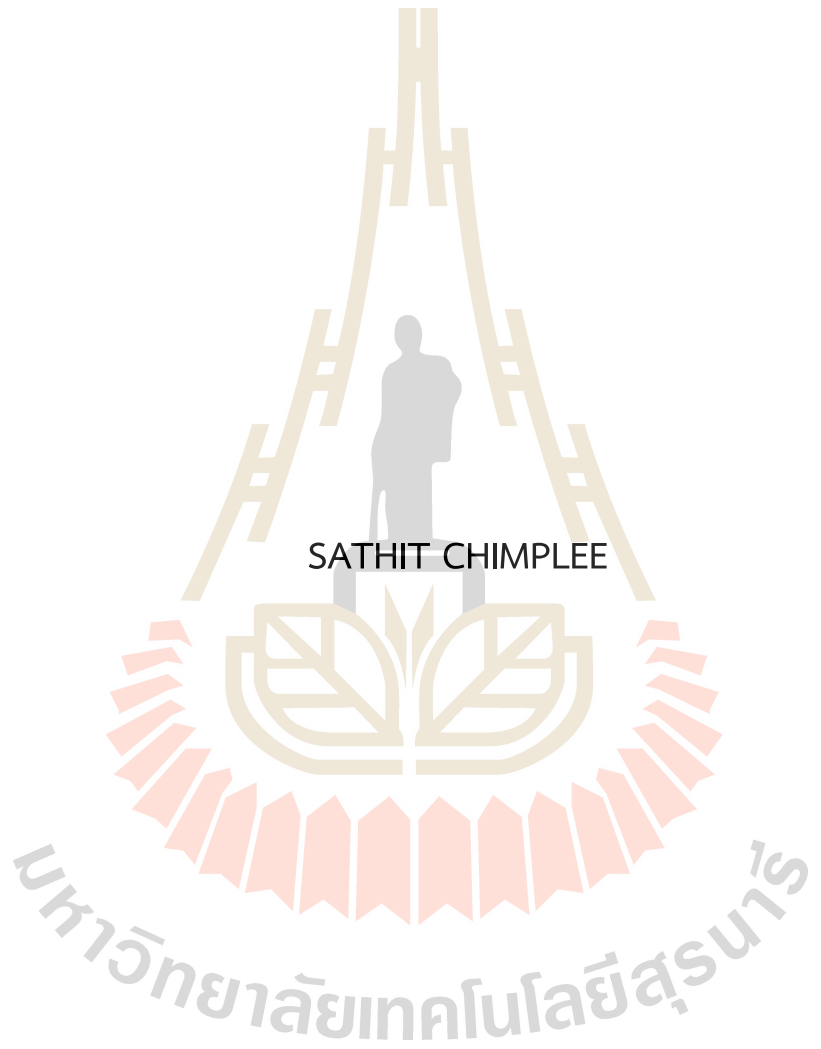


วงจรแปลงผันกำลังไฟฟ้าแบบบูสต์เรียงต่อกันสามขั้นที่มีความคงทนต่อ  
ความผิดพร่อง โดยอาศัยการควบคุมพัชซี



วิทยานิพนธ์นี้เป็นส่วนหนึ่งของการศึกษาตามหลักสูตรปริญญาวิศวกรรมศาสตรมหาบัณฑิต  
สาขาวิชาวิศวกรรมไฟฟ้า  
มหาวิทยาลัยเทคโนโลยีสุรนารี  
ปีการศึกษา 2567

FAULT-TOLERANT THREE-STAGE CASCADED BOOST CONVERTER  
BASED ON FUZZY CONTROL



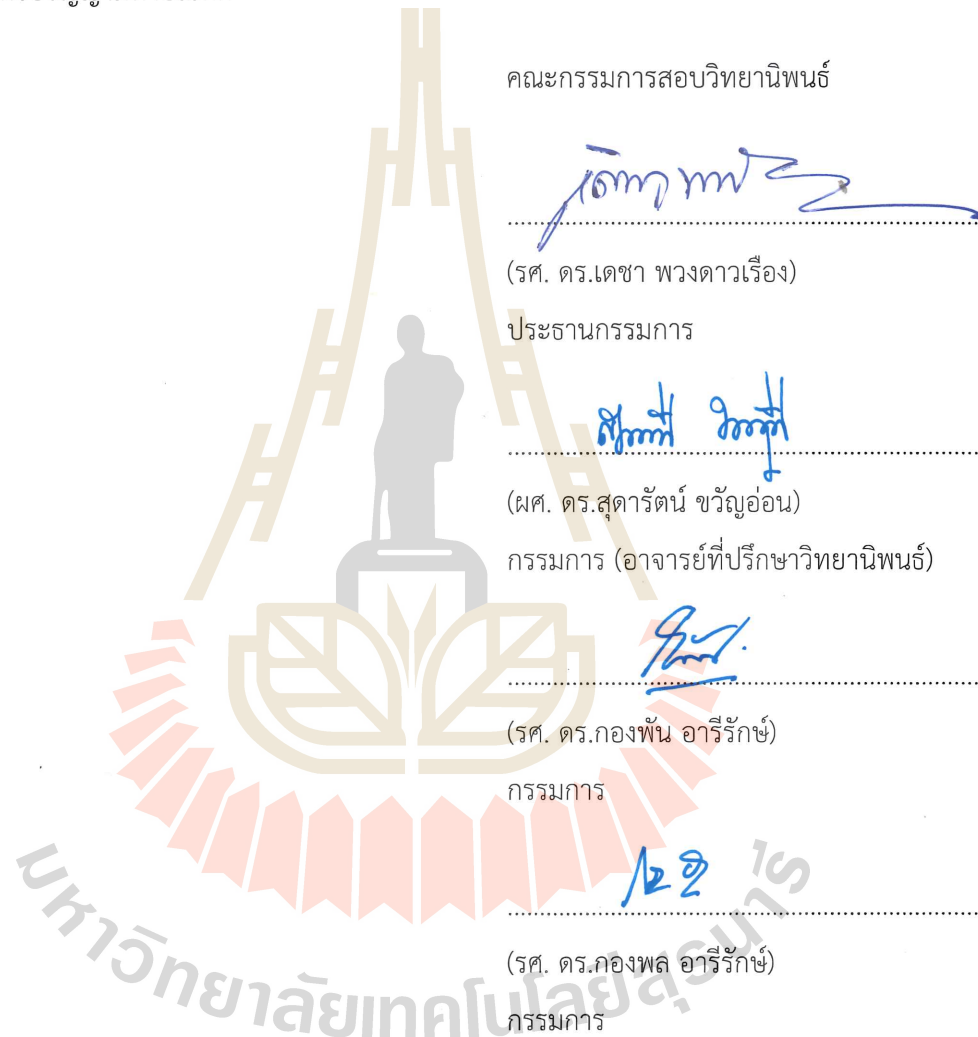
A Thesis Submitted in Partial Fulfillment of the Requirements for  
the Degree of Master of Engineering in Electrical Engineering

Suranaree University of Technology

Academic Year 2024

งจระเพลงผนึกกำลังไฟฟ้าแบบบูสต์เรียงต่อกันสามขั้นที่มีความคงทนต่อความผิดพร่อง  
โดยอาศัยการควบคุมฟื้นซี

มหาวิทยาลัยเทคโนโลยีสุรนารี อนุมัติให้นับวิทยานิพนธ์เป็นส่วนหนึ่งของการศึกษาตาม  
หลักสูตรปริญญามหาบัณฑิต



(รศ. ดร.ยุพาพร รักสกุลพิริเวฒ์)  
รองอธิการบดีฝ่ายวิชาการและประกันคุณภาพ

(รศ. ดร.พรศิริ จงกล)  
คณบดีสำนักวิชาวิศวกรรมศาสตร์

นายสติต ฉิมพลี : วงจรแปลงผันกำลังไฟฟ้าแบบบูสต์เรียงต่อกันสามขั้นที่มีความคงทนต่อความผิดพร่อง โดยอาศัยการควบคุมพื้นที่ (FAULT-TOLERANT THREE-STAGE CASCADED BOOST CONVERTER BASED ON FUZZY CONTROL)

อาจารย์ที่ปรึกษา : ผู้ช่วยศาสตราจารย์ ดร.สุดารัตน์ ขวัญอ่อน, 315 หน้า.

คำสำคัญ : วงจรแปลงผันกำลังไฟฟ้าแบบบูสต์เรียงต่อกันสามขั้น/ตัวควบคุมพื้นที่/ความซั่นของกระแส/ความผิดพร่องแบบสวิตช์เปิดวงจร/ความคงทนต่อความผิดพร่อง

งานวิจัยนี้มุ่งเน้นพัฒนาวิธีการควบคุม และการสร้างความคงทนต่อความผิดพร่องให้กับวงจรแปลงผันกำลังไฟฟ้าแบบบูสต์เรียงต่อกันสามขั้นที่มีอัตราย้ายแרגดันสูงประมาณ  $20^\circ$  เท่า เมื่อรัดดับแรงดันอินพุตมีค่าค่อนข้างต่ำประมาณ 20V จะได้แรงดันเอาร์พุตสูงถึงประมาณ 400V โดยที่ค่าวัสดุจักรหน้าที่สวิตซ์ไม่สูงมากนัก ทั้งนี้ตัวควบคุมพื้นที่ที่พัฒนาขึ้นจะทำให้วงจรแปลงผันกำลังไฟฟ้าแบบบูสต์เรียงต่อกันสามขั้นสามารถเพิ่มและรักษาระดับแรงดันเอาร์พุตให้คงที่ตามความต้องการ โดยมีสมรรถนะที่ดีทั้งในสภาพชั่วคราวและสภาพอยู่ตัว รวมถึงเพิ่มความน่าเชื่อถือให้กับวงจร เพื่อสามารถทำงานต่อไปได้เมื่อมีความผิดพร่องแบบสวิตช์เปิดวงจรเกิดขึ้น เนื่องจากวงจรแปลงผันกำลังไฟฟ้าแบบบูสต์เรียงต่อกันสามขั้นประกอบด้วยอุปกรณ์อิเล็กทรอนิกส์หลายตัว ส่งผลให้แบบจำลองทางคณิตศาสตร์มีความซับซ้อน การออกแบบตัวควบคุมพื้นที่ไม่จำเป็นต้องอาศัยแบบจำลองทางคณิตศาสตร์ที่แม่นยำ แต่จะอาศัยความรู้และความเข้าใจพอดีกรรมของวงจรจากการสังเกตการณ์ ดังนั้ntechnic ที่ชี้ว่าเป็นทางเลือกที่น่าสนใจสำหรับการควบคุมวงจรแปลงผันกำลังไฟฟ้าแบบบูสต์เรียงต่อกันสามขั้น นอกจากนี้กระบวนการฟีดแบคยังถูกนำมาใช้ในการตรวจสอบความผิดพร่องแบบสวิตช์เปิดวงจรได้อย่างรวดเร็ว โดยสามารถบุตตำแหน่งของสวิตช์ที่เกิดความผิดพร่องได้อย่างถูกต้อง เพื่อสร้างความคงทนต่อความผิดพร่องให้กับวงจร ทำให้วงจรยังคงทำงานได้อย่างมีประสิทธิผลแม้เกิดความผิดพร่องแบบสวิตช์เปิดวงจรที่สวิตช์กำลัง ผลการจำลองสถานการณ์และผลการทดสอบจริงแสดงประสิทธิผลของการควบคุมพื้นที่ที่พัฒนาขึ้นสำหรับวงจรแปลงผันกำลังไฟฟ้าแบบบูสต์เรียงต่อกันสามขั้นรวมทั้ง วิธีการตรวจจับและระบุตำแหน่งความผิดพร่องแบบสวิตช์เปิดวงจรที่พัฒนาขึ้นมีสมรรถนะที่ดีสามารถตรวจจับและระบุตำแหน่งความผิดพร่องได้อย่างถูกต้องและรวดเร็วภายใต้สถานการณ์การทำงานต่าง ๆ ของวงจร

สาขาวิชา วิศวกรรมไฟฟ้า

ปีการศึกษา 2567

ลายมือชื่อนักศึกษา.....**สติต ฉิมพลี**  
ลายมือชื่ออาจารย์ที่ปรึกษา.....**ดร.สุดารัตน์ ขวัญอ่อน**

SATHIT CHIMPLEE : FAULT-TOLERANT THREE-STAGE CASCADED BOOST CONVERTER BASED ON FUZZY CONTROL : ASST. PROF. SUDARAT KHWAN-ON,  
Ph.D. 315 PP.

Keyword : THREE-STAGE CASCADED BOOST CONVERTER/ FUZZY CONTROLLER/  
SLOPE/ OPEN-CIRCUIT FAULT SWITCH/ FAULT TOLERANCE

This thesis focuses on developing control and fault tolerance techniques for a three-stage cascaded boost converter with a voltage gain of approximately 20 times. The converter can step-up the low input voltage approximately 20V to achieve a required output voltage level of around 400V without an extreme duty cycle for three switches. The objective of this study is not only to maintain output voltage to the desired levels under both transient and steady states but also to enhance converter reliability in the presence of faults. The three-stage boost converter contains many components, leading to complexity of the mathematical model. The fuzzy logic technique has the ability to deal with this limitation because it relies on knowledge and understanding of the converter behavior, obtained through observation. The mathematical model is not required for designing the fuzzy controller. Moreover, the fuzzy logic technique is also employed to develop the fast fault detection method for the open-circuit switch fault and the accuracy identification at the fault switch. By utilizing the fuzzy process, fault tolerance is created, allowing the three-stage cascaded boost converter to operate continuously even in the presence of open-circuit switch fault. The proposed fuzzy-based control and fault tolerance techniques aim to enhance overall satisfactory performance and reliability for a three-stage cascaded boost converter. Simulation and experimental results demonstrate the effectiveness of the developed fuzzy controller for the three-stage cascaded boost converter. The proposed fault detection and localization method for open-circuit switch faults accurately and rapidly identifies the fault under various operating conditions

School of Electrical Engineering

Academic Year 2024

Student's Signature.....Sathit Chimplee

Advisor's Signature.....Sudarat

## กิตติกรรมประกาศ

วิทยานิพนธ์นี้สำเร็จลุล่วงด้วยดีเนื่องจากได้รับความช่วยเหลืออย่างดียิ่ง ทั้งด้านวิชาการ และด้านดำเนินงานวิจัยจากบุคคล และกลุ่มบุคคลต่าง ๆ ดังนี้

ผู้ช่วยศาสตราจารย์ ดร.สุครัตน์ ขวัญอ่อน อาจารย์ที่ปรึกษาวิทยานิพนธ์ ที่ให้คำปรึกษา แนะนำ และแนะนำแนวทางที่เป็นประโยชน์ยิ่งแก่ผู้วิจัยมาโดยตลอด รวมไปถึงได้ช่วยตรวจสอบ และแก้ไขรายงานวิทยานิพนธ์เล่มนี้จนทำให้มีความสมบูรณ์ยิ่งขึ้น รวมทั้งเป็นกำลังใจ และเป็นแบบอย่างที่ดีในการดำเนินชีวิตหลาย ๆ ด้านให้กับผู้ที่วิจัยเสมอมา

ขอขอบคุณคณาจารย์ประจำสาขาวิศวกรรมไฟฟ้า มหาวิทยาลัยเทคโนโลยีสุรนารีทุกท่าน ที่กรุณาให้คำปรึกษา และให้กำลังใจอย่างดีมาโดยตลอด

ขอขอบคุณพี่น้องบัณฑิตทุกท่านในกลุ่มวิจัยอิเล็กทรอนิกส์กำลัง พลังงาน เครื่องจักรกล และการควบคุม (PEMC) ที่ให้ความช่วยเหลือและเปลี่ยนความรู้ทางด้านวิชาการ และให้กำลังใจตลอดมา

ขอขอบคุณวิศวกร และเจ้าหน้าที่ศูนย์เครื่องมือวิทยาศาสตร์และเทคโนโลยี มหาวิทยาลัยเทคโนโลยีสุรนารีทุกท่าน ที่ช่วยอำนวยความสะดวกทางด้านเครื่องมือที่ใช้ในงานวิจัยวิทยานิพนธ์

สุดท้ายนี้ ผู้วิจัยขอขอบคุณอาจารย์ผู้สอนทุกท่านที่ให้ความรู้ด้านวิชาการทั้งในอดีต และปัจจุบัน ขอขอบคุณเพื่อนบัณฑิตศึกษาทุกท่านที่ให้กำลังใจในการทำวิจัย และกราบขอบพระคุณบิดา และมารดา ที่ได้ให้ความรัก ความอบอุ่น และให้การสนับสนุนทางด้านการศึกษามาโดยตลอด

สถิต ฉิมพลี

# สารบัญ

หน้า

บทคัดย่อ (ภาษาไทย) .....	ก
บทคัดย่อ (ภาษาอังกฤษ) .....	خ
กิตติกรรมประกาศ .....	ค
สารบัญ .....	ง
สารบัญตาราง .....	ญ
สารบัญรูป .....	ภ
<b>บทที่</b>	
<b>1 บทนำ .....</b>	<b>1</b>
1.1 ความเป็นมา และความสำคัญของปัญหา .....	1
1.2 วัตถุประสงค์ของการวิจัย .....	3
1.3 สมมติฐานของการวิจัย .....	4
1.4 ข้อตกลงเบื้องต้น .....	4
1.5 ขอบเขตของการวิจัย .....	4
1.6 ประโยชน์ที่คาดว่าจะได้รับ .....	5
1.7 การจัดรูปเล่มวิทยานิพนธ์ .....	5
<b>2 ปริทศวรรณกรรม และงานวิจัยที่เกี่ยวข้อง .....</b>	<b>7</b>
2.1 บทนำ .....	7
2.2 ผลงานวิจัยที่เกี่ยวข้องกับวงจรแปลงผันกำลังไฟฟ้าแบบบูสต์ ที่มีอัตราขยายแรงดันสูง .....	7
2.3 ผลงานวิจัยที่เกี่ยวข้องกับการควบคุมวงจรแปลงผันกำลังไฟฟ้าแบบบูสต์เรียง ต่อกันหลายชั้น .....	14
2.4 ผลงานวิจัยที่เกี่ยวข้องกับวงจรแปลงผันกำลังไฟฟ้าที่มีความคงทนต่อความ ผิดพร่อง .....	23

## สารบัญ (ต่อ)

หน้า

2.5	สรุป.....	29
3	วงจรแปลงผันกำลังไฟฟ้าแบบบูสต์เรียงต่อกันสามขั้น .....	30
3.1	บทนำ.....	30
3.2	วงจรแปลงผันกำลังไฟฟ้าแบบบูสต์เรียงต่อกันสามขั้น .....	30
3.3	อัตราขยายแรงดันและอัตราขยายกระแสของวงจรแปลงผันกำลังไฟฟ้า แบบบูสต์เรียงต่อกันสามขั้น.....	37
3.3.1	อัตราขยายแรงดันของวงจรแปลงผันกำลังไฟฟ้าแบบบูสต์เรียง ต่อกันสามขั้น .....	39
3.3.2	อัตราขยายกระแสของวงจรแปลงผันกำลังไฟฟ้าแบบบูสต์เรียง ต่อกันสามขั้น .....	41
3.4	การออกแบบค่าพารามิเตอร์ภายในวงจรแปลงผันกำลังไฟฟ้าแบบบูสต์เรียง ต่อกันสามขั้น.....	43
3.4.1	การออกแบบค่าพารามิเตอร์ตัวเหนี่ยวนำ .....	43
3.4.2	การออกแบบค่าพารามิเตอร์ตัวเก็บประจุ .....	45
3.5	ผลการจำลองสถานการณ์.....	47
3.6	สรุป.....	49
4	การควบคุมพัชซีสำหรับวงจรแปลงผันกำลังไฟฟ้าแบบบูสต์เรียงต่อกันสามขั้น .....	51
4.1	บทนำ.....	51
4.2	การออกแบบตัวควบคุมพัชซีสำหรับวงจรแปลงผันกำลังไฟฟ้าแบบบูสต์ เรียงต่อกันสามขั้น .....	51
4.2.1	ฟังก์ชันสมาชิก (Membership Function) .....	55
4.2.2	ตัวแปรภาษา (Linguistic Variable) .....	57
4.2.3	กฎของพัชซี (Fuzzy Rule) .....	58
4.2.4	การอนุมานพัชซี (Fuzzy Inference).....	60
4.2.5	กระบวนการควบคุม (Control Process) .....	63

## สารบัญ (ต่อ)

### หน้า

4.3	การจำลองสถานการณ์ว่างจรแปลงผันกำลังไฟฟ้าแบบบูสต์เรียงต่อกัน สามขั้นโดยใช้ตัวควบคุมพืชชีที่พัฒนาขึ้น .....	69
4.4	การออกแบบการควบคุมพื้นที่สำหรับว่างจรแปลงผันกำลังไฟฟ้าเรียงต่อกัน สามขั้น .....	74
4.4.1	การออกแบบลูปควบคุมแรงดัน (PI Voltage Loop).....	75
4.4.2	การออกแบบลูปควบคุมกระแส (PI Current Loop).....	77
4.4.3	เทคนิคการถ่วงน้ำหนักกระแส (Current Weighting Technique) .....	80
4.4.4	การจำลองสถานการณ์เปรียบเทียบสมรรถนะระหว่างตัวควบคุมพืชชีที่ พัฒนาขึ้น และตัวควบคุมพื้นที่อิร่วมกับเทคนิคการถ่วงน้ำหนักกระแส .....	84
4.5	สรุป .....	89
5	วงจรแปลงผันกำลังไฟฟ้าแบบบูสต์เรียงต่อกันสามขั้นที่มีความคงทนต่อ ความผิดพร่องแบบสวิตช์เปิดวงจร .....	91
5.1	บทนำ .....	91
5.2	การศึกษาพฤติกรรมของวงจรแปลงผันกำลังไฟฟ้าแบบบูสต์เรียงต่อกันสามขั้น... 91	
5.2.1	การจำลองสถานการณ์ของวงจรแปลงผันกำลังไฟฟ้าแบบบูสต์ เรียงต่อกันสามขั้นในสภาพะปกติ .....	92
5.2.2	การจำลองสถานการณ์ว่างจรแปลงผันกำลังไฟฟ้าแบบบูสต์ เรียงต่อกันสามขั้นเมื่อเกิดความผิดพร่องแบบสวิตช์เปิดวงจร .....	101
5.3	วิธีการตรวจจับและระบุตำแหน่งความผิดพร่องแบบสวิตช์เปิดวงจร ที่พัฒนาขึ้น .....	108
5.3.1	การตรวจจับความผิดพร่องที่ $S_1$ .....	109
5.3.2	การตรวจจับความผิดพร่องที่ $S_2$ .....	115
5.3.3	การตรวจจับความผิดพร่องที่ $S_3$ .....	122
5.4	การจำลองสถานการณ์ .....	135

## สารบัญ (ต่อ)

หน้า

5.4.1	การตรวจจับความผิดพร่องแบบสวิตช์เปิดวงจรในสภาวะ การทำงานปกติ .....	136
5.4.2	การจำลองสถานการณ์การตรวจจับความผิดพร่องแบบสวิตช์ เปิดวงจรภายใต้การเปลี่ยนแปลงจุดการทำงานของวงจร .....	141
5.4.3	การจำลองสถานการณ์การทำงานของวงจรภายใต้สภาวะ ความคงทนต่อความผิดพร่อง .....	148
5.5	สรุป.....	156
<b>6</b>	<b>การสร้างชุดทดสอบ.....</b>	<b>158</b>
6.1	บทนำ.....	158
6.2	โครงสร้างของชุดทดสอบ.....	158
6.3	แหล่งจ่ายไฟกระแสตรง.....	158
6.4	แปลงผันกำลังไฟฟ้าแบบบูสต์เรียงต่อกันสามขั้น.....	160
6.5	วงจรตรวจจับสัญญาณ.....	165
6.5.1	วงจรตรวจจับสัญญาณกระแส.....	165
6.5.2	วงจรตรวจจับสัญญาณแรงดัน.....	168
6.5.3	บอร์ดไมโครคอนโทรเลอร์.....	171
6.6	วงจรขยายแรงดันแบบแยกโดดสัญญาณ.....	173
6.7	การควบคุมแรงดันแอร์ทุต และการตรวจจับความผิดพร่อง .....	174
6.8	จำลองสถานการณ์วงจรแปลงผันกำลังไฟฟ้าแบบบูสต์เรียงต่อกัน สามขั้นแบบฮาร์ดแวร์ในลูป .....	177
6.8.1	การจำลองสถานการณ์แบบฮาร์ดแวร์ในลูปของวงจรแปลงผันกำลัง ไฟฟ้าแบบบูสต์เรียงต่อกันสามขั้นโดยใช้ตัวควบคุมพซซีที่พัฒนาขึ้น.....	177
6.8.2	การจำลองสถานการณ์การตรวจจับ และการระบุตำแหน่ง ความผิดพร่องของวงจรแบบฮาร์ดแวร์ในลูป.....	182
6.9	สรุป.....	186

## สารบัญ (ต่อ)

หน้า

<b>7</b>	<b>ผลการทดสอบ .....</b>	<b>187</b>
7.1	บทนำ.....	187
7.2	ผลการทดสอบชุดทดสอบของร่างเปลี่ยนผันกำลังไฟฟ้าแบบบูสต์เรียงต่อกัน สามขั้นโดยใช้ตัวควบคุมฟิซซีที่พัฒนาขึ้น .....	187
7.2.1	กรณีมีการปรับเปลี่ยนแรงดันอ้างอิง .....	188
7.2.2	กรณีมีการปรับเปลี่ยนแรงดันอินพุต .....	190
7.2.3	กรณีมีการปรับเปลี่ยนโหลดตัวต้านทาน .....	193
7.3	ผลการทดสอบของจรที่มีความคงทนต่อความผิดพร่องแบบสวิตช์เปิดวงจร .....	196
7.3.1	กรณีเกิดความผิดพร่องแบบสวิตช์เปิดวงจรที่ $S_1$ .....	196
7.2.2	กรณีเกิดความผิดพร่องแบบสวิตช์เปิดวงจรที่ $S_2$ .....	201
7.2.3	กรณีเกิดความผิดพร่องแบบสวิตช์เปิดวงจรที่ $S_3$ .....	206
7.4	สรุป.....	209
8	<b>สรุป และข้อเสนอแนะ .....</b>	<b>211</b>
8.1	สรุป.....	211
8.2	ข้อเสนอแนะเพื่อพัฒนางานวิจัยในอนาคต.....	214
	<b>รายการอ้างอิง.....</b>	<b>215</b>
	<b>ภาคผนวก</b>	
	ภาคผนวก ก. ความรู้พื้นฐานเกี่ยวกับบอร์ดไมโครคอนโทรลเลอร์ DSP รุ่น eZdsp™F28335 .....	221
	ภาคผนวก ข. โปรแกรมภาษาซีสำหรับควบคุมการทำงานชุดทดสอบ .....	225
	ภาคผนวก ค. การจำลองสถานการณ์ของร่างเปลี่ยนผันกำลังไฟฟ้าแบบบูสต์ เรียงต่อกันสามขั้นแบบฮาร์ดแวร์ในลูปที่มีตัวควบคุม และการตรวจ จับความผิดพร่องแบบสวิตช์เปิดวงจร .....	235
	ภาคผนวก ง. การเบรียบเทียบผลจำลองสถานการณ์ของร่างเปลี่ยนผันกำลังไฟฟ้าแบบ บูสต์เรียงต่อกันสามขั้นเมื่อระบบวนการควบคุมฟิซซีมีการเปลี่ยนแปลง..	265

## สารบัญ (ต่อ)

หน้า

ภาคผนวก จ. บทความวิชาการที่ได้รับการตีพิมพ์เผยแพร่ในระหว่างศึกษา.....	280
ประวัติผู้เขียน.....	316



มหาวิทยาลัยเทคโนโลยีสุรนารี

## สารบัญตาราง

ตารางที่	หน้า
2.1 ผลงานวิจัยที่เกี่ยวข้องกับการแปลงผันกำลังไฟฟ้าแบบบูสต์มีอัตราขยายแรงดันสูง.....	9
2.2 ผลงานวิจัยที่เกี่ยวข้องกับการควบคุมวงจรแปลงผันกำลังไฟฟ้าแบบบูสต์เรียงต่อกัน หลายขั้น .....	14
2.3 ผลงานวิจัยที่เกี่ยวข้องกับวงจรแปลงผันกำลังไฟฟ้าที่มีความคงทนต่อความผิดพร่อง และการตรวจจับความผิดพร่อง.....	24
3.1 โหมดการทำงานของแปลงผันกำลังไฟฟ้าแบบบูสต์เรียงต่อกันสามขั้น .....	31
3.2 พารามิเตอร์ตัวแปรสวิตช์ในฟังก์ชันการสวิตช์ของแรงดันต่อกรุ่มสวิตช์ กระแสไฟฟ้าผ่านไดโอด .....	35
3.3 ค่าพารามิเตอร์สำหรับการออกแบบตัวเหนี่ยวนำ และตัวเก็บประจุ .....	46
3.4 ค่าพารามิเตอร์ตัวเหนี่ยวนำ และตัวเก็บประจุสำหรับวงจรแปลงผันกำลังไฟฟ้า แบบบูสต์เรียงต่อกันสามขั้น .....	47
4.1 ตัวแปรภาษาของตัวควบคุมฟิซซีสำหรับวงจรแปลงผันกำลังไฟฟ้าแบบบูสต์ เรียงต่อกันสามขั้น .....	58
4.2 หน่วยความจำฟิซซีสัมพันธ์ของตัวควบคุมฟิซซีสำหรับวงจรแปลงผันกำลังไฟฟ้า แบบบูสต์เรียงต่อกันสามขั้นที่พัฒนาขึ้น .....	59
4.3 ค่าพารามิเตอร์ของตัวควบคุมฟิซซีที่พัฒนาขึ้น .....	68
4.4 ค่าพารามิเตอร์ของตัวควบคุมฟิซซีสำหรับวงจรแปลงผันกำลังไฟฟ้าแบบบูสต์ .....	80
4.5 ค่าพารามิเตอร์สำหรับออกแบบตัวควบคุมฟิซซีร่วมกับเทคนิคการถ่วงน้ำหนักกระแส .....	81
4.6 ค่าพารามิเตอร์ตัวควบคุมฟิซซีร่วมกับเทคนิคการถ่วงน้ำหนักกระแส .....	82
5.1 ข้อมูลที่ใช้ในการตรวจจับความผิดพร่องแบบสวิตช์เปิดวงจร .....	108
5.2 หน่วยความจำฟิซซีสัมพันธ์ของการตรวจจับความผิดพร่องของสวิตช์ตัวที่ 1 .....	113
5.3 หน่วยความจำฟิซซีสัมพันธ์ของการตรวจจับความผิดพร่องของสวิตช์ตัวที่ 2 .....	119
5.4 หน่วยความจำฟิซซีสัมพันธ์ของการตรวจจับความผิดพร่องของสวิตช์ตัวที่ 3 .....	128
5.5 ค่าพารามิเตอร์ของการตรวจจับความผิดพร่องแบบสวิตช์เปิดวงจรที่พัฒนาขึ้น .....	135

## สารบัญตาราง (ต่อ)

ตารางที่		หน้า
5.6	ผลการตรวจจับความผิดพร่องภายในตัวการเปลี่ยนแปลงจุดการทำงาน .....	148
6.1	อุปกรณ์อิเล็กทรอนิกส์กำลังสำหรับสร้างชุดทดสอบ .....	164
6.2	ผลการทดสอบปรับเทียบการวัดตัวตรวจจับสัญญาณกระแส .....	166
6.3	ผลการทดสอบปรับเทียบการวัดตัวตรวจจับสัญญาณแรงดัน .....	169
6.4	ผลการทดสอบปรับเทียบบอร์ดไมโครคอนโทรเลอร์ .....	172
§.1	การเปรียบเทียบผลตอบสนองของแรงดันเอาต์พุตเมื่อมีการลดจำนวนก្នុងองพัซซី .....	268
§.2	ผลตอบสนองเมื่อมีการเปลี่ยนแปลงขอบเขตสมาชิกฟังก์ชันเซต $Z$ ของ $\Delta V/V_{ref}$ .....	276

## สารบัญรูป

รูปที่	หน้า
--------	------

1.1	โครงสร้างของจรแปลงผันกำลังไฟฟ้าแบบบุสต์เรียงต่อกันสามขั้นที่มีความคงทนต่อความ ผิดพร่อง โดยอาศัยการควบคุมฟิซซี .....	3
2.1	วงจรแปลงผันกำลังไฟฟ้าแบบบุสต์เรียงต่อกันสองขั้น .....	11
2.2	วงจรแปลงผันกำลังไฟฟ้าแบบบุสต์อินเทอร์ลีฟสองเฟส.....	11
2.3	วงจรแปลงผันกำลังไฟฟ้าแบบทบทรددับแรงดันกำลังสอง.....	12
2.4	วงจรแปลงผันกำลังไฟฟ้าแบบหดหายระดับที่มีแหล่งจ่ายเดียว .....	12
2.5	วงจรแปลงผันกำลังไฟฟ้าแบบหดหายระดับที่มีหดหายแหล่งจ่าย .....	13
2.6	โครงสร้างตัวควบคุมโหมดการเลื่อน .....	18
2.7	โครงสร้างตัวควบคุมรวมศูนย์แบบโครงข่ายปรับตัวได้ .....	18
2.8	โครงสร้างตัวควบคุมพีไอร่วมกับเทคนิคการถ่วงน้ำหนัก .....	19
2.9	โครงสร้างตัวควบคุมแบบคงที่ .....	20
2.10	โครงสร้างตัวควบคุมฟิซซีสำหรับวงจรแปลงผันกำลังไฟฟ้าแบบบุสต์เรียงต่อกันสองขั้น ....	20
2.11	โครงสร้างตัวควบคุมฟิซซีสำหรับวงจรทบทรددับแรงดันที่มีอัตราขยายแรงดันสูง .....	21
3.1	วงจรแปลงผันกำลังไฟฟ้าแบบบุสต์เรียงต่อกันสามขั้น .....	31
3.2	โหมดการทำงานที่ 1 ของวงจรแปลงผันกำลังไฟฟ้าแบบบุสต์เรียงต่อกันสามขั้น.....	32
3.3	โหมดการทำงานที่ 2 ของวงจรแปลงผันกำลังไฟฟ้าแบบบุสต์เรียงต่อกันสามขั้น.....	32
3.4	โหมดการทำงานที่ 3 ของวงจรแปลงผันกำลังไฟฟ้าแบบบุสต์เรียงต่อกันสามขั้น.....	32
3.5	โหมดการทำงานที่ 4 ของวงจรแปลงผันกำลังไฟฟ้าแบบบุสต์เรียงต่อกันสามขั้น.....	33
3.6	โหมดการทำงานที่ 5 ของวงจรแปลงผันกำลังไฟฟ้าแบบบุสต์เรียงต่อกันสามขั้น.....	33
3.7	โหมดการทำงานที่ 6 ของวงจรแปลงผันกำลังไฟฟ้าแบบบุสต์เรียงต่อกันสามขั้น.....	33
3.8	โหมดการทำงานที่ 7 ของวงจรแปลงผันกำลังไฟฟ้าแบบบุสต์เรียงต่อกันสามขั้น.....	33
3.9	โหมดการทำงานที่ 8 ของวงจรแปลงผันกำลังไฟฟ้าแบบบุสต์เรียงต่อกันสามขั้น.....	34
3.10	ตัวแปรสวิตช์ของวงจรแปลงผันกำลังไฟฟ้าแบบบุสต์เรียงต่อกันสามขั้น.....	34

## สารบัญรูป (ต่อ)

รูปที่	หน้า
3.11 สัญญาณฟังก์ชันการสวิตช์ .....	34
3.12 วงจรแปลงผันกำลังไฟฟ้าแบบบูสต์ด้วยเดิมชนะที่ในช่วงที่สวิตช์นำกระแส.....	38
3.13 วงจรแปลงผันกำลังไฟฟ้าแบบบูสต์ด้วยเดิมชนะที่ในช่วงที่สวิตช์หยุดนำกระแส .....	38
3.14 แรงดันตกคร่อมตัวเหนี่ยวนำในสภาพว้อยู่ตัว.....	39
3.15 กระแสที่เหลือผ่านตัวเก็บประจุในสภาพว้อยู่ตัว.....	41
3.16 กระแสที่เหลือผ่านตัวเหนี่ยวนำ และแรงดันตกคร่อมตัวเก็บประจุในสภาพว้อยู่ตัวของวงจร แปลงผันกำลังไฟฟ้าแบบบูสต์ด้วยเดิม.....	44
3.17 ผลจากการจำลองสถานการณ์ของแรงดันตกคร่อมตัวเก็บประจุทั้งสาม .....	48
3.18 ผลจากการจำลองสถานการณ์ของกระแสที่เหลือผ่านตัวเหนี่ยวนำทั้งสาม .....	49
4.1 โครงสร้างการควบคุมฟังก์ชันพัฒนาขึ้นสำหรับวงจรแปลงผันกำลังไฟฟ้าแบบบูสต์ เรียงต่อกันสามขั้น .....	52
4.2 ความสัมพันธ์ระหว่างสัญญาณการสวิตช์ และกระแสที่เหลือผ่านตัวเหนี่ยวนำตัวที่ 1 .....	53
4.3 กระบวนการสร้างสัญญาณการสวิตช์ (PWM generation) .....	55
4.4 ฟังก์ชันสมาชิกนอร์มอลไลซ์ของความผิดพลาดของแรงดัน ( $\Delta V/V_{ref}$ ) .....	56
4.5 ฟังก์ชันสมาชิกนอร์มอลไลซ์ของความชันกระแสที่เหลือผ่านตัวเหนี่ยวนำตัวที่ 1 ( $m_{iL1}/m_{ref}$ ) .....	56
4.6 ความสัมพันธ์ของ $i_{L1}$ ณ เวลาใด ๆ และฟังก์ชันสมาชิก $m_{iL1}/m_{ref}$ .....	56
4.7 ฟังก์ชันสมาชิกของการเปลี่ยนแปลงของค่าวัฏจักรหน้าที่สวิตช์ ( $\Delta D$ ) .....	57
4.8 โครงสร้างของการควบคุมแบบฟังก์ชี .....	60
4.9 โครงสร้างการควบคุมฟังก์ชันพัฒนาสำหรับวงจรแปลงผันกำลังไฟฟ้าแบบบูสต์เรียงต่อกันสามขั้น .....	62
4.10 กระบวนการฟังก์ชีของ $i_{L1}$ ณ เวลาใด ๆ กรณีที่ค่า $\Delta V/V_{ref} \in N$ .....	63
4.11 ฟังก์ชันสมาชิก $\Delta V/V_{ref}$ , $m_{iL1}/m_{ref}$ และ $\Delta D$ ในกรณี $\Delta V/V_{ref} \in N$ .....	64
4.12 กระบวนการฟังก์ชีของ $i_{L1}$ ณ เวลาใด ๆ กรณีที่ค่า $\Delta V/V_{ref} \in Z$ .....	65
4.13 ฟังก์ชันสมาชิก $\Delta V/V_{ref}$ , $m_{iL1}/m_{ref}$ และ $\Delta D$ ในกรณี $\Delta V/V_{ref} \in Z$ .....	66
4.14 กระบวนการฟังก์ชีของ $i_{L1}$ ณ เวลาใด ๆ กรณีที่ค่า $\Delta V/V_{ref} \in P$ .....	67
4.15 ฟังก์ชันสมาชิก $\Delta V/V_{ref}$ , $m_{iL1}/m_{ref}$ และ $\Delta D$ ในกรณี $\Delta V/V_{ref} \in P$ .....	68

## สารบัญรูป (ต่อ)

รูปที่	หน้า
4.16 แรงดันตกคร่อมตัวเก็บประจุ และกระแสที่ไฟล์ผ่านตัวเหนี่ยวนำของวงจร กรณีเปลี่ยนแปลงแรงดันอินพุต .....	70
4.17 แรงดันตกคร่อมตัวเก็บประจุ และกระแสที่ไฟล์ผ่านตัวเหนี่ยวนำของวงจร กรณีเปลี่ยนแปลงแรงดันอ้างอิง.....	72
4.18 แรงดันตกคร่อมตัวเก็บประจุ และกระแสที่ไฟล์ผ่านตัวเหนี่ยวนำของวงจร กรณีเปลี่ยนแปลงโหลดตัวต้านทาน.....	73
4.19 โครงสร้างการควบคุมพื้นที่ความคุมพีโอควบคุมพีโอร่วมกับเทคนิคการถ่วงน้ำหนักกระแสของวงจร แปลงผันกำลังไฟฟ้าแบบบุสต์เรียงต่อกันสามชั้น .....	74
4.20 การประมาณค่าพารามิเตอร์ตัวเหนี่ยวนำ และตัวเก็บประจุสำหรับลูปควบคุมแรงดัน .....	75
4.21 แผนภาพการควบคุมพื้นที่ลูปควบคุมแรงดัน.....	76
4.22 การประมาณค่าพารามิเตอร์ตัวเหนี่ยวนำ และตัวเก็บประจุสำหรับลูปควบคุมกระแส .....	78
4.23 แผนภาพลูปควบคุมกระแสของการควบคุมพีโอ .....	79
4.24 แผนภาพเทคนิคการถ่วงน้ำหนักกระแสของตัวควบคุมพีโอ .....	81
4.25 แรงดันตกคร่อมตัวเก็บประจุภายในไทรัคกิริยาต่อการควบคุมพีโอ .....	83
4.26 กระแสไฟฟ้าไฟล์ผ่านตัวเหนี่ยวนำภายในไทรัคกิริยาต่อการควบคุมพีโอ.....	83
4.27 ผลการจำลอง $V_{C1}, V_{C2}, V_{C3}$ เพื่อเปรียบเทียบสมรรถนะกรณีเปลี่ยนแปลงแรงดันอินพุต...85	85
4.28 ผลการจำลอง $i_{L1}, i_{L2}, i_{L3}$ เพื่อเปรียบเทียบสมรรถนะกรณีเปลี่ยนแปลงแรงดันอินพุต.....85	85
4.29 ผลการจำลองแรงดันตกคร่อมตัวเก็บประจุ และกระแสผ่านตัวเหนี่ยวนำ กรณีเพื่อเปรียบเทียบสมรรถนะกระแสของตัวเก็บประจุ .....	86
4.30 ผลการจำลอง $V_{C1}, V_{C2}, V_{C3}$ เพื่อเปรียบเทียบสมรรถนะกรณีเปลี่ยนแปลง โหลดตัวต้านทาน .....	88
4.31 ผลการจำลอง $i_{L1}, i_{L2}, i_{L3}$ เพื่อเปรียบเทียบสมรรถนะกรณีเปลี่ยนแปลงโหลดตัวต้านทาน .88	88
5.1 โครงสร้างการควบคุมพื้นที่ที่พัฒนาขึ้นสำหรับวงจรแปลงผันกำลังไฟฟ้าแบบบุสต์ เรียงต่อกันสามชั้น .....	92
5.2 ผลการจำลองพฤติกรรมการทำงานของวงจรกรณีเปลี่ยนแปลงแรงดันอินพุต .....	93

## สารบัญรูป (ต่อ)

รูปที่	หน้า
5.3 ภาพขยายพฤติกรรมการทำงานของวงจรกรณีเปลี่ยนแปลงแรงดันอินพุต 20V เป็น 15V .....	94
5.4 ภาพขยายพฤติกรรมการทำงานของวงจรกรณีเปลี่ยนแปลงแรงดันอินพุต 15V เป็น 25V .....	95
5.5 ผลการจำลองพฤติกรรมการทำงานของวงจรกรณีเปลี่ยนแปลงแรงดันอ้างอิง .....	96
5.6 ภาพขยายพฤติกรรมการทำงานของวงจรกรณีเปลี่ยนแปลงแรงดันอ้างอิง 400V เป็น 300V ..	97
5.7 ภาพขยายพฤติกรรมการทำงานของวงจรกรณีเปลี่ยนแปลงแรงดันอ้างอิง 300V เป็น 500V ..	98
5.8 พฤติกรรมการทำงานของวงจรกรณีเปลี่ยนแปลงโหลดตัวต้านทาน .....	99
5.9 ภาพขยายพฤติกรรมการทำงานของวงจรกรณีเปลี่ยนแปลงโหลดตัวต้านทาน 1600Ω เป็น 2400Ω .....	100
5.10 ภาพขยายพฤติกรรมการทำงานของวงจรกรณีเปลี่ยนแปลงโหลดตัวต้านทาน 2400Ω เป็น 1200Ω .....	101
5.11 พฤติกรรมการทำงานของวงจรกรณีเกิดความผิดพร่องที่ $S_1$ .....	102
5.12 ภาพขยายพฤติกรรมการทำงานของวงจรกรณีเกิดความผิดพร่องที่ $S_1$ .....	103
5.13 พฤติกรรมการทำงานของวงจรกรณีเกิดความผิดพร่องที่ $S_2$ .....	104
5.14 ภาพขยายพฤติกรรมการทำงานของวงจรกรณีเกิดความผิดพร่องที่ $S_2$ .....	105
5.15 พฤติกรรมการทำงานของวงจรกรณีเกิดความผิดพร่องที่ $S_3$ .....	106
5.16 ภาพขยายพฤติกรรมการทำงานของวงจรกรณีเกิดความผิดพร่องที่ $S_3$ .....	107
5.17 โครงสร้างการควบคุมฟซชีทที่พัฒนาขึ้นร่วมกับการตรวจจับความผิดพร่องแบบสวิตช์ เปิดวงจร .....	109
5.18 แผนภาพวิธีการตรวจจับความผิดพร่องที่ $S_1$ .....	110
5.19 โครงสร้างของการตรวจจับความผิดพร่องที่ $S_1$ .....	111
5.20 วงจรแปลงผันกำลังไฟฟ้าแบบบูสต์เรียงต่อกันสามขั้นเมื่อเกิดความผิดพร่องที่ $S_1$ .....	111
5.21 พังก์ชันสมาชิกอินพุต $m_{IL1}/m_{FS1}$ .....	112
5.22 พังก์ชันสมาชิกເອຕໍພຸດຄ່າສ້າງຢູ່ນາມຄວາມຜິດພ່ອງທີ່ສະວິດທີ່ 1 ( $FD_1$ ) .....	112
5.24 แผนภาพวิธีการตรวจจับความผิดพร่องที่ $S_2$ .....	116

## สารบัญรูป (ต่อ)

รูปที่	หน้า
5.25 โครงสร้างของการตรวจจับความผิดพร่องที่ $S_2$ .....	117
5.26 พังค์ชันสมาชิกอินพุต $\Delta D_{dif}$ .....	118
5.27 พังค์ชันสมาชิกอินพุต $m_{FIL1}/m_{FS2}$ .....	118
5.28 พังค์ชันสมาชิกการเปลี่ยนแปลงการตรวจจับความผิดพร่องที่ $S_2$ ( $\Delta FD_2$ ) .....	118
5.29 แผนภาพวิธีการตรวจจับความผิดพร่องที่ $S_3$ .....	122
5.30 วงจรสมมูลเมื่อเกิดความผิดพร่องที่ $S_3$ .....	123
5.31 ผลการเปรียบเทียบพฤติกรรมการทำงานของวงจรกรณีเกิดความผิดพร่องที่ $S_3$ และวงจร RC .....	124
5.32 ภาพขยายผลการเปรียบเทียบพฤติกรรมการทำงานของวงจรกรณีเกิดความผิดพร่องที่ $S_3$ และวงจร RC .....	124
5.33 โครงสร้างของการตรวจจับความผิดพร่องที่ $S_3$ .....	125
5.34 พังค์ชันสมาชิกอินพุต $V'_{C3}/V'_{C3,ref}$ .....	127
5.35 พังค์ชันสมาชิกอินพุต $V''_{C3}/V''_{C,ref}$ .....	127
5.36 พังค์ชันสมาชิกการเปลี่ยนแปลงการตรวจจับความผิดพร่องที่ $S_3$ ( $\Delta FD_3$ ) .....	127
5.37 การจำลองสถานการณ์หาค่า $FLD_2$ และ $FLD_3$ กรณีเปลี่ยนแปลงแรงดันอินพุต .....	132
5.38 การจำลองสถานการณ์หาค่า $FLD_2$ และ $FLD_3$ กรณีเปลี่ยนแปลงแรงดันอ้างอิง .....	133
5.39 การจำลองสถานการณ์หาค่า $FLD_2$ และ $FLD_3$ กรณีเปลี่ยนแปลงโหลดตัวต้านทาน .....	134
5.40 โครงสร้างการควบคุมฟื้นซีและการตรวจจับความผิดพร่องแบบสวิตช์เปิดวงจร ที่พัฒนาขึ้น.....	136
5.41 การจำลองสถานการณ์การตรวจจับความผิดพร่องแบบเบิดที่ $S_1$ .....	138
5.42 การจำลองสถานการณ์การตรวจจับความผิดพร่องแบบเบิดที่ $S_2$ .....	139
5.43 การจำลองสถานการณ์การตรวจจับความผิดพร่องแบบเบิดที่ $S_3$ .....	140
5.44 ผลการตรวจจับความผิดพร่องแบบสวิตช์เปิดวงจรภายในได้การเพิ่มขึ้นของแรงดันอินพุต ..	143
5.45 ผลการตรวจจับความผิดพร่องแบบสวิตช์เปิดวงจรภายในได้การลดลงของแรงดันอินพุต ....	144
5.46 ผลการตรวจจับความผิดพร่องแบบสวิตช์เปิดวงจรภายในได้การลดลงของแรงดันอ้างอิง ....	145

## สารบัญรูป (ต่อ)

รูปที่	หน้า
5.47 ผลการตรวจจับความผิดพร่องแบบสวิตช์เปิดวงจรภายในให้การเพิ่มขึ้นของ โหลดตัวต้านทาน .....	146
5.48 ผลการตรวจจับความผิดพร่องแบบสวิตช์เปิดวงจรภายในให้การลดลงของ โหลดตัวต้านทาน .....	147
5.49 โครงการวางจำลองผังกำลังไฟฟ้าแบบบูสต์เรียงต่อกันสามชั้นที่มีความคงทน ต่อความผิดพร่อง .....	149
5.50 วงจรแปลงผังกำลังไฟฟ้าแบบบูสต์เรียงต่อกันสามชั้นที่มีคงทนต่อความผิดพร่องที่ $S_1$ ....	150
5.51 ผลการจำลองกรณีเกิดความผิดพร่องที่ $S_1$ ในสภาพวงค�헛ต่อความผิดพร่อง .....	151
5.52 วงจรแปลงผังกำลังไฟฟ้าแบบบูสต์เรียงต่อกันสามชั้นที่มีคงทนต่อความผิดพร่องที่ $S_2$ ....	152
5.53 ผลการจำลองกรณีเกิดความผิดพร่องที่ $S_2$ ในสภาพวงค�헛ต่อความผิดพร่อง .....	153
5.54 วงจรแปลงผังกำลังไฟฟ้าแบบบูสต์เรียงต่อกันสามชั้นที่มีคงทนต่อความผิดพร่องที่ $S_3$ ....	154
5.55 ผลการจำลองกรณีเกิดความผิดพร่องที่ $S_3$ ในสภาพวงค�헛ต่อความผิดพร่อง .....	155
6.1 โครงการซุดทดสอบวงจรแปลงผังกำลังไฟฟ้าแบบบูสต์เรียงต่อกันสามชั้น .....	159
6.2 ซุดทดสอบวงจรแปลงผังกำลังไฟฟ้าแบบบูสต์เรียงต่อกันสามชั้น .....	159
6.3 วงจรแหล่งจ่ายไฟฟ้ากระแสตรง .....	160
6.4 หม้อแปลงปรับแรงดันหนึ่งเฟส .....	160
6.5 มอดูลวงจรเรียงกระแสแบบบริดจ์หนึ่งเฟส GBPC35 .....	161
6.6 ตัวเก็บประจุกรองแรงดันไฟฟ้ากระแสตรง .....	161
6.7 วงจรแปลงผังกำลังไฟฟ้าแบบบูสต์เรียงต่อกันสามชั้นที่มีความคงทนต่อความผิดพร่อง ..	162
6.8 มอเตอร์กำลัง IXFK80N60P3 .....	162
6.9 ตัวเหนี่ยวนำทั้งสามตัวสำหรับซุดทดสอบ .....	163
6.10 ตัวเก็บประจุสำหรับซุดทดสอบ .....	163
6.11 ไดโอดกำลังสำหรับซุดทดสอบ .....	164
6.12 โหลดตัวต้านทานสำหรับซุดทดสอบ .....	164
6.13 วงจรตัวตรวจจับสัญญาณกระแส .....	165

## สารบัญรูป (ต่อ)

รูปที่	หน้า
6.14 วงจรไฟฟ้าสำหรับวงจรตรวจจับสัญญาณกระแส .....	166
6.15 กราฟความสัมพันธ์ระหว่างกระแสอินพุตกับแรงดันเอาต์พุตของตัวตรวจจับกระแส .....	167
6.16 วงจรตรวจจับสัญญาณแรงดัน .....	168
6.17 วงจรไฟฟ้าสำหรับหาความสัมพันธ์ของตัวตรวจจับสัญญาณแรงดัน .....	169
6.18 กราฟความสัมพันธ์ระหว่างแรงดันอินพุตกับแรงดันเอาต์พุตของตัวตรวจจับสัญญาณแรงดัน .....	170
6.19 วงจรสำหรับการเปรียบเทียบบอร์ดไมโครคอนโทรเลอร์ .....	171
6.20 กราฟความสัมพันธ์ระหว่างแรงดันเอาต์พุตของเซนเซอร์ และสัญญาณดิจิตอล .....	173
6.21 ไอซีอป็อติเบอร์ PC923L .....	173
6.22 วงจรขยายแรงดันแบบแยกโอดสัญญาณ .....	174
6.23 บอร์ดไมโครคอนโทรเลอร์ DSP รุ่น eZdsp <sup>TM</sup> F28335.....	174
6.24 ไดอะแกรมการควบคุมแรงดันเอาต์พุตและการตรวจจับความผิดพร่อง .....	176
6.25 แผนภาพการเขียนโปรแกรม MATLAB SIMULINK และบอร์ด DSP .....	177
6.26 โครงสร้างฮาร์ดแวร์ในลูปของวงจรภายในตัวควบคุมพิชชีที่พัฒนาขึ้น .....	178
6.27 ผลการจำลองสถานการณ์เปรียบเทียบเมื่อมีการเปลี่ยนแปลงแรงดันอินพุต .....	179
6.28 ผลการจำลองสถานการณ์เปรียบเทียบเมื่อมีการเปลี่ยนแปลงแรงดันอังอิง .....	180
6.29 ผลการจำลองสถานการณ์เปรียบเทียบเมื่อมีการเปลี่ยนแปลงโหลดตัวต้านทาน .....	181
6.30 การตรวจจับ และการระบุตำแหน่งความผิดพร่องของวงจรแปลงผ่านกำลังไฟฟ้าแบบบูสต์เรียงต่อกันสามชั้นแบบhaarดิเวอร์ในลูป .....	182
6.31 การจำลองสถานการณ์แบบhaarดิเวอร์ในลูปของการตรวจจับความผิดพร่องแบบเปิดที่ $S_1$ .....	183
6.32 การจำลองสถานการณ์แบบhaarดิเวอร์ในลูปของการตรวจจับความผิดพร่องแบบเปิดที่ $S_2$ .....	184
6.33 การจำลองสถานการณ์แบบhaarดิเวอร์ในลูปของการตรวจจับความผิดพร่องแบบเปิดที่ $S_3$ .....	185

## สารบัญรูป (ต่อ)

รูปที่	หน้า
7.1 ชุดทดสอบของจำเมื่อมีการเปลี่ยนแปลงแรงดันอั้างอิง.....	188
7.2 ผลการทดสอบของจำเมื่อมีการเปลี่ยนแปลงแรงดันอั้างอิง .....	189
7.3 ผลการจำลองสถานการณ์ของจำเมื่อมีการเปลี่ยนแปลงแรงดันอั้างอิง .....	190
7.4 ชุดทดสอบของจำเมื่อมีการเปลี่ยนแปลงแรงดันอินพุต .....	191
7.5 ผลการทดสอบของจำเมื่อมีการเปลี่ยนแปลงแรงดันอินพุต.....	191
7.6 ผลการจำลองสถานการณ์ของจำเมื่อมีการเปลี่ยนแปลงแรงดันอินพุต .....	192
7.7 ชุดทดสอบของจำเมื่อมีการเปลี่ยนแปลงโหลดตัวต้านทาน.....	193
7.8 ผลการทดสอบของจำเมื่อมีการเปลี่ยนแปลงโหลดตัวต้านทาน .....	194
7.9 ผลการจำลองสถานการณ์ของจำเมื่อมีการเปลี่ยนแปลงโหลดตัวต้านทาน .....	195
7.10 ชุดทดสอบของจำที่มีความคงทนต่อความผิดพร่องแบบสวิตช์เปิดวงจร.....	196
7.11 ชุดทดสอบของจำเมื่อเกิดความผิดพร่องแบบสวิตช์เปิดวงจรที่ $S_1$ .....	197
7.12 ผลการทดสอบของจำเมื่อเกิดความผิดพร่องแบบสวิตช์เปิดวงจรที่ $S_1$ .....	198
7.13 ค่าแรงดันเอาต์พุต กระแสผ่านตัวเหนี่ยวนำตัวที่หนึ่ง และสัญญาณการสวิตช์ เมื่อเกิดความผิดพร่องแบบสวิตช์เปิดวงจรที่ $S_1$ .....	199
7.14 สัญญาณการสวิตช์ และสัญญาณการตรวจจับความผิดพร่อง เมื่อเกิดความผิดพร่องแบบสวิตช์เปิดวงจรที่ $S_1$ .....	200
7.15 ผลการจำลองสถานการณ์เมื่อเกิดความผิดพร่องแบบสวิตช์เปิดวงจรที่ $S_1$ ภายใต้สภาวะคงทนต่อความผิดพร่อง .....	201
7.16 ชุดทดสอบของจำเมื่อเกิดความผิดพร่องแบบสวิตช์เปิดวงจรที่ $S_2$ .....	202
7.17 ผลการทดสอบของจำเมื่อเกิดความผิดพร่องแบบสวิตช์เปิดวงจรที่ $S_2$ .....	203
7.18 ค่าแรงดันเอาต์พุต กระแสผ่านตัวเหนี่ยวนำตัวที่หนึ่ง และสัญญาณการสวิตช์ เมื่อเกิดความผิดพร่องแบบสวิตช์เปิดวงจรที่ $S_2$ .....	204
7.19 สัญญาณการสวิตช์ และสัญญาณการตรวจจับความผิดพร่อง เมื่อเกิดความผิดพร่องแบบสวิตช์เปิดวงจรที่ $S_2$ .....	204

## สารบัญรูป (ต่อ)

รูปที่	หน้า
7.20 ผลการจำลองสถานการณ์เมื่อเกิดความผิดพร่องแบบสวิตช์เปิดวงจรที่ $S_2$ ภายในได้สภาวะคงทนต่อความผิดพร่อง .....	205
7.21 ชุดทดสอบวงจรเมื่อเกิดความผิดพร่องแบบสวิตช์เปิดวงจรที่ $S_3$ .....	206
7.22 ผลการทดสอบวงจรเมื่อเกิดความผิดพร่องแบบสวิตช์เปิดวงจรที่ $S_3$ .....	206
7.23 ค่าแรงดันเอาต์พุต กระแสผ่านตัวเหนี่ยวนำตัวที่หนึ่ง และสัญญาณการสวิตช์ เมื่อเกิดความผิดพร่องแบบสวิตช์เปิดวงจรที่ $S_3$ .....	207
7.24 สัญญาณการสวิตช์ และสัญญาณการตรวจจับความผิดพร่อง เมื่อเกิดความผิดพร่องแบบสวิตช์เปิดวงจรที่ $S_3$ .....	208
7.25 ผลการจำลองสถานการณ์เมื่อเกิดความผิดพร่องแบบสวิตช์เปิดวงจรที่ $S_3$ .....	209
ก.1 บอร์ดไมโครคอนโทรลเลอร์ DSP รุ่น eZdsp™F28335 .....	222
ค.1 แผนการเขียนโปรแกรม SIMULINK กับบอร์ด DSP รุ่น eZdsp™F28335 .....	236
ค.2 ไอคอนซอฟต์แวร์โปรแกรมสำหรับการแบบฮาร์ดแวร์ในลูป .....	237
ค.3 การเขียนโปรแกรม MATLAB กับบอร์ด eZdsp™F28335 .....	237
ค.4 หน้าต่างโปรแกรม F28335 eZdsp CCStudio v3.3 .....	238
ค.5 การกำหนดค่าบล็อก RTDX Write .....	239
ค.6 การกำหนดค่าบล็อก RTDX Read .....	239
ค.7 โครงสร้างการจำลองสถานการณ์แบบฮาร์ดแวร์ในลูป .....	241
ค.8 แผนภาพระบบ RTDX การรับส่งข้อมูลบนโปรแกรม SIMULINK .....	242
ค.9 หน้าต่างโปรแกรม F28335 eZdsp CCStudio v3.3 .....	243
ค.10 การเขียนต่อฮาร์ดแวร์ระหว่างโปรแกรมกับบอร์ด eZdsp™F28335 .....	243
ค.11 แผนภาพของตัวควบคุม และการตรวจจับความผิดพร่องโดยอาศัย กระบวนการทางฟิซิกส์ในการเขียนโค้ดโปรแกรมภาษาซี .....	244
ก.1 สมการฟังก์ชันเดิม ก.) $\Delta V_O/V_{ref}$ ข.) $m_{iL1}/m_{ref}$ และ ค.) $\Delta D$ .....	267
ก.2 สมการฟังก์ชันใหม่ ก.) $\Delta V_O/V_{ref}$ ข.) $m_{iL1}/m_{ref}$ และ ค.) $\Delta D$ .....	267

## สารบัญรูป (ต่อ)

รูปที่	หน้า
๔.3 ผลการจำลองสถานการณ์ว่างจรแปลงผันกำลังไฟฟ้าแบบบุสต์เรียงต่อกันสามขั้นในสภาวะการทำงานปกติ .....	269
๔.4 สมาชิกฟังก์ชันเดิม ก.) $\Delta V_O/V_{ref}$ ข.) $m_{IL1}/m_{ref}$ และ ค.) $\Delta D$ .....	270
๔.5 สมาชิกฟังก์ชันใหม่ ก.) $\Delta V_O/V_{ref}$ ข.) $m_{IL1}/m_{ref}$ และ ค.) $\Delta D$ .....	270
๔.6 ผลการจำลองสถานการณ์ว่างจรแปลงผันกำลังไฟฟ้าแบบบุสต์เรียงต่อกันสามขั้นเมื่อมีการเปลี่ยนแปลงแรงดันอ้างอิง ( $V_{ref}$ ) .....	272
๔.7 ขอบเขตสมาชิกฟังก์ชันเซต $Z$ ของ $\Delta V/V_{ref}$ เป็น [-5, 5] .....	273
๔.8 ขอบเขตสมาชิกฟังก์ชันเซต $Z$ ของ $\Delta V/V_{ref}$ เป็น [-10, 10] .....	273
๔.9 ขอบเขตสมาชิกฟังก์ชันเซต $Z$ ของ $\Delta V/V_{ref}$ เป็น [-20, 20] .....	274
๔.10 การจำลองสถานการณ์ว่างจรแปลงผันกำลังไฟฟ้าแบบบุสต์เรียงต่อกันสามขั้นภายใต้การควบคุมพัชซีที่มีการเปลี่ยนแปลงขอบเขตสมาชิกฟังก์ชันเซต $Z$ ของ $\Delta V/V_{ref}$ .....	275
๔.11 สมาชิกฟังก์ชันเดิม ก.) $\Delta D_{dif}$ ข.) $m_{FIL1}/m_{FS2}$ และ ค.) $\Delta FD_2$ .....	277
๔.12 สมาชิกฟังก์ชันใหม่ ก.) $\Delta D_{dif}$ ข.) $m_{FIL1}/m_{FS2}$ และ ค.) $\Delta FD_2$ .....	277
๔.6 ผลการจำลองสถานการณ์ว่างจรแปลงผันกำลังไฟฟ้าแบบบุสต์เรียงต่อกันสามขั้นเมื่อเกิดความผิดพร่องที่สวิตซ์ตัวที่ 2 .....	278

มหาวิทยาลัยเทคโนโลยีสุรนารี

## บทที่ 1

### บทนำ

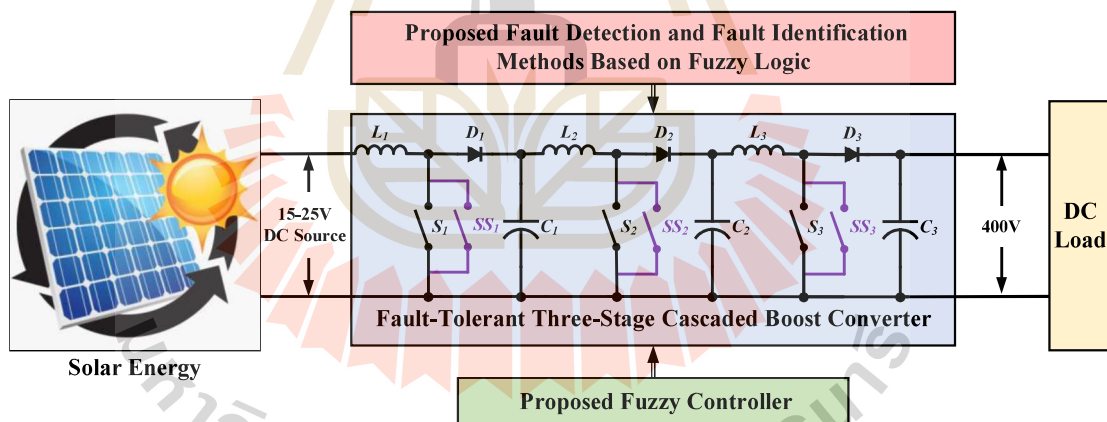
#### 1.1 ความเป็นมา และความสำคัญของปัญหา

เนื่องจากจำนวนประชากรโลกเพิ่มขึ้นอย่างต่อเนื่องและความต้องการใช้พลังงานในชีวิตประจำวันสูงขึ้น ทำให้ปัจจุบันเรียบง่ายคงพึงพาพลังงานจากเชื้อเพลิงฟอสซิล เช่น น้ำมัน ถ่านหิน และก๊าซธรรมชาติเป็นหลัก ซึ่งการเผาไหม้เชื้อเพลิงเหล่านี้ก่อให้เกิดก๊าซเรือนกระจกเป็นปริมาณมาก ส่งผลกระทบต่อภาวะโลกร้อน (Cellatoglu and Balasubramanian, 2010) โดยในปัจจุบันหลายประเทศทั่วโลกพยายามศึกษา และค้นหาพลังงานทดแทนในรูปแบบต่าง ๆ อย่างต่อเนื่อง เพื่อให้สามารถนำมาใช้ประโยชน์ได้อย่างคุ้มค่า และมีประสิทธิภาพดีขึ้น รวมถึงลดปัญหามลพิษต่อสิ่งแวดล้อม ตัวอย่างพลังงานทดแทน (Renewable energy) ที่สำคัญ เช่น พลังงานลม (Wind energy) พลังงานน้ำ (Water energy) พลังงานแสงอาทิตย์ (Solar energy) พลังงานความร้อนใต้พิภพ (Geothermal energy) พลังงานชีวภาพ (Biomass Energy) เป็นต้น อย่างไรก็ตามพลังงานทดแทน เช่น พลังงานลม และพลังงานแสงอาทิตย์ ให้ค่าแรงดันเอาต์พุตค่อนข้างต่ำและมีกำลังไฟฟ้าไม่สูงมากนัก อีกทั้งอาจมีระดับแรงดันไม่คงที่ เนื่องจากผลกระทบจากสภาพแวดล้อมที่เปลี่ยนแปลงไป การบังแสงบางส่วนบนแผงโซล่าเซลล์ (DJALAB et al., 2018) ส่งผลให้กำลังไฟฟ้าที่ผลิตได้ลดลง ซึ่งส่งผลกระทบโดยตรงต่อระบบที่ใช้การเชื่อมต่อแบบอนุกรม เนื่องจากแรงดันไฟฟ้าเอาต์พุตของระบบแบบอนุกรมคือผลรวมของแรงดันไฟฟ้าจากแผงแต่ละแผง หากมีสิ่งใดมาบดบังแสง แม้เพียงแผงเดียว แรงดันไฟฟ้าเอาต์พุตของทั้งระบบก็จะลดลง ทำให้ความน่าเชื่อถือของระบบลดลงและยังทำให้อายุการใช้งานของแผงสันหลังอีกด้วย การเชื่อมต่อแผงโซล่าเซลล์แบบขนานจึงเป็นวิธีหนึ่งในการลดผลกระทบจากการบังแสง แม้ว่าจะมีแสงบางส่วนถูกบดบัง แรงดันไฟฟ้าเอาต์พุตของระบบแบบขนานยังคงที่ วิธีนี้ช่วยเพิ่มความน่าเชื่อถือของระบบ และง่ายต่อการติดตั้งและขยายระบบ แต่กระบวนการเชื่อมต่อแบบขนาน จำเป็นต้องมีแผงโซล่าเซลล์มาต่อแบบขนาน จึงทำให้ต้องติดตั้งเอาต์พุตที่ค่อนข้างต่ำ จึงจำเป็นต้องขยายแรงดันให้สูงขึ้นสำหรับโหลดที่ต้องการแรงดันสูง จึงมีการนำวงจรแปลงผันกำลังไฟฟ้าแบบบูสต์มาใช้ เพื่อเพิ่มระดับแรงดันไฟฟ้าเอาต์พุตให้สูงขึ้น อย่างไรก็ตามวงจรแปลงผันกำลังไฟฟ้าแบบบูสต์แบบดังเดิมยังมีข้อจำกัดในการเพิ่มระดับแรงดัน ก่อให้เกิดความเสียหายที่สูงมากเพื่อให้ได้ระดับ

แรงดันเอาร์พุตที่สูงประมาณ 380V ที่ถูกนำไปใช้ในห้องหอรายต้าน ออาทิเช่น ระบบไมโครกริดกระแสตรง (Kalahasthi et al.,2022) อุตสาหกรรมขนส่ง (Gao et al.,2022) ระบบส่งจ่ายกำลังไฟฟ้า (Chen et al.,2022) เป็นต้น จึงจำเป็นต้องมีการพัฒนาวงจรแปลงผันกำลังไฟฟ้าแบบบูสต์ให้มีอัตราการขยายแรงดันสูงและมีค่าวัฏจักรหน้าที่ของสวิตช์ที่ไม่สูงมาก เนื่องจากอาจส่งผลให้เกิดกำลังไฟฟ้าสูญเสียสูงขึ้นหากค่าวัฏจักรหน้าที่ของสวิตช์สูง การออกแบบวงจรแปลงผันกำลังไฟฟ้าแบบบูสต์ที่เหมาะสมนั้นเป็นเรื่องท้าทาย เนื่องจากต้องคำนึงถึงปัจจัยหลายประการ ออาทิ สมรรถนะในการเพิ่มระดับแรงดัน จำนวน อุปกรณ์ที่ใช้ ความนำเข้า/ออก เพื่อตอบสนองความต้องการเหล่านี้ งานวิจัย (Tofoli et al.,2022) ได้นำเสนอโครงสร้างวงจรแปลงผันกำลังไฟฟ้าแบบบูสต์ที่มีการเพิ่มแรงดันสูงรูปแบบใหม่ ซึ่งผสมผสานเทคนิคต่างๆ เพื่อปรับปรุงประสิทธิภาพและประสิทธิผล เช่น การเชื่อมต่อแบบหลายชั้น (Multi-stage cascaded connection) ตัวเก็บประจุที่ทำงานสลับกัน (Switched capacitor) ตัวคูณแรงดัน (Voltage multiplier) การเชื่อมต่อแบบแม่เหล็ก (Magnetic coupling) ตัวเหนี่ยวนำที่ทำงานสลับกัน (Switched inductor) และการเพิ่มแรงดันไฟฟ้า (Voltage lift) เป็นต้น ทั้งนี้การนำวงจรแปลงผันกำลังไฟฟ้าแบบบูสต์มาเรียงต่อ กัน (Multi-stage cascaded boost converter) สามารถเพิ่มระดับแรงดันเอาร์พุตให้สูงขึ้นตามต้องการได้ โดยค่าวัฏจักรหน้าที่ของสวิตช์แต่ละตัวไม่สูงมากนัก อีกทั้งยังเหมาะสมสำหรับระบบพลังงานทดแทน อย่างไรก็ตามยังมีข้อจำกัดทางด้านความนำเข้า/ออก เนื่องจากวงจร มีองค์ประกอบต่าง ๆ มากขึ้น ส่งผลให้วงจร มีความซับซ้อน อีกทั้งแหล่งจ่ายที่เป็นพลังงานทดแทนจะขึ้นกับสภาพอากาศอาจส่งผลให้แหล่งจ่ายมีระดับแรงดันไม่คงที่ จำเป็นต้องอาศัยการควบคุมวงจรที่มีประสิทธิผล เพื่อสามารถจ่ายกำลังไฟฟ้าให้กับโหลดได้อย่างเหมาะสม รวมถึงการสร้างความคงทนต่อความผิดพร่องให้กับวงจรดังกล่าวให้สามารถทำงานต่อไปได้ เมื่อความผิดพร่องแบบสวิตช์เบิดวงจรเกิดขึ้นที่สวิตช์กำลัง

รายงานวิทยานิพนธ์นี้จะพัฒนาการควบคุมฟซชี จากนั้นจะสร้างความคงทนต่อความผิดพร่องสำหรับวงจรแปลงผันกำลังไฟฟ้าแบบบูสต์เรียงต่อ กันสามชั้น (Three-stage cascaded boost converter) ที่มีอัตราขยายแรงดันประมาณ 20 เท่า ดังรูปที่ 1.1 โดยแหล่งจ่ายอินพุตมีระดับแรงดันค่อนข้างต่ำประมาณ 15V ถึง 25V เพื่อให้ได้ระดับแรงดันเอาร์พุตสูงถึงประมาณ 400V โดยที่ค่าวัฏจักรหน้าที่สวิตช์ไม่สูงมากนัก โดยตัวควบคุมฟซชีที่พัฒนาขึ้นจะทำให้วงจรแปลงผันกำลังไฟฟ้าแบบบูสต์เรียงต่อ กันสามชั้นสามารถเพิ่มและรักษาระดับแรงดันเอาร์พุตให้คงที่ตามความต้องการได้ รวมถึงเพิ่มความนำเข้า/ออกให้กับวงจรเมื่อมีความผิดพร่องเกิดขึ้น โดยพัฒนาวิธีการตรวจสอบความผิดพร่องแบบสวิตช์เบิดวงจรที่มีความถูกต้องและรวดเร็ว วงจรแปลงผันกำลังไฟฟ้าแบบบูสต์เรียงต่อ กันหลายชั้นประกอบด้วยอุปกรณ์อิเล็กทรอนิกส์หลายตัว ส่งผลให้การหาแบบจำลองทางคณิตศาสตร์มี

ความซับซ้อนมากขึ้น กระบวนการฟื้ชซีจึงเป็นทางเลือกที่น่าสนใจ เนื่องจากแบบจำลองทางคณิตศาสตร์ไม่จำเป็นสำหรับตัวควบคุมฟื้ชซี แต่จะอาศัยความรู้ และความเข้าใจพฤติกรรมการทำงานของวงจรจากผู้สังเกตการณ์ในการออกแบบตัวควบคุมฟื้ชซี รวมถึงการสร้างความคงทนต่อความผิดพลาด ของแบบสวิตซ์เปิดวงจรให้กับวงจรแปลงผันกำลังไฟฟ้าแบบบูสต์เรียงต่อกันสามขั้น โดยสามารถระบุตำแหน่งความผิดพลาดที่เกิดขึ้นในแต่ละสวิตซ์ได้อย่างถูกต้องและรวดเร็ว เพื่อให้การกู้คืนการทำงานของวงจรจากความผิดพลาด โดยนำกระบวนการฟื้ชซีมาใช้ในกระบวนการสร้างความคงทนต่อความผิดพลาด เพื่อให้วงจรแปลงผันกำลังไฟฟ้าแบบบูสต์เรียงต่อกันสามขั้นสามารถทำงานต่อไปได้ เมื่อมีความผิดพลาดที่เกิดขึ้นที่สวิตซ์กำลังของวงจร รูปที่ 1.1 แสดงโครงสร้างของวงจรแปลงผันกำลังไฟฟ้าแบบบูสต์เรียงต่อกันสามขั้นที่มีความคงทนต่อความผิดพลาด โดยอาศัยการควบคุมฟื้ชซี ประกอบด้วย แหล่งจ่ายอินพุตกระแสตรงที่มีแรงดันต่ำ เช่น พลังงานแสงอาทิตย์ วงจรแปลงผันกำลังไฟฟ้าแบบบูสต์เรียงต่อกันสามขั้นที่มีความคงทนต่อความผิดพลาดแบบสวิตซ์เปิดวงจร โหลดกระแสตรงที่ต้องการแรงดันสูงประมาณ 400V โดยอาศัยตัวควบคุมฟื้ชซีที่พัฒนาขึ้น ร่วมกับวิธีการตรวจสอบความผิดพลาด และระบุตำแหน่งความผิดพลาดแบบสวิตซ์เปิดวงจรที่มีความถูกต้องและรวดเร็วที่พัฒนาขึ้นโดยอาศัยกระบวนการฟื้ชซี



รูปที่ 1.1 โครงสร้างวงจรแปลงผันกำลังไฟฟ้าแบบบูสต์เรียงต่อกันสามขั้นที่มีความคงทนต่อความผิดพลาด โดยอาศัยการควบคุมฟื้ชซี

## 1.2 วัตถุประสงค์ของการวิจัย

1.2.1 เพื่อศึกษาการทำงานของวงจรแปลงผันกำลังไฟฟ้าแบบบูสต์เรียงต่อกันสามขั้นที่สามารถเพิ่มระดับแรงดันเอาต์พุตของวงจรให้สูงประมาณ 20 เท่า เมื่อแรงดันอินพุตมีค่าคงที่

1.2.2 เพื่อพัฒนาการควบคุมสำหรับวงจรแปลงผันกำลังไฟฟ้าแบบบูสต์เรียงต่อกันสามขั้นให้สามารถเพิ่มระดับและรักษาแรงดันเอาต์พุตให้คงที่ตามต้องการได้

1.2.3 เพื่อพัฒนาเกณฑ์การตรวจจับความผิดพร่อง การระบุตำแหน่งความผิดพร่อง และการสร้างความคงทนต่อความผิดพร่องแบบสวิตซ์เปิดวงจร สำหรับวงจรแปลงผันกำลังไฟฟ้าแบบบูสต์เรียงต่อกันสามขั้น

### 1.3 สมมติฐานของการวิจัย

วงจรแปลงผันกำลังไฟฟ้าแบบบูสต์เรียงต่อกันหลายขั้น ประกอบด้วยอุปกรณ์อิเล็กทรอนิกส์หลายตัวส่งผลให้การออกแบบตัวควบคุมด้วยวิธีตั้งเดิมมีความซับซ้อน เนื่องจากการหาแบบจำลองทางคณิตศาสตร์ของวงจรดังกล่าวซับซ้อนขึ้น ดังนั้นการออกแบบตัวควบคุมฟื้ชซีจึงน่าสนใจสำหรับควบคุมการทำงานของวงจรแปลงผันกำลังไฟฟ้าแบบบูสต์เรียงต่อกันหลายขั้น นอกจากนี้วงจรแปลงผันกำลังไฟฟ้าแบบบูสต์เรียงต่อกันหลายขั้นอาศัยการทำงานของสวิตซ์กำลังหลายตัว หากสวิตซ์กำลังตัวใดตัวหนึ่งเกิดความผิดพร่อง อาจส่งผลกระทบต่อประสิทธิผลของวงจร ดังนั้นจึงจำเป็นต้องสร้างความคงทนต่อความผิดพร่องให้กับวงจรแปลงผันกำลังไฟฟ้าแบบบูสต์เรียงต่อกันหลายขั้นให้สามารถทำงานต่อไปได้ แม้มีความผิดพร่องเกิดขึ้น

### 1.4 ข้อตกลงเบื้องต้น

1.4.1 ในการสร้างชุดทดสอบสำหรับทดสอบการทำงานของระบบที่พัฒนาขึ้น จะอาศัยวงจรเรียงกระแสหนึ่งเฟส เป็นสมือนแหล่งจ่ายแรงดันไฟฟ้ากระแสตรง แทนระบบแสงอาทิตย์ที่มีแรงดันต่ำ

1.4.2 การทดสอบประสิทธิผลของวิธีการควบคุมฟื้ชซีที่พัฒนาขึ้น และการสร้างความคงทนต่อความผิดพร่องให้กับวงจรแปลงผันกำลังไฟฟ้าแบบบูสต์เรียงต่อกันสามขั้น จะอาศัยผลการทดสอบในห้องปฏิบัติการ และการจำลองสถานการณ์ด้วยคอมพิวเตอร์อาศัยโปรแกรม MATLAB SIMULINK

### 1.5 ขอบเขตของการวิจัย

1.5.1 การควบคุมแรงดันเอาต์พุตของวงจรแปลงผันกำลังไฟฟ้าแบบบูสต์เรียงต่อกันสามขั้น พิจารณาเฉพาะโหมดการทำงานต่อเนื่อง (Continuous conduction mode: CCM) เท่านั้น

1.5.2 วงจรแปลงผันกำลังไฟฟ้าแบบบูสต์เรียงต่อกันสามขั้นที่มีความคงทนต่อความผิดพร่องที่พัฒนาขึ้น มุ่งเน้นการพัฒนาเกลี่ยห้องเครื่องควบคุมการทำงานของวงจร และการสร้างความคงทนต่อความผิดพร่องแบบสวิตซ์เปิดวงจร ภายใต้สถานการณ์การทำงานต่าง ๆ ของวงจร

1.5.3 การประเมินประสิทธิผลการควบคุมการทำงานของวงจรแปลงผันกำลังไฟฟ้าแบบบูสต์เรียงต่อกันสามขั้น และการสร้างความคงทนต่อความผิดพร่องแบบสวิตซ์เปิดวงจร จะอาศัยการจำลองสถานการณ์ และการทดสอบชุดทดสอบ ภายใต้สถานการณ์การทำงานต่าง ๆ ของวงจร

## 1.6 ประโยชน์ที่คาดว่าจะได้รับ

1.6.1 ได้อย่างดีกับการเปลี่ยนแปลงผันกำลังไฟฟ้าแบบบูสต์เรียงต่อกันสามขั้น

1.6.2 ได้อย่างดีกับการออกแบบควบคุมฟังก์ชัน สำหรับวงจรแปลงผันกำลังไฟฟ้าแบบบูสต์เรียงต่อกันสามขั้น

1.6.3 ได้อย่างดีกับการสร้างความคงทนต่อความผิดพร่องของวงจรแปลงผันกำลังไฟฟ้าแบบบูสต์เรียงต่อกันสามขั้น โดยการตรวจจับความผิดพร่อง และการระบุตำแหน่งความผิดพร่องแบบสวิตซ์เปิดวงจรจะอาศัยกระบวนการฟังก์ชัน

1.6.4 ได้อย่างดีกับการสร้างชุดทดสอบ เพื่อทดสอบการทำงาน และเก็บรวบรวมผลการทดสอบ สำหรับระบบที่พัฒนาขึ้น

1.6.5 ได้บทความวิจัย เผยแพร่ระดับชาติ และ/หรือ นานาชาติ

## 1.7 การจัดรูปเล่มวิทยานิพนธ์

วิทยานิพนธ์นี้ประกอบด้วย 8 บท และ 5 ภาคผนวก โดยที่ บทที่ 1 บทนำ กล่าวถึงความเป็นมาและความสำคัญของงานวิจัย วัตถุประสงค์ของงานวิจัย ข้อตกลงเบื้องต้น ขอบเขตของงานวิจัย ประโยชน์ที่คาดว่าจะได้รับจากการวิจัย และการจัดรูปเล่มวิทยานิพนธ์นี้

บทที่ 2 ประทศน์วรรณกรรม และทฤษฎีที่เกี่ยวข้อง ในบทนี้กล่าวถึงงานวิจัยที่มีในอดีต ประกอบด้วย ผลงานวิจัยที่เกี่ยวข้องกับโครงสร้างของวงจรแปลงผันกำลังไฟฟ้าแบบบูสต์ในรูปแบบต่าง ๆ ผลงานวิจัยเกี่ยวกับการควบคุมวงจรแปลงผันกำลังไฟฟ้าแบบบูสต์รูปแบบต่าง ๆ และ ผลงานวิจัยที่เกี่ยวข้องกับการสร้างความคงทนต่อความผิดพร่องสำหรับวงจรแปลงผันกำลังไฟฟ้า

บทที่ 3 วงจรแปลงผันกำลังไฟฟ้าแบบบูสต์เรียงต่อกันสามขั้น ในบทนี้กล่าวถึงโครงสร้างของวงจร การออกแบบค่าพารามิเตอร์ตัวหนึ่งนำ และตัวเก็บประจุ ภายในวงจร

บทที่ 4 กล่าวถึงการออกแบบตัวควบคุมฟังชันที่พัฒนาขึ้นสำหรับจรแปลงผันกำลังไฟฟ้าแบบบูสต์เรียงต่อ กันสามขั้น เพื่อควบคุมค่าแรงดันเอาต์พุตของวงจรให้ได้ตามที่ต้องการ จากนั้นดำเนินการจำลองสถานการณ์ภายใต้สภาพการทำงานต่าง ๆ เพื่อแสดงให้เห็นถึงประสิทธิผลของการควบคุมฟังชันที่พัฒนาขึ้น

บทที่ 5 กล่าวถึงโครงสร้าง และการควบคุมวงจรแปลงผันกำลังไฟฟ้าแบบบูสต์เรียงต่อ กันสามขั้นให้มีความคงทนต่อความผิดพร่องแบบสวิตซ์เปิดวงจร โดยเริ่มจากการพัฒนาพิธีตรวจนับความผิดพร่องแบบสวิตซ์เปิดวงจรโดยอาศัยการศึกษาพฤติกรรมการทำงานของวงจร การระบุตำแหน่งความผิดพร่อง และการสร้างความคงทนต่อความผิดพร่องแบบสวิตซ์เปิดวงจร จากนั้นกล่าวถึงผลการจำลองสถานการณ์กรณีเกิดความผิดพร่องแบบสวิตซ์เปิดวงจร เพื่อแสดงถึงประสิทธิผลของการสร้างความคงทนต่อความผิดพร่องให้กับวงจรแปลงผันกำลังไฟฟ้าแบบบูสต์เรียงต่อ กันสามขั้น

บทที่ 6 กล่าวถึงการสร้างชุดทดสอบสำหรับจรแปลงผันกำลังไฟฟ้าแบบบูสต์เรียงต่อ กันสามขั้น ซึ่งประกอบด้วย แหล่งจ่ายแรงดันอินพุตกระแสตรง วงจรแปลงผันกำลังไฟฟ้าแบบบูสต์เรียงต่อ กันสามขั้น วงจรตรวจวัดสัญญาณกระแสอินพุต วงจรตรวจวัดสัญญาณแรงดันเอาต์พุต และการควบคุมการทำงานของวงจรด้วยตัวควบคุมฟังชันที่พัฒนาขึ้น และการสร้างความคงทนต่อความผิดพร่องแบบสวิตซ์เปิดวงจรด้วยบอร์ดไมโครคอนโทรลเลอร์ DSP รุ่น eZdsp™F28335

บทที่ 7 กล่าวถึงผลการทดสอบของวงจรแปลงผันกำลังไฟฟ้าแบบบูสต์เรียงต่อ กันสามขั้น เพื่อแสดงประสิทธิผลของตัวควบคุมฟังชี การตรวจจับความผิดพร่อง การระบุตำแหน่งความผิดพร่องที่พัฒนาขึ้น และการสร้างความคงทนต่อความผิดพร่องแบบสวิตซ์เปิดวงจร โดยวิเคราะห์เปรียบเทียบผลการทดสอบวงจรกับผลการจำลองสถานการณ์ภายใต้สถานการณ์เดียวกัน

บทที่ 8 บทสรุป และข้อเสนอของวิทยานิพนธ์

ภาคผนวก ก. ความรู้พื้นฐานเกี่ยวกับบอร์ดไมโครคอนโทรลเลอร์ DSP รุ่น eZdsp™F28335

ภาคผนวก ข. โปรแกรมภาษาซีสำหรับควบคุมการทำงานชุดทดสอบ

ภาคผนวก ค. การจำลองสถานการณ์ของจรแปลงผันกำลังไฟฟ้าแบบบูสต์เรียงต่อ กันสามขั้น แบบอาร์ดแวร์ในลูปที่มีตัวควบคุม และการตรวจจับความผิดพร่องแบบสวิตซ์เปิดวงจร

ภาคผนวก ง. การเปรียบเทียบผลจำลองสถานการณ์ของจรแปลงผันกำลังไฟฟ้าแบบบูสต์เรียงต่อ กันสามขั้น เมื่อกระบวนการควบคุมฟังชันมีการเปลี่ยนแปลง

ภาคผนวก จ. บทความวิชาการที่ได้รับการตีพิมพ์เผยแพร่ในระหว่างศึกษา ผลงานที่เกี่ยวข้อง และประวัติของผู้ทำวิจัย

## บทที่ 2

### ปริทัศน์วรรณกรรม และงานวิจัยที่เกี่ยวข้อง

#### 2.1 บทนำ

งานวิจัยวิทยานิพนธ์นี้ดำเนินการวิจัยเกี่ยวกับการพัฒนาการตัวควบคุม การตรวจจับความผิดพร่อง การระบุตำแหน่งความผิดพร่อง และสร้างความคงต่อความผิดพร่อง สำหรับจรรยาบรรณ กำลังไฟฟ้าแบบบูสต์เรียงต่อกันสามชั้น ทั้งนี้จะอาศัยกระบวนการทางฟ์ซีในการควบคุม และการตรวจจับความผิดพร่อง โดยเนื้อหาในบทนี้จะกล่าวถึงการสำรวจค้นคว้างานวิจัยในอดีตที่เกี่ยวข้อง โดยจากการศึกษาค้นคว้าสามารถแบ่งงานวิจัยในอดีตที่เกี่ยวข้องได้ 3 หัวข้อ ได้แก่ ผลงานวิจัยที่เกี่ยวข้องกับวงจรแปลงผันกำลังไฟฟ้าแบบบูสต์มีอัตราขยายแรงดันสูง ผลงานวิจัยที่เกี่ยวข้องกับการควบคุมวงจรแปลงผันกำลังไฟฟ้าแบบบูสต์เรียงต่อกันหลายชั้น และผลงานวิจัยที่เกี่ยวข้องกับวิธีการตรวจจับความผิดพร่อง และการสร้างความคงต่อความผิดพร่องให้กับวงจรแปลงผันกำลังไฟฟ้า

#### 2.2 ผลงานวิจัยที่เกี่ยวข้องกับวงจรแปลงผันกำลังไฟฟ้าแบบบูสต์ที่มีอัตราขยายแรงดันสูง

เพื่อศึกษางานวิจัยในอดีตที่เกี่ยวข้องกับวงจรแปลงผันกำลังไฟฟ้าแบบบูสต์ พบร่วมกับงานวิจัยในอดีตที่เกี่ยวข้องแสดงได้ดังตารางที่ 2.1 โดยเป็นการรวบรวมข้อมูลเกี่ยวกับโครงสร้างวงจรแปลงผันกำลังไฟฟ้าและแสดงเป็นกราฟแสดงที่มีอัตราขยายแรงดันสูงในรูปแบบต่าง ๆ ซึ่งถูกพัฒนาขึ้นในอดีต

ตารางที่ 2.1 ผลงานวิจัยที่เกี่ยวข้องกับวงจรแปลงผันกำลังไฟฟ้าแบบบูสต์มีอัตราขยายแรงดันสูง

ปีที่ ตีพิมพ์	คณะผู้วิจัย	สาระสำคัญของงานวิจัย	ประโยชน์ที่ได้รับ
2010	D. Cao, and F. Zheng Peng	บทความนี้นำเสนอวงจรแปลงผัน กำลังไฟฟ้าหลายระดับ โดยอาศัย เทคโนโลยี รีโซแนนท์ ซึ่ง กระบวนการจะมีตัวเหนี่ยวนำทำให้ทำ หน้าที่เป็นตัวเหนี่ยวนำเรโซแนนท์ ร่วมกับตัวเก็บประจุภายในวงจร	ทราบถึงการพัฒนาโครงสร้างของ วงจรแปลงผันกำลังไฟฟ้าแบบ หลายระดับ โดยอาศัยตัว เหนี่ยวนำเป็นตัวเหนี่ยวนำเร โซแนนท์ เพื่อแก้ปัญหาการสวิตช์ แบบกระแสคูณ ลดการพุ่งเกิน ของกระแส และแรงดัน อีกทั้งยัง ไม่เพิ่มต้นทุนค่าใช้จ่าย
2012	J.S. Anu Rahavi, T. Kanagapriya, and R. Seyezhai	บทความนี้นำเสนอวงจรแปลงผัน กำลังไฟฟ้าแบบบูสต์อินเทอร์ลีฟ (Interleaved boost converter) ที่มีแหล่งพลังงานทดแทนเป็น แหล่งจ่าย	ทราบถึงโครงสร้างวงจร และการ ออกแบบ ของวงจรแปลงผัน กำลังไฟฟ้าแบบอินเทอร์ลีฟ สำหรับระดับแรงดันที่มี คุณสมบัติของกระแสเพื่อรองรับ กระแสอินพุตที่ต่ำ
2014	Ye, Y. Eric Cheng, and K. Wai	บทความนี้นำเสนอโครงสร้างของ วงจรแปลงผันกำลังไฟฟ้าแบบทบท ระดับแรงดันกำลังสองแบบใหม่ เปรียบเทียบกับวงจรแปลงผัน กำลังไฟฟ้าแบบทบทะระดับแรงดัน กำลังสองดังเดิม	ทราบถึงโครงสร้าง และการ ออกแบบ ของวงจรแปลงผัน กำลังไฟฟ้าแบบทบทะระดับแรงดัน กำลังสองแบบใหม่ อีกทั้งการ วิเคราะห์ความคื้นของแรงดันที่ ตกคร่อมตัวเก็บประจุที่มีขนาด น้อยกว่า เมื่อเทียบกับวงจรแปลง ผันกำลังไฟฟ้าแบบทบทะระดับ แรงดันกำลังสองดังเดิม

ตารางที่ 2.1 ผลงานวิจัยที่เกี่ยวข้องกับวงจรแปลงผันกำลังไฟฟ้าแบบบูสต์มีอัตราขยายแรงดันสูง (ต่อ)

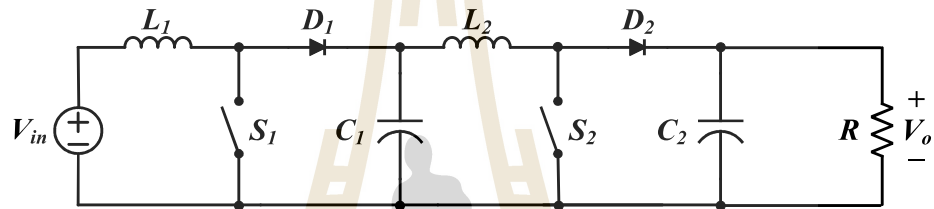
ปีที่ ตีพิมพ์	คณะผู้วิจัย	สาระสำคัญของงานวิจัย	ประโยชน์ที่ได้รับ
2014	M. G. Kashani, M. Mobarrez, and S. Bhattacharya	บทความนี้เสนอการวิเคราะห์ และเปรียบเทียบระหว่างการต่อ อนุกรม และการต่อขนาดของ วงจรแปลงผันกำลังไฟฟ้าบูสต์ที่ เรียงต่อกับแบงโฉล่าเซลล์ โดย อาศัย Variable interleaving technique	ทราบถึงโครงสร้างของการต่อ อนุกรมของวงจรแปลงผัน กำลังไฟฟ้าบูสต์ที่เรียงต่อกับแบง <sup>โฉล่าเซลล์</sup> ที่ให้แรงดันต่ำคร่อม อุปกรณ์ภายในวงจรที่ต่ำกว่าการ ต่อแบบขนาด อีกทั้งยังลดการ กระแสเพื่อมของแรงดัน
2015	F. L. Tofoli, D. de C. Pereira, W. Josias de Paula, and D. de S. Oliveira Júnior	งานวิจัยนี้ศึกษาการออกแบบ วงจรแปลงผันกำลังไฟฟ้า โดย อาศัยหลักการของวงจรแปลงผัน กำลังไฟฟ้าแบบบูสต์ด้วยเดิม อีกทั้ง ยังนำเสนอวิธีการต่าง ๆ ในการ ปรับปรุงประสิทธิภาพและ อัตราส่วนการแปลงไฟฟ้า พร้อม ทั้งเปรียบเทียบข้อดีข้อเสียของแต่ ละวิธี โดยพิจารณาปัจจัยต่าง ๆ เช่น แรงดันไฟฟ้าที่ต่ำคร่อม อุปกรณ์อิเล็กทรอนิกส์ จำนวน อุปกรณ์ที่ใช้และประสิทธิภาพการ แปลงไฟฟ้าแบบคงที่ นอกจากนี้ ยังยกตัวอย่างการใช้งานจริงของ วงจรแปลงไฟฟ้าแรงดันสูงเหล่านี้	ทราบถึงวงจรแปลงผันกำลังไฟฟ้า แบบบูสต์ที่ไม่ต้องแยกโดย เจาะลึก ถึงข้อจำกัดของวงจรแบบเดิม และ นำเสนอเทคนิคใหม่ในการดึง <sup>ประสิทธิภาพสูงสุด</sup> ส่งผลให้ แรงดันไฟฟ้าสูงขึ้นอย่างรวดเร็ว และแปลงกำลังไฟฟ้าได้คุ้มค่า กว่าเดิม ยิ่งไปกว่านั้นยังกล่าวถึง การใช้งานจริงในระบบพลังงานต่าง <sup>ๆ</sup> เช่น พลังงานทดแทน รถยนต์ ไฟฟ้า ระบบสำรองไฟ เป็นต้น อีก ทั้งยังจัดอันดับ และเปรียบเทียบ วงจรแปลงผันกำลังไฟฟ้าแบบบูสต์ ที่ดีที่สุด โดยพิจารณาจากปัจจัย ต่าง ๆ เช่น แรงดันไฟฟ้าต่ำคร่อม อุปกรณ์ จำนวนอุปกรณ์ และ ประสิทธิภาพการแปลงกำลังไฟฟ้า

ตารางที่ 2.1 ผลงานวิจัยที่เกี่ยวข้องกับวงจรแปลงผันกำลังไฟฟ้าแบบบูสต์มีอัตราขยายแรงดันสูง (ต่อ)

ปีที่ ตีพิมพ์	คณะผู้วิจัย	สาระสำคัญของงานวิจัย	ประโยชน์ที่ได้รับ
2016	M. Forouzesh, Y. P. Siwakoti, S. A. Gorji, F. Blaabjerg, and B. Lehman	บทความนี้นำเสนอการทบทวนที่ครอบคลุมของโครงสร้างของวงจรแปลงผันกำลังไฟฟ้าแบบบูสต์ในแบบต่าง ๆ รวมทั้งเทคนิคการเพิ่มอัตราขยายแรงดัน การเพิ่มประสิทธิภาพของวงจร และเบรียบเทียบคุณสมบัติเด่นของวงจรรูปแบบต่าง ๆ	ทราบถึงโครงสร้างของวงจรแปลงผันกำลังไฟฟ้าแบบบูสต์ในแบบต่าง ๆ อีกทั้งยังทราบถึงคุณสมบัติเด่นของแต่ละวงจรในด้านต่าง ๆ ได้แก่ ระดับพลังงาน ต้นทุน ความน่าเชื่อถือ ประสิทธิภาพ ความหนาแน่นของพลังงาน น้ำหนัก บูรณาการ และความซับซ้อน
2019	R. Kiguchi, and Y. Nishida	บทความนี้นำเสนอโครงสร้างของวงจรแปลงผันกำลังไฟฟ้าแบบบูสต์เรียงต่อกันสองชั้น รวมถึงนำเสนองานวิเคราะห์ และเบรียบเทียบ กำลังไฟฟ้าสูญเสียของการนำกระแสไฟฟ้าผ่านอุปกรณ์ภายนอกวงจร (Conduction loss) ระหว่างวงจรแปลงผันกำลังไฟฟ้าแบบบูสต์เรียงต่อกันสองชั้น กับวงจรแปลงผันกำลังไฟฟ้าแบบบูสต์ตั้งเดียว	ทราบถึงโครงสร้างของวงจรแปลงผันกำลังไฟฟ้าแบบบูสต์เรียงต่อกันสองชั้น ความสัมพันธ์ระหว่างกำลังไฟฟ้าสูญเสียของการนำกระแสไฟฟ้ากับแรงดันต่อกันคร่อมตัวเก็บประจุชั้นที่ 1 และทราบถึงกำลังไฟฟ้าสูญเสียของ การนำกระแสไฟฟ้าของวงจรแปลงผันกำลังไฟฟ้าแบบบูสต์เรียงต่อกันสองชั้นมีขนาดน้อยกว่างจรแปลงผันกำลังไฟฟ้าแบบบูสต์ตั้งเดียว
2021	A. Balal and F. Shahabi	บทความนี้นำเสนอการเบรียบเทียบรูปแบบโครงสร้างของวงจรแปลงผันกำลังไฟฟ้าแบบบูสต์ทั้งสามแบบ ได้แก่ แบบทบระดับแรงดันกำลังสอง, แบบทบระดับแรงดันกำลังสองที่มีตัวหมนี่ย่วยสองตัว และแบบเรียงต่อกันสองชั้น ในด้านการเพิ่มอัตราการขยายแรงดัน และประสิทธิผล	ทราบถึงโครงสร้างของวงจรแปลงผันกำลังไฟฟ้าแบบบูสต์แบบบูสต์ทั้งสามแบบ เพื่อวิเคราะห์เพื่อให้เห็นภาพรวมในการทำงานและความเหมาะสมของวงจรเหล่านี้สำหรับการใช้งานที่มีการเพิ่มแรงดันสูงในระบบไมโครกริด และทราบถึงข้อดีและข้อเสียของแต่ละโครงสร้าง

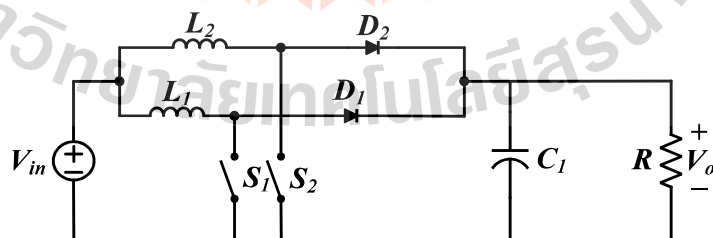
จากการประทัศน์วรรณกรรมที่เกี่ยวข้องกับวงจรแปลงผันกำลังไฟฟ้าแบบบูสต์มีอัตราขยายแรงดันสูงดังตารางที่ 2.1 จะเห็นได้ว่าจากในอดีตมีการพัฒนาโครงสร้างวงจรแปลงผันกำลังไฟฟ้าแบบบูสต์ เริ่มต้นจากการแปลงผันกำลังไฟฟ้าแบบบูสต์ดั้งเดิม และนำไปสู่การพัฒนาเทคนิคการเพิ่มอัตราขยายแรงดันไฟฟ้าหลากหลายรูปแบบ ซึ่งมีรายละเอียดโครงสร้างวงจรสัดสอดต่อไปนี้

1) วงจรแปลงผันกำลังไฟฟ้าแบบบูสต์เรียงต่อ กัน หลา ย ข ั น (Multi-stage cascaded boost converter) เป็นวงจรที่มีการนำวงจรแปลงผันกำลังไฟฟ้าแบบบูสต์ดั้งเดิมมาเรียงต่อ กัน เป็น ข ั น ๆ เพื่อเพิ่มอัตราขยายแรงดันไฟฟ้า โดยวงจร มีความ เค็ น แรง ดั น ไฟฟ้า ที่ ข ั น แ ร ก ค ่ น ข ั ง ต ่ า อ ภ ิ ท ั ง สา น า ร า ท ลด พ ล ง งาน ส ู ญ ล ี ย จ า ก กา ร ท า ง า น ของ ส ว ิ ต ช ์ ซ ึ ง มี โ คร ง สร ว ง ว จ ร ด ั ง ร ู ป ท ี่ 2.1 (Rahavi et al., 2012)



รูปที่ 2.1 วงจรแปลงผันกำลังไฟฟ้าแบบบูสต์เรียงต่อ กัน ส อง ข ั น

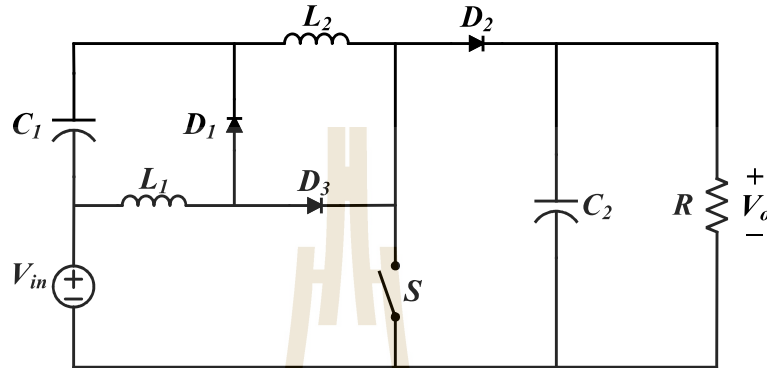
2) วงจรแปลงผันกำลังไฟฟ้าแบบบูสต์อินเทอร์ลีฟ (Interleaved boost converter) เป็น การนำวงจรแปลงผันกำลังไฟฟ้าแบบบูสต์ดั้งเดิมมา เชื่อมต่อ กัน แบบ ข า น า น โดยใช้ แ ห ล ง จ า ย ต ว ก ე บ ประ จ ุ และ โ หล ด ต ว ต า น า น ร ว մ ก ა น ซ ึ ง กา ร ท า ง า น ของ ส ว ิ ต ช ์ จ ะ ม ี ဖ ე ს ท ี่ ต ่ า ก ა ნ ช ে น ว ง จ ร ပ ლ ง ผ ა น გ ა լ ა ง ไฟฟ้าแบบบูสต์อินเทอร์ลีฟสองเฟส ส ว ิ ต ช ์ ต ว ท ี่ 1 มี การ ဖ ე ს ต ა ง ก ა ն 180 օ ง շ ა ก บ ส ว ิ ต ช ์ ต ว ท ี่ 2 เพื่อ ช ာ ย ล ด ค ่ า กา ร က ရ ะ ท ე ื ่ მ օ მ օ ნ გ რ ა დ ა ნ ი ნ ფ უ ต แล ะ แรง ด ა น ე ა რ ტ ფ უ ต ซ ึ ง ม ี โ คร ง สร ว ง ว จ ร ด ั ง ร ู ป ท ี่ 2.2 (Rahavi et al., 2012)



รูปที่ 2.2 วงจรแปลงผันกำลังไฟฟ้าแบบบูสต์อินเทอร์ลีฟสองเฟส

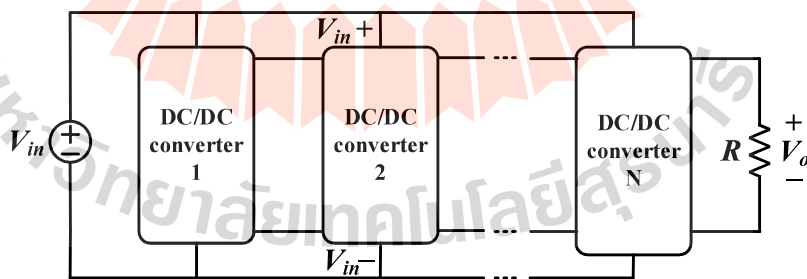
3) วงจรแปลงผันกำลังไฟฟ้าแบบทบ ระ ด ა บ แรง ด ა น გ ა ล ა ง (Quadratic boost converter) เป็น การนำวงจรแปลงผันกำลังไฟฟ้าแบบบูสต์ดั้งเดิมมาเพิ่มอุปกรณ์ ซึ่ง ปร ะ ก օ บ ด ้ ა ว ი დ ი โ დ 3 ต ว ต ว

เห็นได้ว่า 2 ตัว และตัวเก็บประจุ 1 ตัว ดังโครงสร้างรูปที่ 2.3 ซึ่งสามารถเพิ่มอัตราขยายแรงดันไฟฟ้าได้มากขึ้น และลดความคันของแรงดันไฟฟ้าที่ตัวเก็บประจุ อีกทั้งยังช่วยปรับปรุงประสิทธิภาพของวงจรให้ดีขึ้น (Ye and Eric Cheng, 2014)



รูปที่ 2.3 วงจรแปลงผันกำลังไฟฟ้าแบบทบระดับแรงดันกำลังสอง

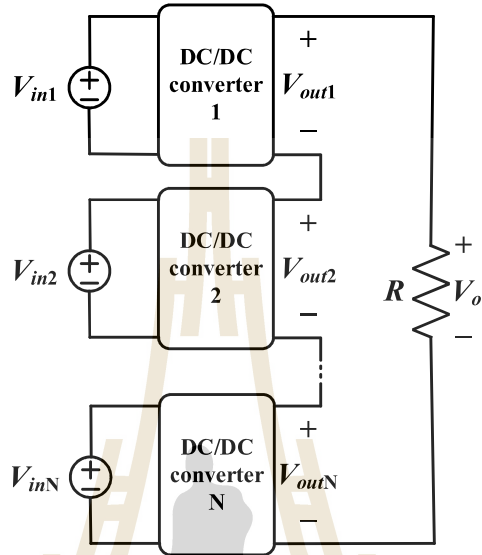
4) วงจรแปลงผันกำลังไฟฟ้าแบบหลายระดับที่มีแหล่งจ่ายเดียว (Multilevel modular switched-capacitor circuit with single DC source) เป็นการนำวงจรแปลงผันกำลังไฟฟ้าแบบบุสต์มาเรียงต่อๆ กัน โดยใช้แหล่งจ่ายเดียวท่านั้น ซึ่งจะมีการควบคุมแรงดันที่ขั้วของวงจรย่อยให้มีระดับแรงดันที่เท่ากัน เพื่อป้องกันการไฟลุกขึ้นกลับของกระแสไฟฟ้า อีกทั้งยังมีตัวเห็นได้ที่เป็นตัวหนี่ยวนำเรโซแนนท์ เพื่อแก้ปัญหาการสวิตช์แบบกระแสศูนย์ ช่วยลดการพุ่งเกินของกระแส และแรงดัน โดยมีโครงสร้างวงจรดังรูปที่ 2.4 (Cao and Peng, 2010)



รูปที่ 2.4 วงจรแปลงผันกำลังไฟฟ้าแบบหลายระดับที่มีแหล่งจ่ายเดียว

5) วงจรแปลงผันกำลังไฟฟ้าแบบหลายระดับที่มีหลายแหล่งจ่าย (Multilevel modular switched-capacitor circuit with multiple DC sources) เป็นการนำวงจรแปลงผันกำลังไฟฟ้าแบบบุสต์เรียงต่อๆ กันแบบอนุกรม โดยที่ในแต่ละวงจร มีแรงดันอินพุตแยก เพื่อเพิ่มอัตราขยายแรงดัน

เอกสารพูดจากการต่ออนุกรรมของแต่ละวงจรอยู่อย่างไรก็ตามการต่อที่มีข้อจำกัด หากวงจรอยู่ในวงจรหนึ่งหยุดการทำงานจะส่งผลให้วงจรที่เหลือทำงานหนัก หรืออาจไม่สามารถทำงานได้ ซึ่งวงจรสังกัดล่ามีโครงสร้างวงจรดังรูปที่ 2.5 (Kashani et al., 2014)



รูปที่ 2.5 วงจรแปลงผันกำลังไฟฟ้าแบบหลายระดับที่มีหลายแหล่งจ่าย

จากการวิจัยในอดีตที่เกี่ยวข้องกับโครงสร้างวงจรแปลงผันกำลังไฟฟ้าแบบบูสต์ พบว่าวงจรแปลงผันกำลังไฟฟ้าแบบบูสต์เรียงต่อกันหลายชั้น มีอัตราขยายแรงดันที่สูง เมื่อเปรียบเทียบกับวงจรแปลงผันกำลังไฟฟ้าแบบบูสต์ดั้งเดิม และแบบทบทวนดันกำลังสอง (Balal and Shahabi, 2021) จึงเหมาะสมสำหรับใช้งานในระบบที่ต้องการอัตราขยายแรงดันที่สูง เช่น ระบบเซลล์แสงอาทิตย์ และระบบเซลล์เชื้อเพลิง ยิ่งไปกว่านั้นเมื่อพิจารณาการสูญเสียพลังงานที่ค่าความต้านทานสมมูลแบบอนุกรรมในระบบกำลังต่ำ (Choudhury and Nayak, 2016) วงจรแปลงผันกำลังไฟฟ้าแบบบูสต์เรียงต่อกันหลายชั้นการสูญเสียพลังงานน้อยกว่าวงจรแปลงผันกำลังไฟฟ้าแบบบูสต์ดั้งเดิม งานวิจัย (Choudhury and Nayak, 2015) ได้เปรียบเทียบอัตราความคื้นของแรงดันไฟฟ้าที่สวิตช์ พบว่า วงจรแปลงผันกำลังไฟฟ้าแบบบูสต์แบบเรียงต่อกันสองชั้นมีความคื้นของแรงดันที่สวิตช์น้อยกว่าวงจรแปลงผันกำลังไฟฟ้าแบบบูสต์แบบทบทวนดันกำลังสอง

อย่างไรก็ตามการทำงานของวงจรแปลงผันกำลังไฟฟ้าแบบเรียงต่อกันหลายชั้นภายใต้สภาวะการทำงานต่าง ๆ ของวงจร เช่น การเปลี่ยนแปลงจุดการทำงาน (Zhang et al., 2017) ความไม่แน่นอนของพารามิเตอร์ การผันแปรของแหล่งจ่ายพลังงานทดแทน (Shoja-Majidabad and Hajizadeh, 2020) ความคื้นของแรงดันไฟฟ้าที่สวิตช์ เสี่ยงภัยของระบบเนื่องจากการทำงานของ

วงจรย่ออยแต่ละขั้นในสภาวะชั่วครู่ (Yang et al., 2009) จำเป็นต้องมีการออกแบบตัวควบคุมที่เหมาะสมเพื่อให้วงจรสามารถจ่ายกำลังไฟฟ้าให้กับโหลดได้อย่างมีประสิทธิผลและมีความคงทนต่อความผิดพร่องแบบสวิตซ์เปิดวงจรให้กับวงจรแปลงผันกำลังไฟฟ้าแบบบูสต์เรียงต่อกันสามขั้น โดยเนื้อหาในส่วนของวงจรแปลงผันกำลังไฟฟ้าแบบบูสต์เรียงต่อกันสามขั้น จะมีการนำเสนอในบทที่ 3 ต่อไป

### 2.3 ผลงานวิจัยที่เกี่ยวข้องกับการควบคุมวงจรแปลงผันกำลังไฟฟ้าแบบบูสต์เรียงต่อกันหลายขั้น

จากการบริทศน์วรรณกรรม และเพื่อศึกษางานวิจัยในอดีตที่เกี่ยวข้องกับการควบคุมวงจรแปลงผันกำลังไฟฟ้าแบบบูสต์ในรูปแบบต่าง ๆ มีรายละเอียดแสดงได้ดังตารางที่ 2.2 โดยจะกล่าวถึงการออกแบบตัวควบคุมในรูปแบบต่าง ๆ สำหรับวงจรแปลงผันกำลังไฟฟ้าแบบบูสต์เรียงต่อกันหลายขั้นดังต่อไปนี้

ตารางที่ 2.2 ผลงานวิจัยที่เกี่ยวข้องกับการควบคุมวงจรแปลงผันกำลังไฟฟ้าแบบบูสต์เรียงต่อกันหลายขั้น

ปีที่ ตีพิมพ์	คณะผู้วิจัย	สาระสำคัญของงานวิจัย	ประโยชน์ที่ได้รับ
2013	R. Haroun, A. El Aroudi, A. Cid- Pastor, and L. Martínez- Salamero	บทความนี้อธิบายเกี่ยวกับวิธีการออกแบบตัวควบคุมใหม่ด้วยการเลื่อน (Sliding mode controller) สำหรับวงจรแปลงผันกำลังไฟฟ้าแบบบูสต์เรียงต่อกันสองขั้น เพื่อควบคุมแรงดันเอาต์พุต	ทราบถึงวิธีการออกแบบตัวควบคุมเมื่อดีไซน์โดยอาศัยเทคนิคการปรับเปลี่ยนแบบบูสต์ เทอร์เซส โดยการพิจารณากระแสที่ไหลผ่านตัวเหนี่ยวนำตัวที่ 1 และแรงดันตกคร่อมตัวเก็บประจุตัวที่ 2 เป็นอินพุตของตัวควบคุม

ตารางที่ 2.2 ผลงานวิจัยที่เกี่ยวข้องกับการควบคุมจรรยาบงั่นกำลังไฟฟ้าแบบบูสต์เรียงต่อกันหลายชั้น (ต่อ)

ปีที่ ตีพิมพ์	คณะผู้วิจัย	สาระสำคัญของงานวิจัย	ประโยชน์ที่ได้รับ
2015	R Haroun, A. El Aroudi, A. Cid-Pastor, G. Garcia, C. Olalla, and L. Martínez-Salamero	บทความนี้อธิบายเกี่ยวกับวิธีการออกแบบการตามรอยกำลังไฟฟ้าสูงสุด (Maximum power point tracking: MPPT) ของแหล่งจ่ายเซลล์แสงอาทิตย์ ร่วมกับตัวควบคุมโหมดการเลื่อน (Sliding mode controller) กับวงจรรยาบงั่นกำลังไฟฟ้าแบบบูสต์เรียงต่อกันสองชั้น เพื่อควบคุมแรงดันเอาร์พุตภายใต้การเปลี่ยนแปลงของแหล่งจ่ายที่มีความแปรผันตามสภาพแวดล้อม	ทราบถึงวิธีการออกแบบตัวควบคุมโหมดการเลื่อน โดยพิจารณาแบบจำลองทางคณิตศาสตร์ของวงจรรยาบงั่นกำลังไฟฟ้าแบบบูสต์เรียงต่อกันสองชั้น ความสัมพันธ์ของกราฟเส้นโค้งคุณลักษณะกระแส และแรงดันแผงเซลล์แสงอาทิตย์ รวมถึงสมการการเลื่อน เพื่อให้ได้โหมดการทำงานต่าง ๆ ของสวิตซ์สำหรับการควบคุมการทำงานของวงจร
2018	S. Khwan-on, and S. Diewsurin	บทความนี้อธิบายเกี่ยวกับวิธีการออกแบบตัวควบคุมพีไอ (PI controller) ร่วมกับเทคนิคการถ่วงน้ำหนักกระแส (Current weight technique) เพื่อใช้สำหรับสำหรับวงจรรยาบงั่นกำลังไฟฟ้าแบบบูสต์เรียงต่อกันสามชั้น ในการควบคุมแรงดันเอาร์พุตภายใต้การเปลี่ยนแปลงจุดการทำงานของแหล่งจ่ายแรงดันต่ำ และโหลดตัวต้านทาน	ทราบถึงวิธีการออกแบบตัวควบคุมพีไอที่ประกอบด้วยลูปแรงดัน และลูปกระแส กระแสอ้างอิงได้จากเอาร์พุตของลูปแรงดัน หลังจากนั้นถูกแบ่งออกเป็นกระแสอ้างอิงสองค่า ด้วยเทคนิคการถ่วงน้ำหนัก และเข้าสู่ลูปกระแสจะได้ค่าวัฏจักรหน้าที่สำหรับสวิตซ์กำลัง โดยสวิตซ์สองตัวแรกจะถูกควบคุมด้วยเอาร์พุตของลูปกระแสที่หนึ่ง ส่วนสวิตซ์ตัวที่สามถูกควบคุมด้วยเอาร์พุตของลูปกระแสที่สอง

ตารางที่ 2.2 ผลงานวิจัยที่เกี่ยวข้องกับการควบคุมวงจรแปลงผันกำลังไฟฟ้าแบบบูสต์เรียงต่อ กันหลาย ขั้น (ต่อ)

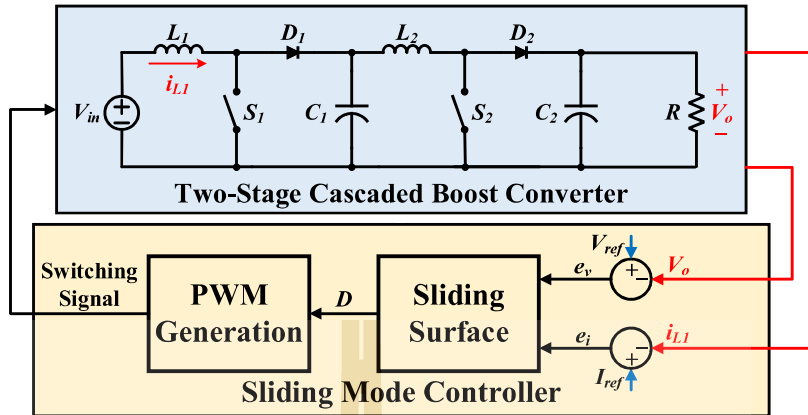
ปีที่ ตีพิมพ์	คณะผู้วิจัย	สาระสำคัญของงานวิจัย	ประโยชน์ที่ได้รับ
2019	M. Moe Lwin	บทความนี้อธิบายเกี่ยวกับวิธีการ ออกแบบตัวควบคุมพื้นที่ (Fuzzy controller) โดยใช้แบบจำลองพื้นที่ รูปแบบ Takagi–Sugeno สำหรับ วงจรแปลงผันกำลังไฟฟ้าแบบบูสต์ เรียงต่อ กันสองขั้น เพื่อควบคุมแรงดัน เอาร์พุต	ทราบถึงวิธีการออกแบบตัว ควบคุมพื้นที่ โดยที่กระบวนการ ของตัวควบคุมประกอบด้วยสอง อินพุตคือผลต่างของแรงดัน และ อัตราการเปลี่ยนแปลงผลต่างของ แรงดัน ส่วนเอาร์พุตเป็นค่าวัด จกรหน้าที่ของสวิตช์สำหรับสวิตช์ ทั้งสองตัว
2020	S. Shoja- Majidabad, and A. Hajizadeh	บทความนี้อธิบายเกี่ยวกับวิธีการ ออกแบบตัวควบคุมรวมศูนย์แบบ โครงข่ายปรับตัว โดยพิจารณาจาก แบบจำลองทางคณิตศาสตร์ของวงจร สำหรับวงจรแปลงผันกำลังไฟฟ้า แบบบูสต์เรียงต่อ กันสองขั้น เพื่อ ควบคุมแรงดันเอาร์พุตภายใต้การ เปลี่ยนแปลงจุดการทำงานของ แหล่งจ่ายแรงดัน และโหลดตัว ต้านทาน	ทราบถึงวิธีการออกแบบตัว ควบคุมรวมศูนย์แบบโครงข่าย ปรับตัวได้ที่ ประกอบด้วยลูป แรงดันที่ได้เอาร์พุตเป็นกระแสน้ำ อ่างอิง และลูปกระแสน้ำที่ได้เอาร์พุต เป็นค่าวัดจกรหน้าที่ของสวิตช์ โดยที่สวิตช์สองตัวนี้จะใช้ตัว ควบคุมแยกกันเพื่อควบคุมแรงดัน และกระแสน้ำในแต่ละขั้น อีกทั้ง ทราบการวิเคราะห์เสถียรภาพโดย ใช้ฟังก์ชันเลี่ยงปุ่มอพ
2020	B M. Alharbi, M. A. Alhomim, and R. A. McCann	บทความนี้อธิบายเกี่ยวกับวิธีการ ออกแบบตัวควบคุมแบบคงทน (Robust controller) สำหรับวงจร แปลงผันกำลังไฟฟ้าแบบบูสต์เรียงต่อ กันสองขั้น เพื่อควบคุมแรงดัน เอาร์พุตภายใต้การเปลี่ยนแปลงจุด การทำงานของแหล่งจ่ายแรงดัน และ โหลดตัวต้านทาน	ทราบถึงวิธีการออกแบบตัว ควบคุมแบบคงทน โดยอาศัย เทคนิคเออนันต์ (H-infinity technique) ซึ่งพิจารณาจาก อสมการเชิงเส้นเมทริกซ์จาก แบบจำลองทางคณิตศาสตร์ของ วงจรแปลงผันกำลังไฟฟ้าแบบบูสต์ เรียงต่อ กันสองขั้น

ตารางที่ 2.2 ผลงานวิจัยที่เกี่ยวข้องกับการควบคุมวงจรแปลงผันกำลังไฟฟ้าแบบบูสต์เรียงต่อกันหลายขั้น (ต่อ)

ปีที่ตีพิมพ์	คณะผู้วิจัย	สาระสำคัญของงานวิจัย	ประโยชน์ที่ได้รับ
2020	N. Kunjittipong, K. Kongkanjana, and S. Khwan-on	บทความนี้อธิบายเกี่ยวกับวิธีการออกแบบตัวควบคุมฟัซซี่ (Fuzzy controller) สำหรับวงจรที่ระดับแรงดันที่มีอัตราขยายแรงดันสูง เพื่อแรงดันเอาต์พุต อีกทั้งยังการเปรียบเทียบกับตัวควบคุมพีไอ (PI controller) ภายใต้สภาวะการเปลี่ยนแปลงจุดการทำงานของแหล่งจ่ายแรงดัน แรงดันอ้างอิง และโหลดตัวต้านทาน	ทราบถึงวิธีการออกแบบตัวควบคุมฟัซซี่ที่มีสองอินพุตประกอบด้วยผลต่างของแรงดันเอาต์พุต และกระแสอ้างอิงที่เกิดจากปริมาณช่องผลต่างของแรงดันเอาต์พุต และได้อาต์พุตของตัวควบคุมฟัซซี่เป็นผลต่างของค่าวัสดุจกรหน้าที่สวิตซ์ เพื่อควบคุมการทำงานของสวิตซ์ในขั้นต่อไป

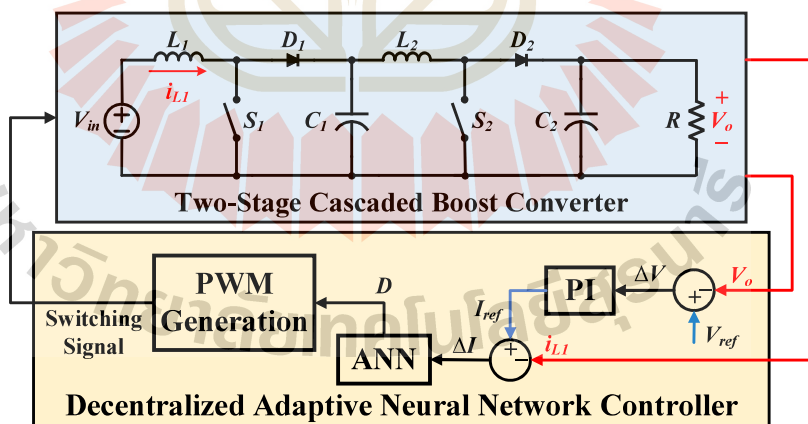
จากปริทศน์วรรณกรรมที่เกี่ยวข้องกับตัวควบคุมวงจรแปลงผันกำลังไฟฟ้าแบบบูสต์เรียงต่อกันหลายขั้น จะเห็นได้ว่าในอดีตได้มีการพัฒนาวิธีการ และแนวทางการออกแบบตัวควบคุมสำหรับควบคุมการทำงานของวงจรหากหลักวิธี โดยส่วนใหญ่จะอาศัยการตรวจวัดค่าแรงดันเอาต์พุต และการตรวจวัดค่ากระแสอินพุต โดยมีวัตถุประสงค์เพื่อควบคุมวงจรแปลงผันกำลังไฟฟ้าแบบบูสต์เรียงต่อกันหลายขั้นให้สามารถเพิ่มและรักษาแรงดันแรงดันเอาต์พุตให้คงที่ตามความต้องการ ภายใต้การเปลี่ยนแปลงของแหล่งจ่ายแรงดัน แรงดันเอาต์พุตอ้างอิง และโหลดตัวต้านทาน ซึ่งมีรายละเอียดแสดงได้ดังนี้

1) ตัวควบคุมโหมดการเลื่อน (Sliding mode controller) การควบคุมนี้มีแหล่งจ่ายแรงดันเป็นแพลต์แสลงอาทิตย์ ซึ่งการควบคุมโหมดการเลื่อนนี้ทำงานร่วมกับวิธีการตามรอยกำลังไฟฟ้าสูงสุด (Maximum power point tracking: MPPT) โดยในการออกแบบตัวควบคุมโหมดการเลื่อนจะพิจารณาแบบจำลองทางคณิตศาสตร์ของวงจร เพื่อให้ได้ความสัมพันธ์ของกราฟพื้นผิวการเลื่อน (Sliding surface) ในโหมดการทำงานต่าง ๆ ของสวิตซ์สำหรับการควบคุมการทำงานของวงจร ซึ่งตัวควบคุมดังกล่าวมีโครงสร้างวงจรดังรูปที่ 2.6 (Haroun et al., 2013)



รูปที่ 2.6 โครงสร้างตัวควบคุมโหมดการเลื่อน

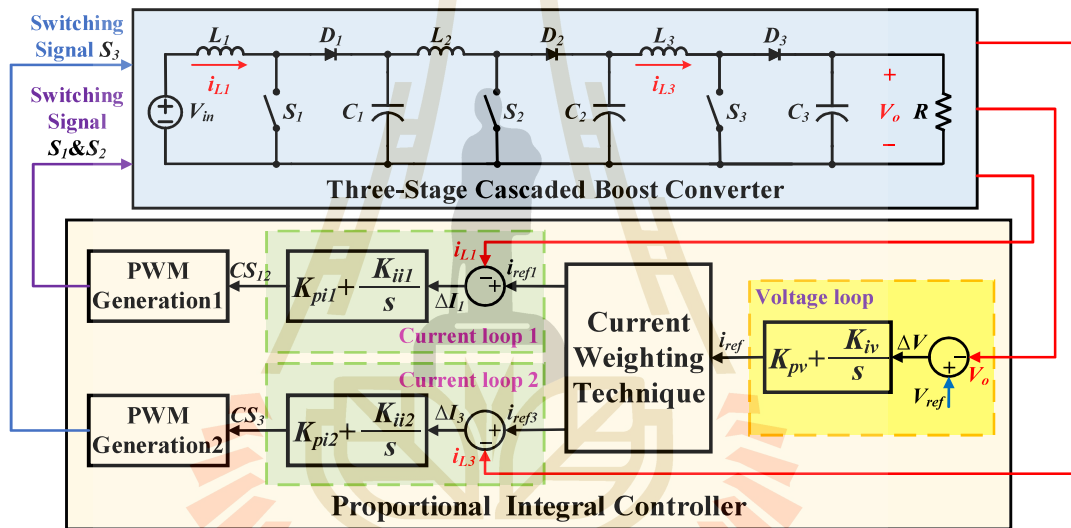
2) ตัวควบคุมรวมศูนย์แบบโคงข่ายปรับตัวได้ (Decentralized adaptive neural network controller) ในการออกแบบตัวควบคุมรวมศูนย์แบบโคงข่ายปรับตัวได้จะพิจารณาแบบจำลองทางคณิตศาสตร์ของวงจรแปลงผันกำลังไฟฟ้าแบบบุสต์เรียงต่อกันสองชั้น เพื่อใช้ออกแบบค่าพารามิเตอร์ของตัวควบคุมพีไอ หลังจากนั้นเอาร์พุตที่ได้จากการควบคุมพีไอจะเข้าสู่กระบวนการรวมศูนย์แบบโคงข่ายปรับตัวได้ เพื่อควบคุมการทำงานของสวิตช์ให้เหมาะสมกับการเปลี่ยนแปลงจุดการทำงานของวงจร ซึ่งตัวควบคุมดังกล่าวมีโครงสร้างดังรูปที่ 2.7 (Shoja-Majidabad and Hajizadeh, 2020)



รูปที่ 2.7 โครงสร้างตัวควบคุมรวมศูนย์แบบโคงข่ายปรับตัวได้

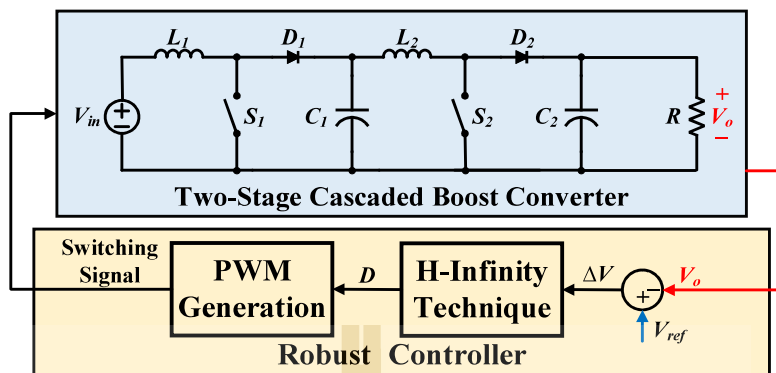
3) ตัวควบคุมพีไอ (PI controller) การควบคุมนี้เป็นการทำงานร่วมกันระหว่างการควบคุมแบบสัดส่วน (Proportional control) และการควบคุมแบบปริพันธ์ (Integral Control) เพื่อควบคุมแรงดันเอาร์พุตให้มีค่าตามต้องการ ซึ่งกระบวนการเริ่มจากการวัดค่าแรงดันเอาร์พุตของระบบมา

เปรียบเทียบกับค่าแรงดันอ้างอิง จะได้ผลต่างของแรงดันเข้าสู่ส่วนของลูปแรงดันของตัวควบคุมพีไอ และได้อเเอร์พุตเป็นกระแสอ้างอิง หลังจากนั้นกระแสอ้างอิงถูกแปลงออกเป็นกระแสอ้างอิงสองค่า โดยอาศัยเทคนิคการถ่วงน้ำหนัก เพื่อปรับคุณค่ากระแสอ้างอิงให้เหมาะสมกับพิกัดกระแสที่ไฟล์ผ่านตัวเหนี่ยวนำตัวที่ 1 และ 3 ในวงจรแปลงผันกำลังไฟฟ้าแบบบูสต์เรียงต่อ กันสามชั้น หลังจากนั้นกระแสอ้างอิงทั้งสองจะเข้าสู่ลูปกระแสเพื่อได้ส่องสัญญาณการควบคุมเป็นເອົາພຸດ ซึ่งประกอบด้วยสัญญาณการควบคุมสวิตช์สองตัวแรก ( $CS_{12}$ ) ที่ถูกควบคุมด้วยลูปกระแสที่ 1 และสัญญาณการควบคุมสวิตช์ตัวที่ 3 ( $CS_3$ ) ที่ถูกควบคุมด้วยลูปกระแสที่ 2 ซึ่งตัวควบคุมดังกล่าวมีโครงสร้างดังรูปที่ 2.8 (Khwan-on and Diewsurin, 2018) วิธีการควบคุมพีไออนี้จะใช้ตัวตรวจสอบกระแสสำหรับวัดค่ากระแสที่ไฟล์ผ่านตัวเหนี่ยวนำตัวแรก และตัวสุดท้ายเท่านั้น



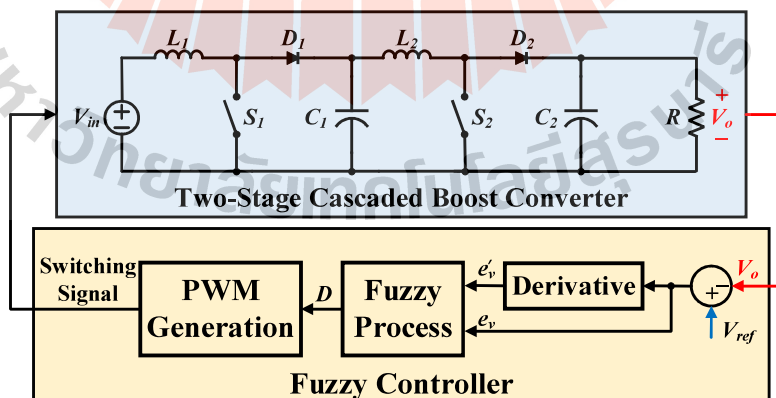
รูปที่ 2.8 โครงสร้างตัวควบคุมพีไอร่วมกับเทคนิคการถ่วงน้ำหนัก

4) ตัวควบคุมแบบคงที่ (Robust controller) การออกแบบตัวควบคุมนี้จะอาศัยเทคนิค เอกอนันต์ ( $H\text{-infinity}$  technique) โดยอ้างอิงจากสมการเชิงเส้นเมทริกซ์ (Linear matrix inequality) ที่พิจารณาจากแบบจำลองทางคณิตศาสตร์ของวงจรแปลงผันกำลังไฟฟ้าแบบบูสต์เรียงต่อ กันสองชั้น เพื่อควบคุมการทำงานของสวิตช์ทั้งสองให้เหมาะสมสมเมื่อมีการเปลี่ยนแปลงจุดการทำงานของวงจร ซึ่งตัวควบคุมดังกล่าวมีโครงสร้างจะดังรูปที่ 2.9 (Alharbi et al., 2020)



รูปที่ 2.9 โครงสร้างตัวควบคุมแบบคงทัน

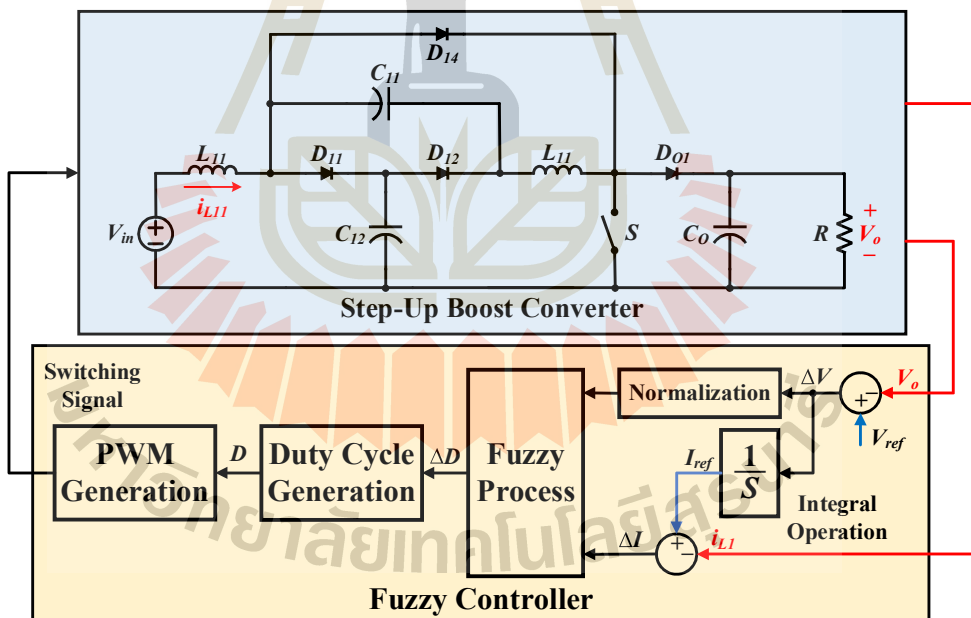
5) ตัวควบคุมคลุมเครือหรือฟัซซี (Fuzzy controller) เป็นหนึ่งในตัวควบคุมแบบปัญญาประดิษฐ์ โดยอาศัยประสบการณ์ ความรู้ และความเข้าใจของผู้สังเกตการณ์ในการออกแบบตัวควบคุม โดยไม่จำเป็นต้องใช้แบบจำลองทางคณิตศาสตร์ของวงจร ซึ่งจะมีความคลุมเครือในความหมายของปริมาณเมื่อพิจารณาในเชิงปริมาณตัวเลข แต่จะอาศัยกระบวนการฟัซซี (Fuzzy process) ประกอบด้วย การฟัซซิไฟ (Fuzzification) การอนุมานฟัซซี (Fuzzy inference) และการดีฟัซซิไฟ (Defuzzification) ตัวควบคุมฟัซซีจะดำเนินการตามกลวิธีที่กำหนดโดยฐานกฎ (Rule base) เพื่อให้ได้ค่าเอาต์พุตที่เหมาะสมและสอดคล้องตามที่ผู้สังเกตการณ์กำหนดไว้ ตัวควบคุมแบบคลุมเครือหรือฟัซซีสามารถนำมาใช้ควบคุมการทำงานของระบบที่มีความซับซ้อน เพื่อลดความซับซ้อนในการหาสมการทางคณิตศาสตร์ที่ไม่เป็นเชิงเส้น ซึ่งตัวควบคุมดังกล่าวมีโครงสร้างดังรูปที่ 2.10 (Lwin, 2019)



รูปที่ 2.10 โครงสร้างตัวควบคุมฟัซซีสำหรับวงจรแปลงผันกำลังไฟฟ้าแบบบูสต์เรียงต่อกันสองขั้น

อย่างไรก็ตามตัวควบคุมฟซซีแสดงดังรูปที่ 2.10 อาศัยการวัดค่าแรงดันเอาต์พุตเพียงค่าเดียวในการควบคุมการทำงานของวงจร จึงให้ประสิทธิผลในการควบคุมที่น้อยกว่าตัวควบคุมฟซซีที่อาศัยทั้งค่ากระแสอินพุตร่วมกับแรงดันเอาต์พุตเพื่อเป็นค่าอินพุตให้กับตัวควบคุม เนื่องจากผลกระทบของของแรงดันเอาต์พุตที่ซ้ำกับกระแสอินพุต เมื่อมีเปลี่ยนจุดการทำงานของวงจร

6) ตัวควบคุมฟซซีสำหรับสำหรับวงจรทบทะดับแรงดันที่มีอัตราขยายแรงดันสูง โดยกระบวนการควบคุมเริ่มจากการวัดค่าแรงดันเอาต์พุตของวงจรมาเปรียบเทียบกับค่าแรงดันอ้างอิง จะได้ผลต่างของแรงดันเข้าสู่กระบวนการบริพันธ์ (Integral operation) และได้อเอาต์พุตเป็นกระแสอ้างอิง หลังจากนั้นกระแสอ้างอิงถูกลบด้วยค่ากระแสอินพุตเพื่อให้ได้ผลต่างของกระแส ก่อนนำเข้าสู่กระบวนการฟซซีได้ดำเนินการปรับค่าสเกล หรือเรียกว่าการนอร์มัลไล์ซ (Normalization) เพื่อปรับขนาดค่าความผิดพลาดของแรงดัน ให้อยู่ภายใต้ขอบเขตการทำงานที่การควบคุมฟซซีที่พัฒนาขึ้นสามารถทำงานได้อย่างครอบคลุมและเหมาะสม เอาต์พุตของตัวควบคุมฟซซีเป็นการเปลี่ยนแปลงของค่าวัสดุจักรหน้าที่สวิตช์ เพื่อควบคุมการทำงานของสวิตช์ของวงจร ซึ่งตัวควบคุมดังกล่าวมีโครงสร้างดังรูปที่ 2.11 (Kunjittipong et al., 2020)



รูปที่ 2.11 โครงสร้างตัวควบคุมฟซซีสำหรับวงจรทบทะดับแรงดันที่มีอัตราขยายแรงดันสูง

วงจรแปลงผันกำลังไฟฟ้าแบบเรียงต่อ กันสามขั้น มีความซับซ้อน รวมถึงสภาพการทำงานต่าง ๆ ของวงจรที่ทำให้การทำงานของวงจรไม่เสถียร เช่น การเปลี่ยนแปลงจุดการทำงาน ความไม่แน่นอนของพารามิเตอร์ การผันแปรของแหล่งจ่ายพลังงาน ความเค้นของแรงดันไฟฟ้าที่สวิตช์

เสถียรภาพของระบบเนื่องจากการทำงานของวงจรย่อยแต่ละขั้นในสภาพะชั่วครู่ ดังนั้นการออกแบบระบบควบคุมที่เหมาะสมจึงมีความสำคัญอย่างยิ่ง เพื่อให้วงจรสามารถจ่ายกำลังไฟฟ้าให้กับโหลดได้อย่างคงที่และมีประสิทธิผล แม้ในสภาพะที่มีการเปลี่ยนแปลงจุดการทำงานของวงจร การควบคุมการทำงานจะเปลี่ยนผันกำลังไฟฟ้าแบบบูสต์เรียงต่อกันสามขั้น ได้แก่ งานวิจัย (Khwan-on and Diewsurin, 2018) ได้พัฒนาตัวควบคุมพีไอสำหรับวงจรเปลี่ยนผันกำลังไฟฟ้าแบบบูสต์เรียงต่อกันสามขั้นที่ประกอบด้วยลูปแรงดันภายนอกหนึ่งลูป ลูปกระแสภายในสองลูป โดยสามารถควบคุมแรงดันเอกสารพุตได้อย่างน่าพอใจภายใต้การเปลี่ยนแปลงจุดการทำงาน ทั้งนี้การออกแบบตัวควบคุมพีไอสำหรับลูปแรงดัน และลูปกระแสจะอาศัยการประมาณค่าที่ใช้แบบจำลองทางคณิตศาสตร์ของวงจร แปลงผันกำลังไฟฟ้าแบบบูสต์ดังเดิม นอกจากนี้เพื่อให้ได้กระแสอ้างอิงที่เหมาะสมสำหรับลูปกระแส ทั้งสองลูป จำเป็นต้องอาศัยวิธีการถ่วงน้ำหนักกระแส ซึ่งต้องปรับจูนค่าอย่างเหมาะสมเพื่อทำให้วงจรสามารถจ่ายกำลังไฟฟ้าให้กับโหลดได้อย่างเหมาะสม การออกแบบตัวควบคุมพีไออิกริชันนิ่งสำหรับวงจรเปลี่ยนผันกำลังไฟฟ้าแบบบูสต์เรียงต่อกันสองขั้นในงานวิจัย (El Aroudi et al., 2016) ได้พัฒนาตัวควบคุมพีไอสำหรับวงจรเปลี่ยนผันกำลังไฟฟ้าแบบบูสต์เรียงต่อกันสองขั้นตัวที่สามารถควบคุมการทำงานของวงจรได้อย่างมีประสิทธิผล อิกริชันนิ่งสามารถลดปัญหาการขาดเสถียรภาพของระบบเนื่องจากการทำงานของวงจรย่อยแต่ละขั้นในสภาพะชั่วครู่ อย่างไรก็ตามการออกแบบตัวควบคุมนี้ต้องการกระแทกที่แหล่งผ่านตัวเหนี่ยววนิ แล้วแรงดันไฟฟ้าตกลงร่วมตัวเก็บประจุในแต่ละขั้น ทำให้ต้องใช้ตัวตรวจจับกระแสและตัวตรวจจับแรงดันเพิ่มขึ้น งานวิจัย (Karamanakos et al., 2013) นำเสนอการควบคุมแบบทำนาย (Model predictive control) ซึ่งได้รับความสนใจเพิ่มขึ้น เนื่องจากสามารถจัดการกับความไม่แน่นอน ทำให้วงจรจ่ายกำลังไฟฟ้าให้กับโหลดได้อย่างเหมาะสม แต่มีข้อจำกัดด้านการประมวลผลที่สูงขึ้น ตัวควบคุมโดยการเลื่อน (Sliding mode controller) สำหรับวงจรเปลี่ยนผันกำลังไฟฟ้าแบบบูสต์เรียงต่อกันสองในงานวิจัย (Haroun et al., 2013) และ (Haroun et al., 2014) พบร่วมกับตัวควบคุมโดยการเลื่อนที่ใช้กับวงจร สามารถทำงานได้แม้ในสภาพะที่มีการรบกวนและความไม่แน่นอน อย่างไรก็ตามหากออกแบบตัวควบคุมโดยการเลื่อนโดยใช้การประมาณค่าพารามิเตอร์ในวงจรจะทำให้ประสิทธิผลของตัวควบคุมลดลง ดังนั้นเพื่อออกแบบตัวควบคุมใหม่ด้วยการเลื่อนให้มีประสิทธิภาพสูงสุด จึงจำเป็นต้องเข้าใจขอบเขตของความไม่แน่นอนที่อาจเกิดขึ้น นอกจากนี้ยังมีตัวควบคุมเทคนิคอื่น ๆ สำหรับวงจรเปลี่ยนผันกำลังไฟฟ้าแบบบูสต์ ได้แก่ การสังเคราะห์แบบไมโคร ( $\mu$ -synthesis) (Ounis and Goléa, 2015) การควบคุมสังเกตการแบบไม่มีเป็นเชิงเส้น (Nonlinear observation control) (Cimini et al., 2017) การควบคุมแบบปรับตัว (Adaptive control) (Johnson et al., 2021) และการควบคุมแบบคงทน (Robust control)

(Alharbi et al., 2020) and (Gkizas, 2021) ซึ่งตัวควบคุมเหล่านี้สามารถควบคุมการทำงานของวงจรเมื่อมีการเปลี่ยนแปลงจุดการทำงานของวงจรของ ระดับแรงดันของแหล่งจ่ายอินพุต และการเปลี่ยนแปลงโหลด อย่างไรก็ตามตัวควบคุมเหล่านี้จำเป็นต้องอาศัยแบบจำลองทางคณิตศาสตร์ที่ถูกต้อง โดยประสิทธิผลของตัวควบคุมจะลดลงหากแบบจำลองทางคณิตศาสตร์ที่ใช้ในการออกแบบเกิดจากการประมาณค่าหรือไม่ถูกต้อง ทั้งนี้หากวงจรที่พิจารณา มีความซับซ้อนมากจะส่งผลให้การหาแบบจำลองทางคณิตศาสตร์มีความซับซ้อนมากตามไปด้วย

การควบคุมคลุมเครื่องหรือฟัชชี (Fuzzy controller) ช่วยลดข้อจำกัดด้านแบบจำลองทางคณิตศาสตร์ที่มีความซับซ้อน เนื่องจากการออกแบบตัวควบคุมแบบฟัชชีไม่จำเป็นต้องใช้แบบจำลองทางคณิตศาสตร์ แต่อาศัยความเข้าใจเกี่ยวกับพฤติกรรมของวงจรเป็นอย่างดี โดยดำเนินการในรูปแบบของกฎการควบคุมที่มนุษย์สามารถเข้าใจได้ การใช้ตัวควบคุมฟัชชีที่ออกแบบอย่างเหมาะสม จะสามารถควบคุมการทำงานของวงจรได้อย่างมีประสิทธิผลเมื่อมีการเปลี่ยนแปลงจุดการทำงานของวงจร ดังนั้นตัวควบคุมฟัชชีจึงเหมาะสมสำหรับการควบคุมวงจรแปลงผันกำลังไฟฟ้าแบบบูสต์เรียงต่อกันหลายขั้น ซึ่งมีแบบจำลองทางคณิตศาสตร์ที่ซับซ้อนซับซ้อน การพัฒนาตัวควบคุมฟัชชีสำหรับวงจรแปลงผันกำลังไฟฟ้าแบบบูสต์เรียงต่อกันสามขั้นจะแสดงรายละเอียดในบทต่อไป

## 2.4 ผลงานวิจัยที่เกี่ยวข้องกับวงจรแปลงผันกำลังไฟฟ้าที่มีความคงทนต่อความผิดพร่อง

ลำดับต่อมาเป็นการศึกษาค้นคว้างานวิจัยที่เกี่ยวข้องกับวงจรแปลงผันกำลังไฟฟ้าที่มีความคงทนต่อความผิดพร่อง ซึ่งมีรายละเอียดแสดงได้ดังตารางที่ 2.3 โดยจะกล่าวถึงการสร้างความคงทนต่อความผิดพร่องให้กับวงจรแปลงผันกำลังไฟฟ้ารูปแบบต่าง ๆ รวมถึง การตรวจสอบความผิดพร่องและการระบุตำแหน่งความผิดพร่อง ซึ่งข้อมูลจากการประทับศ้นวารณกรรมในหัวข้อนี้ เป็นพื้นฐานสำคัญในการพัฒนางานวิจัยต่อไปในอนาคต

ตารางที่ 2.3 ผลงานวิจัยที่เกี่ยวข้องกับวงจรแปลงผันกำลังไฟฟ้าที่มีความคงทนต่อความผิดพร่อง และการตรวจจับความผิดพร่อง

ปีที่ ตีพิมพ์	คณะผู้วิจัย	สาระสำคัญของงานวิจัย	ประโยชน์ที่ได้รับ
2015	E. Jamshidpour, P. Poure, and S. Saadate	บทความนี้ อธิบายเกี่ยวกับวิธีการตรวจจับความผิดพร่องแบบสวิตซ์เปิดวงจร (Open-circuit fault) และความผิดพร่องแบบลัดวงจร (Short-circuit fault) สำหรับวงจรแปลงผันกำลังไฟฟ้าแบบบุสต์ ดังเดิม โดยอาศัยอุปกรณ์โลจิกแบบโปรแกรม (Field programmable gate array)	ทราบถึงวิธีการตรวจจับความผิดพร่อง ซึ่งพิจารณาจากความซับซ้อนของกระแสที่ไหลผ่านตัวเหนี่ยวนำ ในช่วงการทำงานของสวิตซ์ปิด-เปิด (ON-OFF) วิธีการตรวจจับจะใช้เทคนิคสเตทแมชชีน (State machine) เพื่อบอกสถานะการทำงานของวงจรแบบเป็นวัฏจักร เมื่อความซับซ้อนกระแสที่ไหลผ่านตัวเหนี่ยวนำไม่ตรงตามช่วงการทำงานของสวิตซ์ จะแสดงสถานะความผิดพร่องที่เกิดขึ้น
2017	L. Li, S. X. Ding, J. Qiu, Y. Yang, and D. Xu	บทความนี้ อธิบายเกี่ยวกับวิธีการตรวจจับความผิดพร่องของจากผู้สังเกตการณ์ โดยใช้แบบจำลองฟuzzel โลจิกรูปแบบ Takagi-Sugeno สำหรับระบบที่ว่าไปที่ไม่เป็นเชิงเส้น กรณีศึกษาจะพิจารณาเครื่องทำความร้อนลังกานอย่างต่อเนื่อง (Continuous stirred tank heater: CSTH) โดยอาศัย Residual generator ที่พิจารณาจากสภาพการทำงานที่เหมาะสมของระบบ	ทราบถึงวิธีการตรวจจับความผิดพร่อง ในกระบวนการทำงานของเครื่องทำความร้อนลังกาน เมื่อความผิดพร่อง โดยใช้แบบจำลองฟuzzel รูปแบบ Takagi-Sugeno เพื่อออกแบบค่าฟังก์ชันสมาชิก (Membership function) ที่เกิดจากการสังเกตการณ์ ระดับของน้ำ และอุณหภูมิของน้ำ ซึ่งจะอาศัยการเปรียบเทียบระหว่างค่าเกณฑ์ (Threshold) และฟังก์ชันการประเมิน (Evaluation function) เพื่อแสดงสถานะความผิดพร่อง

ตารางที่ 2.3 ผลงานวิจัยที่เกี่ยวข้องกับวงจรแปลงผันกำลังไฟฟ้าที่มีความคงทนต่อความผิดพร่อง และการตรวจจับความผิดพร่อง (ต่อ)

ปีที่ ตีพิมพ์	คณะผู้วิจัย	สาระสำคัญของงานวิจัย	ประโยชน์ที่ได้รับ
2017	M. Lester F. Padilla, S. Jenson C. Lao, R. G. Baldovino, A. A. Bandala, and E. B. Dadios	บทความนี้อธิบายเกี่ยวกับวิธีการตรวจจับความผิดพร่อง และการสร้างความคงทนต่อความผิดพร่องภายในระบบอากาศยานไร้คนขับ หรือยูเอฟอี (Unmanned Aerial Vehicle: UAV) โดยอาศัยแบบจำลองฟัซซีโลจิก (Fuzzy logic model)	ทราบถึงวิธีการตรวจจับความผิดพร่องโดยใช้แบบจำลองฟัซซี ชึ่งอาศัยค่าเปอร์เซ็นต์แบตเตอรี่ และระดับความสามารถในการบินเป็นฟังก์ชันสมาชิกอินพุต ส่วนฟังก์ชันสมาชิก เออาต์ พุต เป็นระดับความสามารถในการทำการกิจ เออาต์พุตจะเป็นคำสั่งการดำเนินการต่อและยกเลิกการทำภารกิจ
2018	S. Siouane, S. Jovanović, and P. Poure	บทความนี้อธิบายเกี่ยวกับวิธีการตรวจจับความผิดพร่อง และการสร้างความคงทนต่อความผิดพร่องสำหรับวงจรแปลงผันกำลังไฟฟ้าที่บรรดับแรงดัน และลดระดับแรงดันที่เรียกว่าต่อ กัน เมื่อเกิดความผิดพร่องขึ้นที่ทรานซิสเตอร์ ทั้งแบบเปิดวงจร และแบบลัดวงจร	ทราบถึงวิธีการตรวจจับความผิดพร่อง โดยพิจารณาจากความซับกระแศที่ให้ผลผ่านตัวหนี่ยวนำ และการสร้างความคงทนต่อความผิดพร่องสำหรับวงจร หากสวิตซ์ได้สวิตซ์หนึ่งเกิดความผิดพร่องแบบสวิตซ์เปิดวงจร จะสั่งให้สวิตซ์เสริมเดี่ยวร่วมกับไดโอดสองตัวทำงานแทน
2018	E. Jamshidpour, P. Poure, and S. Saadate	บทความนี้อธิบายเกี่ยวกับวิธีการตรวจจับความผิดพร่องทั้งแบบเปิดวงจร และแบบลัดวงจร ของวงจรแปลงผันกำลังไฟฟ้า กระแสตรงเป็นกระแสตรงที่นำมาต่อเรียงกันสองขั้น ภายใต้การควบคุมแบบซิงโครนัส (Synchronous control)	ทราบถึงวิธีการตรวจจับความผิดพร่อง โดยพิจารณาจากรูปคลื่นกระแศที่ให้ผลผ่านตัวหนี่ยวนำ และรูปแบบสัญญาณการทำงานของสวิตซ์ โดยเมื่อสวิตซ์มีสถานะนำกระแส (ON) กระแศที่ให้ผลผ่านตัวหนี่ยวนำจะเพิ่มขึ้น และเมื่อสวิตซ์มีสถานะหยุดนำกระแส (OFF) กระแศที่ให้ผลผ่านตัวหนี่ยวนำจะลดลง

ตารางที่ 2.3 ผลงานวิจัยที่เกี่ยวข้องกับวงจรแปลงผันกำลังไฟฟ้าที่มีความคงทนต่อความผิดพร่อง และการตรวจจับความผิดพร่อง (ต่อ)

ปีที่ ตีพิมพ์	คณะผู้วิจัย	สาระสำคัญของงานวิจัย	ประโยชน์ที่ได้รับ
2018	S. Khwan-on, and S. Diewsurin	บทความนี้อธิบายเกี่ยวกับวิธีการตรวจจับความผิดพร่องแบบสวิตช์เปิดวงจรที่สวิตช์ทั้งสามตัว ภายในวงจรแปลงผันกำลังไฟฟ้าแบบบูสต์เรียงต่อกันสามขั้น ภายใต้การควบคุมพื้นที่ร่วมกับเทคนิคการถ่วงน้ำหนักของกระแส ที่ทำหน้าที่ควบคุมแรงดันตามแรงดันที่ต้องการ	ทราบถึงวิธีการตรวจจับความผิดพร่องแบบสวิตช์เปิดวงจร โดยใช้การสร้างเงื่อนไขเหตุการณ์ (If-Else condition) จ า ก กา ร สังเกตการณ์การทำงานของวงจรโดยพิจารณาจากค่าวัสดุกรหน้าที่สวิตช์ และกระแสท์ให้ผลผ่านตัวหนี่ยวนำตัวที่ 1 และ 3
2019	T. Kim, H. Lee, and S. Kwak	บทความนี้อธิบายเกี่ยวกับวิธีการตรวจจับความผิดพร่อง และการสร้างความคงทนต่อความผิดพร่องแบบสวิตช์เปิดวงจร และการควบคุมแบบชดเชย (Compensated control) ของวงจรแปลงผันกำลังไฟฟ้าแบบบูสต์ต่อกับวงจรแปลงผันกำลังไฟฟ้าแบบสองทิศทาง ซึ่งสามารถนำไปใช้กับแหล่งจ่ายได้หลายชนิด รวมถึงระบบจัดเก็บพลังงาน	ทราบถึงวิธีการตรวจจับความผิดพร่อง โดยอาศัยดัชนีการตรวจจับความผิดพร่อง (Fault detection index) ที่ได้จากการกระแสท์ให้ผลผ่านตัวหนี่ยวนำเพื่อประยุบเทียบหาความผิดพร่องที่เกิดขึ้น อีกทั้งการเปลี่ยนตำแหน่งได้อด เมื่อเกิดความผิดพร่องจะอาศัยวิธีการควบคุมสวิตช์แบบสมมูลและการสวิตช์ (Mixed switching strategy) เพื่อสร้างความคงทนต่อความผิดพร่อง เพื่อให้วงจรกลับมาทำงานได้ภายใต้สภาพความผิดพร่อง

ตารางที่ 2.3 ผลงานวิจัยที่เกี่ยวข้องกับวงจรแปลงผันกำลังไฟฟ้าที่มีความคงทนต่อความผิดพร่อง และการตรวจจับความผิดพร่อง (ต่อ)

ปีที่ ตีพิมพ์	คณานักวิจัย	สาระสำคัญของงานวิจัย	ประโยชน์ที่ได้รับ
2020	S. Kumar, and B. Singh Rajpurohit	บทความนี้อธิบายเกี่ยวกับวิธีการสร้างความคงทนต่อความผิดพร่องสำหรับวงจร โดยใช้สวิตช์สองตัวขนาดเล็กเพื่อลดค่ากระแสที่แหล่งผ่านสวิตช์โดยมีการสั่งการทำงานของสวิตช์ผ่านตัวควบคุม หากสวิตช์ตัวใดตัวหนึ่งเกิดความผิดพร่อง ตัวควบคุมจะสั่งให้อีกสวิตช์ทำงานแทนเพื่อควบคุมแรงดันตามแรงดันอ้างอิง	ทราบถึงวิธีการออกแบบการสร้างความคงทนต่อความผิดพร่องสำหรับวงจร โดยใช้สวิตช์สองตัวขนาดเล็กเพื่อลดค่ากระแสที่แหล่งผ่านสวิตช์โดยมีการสั่งการทำงานของสวิตช์ผ่านตัวควบคุม หากสวิตช์ตัวใดตัวหนึ่งเกิดความผิดพร่อง ตัวควบคุมจะสั่งให้อีกสวิตช์ทำงานแทนเพื่อควบคุมแรงดันตามแรงดันอ้างอิง

ส่วนประกอบต่าง ๆ ของวงจรแปลงผันกำลังไฟฟ้าแบบบูสต์อาจเกิดการผิดพร่องได้ ส่วนประกอบที่มีโอกาสเกิดความผิดพร่องมากที่สุดคือสวิตช์กำลัง โดย 21% ของความผิดพร่องของวงจรแปลงผันกำลังไฟฟ้าทั้งหมดเป็นความผิดพร่องที่สวิตช์กำลัง (Brunson et all., 2014) ทั้งนี้ ความผิดพร่องที่เกิดขึ้นที่สวิตช์กำลัง ได้แก่ สวิตช์เปิดวงจร (Open-circuit fault : OCF) และสวิตช์ลัดวงจร (Short-circuit fault : SCF) โดยได้มีการพัฒนาวิธีการตรวจจับความผิดพร่องที่เกิดขึ้นในสวิตช์กำลังมากมาย โดยส่วนใหญ่จะอาศัยการตรวจวัดค่ากระแสและการตรวจวัดค่าแรงดันของวงจร ในสภาวะการทำงานปกติและสังเกตความผิดปกติเมื่อเกิดความผิดพร่อง และนำความผิดปกติดังกล่าวมาสร้างเงื่อนไขในการตรวจจับความผิดพร่อง

ตัวอย่างผลงานวิจัยที่เกี่ยวข้องกับการตรวจจับความผิดพร่องแบบสวิตช์เปิดวงจร โดยอาศัยกระแสอินพุตแสดงตัวต่อไปนี้ งานวิจัย (Jamshidpour et all., 2015) นำเสนอการตรวจจับความผิดพร่องที่รวดเร็ว โดยใช้เทคนิคสเตทแมชชีน (State machine) ซึ่งอาศัยสัญญาณรูปทรงในอุดมคติของกระแสที่แหล่งผ่านตัวเหนี่ยวนำ เปรียบเทียบกับสัญญาณจากกระแสที่แหล่งผ่านกระแสอินพุตที่ใช้ในตัวควบคุมวงจรแปลงผันกำลังไฟฟ้าแบบบูสต์ในระบบไฟฟ้าพลังงานแสงอาทิตย์ อีกทั้งงานวิจัย (Shahbazi et all., 2012) ได้นำเสนอการตรวจจับความผิดพร่องสองระบบที่ทำงานร่วมกันสำหรับวงจรแปลงผันกำลังไฟฟ้าแบบบูสต์ โดยใช้ความชันของกระแสที่แหล่งผ่านตัวเหนี่ยวนำ เพื่อ

เปรียบเทียบกับความซันในอุดมคติในช่วงการทำงานของสวิตซ์ ระบบย่อยการตรวจจับความผิดพร่องสองระบบที่ทำงานแบบขนาดกันแบบไฮบริดในอุปกรณ์โลจิกแบบโปรแกรมได้ (Field programmable gate array: FPGA) และวิธีการทำนาย (Predictive strategy) ได้รับการพัฒนาเพื่อการตรวจจับความผิดพร่องในงานวิจัย (Aravind Balaji et all., 2023) จะอาศัยความแปรผันของขนาดกระแสงไฟฟ้าที่เหล่านั้นตัวหนึ่งนาน หากกระแสงเกินระดับเกณฑ์ที่กำหนดจะแสดงสถานะความผิดพร่องที่เกิดขึ้น

นอกจากนี้กระบวนการตรวจจับความผิดพร่องที่อาศัยแรงดันไฟฟ้าของวงจรแปลงผันกำลังไฟฟ้าแบบบูสต์ได้นำเสนอในงานวิจัยดังต่อไปนี้ งานวิจัย (Jagtap and More., 2020) นำเสนอกระบวนการตรวจจับความผิดพร่องโดยใช้แรงดันตกคร่อมสวิตซ์ โดยการตรวจจับจะอาศัยกระบวนการเปรียบเทียบระหว่างระดับแรงดันตกคร่อมสวิตซ์กับสัญญาณการสวิตซ์จากตัวควบคุม ส่วนงานวิจัย (Abouobaida et all., 2023) ได้นำเสนอการตรวจจับความผิดพร่องสำหรับวงจรแปลงผันกำลังไฟฟ้าแบบบูสต์ โดยอาศัยพังก์ชันของแรงดันเอาต์พุตที่ถูกประมาณจากสัญญาณการสวิตซ์ จากนั้นจะเปรียบเทียบกับความซันของแรงดันที่ถูกวัดจากการ

กระบวนการตรวจจับความผิดพร่องที่กล่าวมาข้างต้นใช้ตัวตรวจวัดค่ากระแสหรือแรงดันเพียงหนึ่งตัวสำหรับวงจรแปลงผันกำลังไฟฟ้าแบบบูสต์ดังเดิม อย่างไรก็ตามการใช้ตัวตรวจวัดค่ากระแสหรือแรงดันหนึ่งตัวอาจไม่เพียงพอสำหรับการตรวจจับความผิดพร่องของวงจรแปลงผันกำลังไฟฟ้าแบบบูสต์เรียงต่อกันสามขั้น โดยงานวิจัย (Siouane et all., 2018) ได้นำเสนอการสร้างความคงทนต่อความผิดพร่องสำหรับวงจรแปลงผันกำลังไฟฟ้าบักบูสต์ที่มีระบบกักเก็บพลังงานภายใต้ตัวควบคุมแบบชิงโครนัส เทคนิคการตรวจจับความผิดพร่องจะใช้ตัวตรวจวัดกระแสเพิ่มขึ้นหนึ่งตัวเพื่อวัดค่ากระแสไฟฟ้าที่เหล่านั้นตัวหนึ่งนาน ส่วนงานวิจัย (Ali et all., 2018) ได้นำเสนอการตรวจจับความผิดพร่องโดยอาศัยแบบจำลองทางคณิตศาสตร์ในคอมพิวเตอร์บนกับการทำงานของวงจรจริง อย่างไรก็ตาม ความซับซ้อนของวงจรที่มากขึ้นส่งผลต่อการหาแบบจำลองทางคณิตศาสตร์จึงไม่เหมาะสมสำหรับวงจรแปลงผันกำลังไฟฟ้าแบบบูสต์เรียงต่อกันสามขั้น

ด้วยเหตุนี้จึงจำเป็นต้องพัฒนาวิธีการตรวจจับความผิดพร่องที่มีความรวดเร็วและถูกต้อง เพื่อสร้างความคงทนต่อความผิดพร่องให้กับวงจรอย่างทันท่วงที ก่อนที่จะเกิดความเสียหายกับวงจรรวมทั้งการเพิ่มความน่าเชื่อถือให้กับวงจรมากขึ้น เทคนิคฟัชช์ล็อกจิกไม่จำเป็นต้องใช้แบบจำลองทางคณิตศาสตร์ของวงจร งานวิจัย (Padilla et all., 2017) ได้นำเสนอได้นำเสนอการสร้างความคงทนต่อความผิดพร่องสำหรับยานพาหนะทางอากาศขนาดเล็ก (Micro aerial vehicles) โดยใช้ฟัชช์ล็อกจิกตัดสินใจอย่างอิสระว่าจะดำเนินการกิจที่ได้รับมอบหมายต่อ หรือยุติการกิจจนนั้น งานวิจัย (Li et

all., 2016) ได้นำเสนอวิธีการตรวจจับความผิดพร่องในระบบที่ซับซ้อน โดยใช้หลักการของผู้สังเกตการณ์ (Observer) ซึ่งเป็นเหมือนตัวแทนที่คอยเฝ้าสังเกตพฤติกรรมของระบบจริง เมื่อเกิดความผิดพร่อง ผู้สังเกตการณ์จะสามารถตรวจจับได้ทันที การวิจัยนี้ได้นำแบบจำลองฟัชชีของทาคาจิ-สุกโนะ (Takagi–Sugeno) มาใช้ในการสร้างผู้สังเกตการณ์ เพื่อให้สามารถจับพฤติกรรมที่ไม่แน่นอนของระบบได้อย่างถูกต้อง ผลการทดลองจากการจำลองระบบเครื่องทำความร้อนแสดงให้เห็นว่า วิธีการนี้มีประสิทธิภาพในการตรวจจับความผิดพร่อง และสามารถนำไปประยุกต์ใช้ในกระบวนการผลิตได้จริง

วงจรแผลงผันกำลังไฟฟ้าแบบบูสต์เรียงต่อกันสามขั้น เป็นวงจรที่มีความน่าเชื่อถือต่อเนื่องจากในวงจรประกอบด้วยสวิตซ์กำลังสามตัว การตรวจจับความผิดพร่องของสวิตซ์กำลังภายในวงจรอย่างรวดเร็วและถูกต้องจึงเป็นสิ่งสำคัญ เพื่อให้ระบบสามารถทำงานได้อย่างต่อเนื่องและมีสมรรถนะที่ดี งานวิจัยนี้มุ่งเน้นไปที่การพัฒนาวิธีการตรวจจับความผิดพร่องโดยใช้เทคนิคฟัชชีโลจิก ซึ่งเป็นเทคนิคที่เหมาะสมสำหรับระบบที่ซับซ้อน เนื่องจากเทคนิคฟัชชีโลจิกไม่จำเป็นต้องใช้แบบจำลองทางคณิตศาสตร์ของวงจร ยิ่งไปกว่านั้นการตรวจจับความผิดพร่องที่พัฒนาขึ้นไม่จำเป็นต้องใช้ตัวตรวจวัดค่ากระแสและแรงดันเพิ่มเติม วิธีการนี้จะช่วยให้สามารถตรวจจับความผิดพร่องแบบสวิตซ์เปิดวงจรของสวิตซ์กำลังได้ทันที และระบุได้อย่างชัดเจนว่าสวิตซ์ตัวใดเกิดความผิดพร่อง รวมถึงการสร้างคงทนต่อความผิดพร่องจึงเป็นจุดมุ่งหมายของการศึกษานี้

## 2.5 สรุป

ในบทที่ 2 กล่าวถึงการปริทัศน์วรรณกรรม และงานวิจัยในอดีตที่เกี่ยวข้องกับ วงจรแผลงผันกำลังไฟฟ้าแบบบูสต์มอตอร์ขยายแรงดันสูง การควบคุมวงจรแผลงผันกำลังไฟฟ้าแบบบูสต์เรียงต่อกันหลายขั้น วิธีการตรวจจับความผิดพร่อง และการสร้างความคงทนต่อความผิดพร่อง ซึ่งผลงานวิจัยในอดีตที่ได้รวบรวมไว้ในบทนี้เป็นข้อมูลสำคัญในการศึกษาเพื่อนำมาพัฒนางานวิจัยในอนาคต โดยจะมุ่งเน้นที่การควบคุมการทำงานของวงจรแผลงผันกำลังไฟฟ้าแบบบูสต์เรียงต่อกันสามขั้น เพื่อให้ได้แรงดันเอาร์พุตตามต้องการภายใต้การเปลี่ยนแปลงจุดการทำงานของวงจร ทั้งยังมีการพัฒนาการตรวจจับความผิดพร่อง และสร้างความคงทนต่อความผิดพร่องสำหรับวงจรแผลงผันกำลังไฟฟ้าแบบบูสต์เรียงต่อกันสามขั้น เพื่อให้วงจรทำงานได้อย่างมีสมรรถนะที่ดีและมีความน่าเชื่อถือทั้งในสภาพการทำงานปกติและสภาพการทำงานเมื่อมีความผิดพร่องเกิดขึ้น

## บทที่ 3

### วงจรแปลงผันกำลังไฟฟ้าแบบบูสต์เรียงต่อกันสามขั้น

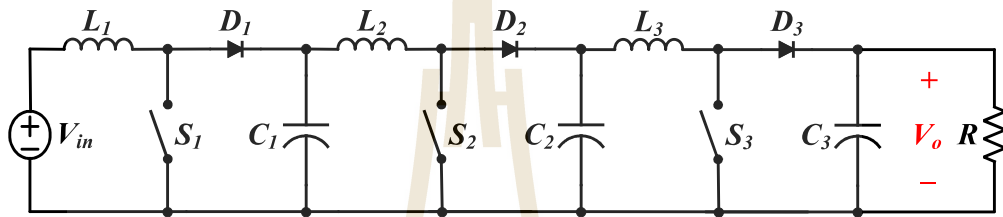
#### 3.1 บทนำ

จากการศึกษางานวิจัยในอดีตพบว่ามีการพัฒนาโครงสร้างวงจรแปลงผันกำลังไฟฟ้าให้มีอัตราขยายแรงดันสูง เพื่อทบทรับแรงดันจากแหล่งจ่ายพลังงานทดแทนที่มีแรงดันต่ำประมาณ 20V ให้มีระดับแรงดันเอาร์พุตสูงขึ้น เพื่อนำไปใช้กับโหลดไฟฟ้ากระแสตรงแรงดันสูง หรือแปลงเป็นไฟฟ้ากระแสสลับโดยอาศัยวงจรอินเวอร์เตอร์ เพื่อนำไปใช้งานกับโหลดไฟฟ้ากระแสสลับ ในบทที่ 3 จะนำเสนอข้อมูลเกี่ยวกับวงจรแปลงผันกำลังไฟฟ้าแบบบูสต์เรียงต่อกันสามขั้น โดยกำหนดให้ระบบมีแหล่งจ่ายไฟฟ้ามีแรงดันเท่ากับ 20V และต้องการแรงดันเอาร์พุตกระแสตรงที่มีขนาดเพิ่มขึ้นประมาณ 400V สำหรับโหลดตัวต้านทาน 1600Ω ซึ่งจะได้กำลังไฟฟ้าเป็น 100W ในการออกแบบจะเริ่มจากการอธิบายโครงสร้างของวงจรแปลงผันกำลังไฟฟ้าแบบบูสต์เรียงต่อกันสามขั้น หลักการทำงานของวงจร การพิจารณาอัตราขยายแรงดัน และกระแสของวงจร การออกแบบค่าพารามิเตอร์ตัวหนี่ยวน้ำ และตัวเก็บประจุ หลังจากนั้นเป็นการแสดงผลการจำลองสถานการณ์ของวงจรแปลงผันกำลังไฟฟ้าแบบบูสต์เรียงต่อกันสามขั้น เพื่อแสดงให้เห็นถึงสมรรถนะของวงจรสังกัดภายในด้านการทำงาน ระดับแรงดัน โดยเนื้อหาที่เกี่ยวกับวงจรแปลงผันกำลังไฟฟ้าแบบบูสต์เรียงต่อกันสามขั้นในบทที่ 3 นี้จะถูกนำมาใช้ในการพัฒนาวิธีการควบคุมฟซซี รวมถึงตรวจสอบความผิดพร่อง และการสร้างความคงทนต่อความผิดพร่องให้กับวงจรนี้ต่อไป

#### 3.2 วงจรแปลงผันกำลังไฟฟ้าแบบบูสต์เรียงต่อกันสามขั้น

วงจรแปลงผันกำลังไฟฟ้าแบบบูสต์ดังเดิมทำหน้าที่แปลงแรงดันไฟฟ้ากระแสตรงจากแหล่งจ่ายแรงดันต่ำให้ได้แรงดันเอาร์พุต ( $V_{out}$ ) กระแสตรงที่เพิ่มขึ้น โดยใช้หลักการนำกระแส และหยุดนำกระแสของสวิตช์ เมื่อแหล่งจ่ายไฟฟ้ามีแรงดันที่ต่ำประมาณ 20V และต้องการแรงดันเอาร์พุตกระแสตรงที่มีขนาดเพิ่มขึ้นประมาณ 400V ซึ่งมีอัตราขยายแรงดันสูงประมาณ 20 เท่า การใช้วงจรแปลงผันกำลังไฟฟ้าแบบบูสต์ดังเดิมอาจไม่สามารถทำได้ เนื่องจากอัตราขยายแรงดันต่ำกว่าส่วนใหญ่ให้ค่าวัตต์จักรหน้าที่ของสวิตช์สูงมาก ส่งผลให้เกิดกำลังไฟฟ้าสูญเสียที่สูงมากขึ้น ทำให้ประสิทธิภาพของ

วงจรลดลง การนำงจกระแสผ่านกำลังไฟฟ้าแบบบูสต์ตั้งเดิมมาเรียงต่อกันหลายขั้นสามารถช่วยลดปัญหาที่กล่าวมาข้างต้น อย่างไรก็ตามจำนวนสวิตซ์จะเพิ่มขึ้นตามจำนวนขั้นที่นำมาเรียงต่อกัน วงจรแปลงผ่านกำลังไฟฟ้าแบบบูสต์เรียงต่อกันสามขั้นสามารถเพิ่มแรงดันได้ถึง 20 เท่า โดยที่ค่าวัสดุจักรหน้าที่ของสวิตซ์ไม่สูงมากนัก ทั้งนี้โครงสร้างของวงจรแปลงผ่านกำลังไฟฟ้าแบบบูสต์เรียงต่อกันสามขั้นประกอบด้วย แหล่งจ่ายอินพุต ( $V_{in}$ ) สวิตซ์กำลังสามตัว ( $S_1, S_2, S_3$ ) ไดโอดสามตัว ( $D_1, D_2, D_3$ ) ตัวเหนี่ยวนำสามตัว ( $L_1, L_2, L_3$ ) ตัวเก็บประจุสามตัว ( $C_1, C_2, C_3$ ) และโหลดตัวต้านทาน ( $R$ ) ดังรูปที่ 3.1



รูปที่ 3.1 วงจรแปลงผ่านกำลังไฟฟ้าแบบบูสต์เรียงต่อกันสามขั้น

การทำงานของวงจรแปลงผ่านกำลังไฟฟ้าแบบบูสต์เรียงต่อกันหลายขั้น มีช่วงการทำงานของสวิตซ์นำกระแส และหยุดนำกระแสที่พร้อมกันและไม่พร้อมกัน จะขึ้นอยู่กับจำนวนสวิตซ์กำลังที่มีอยู่ในวงจร  $S_1, S_2$  และ  $S_n$  ดังนั้น荷หนดการทำงานของวงจรกรณี  $n$  สวิตซ์ จะมีความสัมพันธ์แสดงดังสมการที่ (3.1) โดยที่  $N_m$  คือจำนวนของ荷หนดการทำงาน และ  $n$  คือจำนวนสวิตซ์กำลังที่ปรากฏอยู่ในวงจร ในกรณีที่วงจรแปลงผ่านกำลังไฟฟ้าแบบบูสต์เรียงต่อกันสามขั้น จะมีสวิตซ์กำลังปรากฏอยู่ในวงจรจำนวนสามตัว จึงมี荷หนดการทำงานของวงจร 8 荷หนด ดังตารางที่ 3.1

$$N_m = 2^n \quad (3.1)$$

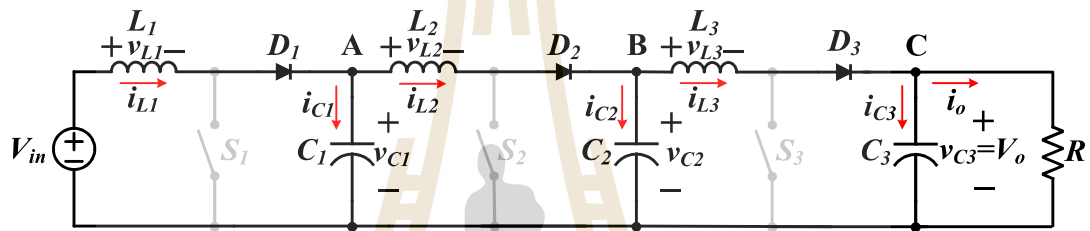
ตารางที่ 3.1 荷หนดการทำงานของแปลงผ่านกำลังไฟฟ้าแบบบูสต์เรียงต่อกันสามขั้น

荷หนดการทำงาน	สวิตซ์ตัวที่ 1 ( $S_1$ )	สวิตซ์ตัวที่ 2 ( $S_2$ )	สวิตซ์ตัวที่ 3 ( $S_3$ )
1	OFF	OFF	OFF
2	OFF	OFF	ON
3	OFF	ON	OFF
4	OFF	ON	ON
5	ON	OFF	OFF

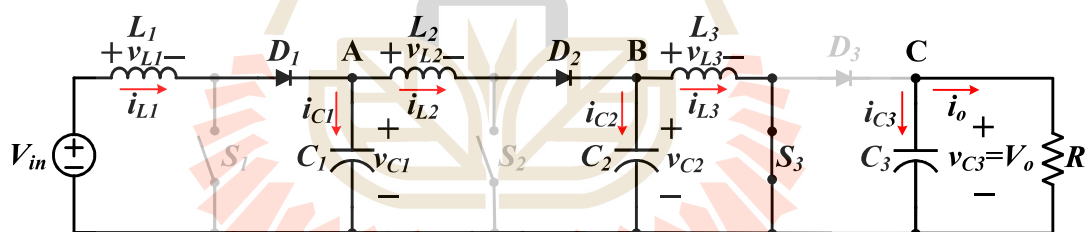
ตารางที่ 3.1 โหมดการทำงานของแปลงผันกำลังไฟฟ้าแบบบูสต์เรียงต่อกันสามขั้น (ต่อ)

โmodeการทำงาน	สวิตช์ตัวที่ 1 ( $S_1$ )	สวิตช์ตัวที่ 2 ( $S_2$ )	สวิตช์ตัวที่ 3 ( $S_3$ )
6	ON	OFF	ON
7	ON	ON	OFF
8	ON	ON	ON

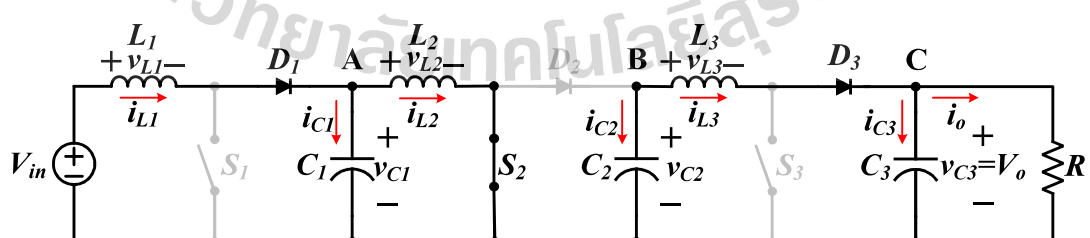
จากตารางที่ 3.1 สามารถพิจารณาการทำงานของสวิตช์  $S_1$ ,  $S_2$  และ  $S_3$  ขณะนำกระแส และหยุดนำกระแสของสวิตช์ได้ทั้งหมด 8 โหมดดังรูปที่ 3.2 ถึง 3.9 ตามลำดับ



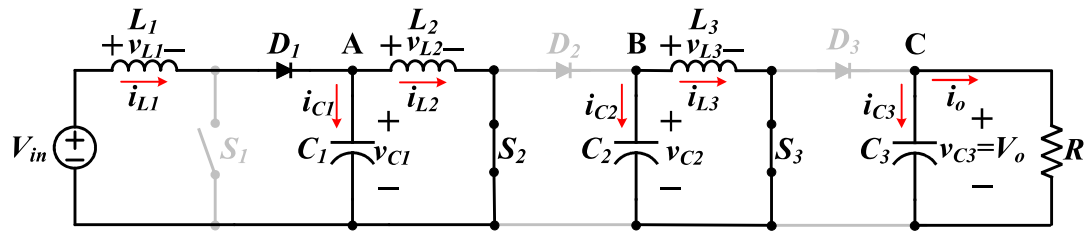
รูปที่ 3.2 โหมดการทำงานที่ 1 ของวงจรแปลงผันกำลังไฟฟ้าแบบบูสต์เรียงต่อกันสามขั้น



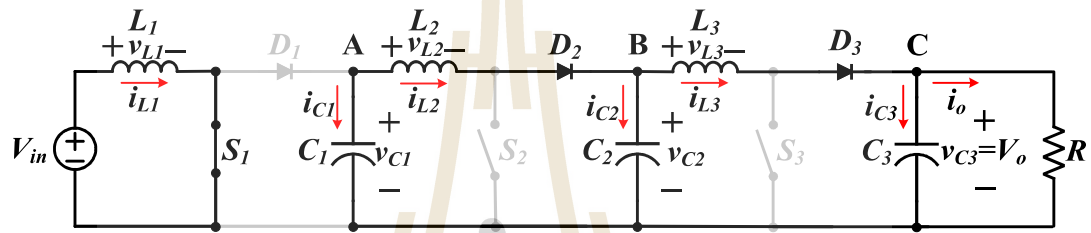
รูปที่ 3.3 โหมดการทำงานที่ 2 ของวงจรแปลงผันกำลังไฟฟ้าแบบบูสต์เรียงต่อกันสามขั้น



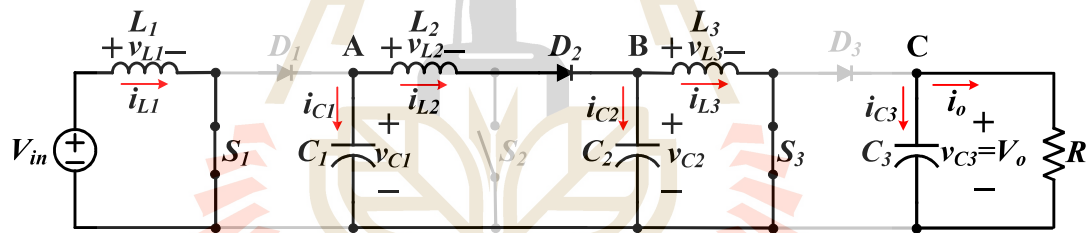
รูปที่ 3.4 โหมดการทำงานที่ 3 ของวงจรแปลงผันกำลังไฟฟ้าแบบบูสต์เรียงต่อกันสามขั้น



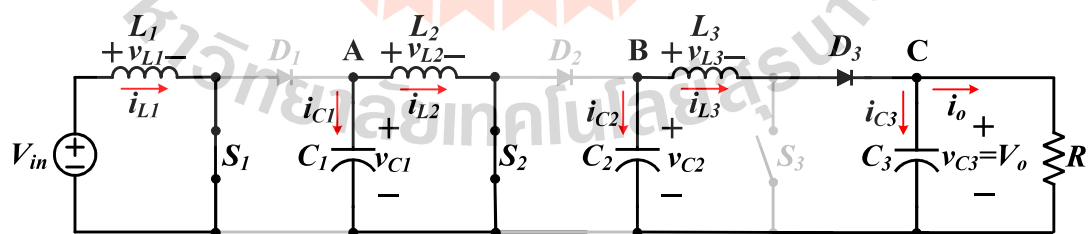
รูปที่ 3.5 โหมดการทำงานที่ 4 ของวงจรแปลงผันกำลังไฟฟ้าแบบบุสต์เรียงต่อกันสามขั้น



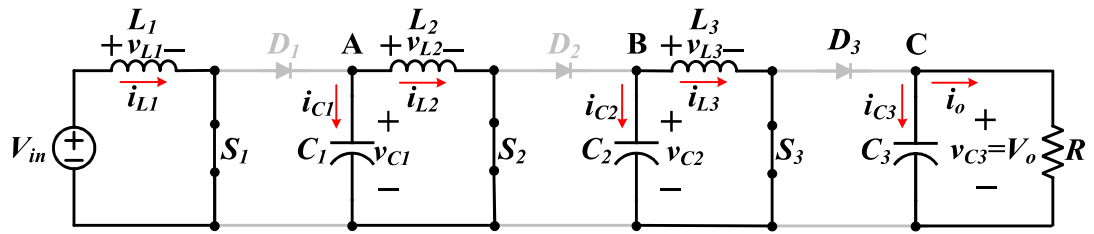
รูปที่ 3.6 โหมดการทำงานที่ 5 ของวงจรแปลงผันกำลังไฟฟ้าแบบบุสต์เรียงต่อกันสามขั้น



รูปที่ 3.7 โหมดการทำงานที่ 6 ของวงจรแปลงผันกำลังไฟฟ้าแบบบุสต์เรียงต่อกันสามขั้น

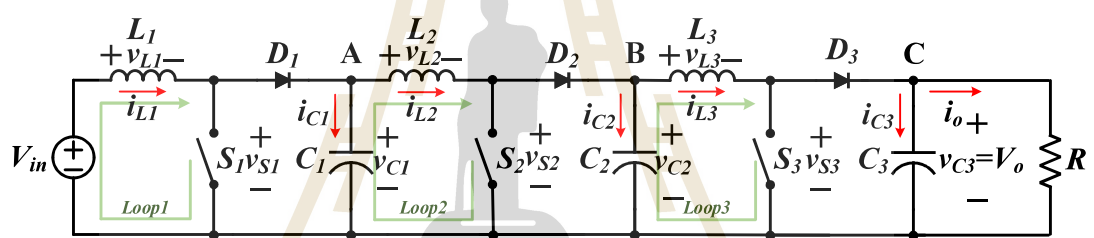


รูปที่ 3.8 โหมดการทำงานที่ 7 ของวงจรแปลงผันกำลังไฟฟ้าแบบบุสต์เรียงต่อกันสามขั้น



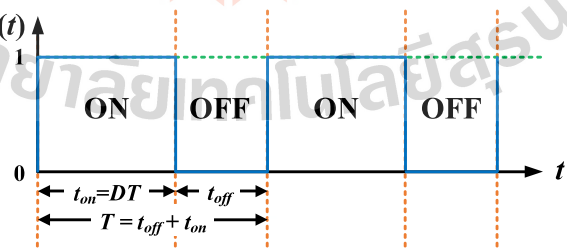
รูปที่ 3.9 โหมดการทำงานที่ 8 ของวงจรแปลงผันกำลังไฟฟ้าแบบบุสต์เรียงต่อกันสามขั้น

จากการทำงานที่ 8 โหมดข้างต้น สามารถวิเคราะห์แบบจำลองทางคณิตศาสตร์ของวงจร แปลงผันกำลังไฟฟ้าแบบบุสต์เรียงต่อกันสามขั้นโดยพิจารณาตัวแปรสวิตช์ (Switched variable) ประกอบด้วยแรงดันตกคร่อมสวิตช์ กระแสที่เหลือ่านได้ออด ของวงจรแปลงผันกำลังไฟฟ้าแบบบุสต์ เรียงต่อกันสามขั้นดังรูปที่ 3.10



รูปที่ 3.10 ตัวแปรสวิตช์ของวงจรแปลงผันกำลังไฟฟ้าแบบบุสต์เรียงต่อกันสามขั้น

การวิเคราะห์การทำงานของวงจรแปลงผันกำลังไฟฟ้าแบบบุสต์เรียงต่อกันสามขั้นจะใช้ สัญญาณฟังก์ชันการสวิตช์ ( $u(t)$ ) เพื่อพิจารณาตัวแปรสวิตช์ในช่วงนำกระแส และหยุดนำกระแสของ สวิตช์แสดงดังรูปที่ 3.11



รูปที่ 3.11 สัญญาณฟังก์ชันการสวิตช์

จากรูปที่ 3.11 สามารถพิจารณาค่าเวลajการหน้าที่สวิตช์ ( $D$ ) ได้จากช่วงเวลาที่สวิตช์นำกระแส ( $t_{on}$ ) และช่วงเวลาที่สวิตช์หยุดนำกระแส ( $t_{off}$ ) ของสวิตช์ดังสมการที่ (3.2) เมื่อ  $T$  คือค่าการสวิตช์

$$D = \frac{t_{on}}{t_{on} + t_{off}} = \frac{t_{on}}{T} \quad (3.2)$$

จากการพิจารณาฟังก์ชันการสวิตช์ข้างต้นสามารถหาแรงดันต่อกคร่อมสวิตช์ทั้งสามตัว ( $v_{S1}$ ,  $v_{S2}$ ,  $v_{S3}$ ) และกระแสที่ไฟล์ผ่านໄโอดทั้งสามตัว ( $i_{D1}$ ,  $i_{D2}$ ,  $i_{D3}$ ) โดยที่  $u_1$ ,  $u_2$  และ  $u_3$  คือสัญญาณการสวิตช์ของสวิตช์ตัวที่ 1, 2 และ 3 ตามลำดับดังแสดงดังตารางที่ 3.2

ตารางที่ 3.2 พารามิเตอร์ตัวแปรสวิตช์ในฟังก์ชันการสวิตช์ของแรงดันต่อกคร่อมสวิตช์ กระแสที่ไฟล์ผ่านໄโอดได้โดย

สวิตช์	โหมด	แรงดันสวิตช์	ฟังก์ชันการสวิตช์ของแรงดันต่อกคร่อมสวิตช์	กระแสไดโอด	ฟังก์ชันการสวิตช์ของกระแสไฟล์ผ่านไดโอด
$S_1$	ON	$v_{S1} = 0$	$v_{S1} = (1-u_1)v_{C1}$	$i_{D1} = 0$	$i_{D1} = (1-u_1)i_{L1}$
	OFF	$v_{S1} = v_{C1}$		$i_{D1} = i_{L1}$	
$S_2$	ON	$v_{S2} = 0$	$v_{S2} = (1-u_2)v_{C3}$	$i_{D2} = 0$	$i_{D2} = (1-u_2)i_{L2}$
	OFF	$v_{S2} = v_{C2}$		$i_{D2} = i_{L2}$	
$S_3$	ON	$v_{S3} = 0$	$v_{S3} = (1-u_3)v_{C3}$	$i_{D3} = 0$	$i_{D3} = (1-u_3)i_{L3}$
	OFF	$v_{S3} = v_{C3}$		$i_{D3} = i_{L3}$	

จากตารางที่ 3.2 สามารถวิเคราะห์การทำงานของวงจรเบลนผันกำลังไฟฟ้าแบบบูสต์เรียงต่อ กันสามขั้นดังแสดงในรูปที่ 3.10 และเขียนสมการให้อยู่ในรูปตัวแปรฟังก์ชันการสวิตช์ จากการกระแสไฟฟ้าของเคอร์ชอฟฟ์ (Kirchhoff's Current Law: KCL) และกฎแรงดันไฟฟ้าของเคอร์ชอฟฟ์ (Kirchhoff's Voltage Law: KVL) ได้ดังนี้

ลูก 1 :  $-v_{in} + v_{L1} + v_{S1} = 0$

$$i_{L1} = \frac{1}{L_1}(-v_{S1} + v_{in}) \quad (3.3)$$

ลูก 2 :  $-v_{C1} + v_{L2} + v_{S2} = 0$

$$\dot{i}_{L2} = \frac{1}{L_2}(-v_{S2} + v_{C1}) \quad (3.4)$$

ลูกูป 2 :  $-v_{C3} + v_{L3} + v_{S3} = 0$

$$\dot{i}_{L3} = \frac{1}{L_3}(-v_{S3} + v_{C2}) \quad (3.5)$$

โนด A :  $-i_{D1} + i_{C1} + i_{L2} = 0$

$$\dot{v}_{C1} = \frac{1}{C_1}(-i_{D1} + i_{L2}) \quad (3.6)$$

โนด A :  $-i_{D2} + i_{C2} + i_{L3} = 0$

$$\dot{v}_{C2} = \frac{1}{C_2}(-i_{D2} + i_{L3}) \quad (3.7)$$

โนด A :  $-i_{D3} + i_{C3} + i_O = 0$

$$\dot{v}_{C3} = \frac{1}{C_3}\left(-i_{D3} + \frac{1}{R}v_{C3}\right) \quad (3.8)$$

แทนค่าพังก์ชันการสวิตซ์  $v_{S1}, v_{S2}, v_{S3}, i_{D1}, i_{D2}$  และ  $i_{D3}$  จากตารางที่ 3.2 ลงในสมการที่ (3.3) ถึง (3.8) จะได้ออนุพันธ์กระแสที่ไหลผ่านตัวเหนี่ยวนำทั้งสาม และออนุพันธ์แรงดันตกคร่อมตัวเก็บประจุทั้งสามดังนี้

$$\dot{i}_{L1} = \frac{1}{L_1}\left(-(1-u_1)v_{C1} + V_{in}\right) \quad (3.9)$$

$$\dot{i}_{L2} = \frac{1}{L_2} \left( -(1-u_2)v_{C2} + v_{C1} \right) \quad (3.10)$$

$$\dot{i}_{L3} = \frac{1}{L_3} \left( -(1-u_3)v_{C3} + v_{C2} \right) \quad (3.11)$$

$$\dot{v}_{C1} = \frac{1}{C_1} \left( -(1-u_1)i_{L1} + i_{L2} \right) \quad (3.12)$$

$$\dot{v}_{C2} = \frac{1}{C_2} \left( -(1-u_2)i_{L2} + i_{L3} \right) \quad (3.13)$$

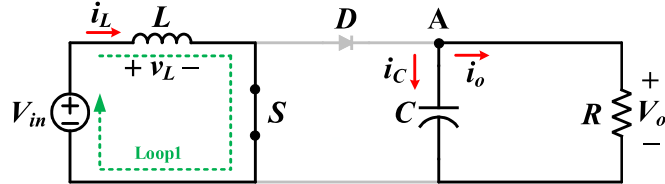
$$\dot{v}_{C3} = \frac{1}{C_3} \left( -(1-u_3)i_{L3} + \frac{1}{R}v_{C3} \right) \quad (3.14)$$

จากการพิจารณาตัวแปรฟังก์ชันการสวิตซ์ประกอบด้วยแรงดันต่อกครอ姆สวิตซ์ทั้งสามตัว กระแสที่ไหลผ่านได้โอดทั้งสามตัว จะได้ออนุพันธ์ของกระแสที่ไหลผ่านตัวเหนี่ยวนำทั้งสาม และแรงดันต่อกครอ姆ตัวเก็บประจุทั้งสาม แสดงถึงแบบจำลองทางคณิตศาสตร์ของวงจรแปลงผันกำลังไฟฟ้าแบบบูสต์เรียงต่อกันสามขั้นที่เป็นสมการอนุพันธ์อันดับหก นอกจากนั้นแบบจำลองทางคณิตศาสตร์ของวงจรแปลงผันกำลังไฟฟ้าแบบบูสต์เรียงต่อกันสามขั้นจะถูกใช้ในการการออกแบบค่าพารามิเตอร์ตัวเก็บประจุ และตัวเหนี่ยวนำของวงจร ซึ่งจะกล่าวถึงในหัวข้อถัดไป

### 3.3 อัตราขยายแรงดันและอัตราขยายกระแสของวงจรแปลงผันกำลังไฟฟ้าแบบบูสต์เรียงต่อกันสามขั้น

การพิจารณาอัตราขยายแรงดันและกระแสของวงจรแปลงผันกำลังไฟฟ้าแบบบูสต์เรียงต่อกันสามขั้น จะอาศัยวงจรแปลงผันกำลังไฟฟ้าแบบบูสต์ดังเดิม เนื่องจากวงจรแปลงผันกำลังไฟฟ้าแบบบูสต์เรียงต่อกันสามขั้นเกิดจากการนำวงจรแปลงผันกำลังไฟฟ้าแบบบูสต์ดังเดิมมาต่อเรียงกันสามขั้น โดยสามารถพิจารณาได้จากความสัมพันธ์ของแรงดันต่อกครอ姆ตัวเหนี่ยวนำ ( $v_L$ ), กระแสที่ไหลผ่าน

ตัวเก็บประจุ ( $i_C$ ),  $V_{in}$ ,  $V_{out}$ ,  $D$  และสัญญาณฟังก์ชันการสวิตช์ ในช่วงการนำกระแส และหยุดนำกระแส ของสวิตช์ของวงจรแปลงผันกำลังไฟฟ้าแบบบูสต์ดังเดิมแสดงดังรูปที่ 3.12 และ 3.13 ตามลำดับ



รูปที่ 3.12 วงจรแปลงผันกำลังไฟฟ้าแบบบูสต์ดังเดิมขณะที่ในช่วงที่สวิตช์นำกระแส

ลูป 1 :  $-V_{in} + v_L = 0$

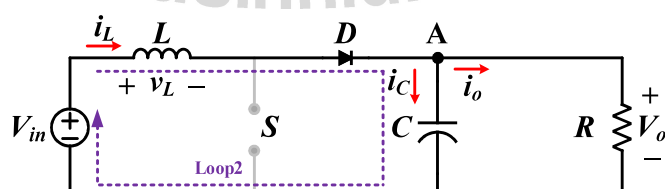
$$v_L = V_{in} \quad (3.15)$$

$$\frac{di_L}{dt} = \frac{V_{in}}{L} \quad (3.16)$$

โนด A :

$$i_o + i_c = 0 \quad i_c = -i_o = -\frac{V_o}{L} \quad (3.17)$$

$$\frac{dv_c}{dt} = -\frac{V_o}{RC} \quad (3.18)$$



รูปที่ 3.13 วงจรแปลงผันกำลังไฟฟ้าแบบบูสต์ดังเดิมขณะสวิตช์หยุดนำกระแส

ลูป 2 :  $-V_{in} + v_L + V_o = 0$

$$v_L = V_{in} - V_o \quad (3.19)$$

$$\frac{di_L}{dt} = \frac{V_{in} - V_o}{L} \quad (3.20)$$

โนด A :  $-i_L + i_O + i_C = 0$

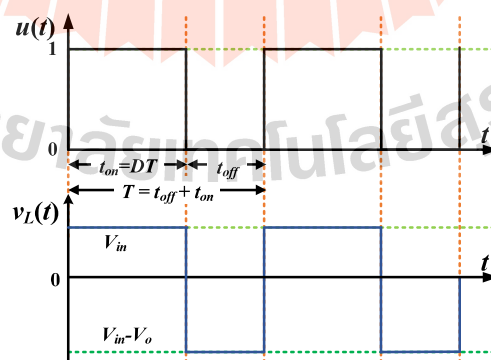
$$i_C = i_L - i_O = i_L - \frac{V_o}{L} \quad (3.21)$$

$$\frac{dv_{C1}}{dt} = \frac{i_L}{C} - \frac{V_o}{RC} \quad (3.22)$$

จากความสัมพันธ์ของ  $v_L$  และ  $i_C$  ในสภาพอยู่ตัว ขณะที่สวิตซ์นำกระแส และหยุดนำกระแส สามารถพิจารณาหาอัตราขยายแรงดัน และกระแสสำหรับวงจรแปลงผันกำลังไฟฟ้าแบบบุสต์ดังเดิม และวงจรแปลงผันกำลังไฟฟ้าแบบบุสต์เรียงต่อกันสามขั้นดังต่อไปนี้

### 3.3.1 อัตราขยายแรงดันของวงจรแปลงผันกำลังไฟฟ้าแบบบุสต์เรียงต่อกันสามขั้น

หลักการสมดุลฟลักซ์เชื่อมโยงในตัวเหนี่ยวนำถูกพิจารณาสำหรับหาอัตราขยายแรงดัน ( $M_V$ ) ของวงจรแปลงผันกำลังไฟฟ้าแบบบุสต์ดังเดิม จากสมการที่ (3.15) และ (3.19) สามารถหาค่าเฉลี่ยของแรงดันต่อกครรภ์ตัวเหนี่ยวนำ ( $v_L$ ) ในสภาพอยู่ตัวได้จากรูปที่ 3.14



รูปที่ 3.14 แรงดันต่อกครรภ์ตัวเหนี่ยวนำในสภาพอยู่ตัว

จาก  $V_L$  ในสภาวะอยู่ตัว สามารถพิจารณาค่าเฉลี่ยของแรงดันต่อกรรอมตัวเห็นได้ว่า นำ  $\langle V_L \rangle$  มีค่าเท่ากับศูนย์ในช่วงค่าบวกการทำงานของสวิตซ์ และจะได้ค่าอัตราขยายแรงดันดังสมการที่ (3.23)

$$\text{ค่าเฉลี่ย : } \langle V_L \rangle = \frac{DTV_{in} + (1-D)T(V_{in} - V_o)}{T} = 0$$

$$M_V(D) = \frac{V_o}{V_{in}} = \frac{1}{(1-D)} \quad (3.23)$$

จากอัตราขยายแรงดันของวงจรเปลี่ยนกำลังไฟฟ้าแบบบุสต์ตั้งเดิมข้างต้น สามารถพิจารณาอัตราขยายแรงดันในแต่ละขั้น ( $M_{V1}, M_{V2}, M_{V3}$ ) ของวงจรเปลี่ยนกำลังไฟฟ้าแบบบุสต์เรียงต่อกันสามขั้นดังสมการที่ (3.24), (3.25) และ (3.26) ตามลำดับ โดยที่  $D_1, D_2$  และ  $D_3$  คือวัตถุจักรหน้าที่สวิตซ์ของสวิตซ์ตัวที่ 1, 2 และ 3 ตามลำดับ

$$M_{V1}(D) = \frac{V_{C1}}{V_{in}} = \frac{1}{(1-D_1)} \quad (3.24)$$

$$M_{V2}(D) = \frac{V_{C2}}{V_{C1}} = \frac{1}{(1-D_2)} \quad (3.25)$$

$$M_{V3}(D) = \frac{V_o}{V_{C2}} = \frac{1}{(1-D_3)} \quad (3.26)$$

จากอัตราขยายแรงดันในแต่ละขั้นข้างต้นสามารถหาอัตราขยายแรงดันของวงจรเปลี่ยนกำลังไฟฟ้าแบบบุสต์เรียงต่อกันสามขั้น ดังสมการที่ (3.27)

$$M_V(D) = \frac{V_o}{V_{in}} = \begin{cases} \frac{\frac{V_{C1}}{V_{in}} \cdot \frac{V_{C2}}{V_{C1}} \cdot \frac{V_o}{V_{C2}}}{M_{V1}(D) \cdot M_{V2}(D) \cdot M_{V3}(D)} \\ \frac{1}{(1-D_1) \cdot (1-D_2) \cdot (1-D_3)} \end{cases} \quad (3.27)$$

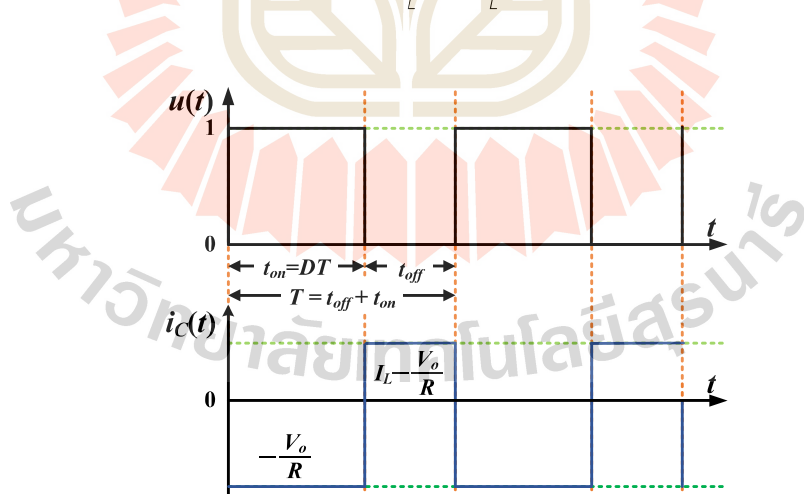
### 3.3.2 อัตราขยายกระแสของวงจรแปลงผันกำลังไฟฟ้าแบบบูสต์เรียงต่อกันสามชั้น

อัตราขยายกระแสของวงจรแปลงผันกำลังไฟฟ้าแบบบูสต์ดังเดิมจะพิจารณาจากหลักการสมดุลประจุไฟฟ้าในตัวเก็บประจุ จากสมการที่ (3.17) และ (3.21) สามารถหาค่าเฉลี่ยของกระแสที่ไหลผ่านตัวเก็บประจุ ( $i_C$ ) ในสภาวะอยู่ตัวดังรูปที่ 3.15

ค่าเฉลี่ย :

$$\langle i_C \rangle = \frac{DT \left( -\frac{V_o}{R} \right) + (1-D)T \left( i_L - \frac{V_o}{R} \right)}{T} = 0$$

$$M_i(D) = \frac{V_o}{i_L R} = \frac{i_o}{i_L} = (1-D) \quad (3.28)$$



รูปที่ 3.15 กระแสที่ไหลผ่านตัวเก็บประจุในสภาวะอยู่ตัว

จากอัตราขยายกระแสของวงจรแปลงผันกำลังไฟฟ้าแบบบูสต์ตั้งเดิมดังสมการที่ (3.28) สามารถพิจารณาอัตราขยายกระแสในแต่ละขั้น ( $M_{I_1}, M_{I_2}, M_{I_3}$ ) ของวงจรแปลงผันกำลังไฟฟ้าแบบบูสต์เรียงต่อ กันสามขั้นดังสมการที่ (3.29), (3.30) และ (3.31) ตามลำดับ

$$M_{I_1}(D) = \frac{i_{L2}}{i_{L1}} = (1 - D_1) \quad (3.29)$$

$$M_{I_2}(D) = \frac{i_{L3}}{i_{L2}} = (1 - D_2) \quad (3.30)$$

$$M_{I_3}(D) = \frac{i_O}{i_{L3}} = (1 - D_3) \quad (3.31)$$

จากอัตราขยายกระแสในแต่ละขั้นข้างต้นสามารถหาอัตราขยายกระแสของวงจรแปลงผันกำลังไฟฟ้าแบบบูสต์เรียงต่อ กันสามขั้น ดังสมการที่ (3.32)

$$M_I(D) = \frac{i_O}{i_{L1}} = \begin{cases} \frac{i_{L2}}{i_{L1}} \cdot \frac{i_{L3}}{i_{L2}} \cdot \frac{i_O}{i_{L3}} \\ M_{I_1}(D) \cdot M_{I_2}(D) \cdot M_{I_3}(D) \\ (1 - D_1) \cdot (1 - D_2) \cdot (1 - D_3) \end{cases} \quad (3.32)$$

จากการวิเคราะห์อัตราขยายแรงดันและอัตราขยายกระแสของวงจรบูสต์เรียงต่อ กันสามขั้น โดยพิจารณาจากสมดุลฟลักซ์ในตัวเหนี่ยวนำ และสมดุลประจุในตัวเก็บประจุตามลำดับ เมื่อ แหล่งจ่ายไฟฟ้ามีแรงดันที่ต่ำประมาณ 20V และต้องการแรงดันเอาต์พุตกระแสต่อ ที่มีขนาดเพิ่มขึ้น ประมาณ 400V สำหรับโหลดตัวต้านทาน 1600Ω ซึ่งมีอัตราขยายแรงดันสูงประมาณ 20 เท่า ดังนั้น หากพิจารณาค่าวัสดุจกรหน้าที่ของสวิตช์ทั้งสามเท่ากันจะมีค่าเท่ากับ 0.635 ( $D_1=D_2=D_3=0.635$ ) ซึ่ง จะได้ค่ากระแสไฟหลักผ่านตัวเหนี่ยวนำทั้งสาม ( $i_{L1}, i_{L2}, i_{L3}$ ) เป็น 5A, 1.85A และ 0.69A ตามลำดับ ส่วน ค่าแรงดันต่อกคร่อมตัวเก็บประจุทั้งสาม ( $v_{C1}, v_{C2}, v_{C3}$ ) มีค่าเท่ากับ 54V, 146VA และ 400V

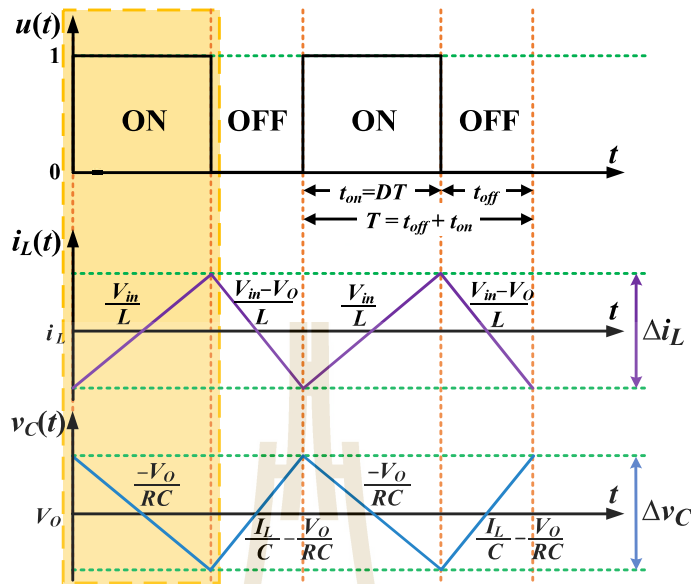
ตามลำดับ โดยข้อมูลเหล่านี้มีความสำคัญอย่างยิ่งในการออกแบบตัวควบคุมฟังชัน อีกทั้งยังใช้ในการออกแบบการตรวจจับความผิดพร่องแบบสวิตช์เบิดวงจร ซึ่งจะกล่าวถึงในหัวข้อถัดไป

### 3.4 การออกแบบค่าพารามิเตอร์ภายในวงจรแปลงผังกำลังไฟฟ้าแบบบูสต์เรียงต่อ กันสามขั้น

การออกแบบค่าพารามิเตอร์ตัวเหนี่ยวนำ ( $L_1, L_2, L_3$ ) และตัวเก็บประจุ ( $C_1, C_2, C_3$ ) ที่ pragm อยู่ภายในวงจรแปลงผังกำลังไฟฟ้าแบบบูสต์เรียงต่อ กันสามขั้น จะพิจารณาการทำงานของวงจรแปลงผังกำลังไฟฟ้าแบบบูสต์ดังเดิมแสดงดังรูปที่ 3.16 ในออกแบบค่าพารามิเตอร์  $L$  จะอาศัยอนุพันธ์ของกระแสที่เหล่านั้นตัวเหนี่ยวนำในช่วงที่สวิตช์นำกระแสที่เกิดจากการสะสมพลังงาน และคายพลังงานดังสมการที่ (3.16) และ (3.20) ตามลำดับ ส่วนการออกแบบค่าพารามิเตอร์  $C$  จะอาศัยอนุพันธ์ของแรงดันที่ต่อกครอตตัวเก็บประจุที่เกิดจากการสะสมประจุ และคายประจุดังสมการที่ (3.18) และ (3.22) ตามลำดับ เพื่อให้การกระแสเพื่อมของกระแสที่เหล่านั้นตัวเหนี่ยวนำ ( $\Delta i_L$ ) และการกระแสเพื่อมของแรงดันต่อกครอตตัวเก็บประจุ ( $\Delta v_C$ ) อยู่ในขอบเขตที่กำหนด จะทำการออกแบบค่าพารามิเตอร์ตัวเหนี่ยวนำ และตัวเก็บประจุของวงจรแปลงผังกำลังไฟฟ้าแบบบูสต์เรียงต่อ กันสามขั้น ซึ่งมีรายละเอียดดังต่อไปนี้

#### 3.4.1 การออกแบบค่าพารามิเตอร์ตัวเหนี่ยวนำ

ค่าพารามิเตอร์  $L$  มีผลต่อ  $\Delta i_L$  เป็นอย่างมาก หาก  $\Delta i_L$  สูงอาจส่งผลให้เกิดความเสียหายต่อกับอุปกรณ์ภายในวงจร และยังส่งผลให้  $\Delta v_C$  สูงตามไปด้วย ในการออกแบบค่าพารามิเตอร์  $L$  จะอาศัยอนุพันธ์ของกระแสที่เหล่านั้นตัวเหนี่ยวนำช่วงนำกระแสของสวิตช์ในสภาวะอยู่ตัวดังรูปที่ 3.16 ความสัมพันธ์อนุพันธ์ของกระแสสามารถพิจารณาค่าพารามิเตอร์  $L$  ได้ดังสมการที่ (3.33) โดยที่  $f_s$  คือความถี่สวิตช์ มีค่าเท่ากับ  $f_s = \frac{1}{T}$



รูปที่ 3.16 กระแสที่ไฟล์ผ่านตัวเหนี่ยวนำ และแรงดันต่อกคร่อมตัวเก็บประจุในสภาวะอยู่ตัวของวงจร  
แปลงผันกำลังไฟฟ้าแบบบูสต์ด้วยเดิม

$$\text{อนุพันธ์ของกระแส : } \frac{di_L}{dt} = \frac{\Delta i_L}{DT} = \frac{V_{in}}{L}$$

$$L = \frac{V_{in} D}{f_s \Delta i_L} \quad (3.33)$$

ดังนั้นในการออกแบบค่าพารามิเตอร์ตัวเหนี่ยวนำทำห้องสามตัวภายในของวงจรแปลงผันกำลังไฟฟ้าแบบบูสต์เรียงต่อกันสามชั้น สามารถออกแบบได้โดยอาศัยหลักการออกแบบค่าพารามิเตอร์  $L$  สมการที่ (3.33) ของวงจรแปลงผันกำลังไฟฟ้าแบบบูสต์ด้วยเดิม โดยจะกำหนดขอบเขตการจะเพื่อของกระแสที่ไฟล์ผ่านตัวเหนี่ยวนำทำห้องสาม ( $\Delta i_{L1}, \Delta i_{L2}, \Delta i_{L3}$ ) โดยพิจารณาได้จากความสัมพันธ์อนุพันธ์ของกระแสที่ไฟล์ผ่านตัวเหนี่ยวนำทำห้องสามตัวดังสมการที่ (3.9), (3.10) และ (3.11) ตามลำดับ จะได้ค่าพารามิเตอร์  $L_1, L_2$  และ  $L_3$  ดังสมการที่ (3.34), (3.35) และ (3.36) ตามลำดับ

$$L_1 = \frac{V_{in} D_1}{f_s \Delta i_{L1}} \quad (3.34)$$

$$L_2 = \frac{V_{C1}D_2}{f_s \Delta i_{L2}} \quad (3.35)$$

$$L_3 = \frac{V_{C2}D_3}{f_s \Delta i_{L3}} \quad (3.36)$$

ในการออกแบบค่าพารามิเตอร์ของตัวเหนี่ยวนำ ได้มีการพิจารณาค่าการกระแสเพื่อมาของกระแสที่ไฟล์ผ่านตัวเหนี่ยวนำทั้งสามตัว ( $\Delta i_{L1}$ ,  $\Delta i_{L2}$ ,  $\Delta i_{L3}$ ) ให้อยู่ในขอบเขตที่ยอมรับได้ โดยมีค่าเท่ากับ 0.09A, 0.19A และ 0.14A ตามลำดับ ซึ่งจากค่าเหล่านี้ ทำให้ได้ค่าพารามิเตอร์ของตัวเหนี่ยวนำทั้งสาม ( $L_1$ ,  $L_2$ ,  $L_3$ ) เท่ากับ 14mH, 17.9mH และ 65.7mH ตามลำดับ ดังนั้นจึงเลือกใช้ตัวเหนี่ยวนำที่มีขนาด 15mH, 18.75mH และ 70mH ตามลำดับ เพื่อใช้ในงานวิจัยวิทยานิพนธ์ และการเลือกใช้ขนาดเหล่านี้ยังคงทำให้ค่าการกระแสเพื่อมาของกระแสที่ไฟล์ผ่านตัวเหนี่ยวนำทั้งสามอยู่ในขอบเขตที่ยอมรับได้ เช่นเดิม

### 3.4.2 การออกแบบค่าพารามิเตอร์ตัวเก็บประจุ

ค่าพารามิเตอร์  $C$  มีผลต่อ  $\Delta v_C$  เป็นอย่างมาก เช่นเดียวกันกับการออกแบบค่าพารามิเตอร์  $L$  หาก  $\Delta v_C$  มีขนาดสูงมากจะส่งผลเสียต่ออุปกรณ์อื่น ๆ ภายในวงจรได้ ในการออกแบบค่าพารามิเตอร์  $C$  จะอาศัยอนุพันธ์ของแรงดันที่ต่อกครอ姆ตัวเก็บประจุในช่วงนำกระแสของสวิตช์ในสภาพอยู่ตัวดังรูปที่ 3.16

$$\text{อนุพันธ์ของแรงดัน : } \frac{dv_C}{dt} = -\frac{\Delta v_C}{DT} = -\frac{i_o}{C} \quad (3.37)$$

จะได้ว่าการออกแบบค่าพารามิเตอร์เก็บประจุทั้งสามตัวภายในของวงจรแปลงผันกำลังไฟฟ้าแบบบูสต์เรียงต่อกันสามขั้น สามารถอาศัยหลักการออกแบบค่าพารามิเตอร์  $C$  สมการที่ (3.37) ของวงจรแปลงผันกำลังไฟฟ้าแบบบูสต์ดังเดิม เนื่องจากมีหลักการทำงานที่คล้ายคลึงกัน โดยจะกำหนดขอบเขตการกระแสเพื่อมาของแรงดันต่อกครอ姆ตัวเก็บประจุทั้งสาม ( $\Delta v_{C1}$ ,  $\Delta v_{C2}$ ,  $\Delta v_{C3}$ ) เมื่อพิจารณาความสัมพันธ์อนุพันธ์ของแรงดันที่ต่อกครอ姆ตัวเก็บประจุทั้งสามตัวดังสมการที่ (3.12), (3.13)

และ (3.14) ตามลำดับ จะได้ค่าพารามิเตอร์  $C_1$ ,  $C_2$  และ  $C_3$  ดังสมการที่ (3.38), (3.39) และ (3.40) ตามลำดับ

$$C_1 = \frac{i_{L_2} D_1}{f_s \Delta v_{C1}} \quad (3.38)$$

$$C_2 = \frac{i_{L_3} D_2}{f_s \Delta v_{C2}} \quad (3.39)$$

$$C_3 = \frac{i_O D_3}{f_s \Delta v_{C3}} \quad (3.40)$$

การอوكแบบค่าพารามิเตอร์ของตัวเก็บประจุจะพิจารณาการกระแสเพื่อมของแรงดันตกคร่อมตัวเก็บประจุทั้งสาม ( $\Delta v_{C1}$ ,  $\Delta v_{C2}$ ,  $\Delta v_{C3}$ ) โดยมีค่าอยู่ในขอบเขตที่ยอมรับได้ ซึ่งมีค่าเป็น 0.24V, 0.096V และ 0.034V ตามลำดับ ซึ่งจะได้ค่าตัวเก็บประจุทั้งสามเท่ากัน ( $C_1$ ,  $C_2$ ,  $C_3$ ) เป็น  $485.63\mu F$ ,  $452.81\mu F$  และ  $463.24\mu F$  ตามลำดับ ดังนั้นจึงเลือกใช้ตัวเก็บประจุที่มีค่าเท่ากันคือ  $500\mu F$  เพื่อใช้ในงานวิจัยวิทยานิพนธ์ และการเลือกใช้ค่านี้ยังคงทำให้ค่าการกระแสเพื่อมของแรงดันไฟฟ้าที่ตกคร่อมตัวเก็บประจุทั้งสามอยู่ในขอบเขตที่ยอมรับได้ เช่นเดิม

จากสมการอุกแบบข้างต้น จะสามารถคำนวณหาค่าพารามิเตอร์ต่าง ๆ ภายในวงจรแปลงผันกำลังไฟฟ้าแบบบูสต์เรียงต่อ กันสามขั้นโดยอาศัยข้อมูลในตารางที่ 3.3 จะได้ค่าพารามิเตอร์ตัวหนึ่งๆ นำ ( $L_1$ ,  $L_2$ ,  $L_3$ ) และตัวเก็บประจุ ( $C_1$ ,  $C_2$ ,  $C_3$ ) สำหรับวงจรแปลงผันกำลังไฟฟ้าแบบบูสต์เรียงต่อ กันสามขั้นแสดงตารางที่ 3.4

ตารางที่ 3.3 ค่าพารามิเตอร์สำหรับการอุกแบบตัวเหนี่ยวนำ และตัวเก็บประจุ

สัญลักษณ์	พารามิเตอร์	ขนาด	หน่วย
$V_{in}$	แรงดันไฟฟ้าอินพุต	20	V
$V_O$	แรงดันไฟฟ้าเอาต์พุต	400	V
$P_O$	กำลังไฟฟ้าเอาต์พุต	100	W
$R$	โหลดตัว้านทาน	1600	$\Omega$

ตารางที่ 3.3 ค่าพารามิเตอร์สำหรับการออกแบบตัวเหนี่ยวนำ และตัวเก็บประจุ (ต่อ)

สัญลักษณ์	พารามิเตอร์	ขนาด	หน่วย
$D_1=D_2=D_3$	ค่าวัสดุจักรหน้าที่ของสวิตซ์	0.63	-
$i_{L1}$	กระแสไฟฟ้าผ่านตัวเหนี่ยวนำ	5	A
$i_{L2}$		1.85	A
$i_{L3}$		0.69	A
$v_{C1}$	แรงดันไฟฟ้าคร่อมตัวเก็บประจุ	54	V
$v_{C2}$		146	V
$v_{C3}$		400	V
$\Delta i_{L1}$	กระแสไฟฟ้ากระเพื่อม	0.09	A
$\Delta i_{L2}$		0.19	A
$\Delta i_{L3}$		0.14	A
$\Delta v_{C1}$	แรงดันไฟฟ้ากระเพื่อม	0.24	V
$\Delta v_{C2}$		0.096	V
$\Delta v_{C3}$		0.034	V

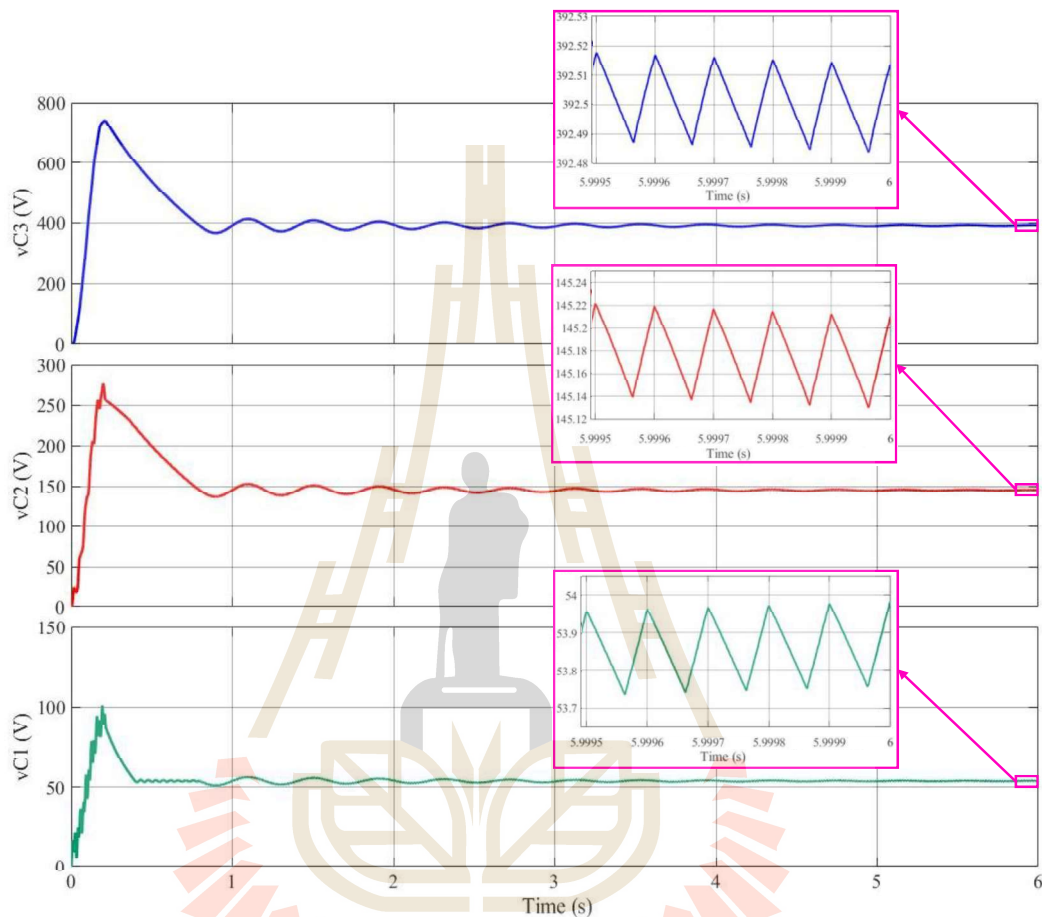
ตารางที่ 3.4 ค่าพารามิเตอร์ตัวเหนี่ยวนำ และตัวเก็บประจุสำหรับวงจรแปลงผันกำลังไฟฟ้าแบบบูสต์ เรียงต่อกันสามขั้น

สัญลักษณ์	พารามิเตอร์	ขนาด	หน่วย
$L_1$	ตัวเหนี่ยวนำ	15	mH
$L_2$		18.75	mH
$L_3$		70	mH
$C_1=C_2=C_3$	ตัวเก็บประจุ	500	$\mu F$

### 3.5 ผลการจำลองสถานการณ์

การจำลองสถานการณ์วงจรแปลงผันกำลังไฟฟ้าแบบบูสต์เรียงต่อกันสามขั้น อาศัยโปรแกรม MATLAB SIMULINK เข้าช่วยในการจำลองสถานการณ์ โดยใช้โครงสร้างวงจรดังรูปที่ 3.1 โดยกำหนดให้ โหลดตัวต้านทานเป็น  $1600\Omega$  และจ่ายแรงดันอินพุตที่ค่อนข้างต่ำประมาณ  $20V$  และค่าวัสดุจักรหน้าที่ของสวิตซ์  $D_1$ ,  $D_2$  และ  $D_3$  เท่ากันที่  $0.63$  เพื่อให้ได้อัตราขยายแรงดันประมาณ  $20$  เท่า ทั้งนี้การจำลอง

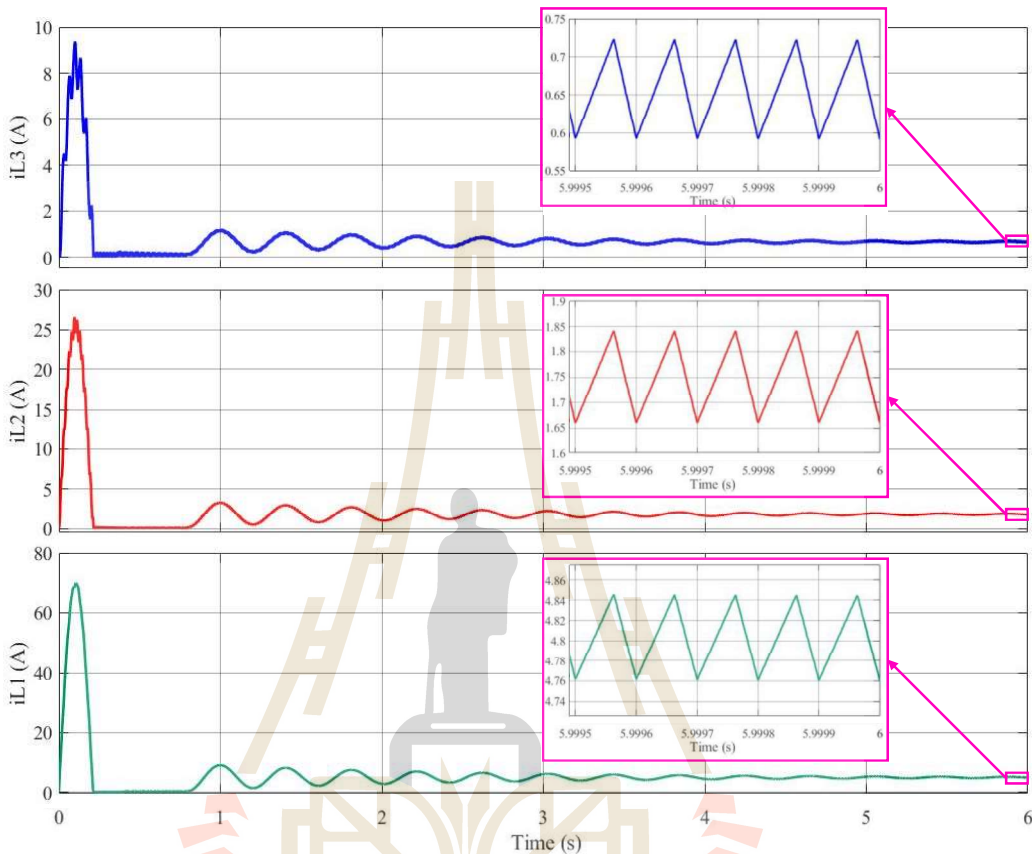
สถานการณ์วงจรแปลงผันกำลังไฟฟ้าแบบบูสต์เรียงต่อ กันสามขั้น จะใช้พารามิเตอร์ต่าง ๆ ดังตารางที่ 3.3 และ 3.4 ผลการจำลองสถานการณ์แสดงค่าแรงดันต่อกันร่วมตัวเก็บประจุ และกระแสไฟหล่อผ่านตัวเหนี่ยวนำแสดงดังรูปที่ 3.17 และ 3.18 ตามลำดับ



รูปที่ 3.17 ผลจากการจำลองสถานการณ์ของแรงดันต่อกันร่วมตัวเก็บประจุทั้งสาม

จากผลจากการจำลองสถานการณ์ในรูปที่ 3.17 และ 3.18 เห็นได้ว่า ในสภาวะชั่วครู่ จะเกิดการฟุ้งเกินของ  $V_{C1}$ ,  $V_{C2}$  และ  $V_{C3}$  ที่ประมาณ 100V, 275V และ 750V ตามลำดับ ในขณะเดียวกันยังเกิดการฟุ้งเกินของ  $i_{L1}$ ,  $i_{L2}$  และ  $i_{L3}$  ที่ประมาณ 70A, 27A และ 9.5A ตามลำดับ ซึ่งอาจส่งผลให้อุปกรณ์ภายในวงจรเสียหายจนว่างจะไม่สามารถทำงานต่อไปได้หากค่ากระแส และแรงดันเกินพิกัดของอุปกรณ์อิเล็กทรอนิกส์กำลัง อีกทั้งยังใช้เวลานานประมาณ 4 วินาที ในการเข้าสู่สภาวะอยู่ตัว เมื่อพิจารณาผลตอบสนองในสภาวะอยู่ตัวแสดงค่าพารามิเตอร์ต่าง ๆ ได้ตามที่ได้ออกแบบไว้ โดย  $V_{C1}$ ,  $V_{C2}$  และ  $V_{C3}$  มีค่าประมาณ 54V, 146V และ 400V ตามลำดับ จะเห็นได้ว่า อัตราขยายของวงจรแปลงผันกำลังไฟฟ้าแบบบูสต์เรียงต่อ กันสามขั้นสูงถึง 20 เท่า รวมถึง  $i_{L1}$ ,  $i_{L2}$  และ  $i_{L3}$  มีค่าประมาณ 5A, 1.85A

และ  $0.6875A$  ทั้งนี้ในส่วนของการกระแสเพื่อมของกระแสที่ให้ผลผ่านตัวเหนี่ยวนำทั้งสาม และแรงดันตกคร่อมตัวเก็บประจุทั้งสามตัวต่างก็มีค่าสอดคล้องตามที่ออกแบบไว้ เช่นกัน



รูปที่ 3.18 ผลจากการจำลองสถานการณ์ของกระแสที่ให้ผลผ่านตัวเหนี่ยวนำทั้งสาม

### 3.6 สรุป

บทที่ 3 ได้นำเสนอเนื้อหาเกี่ยวกับวงจรแปลงผันกำลังไฟฟ้าแบบบูสต์เรียงต่อกันสามขั้น โดยอธิบายโครงสร้างของวงจร หลักการทำงานของวงจร อัตราขยายแรงดัน การออกแบบค่าพารามิเตอร์ ตัวเหนี่ยวนำและตัวเก็บประจุภายในวงจร และนำเสนอผลการจำลองสถานการณ์การทำงานของวงจร แปลงผันกำลังไฟฟ้าแบบบูสต์เรียงต่อกันสามขั้น ที่สามารถพบแรงดันแรงดันเอาต์พุตของวงจร สูงถึง  $400V$  โดยที่ค่าวัสดุกรหน้าที่ของสวิตซ์ทั้งสามที่มีค่าเท่ากันที่  $0.63$  และจ่ายกำลังไฟฟ้า  $100 W$  ให้กับโหลดตัวต้านทานขนาด  $1600\Omega$  เมื่อแหล่งจ่ายแรงดันอินพุตมีค่าค่อนข้างต่ำประมาณ  $20V$  รวมถึงแสดงการกระแสเพื่อมของแรงดันที่ต่อกันคร่อมตัวเก็บประจุ และกระแสที่ให้ผลผ่านตัวเหนี่ยวนำที่ได้ผลสอดคล้องตามที่ออกแบบไว้ อย่างไรก็ตามจากการจำลองสถานการณ์การทำงานของวงจรขณะที่มีมิตัวควบคุม พบว่ามีการพุ่งเกินของแรงดันต่อกันคร่อมตัวเก็บประจุ และกระแสที่ให้ผลผ่านตัวเหนี่ยวนำที่

ค่อนข้างสูง ซึ่งอาจส่งผลเสียหายกับอุปกรณ์ภายในห้อง อีกทั้งยังใช้เวลานานในการเข้าสู่สภาพะอยู่ตัว ดังนั้นในบทดีไปจะกล่าวถึงการออบแบบตัวควบคุมฟิลเตอร์ที่พัฒนาขึ้นเพื่อควบคุมการทำงานของวงจรแปลงผันกำลังไฟฟ้าแบบบูสต์เรียงต่อกันสามชั้น ให้มีสมรรถนะการทำงานที่ดีขึ้นทั้งในสภาพะชั่วคราว และสภาพะอยู่ตัว สามารถตัดกษาแรงดันเออาร์พุตให้คงที่ได้ตามต้องการภายใต้สถานการณ์การเปลี่ยนแปลงจุดการทำงานของวงจร



## บทที่ 4

### การควบคุมฟื้นฟูสำหรับวัสดุเปล่งผันกำลังไฟฟ้าแบบบูสต์เรียงต่อกันสามขั้น

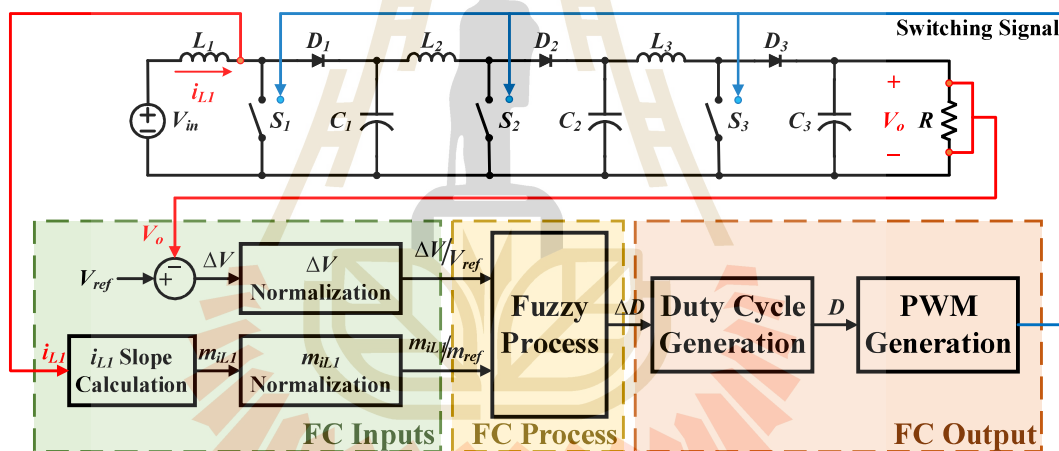
#### 4.1 บทนำ

จากการศึกษาของวัสดุเปล่งผันกำลังไฟฟ้าแบบบูสต์เรียงต่อกันสามขั้นในบทที่ 3 นั้น ผลการจำลองสถานการณ์การทำงานของวงจรขณะไม่มีตัวควบคุมแสดงให้เห็นถึงการพุ่งเกินของแรงดันเอาร์พุต และกระแสที่เหลือ่านตัวเหนี่ยวนำที่มีค่าคงที่สูง ซึ่งอาจส่งผลให้อุปกรณ์ภายในวงจรเปล่งผันกำลังไฟฟ้าแบบบูสต์เรียงต่อกันสามขั้นเสียหายจนวงจรเปล่งผันกำลังไฟฟ้าไม่สามารถทำงานได้ ดังนั้นวงจรเปล่งผันกำลังไฟฟ้าแบบบูสต์เรียงต่อกันสามขั้นจำเป็นต้องอาศัยตัวควบคุมที่เหมาะสม เพื่อรักษาระดับแรงดันเอาร์พุตให้คงที่ได้ตามต้องการและมีสมรรถนะที่ดี ทั้งในสภาวะชั่วคราวและสภาวะอยู่ตัวภายใต้สถานการณ์การเปลี่ยนแปลงจุดการทำงานของ ในบทที่ 4 นี้จะนำเสนอการพัฒนาและออกแบบตัวควบคุมฟื้นฟูสำหรับวัสดุเปล่งผันกำลังไฟฟ้าแบบบูสต์เรียงต่อกันสามขั้น เพื่อให้ได้ค่าไว้ภูมิจกรหน้าที่สวิตซ์ที่เหมาะสม สามารถควบคุมให้ค่าแรงดันเอาร์พุตคงที่ตามต้องการและเข้าสู่สภาวะอยู่ตัวอย่างรวดเร็ว โดยเนื้อหาในบทนี้ประกอบด้วยโครงสร้างตัวควบคุมฟื้นฟู การออกแบบตัวควบคุมฟื้นฟู และการจำลองสถานการณ์ของวงจรเปล่งผันกำลังไฟฟ้าแบบบูสต์เรียงต่อกันสามขั้นภายใต้ตัวควบคุมฟื้นฟู โดยประสิทธิผลของตัวควบคุมฟื้นฟูที่พัฒนาขึ้นพิจารณาได้จากผลการจำลองสถานการณ์ เมื่อวงจรทำงานภายใต้สถานการณ์ต่าง ๆ เช่น การเปลี่ยนแปลงแรงดันอินพุต แรงดันอั้งอิง และโหลดตัวต้านทาน อีกทั้งยังได้นำเสนอผลการเบรียบเทียบสมรรถนะการทำงานของวงจรเมื่อใช้ตัวควบคุมฟื้นฟูที่พัฒนาขึ้นกับตัวควบคุมฟื้นฟูเดิม ภายใต้สถานการณ์การเปลี่ยนแปลงจุดการทำงานเดียวกัน ซึ่งมีเนื้อหาดังต่อไปนี้

#### 4.2 การออกแบบตัวควบคุมฟื้นฟูสำหรับวัสดุเปล่งผันกำลังไฟฟ้าแบบบูสต์เรียงต่อกันสามขั้น

ตัวควบคุมฟื้นฟูสำหรับวัสดุเปล่งผันกำลังไฟฟ้าแบบบูสต์เรียงต่อกันสามขั้น จะอาศัยตัวตรวจจับแรงดันวัดค่า  $V_O$  และตัวตรวจจับกระแสวัดค่า  $i_{L1}$  เพื่อส่งค่าที่วัดได้ไปยังตัวควบคุมฟื้นฟูที่พัฒนาขึ้น ส่วนเอาร์พุตของตัวควบคุมฟื้นฟูเป็นสัญญาณการทำงานของสวิตซ์ที่เหมาะสมให้กับสวิตซ์

ทั้งสามตัว เพื่อให้การควบคุมฟ์ซซีที่มีประสิทธิผลจึงพิจารณาค่าอินพุตสองค่าก่อนเข้าสู่กระบวนการฟ์ซซีได้แก่ค่าความผิดพลาดของแรงดัน ( $\Delta V$ ) และความชันกระแสที่แหล่งน้ำหนาตัวที่หนึ่ง ( $m_{iL1}$ ) โดยวัตถุประสงค์ของการเลือกอินพุต  $\Delta V$  คือเพื่อควบคุมให้ผลตอบสนองมีความถูกต้องในสถานะอยู่ตัว ส่วนอินพุต  $m_{iL1}$  จะถูกพิจารณาเพื่อควบคุมให้ผลตอบสนองของระบบมีความรวดเร็วยิ่งขึ้นในสภาวะชั่วครู่ หากพิจารณาอินพุตค่าที่สองเป็นกระแสที่แหล่งน้ำหนาตัวที่สอง ( $i_{L2}$ ) อาจจะให้ผลตอบสนองที่ได้ไม่รวดเร็วเท่ากับการใช้อินพุตเป็น  $i_{L1}$  เนื่องจากโครงสร้างของวงจรแปลงผันกำลังไฟฟ้าแบบบูสต์เรียงต่อกันสามชั้นนั้น ค่า  $i_{L2}$  แปรผันตรงกับ  $V_{C1}$  ดังสมการ (3.4) ในบทที่ 3 โดยที่  $V_{C1}$  ได้จากการชาร์จกระแส  $i_{L2}$  และคายประจุ จากกระแส  $i_{L1}$  โครงสร้างการควบคุมฟ์ซซีที่พัฒนาขึ้นสำหรับวงจรแปลงผันกำลังไฟฟ้าแบบบูสต์เรียงต่อกันสามชั้นประกอบด้วยอินพุตสำหรับตัวควบคุมฟ์ซซี (FC Inputs) กระบวนการควบคุมฟ์ซซี (FC Process) และเอาต์พุตของตัวควบคุมฟ์ซซี (FC Output) แสดงดังรูปที่ 4.1



รูปที่ 4.1 โครงสร้างการควบคุมฟ์ซซีที่พัฒนาขึ้นสำหรับวงจรแปลงผันกำลังไฟฟ้าแบบบูสต์เรียงต่อกันสามชั้น

จากโครงสร้างการควบคุมฟ์ซซีดังแสดงในรูปที่ 4.1 จะเห็นได้ว่าอินพุตสำหรับตัวควบคุมฟ์ซซีที่พัฒนาขึ้นประกอบด้วยสองส่วนสำคัญคือแรงดันเอาต์พุต ( $V_O$ ) และกระแสที่แหล่งน้ำหนาตัวแรก ( $i_{L1}$ ) โดยอินพุตค่าแรกของตัวควบคุมฟ์ซซีคือค่าความผิดพลาดของแรงดัน ( $\Delta V$ ) เป็นค่าผลต่างระหว่างแรงดันอ้างอิง  $V_{ref}$  และ  $V_O$  แสดงดังสมการ (4.1)

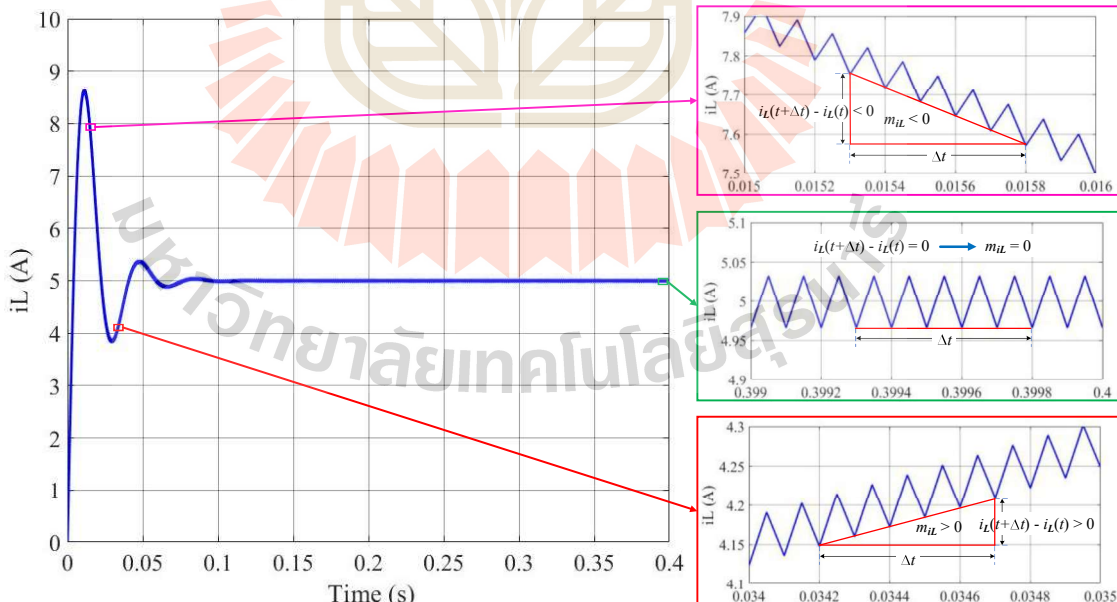
$$\Delta V = V_{ref} - V_O \quad (4.1)$$

ก่อนนำค่า  $\Delta V$  เข้าสู่กระบวนการฟื้นฟู ได้ดำเนินการปรับค่าสเกล หรือเรียกว่าการนอร์มัลไลซ์ (Normalization) เพื่อให้ค่า  $\Delta V$  อยู่ภายในขอบเขตที่การควบคุมฟื้นฟูสามารถทำงานได้อย่างครอบคลุม โดยหารค่า  $\Delta V$  ด้วย  $V_{ref}$  และจึงเข้าสู่กระบวนการฟื้นฟูต่อไป

ส่วนอินพุตค่าที่สองของตัวควบคุมฟื้นฟูคืออัตราการเปลี่ยนแปลงกระแสตัวเห็นได้ทั่วที่หนึ่งต่อการเปลี่ยนแปลงเวลา หรือความชันกระแสที่แหล่งผ่านตัวเห็นได้ทั่วที่หนึ่ง ( $m_{iL1}$ ) ดังแสดงในสมการ (4.2) ซึ่งเป็นค่าผลต่างระหว่างกระแสที่แหล่งผ่านตัวเห็นได้ทั่วที่หนึ่ง ณ เวลาใด ๆ ( $i_{L1}(t)$ ) และกระแสที่แหล่งผ่านตัวเห็นได้ทั่วที่หนึ่งในอดีต ( $i_{L1}(t-\Delta t)$ ) ส่วนด้วยการเปลี่ยนแปลงของเวลา ( $\Delta t$ )

$$m_{iL1} = \frac{i_{L1}(t) - i_{L1}(t - \Delta t)}{\Delta t} \quad (4.2)$$

ทั้งนี้การพิจารณาค่า  $\Delta t$  จะกำหนดให้มีค่ามากกว่าcabการสวิตช์  $T_s$  โดยรูปที่ 4.2 แสดงความสัมพันธ์ระหว่างสัญญาณการสวิตช์ ( $u(t)$ ) และ  $i_{L1}$  โดยเมื่อสวิตช์นำกระแส (ON) พบร้าว่าค่ากระแส  $i_{L1}$  จะมีค่าเพิ่มขึ้นจากการสะสมพลังงาน ดังนั้น  $m_{iL1}$  จะเป็นบวก และหากสวิตช์หยุดนำกระแส (OFF) จะทำให้ค่ากระแส  $i_{L1}$  มีค่าลดลงจากการรายพลังงาน ดังนั้น  $m_{iL1}$  จะเป็นลบ



รูปที่ 4.2 ความสัมพันธ์ระหว่างสัญญาณการสวิตช์ และกระแสที่แหล่งผ่านตัวเห็นได้ทั่วที่ 1

ก่อนนำค่า  $m_{IL1}$  เข้าสู่กระบวนการพื้นที่จะดำเนินการปรับค่าสเกล เพื่อให้  $m_{IL1}$  อยู่ภายในขอบเขตการควบคุมพื้นที่ สามารถทำงานได้อย่างครอบคลุม โดยทำการหารด้วยค่าความชันอ้างอิง ( $m_{ref}$ ) และจึงเข้าสู่กระบวนการพื้นที่ต่อไป จากการสังเกตพฤติกรรมการทำงานของวงจรแปลงผันกำลังไฟฟ้าแบบบูสต์เรียงต่อกันสามชั้น ค่า  $m_{ref}$  สามารถพิจารณาได้จาก  $\Delta i_{L1}$  ในช่วงสภาวะอยู่ตัวดังแสดงในสมการที่ (3.43) ที่ได้จากการออกแบบค่าพารามิเตอร์ตัวหนีบเนี้ยงตัวที่หนึ่ง และค่า  $\Delta t$  ที่พิจารณาไว้ ดังแสดงในสมการที่ (4.3) โดยที่  $D$  คือค่าวัฏจักรหน้าที่ของสวิตช์ทั้งสามที่ทำงานพร้อมกัน

$$m_{ref} \geq \frac{\Delta i_{L1}}{\Delta t} = \frac{DV_{in}}{\Delta t f_s L_1} \quad (4.3)$$

จากสมการที่ (4.3) หากค่า  $m_{ref}$  มีค่าน้อยจะส่งผลให้การทำงานของวงจรเข้าสู่สภาวะอยู่ตัวซ้ำ จะได้ค่ากระแสอ้างอิง ( $I_{ref}$ ) ดังสมการที่ (4.4) ซึ่งจะนำไปใช้ในการอิบายหลักการออกแบบกฎทางพื้นที่ในขั้นต่อไป

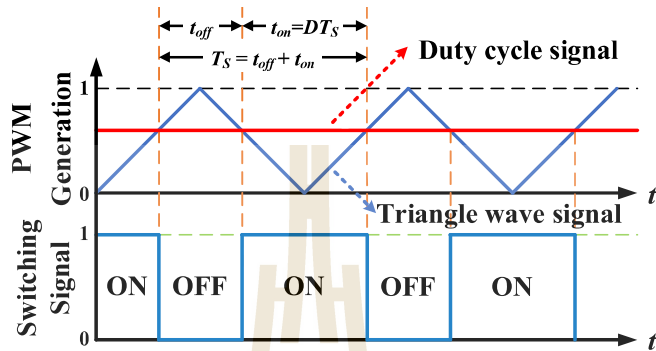
$$I_{ref} = m_{ref} \Delta t \quad (4.4)$$

เอกสารพุทธของตัวควบคุมพื้นที่คือการเปลี่ยนแปลงของค่าวัฏจักรหน้าที่สวิตช์ ( $\Delta D$ ) จากนั้นจะเข้าสู่กระบวนการสร้างค่าวัฏจักรหน้าที่สวิตช์ (Duty cycle generation) โดยค่าวัฏจักรหน้าที่สวิตช์ ในปัจจุบัน ( $D_n$ ) จะได้จากการนำค่าวัฏจักรหน้าที่ก่อนหน้า ( $D_{n-1}$ ) บวกกับการเปลี่ยนแปลงของค่าวัฏจักรหน้าที่สวิตช์ปัจจุบัน ( $\Delta D$ ) ดังสมการที่ (4.5)

$$D_n = D_{n-1} + \Delta D \quad (4.5)$$

เอกสารพุทธของตัวควบคุมพื้นที่  $\Delta D$  อาจมีค่าเป็นบวก ศูนย์ หรือลบ เพื่อปรับค่าวัฏจักรหน้าที่สวิตช์เพิ่มขึ้นหรือลดลงเหมาะสมต่อการควบคุมการทำงานวงจรแปลงผันกำลังไฟฟ้าแบบบูสต์เรียงต่อกันสามชั้นโดยจะขึ้นอยู่กับการออกแบบกฎในระบบพื้นที่ของผู้เชี่ยวชาญ สุดท้ายจะเข้าสู่กระบวนการสร้างสัญญาณการสวิตช์ (Pulse width modulation generation) สำหรับสวิตช์ทั้งสามตัว โดยการเปรียบเทียบระหว่างค่า  $D$  กับสัญญาณรายค่ารูปฟันเลื่อย (Sawtooth wave signal) หรือสัญญาณรายค่ารูปสามเหลี่ยม (Triangle wave signal) โดยหากค่าวัฏจักรหน้าที่สวิตช์มากกว่า หรือเท่ากับ

สัญญาณรายค่าบูรณาการจะให้สัญญาณการสวิตช์ที่เป็นเปิด (ON) หรือสวิตช์นำกระแส ในทางตรงกันข้ามหากค่าวัดจกรหน้าที่สวิตช์น้อยกว่าสัญญาณรายค่าบูรณาการจะให้สัญญาณการสวิตช์ที่เป็นปิด (OFF) หรือสวิตช์หยุดนำกระแส ซึ่งสามารถแสดงสัญญาณการสวิตช์ดังรูปที่ 4.3



รูปที่ 4.3 กระบวนการสร้างสัญญาณการสวิตช์ (PWM generation)

จากการศึกษาพฤติกรรมการทำงานของวงจรแปลงผันกำลังไฟฟ้าแบบบูสต์เรียงต่อกันสามขั้น พบว่าเมื่อค่า  $D$  เพิ่มขึ้น ส่งผลให้  $i_{L1}$  และ  $V_O$  เพิ่มขึ้น ในตรงกันข้ามหากค่า  $D$  ลดลง ส่งผลให้  $i_{L1}$  และ  $V_O$  ลดลงเช่นกัน

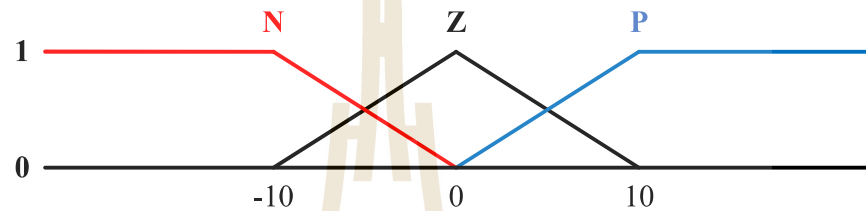
จุดประสงค์ของการออกแบบตัวควบคุมฟิล์มีคือต้องการให้ผลตอบสนองของ  $V_O$  ไม่เกิดการพุ่งเกินในสภาวะชั่วครู่ และเข้าสู่สภาวะอยู่ตัวอย่างรวดเร็ว จำเป็นต้องควบคุม  $i_{L1}$  ให้มีความชันตามต้องการ ด้วยการปรับค่า  $D$  ในการออกแบบตัวควบคุมฟิล์มีชื่อว่า “ $m_{iL1}$ ” ที่นิยามความหมายของ  $\Delta V$  ในรูปของภาษา “Negative: N”, “Zero: Z” และ “Positive: P” ซึ่งหมายถึง  $V_O > V_{ref}$ ,  $V_O = V_{ref}$  และ  $V_O < V_{ref}$  ตามลำดับ ในส่วนของ  $m_{iL1}$  ถูกพิจารณาให้อยู่ในรูปของภาษา “Negative Large: NL”, “Negative Medium: NM”, “Zero: Z”, “Positive Medium: PM” และ “Positive Large: PL” รายละเอียดตัว выражภาษาที่นักศึกษาจะกล่าวในหัวข้อถัดไป

#### 4.2.1 พังก์ชันสมาชิก (Membership Function)

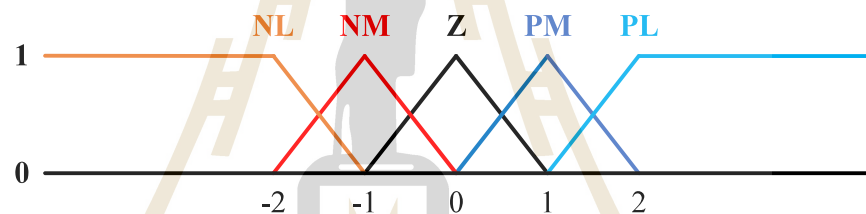
จากการพัฒนาพังก์ชันสมาชิกจะทราบว่าฟิล์มีเขตของค่า  $\Delta V$  และ  $m_{iL1}$  ที่ถูกน้อมล้ำไว้ให้อยู่ในขอบเขตที่เหมาะสม ดังรูปที่ 4.4 และ 4.5 ตามลำดับ

สำหรับพังก์ชันสมาชิกของ  $\Delta V/V_{ref}$  และ  $m_{iL1}/m_{ref}$  ใช้รูปร่างของพังก์ชันสมาชิก เป็นแบบสามเหลี่ยม (Triangular) และรูปสี่เหลี่ยมคงที่ (Trapezoidal) อีกทั้งยังสามารถออกแบบ ให้มีขอบเขตระหว่างเขตที่มีการทับซ้อนแสดงด้วยเส้นตรงที่มีความชัน ซึ่งทำให้ค่าของตัวแปรสามารถ มีค่าความเป็นสมาชิกทับซ้อนระหว่างสองเขตได้ พังก์ชันสมาชิกนี้เป็นส่วนสำคัญที่ทำให้ระบบฟิล์มี

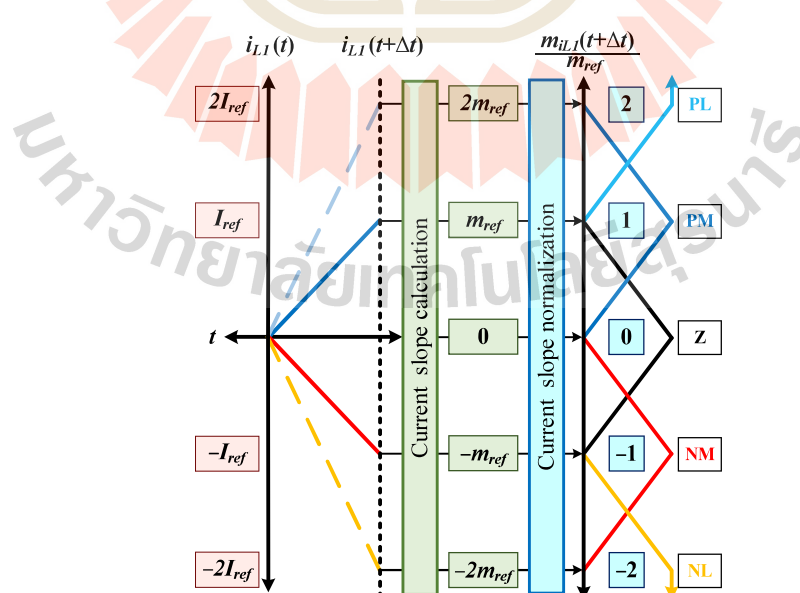
ลองจิอกสามารถจำลองความรู้จากการสังเกตพฤติกรรมการทำงานต่าง ๆ ของวงจร ในการออกแบบขอบเขตระหว่างเซตจะพิจารณาวงจรแปลงผันกำลังไฟฟ้าแบบบูสต์เรียงต่อกันสามขั้นที่มีแหล่งจ่ายไฟฟ้า 20V และต้องการแรงดันเอาต์พุตเป็น 400V สำหรับโหลดตัวต้านทาน  $1600\Omega$  ซึ่งจะได้กำลังไฟฟ้าเป็น 100W อย่างไรก็ตามตัวควบคุมฟซซีที่พัฒนาขึ้นยังสามารถทำงานได้อย่างมีประสิทธิผลถึงแม้จะมีการเปลี่ยนแปลงจุดการทำงานของแหล่งจ่ายแรงดัน แรงดันอ้างอิง และโหลดตัวต้านทาน ซึ่งจุดการทำงานที่เปลี่ยนไปนั้น ส่งผลโดยตรงต่อกำลังไฟฟ้าเอาต์พุตให้เปลี่ยนแปลงไปด้วย



รูปที่ 4.4 พังก์ชันสมาชิกนอร์มัลไลซ์ของความผิดพลาดของแรงดัน ( $\Delta V/V_{ref}$ )



รูปที่ 4.5 พังก์ชันสมาชิกนอร์มัลไลซ์ของความชันกระแสไฟฟ้าผ่านตัวเหนี่ยวนำตัวที่ 1 ( $m_{iL1}/m_{ref}$ )



รูปที่ 4.6 ความสัมพันธ์ของ  $i_{L1}$  ณ เวลาใด ๆ และพังก์ชันสมาชิก  $m_{iL1}/m_{ref}$

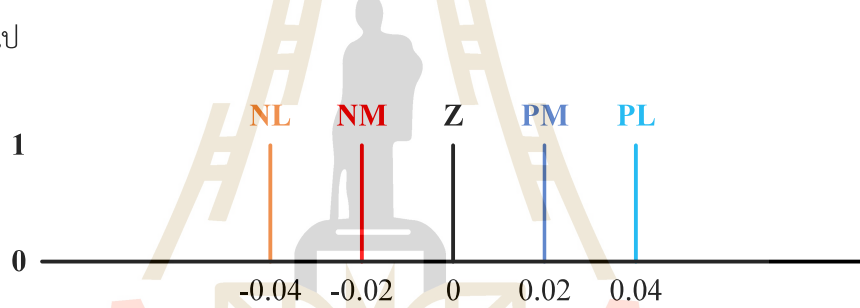
เมื่อพิจารณา  $i_{L1}$  ณ เวลาใด ๆ สามารถหาความสัมพันธ์ร่วมกับฟังก์ชันสมาชิกของ  $m_{iL1}/m_{ref}$  ในช่วง  $\Delta t$  ที่พิจารณา ร่วมกับค่า  $I_{ref}$  ในสมการที่ (4.4) ซึ่งแบ่งออกได้เป็น 5 กรณี ดังนี้

- หาก  $i_{L1}(t+\Delta t) - i_{L1}(t) = 2I_{ref}$  จะได้  $m_{iL1}/m_{ref} = 2$  ที่เป็นสมาชิกของเซต PL
- หาก  $i_{L1}(t+\Delta t) - i_{L1}(t) = I_{ref}$  จะได้  $m_{iL1}/m_{ref} = 1$  ที่เป็นสมาชิกของเซต PM
- หาก  $i_{L1}(t+\Delta t) - i_{L1}(t) = 0$  จะได้  $m_{iL1}/m_{ref} = 0$  ที่เป็นสมาชิกของเซต Z
- หาก  $i_{L1}(t+\Delta t) - i_{L1}(t) = -I_{ref}$  จะได้  $m_{iL1}/m_{ref} = -1$  ที่เป็นสมาชิกของเซต NM
- หาก  $i_{L1}(t+\Delta t) - i_{L1}(t) = -2I_{ref}$  จะได้  $m_{iL1}/m_{ref} = -2$  ที่เป็นสมาชิกของเซต NL

จากความสัมพันธ์ของ  $i_{L1}$  ณ เวลาใด ๆ และฟังก์ชันสมาชิก  $m_{iL1}/m_{ref}$  แสดงได้ดังรูป

ที่ 4.6

ส่วนฟังก์ชันสมาชิกของ  $\Delta D$  จะใช้รูปร่างของฟังก์ชันสมาชิกเป็นค่าคงที่เส้นตรงโน่น ดังรูปที่ 4.7 ซึ่งเป็นรูปแบบการอนุमานฟuzzify แบบ Sugeno (Sugeno fuzzy inference) ซึ่งจะกล่าว ในหัวข้อถัดไป



รูปที่ 4.7 ฟังก์ชันสมาชิกของการเปลี่ยนแปลงของค่าวัฏจักรหน้าที่สวิตซ์ ( $\Delta D$ )

#### 4.2.2 ตัวแปรภาษา (Linguistic variable)

ระบบฟuzzify ลักษณะของปัจจัยประกอบไปด้วยฟuzzifier ที่ทำหน้าที่ระบุค่าความเป็นสมาชิกของตัวแปรภาษาในระบบ จะสังเกตได้ว่าฟuzzifier ประกอบไปด้วยตัวแปรภาษา (Linguistic variable) ตัวแปร ดังกล่าวสามารถเรียกว่าเป็นตัวแปรฟuzzifier ตัวแปรฟuzzifier จะให้ค่าเป็นคำพูดที่มีความหมายตามที่ต้องการ ที่เป็นภาษาคำพูดของมนุษย์ ไม่ใช่คอมพิวเตอร์ หรือเครื่องจักร ดังนั้นระบบฟuzzifier ลักษณะของปัจจัยจะเป็นระบบที่ จำลองการสื่อสารของมนุษย์ เช่น ระบบผู้เชี่ยวชาญ (Expert system) มีการใช้ตัวแปรภาษาในการกำหนดกฎเกณฑ์ภายในระบบ

จากโครงสร้างการควบคุมฟuzzifier สำหรับวงจรแปลงผันกำลังไฟฟ้าแบบบูสต์เรียงต่อ กัน สามขั้นที่พัฒนาขึ้นดังแสดงในรูปที่ 4.1 เมื่อปริมาณในระบบมีการเปลี่ยนแปลง ตัวแปรที่เกี่ยวข้องใน ส่วนที่เป็นฟuzzifier จะต้องมีการควบคุมให้มีการเปลี่ยนแปลงให้เหมาะสมด้วย โดยตัวแปรที่ใช้สำหรับ คำสั่งของระบบคือค่า  $\Delta V$  และ  $m_{iL1}$  หลังจากนั้นอินพุตดังกล่าวจะถูกน้อมูลให้อยู่ในขอบเขตที่

ต้องการก่อนเข้าสู่กระบวนการฟิชซี ดังนั้นระบบในที่นี้จึงมี 2 อินพุต และ 1 เอ้าต์พุตที่เป็น  $\Delta D$  แสดงในตารางที่ 4.1 โดยตัวแปรภาษา และค่าเชิงภาษา มีรายละเอียดดังนี้

ตารางที่ 4.1 ตัวแปรภาษาของตัวควบคุมฟิชซีสำหรับวงจรแปลงผันกำลังไฟฟ้าแบบบูสต์เรียงต่อกันสามขั้น

พารามิเตอร์	ตัวแปร	ความหมาย	ตัวแปรภาษา	ความหมายตัวแปร
อินพุตที่ 1	$\Delta V/V_{ref}$	ค่านอร์มัลไลซ์ของความผิดพลาดของแรงดัน	Negative: N Zero: Z Positive: P	ลบ ศูนย์ บวก
อินพุตที่ 2	$m_{IL1}/m_{ref}$	ค่ามัลไทซ์ของความชันกระแทกที่แหล่งกำเนิดตัวที่ 1 เหนี่ยวนำตัวที่ 1	Negative Large: NL Negative Medium: NM Zero: Z Positive Medium: PM Positive Large: PL	ลบมาก ลบปานกลาง ศูนย์ บวกปานกลาง บวกมาก
เอ้าต์พุต	$\Delta D$	การเปลี่ยนแปลงของค่าวัสดุจกรหน้าที่สวิตซ์	Negative Large: NL Negative Medium: NM Zero: Z Positive Medium: PM Positive Large: PL	ลบมาก ลบปานกลาง ศูนย์ บวกปานกลาง บวกมาก

#### 4.2.3 กฎของฟิชซี (Fuzzy Rule)

กฎของฟิชซีเป็นวิธีการนำเอาความเข้าใจพฤติกรรมการทำงานของวงจรจากผู้สังเกตการณ์มาออกแบบให้อยู่ในระบบฟิชซีโลจิก กฎของฟิชซีประกอบไปด้วยสองส่วนหลักคือส่วนถ้า (IF) และส่วนแล้ว (THEN) เมื่อค่าเงื่อนไขใน IF เป็นจริง ส่วน THEN จะถูกประเมิน ในทฤษฎีฟิชซี ค่าเงื่อนไขใน IF จะมีความเป็นฟิชซีในระดับหนึ่ง ส่วน THEN จะถูกประเมินค่าด้วยค่าระดับความเป็นสมาชิก ซึ่งจะให้ค่าที่สัมพันธ์ในระดับนั้น ๆ ด้วย ค่าเงื่อนไขในส่วนของ IF ยังสามารถมีได้หลายค่า เช่นเดียวกันกับส่วน THEN ทุกเงื่อนไขในส่วน IF จะถูกประเมินพร้อม ๆ กัน และรวมกันด้วยปฏิบัติการทางเซต โดยปกติมักจะจำกัดจำนวนค่าเงื่อนไขในระบบไม่ให้มีมากเกินไป โดยการเลือกใช้กฎที่จำเป็นเท่านั้น การควบคุมฟิชซีสำหรับวงจรแปลงผันกำลังไฟฟ้าแบบบูสต์เรียงต่อกันสามขั้นซึ่งมี

สองอินพุต ได้แก่  $\Delta V/V_{ref}$  และ  $m_{iL1}/m_{ref}$  และเอาต์พุตคือ  $\Delta D$  สามารถแสดงได้ดังตารางที่ 4.2 รูปแบบการแสดงถึงความจำพื้นที่สัมพันธ์ (Fuzzy associative memory) ซึ่งการออกแบบกฎของพื้นที่ระหว่างตัวแปรทั้ง 3 มีดังนี้

1 <sup>st</sup>	IF $\Delta V/V_{ref} = N$ AND $m_{iL1}/m_{ref} = PL$	THEN $\Delta D = NL$
2 <sup>nd</sup>	IF $\Delta V/V_{ref} = N$ AND $m_{iL1}/m_{ref} = PM$	THEN $\Delta D = NL$
3 <sup>rd</sup>	IF $\Delta V/V_{ref} = N$ AND $m_{iL1}/m_{ref} = Z$	THEN $\Delta D = NM$
4 <sup>th</sup>	IF $\Delta V/V_{ref} = N$ AND $m_{iL1}/m_{ref} = NM$	THEN $\Delta D = Z$
5 <sup>th</sup>	IF $\Delta V/V_{ref} = N$ AND $m_{iL1}/m_{ref} = NL$	THEN $\Delta D = PM$
6 <sup>th</sup>	IF $\Delta V/V_{ref} = Z$ AND $m_{iL1}/m_{ref} = PL$	THEN $\Delta D = NL$
7 <sup>th</sup>	IF $\Delta V/V_{ref} = Z$ AND $m_{iL1}/m_{ref} = PM$	THEN $\Delta D = NM$
8 <sup>th</sup>	IF $\Delta V/V_{ref} = Z$ AND $m_{iL1}/m_{ref} = Z$	THEN $\Delta D = Z$
9 <sup>th</sup>	IF $\Delta V/V_{ref} = Z$ AND $m_{iL1}/m_{ref} = NM$	THEN $\Delta D = PM$
10 <sup>th</sup>	IF $\Delta V/V_{ref} = Z$ AND $m_{iL1}/m_{ref} = NL$	THEN $\Delta D = PL$
11 <sup>th</sup>	IF $\Delta V/V_{ref} = P$ AND $m_{iL1}/m_{ref} = PL$	THEN $\Delta D = NM$
12 <sup>th</sup>	IF $\Delta V/V_{ref} = P$ AND $m_{iL1}/m_{ref} = PM$	THEN $\Delta D = Z$
13 <sup>th</sup>	IF $\Delta V/V_{ref} = P$ AND $m_{iL1}/m_{ref} = Z$	THEN $\Delta D = PM$
14 <sup>th</sup>	IF $\Delta V/V_{ref} = P$ AND $m_{iL1}/m_{ref} = NM$	THEN $\Delta D = PL$
15 <sup>th</sup>	IF $\Delta V/V_{ref} = P$ AND $m_{iL1}/m_{ref} = NL$	THEN $\Delta D = PL$

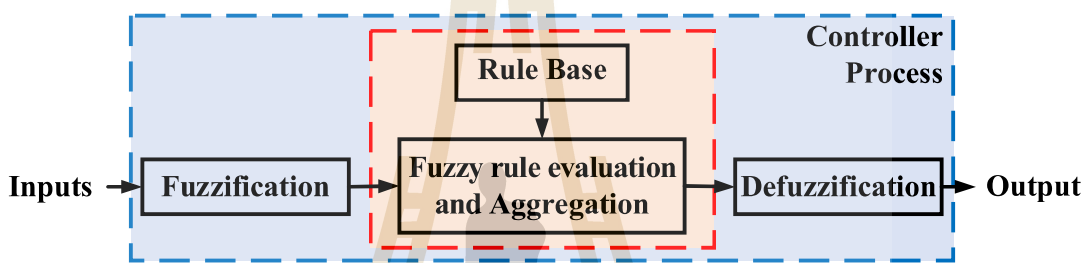
ตารางที่ 4.2 หน่วยความจำพื้นที่สัมพันธ์ของตัวควบคุมพื้นที่สำหรับวงจรแปลงผันกำลังไฟฟ้าแบบบูสต์ เรียงต่อกันสามขั้นที่พัฒนาขึ้น

$\Delta V/V_{ref}$	N	Z	P
$m_{iL1}/m_{ref}$	NL	NL	NM
PL	NL	NM	Z
PM	NM	Z	PM
Z	Z	PM	PL
NM	PM	PL	PL
NL	PM	PL	PL

กฎพื้นที่ทั้ง 15 กฎนี้จะใช้สำหรับควบคุมการทำงานของจรวดแบบผันกำลังไฟฟ้าแบบบูสต์เรียงต่อกันสามขั้น ซึ่งจะกล่าวถึงในหัวข้อกระบวนการควบคุม

#### 4.2.4 การอนุมานพื้นที่ (Fuzzy Inference)

การอนุมานพื้นที่สามารถนิยามว่าเป็นการส่งค่า (Mapping) จากค่าอินพุตของระบบไปยังเอ้าร์พุต โดยใช้หลักการของทฤษฎีเซต การอนุมานพื้นที่แบบ Sugeno (Sugeno fuzzy inference) ถูกใช้สำหรับการควบคุมพื้นที่สำหรับวงจรแบบผันกำลังไฟฟ้าแบบบูสต์เรียงต่อกันสามขั้นที่พัฒนาขึ้น ประกอบด้วย 4 ขั้นตอน ได้แก่ การทำพื้นที่ การประเมินกฎของพื้นที่ การรวมกฎ และการทำพื้นที่ดังรูปที่ 4.8 ซึ่งมีรายละเอียดต่อไปนี้



รูปที่ 4.8 โครงสร้างของการควบคุมแบบพื้นที่

การทำพื้นที่ (Fuzzification) คือการคำนวณหาค่าระดับความเป็นสมาชิกของเขตค่าตัวแปรเชิงภาษาของตัวแปรในระบบ ในขั้นตอนแรกของการอนุมานพื้นที่จะต้องทำการหาค่าระดับความเป็นสมาชิกของเขตดังกล่าวของตัวแปรอินพุต ซึ่งค่าของตัวแปรอินพุตที่เข้ามาสู่ในระบบ จะอยู่ในรูปของค่าเชิงตัวเลข หลังจากนั้นแล้วค่าระดับความเป็นสมาชิกของอินพุตค่านั้น ๆ จะสามารถหาได้จากฟังก์ชันสมาชิก การทำพื้นที่ของตัวแปรอินพุตจะขึ้นอยู่กับกฎของพื้นที่ด้วยเช่นกัน เนื่องจากสำหรับอินพุตค่าหนึ่ง ๆ จะมีผลต่อกฎของพื้นที่บางข้อเท่านั้น

การควบคุม (Controller) ประกอบด้วยสองส่วนประกอบด้วยส่วนที่หนึ่งคือการการประเมินค่าของตัวแปรที่ได้ในกฎของพื้นที่ (Fuzzy rule evaluation) จะเป็นขั้นตอนถัดไปหลังจากคำนวณหาค่าระดับความเป็นสมาชิกของอินพุตทั้งหมด ซึ่งจะเป็นส่วน IF จุดประสงค์เพื่อทำการประเมินว่าค่าเงื่อนไขจากอินพุตนั้นจะทำให้กฎใดต้องกระทำในส่วน THEN ต่อไป ซึ่งอาจจะมีกฎในเงื่อนไขดังกล่าวมากกว่าหนึ่งกฎพร้อม ๆ กัน เนื่องมาจากมีอินพุตมากกว่าหนึ่ง เงื่อนไขของแต่ละอินพุตจะถูกประเมินค่าด้วยตัวกระทำของพื้นที่เซต เพื่อให้ได้ผลลัพธ์สุดท้ายเป็นค่าตัวเลขที่สามารถนำไปประเมินค่าส่วน THEN ซึ่งภายหลังจะถูกนำไปประเมินเพื่อหาค่าระดับความเป็นสมาชิกของตัวแปรเอ้าร์พุตในขั้นตอนต่อไป ส่วนที่สองคือการรวมกฎ (Aggregation) เป็นกระบวนการหลังจาก

ต่าง ๆ ถูกประเมินค่าแล้ว กฎที่มีผลไม่เท่ากับศูนย์จะถูกรวบเข้าด้วยกันโดยการรวมผลลัพธ์ของ พังก์ชันสมาชิกที่ผ่านการประเมินค่า หรือปรับขนาดทั้งหมดเข้าด้วยกันเป็นเซตเดียวสำหรับแต่ละตัว แอร์โตร์พุต การรวมกฎจะใช้ตัวกระทำอยู่เนื่องในขั้นตอนต่อไปจะนำผลการรวมกฎนี้ไปแปลงเป็นค่า ตัวเลขเดียวเพื่อนำเอาไปใช้ในการประมวลผลต่อไป

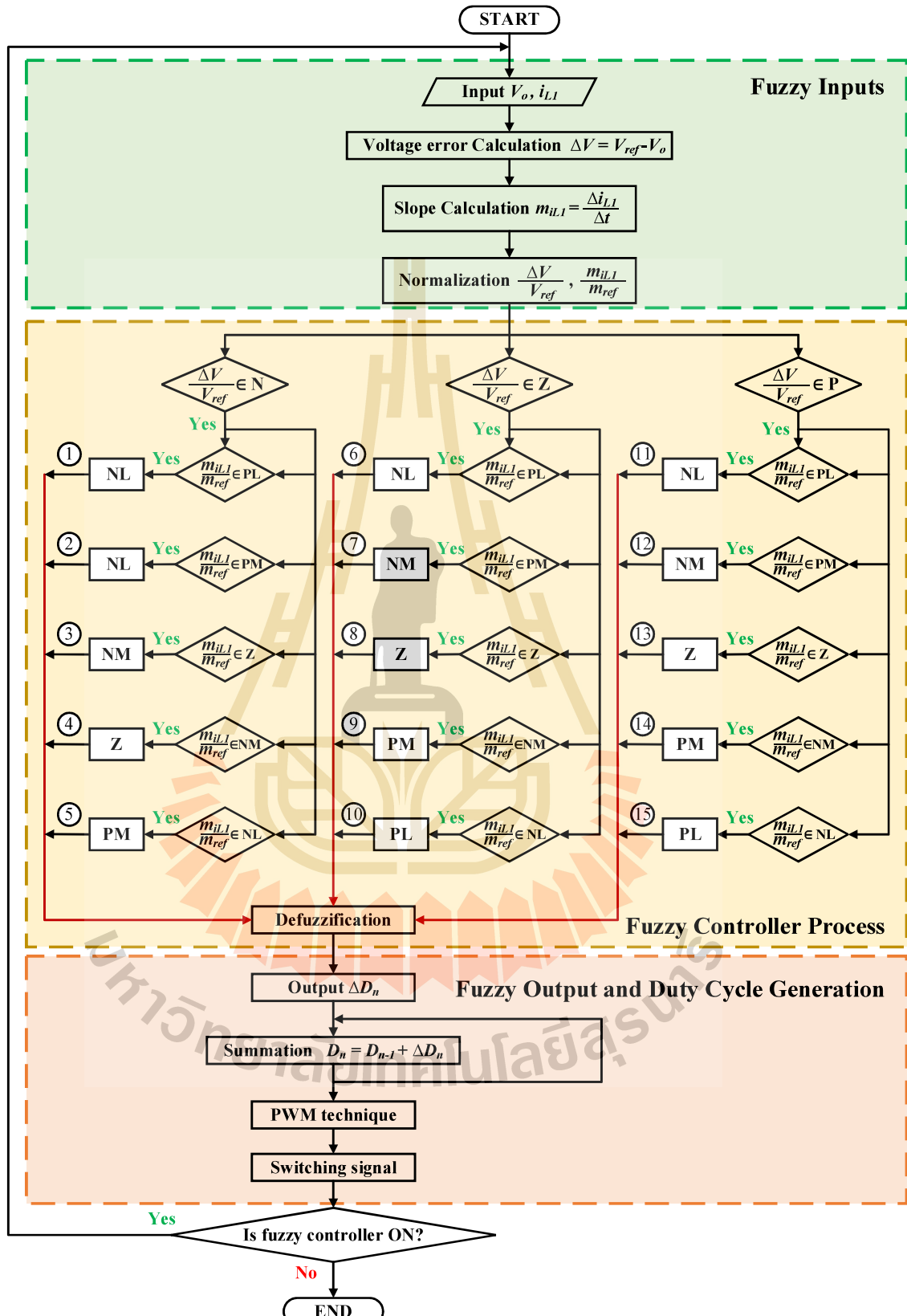
การทำดีฟัซซี (Defuzzification) จากขั้นตอนแรกมาจนถึงขั้นตอนนี้ ค่าต่าง ๆ ในระบบเป็นค่าฟัซซี ไม่ว่าจะเป็นอินพุต กฎต่าง ๆ หรือแอร์โตร์พุต ค่าของแอร์โตร์พุตจะต้องถูกแปลงให้อยู่ในรูปที่สามารถใช้งานได้จริง ซึ่งค่าเหล่านี้ไม่สามารถเป็นค่าฟัซซีได้ เพราะค่าฟัซซีจะเป็นที่เข้าใจภายในระบบฟัซซีเท่านั้น ดังนั้นค่าสุดท้ายจากแอร์โตร์พุตของระบบจะต้องเป็นค่าชัดเจน (Crisp value) การทำดีฟัซซีคือขั้นตอนในการแปลงค่าจากผลการรวมกฎให้อยู่ในรูปของค่าชัดเจน

สำหรับการอนุமานฟัซซีแบบ Sugeno (Sugeno fuzzy inference) ค่าแอร์โตร์พุตของแต่ละกฎจะเป็นเส้นตรงโทน ดังรูปที่ 4.7 ค่าแอร์โตร์พุตที่ได้จากการทำดีฟัซซีนี้เรียกว่าค่าน้ำหนักเฉลี่ย (Weighted average: WA) ดังสมการที่ (4.6)

$$\Delta D = \frac{\sum_{i=1}^N y_i u_i}{\sum_{i=1}^N u_i} \quad (4.6)$$

โดยที่  $y_i$  คือ เอาต์พุตจากแต่ละกฎ  
 $u_i$  คือ เอาต์พุตของแต่ละสมาชิกฟังก์ชัน  
 $N$  คือ จำนวนกฎ

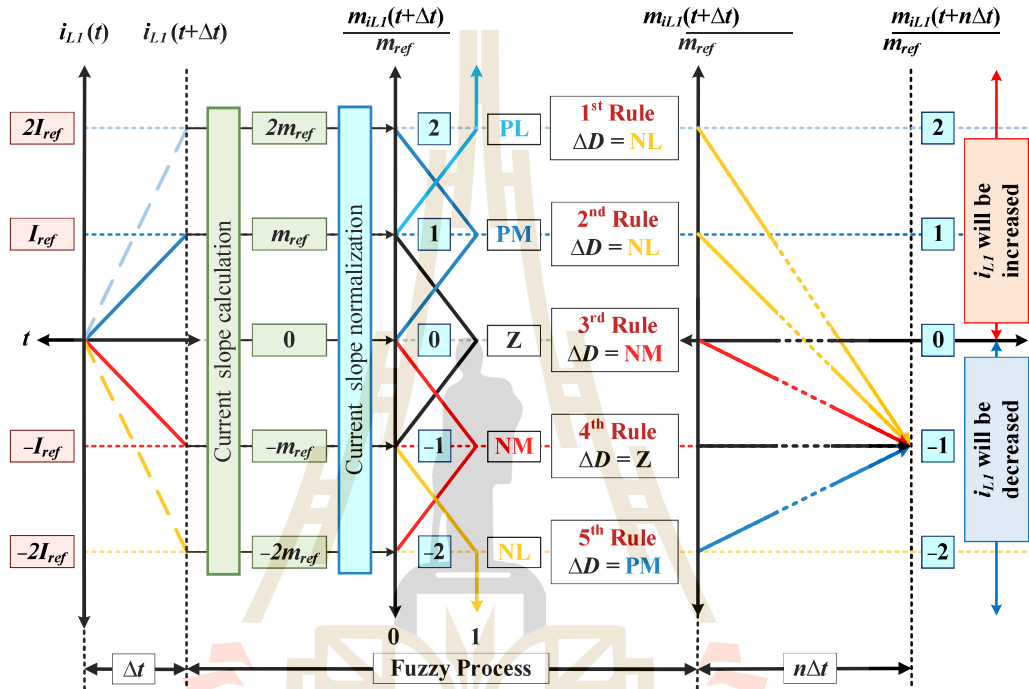
จากการออกแบบการควบคุมฟัซซีสำหรับวงจรแปลงผันกำลังไฟฟ้าแบบบูสต์เรียงตอกันสามขั้นที่กล่าวมาข้างต้น สามารถอธิบายด้วยโครงสร้างการควบคุมฟัซซีดังรูปที่ 4.9 โดยค่าวัสดุจกรหน้าที่สวิตซ์ในปัจจุบัน ( $D_n$ ) จะได้จากการนำค่าวัสดุจกรหน้าที่ก่อนหน้า ( $D_{n-1}$ ) บวกกับการเปลี่ยนแปลงของค่าวัสดุจกรหน้าที่สวิตซ์ปัจจุบัน ( $\Delta D$ )



รูปที่ 4.9 โครงสร้างการควบคุมพื้นที่สำหรับวงจรแปลงผันกำลังไฟฟ้าแบบบุสต์เรียงต่อกันสามขั้น

#### 4.2.5 กระบวนการควบคุม (Control Process)

จากการสังเกตพฤติกรรมการทำงานของวงจรแปลงผันกำลังไฟฟ้าแบบบูสต์เรียงต่อ กันสามารถสามารถออกแบบการควบคุมพื้นฐาน โดยพิจารณาพังก์ชันสมाचิกของ  $\Delta V/V_{ref}$  อีกทั้ง หน่วยความจำพื้นที่สำรองตั้งตารางที่ 4.2 สามารถแยกกระบวนการควบคุมออกได้เป็น 3 กรณี ซึ่ง สามารถอธิบายได้ดังนี้

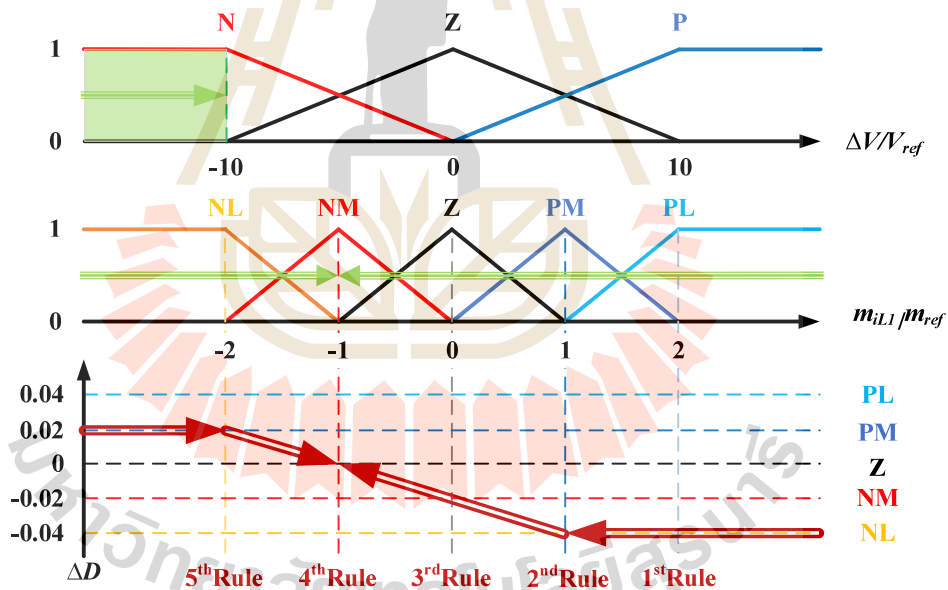


รูปที่ 4.10 กระบวนการฟื้นฟูของ  $i_{L1}$  ณ เวลาใด ๆ กรณีที่ค่า  $\Delta V/V_{ref} \in N$

กรณีที่ 1  $\Delta V/V_{ref}$  เป็นสมाचิกของเชตalon ( $\Delta V/V_{ref} \in N$ ) ก็ต่อเมื่อ  $V_O$  มีค่ามากกว่า  $V_{ref}$  กระบวนการฟื้นฟูของ  $i_{L1}$  ณ เวลาใด ๆ พบร่วมความเป็นไปได้ที่จะเข้าเงื่อนไขกฎพื้นที่ข้อที่ 1 ถึง กฎที่ 5 กระบวนการตั้งกล่าวสามารถอธิบายได้ดังนี้

- 1) กฎพื้นที่ข้อที่ 1 เมื่อ  $m_{iL1}/m_{ref}$  เป็นบวกค่ามากอยู่ในเซต PL หมายถึง  $i_{L1}$  ณ เวลาที่พิจารณากำลังเพิ่มขึ้นสูงมาก ดังนั้นตัวควบคุมพื้นที่ต้องลดค่า  $D$  โดยการสร้าง  $\Delta D$  ที่ติดลบมาก (NL) เพื่อทำให้ค่า  $m_{iL1}$  ลดลงมากเข้าหา  $-m_{ref}$
- 2) กฎพื้นที่ข้อที่ 2 เมื่อ  $m_{iL1}/m_{ref}$  มีค่าบวกปานกลางอยู่ในเซต PM หมายถึง  $i_{L1}$  ณ เวลาที่พิจารณากำลังเพิ่มขึ้นสูงไม่มากนัก ดังนั้นตัวควบคุมพื้นที่ต้องลดค่า  $D$  โดยการสร้าง  $\Delta D$  ที่ติดลบมาก (NL) เพื่อทำให้ค่า  $m_{iL1}$  ลดลงมากเข้าหา  $-m_{ref}$

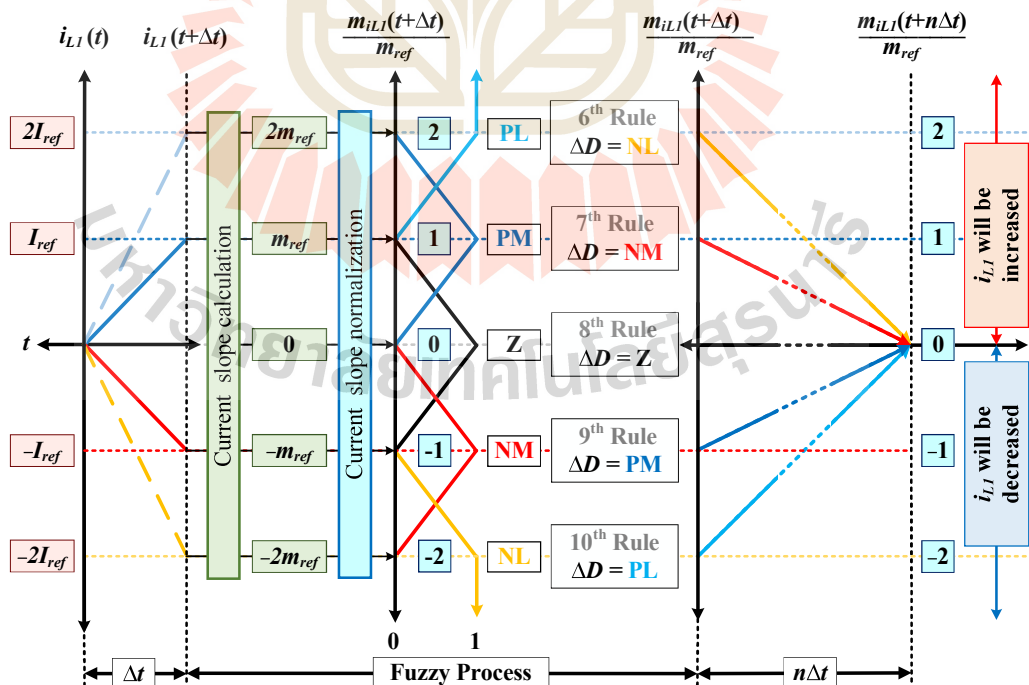
- 3) กฎพื้นฐานข้อที่ 3 เมื่อ  $m_{iL1}/m_{ref}$  มีค่าประมาณศูนย์อยู่ในเขต  $Z$  หมายถึง  $i_{L1}$  ณ เวลาที่พิจารณาไม่เปลี่ยนแปลง ดังนั้นตัวควบคุมพื้นที่ต้องลดค่า  $D$  โดยการสร้าง  $\Delta D$  ที่ติดลบปานกลาง (NM) เพื่อจะทำให้  $m_{iL1}$  ลดลงไม่มากนักเข้าหา  $-m_{ref}$
- 4) กฎพื้นฐานข้อที่ 4 เมื่อ  $m_{iL1}/m_{ref}$  มีค่าลบปานกลางอยู่ในเขต NM หมายถึง  $i_{L1}$  ณ เวลาที่พิจารณาทำลังลดลงไม่มากนัก ดังนั้นตัวควบคุมพื้นที่ต้องคงค่า  $D$  โดยการสร้าง  $\Delta D$  ที่เป็นศูนย์ ( $Z$ ) เพื่อจะทำให้  $m_{iL1}$  มีค่าลบพอตีประมวล  $-m_{ref}$
- 5) กฎพื้นฐานข้อที่ 5 เมื่อ  $m_{iL1}/m_{ref}$  มีค่าลบมากอยู่ในเขต NL หมายถึง  $i_{L1}$  ณ เวลาที่พิจารณาทำลังลดลงมาก ดังนั้นตัวควบคุมพื้นที่ต้องเพิ่มค่า  $D$  โดยการสร้าง  $\Delta D$  ที่บวกปานกลาง (PM) เพื่อจะทำให้ค่า  $m_{iL1}$  มีค่าเพิ่มขึ้นไม่มากนักเข้าหา  $-m_{ref}$  จะเห็นได้ว่าเมื่อ  $V_O$  มีค่ามากกว่า  $V_{ref}$  ส่งผลให้ตัวควบคุมพื้นที่จะสร้าง  $\Delta D$  ที่เหมาะสมเพื่อควบคุมให้  $m_{iL1}$  มีค่าเข้าหา  $-m_{ref}$  เพื่อให้  $i_{L1}$  มีค่าลดลง ในขณะเดียวกันก็จะส่งผลให้  $V_O$  มีค่าลดลงเข้าหา  $V_{ref}$  โดยกระบวนการพื้นที่ข้างต้นแสดงได้ดังรูปที่ 4.10 และจากการบวนการพื้นที่ข้างต้นสามารถพิจารณาให้อยู่ในรูปฟังก์ชันสามาชิก  $\Delta V/V_{ref}$ ,  $m_{iL1}/m_{ref}$  และ  $\Delta D$  แสดงดังรูปที่ 4.11



รูปที่ 4.11 ฟังก์ชันสามาชิก  $\Delta V/V_{ref}$ ,  $m_{iL1}/m_{ref}$  และ  $\Delta D$  ในกรณี  $\Delta V/V_{ref} \in N$

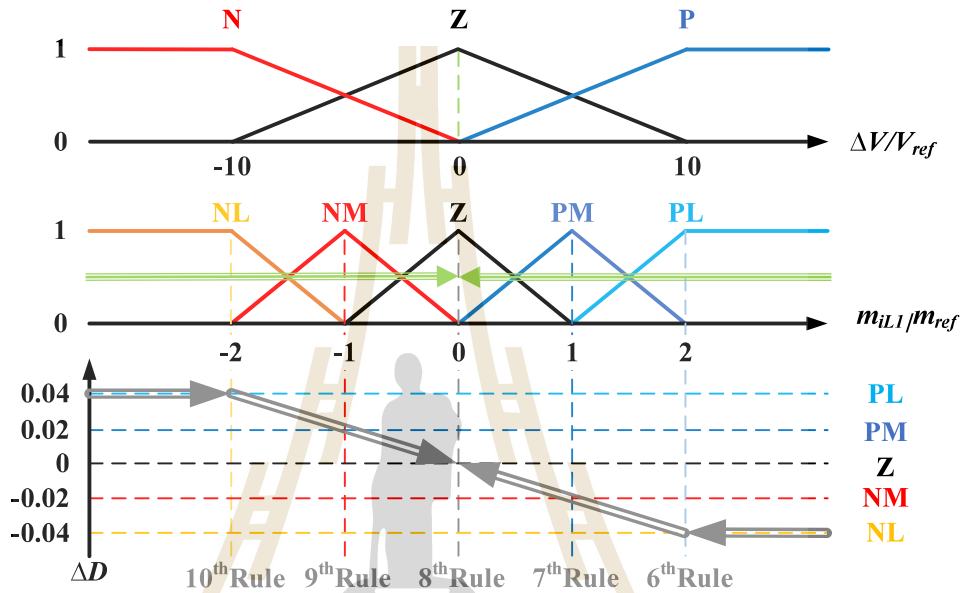
กรณีที่ 2  $\Delta V/V_{ref}$  เป็นสามาชิกของเขตศูนย์ ( $\Delta V/V_{ref} \in Z$ ) ก็ต่อเมื่อ  $V_O$  มีค่าประมวล  $V_{ref}$  กระบวนการพื้นที่ของ  $i_{L1}$  ณ เวลาใด ๆ พบร่วมความเป็นไปได้ที่จะเข้าเงื่อนไขกฎพื้นที่ 6 ถึงกฎที่ 10 กระบวนการตั้งกล่าวสามารถอธิบายได้ดังนี้

- 6) กฎฟัซซีข้อที่ 6 เมื่อ  $m_{iL1}/m_{ref}$  มีบวกค่ามากอยู่ในเขต PL หมายถึง  $i_{L1}$  ณ เวลาที่พิจารณากำลังเพิ่มขึ้นสูงมาก ดังนั้นตัวควบคุมฟัซซีต้องลดค่า  $D$  โดยการสร้าง  $\Delta D$  ที่ติดลบมาก (NL) เพื่อจะทำให้  $m_{iL1}$  ลดลงมาก ๆ เข้าหาศูนย์
- 7) กฎฟัซซีข้อที่ 7 เมื่อ  $m_{iL1}/m_{ref}$  มีค่าบวกปานกลางอยู่ในเขต PM หมายถึง  $i_{L1}$  ณ เวลาที่พิจารณากำลังเพิ่มขึ้นสูงไม่มากนัก ดังนั้นตัวควบคุมฟัซซีต้องลดค่า  $D$  โดยการสร้าง  $\Delta D$  ที่ติดลบปานกลาง (NM) เพื่อจะทำให้  $m_{iL1}$  ลดลงไม่มากนัก เข้าหาศูนย์
- 8) กฎฟัซซีข้อที่ 8 เมื่อ  $m_{iL1}/m_{ref}$  มีค่าประมาณศูนย์อยู่ในเขต Z หมายถึง  $i_{L1}$  ณ เวลาที่พิจารณาไม่เปลี่ยนแปลง ดังนั้นตัวควบคุมฟัซซีต้องคงค่า  $D$  โดยการสร้าง  $\Delta D$  ที่เป็นศูนย์ (Z) เพื่อจะทำให้  $m_{iL1}$  คงค่าที่ประมาณศูนย์
- 9) กฎฟัซซีข้อที่ 9 เมื่อ  $m_{iL1}/m_{ref}$  มีค่าลบปานกลางอยู่ในเขต NM หมายถึง  $i_{L1}$  ณ เวลาที่พิจารณากำลังลดลงไม่มากนัก ดังนั้นตัวควบคุมฟัซซีต้องเพิ่มค่า  $D$  โดยการสร้าง  $\Delta D$  ที่บวกปานกลาง (PM) เพื่อจะทำให้  $m_{iL1}$  เพิ่มขึ้นไม่มากนักเข้าหาศูนย์
- 10) กฎฟัซซีข้อที่ 10 เมื่อ  $m_{iL1}/m_{ref}$  มีค่าลบมากอยู่ในเขต NL หมายถึง  $i_{L1}$  ณ เวลาที่พิจารณากำลังลดลงมาก ดังนั้นตัวควบคุมฟัซซีต้องเพิ่มค่า  $D$  โดยการสร้าง  $\Delta D$  ที่บวกมาก (PL) เพื่อจะทำให้  $m_{iL1}$  เพิ่มขึ้นมากเข้าหาศูนย์



รูปที่ 4.12 กระบวนการฟัซซีของ  $i_{L1}$  ณ เวลาใด ๆ กรณีที่ค่า  $\Delta V/V_{ref} \in Z$

จะเห็นได้ว่าเมื่อ  $V_O$  มีค่าประมาณ  $V_{ref}$  ส่งผลให้ตัวควบคุมฟ์ชีจะสร้าง  $\Delta D$  ที่เหมาะสมเพื่อควบคุมให้  $m_{iL1}$  มีค่าเข้าหาศูนย์ เพื่อให้  $i_{L1}$  มีค่าเพิ่มขึ้น หรือลดลง หลังจากนั้นจะคงค่ากระแส ในขณะเดียวกันก็จะส่งผลให้  $V_O$  มีค่าเพิ่มขึ้น หรือลดลง หลังจากนั้นจะคงค่าแรงดันที่  $V_{ref}$  โดยกระบวนการฟ์ชีข้างต้นแสดงได้ดังรูปที่ 4.12 และสามารถพิจารณาในรูปฟังก์ชัน samaZik  $\Delta V/V_{ref}$ ,  $m_{iL1}/m_{ref}$  และ  $\Delta D$  แสดงดังรูปที่ 4.13



รูปที่ 4.13 ฟังก์ชัน samaZik  $\Delta V/V_{ref}$ ,  $m_{iL1}/m_{ref}$  และ  $\Delta D$  ในกรณี  $\Delta V/V_{ref} \in Z$

กรณีที่ 3  $\Delta V/V_{ref}$  เป็น samaZik ของเขตบาง ( $\Delta V/V_{ref} \in P$ ) ก็ต่อเมื่อ  $V_O$  มีค่าน้อยกว่า  $V_{ref}$  กระบวนการฟ์ชีของ  $i_{L1}$  ณ เวลาใด ๆ พบร่วมความเป็นไปได้ที่จะเข้าเงื่อนไขกฎฟ์ชีข้อที่ 11 ถึงกฎที่ 15 กระบวนการตั้งกล่าวสามารถอธิบายได้ดังนี้

11) กฎฟ์ชีข้อที่ 11 เมื่อ  $m_{iL1}/m_{ref}$  มีบวกค่ามากอยู่ในเขต PL หมายถึง  $i_{L1}$  ณ เวลาที่พิจารณากำลังเพิ่มขึ้นสูงมาก ดังนั้นตัวควบคุมฟ์ชีต้องลดค่า  $D$  โดยการสร้าง  $\Delta D$  ที่ติดลบปานกลาง (NM) เพื่อจะทำให้  $m_{iL1}$  ลดลงไม่มากนักเข้าหา

$m_{ref}$

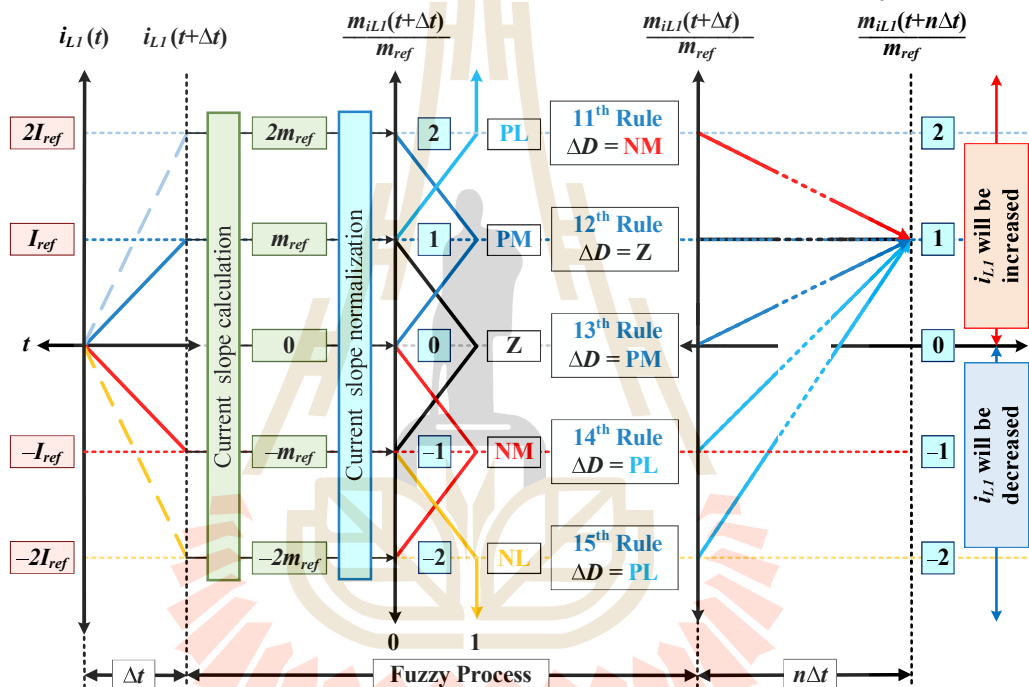
12) กฎฟ์ชีข้อที่ 12 เมื่อ  $m_{iL1}/m_{ref}$  มีค่าบวกปานกลางอยู่ในเขต PM หมายถึง  $i_{L1}$  ณ เวลาที่พิจารณากำลังเพิ่มขึ้นสูงไม่มากนัก ดังนั้นตัวควบคุมฟ์ชีต้องคงค่า  $D$  โดยการสร้าง  $\Delta D$  ที่เป็นศูนย์ (Z) เพื่อจะทำให้  $m_{iL1}$  คงค่าที่  $m_{ref}$

13) กฎฟ์ชีข้อที่ 13 เมื่อ  $m_{iL1}/m_{ref}$  มีค่าประมาณศูนย์อยู่ในเขต Z หมายถึง  $i_{L1}$  ณ เวลาที่พิจารณาไม่เปลี่ยนแปลง ดังนั้นตัวควบคุมฟ์ชีต้องเพิ่มค่า  $D$  โดยการ

สร้าง  $\Delta D$  ที่เป็นบวกปานกลาง (PM) เพื่อจะทำให้  $m_{iL1}$  เพิ่มขึ้นไม่มากนักเข้าหาก  $m_{ref}$

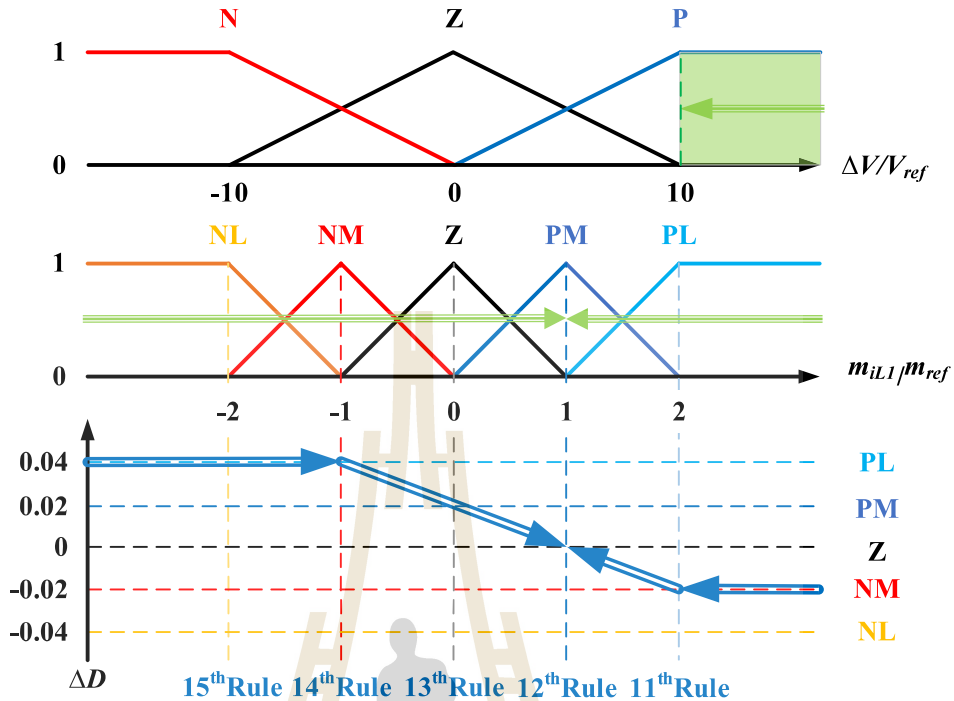
14) กฎพื้นฐานที่ 14 เมื่อ  $m_{iL1}/m_{ref}$  มีค่าลับปานกลางอยู่ในเขต NM หมายถึง  $i_{L1}$  ณ เวลาที่พิจารณากำลังลดลงไม่มากนัก ดังนั้นตัวควบคุมพื้นที่ต้องเพิ่มค่า  $D$  โดยการสร้าง  $\Delta D$  ที่บวกมาก (PL) เพื่อจะทำให้  $m_{iL1}$  เพิ่มขึ้นมากเข้าหาก  $m_{ref}$

15) กฎพื้นฐานที่ 15 เมื่อ  $m_{iL1}/m_{ref}$  มีค่าลับมากอยู่ในเขต NL หมายถึง  $i_{L1}$  ณ เวลาที่พิจารณากำลังลดลงมาก ดังนั้นตัวควบคุมพื้นที่ต้องเพิ่มค่า  $D$  โดยการสร้าง  $\Delta D$  ที่บวกมาก (PL) เพื่อจะทำให้  $m_{iL1}$  เพิ่มขึ้นมากเข้าหาก  $m_{ref}$



รูปที่ 4.14 กระบวนการฟื้นฟูของ  $i_{L1}$  ณ เวลาใด ๆ กรณีที่ค่า  $\Delta V/V_{ref} \in P$

จะเห็นได้ว่าเมื่อ  $V_O$  มีค่าน้อยกว่า  $V_{ref}$  ส่งผลให้ตัวควบคุมพื้นที่จะสร้าง  $\Delta D$  ที่เหมาะสมเพื่อควบคุมให้  $m_{iL1}$  มีค่าเข้าหาก  $m_{ref}$  เพื่อให้  $i_{L1}$  มีค่าเพิ่มขึ้น ในขณะเดียวกันก็จะส่งผลให้  $V_O$  มีค่าเพิ่มขึ้นเข้าหาก  $V_{ref}$  โดยกระบวนการฟื้นฟูข้างต้นแสดงได้ดังรูปที่ 4.14 และสามารถพิจารณาในรูป方框 diagram ของ  $\Delta V/V_{ref}$ ,  $m_{iL1}/m_{ref}$  และ  $\Delta D$  แสดงดังรูปที่ 4.15



รูปที่ 4.15 ฟังก์ชันสมาชิก  $\Delta V/V_{ref}$ ,  $m_{iL1}/m_{ref}$  และ  $\Delta D$  ในกรณี  $\Delta V/V_{ref} \in P$

จากการออกแบบฟังก์ชันสมาชิก  $\Delta V/V_{ref}$  ที่มีการทับซ้อนกันระหว่างเซต ดังนั้น  $\Delta V/V_{ref}$  ที่ได้สามารถเป็นสมาชิกของ เซตลบ ร่วมกับ เซตศูนย์ ( $\Delta V/V_{ref} \in N\&Z$ ) และเซตศูนย์ ร่วมกับ เซตบวก ( $\Delta V/V_{ref} \in Z\&P$ ) อีกทั้งฟังก์ชันสมาชิก  $m_{iL1}/m_{ref}$  ที่มีการทับซ้อนกันระหว่างเซต เช่นกัน จึงมีความเป็นไปได้ที่ค่าอินพุตทั้งสองจะเข้าเงื่อนไขกฎพื้ชซึ่งได้มากสุด 4 ข้อ อย่างไรก็ตามการ ทำดีพืชซึ่งทำหน้าที่แปลงค่าจากผลการรวมกฎพื้ชซึ่งให้อยู่ในรูปของค่าชัดเจน นั่นคือ  $\Delta D$  ที่เหมาหมาย เพื่อควบคุมให้  $V_o$  มีค่าเท่ากับ  $V_{ref}$  ในสภาพแวดล้อมตัว

จากการศึกษาพฤติกรรมการทำงานของวงจร นำไปสู่กระบวนการออกแบบตัวควบคุมพื้ชซึ่ง สำหรับวงจรแปลงผันกำลังไฟฟ้าแบบบูสต์เรียงต่อ กันสามชั้น สามารถกำหนดค่าพารามิเตอร์ของการ ควบคุมพื้ชซึ่งที่พัฒนาขึ้นได้ดังตารางที่ 4.3

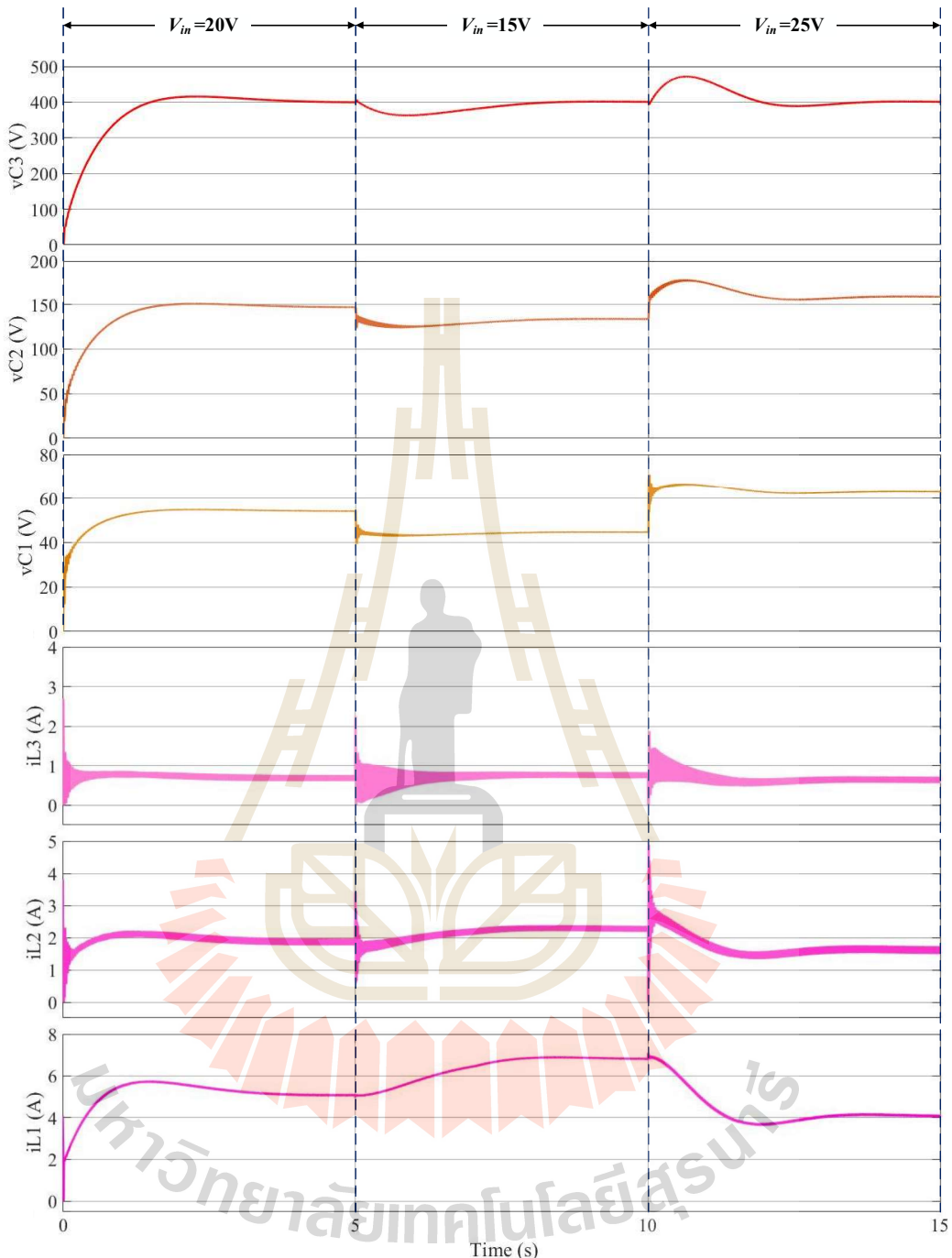
ตารางที่ 4.3 ค่าพารามิเตอร์ของตัวควบคุมพื้ชซึ่งที่พัฒนาขึ้น

พารามิเตอร์	สัญลักษณ์	ค่าพารามิเตอร์	หน่วย
การเปลี่ยนแปลงของเวลา	$\Delta t$	500	$\mu s$
ความชันอ้างอิง	$m_{ref}$	100	A/s

### 4.3 การจำลองสถานการณ์วงจรแปลงผันกำลังไฟฟ้าแบบบูสต์เรียงต่อกันสามขั้นโดยใช้ตัวควบคุมพีซีชีที่พัฒนาขึ้น

จากการออกแบบการควบคุมพีซีชีที่พัฒนาขึ้นดังที่อธิบายข้างต้น สามารถยืนยันประสิทธิผลด้วยการจำลองสถานการณ์วงจรแปลงผันกำลังไฟฟ้าแบบบูสต์เรียงต่อกันสามขั้นภายใต้ตัวควบคุมพีซี อาศัยโปรแกรม MATLAB SIMULINK โดยพิจารณาผลการจำลองสถานการณ์รวมเป็น 3 กรณี ประกอบด้วย การเปลี่ยนแปลงแรงดันอินพุต ( $V_{in}$ ) การเปลี่ยนแปลงแรงดันอ้างอิง ( $V_{ref}$ ) และการเปลี่ยนแปลงโหลดตัวต้านทาน ( $R$ )

กรณีที่ 1 การจำลองสถานการณ์เมื่อมีการเปลี่ยนแปลง  $V_{in}$  เป็น 20V, 15V และ 25V ในช่วงเวลา 0s, 5s และ 10s ตามลำดับ โดยคงค่า  $V_{ref}$  ที่ 400V และ  $R$  ที่ 1600Ω ผลการจำลองสถานการณ์แรงดันต่อกันร่วมตัวเก็บประจุ และกระแสที่ไหลผ่านตัวเหนี่ยวนำแสดงดังรูปที่ 4.16 ในช่วงเริ่มต้นการทำงาน โดยที่มี  $V_{in}$  เป็น 20V จ่ายให้กับวงจรแปลงผันกำลังไฟฟ้าอย่างต่อเนื่อง สังเกตเห็นได้ว่า  $V_o$  หรือ  $V_{C3}$  มีค่าเพิ่มขึ้นจากศูนย์ไปยัง  $V_{ref}$  ที่ 400 V โดยใช้เวลาประมาณ 2s ส่วน  $i_{L1}$ ,  $i_{L2}$  และ  $i_{L3}$  มีค่าเพิ่มขึ้น หลังจากนั้นจะคงที่ประมาณ 5A, 1.85A และ 0.6875A ตามลำดับ หลังจากนั้น ณ เวลาที่ 5s แรงดัน  $V_{in}$ ลดลงจาก 20V เป็น 15V จากผลการจำลองสถานการณ์จะเห็นได้ว่า  $V_{C1}$ ,  $V_{C2}$  และ  $V_{C3}$  มีค่าลดลง เนื่องจากการลดลงของ  $V_{in}$  หลังจากนั้น  $V_{C3}$  ถูกควบคุมให้มีค่าเท่ากับ  $V_{ref}$  ที่ 400V โดยที่  $i_{L1}$ ,  $i_{L2}$  และ  $i_{L3}$  มีค่าเพิ่มขึ้นเพื่อคงค่ากำลังไฟฟ้าไว้ที่ 100W โดย  $i_{L1}$  มีค่าคงที่ประมาณ 6.67A ใช้เวลาในการเข้าสู่สภาวะอยู่ตัวประมาณ 2.5s และ ณ เวลาที่ 10s แรงดัน  $V_{in}$  เพิ่มขึ้นจาก 15V เป็น 25V จะเห็นได้ว่าหลังจากเปลี่ยนจุดการทำงาน แรงดันต่อกันร่วมตัวเก็บประจุ และกระแสที่ไหลผ่านตัวเหนี่ยวนำเกิดการพุ่งเกิน หลังจากนั้น  $V_{C3}$  ถูกควบคุมให้มีค่าคงที่ 400V ส่วน  $i_{L1}$ ,  $i_{L2}$  และ  $i_{L3}$  มีค่าลดลงเพื่อคงค่ากำลังไฟฟ้าไว้ที่ 100W โดย  $i_{L1}$  มีค่าคงที่ประมาณ 4A ใช้เวลาในการเข้าสู่สภาวะอยู่ตัวประมาณ 2s



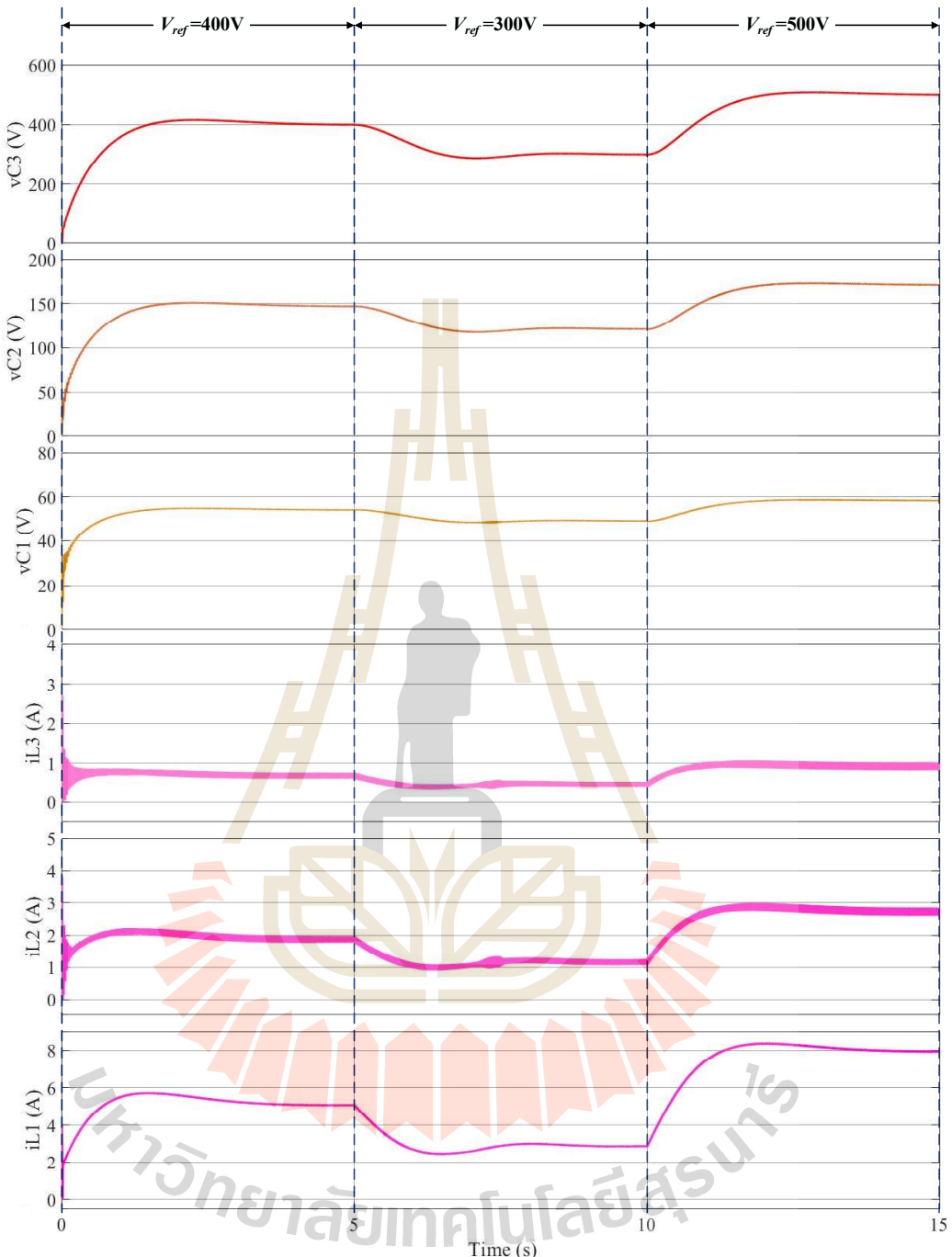
รูปที่ 4.16 แรงดันต่อกำลังตัวเก็บประจุ และกระแสที่เหล่านี้ผ่านตัวเหนี่ยววนนำของวงจรกรณีเปลี่ยนแปลงแรงดันอินพุต

กรณีที่ 2 การจำลองสถานการณ์เมื่อมีการเปลี่ยนแปลง  $V_{ref}$  เป็น 400V, 300V และ 500V ในช่วงเวลา 0s, 5s และ 10s ตามลำดับ โดยคงค่า  $V_{in}$  ที่ 20V และ  $R$  ที่ 1600Ω ผลการจำลอง

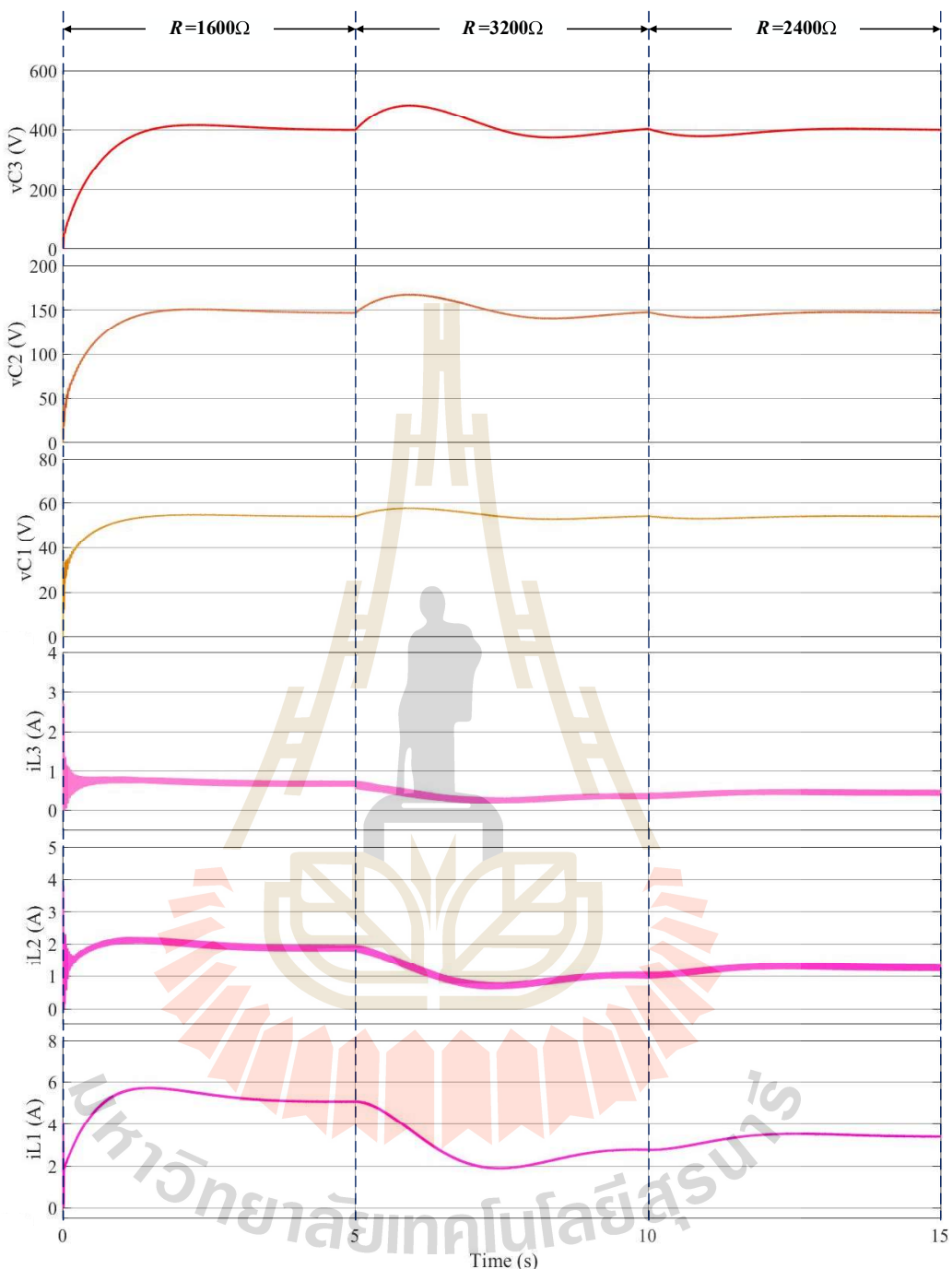
สถานการณ์แรงดันเอาต์พุต และกระแสที่โหลดผ่านตัวเหนี่ยวนำแสดงดังรูปที่ 4.17 จะเห็นได้ว่า ในช่วงเริ่มต้นการทำงาน เมื่อมี  $V_{in}$  เป็น 20V จ่ายให้กับวงจรแปลงผันกำลังไฟฟ้า สังเกตเห็นได้ว่า  $V_O$  หรือ  $V_{C3}$  มีค่าเพิ่มขึ้นจากศูนย์ไปยัง  $V_{ref}$  ที่ 400V โดยใช้เวลาประมาณ 2s ส่วน  $i_{L1}$ ,  $i_{L2}$  และ  $i_{L3}$  มีค่าเพิ่มขึ้นจากศูนย์ และคงที่ประมาณ 5A, 1.85A และ 0.6875A ตามลำดับ หลังจากนั้น  $V_{ref}$  จะเปลี่ยนเป็น 300V และ 500V ณ เวลาที่ 5s และ 10s ตามลำดับ จากผลการจำลองสถานการณ์จะเห็นได้ว่า ตัวควบคุมพัฒนาขึ้นสามารถตรักษา  $V_{C3}$  มีค่าตาม  $V_{ref}$  โดยที่  $i_{L1}$  ถูกควบคุมให้มีความชันตาม  $m_{ref}$  โดยที่ไม่เกิดการพุ่งเกิน และใช้เวลาเข้าที่ประมาณ 2s

กรณีที่ 3 การจำลองสถานการณ์เมื่อมีการเปลี่ยนแปลง  $R$  เป็น 1600Ω, 3200Ω และ 2400Ω ในช่วงเวลา 0s, 5s และ 10s ตามลำดับ โดยคงค่า  $V_{in}$  ที่ 20V และ  $V_{ref}$  ที่ 400V จากผลการจำลองสถานการณ์แรงดันตกคร่อมตัวเก็บประจุ และกระแสที่โหลดผ่านตัวเหนี่ยวนำแสดงดังรูปที่ 4.18 ในช่วงเริ่มต้นการทำงาน เมื่อมี  $V_{in}$  เป็น 20V จะเห็นได้ว่า  $V_O$  หรือ  $V_{C3}$  มีค่าเพิ่มขึ้นจากศูนย์ไปยัง  $V_{ref}$  ที่ 400V โดยใช้เวลาประมาณ 2s ส่วน  $i_{L1}$ ,  $i_{L2}$  และ  $i_{L3}$  มีค่าเพิ่มขึ้นจากศูนย์ และคงที่ประมาณ 5A, 1.85A และ 0.6875A ตามลำดับ หลังจากนั้น  $R$  ถูกเปลี่ยนจาก 1600Ω เป็น 3200Ω ณ เวลาที่ 5s นั่นคือกำลังไฟฟ้ามีการเปลี่ยนแปลงจาก 100W เป็น 50W จะเห็นได้ว่า หลังจากเปลี่ยนจุดการทำงาน  $V_{C1}$ ,  $V_{C2}$  และ  $V_{C3}$  เกิดการพุ่งเกิน และลดลง โดย  $V_{C3}$  ลดลงเข้าหา  $V_{ref}$  ที่ 400V โดยที่  $i_{L1}$  ถูกควบคุมให้มีความชันตาม  $-m_{ref}$  มีค่าคงที่ประมาณ 2.5A ใช้เวลาในการเข้าสู่สภาวะอยู่ตัวประมาณ 3s และ ณ เวลาที่ 10s  $R$  ถูกเปลี่ยนจาก 3200Ω เป็น 2400Ω จะเห็นได้ว่า หลังจากเปลี่ยนจุดการทำงาน  $V_{C1}$ ,  $V_{C2}$  และ  $V_{C3}$  ลดลงกะทันหัน หลังจากนั้นถูกควบคุมให้มีแรงดันเพิ่มขึ้นเท่ากับ  $V_{ref}$  ที่ 400V โดยที่  $i_{L1}$  มีความชันตาม  $m_{ref}$  และมีค่าคงที่ประมาณ 3.33A ใช้เวลาในการเข้าสู่สภาวะอยู่ตัวประมาณ 2s

จากการจำลองสถานการณ์ข้างต้นแสดงให้เห็นว่า การควบคุมพัฒนาขึ้นมีสมรรถนะของการควบคุมที่ดี โดยสามารถตรักษา  $V_O$  หรือ  $V_{C3}$  มีค่าเท่ากับ  $V_{ref}$  โดยใช้เวลาเข้าสู่สภาวะอยู่ตัวอย่างรวดเร็ว และเกิดการพุ่งเกินที่ไม่มากนัก



รูปที่ 4.17 แรงดันต่อกครื่อมตัวเก็บประจุ และกระแสที่เหล่านั้นตัวหนึ่งของวงจรกรณีเปลี่ยนแปลงแรงดันอ้างอิง

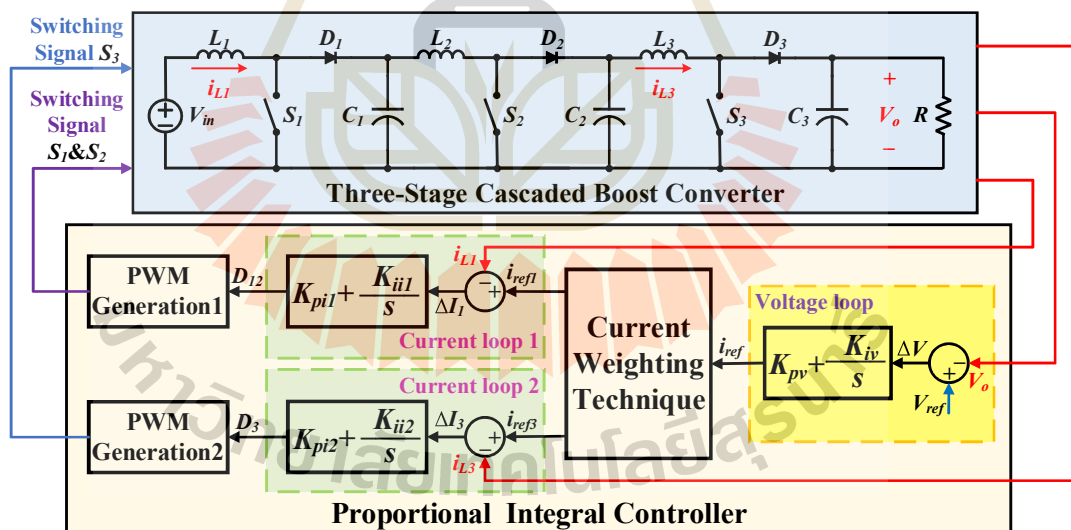


รูปที่ 4.18 แรงดันต่อกำลังตัวเก็บประจุ และกระแสที่เหลือผ่านตัวเหนี่ยวนำของวงจรกรณี

เปลี่ยนแปลงโหลดตัวต้านทาน

#### 4.4 การออกแบบการควบคุมพีไอสำหรับวงจรแปลงผันกำลังไฟฟ้าแบบบูสต์เรียงต่อกันสามขั้น

บทนี้จะนำเสนอด้วยการเปรียบเทียบสมรรถนะระหว่างตัวควบคุมพีซีที่พัฒนาขึ้นกับตัวควบคุมพีไอ เนื่องจากตัวควบคุมพีไอแบบตั้งเดิมจะวัดค่ากระแสอินพุตและแรงดันเอาต์พุต สำหรับใช้ในการควบคุมลุ่มกระแสและลูปแรงดัน ไม่สามารถควบคุมการทำงานของวงจรแปลงผันกำลังไฟฟ้าแบบบูสต์เรียงต่อกันสามขั้นได้อย่างมีประสิทธิผล จึงได้มีการพัฒนาตัวควบคุมพีไอร่วมกับเทคนิคการถ่วงน้ำหนักกระแส (Khwan-on and Diewsurin, 2018) ดังนั้นจึงพิจารณาเปรียบเทียบสมรรถนะของตัวควบคุมพีซีที่พัฒนาขึ้นกับตัวควบคุมพีไอร่วมกับเทคนิคการถ่วงน้ำหนักกระแส ซึ่งมีรายละเอียดดังต่อไปนี้ การออกแบบการควบคุมพีไอร่วมกับเทคนิคการถ่วงน้ำหนักกระแสสำหรับวงจรแปลงผันกำลังไฟฟ้าแบบบูสต์เรียงต่อกันสามขั้นอาศัยหลักการออกแบบค่าพารามิเตอร์สำหรับวงจรแปลงผันกำลังไฟฟ้าแบบบูสต์ตั้งเดิม โดยมีการตรวจวัดค่าแรงดัน  $V_O$  และตรวจวัดกระแส  $i_{L1}$  และ  $i_{L3}$  เพื่อส่งค่าที่ตรวจวัดได้ไปยังตัวควบคุมพีไอ ซึ่งประกอบด้วยลูปควบคุมแรงดันเอาต์พุตหนึ่งลูป (PI Voltage Loop) และลูปควบคุมกระแสสองลูป (PI Current Loops) เพื่อให้สามารถควบคุมการทำงานของสวิตช์ ( $S_1, S_2, S_3$ ) ได้อย่างเหมาะสม วิธีทั้งยังอาศัยการถ่วงน้ำหนักกระแสเข้าช่วยปรับค่ากระแสอ้างอิง ( $i_{ref}$ ) ให้มีค่าเหมาะสมสำหรับลูปควบคุมกระแสทั้งสองลูป



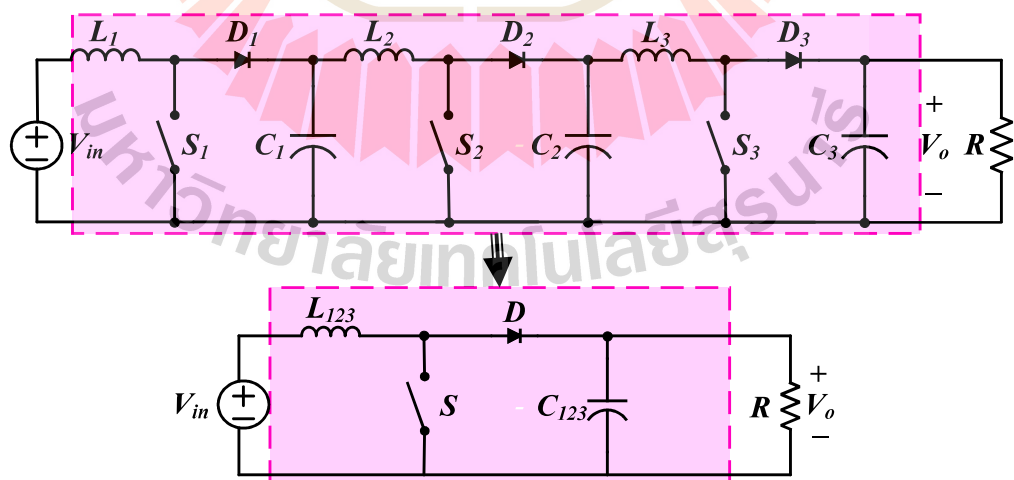
รูปที่ 4.19 โครงสร้างการควบคุมพีไอควบคุมพีไอร่วมกับเทคนิคการถ่วงน้ำหนักกระแสสองวงจรแปลงผันกำลังไฟฟ้าแบบบูสต์เรียงต่อกันสามขั้น

กระบวนการควบคุมพีไอสำหรับวงจรแปลงผันกำลังไฟฟ้าแบบบูสต์เรียงต่อกันสามขั้นเริ่มจากการตรวจวัด  $V_O$  เพื่อนำมาเปรียบเทียบกับ  $V_{ref}$  ก่อนนำเข้าสู่ลูปควบคุมแรงดัน ที่ได้รับการออกแบบ

จากพารามิเตอร์ ( $K_{pv}, K_i$ ) ของตัวควบคุม皮โอ หลังจากนั้นลูปควบคุมแรงดันจะสร้างสัญญาณ  $i_{ref}$  สำหรับลูปควบคุมกระแสห้องสอง โดยจะอาศัยเทคนิคการถ่วงน้ำหนักกระแส (Current weighting technique) กระบวนการดังกล่าวจะทำหน้าที่ปรับแก้กระแสอ้างอิงให้มีค่าเหมาะสมสำหรับลูปควบคุมกระแสห้องสอง ( $i_{ref1}, i_{ref3}$ ) หลังจากนั้นค่ากระแสอ้างอิงห้องสองจะถูกส่งไปให้ลูปควบคุมกระแสห้องเพื่อเปรียบเทียบกับค่า  $i_{L1}$  และ  $i_{L3}$  ที่ตรวจวัดได้ตามลำดับ โดยลูปควบคุมกระแสจะประกอบด้วยพารามิเตอร์ตัวควบคุม ( $K_{pi1}, K_{ii1}, K_{pi2}, K_{ii2}$ ) จากการออกแบบ โดยลูปควบคุมกระแสแต่ละลูปจะสร้างสัญญาณควบคุมการทำงานของสวิตช์ หรือค่าวัดจักรหน้าที่ของสวิตช์เปรียบเทียบกับสัญญาณรูปคลื่นสามเหลี่ยม (Triangular Signal) โดยลูปควบคุมกระแสที่หนึ่งที่มีอินพุตเป็นผลเปรียบเทียบระหว่าง  $i_{ref1}$  และ  $i_{L1}$  เอ้าต์พุตที่ได้เป็นสัญญาณการควบคุมสวิตช์ตัวที่ 1 และ 2 ( $S_1, S_2$ ) ส่วนลูปควบคุมกระแสที่สองที่มีอินพุตเป็นผลเปรียบเทียบระหว่างค่า  $i_{ref3}$  และ  $i_{L3}$  เอ้าต์พุตที่ได้เป็นสัญญาณการควบคุมสวิตช์ตัวที่ 3 ( $S_3$ ) การออกแบบตัวควบคุม皮โอประกอบด้วย 2 ส่วน คือการออกแบบการควบคุมลูปแรงดัน และการออกแบบการควบคุมลูปกระแส ซึ่งสามารถอธิบายได้ดังรูปที่ 4.19

#### 4.4.1 การออกแบบลูปควบคุมแรงดัน (PI Voltage Loop)

การออกแบบตัวควบคุม皮โอสำหรับลูปควบคุมแรงดันของวงจรแปลงผันกำลังไฟฟ้าแบบบูสต์เรียงต่อกันสามขั้นได้อาศัยการออกแบบตัวควบคุม皮โอสำหรับลูปควบคุมแรงดันสำหรับวงจรแปลงผันกำลังไฟฟ้าแบบบูสต์ดังเดิม ดังรูปที่ 4.20 โดยการออกแบบตัวควบคุม皮โอจะอาศัยการประมาณค่าพารามิเตอร์ตัวเหนี่ยวนำ และตัวเก็บประจุ ดังสมการที่ (4.7) และ (4.8) ตามลำดับ จากวงจรแปลงผันกำลังไฟฟ้าแบบบูสต์เรียงต่อกันสามขั้นเป็นวงจรแปลงผันกำลังไฟฟ้าแบบบูสต์ดังเดิม



รูปที่ 4.20 การประมาณค่าพารามิเตอร์ตัวเหนี่ยวนำ และตัวเก็บประจุสำหรับลูปควบคุมแรงดัน

$$L_{123} = L_1 + L_2 + L_3 \quad (4.7)$$

$$C_{123} = C_1 + C_2 + C_3 \quad (4.8)$$

พิจารณาการทำงานของวงจรแปลงผันกำลังไฟฟ้าแบบบุสต์ดังเดิมในช่วงที่สวิตช์หยุดนำกระแสแสดงรูปที่ 3.13 จะได้ความชันแรงดันต่อกครอ姆ตัวเก็บประจุดังสมการที่ (3.22) ทำการแปลงลาปลาสได้ดังสมการที่ (4.9)

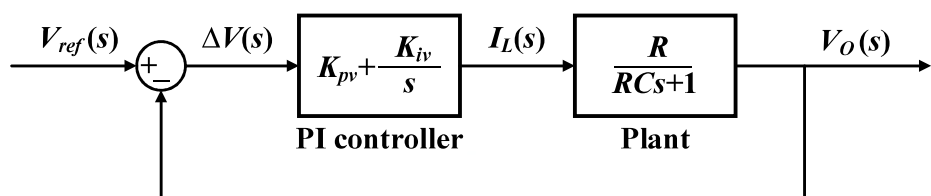
$$CsV_O s = I_L s - \frac{V_O s}{R} \quad (4.9)$$

ดังนั้นจะได้พลาแนร์ของระบบจากการหาฟังก์ชันถ่ายโอนดังสมการที่ (4.10) และตัวควบคุมพีไอสำหรับลูปควบคุมแรงดันแสดงดังสมการที่ (4.11)

$$\frac{V_O s}{I_L s} = \frac{R}{RCs + 1} \quad (4.10)$$

$$G_{CV} s = K_{pv} + \frac{K_{iv}}{s} \quad (4.11)$$

จากสมการตัวควบคุมพีไอสำหรับลูปควบคุมแรงดันที่อยู่ในรูปแบบฟังก์ชันถ่ายโอนข้างต้น สามารถอธิบายเป็นแผนภาพการควบคุมพีไอดังรูปที่ 4.21 และสามารถหาฟังก์ชันถ่ายโอนวงปิดดังสมการที่ (4.12)



รูปที่ 4.21 แผนภาพการควบคุมพีไอลูปควบคุมแรงดัน

การออกแบบค่าพารามิเตอร์ตัวควบคุมพีไอในลูปควบคุมแรงดัน ( $K_{pv}, K_{iv}$ ) จะอาศัยการเทียบสัมประสิทธิ์ระหว่างพหุนามลักษณะเฉพาะของฟังก์ชันถ่ายโอนวงปิด ดังสมการที่ (4.12) กับพหุนามลักษณะเฉพาะของฟังก์ชันถ่ายโอนอันดับสองมาตรฐาน ดังสมการที่ (4.13) เมื่อ  $\zeta$  คืออัตราส่วนการหน่วง (Damping ratio) และ  $\omega_n$  คือค่าความถี่ธรรมชาติ โดยกำหนดให้  $\omega_n = 1/RC$  rad/s

$$\frac{V_o}{V_{ref}} = \frac{K_{pv}Rs + K_{iv}Rs}{s^2 + \left(\frac{K_{pv}R + 1}{RC}\right)s + \frac{K_{iv}R}{RC}} \quad (4.12)$$

$$G(s) = \frac{\omega_n^2}{s^2 + 2\zeta\omega_n s + \omega_n^2} \quad (4.13)$$

ดังนั้นจะได้สมการออกแบบค่าพารามิเตอร์ตัวควบคุมพีไอ สำหรับลูปแรงดันดังสมการที่ (4.14) และ (4.15) ตามลำดับ

$$K_{pv} = 2\zeta\omega_n C - 1/R \quad (4.14)$$

$$K_{iv} = \omega_n^2 C \quad (4.15)$$

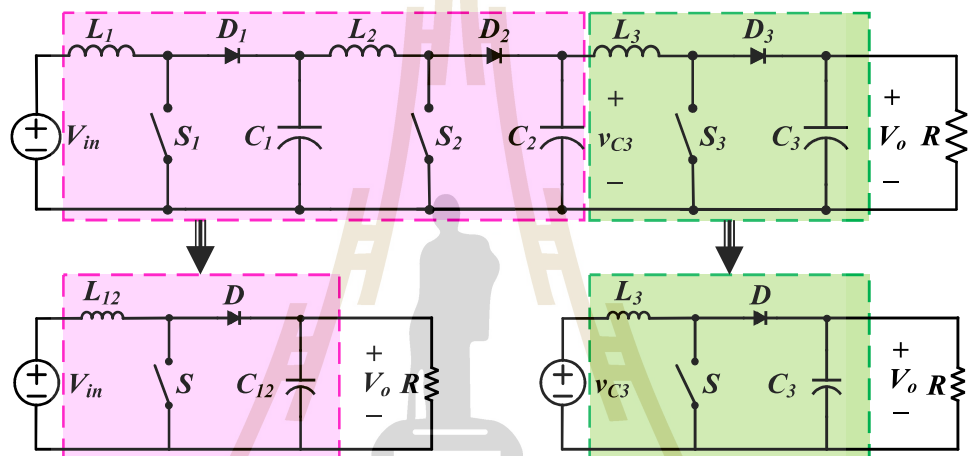
#### 4.4.2 การออกแบบลูปควบคุมกระแส (PI Current Loop)

การออกแบบตัวควบคุมพีไอของลูปควบคุมกระแสสำหรับวงจรแปลงผันกำลังไฟฟ้าแบบบูสต์เรียงต่อกันสามขั้นได้อาศัยการออกแบบตัวควบคุมพีไอสำหรับลูปควบคุมกระแสสำหรับวงจรแปลงผันกำลังไฟฟ้าแบบบูสต์ดังเดิมดังรูปที่ 4.22 ซึ่งประกอบด้วยสองลูปควบคุมกระแส โดยลูปควบคุมกระแสที่หนึ่งจะพิจารณางจกระแสผ่านกำลังไฟฟ้าแบบบูสต์ขั้นที่หนึ่งและสอง โดยพิจารณาจากการประมาณค่าพารามิเตอร์ตัวเหนี่ยวนำ และตัวเก็บประจุตัวทั้งสองขั้นรวมกันดังสมการที่ (4.16) และ (4.17) ส่วนลูปควบคุมกระแสที่สองจะพิจารณางจกระแสผันกำลังไฟฟ้า

แบบบูสต์ขั้นที่สาม โดยใช้ค่าพารามิเตอร์ตัวเหนี่ยวนำ และตัวเก็บประจุตัวที่สามเท่านั้น เมื่อแรงดันอินพุตคือแรงดันตกคร่อมตัวเก็บประจุตัวที่สอง

$$L_{12} = L_1 + L_2 \quad (4.16)$$

$$C_{12} = C_1 + C_2 \quad (4.17)$$



รูปที่ 4.22 การประมาณค่าพารามิเตอร์ตัวเหนี่ยวนำ และตัวเก็บประจุสำหรับลูปควบคุมกระแส

พิจารณาการทำงานของวงจรแปลงผันกำลังไฟฟ้าแบบบูสต์ดังเดิมในช่วงที่สวิตซ์หยุดนำกระแสแสดงรูปที่ 3.12 จะได้ความชันของกระแสผ่านตัวเหนี่ยวนำดังสมการที่ (3.16) ทำการแปลงลาปลาสได้ดังสมการที่ (4.18)

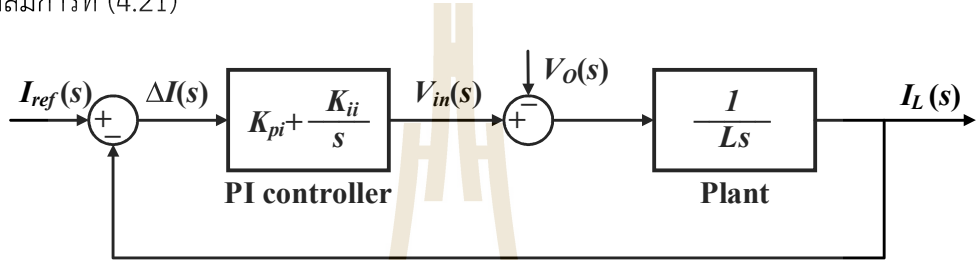
$$L_s I_L s = V_{in} s - V_o s \quad (4.18)$$

ดังนั้นจะได้พาราณต์ของระบบจากการหาฟังก์ชันถ่ายโอนดังสมการที่ (4.19) และตัวควบคุมพีโอดำรงลูปควบคุมกระแสแสดงดังสมการที่ (4.20)

$$\frac{V_o s}{I_L s} = \frac{R}{RCs + 1} \quad (4.19)$$

$$G_{Cl} s = K_{pi} + \frac{K_{ii}}{s} \quad (4.20)$$

จากสมการตัวควบคุมพีไอสำหรับลูปควบคุมกระแสที่อยู่ในรูปแบบฟังก์ชันถ่ายโอน ข้างต้น สามารถอธิบายเป็นแผนภาพการควบคุมพีไอดังรูปที่ 4.23 และสามารถหาฟังก์ชันถ่ายโอนของ ปิดดังสมการที่ (4.21)



รูปที่ 4.23 แผนภาพลูปควบคุมกระแสของการควบคุมพีไอ

$$\frac{I_L s}{I_{ref} s} = \frac{K_{pi} V_{in} s + K_{ii} V_{in}}{s^2 + K_{pi} \frac{V_{in}}{L} s + K_{ii} \frac{V_{in}}{L}} \quad (4.21)$$

การออกแบบค่าพารามิเตอร์ลูปควบคุมแรงดัน ( $K_{pi}$ ,  $K_{ii}$ ) ของการควบคุมพีไอ จะอาศัยการเทียบสัมประสิทธิ์ของโพลาร์化ห่วงพหุนามลักษณะเฉพาะของฟังก์ชันถ่ายโอนของปิด ดังสมการที่ (4.12) กับพหุนามลักษณะเฉพาะของฟังก์ชันถ่ายโอนอันดับสองมาตรฐาน ดังสมการที่ (4.22) เมื่อ  $\omega_{ni}$  คือค่าความถี่ธรรมชาติของลูปควบคุมกระแส มีค่าเท่ากับ  $\omega_{ni} = N\omega_n$  rad/s และ  $N$  คือจำนวนเท่าความถี่ธรรมชาติของลูปกระแสเมื่อเทียบกับลูปแรงดัน

$$G s = \frac{\omega_{ni}^2}{s^2 + 2\zeta\omega_{ni}s + \omega_{ni}^2} \quad (4.22)$$

จะได้สมการอกรูปแบบค่าพารามิเตอร์การควบคุมพีไอ สำหรับลูปแรงดันดังสมการที่ (4.23) และ (4.24) ตามลำดับ

$$K_{pi} = \frac{2\zeta\omega_{ni}L}{V_{in}} \quad (4.23)$$

$$K_{ii} = \frac{\omega_{ni}^2 L}{V_{in}} \quad (4.24)$$

ดังนั้นจะได้ค่าพารามิเตอร์การควบคุมพีไอสำหรับสำหรับวงจรแปลงผันกำลังไฟฟ้าแบบบุสต์เรียงต่อกันสามขั้น โดยอาศัยการประมาณค่าพารามิเตอร์ตัวเห็นี่ยวนำและตัวเก็บประจุสำหรับลูปแรงดันและลูปกระแสดังแสดงในรูปที่ 4.20 และ 4.22 ตามลำดับ ดังนั้นจะสามารถพิจารณาค่าพารามิเตอร์ตัวควบคุมพีไอได้ดังตารางที่ 4.4

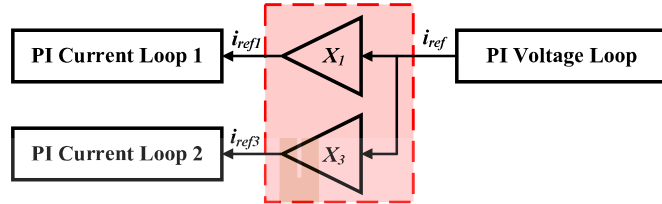
ตารางที่ 4.4 ค่าพารามิเตอร์ของตัวควบคุมพีไอสำหรับวงจรแปลงผันกำลังไฟฟ้าแบบบุสต์

วงจรแปลงผันกำลังไฟฟ้าแบบบุสต์ตั้งเดิม	วงจรแปลงผันกำลังไฟฟ้าแบบบุสต์เรียงต่อกันสามขั้น
$K_{pv} = 2\zeta\omega_n C - 1/R$	$K_{pv} = 2\zeta\omega_n C_1 + C_3 + C_2 - 1/R$
$K_{iv} = \omega_n^2 C$	$K_{iv} = \omega_n^2 C_1 + C_3 + C_2$
$K_{pi} = \frac{2\zeta\omega_{ni}L}{V_{in}}$	$K_{pi1} = \frac{2\zeta\omega_{ni} L_1 + L_2}{V_{in}}$ $K_{pi2} = \frac{2\zeta\omega_{ni} L_3}{V_{C2}}$
$K_{ii} = \frac{\omega_{ni}^2 L}{V_{in}}$	$K_{ii} = \frac{\omega_{ni}^2 L_1 + L_2}{V_{in}}$ $K_{ii} = \frac{\omega_{ni}^2 L_3}{V_{C2}}$

#### 4.4.3 เทคนิคการถ่วงน้ำหนักกระแส (Current Weighting Technique)

การควบคุมพีไอสำหรับวงจรแปลงผันกำลังไฟฟ้าแบบบุสต์เรียงต่อกันสามขั้น ประกอบด้วยลูปควบคุมกระแสสองลูป แต่สัญญาณ  $i_{ref}$  ที่ได้จากลูปควบคุมแรงดันยังมีค่าไม่เหมาะสม

สำหรับลูปควบคุมแรงดันทั้งสอง ตั้งนั้นจึงอาศัยเทคนิคการถ่วงน้ำหนักกระแส (Current weighting technique) เพื่อช่วยปรับแก้กระแสอ้างอิงให้มีค่าเหมาะสมสำหรับลูปควบคุมกระแสทั้งสอง ( $i_{ref1}$ ,  $i_{ref3}$ ) ดังรูปที่ 4.24



รูปที่ 4.24 แผนภาพเทคนิคการถ่วงน้ำหนักกระแสของตัวควบคุมพีไอ

จากแผนภาพรูปที่ 4.24 แสดงโครงสร้างเทคนิคการถ่วงน้ำหนักกระแส โดยที่สัญญาณ  $i_{ref}$  จากลูปควบคุมแรงดันถูกปรับแก้กระแสโดยการคูณกับค่าถ่วงน้ำหนักทั้งสอง ( $X_1$ ,  $X_3$ ) เพื่อให้ได้  $i_{ref1}$  และ  $i_{ref3}$  ดังสมการที่ (4.25) และ (4.26) ตามลำดับ และค่าตัวถ่วงน้ำหนักสำหรับกระแสอ้างอิงทั้งสองสามารถพิจารณาได้ดังสมการที่ (4.27) และ (4.28) ตามลำดับ

$$i_{ref1} = X_1 i_{ref} \quad (4.25)$$

$$i_{ref3} = X_3 i_{ref} \quad (4.26)$$

$$X_1 = \frac{i_{L1} + i_{L2}}{i_{L1} + i_{L2} + i_{L3}} \quad (4.27)$$

$$X_3 = \frac{i_{L3}}{i_{L1} + i_{L2} + i_{L3}} \quad (4.28)$$

ตารางที่ 4.5 ค่าพารามิเตอร์สำหรับออกแบบตัวควบคุมพีไอร่วมกับเทคนิคการถ่วงน้ำหนักกระแส

สัญลักษณ์	พารามิเตอร์	ขนาด	หน่วย
$D_1$	ค่าวัสดุจักรหน้าที่ของสวิตซ์ $S_1$	0.6	-
$D_2$	ค่าวัสดุจักรหน้าที่ของสวิตซ์ $S_2$	0.6	-
$D_3$	ค่าวัสดุจักรหน้าที่ของสวิตซ์ $S_3$	0.6785	-

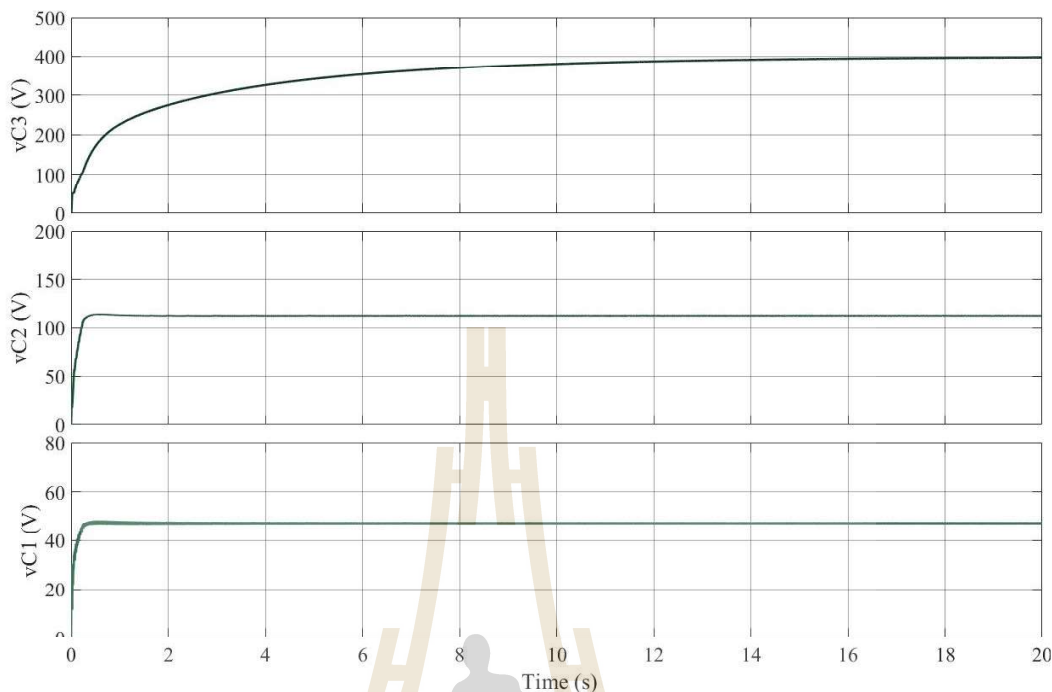
ตารางที่ 4.5 ค่าพารามิเตอร์สำหรับออกแบบตัวควบคุมพีไอร่วมกับเทคนิคการถ่วงน้ำหนักกระแส (ต่อ)

สัญลักษณ์	พารามิเตอร์	ขนาด	หน่วย
$i_{L1}$	กระแสไฟฟ้าผ่านตัวเหนี่ยวนำ	5	A
$i_{L2}$		2	A
$i_{L3}$		0.8	A
$V_{C1}$	แรงดันไฟฟ้าคร่อมตัวเก็บประจุ	50	V
$V_{C2}$		125	V
$V_{C3}$		400	V

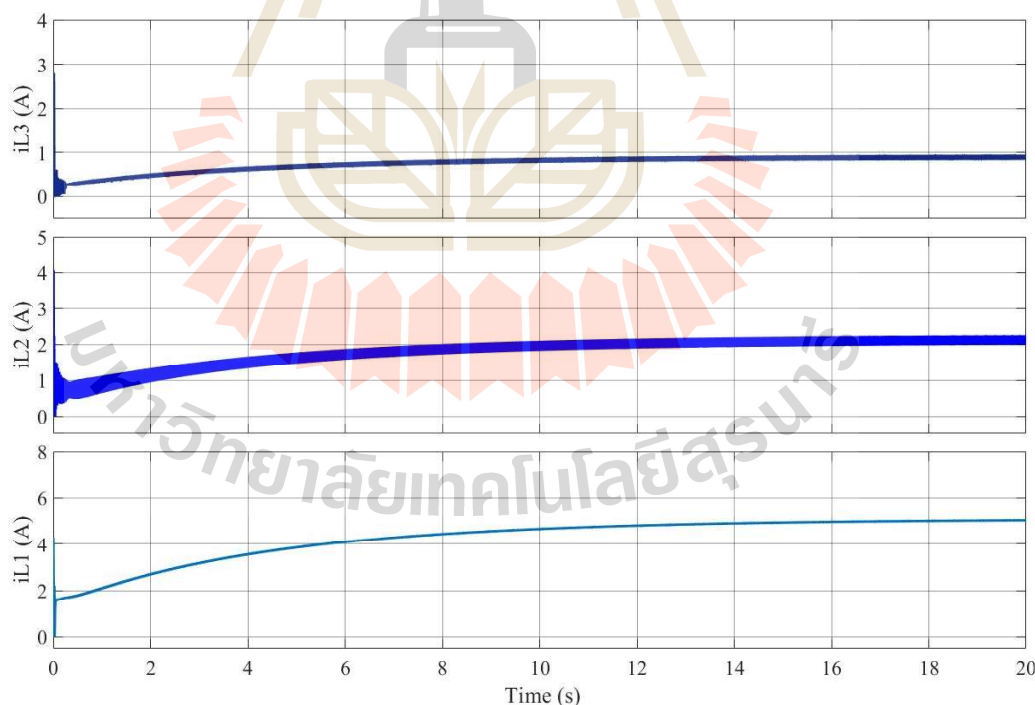
จากค่าพารามิเตอร์ต่าง ๆ สามารถคำนวณเพื่อออกแบบค่าตัวเหนี่ยวนำ และตัวเก็บประจุภายในวงจรแปลงผันกำลังไฟฟ้าแบบบุสต์เรียงต่อกันสามขั้นในบทที่ 3 ดังตารางที่ 3.2 และ 3.3 ตามลำดับ รวมถึงค่าพารามิเตอร์สำหรับออกแบบการควบคุมพีไอร่วมกับเทคนิคการถ่วงน้ำหนักกระแสตารางที่ 4.5 สามารถคำนวณหาค่าพารามิเตอร์การควบคุมพีไอทั้งลูปแรงดัน สองลูปกระแส และค่าตัวถ่วงน้ำหนักสำหรับกระแสอ้างอิง แสดงดังตารางที่ 4.6 โดยผลการจำลองสถานการณ์แรงดันต่อกคร่อมตัวเก็บประจุ และกระแสผ่านตัวเหนี่ยวนำแสดงดังรูปที่ 4.25 และ 4.26 ตามลำดับ

ตารางที่ 4.6 ค่าพารามิเตอร์ตัวควบคุมพีไอร่วมกับเทคนิคการถ่วงน้ำหนักกระแส

สัญลักษณ์	ขนาด	สัญลักษณ์	ขนาด
$\zeta$	0.9	$N$	100
$\omega_n$	2.083	$\omega_{ni}$	208.33
$K_{pv}$	0.005	$K_{pi1}$	1.27
$K_{iv}$	0.0065	$K_{ii1}$	292.97
$X_1$	0.85	$K_{pi2}$	0.42
$X_3$	0.15	$K_{ii2}$	97.22



รูปที่ 4.25 แรงดันต่อกลุ่มตัวเก็บประจุภายในให้การควบคุมพีไอ



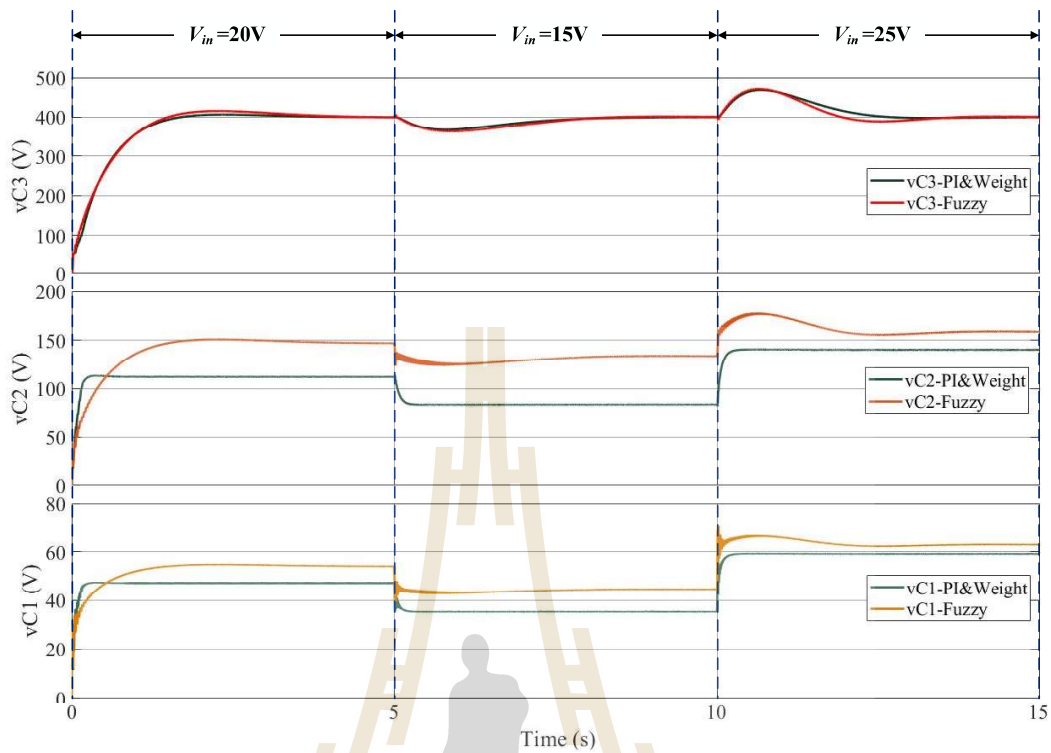
รูปที่ 4.26 กระแสไฟฟ้าไหลผ่านตัวเหนี่ยวนำภายในให้การควบคุมพีไอ

จากผลการจำลองสถานการณ์รูปที่ 4.25 และ 4.26 จะเห็นได้ว่า  $V_O$  หรือ  $V_{C3}$  มีค่าเพิ่มขึ้นจากศูนย์ไปยัง  $V_{ref}$  ที่ 400V โดยใช้เวลานานในการเข้าสู่สภาวะอยู่ตัวประมาณ 14s เนื่องจากลูปควบคุมแรงดันของการควบคุมพีไอสร้าง  $i_{ref}$  ที่มีผลตอบสนองที่ช้า เมื่อพิจารณาโครงสร้างการควบคุมพีไอสำหรับวงจรแปลงผันกำลังไฟฟ้าแบบบูสต์เรียงต่อกันสามขั้นรูปที่ 4.19 จะเห็นได้ว่า  $i_{ref}$  เป็นเออร์พุตของลูปแรงดัน โดยที่ค่าพารามิเตอร์  $K_{pv}$  และ  $K_{iv}$  ถูกพิจารณาจากการประมาณว่าจะแปลงผันกำลังไฟฟ้าแบบบูสต์เรียงต่อกันสามขั้นเป็นแบบบูสต์ดึงเดิมที่แสดงในรูปที่ 4.20 ส่งผลให้ค่าพารามิเตอร์ลูปควบคุมแรงดัน ( $K_{pv}, K_{iv}$ ) มีค่าไม่เหมาะสมสำหรับวงจรแปลงผันกำลังไฟฟ้าแบบบูสต์เรียงต่อกันสามขั้น จึงจำเป็นอย่างยิ่งที่ต้องทำการปรับจูนค่าพารามิเตอร์  $K_{iv}$  ให้มีค่าเหมาะสม เพื่อทำให้  $i_{ref}$  มีผลตอบสนองที่เร็วขึ้น โดยทำการคูณ  $K_{iv}$  ด้วย 5.5 จะทำให้ผลตอบสนองของวงจรแปลงผันกำลังไฟฟ้าแบบบูสต์เรียงต่อกันสามขั้นเข้าสู่สภาวะอยู่ตัวที่เร็ว และไม่เกิดการพุ่งเกิน

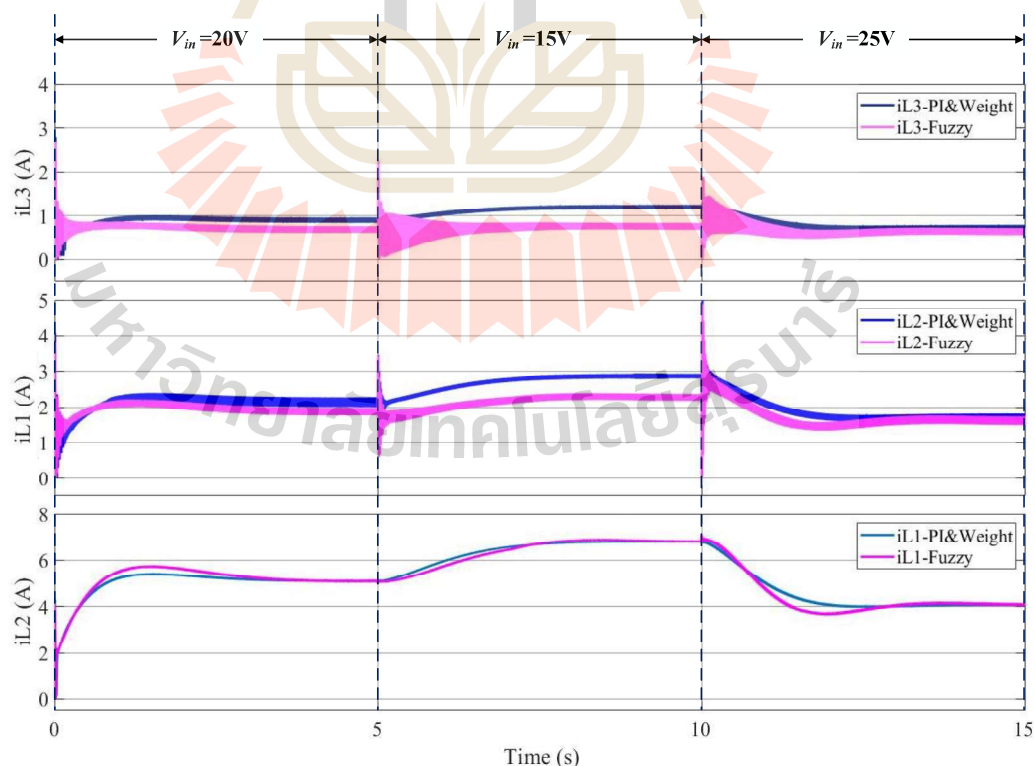
#### 4.4.4 การจำลองสถานการณ์เปรียบเทียบสมรรถนะระหว่างตัวควบคุมพีซีที่พัฒนาขึ้นและตัวควบคุมพีไอร่วมกับเทคนิคการถ่วงน้ำหนักกระแส

จากการออกแบบการควบคุมพีไอร่วมกับเทคนิคการถ่วงน้ำหนักกระแส และการควบคุมพีซีที่พัฒนาขึ้น จะดำเนินการเปรียบเทียบสมรรถนะด้วยการจำลองสถานการณ์ว่างจรแปลงผันกำลังไฟฟ้าแบบบูสต์เรียงต่อกันสามขั้นภายใต้การควบคุมทั้งสอง โดยพิจารณาผลการจำลองสถานการณ์แบ่งออกเป็น 3 กรณี ประกอบด้วย การเปลี่ยนแปลงแรงดันอินพุต ( $V_{in}$ ) การเปลี่ยนแปลงแรงดันอ้างอิง ( $V_{ref}$ ) และการเปลี่ยนแปลงโหลดตัวต้านทาน ( $R$ )

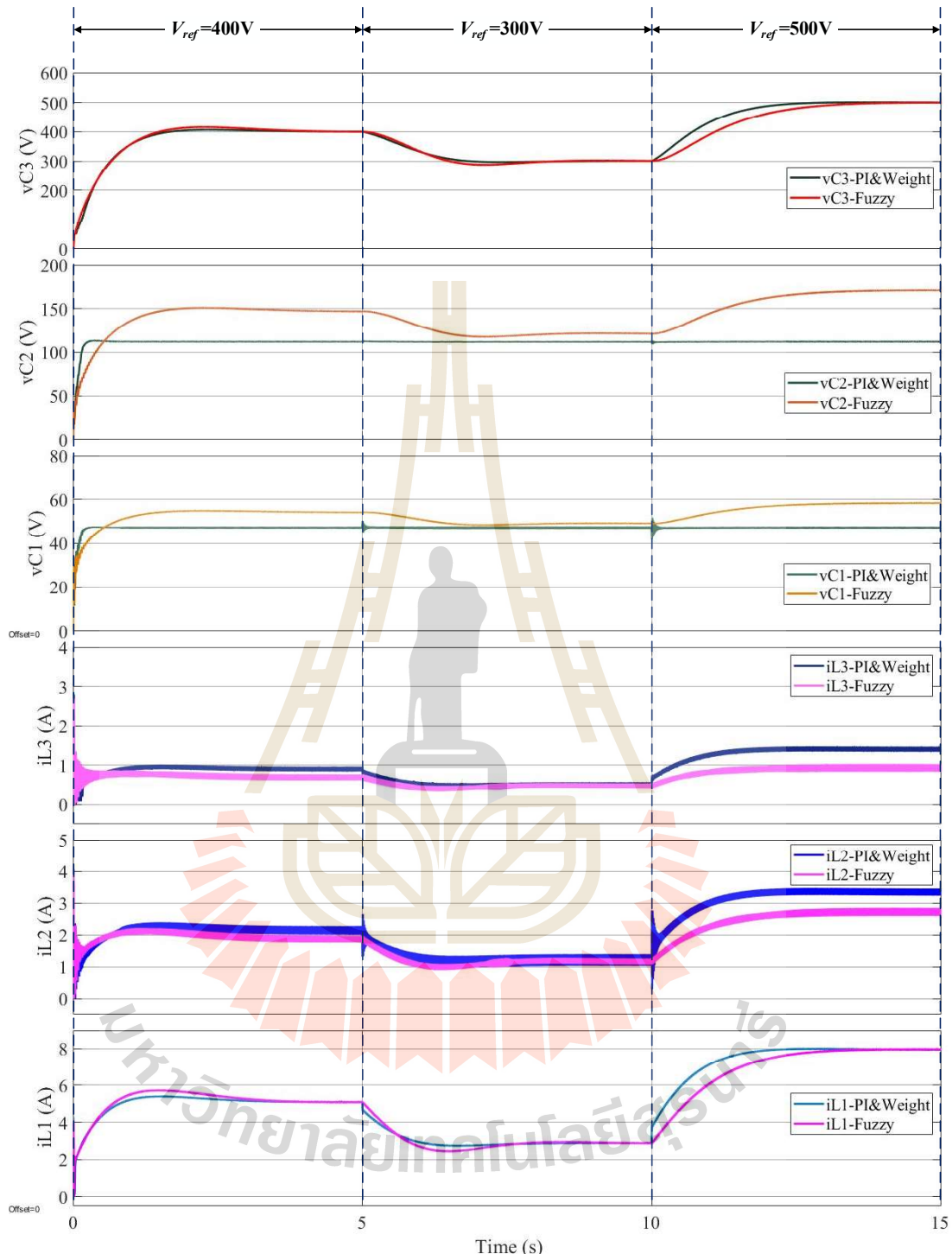
จากผลการจำลองสถานการณ์เพื่อเปรียบเทียบสมรรถนะของการควบคุมทั้งสองกรณีเปลี่ยนแปลง  $V_{in}$  จะเห็นได้ว่าทั้งตัวควบคุมพีซีที่พัฒนาขึ้น และตัวควบคุมพีไอร่วมกับเทคนิคการถ่วงน้ำหนักกระแสสามารถรักษา  $V_O$  หรือ  $V_{C3}$  มีค่าคงที่เท่ากับ  $V_{ref}$  โดยใช้เวลาเข้าที่ใกล้เคียงกันประมาณ 2s หลังจากนั้นมีการเปลี่ยนแปลงจุดการทำงานของ  $V_{in}$  ที่ส่งผลให้เกิดการลดลง และพุ่งเกินของแรงดันที่ตักคร่อมตัวเก็บประจุ ทั้งนี้  $V_{C3}$  มีค่าเท่ากับ  $V_{ref}$  ในสภาวะอยู่ตัวโดยใช้เวลาไม่เกิน 3s อย่างไรก็ตามค่า  $i_{L3}$  ภายในได้ตัวควบคุมพีซีมีการสั่นไกวมากกว่า เมื่อเทียบกับตัวควบคุมพีไอ



รูปที่ 4.27 ผลการจำลอง  $v_{C1}$ ,  $v_{C2}$ ,  $v_{C3}$  เพื่อเปรียบเทียบสมรรถนะกรณีเปลี่ยนแปลงแรงดันอินพุต



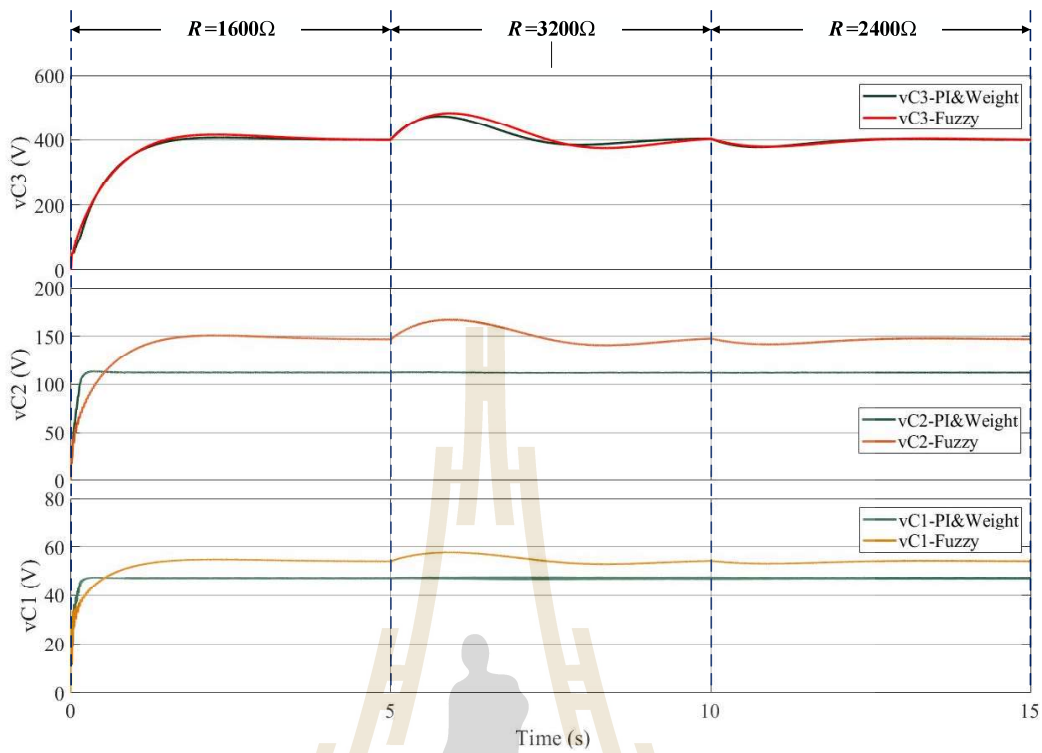
รูปที่ 4.28 ผลการจำลอง  $i_{L1}$ ,  $i_{L2}$ ,  $i_{L3}$  เพื่อเปรียบเทียบสมรรถนะกรณีเปลี่ยนแปลงแรงดันอินพุต



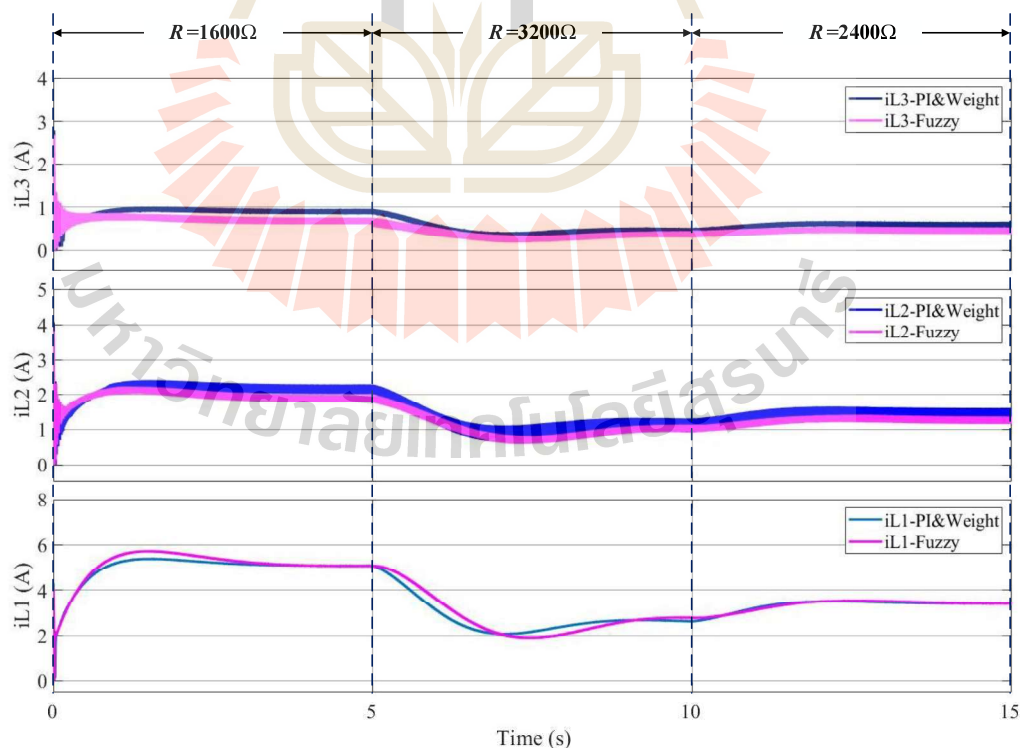
รูปที่ 4.29 ผลการจำลองแรงดันต้นตကคร่อมตัวเก็บประจุ และกระแสผ่านตัวเหนี่ยววนักรณีเพื่อ  
เปรียบเทียบสมรรถนะกรณีเปลี่ยนแปลงแรงดันเอาต์พุต

กรณีที่ 2 การจำลองสถานการณ์เปรียบเทียบสมรรถนะของตัวควบคุมทั้งสอง เมื่อมีการเปลี่ยนแปลง  $V_{ref}$  เป็น 400V, 300V และ 500V ในช่วงเวลา 0s, 5s และ 10s ตามลำดับ โดยคงค่า  $V_{in}$  ที่ 20V และ  $R$  ที่ 1600Ω แรงดันตกคร่อมตัวเก็บประจุ และกระแสผ่านตัวเหนี่ยวนำแสดงดังรูปที่ 4.29 ซึ่งจะเห็นได้ว่าสังเกตเห็นได้ว่าตัวควบคุมพื้นที่ที่พัฒนาขึ้น และตัวควบคุมพีไอร่วมกับเทคนิคการถ่วงน้ำหนักกระแส สามารถรักษา  $V_o$  หรือ  $V_{C3}$  มีค่าเท่ากับ  $V_{ref}$  โดยที่ไม่เกิดการพุ่งเกินอิกทั้งยังใช้เวลาเข้าที่ไม่เกิน 3s อย่างไรก็ตามค่า  $V_{C3}$  และกระแส  $i_{L1}, i_{L2}$  และ  $i_{L3}$  ภายใต้การควบคุมพีไอมีการสั่นไวดมากกว่า เมื่อเทียบกับการควบคุมพื้นที่ที่พัฒนาขึ้น เนื่องจากเมื่อเปลี่ยนค่า  $V_{ref}$  จะส่งผลให้ขนาดค่า  $\Delta V$  มีค่ามาก อิกทั้งยังส่งผลให้ค่า  $i_{ref}$  มีขนาดที่มากตามไปด้วย โดยเฉพาะในช่วงหลังเปลี่ยนจุดการทำงาน ส่งผลให้  $i_{L1}, i_{L2}$  และ  $i_{L3}$  เพิ่มขึ้น และลดลงกะทันหัน จากการเปลี่ยน  $V_{ref}$  ซึ่งเมื่อเทียบกับกระบวนการควบคุมพื้นที่ที่พัฒนาขึ้นนั้น สามารถรักษา  $m_{iL1}$  ให้มีค่าตาม  $-m_{ref}$  ในช่วงเวลา 0s ถึง 5s ส่วนช่วงเวลา 10s ถึง 15s ตัวควบคุมพื้นที่ที่พัฒนาขึ้นจะควบคุมให้  $m_{iL1}$  ให้มีค่าตาม  $m_{ref}$  เพื่อเพิ่มระดับกระแสและแรงดันตามลำดับ

กรณีที่ 3 การจำลองสถานการณ์เปรียบเทียบสมรรถนะของตัวควบคุม เมื่อมีการเปลี่ยนแปลง  $R$  เป็น 1600Ω, 3200Ω และ 2400Ω ในช่วงเวลา 0s, 5s และ 10s ตามลำดับ โดยคงค่า  $V_{in}$  ที่ 20V และ  $V_{ref}$  ที่ 400V ผลการจำลองสถานการณ์แรงดันตกคร่อมตัวเก็บประจุ และกระแสผ่านตัวเหนี่ยวนำแสดงดังรูปที่ 4.30 และ 4.31 ตามลำดับ จะเห็นได้ว่าเมื่อเปลี่ยนจุดการทำงานโดยการเพิ่มค่า  $R$  จะส่งผลให้  $V_{C3}$  เกิดการพุ่งเกิน และลดค่า  $R$  จะส่งผลให้  $V_{C3}$  ลดลงในช่วงแรก จนนั้นตัวควบคุมพื้นที่ที่พัฒนาขึ้น และตัวควบคุมพีไอร่วมกับเทคนิคการถ่วงน้ำหนักกระแสสามารถรักษา  $V_o$  หรือ  $V_{C3}$  มีค่าเท่ากับ  $V_{ref}$  โดยระยะเวลาเข้าที่นั้นจะขึ้นกับกำลังไฟฟ้าที่เปลี่ยนแปลงไป ซึ่งจะเห็นได้ว่า เมื่อเพิ่มค่า  $R$  จาก 1600Ω เป็น 3200Ω นั่นคือการเปลี่ยนกำลังไฟฟ้าจาก 100W เป็น 50W ส่งผลให้เวลาเข้าที่ผลตอบสนองของ  $V_{C3}$  ช้ากว่าเมื่อเทียบกับกรณีลดค่า  $R$  จาก 3200Ω เป็น 2400Ω นั่นคือการเปลี่ยนกำลังไฟฟ้าจาก 50W เป็น 66.67W



รูปที่ 4.30 ผลการจำลอง  $v_{C1}$ ,  $v_{C2}$ ,  $v_{C3}$  เพื่อเปรียบเทียบสมรรถนะกรณีเปลี่ยนแปลงโหลดตัวต้านทาน



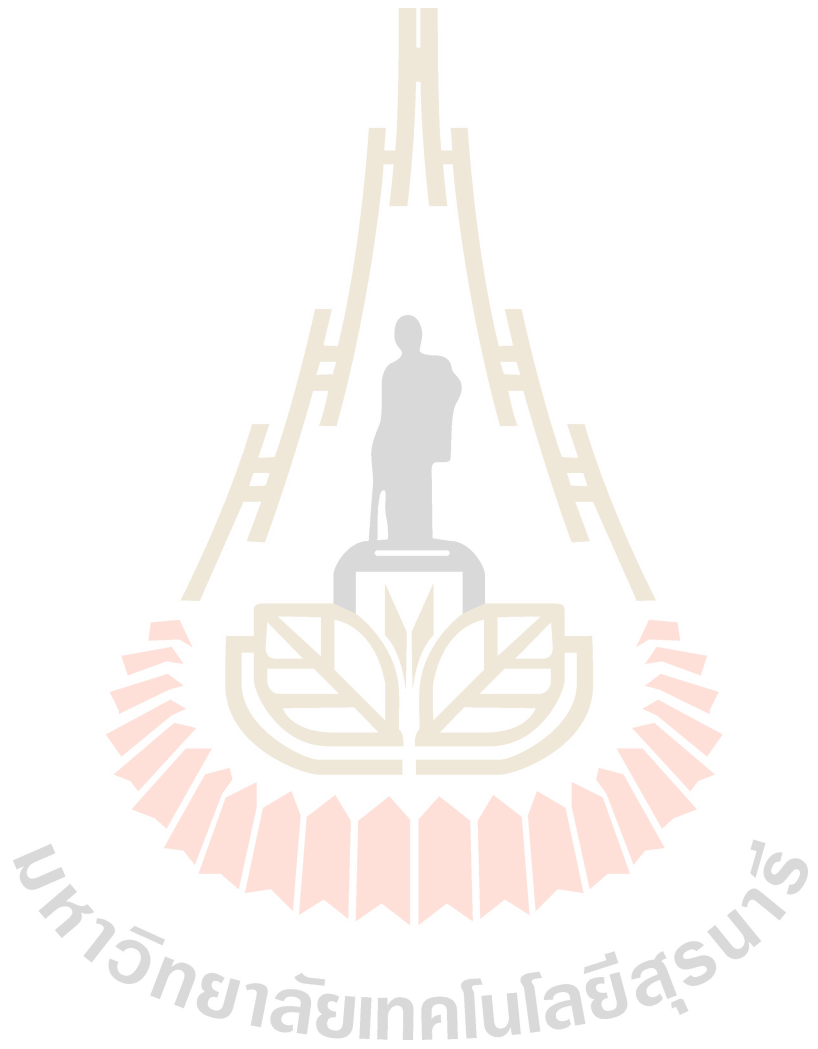
รูปที่ 4.31 ผลการจำลอง  $i_{L1}$ ,  $i_{L2}$ ,  $i_{L3}$  เพื่อเปรียบเทียบสมรรถนะกรณีเปลี่ยนแปลงโหลดตัวต้านทาน

จากผลการจำลองสถานการณ์เบรียบเทียบสมรรถนะของการควบคุมทั้งสองข้างต้นแสดงให้เห็นว่าตัวควบคุมพื้นที่พัฒนาขึ้น และตัวควบคุมพีไอร่วมกับเทคนิคการถ่วงน้ำหนักกระแสสามารถรักษา  $V_O$  หรือ  $V_{C3}$  มีค่าคงที่เท่ากับ  $V_{ref}$  โดยใช้เวลาเข้าที่ใกล้เคียงกัน อย่างไรก็ตามการออกแบบตัวควบคุมพีไอจะอาศัยการประมาณค่าของค่าพารามิเตอร์ตัวเหนี่ยวนำ และตัวเก็บประจุจากการเปลี่ยนแปลงผันกำลังไฟฟ้าแบบบูสต์เรียงต่อกันสามารถทำให้ได้ค่าพารามิเตอร์  $K_{pv}$  เริ่มต้นนั้นไม่สามารถควบคุมการทำงานของวงจรให้เข้าสู่สภาพอยู่ตัวได้อย่างรวดเร็ว เนื่องจากการประมาณวงจรเปลี่ยนแปลงผันกำลังไฟฟ้าแบบบูสต์เรียงต่อกันสามารถขึ้นเป็นแบบบูสต์ด้วยเดิม ส่งผลให้ค่าพารามิเตอร์ลูปควบคุมแรงดัน ( $K_{pv}, K_i$ ) มีค่าไม่เหมาะสม สำหรับวงจรเปลี่ยนแปลงผันกำลังไฟฟ้าแบบบูสต์เรียงต่อกันสามารถขึ้น จำเป็นอย่างยิ่งที่ต้องทำการปรับจูนค่าพารามิเตอร์  $K_i$  ให้มีค่าเหมาะสม จนกระทั่งได้ผลตอบสนองที่รวดเร็ว และไม่เกิดการพุ่งเกิน

## 4.5 สรุป

การควบคุมพื้นที่สำหรับวงจรเปลี่ยนแปลงผันกำลังไฟฟ้าแบบบูสต์เรียงต่อกันสามารถขึ้นถูกนำเสนอในบทนี้ โดยที่ตัวควบคุมพื้นที่พัฒนาขึ้นสามารถสร้างค่าวัฏจักรหน้าที่สวิตซ์ที่เหมาะสม เพื่อให้ได้ค่าแรงดันเอาต์พุตตามต้องการ รวมทั้งไม่มีการพุ่งเกินของค่าแรงดัน และกระแส เพื่อยืนยันสมรรถนะของตัวควบคุมพัฒนาขึ้น ได้อาศัยการจำลองสถานการณ์วงจรเปลี่ยนแปลงผันกำลังไฟฟ้าแบบบูสต์เรียงต่อกันสามารถขึ้นภายใต้การควบคุมพื้นที่ พบร้าสามารถรักษาแรงดันเอาต์พุตให้คงที่ได้ตามต้องการภายใต้สถานการณ์การเปลี่ยนแปลงของแรงดันอินพุต แรงดันอ้างอิง และโหลดตัวต้านทาน อีกทั้งยังได้นำเสนอผลเปรียบเทียบสมรรถนะระหว่างตัวควบคุมพื้นที่พัฒนาขึ้น กับตัวควบคุมพีไอ ผ่านการจำลองสถานการณ์ภายใต้การเปลี่ยนแปลงจุดการทำงานเดียวกัน ผลการจำลองแสดงให้เห็นว่าทั้งตัวควบคุมพื้นที่และตัวควบคุมพีไอที่ใช้เทคนิคการถ่วงน้ำหนักกระแส สามารถรักษาแรงดันเอาต์พุตให้คงที่ได้ใกล้เคียงกับค่าแรงดันอ้างอิงอ้างอิง และมีเวลาเข้าสู่สภาพคงที่ใกล้เคียงกัน อย่างไรก็ตาม การออกแบบตัวควบคุมพีไอต้องอาศัยการประมาณค่าพารามิเตอร์ของวงจรเปลี่ยนแปลงผันกำลังไฟฟ้าแบบบูสต์เรียงต่อกันสามารถขึ้นเป็นแบบบูสต์ด้วยเดิม ทำให้ค่าพารามิเตอร์ลูปควบคุมแรงดันที่ได้อาจไม่เหมาะสม ส่งผลให้การตอบสนองของระบบไม่ดีนัก จึงต้องมีการปรับจูนค่าพารามิเตอร์เพิ่มเติม ในบทต่อไปจะนำเสนอรายละเอียดเกี่ยวกับการศึกษาพฤติกรรมของวงจรเปลี่ยนแปลงผันกำลังไฟฟ้าแบบบูสต์เรียงต่อกันสามารถขึ้นภายใต้การควบคุมพื้นที่พัฒนาขึ้น เมื่อเกิดความผิดพร่องแบบ

สวิตซ์เปิดวงจร เพื่อพัฒนาวิธีการตรวจจับความผิดพร่องแบบสวิตซ์เปิดวงจร เพื่อให้วงจรดังกล่าวสามารถทำงานต่อในสภาพความความคงทนต่อความผิดพร่องได้อย่างมีประสิทธิผล



## บทที่ 5

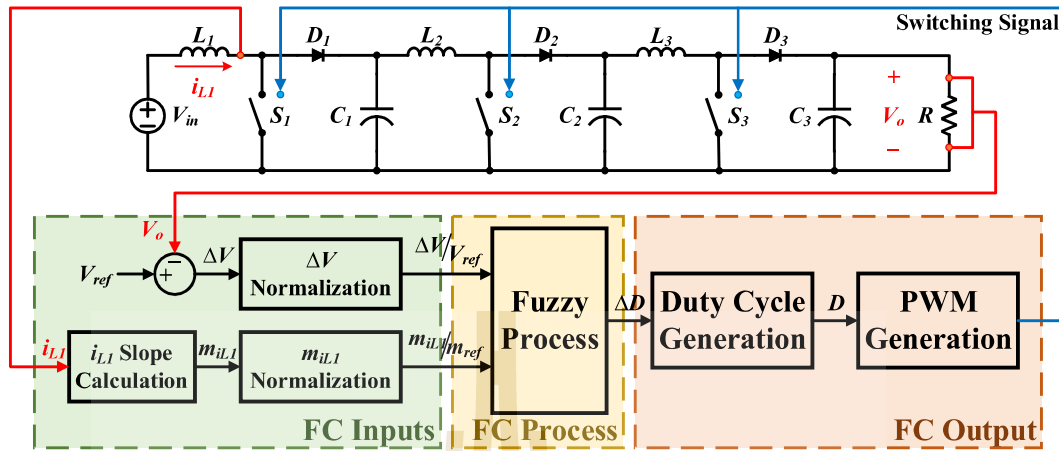
### วงจรแปลงผันกำลังไฟฟ้าแบบบูสต์เรียงต่อกันสามขั้นที่มีความคงทนต่อ ความผิดพร่องแบบสวิตช์เปิดวงจร

#### 5.1 บทนำ

จากการศึกษาค้นคว้างานวิจัยที่เกี่ยวข้องกับวงจรแปลงผันกำลังไฟฟ้าแบบบูสต์เรียงต่อกันสามขั้น ที่ได้นำเสนอไปในบทที่ 2 นั้น พบว่าวงจรดังกล่าวประกอบด้วยสวิตช์กำลังหลายตัว ในบทนี้ จึงเป็นการศึกษาหาแนวทางการพัฒนาวงจรแปลงผันกำลังไฟฟ้าแบบบูสต์เรียงต่อกันสามขั้น ให้มีความคงทนต่อความผิดพร่องเมื่อสวิตช์เปิดวงจร โดยศึกษาพฤติกรรมการทำงานของวงจรแปลงผันกำลังไฟฟ้าแบบบูสต์เรียงต่อกันสามขั้นทั้งในสภาพะปกติ และมีความผิดพร่องแบบสวิตช์เปิดวงจร เกิดขึ้น ดำเนินการสังเกตค่ากระแสที่ไหลผ่านตัวเหนี่ยวนำ แรงดันตกคร่อมตัวเก็บประจุตัว รวมถึง สัญญาณของการควบคุมฟซซีที่พัฒนาขึ้น ทั้งในสภาพะปกติ และสภาพะเกิดความผิดพร่อง เพื่อนำมาสร้างเงื่อนไขในการตรวจจับความผิดพร่อง ต่อมาเป็นการนำเสนอการระบุตำแหน่งความผิดพร่องที่เกิดขึ้นโดยสามารถระบุตำแหน่งความผิดพร่องที่เกิดขึ้นได้อย่างถูกต้อง และสุดท้ายเป็นการสร้างความคงทนต่อความผิดพร่อง เพื่อให้วงจรยังคงสามารถทำงานต่อไปได้อย่างมีประสิทธิภาพภายใต้ความผิดพร่องที่เกิดขึ้น ซึ่งมีเนื้อหาดังต่อไปนี้

#### 5.2 การศึกษาพฤติกรรมของวงจรแปลงผันกำลังไฟฟ้าแบบบูสต์เรียงต่อกันสามขั้น

การศึกษาพฤติกรรมของวงจรจะพิจารณาการทำงานของวงจรในโหมดการนำกระแสแบบต่อเนื่อง (Continuous conduction mode: CCM) ทั้งสภาพะปกติ และเมื่อเกิดความผิดพร่อง ในสภาพะการทำงานต่าง ๆ ภายใต้ตัวควบคุมฟซซีที่พัฒนาขึ้น โดยใช้โครงสร้างดังรูปที่ 5.1 โดยจะอาศัยค่าพารามิเตอร์สำหรับวงจรแปลงผันกำลังไฟฟ้าเรียงต่อกันสามขั้น และการควบคุมฟซซีดังที่ได้ออกแบบไว้แล้วในบทที่ 3 และ 4 ตามลำดับ



รูปที่ 5.1 โครงสร้างการควบคุมฟิซซีที่พัฒนาขึ้นสำหรับวงจรแปลงผันกำลังไฟฟ้าแบบบูสต์เรียงต่อกันสามชั้น

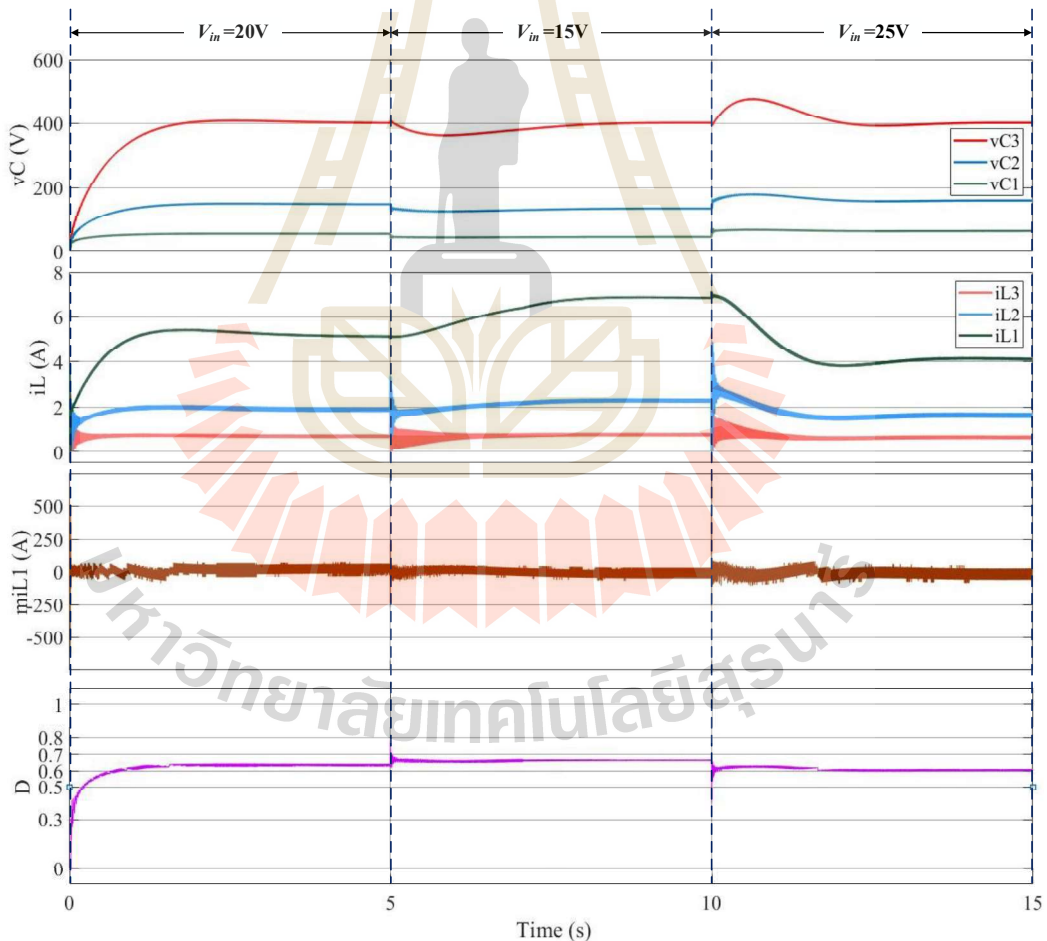
การสังเกตพฤติกรรมของวงจรแปลงผันกำลังไฟฟ้าแบบบูสต์เรียงต่อกันสามชั้นภายใต้การควบคุมฟิซซีที่พัฒนาขึ้นทั้งในสภาพะปกติและเมื่อเกิดความผิดพลาด จะอาศัยการจำลองสถานการณ์ โดยสังเกตค่ากระแสอินพุต แรงดันเอาต์พุต และค่าวัฏจักรหน้าที่ของสวิตซ์ที่ได้จากการควบคุมฟิซซีที่พัฒนาขึ้น เพื่อเป็นแนวทางในการพัฒนาวิธีการตรวจจับความผิดพลาดแบบสวิตซ์เปิดวงจร และนำไปสู่การทำงานของวงจรที่มีความคงทนต่อความผิดพลาด ในการจำลองสถานการณ์จะแสดงแรงดันตกคร่อมตัวเก็บประจุ ( $V_{C1}$ ,  $V_{C2}$ ,  $V_{C3}$ ) กระแสที่โหลดผ่านตัวเหนี่ยวนำ ( $i_{L1}$ ,  $i_{L2}$ ,  $i_{L3}$ ) ความชันของกระแสที่โหลดผ่านตัวเหนี่ยวนำตัวแรก ( $m_{iL1}$ ) และค่าวัฏจักรหน้าที่ของสวิตซ์ ( $D$ ) ซึ่งมีรายละเอียดดังต่อไปนี้

### 5.2.1 การจำลองสถานการณ์ของวงจรแปลงผันกำลังไฟฟ้าแบบบูสต์เรียงต่อกันสามชั้นในสภาพะปกติ

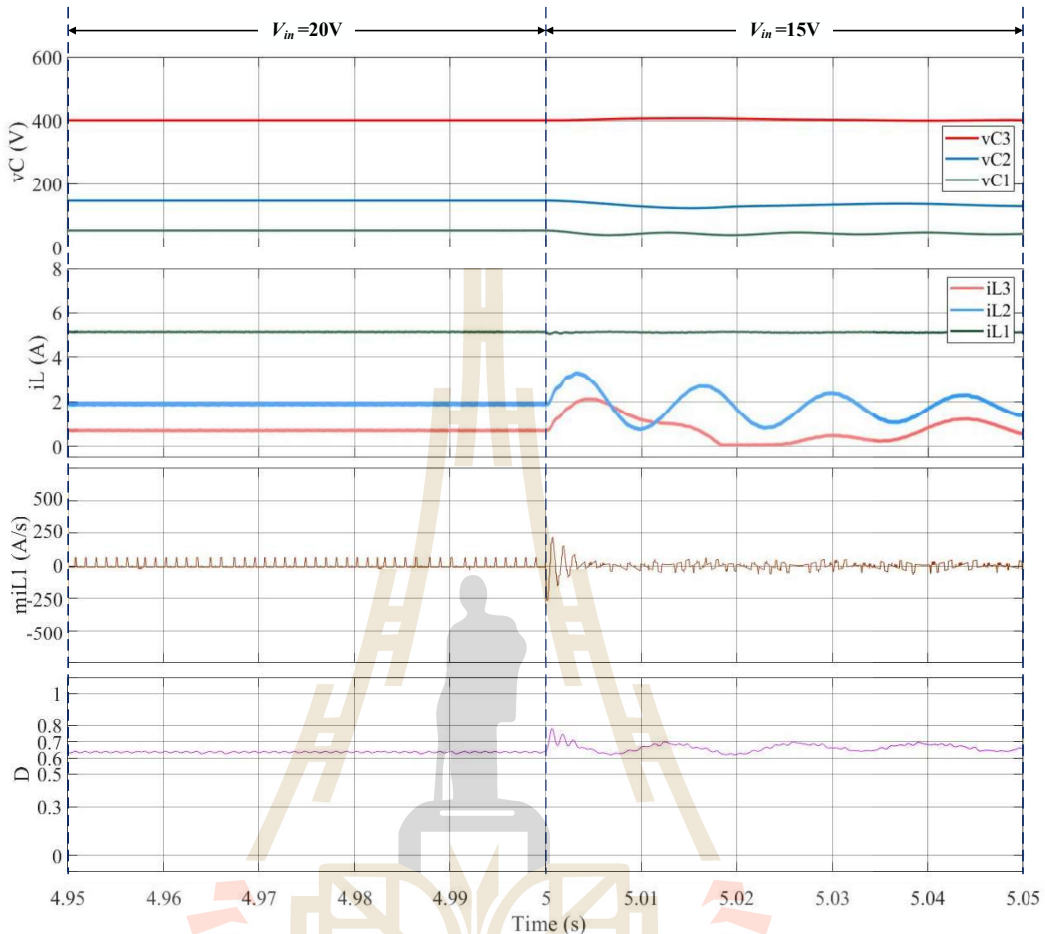
เพื่อพัฒนาวิธีการตรวจจับความผิดพลาดที่ทำงานได้อย่างถูกต้อง ได้ทำการสังเกตพฤติกรรมของวงจรแปลงผันกำลังไฟฟ้าแบบบูสต์เรียงต่อกันสามชั้นภายใต้การควบคุมฟิซซีที่พัฒนาขึ้นจากการจำลองสถานการณ์ต่าง ๆ ของวงจรในขณะที่ทำงานปกติ โดยการเปลี่ยนจุดการทำงานของวงจร 3 กรณี ได้แก่ การเปลี่ยนแปลงแรงดันอินพุต ( $V_{in}$ ) การเปลี่ยนแปลงแรงดันอ้างอิง ( $V_{ref}$ ) และการเปลี่ยนแปลงโหลดตัวต้านทาน ( $R$ ) โดยพิจารณาการทำงานของวงจรในสภาพะชั่วครู่ หลังจากการเปลี่ยนจุดการทำงานต่าง ๆ ของวงจร เนื่องจากในช่วงเวลาสั้น ๆ นี้ วงจรจะแสดงพฤติกรรมที่แตกต่างจากการทำงานของวงจรในสภาพะอยู่ตัวอย่างชัดเจน ซึ่งจะช่วยให้เข้าใจพฤติกรรมของวงจรมากขึ้น และนำข้อมูลที่ได้ไปใช้ในการออกแบบวิธีการตรวจจับความผิดพลาดได้อย่างถูกต้องและรวดเร็ว

กรณีที่ 1 การจำลองสถานการณ์เมื่อการเปลี่ยนแปลง  $V_{in}$  เป็น 20V, 15V และ 25V ในช่วงเวลา 0s, 5s และ 10s ตามลำดับ โดยคงค่า  $V_{ref}$  ที่ 400V และ  $R$  ที่ 1600Ω จากผลการ

จำลองสถานการณ์รูปที่ 5.2 สังเกตเห็นได้ว่าแรงดันต้นทั่วเก็บประจุ ( $V_{C1}$ ,  $V_{C2}$ ,  $V_{C3}$ ) และกระแสที่ไหลผ่านตัวเหนี่ยวนำ ( $i_{L1}$ ,  $i_{L2}$ ,  $i_{L3}$ ) เกิดการพุ่งเกิน และลดลงอย่างรวดเร็ว เมื่อแรงดันอินพุตเพิ่มขึ้น และลดลงตามลำดับ หลังจากนั้น  $V_O$  จะถูกควบคุมให้เท่ากับ  $V_{ref}$  ที่ 400V เมื่อพิจารณา  $m_{iL1}$  พบร่วาในช่วงเริ่มต้นการทำงานของวงจร  $m_{iL1}$  มีค่าของการเปลี่ยนแปลงอยู่ในช่วง  $-100A/s$  ถึง  $100A/s$  ส่วน  $D$  มีค่าเริ่มต้นจากศูนย์ เพิ่มขึ้น และคงที่ประมาณ 0.63 เพื่อให้ได้  $V_O$  ที่ 400V ตาม  $V_{ref}$  โดยที่มี  $V_{in}$  เป็น 20V หลังจากนั้น ณ เวลาที่ 5s แรงดัน  $V_{in}$  ลดลงจาก 20V เป็น 15V จะเห็นได้ว่า  $V_{C3}$  มีค่าลดลง และถูกควบคุมให้มีค่าเท่ากับ  $V_{ref}$  ส่วน  $i_{L1}$  มีค่าเพิ่มขึ้นจากการควบคุมให้  $m_{iL1}$  มีค่าใกล้เคียง  $m_{ref}$  โดยในสภาวะอยู่ตัว  $i_{L1}$  มีค่าประมาณ 6.67A เพื่อจ่ายกำลังไฟฟ้าให้กับโหลดเท่ากับ 100W สุดท้าย ณ เวลาที่ 10s แรงดัน  $V_{in}$  เพิ่มขึ้นจาก 15V เป็น 25V จะเห็นได้ว่า  $V_O$  มีการพุ่งเกิน หลังจากนั้นจะถูกควบคุมให้มีค่าเท่ากับ  $V_{ref}$  ส่วน  $i_{L1}$  มีค่าลดลงจาก 6.67A เป็น 4A เพื่อจ่ายกำลังไฟฟ้าให้กับโหลดเท่ากับ 100W เช่นเดิม

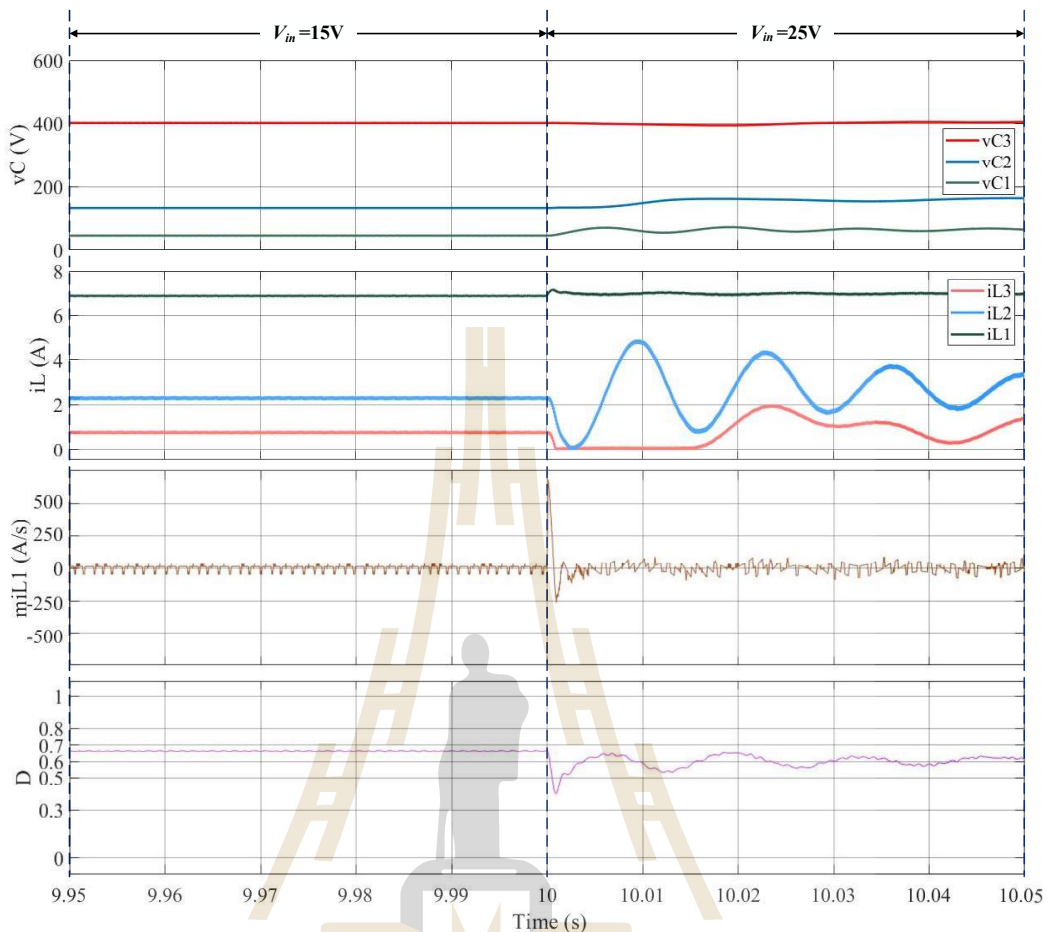


รูปที่ 5.2 ผลการจำลองพฤติกรรมการทำงานของวงจรกรณีเปลี่ยนแปลงแรงดันอินพุต



รูปที่ 5.3 ภาพขยายพอดีกรุ่มการทำงานของวงจร ในรูปที่ 5.3 ณ วินาทีที่ 5 เมื่อแรงดันอินพุตลดลงจาก 20V เป็น 15V พบรวม  $v_{C3}$  และ  $i_L$  ถูกควบคุมให้มีค่าคงที่ โดยที่  $m_{iL1}$  มีการสั่นไส้ต่ำกว่า  $-250A/s$  ในระยะเวลาสั้น ๆ เท่านั้น หลังจากนั้นจะมีค่าอยู่ในช่วง  $-100A/s$  ถึง  $100A/s$  ส่วน  $D$  มีค่าเพิ่มขึ้นจาก 0.63 เป็น 0.67 เพื่อรักษาแรงดัน  $V_O$  เท่ากับ  $V_{ref}$  ที่ 400V เมื่อมีแรงดันอินพุต  $V_{in}$  ลดลงจาก 20V เป็น 15V

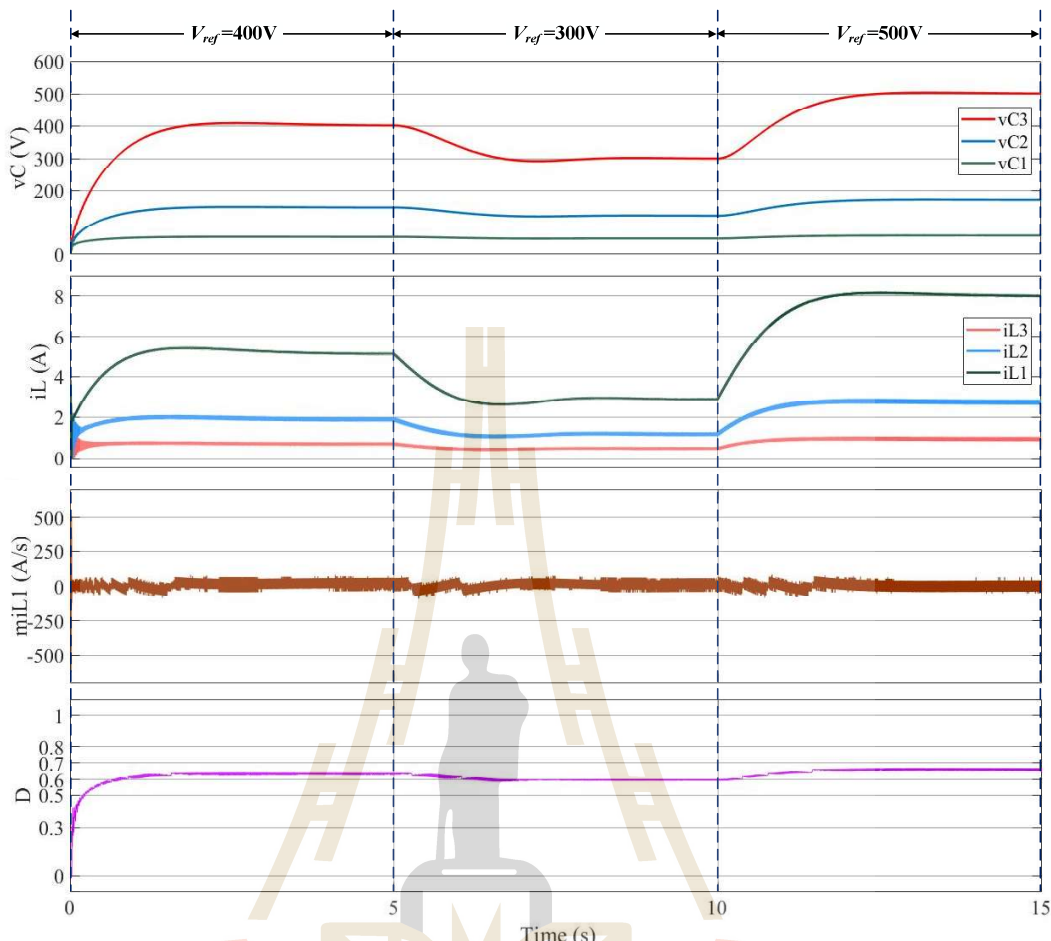
เมื่อพิจารณาภาพขยายพอดีกรุ่มการทำงานของวงจร ในรูปที่ 5.3 ณ วินาทีที่ 5 เมื่อแรงดันอินพุตลดลงจาก 20V เป็น 15V พบรวม  $v_{C3}$  และ  $i_L$  ถูกควบคุมให้มีค่าคงที่ โดยที่  $m_{iL1}$  มีการสั่นไส้ต่ำกว่า  $-250A/s$  ในระยะเวลาสั้น ๆ เท่านั้น หลังจากนั้นจะมีค่าอยู่ในช่วง  $-100A/s$  ถึง  $100A/s$  ส่วน  $D$  มีค่าเพิ่มขึ้นจาก 0.63 เป็น 0.67 เพื่อรักษาแรงดัน  $V_O$  เท่ากับ  $V_{ref}$  ที่ 400V เมื่อมีแรงดันอินพุต  $V_{in}$  ลดลงจาก 20V เป็น 15V



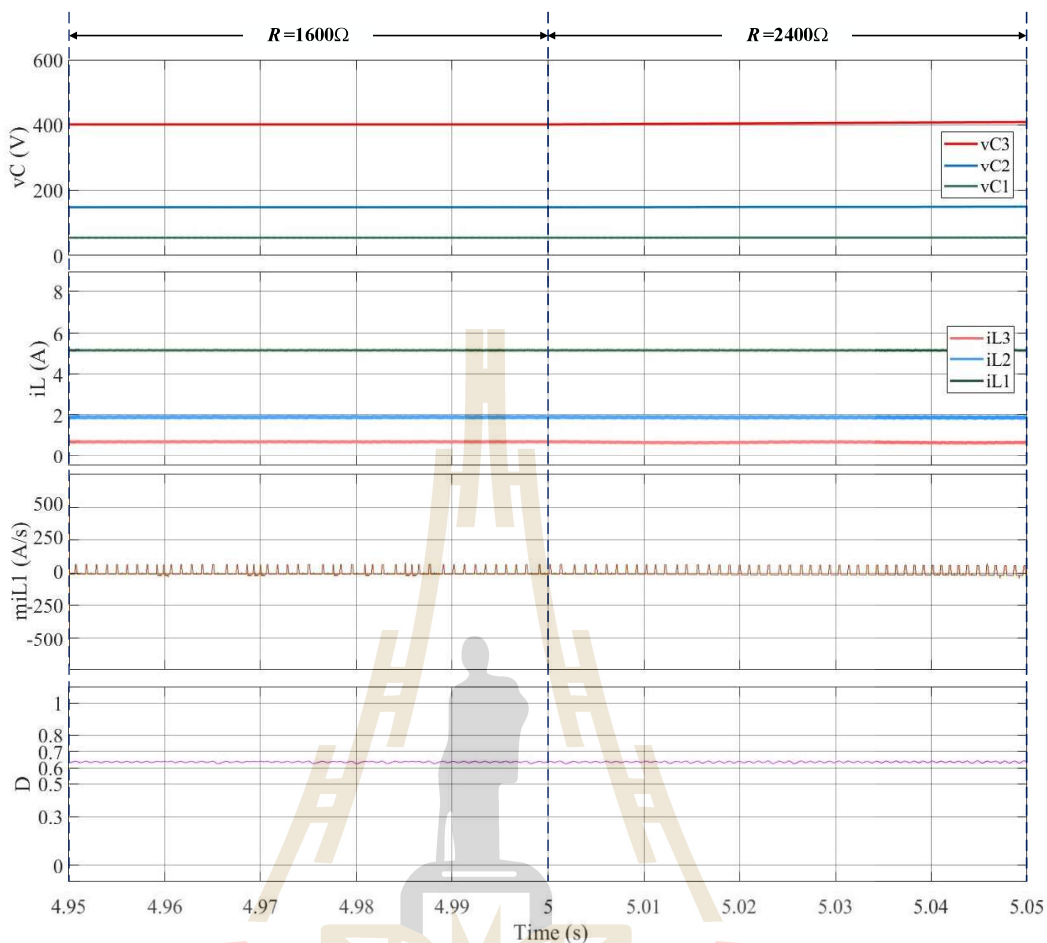
รูปที่ 5.4 ภาพขยายพอดีกรูมการทำงานของวงจรกรณีเปลี่ยนแปลงแรงดันอินพุต 15V เป็น 25V

จากภาพขยายผลการจำลองพอดีกรูมรูปที่ 5.4 แรงดันอินพุตเพิ่มขึ้นจาก 15V เป็น 25V ณ เวลาที่ 10s เมื่อพิจารณาพอดีกรูมการทำงานของวงจรพบว่า  $v_{C3}$  และ  $i_{L1}$  ยังคงที่ ในขณะที่  $m_{iL1}$  มีค่าการสั่นไห้สูงกว่า 250A/s ในระยะเวลาสั้น ๆ จากนั้น  $m_{iL1}$  จะคงที่อยู่ในช่วง -100A/s ถึง 100A/s ส่วน  $D$  มีค่าลดลงจาก 0.67 เป็น 0.6 ซึ่งเป็นผลมาจากการควบคุมฟซซีเพื่อให้ได้  $V_O$  เท่ากับ 400V หรือ  $V_{ref}$  เมื่อมีแรงดันอินพุต  $V_{in}$  เพิ่มขึ้นจาก 15V เป็น 25V

กรณีที่ 2 การจำลองสถานการณ์เมื่อมีการเปลี่ยนแปลง  $V_{ref}$  เป็น 400V, 300V และ 500V ในช่วงเวลา 0s, 5s และ 10s ตามลำดับ โดยคงค่า  $V_{in}$  ที่ 20V และ  $R$  ที่ 1600Ω แสดงดังรูปที่ 5.5 พบว่าแรงดันต่ำคงที่ ( $v_{C1}$ ,  $v_{C2}$ ,  $v_{C3}$ ) และกระแสที่ไหลผ่านตัวเหนี่ยววน้ำ ( $i_{L1}$ ,  $i_{L2}$ ,  $i_{L3}$ ) ถูกควบคุมให้มีค่าเท่ากัน 3 ค่า สมมติว่า  $V_O$  ให้มีค่าเท่ากับ  $V_{ref}$  ที่เปลี่ยนแปลง โดยในสภาวะอยู่ตัว  $D$  มีค่าคงที่ประมาณ 0.63, 0.60 และ 0.66 ตามลำดับ

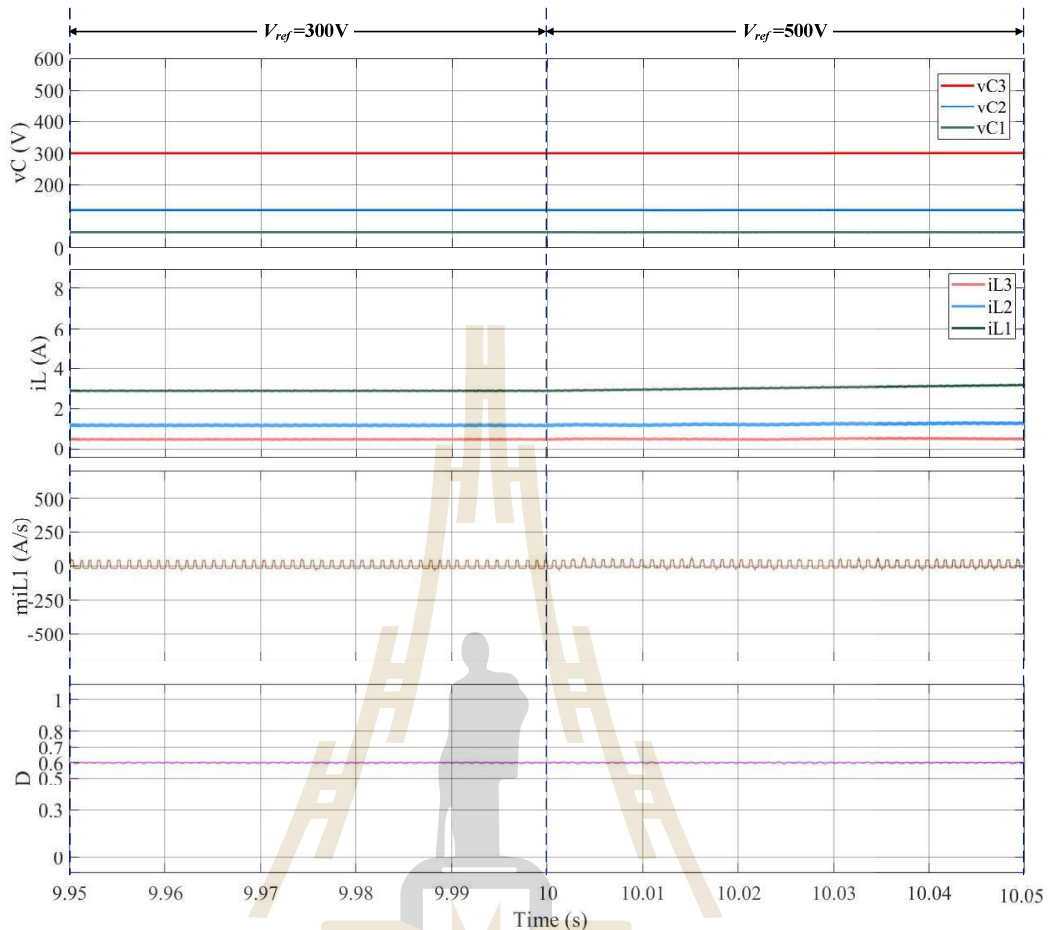


รูปที่ 5.5 ผลการจำลองพัฒนาระบบที่ทำงานวงจรกรณีเปลี่ยนแปลงแรงดันอ้างอิง



รูปที่ 5.6 ภาพขยายพอดีกรรมการทำงานของจุกกระแสที่เปลี่ยนแปลงแรงดันอ้างอิง 400V เป็น 300V

เมื่อพิจารณาภาพขยายการจำลองพอดีกรรมในรูปที่ 5.6 ณ วินาทีที่ 5 เมื่อ  $V_{ref}$  ลดลงพบว่าค่ากระแสและแรงดันไม่มีการเปลี่ยนแปลงในช่วงเวลาที่พิจารณา โดย  $v_{C3}$  มีค่าเท่ากับ 400V ซึ่งเท่ากับ  $V_{ref}$  ส่วนค่ากระแส  $i_{L1}$  มีค่าประมาณ 5 A ค่า  $m_{iL1}$  อุญในช่วง  $-100A/s$  ถึง  $100A/s$  และ  $D$  มีค่าประมาณ 0.63

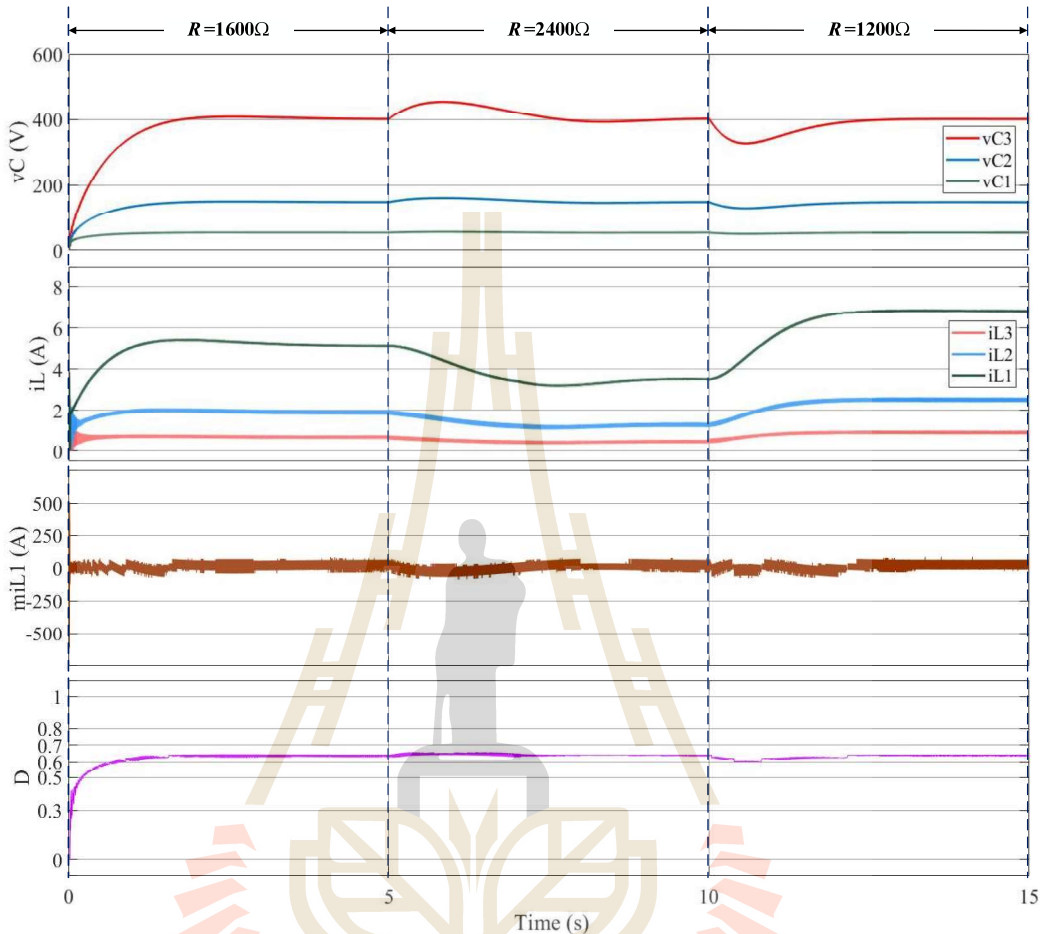


รูปที่ 5.7 ภาพขยายพอดีกรรมการทำงานของกรนเปลี่ยนแปลงแรงดันอ้างอิง 300V เป็น 500V

จากการภาพข่ายการจำลองพอดีกรรมในรูปที่ 5.7 โดย  $V_{ref}$  เพิ่มขึ้น ณ เวลาที่ 10s เมื่อพิจารณาพบว่าไม่มีการเปลี่ยนแปลงเกิดขึ้นในช่วงเวลาที่พิจารณา โดย  $v_{C3}$  และ  $i_{L1}$  จากการทำงานของวงจรก่อนวินาทีที่ 10 ซึ่งมีค่าเท่ากับ 300V และ 2.81A ตามลำดับ เช่นเดียวกันกับการเปลี่ยนแปลง  $m_{iL1}$  และ  $D$  ที่มีค่าอยู่ในช่วง  $-100A/s$  ถึง  $100A/s$  และ 0.67 ตามลำดับ

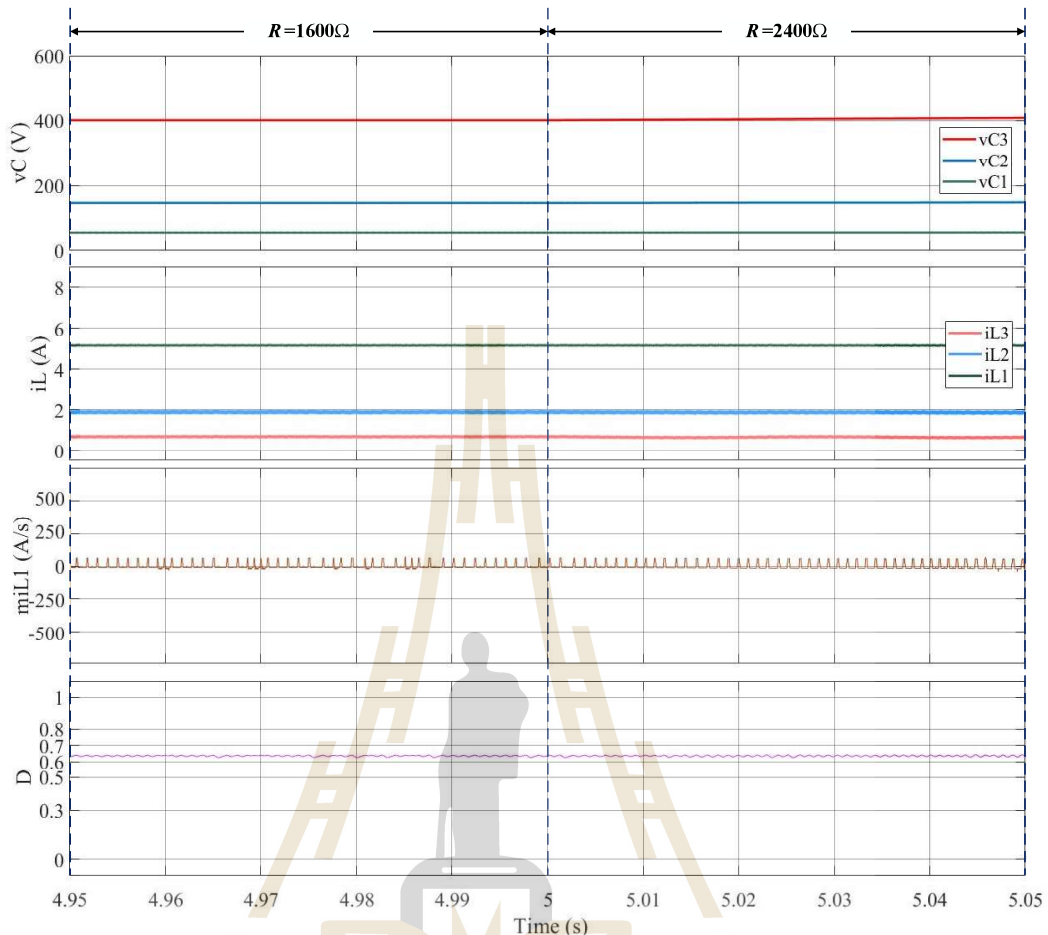
กรณีที่ 3 การจำลองสถานการณ์เมื่อมีการเปลี่ยนแปลงโหลด  $R$  เป็น  $1600\Omega$ ,  $3200\Omega$  และ  $2400\Omega$  ในช่วงเวลา 0s, 5s และ 10s ตามลำดับ โดยคงค่า  $V_{in}$  ที่ 20V และ  $V_{ref}$  ที่ 400V ผลการจำลองสถานการณ์แสดงดังรูปที่ 5.8 พบว่าแรงดันตอกคร่อมตัวเก็บประจุ ( $v_{C1}$ ,  $v_{C2}$ ,  $v_{C3}$ ) และกระแสที่โหลดผ่านตัวเหนี่ยววน ( $i_{L1}$ ,  $i_{L2}$ ,  $i_{L3}$ ) เกิดการพุ่งเกิน และลดลงอย่างรวดเร็ว เมื่อโหลด  $R$  เพิ่มขึ้น และลดลงตามลำดับ อย่างไรก็ตามตัวควบคุมฟซชี้ยังคงค่า  $V_O$  ที่ 400V ได้ ทั้งนี้การเปลี่ยนแปลงโหลด  $R$  จะส่งผลโดยตรงต่อกำลังไฟฟ้า โดยเอาต์พุตในสภาพะอยู่ตัวกำลังไฟฟ้าจะมีค่าเปลี่ยนแปลงเป็น 100W,

66.67W และ 133.33W ตามลำดับ เมื่อ  $V_{in}$  คงที่ค่ากระแส  $i_{L1}$  ถูกควบคุมให้มีค่าสอดคล้องกับการเปลี่ยนแปลงโหลด  $R$  ที่เกิดขึ้น โดยในสภาวะอยู่ตัว  $i_{L1}$  มีค่าประมาณ 5A, 3.33A และ 6.67A ตามลำดับ

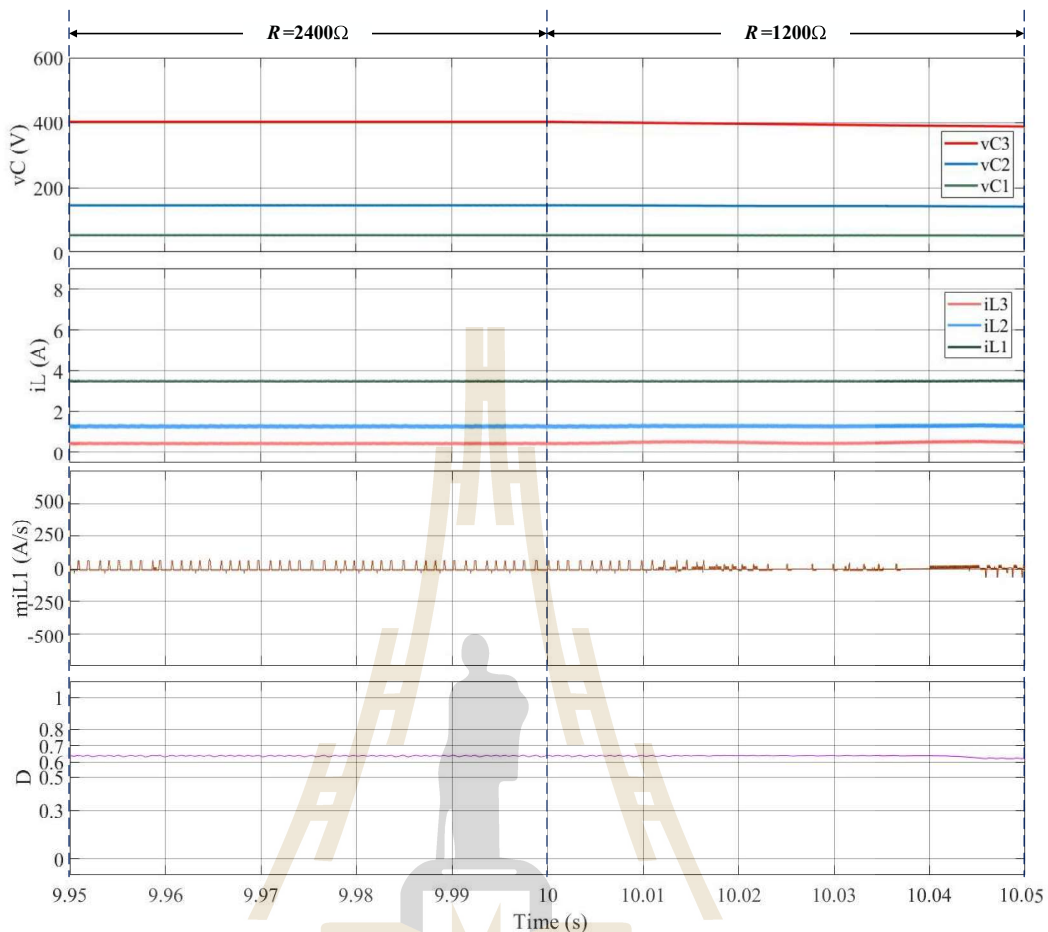


รูปที่ 5.8 พฤติกรรมการทำงานของวงจรณีเปลี่ยนแปลงโหลดตัวต้านทาน

ภาพขยายแสดงความแตกต่างพฤติกรรมการทำงานของวงจรเมื่อเปลี่ยนแปลงโหลด  $R$  ณ เวลาที่ 5s และ 10s ตามลำดับ แสดงดังในรูปที่ 5.9 และ 5.10 จะเห็นได้ว่าทั้งสองกรณีเปลี่ยนแปลง  $R$  ให้ผลตอบสนองของ  $v_{C3}$  และ  $i_{L1}$  ที่มีการเปลี่ยนแปลงเกิดขึ้นเล็กน้อยในช่วงเวลาที่พิจารณา ส่วน  $m_{iL1}$  มีการเปลี่ยนแปลงที่คงที่อยู่ในช่วง  $-100A/s$  ถึง  $100A/s$  ส่วนค่า  $D$  จะถูกควบคุมให้มีค่าคงที่ประมาณ 0.63 เพื่อรักษา  $V_O$  ให้เท่ากับ  $V_{ref}$  ที่  $400V$  โดยที่มี  $V_{in}$  เป็น  $20V$



รูปที่ 5.9 ภาพขยายพฤติกรรมการทำงานของกรรรณีเปลี่ยนแปลงโหลดตัวต้านทาน  $1600\Omega$  เป็น  $2400\Omega$



รูปที่ 5.10 ภาพขยายพอดีกรุ่นการทำงานของวงจรในสภาวะปกติ โดยพิจารณาการเปลี่ยนจุดการทำงานของ

วงจรทั้ง 3 กรณี สามารถสังเกตพอดีกรุ่นผลตอบสนองที่เกิดขึ้น เพื่อเปรียบเทียบกับผลตอบสนองที่

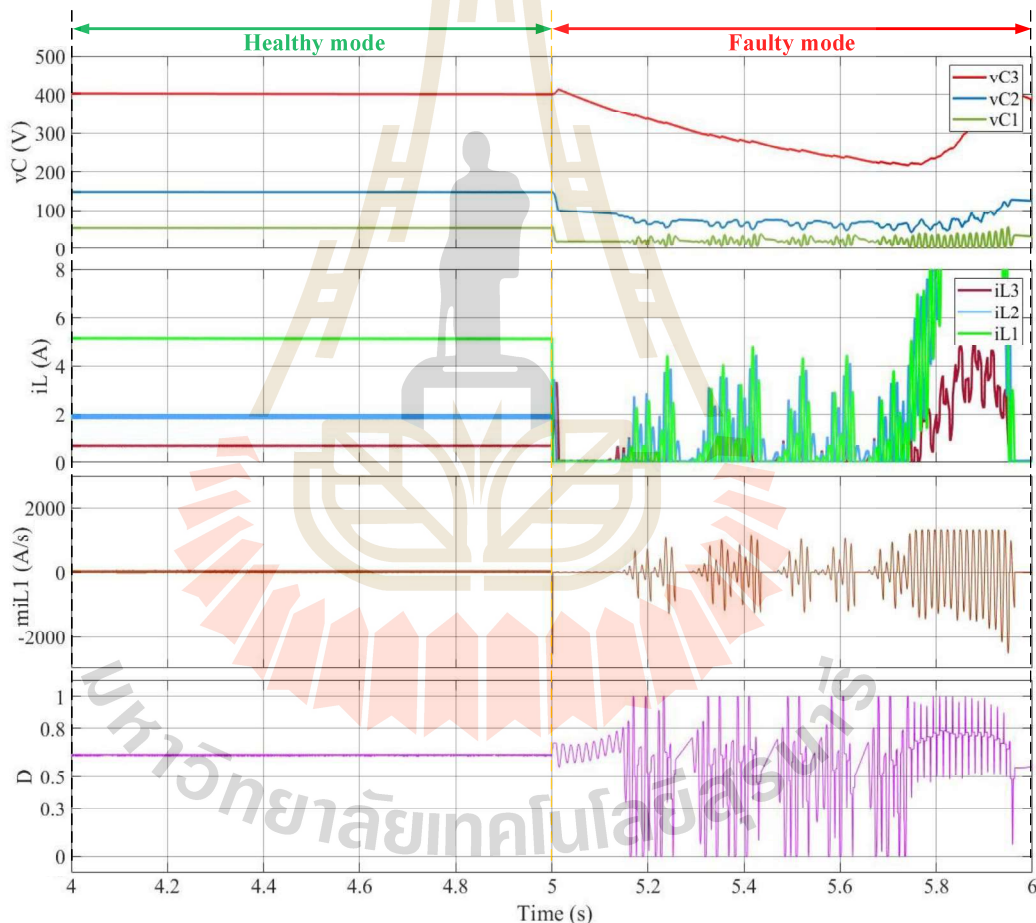
เกิดขึ้นภายใต้สภาวะเกิดความผิดพร่อง อีกทั้งยังเป็นแนวทางในการตรวจจับความผิดพร่อง  
ให้มีความถูกต้อง และรวดเร็ว

### 5.2.2 การจำลองสถานการณ์วงจรแปลงผันกำลังไฟฟ้าแบบบูสต์เรียงต่อกันสามขั้นเมื่อ เกิดความผิดพร่องแบบสวิตช์เปิดวงจร

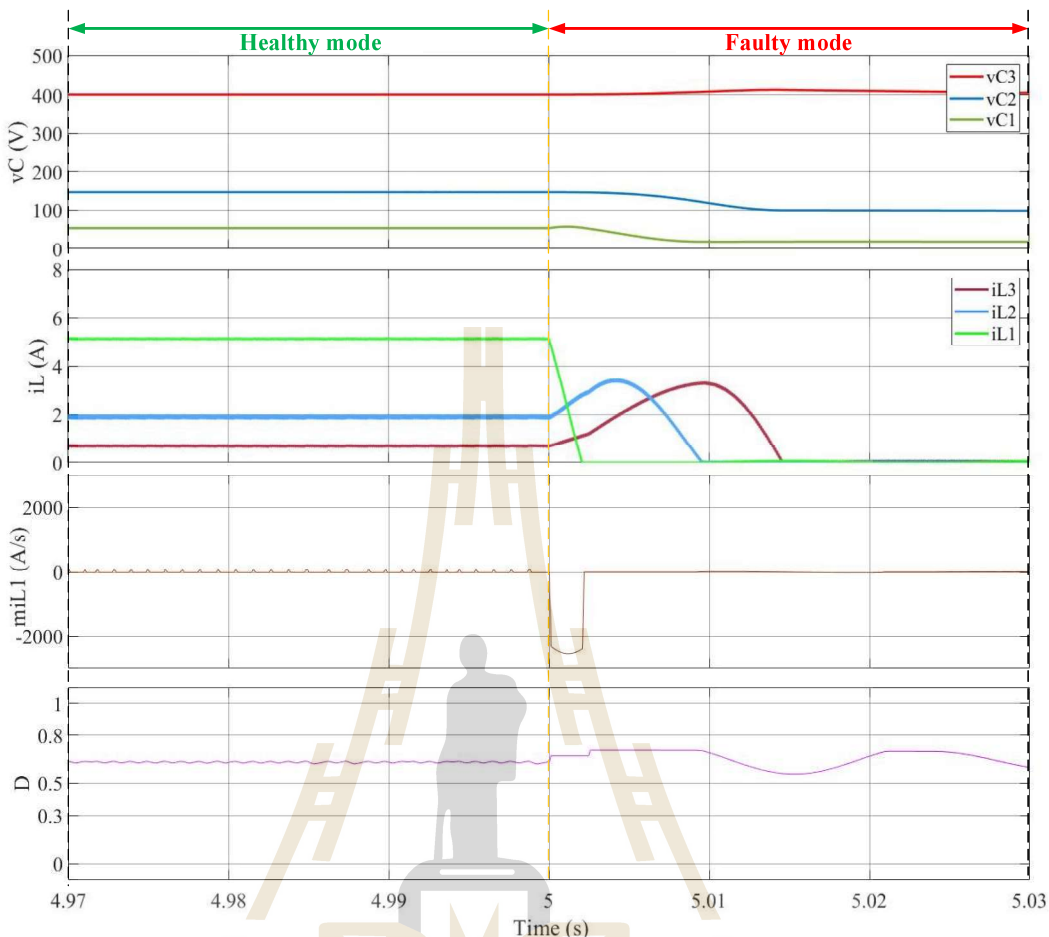
การจำลองสถานการณ์กำหนดให้  $V_{ref}$  เป็น 400V,  $R$  เป็น 1600Ω และ  $V_{in}$  เป็น 20V  
คงที่ตลอดการจำลองสถานการณ์ โดยผลการจำลองสถานการณ์พบว่าพอดีกรุ่นการทำงานของวงจรแปลง  
ผันกำลังไฟฟ้าแบบบูสต์เรียงต่อกันสามขั้นในสภาวะปกติ (Healthy mode) ภายใต้การควบคุมฟซซีที่  
พัฒนาขึ้น สามารถควบคุมแรงดัน  $V_O$  ให้มีค่าเพิ่มขึ้นจากศูนย์ไปยัง  $V_{ref}$  ที่ 400V อีกทั้งแรงดันตกคร่อม

ตัวเก็บประจุ ( $v_{C1}$ ,  $v_{C2}$ ,  $v_{C3}$ ) และกระแสที่ไฟล์ผ่านตัวเหนี่ยวนำ ( $i_{L1}$ ,  $i_{L2}$ ,  $i_{L3}$ ) มีผลตอบสนองคงที่ในสภาวะอยู่ตัว หลังจากนั้นวินาทีที่ 5 จะเกิดความผิดพร่องแบบสวิตช์เปิดงจร (Faulty mode) ทั้งนี้การจำลองสถานการณ์จะพิจารณากรณีที่สวิตช์ตัวใดตัวหนึ่งเกิดความผิดพร่องแบบสวิตช์เปิดงจรเท่านั้น ซึ่งจะแบ่งการจำลองสถานการณ์ออกเป็น 3 กรณี ประกอบด้วยการจำลองสถานการณ์ความผิดพร่องแบบสวิตช์เปิดงจรที่  $S_1$ ,  $S_2$  และ  $S_3$  ตามลำดับ ซึ่งมีรายละเอียดดังต่อไปนี้

กรณีที่ 1 การจำลองสถานการณ์ความผิดพร่องแบบสวิตช์เปิดงจรที่  $S_1$  แสดงดังรูปที่ 5.11 จากผลการจำลองสถานการณ์พบว่าแรงดันตกคร่อมตัวเก็บประจุ ( $v_{C1}$ ,  $v_{C2}$ ,  $v_{C3}$ ) และกระแสที่ไฟล์ผ่านตัวเหนี่ยวนำ ( $i_{L1}$ ,  $i_{L2}$ ,  $i_{L3}$ ) มีค่าลดลง และเกิดการสั่นไกวอย่างชัดเจน รวมทั้ง  $m_{iL1}$  และ  $D$  เกิดการสั่นไกว และไม่สามารถรักษา  $V_O$  ให้มีค่าตาม  $V_{ref}$  ที่ 400 V ได้



รูปที่ 5.11 พฤติกรรมการทำงานของวงจรกรณีเกิดความผิดพร่องที่  $S_1$

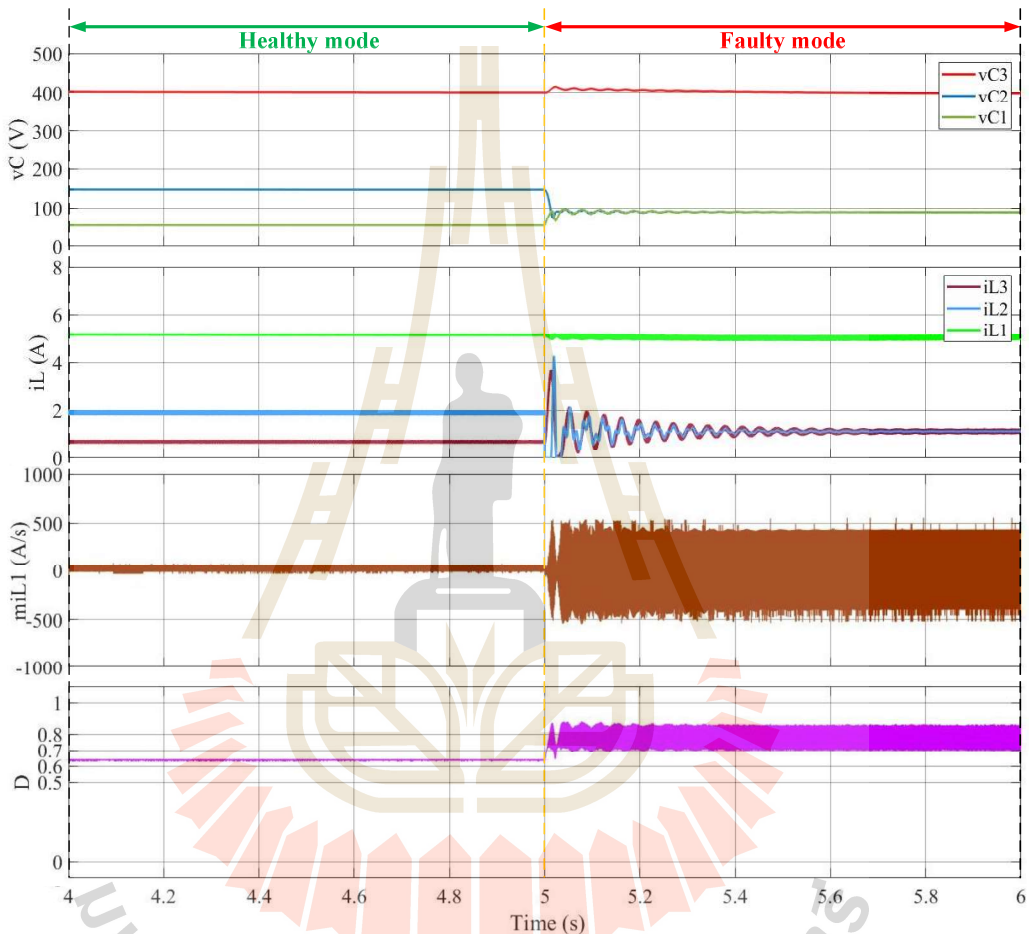


รูปที่ 5.12 ภาพขยายพอดีกรรมการทำงานของวงจรกรณีเกิดความผิดพร่องที่  $S_1$

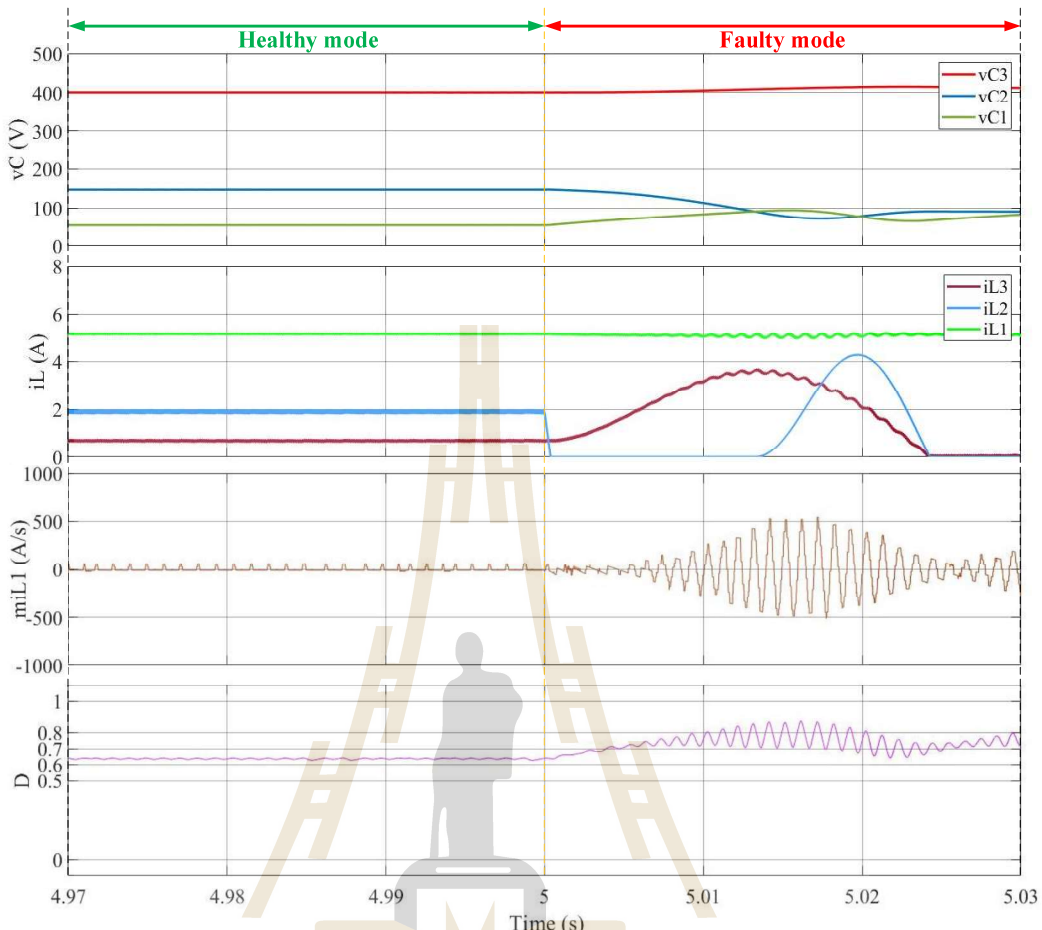
เมื่อพิจารณาภาพข่ายเพื่อเปรียบเทียบพอดีกรรมการทำงานของวงจรระหว่างสภาวะปกติและเมื่อเกิดความผิดพร่องที่  $S_1$  ดังแสดงในรูปที่ 5.12 พบร้าพอดีกรรมการทำงานของวงจรแปลงผันกำลังไฟฟ้าแบบบุสต์เรียงต่อกันสามชั้นหลังจากเกิดความผิดพร่อง  $i_{L1}$  จะลดลงอย่างรวดเร็ว จากค่าประมาณ 5A ลดลงจนถึง 0A ใช้เวลาประมาณ 3ms ส่วน  $m_{iL1}$  มีค่าติดลบเนื่องจากการที่กระแสลดลงอย่างรวดเร็วโดยมีค่าประมาณ  $-2300\text{A/s}$  ส่วนแรงดัน  $v_{C1}$ ,  $v_{C2}$  และ  $v_{C3}$  มีค่าเพิ่มขึ้นเล็กน้อย ในขณะที่  $D$  มีค่าไม่คงที่ จะเห็นได้ว่า  $i_{L1}$  และ  $m_{iL1}$  มีผลตอบสนองที่เปลี่ยนแปลงรวดเร็วอย่างเห็นได้ชัด จึงพิจารณาค่าดังกล่าวเพื่อเป็นแนวทางในการพัฒนาวิธีการตรวจจับความผิดพร่องที่  $S_1$  โดยรายละเอียดจะถูกนำเสนอในหัวข้อถัดไป

กรณีที่ 2 การจำลองสถานการณ์ความผิดพร่องแบบสวิตซ์เปิดวงจรที่  $S_2$  แสดงดังรูปที่ 5.13 พบร้าตัวควบคุมฟซซียังสามารถที่จะเพิ่ม และรักษา  $V_O$  มีค่าประมาณ  $V_{ref}$  ได้ อย่างไรก็ตามแรงดัน  $v_{C1}$  และ  $v_{C2}$  เกิดการสั่นไกวเล็กน้อย หลังจากนั้นแรงดันทั้งสองจะมีค่าเท่ากันประมาณ 90V ในสภาวะอยู่

ตัว ส่วนกระแส  $i_{L2}$  และ  $i_{L3}$  เกิดการสั่นໄกวอย่างเห็นได้ชัด หลังจากนั้นกระแสทั้งสองจะมีเท่ากันค่าประมาณ 1.2A ในสภาพอยู่ตัว เมื่อพิจารณา  $m_{iL1}$  พบว่าเกิดการสั่นໄกที่มากกว่าในสภาพปกติอย่างเห็นได้ชัด โดยมีค่าการเปลี่ยนแปลงเกินขอบเขต  $-250A/s$  ถึง  $250A/s$  ส่วน  $D$  เพิ่มขึ้นจาก 0.63 เป็น 0.78 อย่างรวดเร็ว และไม่คงที่ เกิดการเปลี่ยนแปลงค่ามากกว่าในสภาพปกติอย่างเห็นได้ชัดเจนเช่นกัน โดยที่สภาพอยู่ตัวมีค่าประมาณ 0.77 เพื่อรักษา  $V_O$  ให้เท่ากับ  $V_{ref}$  ที่ 400V



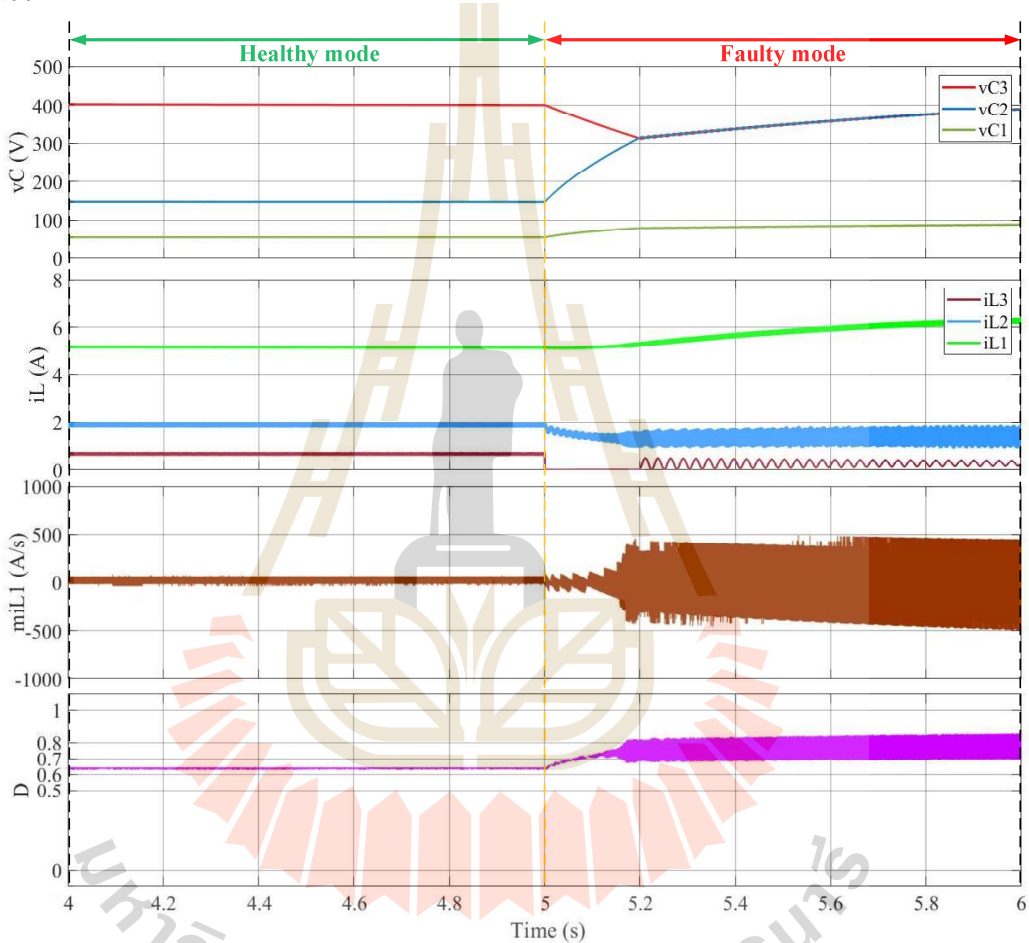
รูปที่ 5.13 พฤติกรรมการทำงานของวงจรกรนีเกิดความผิดพลาดที่  $S_2$



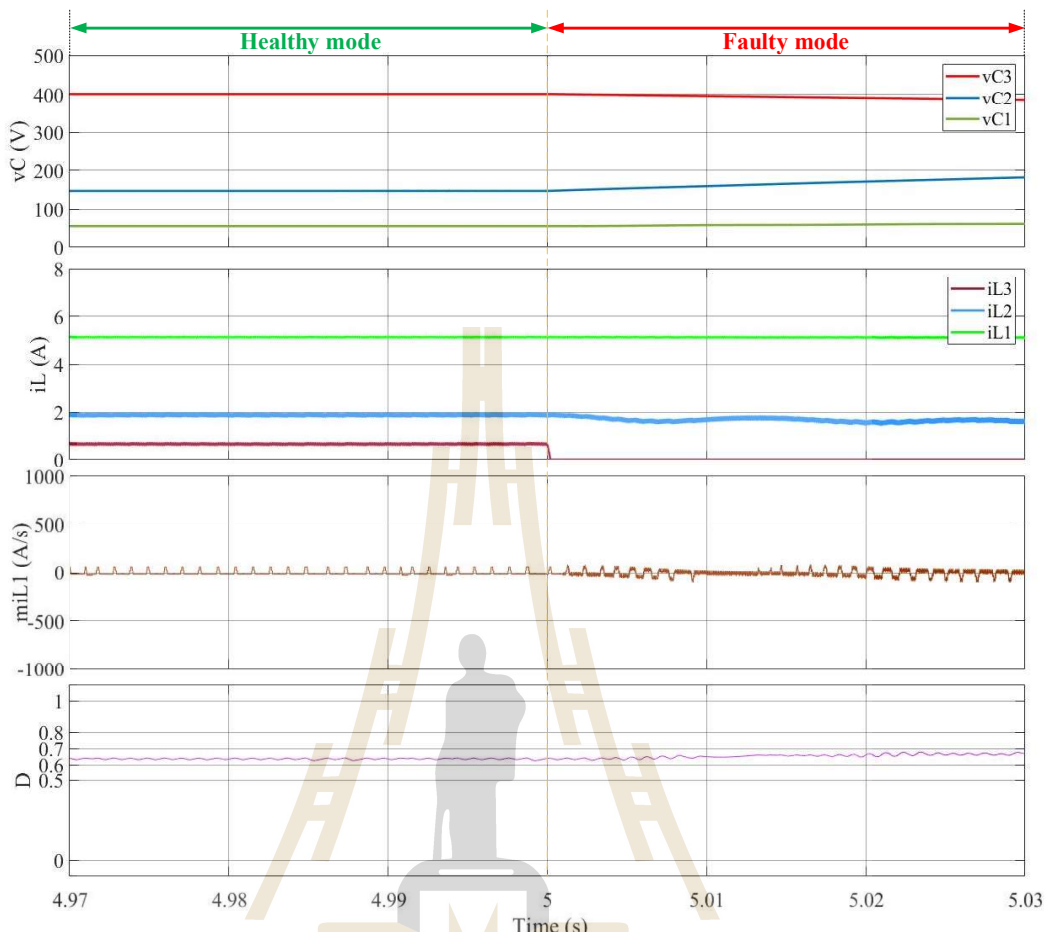
รูปที่ 5.14 ภาพขยายพฤติกรรมการทำงานของวงจรกรณีเกิดความผิดพร่องที่  $S_2$

จากภาพขยายเพื่อพิจารณาพฤติกรรมการทำงานของวงจรในรูปที่ 5.14 แสดงให้เห็น ความแตกต่างพุ่มพุ่มในการทำงานของวงจรระหว่างสภาพปกติ และเมื่อเกิดความผิดพร่องที่  $S_2$  จากผลการ จำลองสถานการณ์พบว่าพุ่มพุ่มการทำงานของวงจรเปล่งผันกำลังไฟฟ้าแบบบุสต์เรียงต่อกันสามขั้น หลังจากเกิดความผิดพร่อง จะสังเกตได้ว่าแรงดัน  $V_{C3}$  มีค่าเพิ่มขึ้นเล็กน้อย กระแส  $i_{L1}$  มีการสั่นไกว เล็กน้อย เมื่อพิจารณา  $m_{iL1}$  พบว่าหลังจากเกิดความผิดพร่องมีการสั่นไกวทันทีอย่างเห็นได้ชัด สัญญาณ  $D$  มีค่าเพิ่มขึ้น ดังนั้น  $m_{iL1}$  และ  $D$  มีผลตอบสนองที่เปลี่ยนแปลงอย่างรวดเร็ว จึงพิจารณาค่าดังกล่าวเพื่อ เป็นแนวทางในการพัฒนาวิธีการตรวจจับความผิดพร่องที่  $S_2$  โดยรายละเอียดจะถูกนำเสนอในหัวข้อถัดไป กรณีที่ 3 การจำลองสถานการณ์ความผิดพร่องแบบสวิตซ์เปิดวงจรที่  $S_3$  แสดงดังรูปที่ 5.15 พบว่าการควบคุมฟซซี ยังคงสามารถรักษา  $V_O$  ตามที่ต้องการได้ อย่างไรก็ตามแรง  $V_{C1}$  และ  $V_{C2}$  มี ค่าเพิ่มขึ้นเป็น 90V และ 400V ตามลำดับ ส่วนแรงดัน  $V_{C3}$  มีค่าลดลงจากการคายประจุให้กับโหลดตัว ต้านทาน หลังจากนั้นมีค่าเพิ่มขึ้นเข้าหา  $V_{ref}$  โดยใช้เวลาเข้าที่ประมาณ 1s ส่วนผลตอบสนองกระแสที่แหล

ผ่านตัวเหนี่ยวนำที่เกิดขึ้นพบว่า  $i_{L1}$  มีค่าเพิ่มขึ้นเล็กน้อย ส่วน  $i_{L2}$  มีค่าลดลงเล็กน้อย หลังจากนั้นเกิดการสั่นไกอย่างเห็นได้ชัด และ  $i_{L3}$  มีค่าลดลงอย่างรวดเร็ว และคงที่ 0A ประมาณ 0.2s หลังจากนั้นมีค่าเพิ่มขึ้นแบบสั่นไก เมื่อพิจารณา  $m_{IL1}$  พบว่าในช่วงแรกค่าไม่เปลี่ยนแปลงประมาณ 0.17s หลังจากนั้นเกิดการสั่นไก โดยมีค่าการเปลี่ยนแปลงมากกว่าในสภาวะปกติอย่างเห็นได้ชัด ส่วน D มีค่าเพิ่มขึ้น และเกิดการสั่นไกมากกว่าในสภาวะปกติ โดยที่สภาวะอยู่ตัวมีค่าประมาณ 0.77 เพื่อรักษา  $V_O$  ให้เท่ากับ  $V_{ref}$  ที่ 400V



รูปที่ 5.15 พฤติกรรมการทำงานของวงจรกรณีเกิดความผิดพร่องที่  $S_3$



รูปที่ 5.16 ภาพขยายพอดีกรรมการทำงานของวงจรกรณีเกิดความผิดพร่องที่  $S_3$

ในการพิจารณาความแตกต่างพอดีกรรมการทำงานระหว่างสภาวะปกติ และเมื่อเกิดความผิดพร่องที่สวิตซ์  $S_3$  จะอาศัยภาพขยายพอดีกรรมการทำงานของวงจรในรูปที่ 5.16 พบว่า พอดีกรรมการทำงานของวงจรเปล่งผันกำลังไฟฟ้าแบบบุสต์เรียงต่อกันสามขั้นหลังจากเกิดความผิดพร่อง ผลตอบสนองของ  $v_{C3}$  มีค่าลดลงจากค่าประจุ ส่วนกระแส  $i_{L1}$  มีค่าเพิ่มขึ้น หลังจากนั้นมีการสั่นไกว เล็กน้อย ส่วน  $m_{iL1}$  มีการสั่นไกวเล็กน้อยเช่นกัน และสัญญาณ  $D$  มีค่าเพิ่มขึ้นเล็กน้อย ดังนั้นจึงพิจารณาค่า  $v_{C3}$  เพื่อเป็นแนวทางในการพัฒนาวิธีการตรวจจับความผิดพร่องที่  $S_3$  โดยรายละเอียดจะถูกนำเสนอในหัวข้อถัดไป

จากการจำลองสถานการณ์แสดงพอดีกรรมของวงจรเปล่งผันกำลังไฟฟ้าแบบบุสต์ เรียงต่อกันสามขั้นภายใต้การควบคุมฟซซีที่พัฒนาขึ้นดังที่ได้กล่าวมาข้างต้น ทั้งในสภาวะปกติที่มีการเปลี่ยนแปลงจุดการทำงานของวงจร และในสภาวะที่เกิดความผิดพร่องแบบเบ็ดเติงของห้องสามสวิตซ์ จะเห็นได้ว่าค่ากระแส  $i_{L1}$  และแรงดัน  $V_O$  ที่ได้จากตัวตรวจจับกระแส และตัวตรวจจับแรงดันที่ใช้ใน

กระบวนการควบคุมฟื้นฟูที่พัฒนาขึ้น รวมถึงสัญญาณ  $D$  ที่ได้จากการควบคุมฟื้นฟูที่พัฒนาขึ้นมีการเปลี่ยนแปลงอย่างเห็นได้ชัด เมื่อเกิดความผิดพร่องที่สวิตซ์แต่ละตัว ข้อมูลเหล่านี้จะถูกนำไปใช้ในการตรวจจับความผิดพร่องแบบสวิตซ์เปิดวงจรสรุปได้ดังตารางที่ 5.1

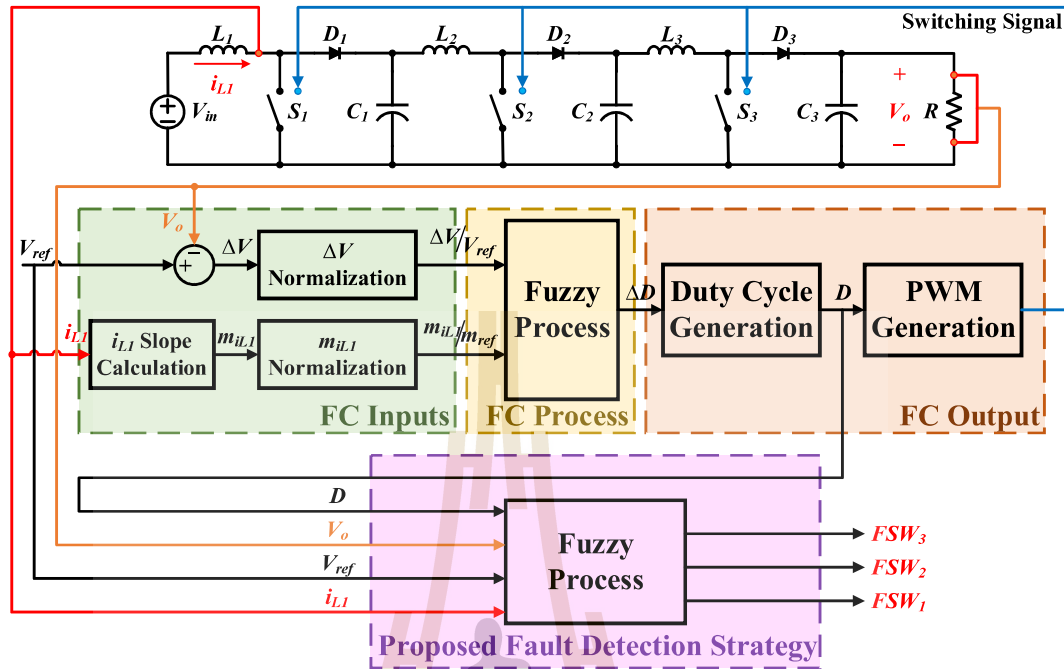
ตารางที่ 5.1 ข้อมูลที่ใช้ในการตรวจจับความผิดพร่องแบบสวิตซ์เปิดวงจร

ความผิดพร่องแบบสวิตซ์เปิดวงจร	พารามิเตอร์ที่พิจารณา
$S_1$	ค่ากระแสที่เหลือผ่านตัวเหนี่ยวนำตัวที่ 1 ( $i_{L1}$ )
$S_2$	ค่ากระแสที่เหลือผ่านตัวเหนี่ยวนำตัวที่ 1 ( $i_{L1}$ ) และค่าวัสดุจักรหน้าที่ของสวิตซ์ ( $D$ )
$S_3$	ค่าแรงดันตกคร่อมตัวเก็บประจุตัวที่ 3 ( $V_{C3}$ )

ดังนั้นค่าพารามิเตอร์ที่เปลี่ยนแปลงรวดเร็วอย่างเห็นได้ชัดเมื่อเกิดความผิดพร่องแบบสวิตซ์เปิดวงจรเหล่านี้สามารถนำไปใช้พัฒนาวิธีการตรวจจับความผิดพร่อง รวมถึงพัฒนาการสร้างความคงทนต่อความผิดพร่องให้กับวงจรแปลงผันกำลังไฟฟ้าแบบบุสต์เรียงต่อกันสามขั้นภายในได้แก่ กระบวนการควบคุมฟื้นฟูที่พัฒนาขึ้นเพื่อให้ยังคงสามารถทำงานต่อไปได้อย่างมีประสิทธิผล และต่อเนื่อง

### 5.3 วิธีการตรวจจับและระบุตำแหน่งความผิดพร่องแบบสวิตซ์เปิดวงจรที่พัฒนาขึ้น

จากการศึกษาพัฒนาระบบดูแลรักษาความปลอดภัยในห้องแม่ข่าย สามารถสรุปว่า ความผิดพร่องแบบสวิตซ์เปิดวงจรประกอบด้วยกระแส  $i_{L1}$  แรงดัน  $V_{C3}$  และสัญญาณ  $D$  ของวงจรแปลงผันกำลังไฟฟ้าแบบบุสต์เรียงต่อกันสามขั้นภายในได้แก่ กระบวนการควบคุมฟื้นฟูที่พัฒนาขึ้นดังที่ได้กล่าวไว้แล้วในขั้นตอน สามารถนำมาพัฒนาวิธีการตรวจจับความผิดพร่อง (Fault detection strategy) พื้นฐานที่สามารถระบุตำแหน่งสวิตซ์ที่เกิดความผิดพร่องภายในห้องแม่ข่าย (Fault identification) โดยใช้กระบวนการฟื้นฟูที่พัฒนาขึ้น ทั้งนี้จะพิจารณากรณีที่สวิตซ์ตัวใดตัวหนึ่งเกิดความผิดพร่องแบบสวิตซ์เปิดวงจรเท่านั้น

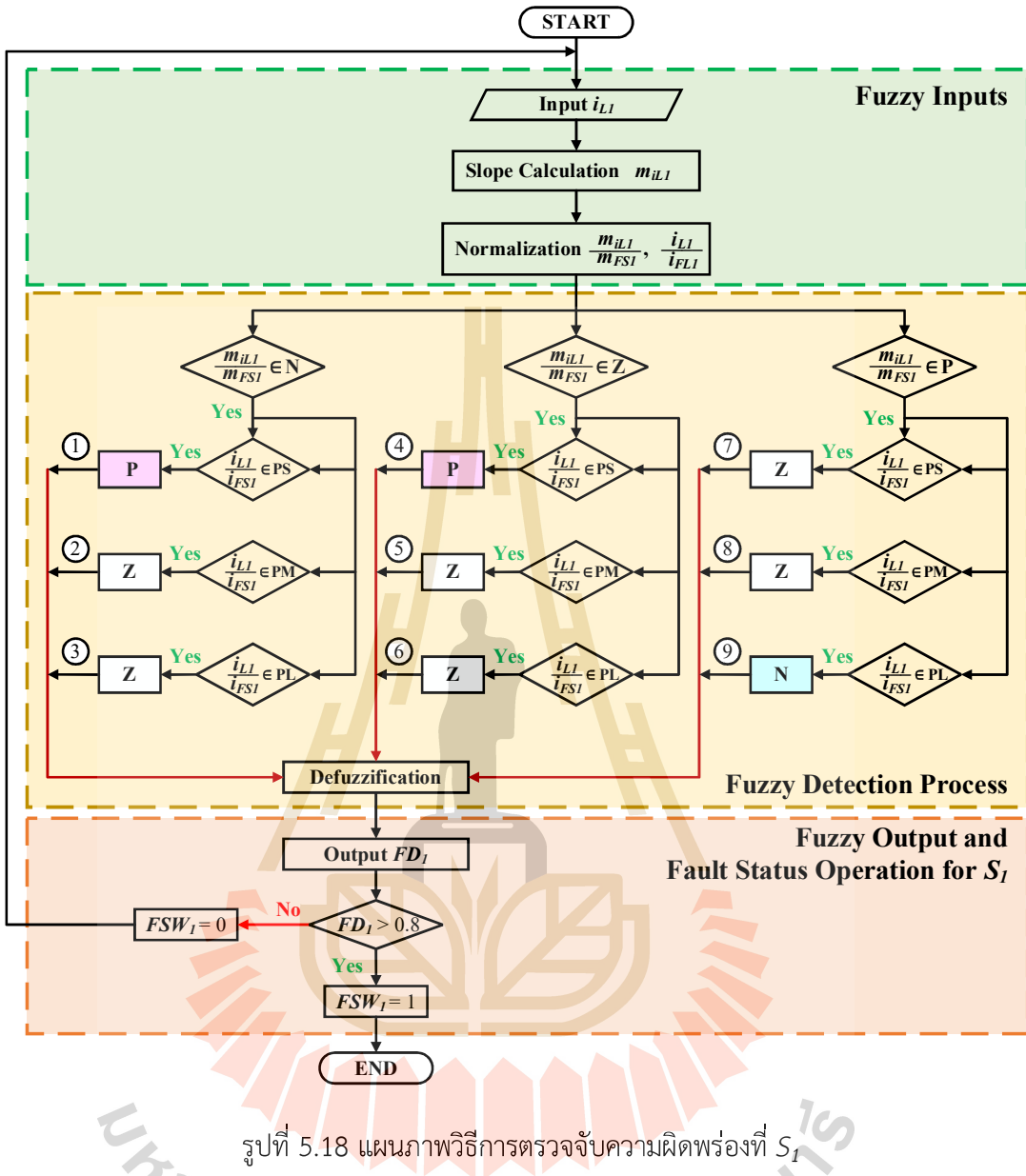


รูปที่ 5.17 โครงสร้างการควบคุมฟัชซี่ที่พัฒนาขึ้นร่วมกับการตรวจจับความผิดพร่องแบบสวิตช์เปิด วงจร

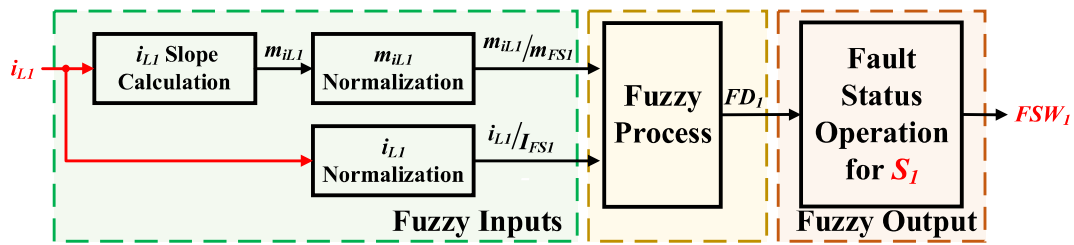
ในกระบวนการตรวจจับความผิดพร่องแบบสวิตช์เปิดจะจะแสดงผลเอาต์พุตที่เป็นสถานะการตรวจจับความผิดพร่องของสวิตช์ทั้งสามตัว ( $FSW_1, FSW_2, FSW_3$ ) โดยหากการทำงานของวงจรอยู่ในสภาพปกติ (Healthy mode) สถานะการตรวจจับความผิดพร่องของสวิตช์จะแสดงค่าเป็นศูนย์ ( $FSW_n = 0$ ) แต่หากเกิดความผิดพร่อง (Faulty mode) สถานะการตรวจจับความผิดพร่องของสวิตช์จะแสดงค่าเป็นหนึ่ง ( $FSW_n = 1$ ) ในการตรวจจับความผิดพร่องแบบสวิตช์เปิดจะของสวิตช์แต่ละตัวมีวิธีการที่แตกต่างกัน ซึ่งเกิดจากการสังเกตพฤติกรรมที่เกิดขึ้นเมื่อเกิดความผิดพร่องแบบสวิตช์เปิดจะของสวิตช์แต่ละตัว และนำไปสู่การพัฒนาวิธีการตรวจจับความผิดพร่องโดยใช้ตรรกศาสตร์คลุมเครือ หรือฟัชซีโลจิก (Fuzzy logic) โดยมีเนื้อหาดังต่อไปนี้

### 5.3.1 การตรวจจับความผิดพร่องที่ $S_1$

จากการสังเกตพฤติกรรมของวงจรเมื่อการเกิดความผิดพร่องแบบสวิตช์เปิดวงจรที่  $S_1$  จะเห็นได้ว่ากระแส  $i_{L1}$  และ  $m_{iL1}$  มีการเปลี่ยนแปลงที่รวดเร็วอย่างเห็นได้ชัด แผนภาพวิธีการตรวจจับความผิดพร่องที่  $S_1$  แสดงดังรูปที่ 5.18

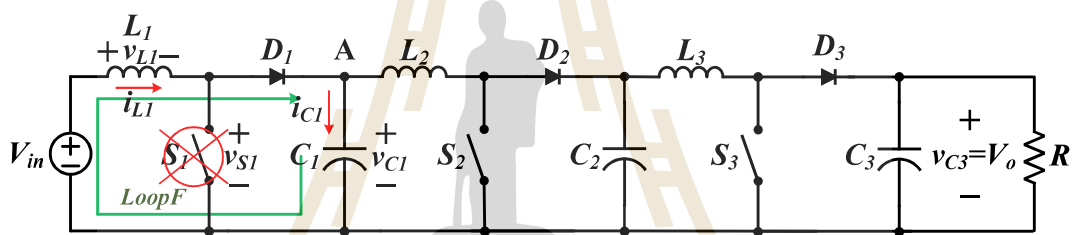


จากแผนภาพวิธีการตรวจจับความผิดพร่องที่  $S_1$  ที่แสดงดังรูปที่ 5.19 อินพุตของการตรวจจับความผิดพร่องที่  $S_1$  ประกอบด้วย ความชันของกระแสที่เหล่านี้ยาน้ำตัวที่ 1 ( $m_{iL1}$ ) และกระแส  $i_{L1}$  ที่ถูกปรับค่าสเกลในกระบวนการอัตโนมัติเดียวกันน้ำตัวที่ 1 ( $m_{iL1}$ ) และกระแส  $i_{L1}$  ที่ถูกปรับค่าสเกลในกระบวนการอัตโนมัติเดียวกันน้ำตัวที่ 2 ( $m_{iFS1}$ ) และกระแสที่เหล่านี้ในสภาพปกติ ( $i_{FS1}$ ) ตามลำดับ ซึ่งจะถูกกล่าวถึงในขั้นถัดไป



รูปที่ 5.19 โครงสร้างของการตรวจจับความผิดพร่องที่  $S_1$

จากโครงสร้างของการตรวจจับความผิดพร่องที่  $S_1$  ดังแสดงในรูปที่ 5.19 จะเห็นได้ว่า อินพุตค่าแรกเริ่มจากการคำนวณค่าความชันของ  $i_{L1}$  ให้ได้ค่าความชัน  $m_{iL1}$  จากนั้นจะเข้าสู่กระบวนการ  $m_{iL1}$  Normalization เพื่อปรับค่าสเกลด้วย  $m_{FS1}$  ที่ได้จากการพิจารณาจรแปลงผัน กำลังไฟฟ้าแบบบูสต์เรียงต่อกันสามขั้นเมื่อเกิดความผิดพร่องที่  $S_1$  ที่แสดงในรูปที่ 5.20



รูปที่ 5.20 วงจรแปลงผันกำลังไฟฟ้าแบบบูสต์เรียงต่อกันสามขั้นเมื่อเกิดความผิดพร่องที่  $S_1$

จากการวิเคราะห์วงจรแปลงผันกำลังไฟฟ้าแบบบูสต์เรียงต่อกันสามขั้นในบทที่ 3 ใน สภาวะปกติ (Healthy mode) สามารถพิจารณาค่า  $v_{C1}$  ได้จากอัตราขยายแรงดันของวงจรแปลงผัน กำลังไฟฟ้าแบบบูสต์ขั้นที่ 1 สมการที่ (3.24) ซึ่งสามารถวิเคราะห์หาขนาด  $m_{FS1}$  จากกฎแรงดันไฟฟ้า ของเคอร์ซอฟฟ์ดังสมการที่ (5.1)

$$\text{ลูป F : } -V_{in} + v_{L1} + v_{C1} = 0$$

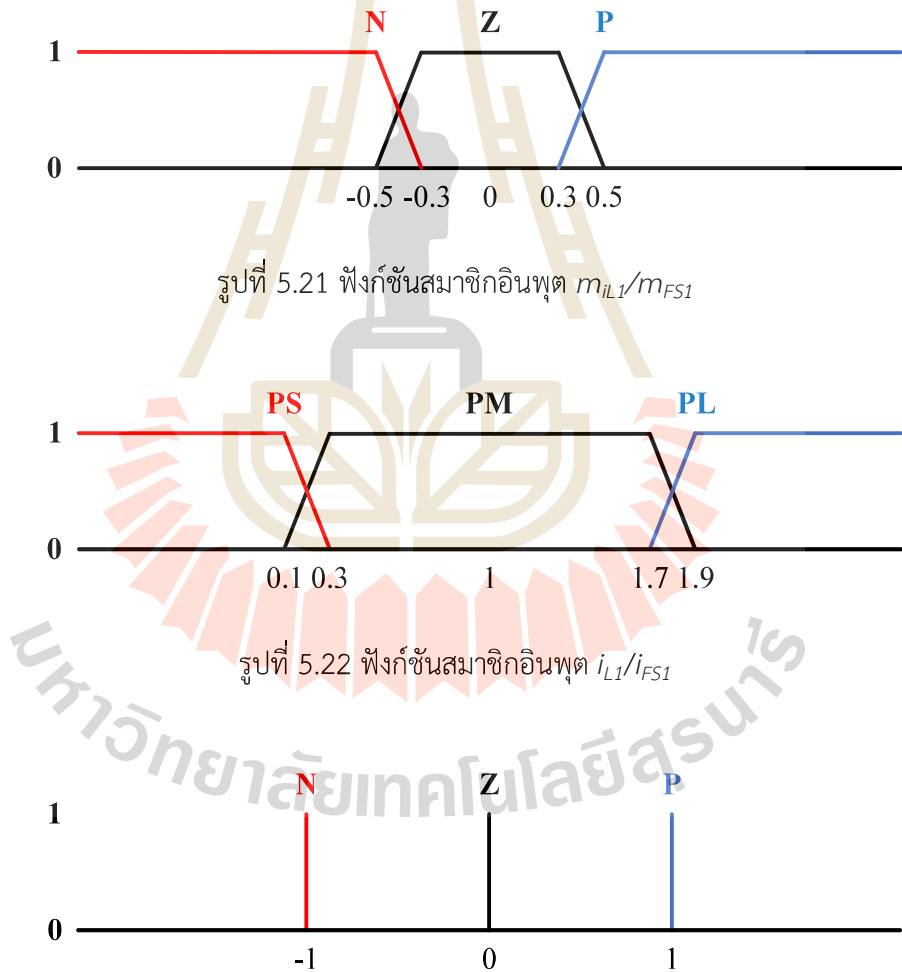
$$m_{FS1} = \left| \frac{di_{L1}}{dt} \right| = \left| \frac{V_{in} - V_{C1}}{L_1} \right| = \frac{V_{in}D}{L_1(1-D)} \quad (5.1)$$

อินพุตค่าที่สองของกระบวนการที่ชี้เป็น  $i_{L1}$  ที่ปรับค่าสเกลด้วย  $i_{FS1}$  โดยคำนวณ  $i_{FS1}$  ได้ดังสมการที่ (5.2) ซึ่งพิจารณาได้จากอัตราขยายกระแสของวงจรแปลงผันกำลังไฟฟ้าแบบบูสต์เรียงต่อ กันสามขั้นในบทที่ 3 จากสมการ (3.32)

$$i_{FS1} = \frac{I_o}{M_i} = \frac{V_{ref}}{R(1-D)^3} \quad (5.2)$$

ดังนั้นมือพิจารณาค่าพารามิเตอร์ต่าง ๆ ที่ได้กำหนดไว้ในตารางที่ 3.3 และ 3.4 ในบทที่ 3 จะสามารถคำนวณค่า  $m_{FS1}$  และ  $i_{FS1}$  เท่ากับ 2,319A/s และ 5A ตามลำดับ

จากผลตอบสนองการทำงานของวงจรแปลงผันกำลังไฟฟ้าแบบบูสต์เรียงต่อกันสามขั้น เมื่อเกิดความผิดพร่องที่  $S_1$  สามารถพิจารณาฟังก์ชัน samaชิกะระหว่างฟีซีเซตของค่า  $m_{IL1}$  และ  $i_{L1}$  ที่ถูกนอร์มัลไลซ์ (Normalization) ในขอบเขตที่เหมาะสม ดังรูปที่ 5.21 และ 5.22 ตามลำดับ ซึ่งได้จากการสังเกตพุตติกรรมการทำงานของวงจร



รูปที่ 5.23 พังก์ชัน samaชิกເອຕີພຸຕຄ່າສ້າງຢານຄວາມຜິດພ່ອງທີ່ສົວໃຈໜີ້ 1 ( $FD_1$ )

จากการสังเกตพฤติกรรมการทำงานของวงจร จะกำหนดรูปปั่งของฟังก์ชันสมาชิก อินพุตทั้งสองเป็นแบบเหลี่ยมคงที่ และพิจารณาค่าเชิงภาษาของฟังก์ชันสมาชิกได้ดังนี้ ฟังก์ชันสมาชิกอินพุต  $m_{IL1}/m_{FS1}$  กำหนดค่าเชิงภาษาของฟังก์ชันสมาชิก 3 เชต ได้แก่ “Negative: N”, “Zero: Z” และ “Positive: P” ส่วนฟังก์ชันสมาชิกอินพุต  $i_{L1}/i_{FS1}$  กำหนดค่าเชิงภาษาของฟังก์ชันสมาชิก 3 เชต ได้แก่ “Positive Small: PS”, “Positive Medium: PM” และ “Positive Large: PL” ส่วนฟังก์ชันสมาชิกເອົາຕຸພູດສໍາຮັບການຕຽບຄວາມຜິດພວ່ອງທີ່  $S_1$  ຄືສັບຫຼຸດຄວາມຜິດພວ່ອງທີ່  $S_1$  ( $FD_1$ ) ຈະໃຊ້ຮູປ່າງຂອງຟັງຈີນສໍາເລັດເປັນຄໍາຄົງທີ່ເສັ້ນຕຽບໂທນທີ່ມີ 3 ຄໍາປະກອບດ້ວຍ “Negative: N”, “Zero: Z” และ “Positive: P” ດັ່ງຮູບທີ່ 5.23 ຈຶ່ງເປັນຮູບແບບກາຮອນໝານຟ້ຳແບບ Sugeno (Sugeno fuzzy inference)

ความສົມພັນຮູບຂອງອີນພູດ  $m_{IL1}/m_{FS1}$  ແລະ  $i_{L1}/i_{FS1}$  ແລະເອົາຕຸພູດຄືອ  $FD_1$  ສາມາຄະແສດງໄດ້ດັ່ງຕາງໆທີ່ 5.2 ກາຣອອກແບບກົງຂອງຟ້ຳທີ່ວ່າງຕ້ວແປຮ່າງທີ່ 3 ມີດັ່ງນີ້

- 1<sup>st</sup> IF  $m_{IL1}/m_{FS1} = N$  AND  $i_{L1}/i_{FS1} = PS$  THEN  $FD_1 = P$
- 2<sup>nd</sup> IF  $m_{IL1}/m_{FS1} = N$  AND  $i_{L1}/i_{FS1} = PM$  THEN  $FD_1 = Z$
- 3<sup>rd</sup> IF  $m_{IL1}/m_{FS1} = N$  AND  $i_{L1}/i_{FS1} = PL$  THEN  $FD_1 = Z$
- 4<sup>th</sup> IF  $m_{IL1}/m_{FS1} = Z$  AND  $i_{L1}/i_{FS1} = PS$  THEN  $FD_1 = P$
- 5<sup>th</sup> IF  $m_{IL1}/m_{FS1} = Z$  AND  $i_{L1}/i_{FS1} = PM$  THEN  $FD_1 = Z$
- 6<sup>th</sup> IF  $m_{IL1}/m_{FS1} = Z$  AND  $i_{L1}/i_{FS1} = PL$  THEN  $FD_1 = Z$
- 7<sup>th</sup> IF  $m_{IL1}/m_{FS1} = P$  AND  $i_{L1}/i_{FS1} = PS$  THEN  $FD_1 = Z$
- 8<sup>th</sup> IF  $m_{IL1}/m_{FS1} = P$  AND  $i_{L1}/i_{FS1} = PM$  THEN  $FD_1 = Z$
- 9<sup>th</sup> IF  $m_{IL1}/m_{FS1} = P$  AND  $i_{L1}/i_{FS1} = PL$  THEN  $FD_1 = N$

ຕາງໆທີ່ 5.2 ນໍາວຍຄວາມຈຳພູ້ສົມພັນຮູບກາຮອນໝານຟ້ຳທີ່ 1

$i_{L1}/i_{FS1}$	$m_{IL1}/m_{FS1}$	N	Z	P
PS		P	P	Z
PM		Z	Z	Z
PL		Z	Z	N

จากหน่วยความจำฟ์ซีสัมพันธ์ที่ใช้ตรวจจับความผิดพร่องของสวิตช์ตัวที่ 1 นั้น ค่า เอ้าต์พุต  $FD_1$  ที่ได้จากการทำดีฟ์ซีจะมีค่าอยู่ในช่วง -1 ถึง 1 โดยค่า  $FD_1$  ที่เป็นลบ บ่งบอกถึงการ ทำงานของวงจรในสภาพะปกติ ในขณะที่ค่า  $FD_1$  ที่เป็นบวก บ่งบอกถึงสภาพะที่เกิดความผิดพร่องเพื่อให้ การตรวจจับมีความถูกต้องและรวดเร็ว จึงได้กำหนดขอบเขตการตรวจจับความผิดพร่องของเอ้าต์พุต  $FD_1$  ไว้ที่ 0.8 กล่าวคือ หากค่า  $FD_1$  น้อยกว่า 0.8 อาจทำให้การตรวจจับความผิดพร่องเกิดความ ผิดพลาดในช่วงที่วงจรมีการเปลี่ยนจุดการทำงาน หากกำหนดค่า  $FD_1$  ให้มากกว่า 0.8 จะส่งผลให้ ระยะเวลาในการตรวจจับความผิดพร่องนานขึ้น ดังแสดงในรูปที่ 5.18 ซึ่งแสดงกระบวนการระบุสถานะ ความผิดพร่องที่สวิตช์  $S_1$

จากการสังเกตพฤติกรรมการทำงานของวงจรแปลงผันกำลังไฟฟ้าแบบบุสต์เรียงต่อ กันสามชั้นภายใต้การควบคุมฟ์ซีที่พัฒนาขึ้นทั้งในสภาพะปกติและสภาพะเกิดความผิดพร่องที่  $S_1$  สามารถออกแบบความสัมพันธ์ของอินพุตในการตรวจจับความผิดพร่องแสดงในรูปของกฎทางฟ์ซีดัง แสดงในตารางที่ 5.2 สามารถอธิบายตัวอย่างการตรวจจับความผิดพร่องที่  $S_1$  ได้ดังนี้

กรณีที่ 1  $m_{iL1}/m_{FS1}$  เป็นสมาชิกของเซต  $(m_{iL1}/m_{FS1} \in N)$  ก็ต่อเมื่อ  $m_{iL}$  มีค่า น้อยกว่า -0.3 เท่าของ  $m_{FS1}$  กระบวนการฟ์ซีของ  $i_{L1}$  ณ เวลาใด ๆ พบร่วมกับความเป็นไปได้ที่จะเข้า เงื่อนไขกฎฟ์ซีข้อที่ 1 ถึงกฎที่ 3 กระบวนการดังกล่าวสามารถอธิบายได้ดังนี้

- 1) กฎฟ์ซีข้อที่ 1 เมื่อ  $i_{L1}/i_{FS1}$  เป็นบวกค่าน้อยอยู่ในเซต PS หมายถึง  $i_{L1}$  ณ เวลา ที่พิจารณา มีค่าต่ำกว่า 0.3 เท่าของ  $i_{FS1}$  ดังนั้นตัวตรวจจับความผิดพร่องต้อง สร้าง  $FD_1$  ที่เป็นบวก (P) จะแสดงถึงการทำงานของวงจรในสภาพะนี้เกิด ความผิดพร่องที่  $S_1$
- 2) กฎฟ์ซีข้อที่ 2 เมื่อ  $i_{L1}/i_{FS1}$  มีค่าบวกปานกลางอยู่ในเซต PM หมายถึง  $i_{L1}$  ณ เวลาที่พิจารณา มีค่าอยู่ในช่วง 0.1 ถึง 1.9 เท่าของ  $i_{FS1}$  ดังนั้นตัวตรวจจับ ความผิดพร่องต้องสร้าง  $FD_1$  ที่เป็นศูนย์ (Z) จะแสดงถึงการทำงานของวงจรใน สภาพะนี้เป็นการทำงานปกติ
- 3) กฎฟ์ซีข้อที่ 3 เมื่อ  $i_{L1}/i_{FS1}$  มีค่าบวกปานกลางอยู่ในเซต PM หมายถึง  $i_{L1}$  ณ เวลาที่พิจารณา มีค่าเกิน 1.7 เท่าของ  $i_{FS1}$  ดังนั้นตัวตรวจจับความผิดพร่องต้อง สร้าง  $FD_1$  ที่เป็นศูนย์ (Z) ซึ่งแสดงถึงสภาพะการทำงานของวงจรแบบปกติ

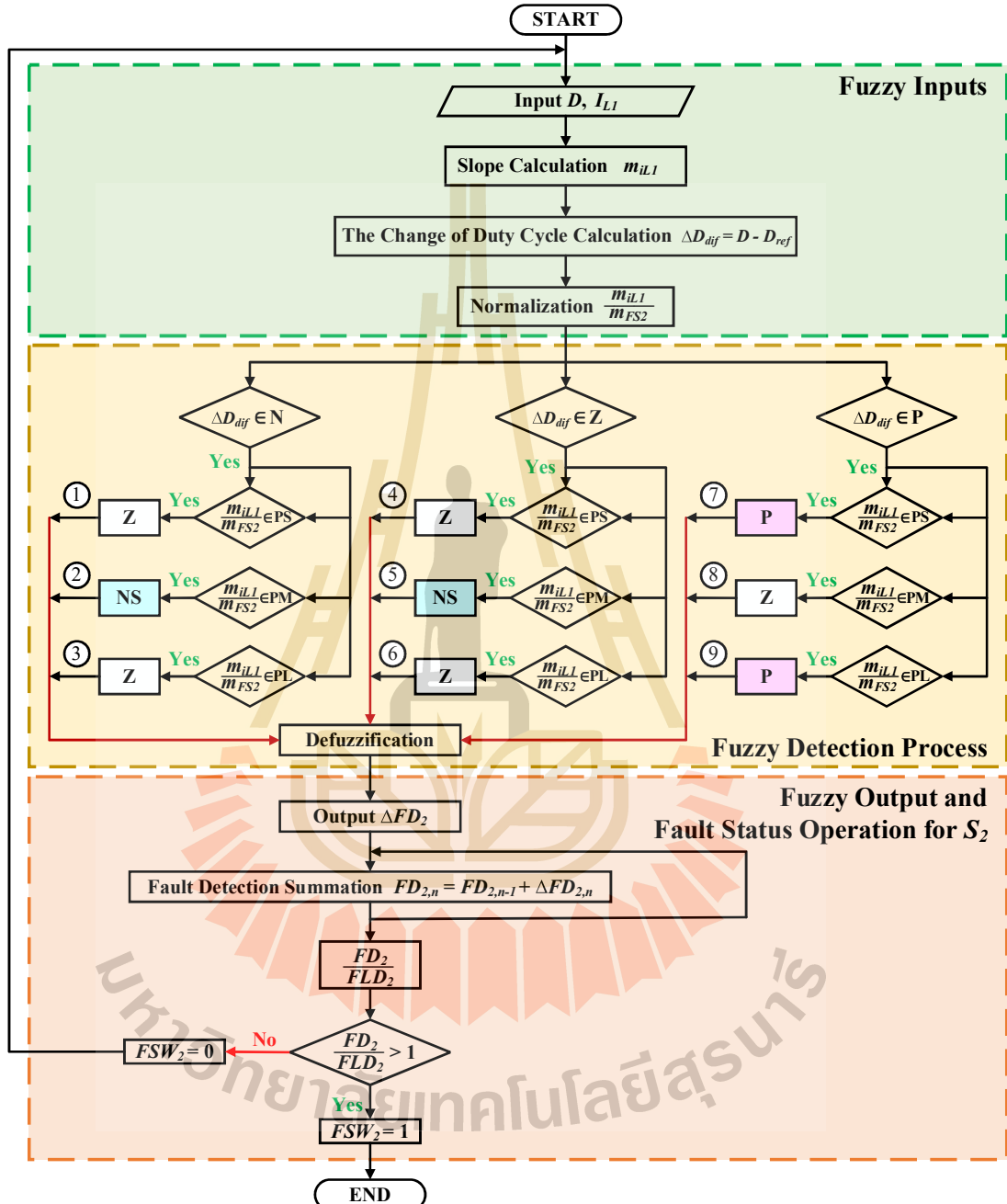
กรณีที่ 2  $m_{iL1}/m_{FS1}$  เป็นสมาชิกของเซตศูนย์ ( $m_{iL1}/m_{FS1} \in Z$ ) ก็ต่อเมื่อ  $m_{iL}$  มีค่า อยู่ในช่วง -0.5 ถึง 0.5 เท่าของ  $m_{FS1}$  กระบวนการฟ์ซีของ  $i_{L1}$  ณ เวลาใด ๆ พบร่วมกับความเป็นไปได้ ที่จะเข้าเงื่อนไขกฎฟ์ซีข้อที่ 4 ถึงกฎที่ 6 กระบวนการดังกล่าวสามารถอธิบายได้ดังนี้

- 4) กฎพื้นที่ข้อที่ 4 เมื่อ  $i_{L1}/i_{FS1}$  มีค่าบวกน้อยอยู่ในเขต PS หมายถึง  $i_{L1}$  ณ เวลาที่พิจารณา มีค่าต่ำกว่า 0.3 เท่าของ  $i_{FS1}$  ดังนั้นตัวตรวจจับความผิดพร่องต้องสร้าง  $FD_1$  ที่เป็นบวก (P) จะแสดงถึงการทำงานของวงจรในสภาพะนี้เกิดความผิดพร่องที่  $S_1$
- 5) กฎพื้นที่ข้อที่ 5 เมื่อ  $i_{L1}/i_{FS1}$  มีค่าบวกปานกลางอยู่ในเขต PM หมายถึง  $i_{L1}$  ณ เวลาที่พิจารณา มีค่าอยู่ในช่วง 0.1 ถึง 1.9 เท่าของ  $i_{FS1}$  ดังนั้นตัวตรวจจับความผิดพร่องต้องสร้าง  $FD_1$  ที่เป็นศูนย์ (Z) จะแสดงถึงการทำงานของวงจรในสภาพะนี้เป็นการทำงานปกติ
- 6) กฎพื้นที่ข้อที่ 6 เมื่อ  $i_{L1}/i_{FS1}$  มีค่าบวกปานกลางอยู่ในเขต PM หมายถึง  $i_{L1}$  ณ เวลาที่พิจารณา มีค่าเกิน 1.7 เท่าของ  $i_{FS1}$  ดังนั้นตัวตรวจจับความผิดพร่องต้องสร้าง  $FD_1$  ที่เป็นศูนย์ (Z) ซึ่งแสดงถึงสภาพะการทำงานของวงจรแบบปกติ กรณีที่  $3 m_{iL1}/m_{FS1}$  เป็นสมาชิกของเซตศูนย์ ( $m_{iL1}/m_{FS1} \in Z$ ) ก็ต่อเมื่อ  $m_{iL}$  มีค่ามากกว่า 0.3 เท่าของ  $m_{FS1}$  กระบวนการฟื้นฟูของ  $i_{L1}$  ณ เวลาใด ๆ พบร่วมมีความเป็นไปได้ที่จะเข้าเงื่อนไขกฎพื้นที่ 7 ถึงกฎที่ 9 กระบวนการดังกล่าวสามารถอธิบายได้ดังนี้
- 7) กฎพื้นที่ข้อที่ 4 เมื่อ  $i_{L1}/i_{FS1}$  มีค่าบวกน้อยอยู่ในเขต PS หมายถึง  $i_{L1}$  ณ เวลาที่พิจารณา มีค่าต่ำกว่า 0.3 เท่าของ  $i_{FS1}$  ดังนั้นตัวตรวจจับความผิดพร่องต้องสร้าง  $FD_1$  ที่เป็นบวก (P) ซึ่งแสดงถึงสภาพะการทำงานของวงจรแบบปกติ
- 8) กฎพื้นที่ข้อที่ 5 เมื่อ  $i_{L1}/i_{FS1}$  มีค่าบวกปานกลางอยู่ในเขต PM หมายถึง  $i_{L1}$  ณ เวลาที่พิจารณา มีค่าอยู่ในช่วง 0.1 ถึง 1.9 เท่าของ  $i_{FS1}$  ดังนั้นตัวตรวจจับความผิดพร่องต้องสร้าง  $FD_1$  ที่เป็นศูนย์ (Z) จะแสดงถึงการทำงานของวงจรในสภาพะนี้เป็นการทำงานปกติ
- 9) กฎพื้นที่ข้อที่ 6 เมื่อ  $i_{L1}/i_{FS1}$  มีค่าบวกปานกลางอยู่ในเขต PM หมายถึง  $i_{L1}$  ณ เวลาที่พิจารณา มีค่าเกิน 1.7 เท่าของ  $i_{FS1}$  ดังนั้นตัวตรวจจับความผิดพร่องต้องสร้าง  $FD_1$  ที่เป็นศูนย์ (Z) ซึ่งแสดงถึงสภาพะการทำงานของวงจรแบบปกติ

### 5.3.2 การตรวจจับความผิดพร่องที่ $S_2$

จากการสังเกตพฤติกรรมของวงจรเมื่อการเกิดความผิดพร่องแบบสวิตช์เปิดวงจรที่  $S_2$  พบร่วมสัญญาณ  $D$  และ  $m_{iL1}$  มีการเปลี่ยนแปลงอย่างเห็นได้ชัด จึงพิจารณาค่าดังกล่าวเป็นอินพุตสำหรับการตรวจจับความผิดพร่องที่  $S_2$  โดยแผนภาพวิธีการตรวจจับความผิดพร่องที่  $S_2$  แสดงดังรูปที่ 5.24 โดยค่าสัญญาณความผิดพร่องที่  $S_2$  ( $FD_2$ ) ในปัจจุบัน จะได้จากการนำค่าสัญญาณความผิดพร่องที่  $S_2$

ก่อนหน้านี้ ( $FD_{2,n-1}$ ) บวกกับสัญญาณการเปลี่ยนแปลงค่าความผิดพร่องที่สวิตช์ตัวที่ 2 ( $\Delta FD_2$ ) ที่สร้างขึ้นในขณะนั้น ๆ

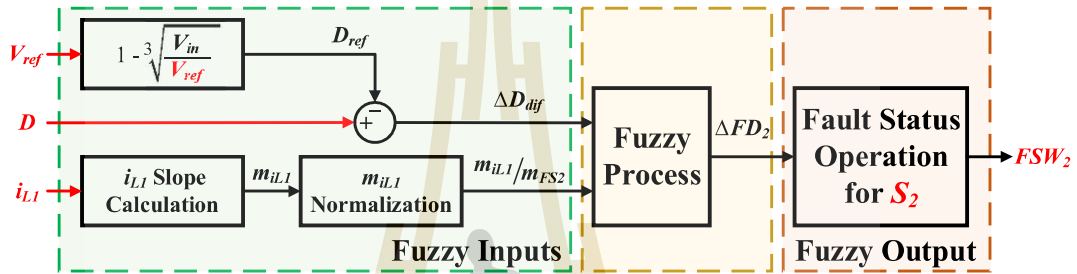


รูปที่ 5.24 แผนภาพวิธีการตรวจจับความผิดพร่องที่  $S_2$

จากแผนภาพวิธีการตรวจจับความผิดพร่องที่  $S_2$  ที่แสดงดังรูปที่ 5.15 อินพุตของการตรวจจับความผิดพร่องที่  $S_2$  ประกอบด้วย ได้แก่ สัญญาณค่าผลต่างของค่าวัสดุจกรหน้าที่ของสวิตช์

$(\Delta D_{diff})$  และ ความชันของกระแสที่โหลดผ่านตัวเหนี่ยวนำตัวที่ 1 ( $m_{IL1}$ ) ที่ถูกปรับค่าสเกลในกระบวนการนอร์มัลайซ์ด้วยค่าความชันของกระแสขณะเกิดความผิดพร่องที่  $S_2$  ( $m_{FS2}$ ) ซึ่งจะถูกกล่าวถึงในข้อต่อไป

อินพุตค่าแรกก่อนเข้ากระบวนการฟuzzify เป็น  $\Delta D_{diff}$  ดังสมการที่ (5.3) โดย  $D_{ref}$  เป็นค่าวัสดุจกรหน้าที่อ้างอิงของสวิตซ์ ซึ่งได้จากการวิเคราะห์วงจรแปลงผันกำลังไฟฟ้าแบบบุสต์เรียงต่อกันสามชั้นในบทที่ 3 ในสภาพปกติ (Healthy mode) โดยที่  $V_O$  เท่ากับ  $V_{ref}$  และ  $V_{in}$  มีขนาดประมาณ 20V จากอัตราขยายแรงดันของวงจรแปลงผันกำลังไฟฟ้าแบบบุสต์เรียงต่อกันสามชั้นสมการที่ (3.26) สามารถคำนวณ  $D_{ref}$  ได้ดังสมการที่ (5.4)



รูปที่ 5.25 โครงสร้างของการตรวจจับความผิดพร่องที่  $S_2$

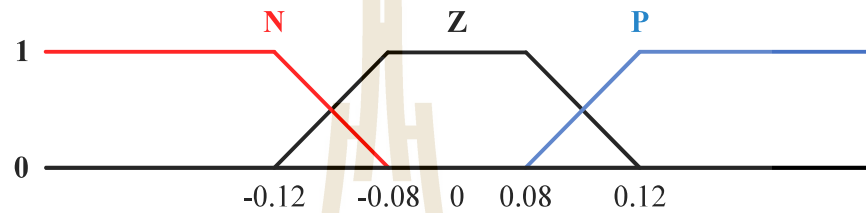
$$\Delta D_{diff} = D - D_{ref} \quad (5.3)$$

$$D_{ref} = 1 - \sqrt[3]{\frac{V_{in}}{V_{ref}}} \quad (5.4)$$

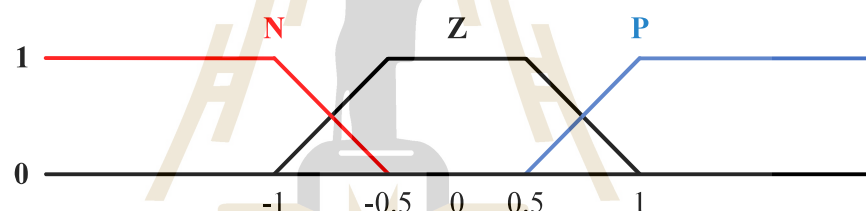
อินพุตค่าที่สองเริ่มจากกระบวนการคำนวณค่าความชันของ  $i_{L1}$  ให้ได้ค่า  $m_{IL1}$  จากนั้นจะเข้าสู่กระบวนการ  $m_{IL1}$  Normalization เพื่อปรับค่าสเกลด้วย  $m_{FS2}$  ที่ได้จากการศึกษาพฤติกรรมของวงจรแปลงผันกำลังไฟฟ้าแบบบุสต์เรียงต่อกันสามชั้นภายใต้การควบคุมพื้นฐานในสภาพปกติ โดยที่  $m_{IL1}$  มีค่าการเปลี่ยนแปลงอยู่ในช่วง  $-100A/s$  ถึง  $100A/s$  ดังนั้นจึงกำหนดค่า  $m_{FS2}$  เป็นสองเท่าของ  $m_{ref}$  สมการที่ (4.3) ซึ่งได้จากการออกแบบตัวควบคุมพื้นที่สำหรับวงจรแปลงผันกำลังไฟฟ้าแบบบุสต์เรียงต่อกันสามชั้นในบทที่ 4 ดังนั้น  $m_{FS2}$  คำนวณได้ดังสมการที่ (5.5)

$$m_{FS2} = 2m_{ref} \quad (5.5)$$

ดังนั้นหากกำหนดให้แรงดัน  $V_{ref}$  ไว้ที่ 400V และพิจารณาค่าพารามิเตอร์ของตัวควบคุมฟลัชซีที่พัฒนาขึ้นในตารางที่ 4.3 จะสามารถคำนวณค่า  $D_{ref}$  และ  $m_{FS2}$  เท่ากับ 0.635 และ 200A/s ตามลำดับ และจากผลตอบสนองการทำงานของวงจรแปลงผันกำลังไฟฟ้าแบบบูสต์เรียงต่อกันสามชั้น เมื่อเกิดความผิดพร่องที่  $S_2$  สามารถพิจารณาฟังก์ชันสมาชิกระหว่างฟลัชซีเซตของค่า  $\Delta D_{dif}$  และ  $m_{IL1}$  ที่ถูกปรับค่าให้เป็นบรรหัดฐาน (Normalization) อยู่ในขอบเขต ดังรูปที่ 5.26 และ 5.27 ตามลำดับ ซึ่งได้จากการสังเกตพฤติกรรมการทำงานของวงจร

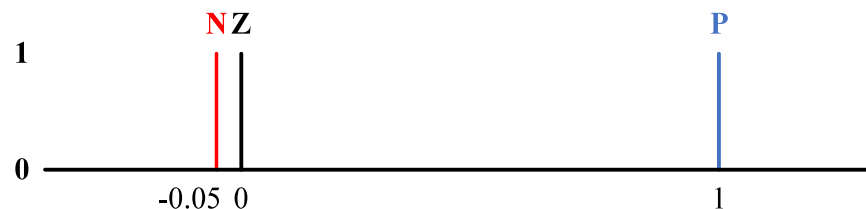


รูปที่ 5.26 ฟังก์ชันสมาชิกอินพุต  $\Delta D_{dif}$



รูปที่ 5.27 ฟังก์ชันสมาชิกอินพุต  $m_{IL1}/m_{FS2}$

ฟังก์ชันสมาชิกอินพุตทั้งสองจะใช้รูปทรงของฟังก์ชันสมาชิกเป็นแบบเหลี่ยมคงที่ ฟังก์ชันสมาชิก  $\Delta D_{dif}$  และ  $m_{IL1}/m_{FS2}$  กำหนดค่าเชิงภาษาของฟังก์ชันสมาชิก 3 เซต ได้แก่ “Negative: N”, “Zero: Z” และ “Positive: P” ส่วนฟังก์ชันสมาชิกเอาต์พุตสำหรับการตรวจจับความผิดพร่องที่  $S_2$  คือ สัญญาณการเปลี่ยนแปลงค่าความผิดพร่องที่สวิตซ์ตัวที่ 2 ( $\Delta FD_2$ ) จะใช้รูปทรงของฟังก์ชันสมาชิกเป็นค่าคงที่เส้นตรงโน่นที่มี 3 ค่าประกอบด้วย “Negative Small: NS”, “Zero: Z” และ “Positive: P” ดังรูปที่ 5.28 ซึ่งเป็นรูปแบบการอนุมานฟลัชซีแบบ Sugeno (Sugeno fuzzy inference)



รูปที่ 5.28 ฟังก์ชันสมาชิกการเปลี่ยนแปลงการตรวจจับความผิดพร่องที่  $S_2$  ( $\Delta FD_2$ )

จากค่าเชิงภาษาของฟังก์ชันสมาชิก  $\Delta FD_2$  ดังแสดงในรูปที่ 5.28 ได้กำหนดค่าเชิงภาษาของ Negative Small ที่ค่า  $-0.05$  ซึ่งไม่สมมาตรกับ Positive ที่ค่า  $1$  นั้น จากการสังเกตพฤติกรรมการทำงานของวงจรแปลงผันกำลังไฟฟ้าแบบบุสต์เรียงต่อกันสามขั้นภายในตัวการควบคุมพัฒนาขึ้น พบว่าผลตอบสนองของการทำงานของวงจรบางกรณีเมื่อเปลี่ยนจุดการทำงานของวงจรคล้ายคลึงกับการทำงานของวงจรเมื่อเกิดความผิดพร่องที่  $S_2$  ซึ่งจะถูกกล่าวถึงในขั้นถัดไปในหัวข้อกระบวนการแสดงสถานะความผิดพร่องที่  $S_2$

ความสัมพันธ์ของอินพุต  $\Delta D_{dif}$  และ  $m_{IL1}/m_{FS2}$  และเอาต์พุต  $\Delta FD_2$  สามารถแสดงได้ดังตารางที่ 5.3 การออกแบบกฎพัฒนาเป็น 9 กฎมีดังนี้

1 <sup>st</sup>	IF $\Delta D_{dif} = N$ AND $m_{IL1}/m_{FS2} = N$ THEN $\Delta FD_2 = Z$
2 <sup>nd</sup>	IF $\Delta D_{dif} = N$ AND $m_{IL1}/m_{FS2} = Z$ THEN $\Delta FD_2 = NS$
3 <sup>rd</sup>	IF $\Delta D_{dif} = N$ AND $m_{IL1}/m_{FS2} = P$ THEN $\Delta FD_2 = Z$
4 <sup>th</sup>	IF $\Delta D_{dif} = Z$ AND $m_{IL1}/m_{FS2} = N$ THEN $\Delta FD_2 = Z$
5 <sup>th</sup>	IF $\Delta D_{dif} = Z$ AND $m_{IL1}/m_{FS2} = Z$ THEN $\Delta FD_2 = NS$
6 <sup>th</sup>	IF $\Delta D_{dif} = Z$ AND $m_{IL1}/m_{FS2} = P$ THEN $\Delta FD_2 = Z$
7 <sup>th</sup>	IF $\Delta D_{dif} = P$ AND $m_{IL1}/m_{FS2} = N$ THEN $\Delta FD_2 = P$
8 <sup>th</sup>	IF $\Delta D_{dif} = P$ AND $m_{IL1}/m_{FS2} = Z$ THEN $\Delta FD_2 = Z$
9 <sup>th</sup>	IF $\Delta D_{dif} = P$ AND $m_{IL1}/m_{FS2} = P$ THEN $\Delta FD_2 = P$

ตารางที่ 5.3 หน่วยความจำพัฒนาซึ่งสัมพันธ์ของการตรวจจับความผิดพร่องของสวิตช์ตัวที่ 2

$\Delta D_{dif}$	N	Z	P
$m_{IL1}/m_{FS2}$	Z	Z	P
N	Z	NS	Z
Z	NS	NS	Z
P	Z	Z	P

จากหน่วยความจำพัฒนาซึ่งสัมพันธ์ของการตรวจจับความผิดพร่องของสวิตช์ตัวที่ 2 ข้างต้น เอาต์พุต  $\Delta FD_2$  ที่ได้จากการทำดีฟซีมีค่าอยู่ในช่วง  $-0.05$  ถึง  $1$  โดยหากค่า  $\Delta FD_2$  ติดลบ จะแสดงถึงการทำงานของวงจรในสภาพะปกติ แต่หากค่า  $\Delta FD_2$  เป็นบวกจะแสดงถึงการทำงานของวงจรในสภาพะเกิดความผิดพร่องที่  $S_2$  การวิเคราะห์พฤติกรรมการทำงานของวงจรแปลงผันกำลังไฟฟ้า

แบบบูสต์เรียงต่อกันสามชั้น ทำให้สามารถถอดแบบกระบวนการทางฟื้ซซีเพื่อตรวจจับความผิดพร่องที่  $S_2$  ได้ โดยกำหนดความสัมพันธ์ของอินพุตที่ใช้ในการตรวจจับความผิดพร่องในรูปของกฎฟื้ซซี ซึ่งสามารถแสดงในรูปแบบของหน่วยความจำฟื้ซซีสัมพันธ์ตามที่ปรากฏในตารางที่ 5.3 ตัวอย่างการตรวจจับความผิดพร่องที่  $S_2$  สามารถอธิบายได้ดังนี้

กรณีที่ 1  $\Delta D_{dif}$  เป็นสมาชิกของเซตลบ ( $\Delta D_{dif} \in N$ ) ก็ต่อเมื่อ  $\Delta D_{dif}$  มีค่าบวกอยู่ระหว่าง  $-0.08$  กระบวนการฟื้ซซีของ  $m_{IL1}$  ณ เวลาใด ๆ พบร่วมมีความเป็นไปได้ที่จะเข้าเงื่อนไขกฎฟื้ซซีข้อที่ 1 ถึงกฎที่ 3 กระบวนการดังกล่าวสามารถอธิบายได้ดังนี้

- 1) กฎฟื้ซซีข้อที่ 1 เมื่อ  $m_{IL1}/m_{FS2}$  เป็นบวกอยู่ในเซต P หมายถึง  $m_{IL1}$  ณ เวลาที่พิจารณา มีค่าต่ำกว่า  $-0.5$  เท่าของ  $m_{FS2}$  ดังนั้นตัวตรวจจับความผิดพร่องต้องสร้าง  $\Delta FD_2$  ที่เป็นศูนย์ (Z) จะแสดงถึงการทำงานของวงจรในสภาพนี้เป็นการทำงานปกติ
- 2) กฎฟื้ซซีข้อที่ 2 เมื่อ  $m_{IL1}/m_{FS2}$  มีค่าเป็นศูนย์อยู่ในเซต Z หมายถึง  $m_{IL1}$  ณ เวลาที่พิจารณา มีค่าอยู่ในช่วง  $-m_{FS2}$  ถึง  $m_{FS2}$  ดังนั้นตัวตรวจจับความผิดพร่องต้องสร้าง  $\Delta FD_2$  ที่เป็นลบน้อย (NS) จะแสดงถึงการทำงานของวงจรในสภาพนี้เป็นการทำงานปกติ
- 3) กฎฟื้ซซีข้อที่ 3 เมื่อ  $m_{IL1}/m_{FS2}$  มีค่าบวกอยู่ในเซต P หมายถึง  $m_{IL1}$  ณ เวลาที่พิจารณา มีค่าเกิน  $0.5m_{FS2}$  ดังนั้นตัวตรวจจับความผิดพร่องต้องสร้าง  $\Delta FD_2$  ที่เป็นศูนย์ (Z) จะแสดงถึงการทำงานของวงจรในสภาพนี้เป็นการทำงานปกติ

กรณีที่ 2  $\Delta D_{dif}$  เป็นสมาชิกของเซตศูนย์ ( $\Delta D_{dif} \in Z$ ) ก็ต่อเมื่อ  $\Delta D_{dif}$  มีค่าอยู่ในช่วง  $-0.12$  ถึง  $0.12$  กระบวนการฟื้ซซีของ  $m_{IL1}$  ณ เวลาใด ๆ พบร่วมมีความเป็นไปได้ที่จะเข้าเงื่อนไขกฎฟื้ซซีข้อที่ 4 ถึงกฎที่ 6 กระบวนการดังกล่าวสามารถอธิบายได้ดังนี้

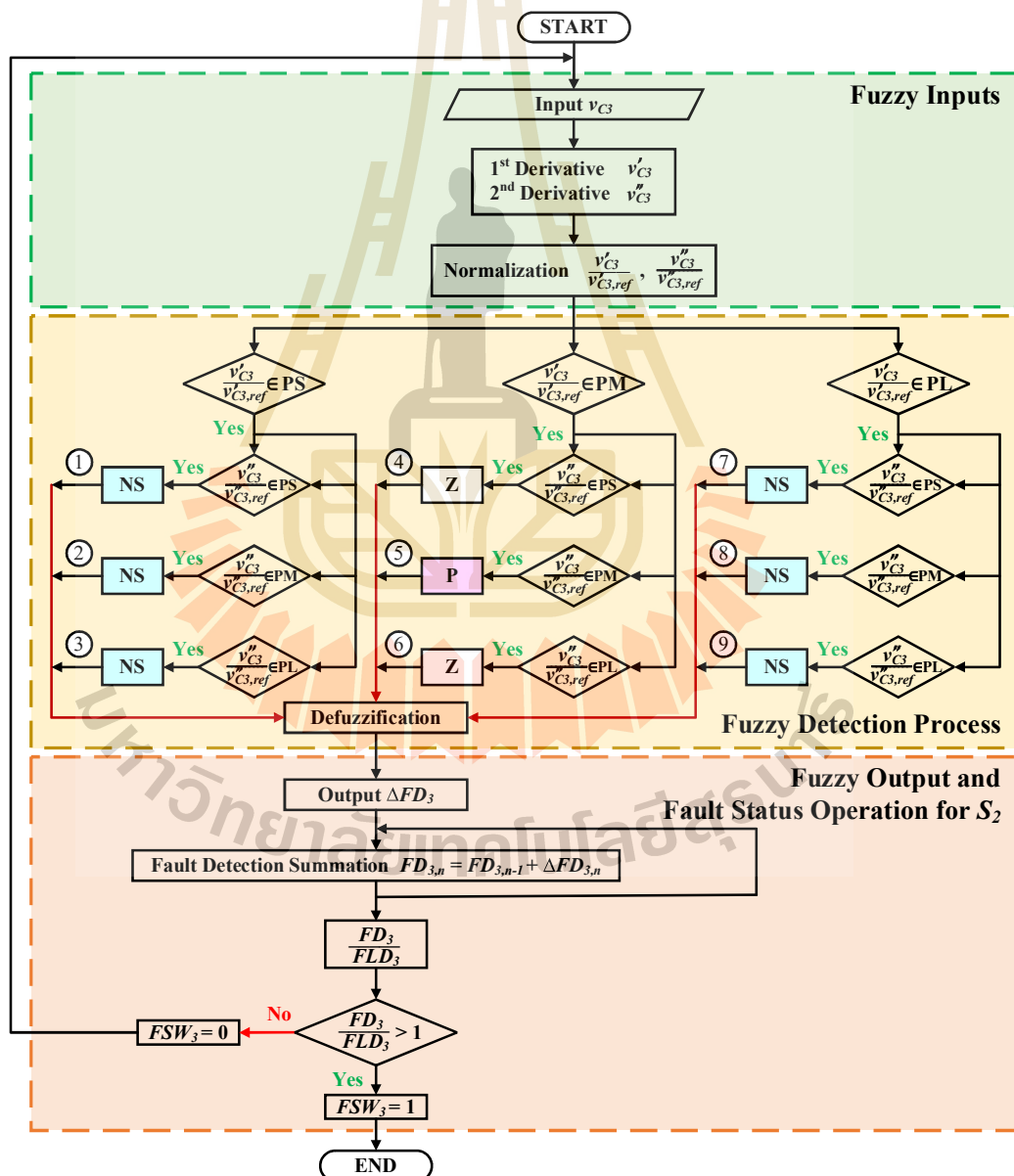
- 4) กฎฟื้ซซีข้อที่ 4 เมื่อ  $m_{IL1}/m_{FS2}$  เป็นบวกอยู่ในเซต P หมายถึง  $m_{IL1}$  ณ เวลาที่พิจารณา มีค่าต่ำกว่า  $-0.5$  เท่าของ  $m_{FS2}$  ดังนั้นตัวตรวจจับความผิดพร่องต้องสร้าง  $\Delta FD_2$  ที่เป็นศูนย์ (Z) จะแสดงถึงการทำงานของวงจรในสภาพนี้เป็นการทำงานปกติ
- 5) กฎฟื้ซซีข้อที่ 5 เมื่อ  $m_{IL1}/m_{FS2}$  มีค่าเป็นศูนย์อยู่ในเซต Z หมายถึง  $m_{IL1}$  ณ เวลาที่พิจารณา มีค่าอยู่ในช่วง  $-m_{FS2}$  ถึง  $m_{FS2}$  ดังนั้นตัวตรวจจับความผิดพร่องต้องสร้าง  $\Delta FD_2$  ที่เป็นลบน้อย (NS) จะแสดงถึงการทำงานของวงจรในสภาพนี้เป็นการทำงานปกติ

- 6) กฎพื้นที่ข้อที่ 6 เมื่อ  $m_{IL1}/m_{FS2}$  มีค่าบวกอยู่ในเขต P หมายถึง  $m_{IL1}$  ณ เวลาที่ พิจารณา มีค่าเกิน  $0.5m_{FS2}$  ดังนั้นตัวตรวจจับความผิดพร่องต้องสร้าง  $\Delta FD_2$  ที่ เป็นศูนย์ (Z) จะแสดงถึงการทำงานของวงจรในสภาพะนี้เป็นการทำงานปกติ กรณีที่ 3  $\Delta D_{dfj}$  เป็นสมาชิกของเซตศูนย์ ( $\Delta D_{dfj} \in Z$ ) ก็ต่อเมื่อ  $\Delta D_{dfj}$  มีค่ามากกว่า 0.08 กระบวนการฟื้นฟูของ  $m_{IL1}$  ณ เวลาใด ๆ พบร่วมความเป็นไปได้ที่จะเข้าเงื่อนไขกฎพื้นที่ 7 ถึงกฎที่ 9 กระบวนการดังกล่าวสามารถอธิบายได้ดังนี้
- 7) กฎพื้นที่ข้อที่ 7 เมื่อ  $m_{IL1}/m_{FS2}$  เป็นบวกอยู่ในเขต P หมายถึง  $m_{IL1}$  ณ เวลาที่ พิจารณา มีค่าต่ำกว่า  $-0.5$  เท่าของ  $m_{FS2}$  ดังนั้นตัวตรวจจับความผิดพร่องต้อง สร้าง  $\Delta FD_2$  ที่ เป็นบวก (P) จะแสดงถึงการทำงานของวงจรในสภาพะนี้เกิด ความผิดพร่องที่  $S_2$
- 8) กฎพื้นที่ข้อที่ 8 เมื่อ  $m_{IL1}/m_{FS2}$  มีค่าเป็นศูนย์อยู่ในเขต Z หมายถึง  $m_{IL1}$  ณ เวลาที่พิจารณา มีค่าอยู่ในช่วง  $-m_{FS2}$  ถึง  $m_{FS2}$  ดังนั้นตัวตรวจจับความผิดพร่อง ต้องสร้าง  $\Delta FD_2$  ที่ เป็นลบน้อย (NS) จะแสดงถึงการทำงานของวงจรในสภาพะนี้ เป็นการทำงานปกติ
- 9) กฎพื้นที่ข้อที่ 9 เมื่อ  $m_{IL1}/m_{FS2}$  มีค่าบวกอยู่ในเขต P หมายถึง  $m_{IL1}$  ณ เวลาที่ พิจารณา มีค่าเกิน  $0.5m_{FS2}$  ดังนั้นตัวตรวจจับความผิดพร่องต้องสร้าง  $\Delta FD_2$  ที่ เป็นบวก (P) จะแสดงถึงการทำงานของวงจรในสภาพะนี้เกิดความผิดพร่องที่  $S_2$
- กระบวนการแสดงสถานะการผิดพร่องที่  $S_2$  จะแสดงสถานะการทำงานปกติ เมื่อ  $FWS_2$  เป็น 0 โดยเมื่อเกิดความผิดพร่องที่  $S_2$  สถานะ  $FWS_2$  จะเป็น 1 จะเห็นว่ากระบวนการแสดง สถานะการผิดพร่องที่  $S_2$  มีความแตกต่างจากการแสดงสถานะการผิดพร่องที่  $S_1$  เนื่องจาก พฤติกรรมการทำงานของวงจรกรณีเกิดการเปลี่ยนแปลงแรงดัน  $V_{in}$  จะทำให้  $m_{IL1}$  จะมีการ เปลี่ยนแปลงเกินช่วง  $-m_{FS2}$  ถึง  $m_{FS2}$  ในระยะเวลาสั้น ๆ เท่านั้นดังที่แสดงในภาพข่ายพฤติกรรมการ ทำงานของวงจรกรณีเปลี่ยนแปลงแรงดันอินพุตруปที่ 5.3 และ 5.4 ผลตอบสนองดังกล่าวตรวจกับกฎพื้นที่ของ การตรวจจับความผิดพร่องที่  $S_2$  ข้อที่ 7 และ 9 ที่ให้  $\Delta FD_2$  เป็นบวก (P) จึงใช้วิธีการบวกสะสมค่าของ  $\Delta FD_2$  เข้าช่วยเพื่อให้การตรวจจับความผิดพร่องที่  $S_2$  มีความถูกต้องยิ่งขึ้น ค่าสัญญาณความผิดพร่องที่  $S_2$  ( $FD_2$ ) สามารถพิจารณาได้จากสมการที่ (5.6)

$$FD_{2,n} = FD_{2,n-1} + \Delta FD_{2,n} \quad (5.6)$$

จากสมการคำนวณหาเอาต์พุต  $FD_2$  ที่กล่าวมานามีค่าเป็นบวกจะแสดงถึงการทำงานของจริงในที่มีความเป็นไปได้ที่จะเกิดสภาวะเกิดความผิดพร่อง เพื่อให้ได้การตรวจจับที่ถูกต้อง จึงกำหนดขอบเขตการตรวจจับความผิดพร่องของเอาต์พุต  $FD_2$  อยู่ในช่วงศูนย์ถึงค่าจำกัดการตรวจจับความผิดพร่องที่  $S_2$  ( $FLD_2$ ) เพื่อหลีกเลี่ยงการตรวจจับผิดพลาดเมื่อมีการเปลี่ยนแปลงจุดการทำงาน จึงทำการศึกษาพฤติกรรมการทำงานของวงจรภายใต้การเปลี่ยนแปลงจุดการทำงาน เพื่อให้ได้ค่า  $FLD_2$  ที่เหมาะสม ซึ่งจะกล่าวในเนื้อหาถัดไป ดังนั้นเพื่อให้ได้การตรวจจับที่ถูกต้องกระบวนการแสดงสถานการณ์ผิดพร่องจะแสดงสถานะ  $FSW_2$  เป็น 1 ก็ต่อเมื่อค่าสัญญาณ  $FD_2$  หารด้วย  $FLD_2$  มีค่ามากกว่า 1

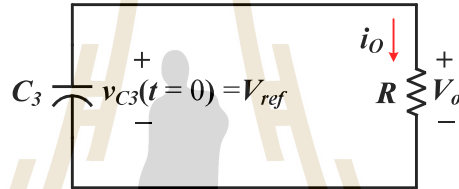
### 5.3.3 การตรวจจับความผิดพร่องที่ $S_3$



รูปที่ 5.29 แผนภาพวิธีการตรวจจับความผิดพร่องที่  $S_3$

จากการสังเกตพัฒนาระบบการเกิดความผิดพร่องแบบสวิตช์เปิดวงจรที่  $S_3$  จะเห็นได้ว่า สัญญาณแรงดัน  $V_{C3}$  มีการเปลี่ยนแปลงอย่างเห็นได้ชัด จึงพิจารณาค่าดังกล่าวเป็นอินพุตสำหรับการตรวจจับความผิดพร่องที่  $S_3$  โดยแผนภาพวิธีการตรวจจับความผิดพร่องที่  $S_3$  แสดงดังรูปที่ 5.29 โดยที่ค่าสัญญาณความผิดพร่องที่  $S_3$  ( $FD_3$ ) ในปัจจุบัน จะได้จากการนำค่าสัญญาณความผิดพร่องที่  $S_3$  ก่อนหน้านี้ ( $FD_{3,n-1}$ ) บวกกับสัญญาณการเปลี่ยนแปลงค่าความผิดพร่องที่สวิตช์ตัวที่ 3 ( $\Delta FD_3$ ) ที่สร้างขึ้นในขณะนั้น ๆ

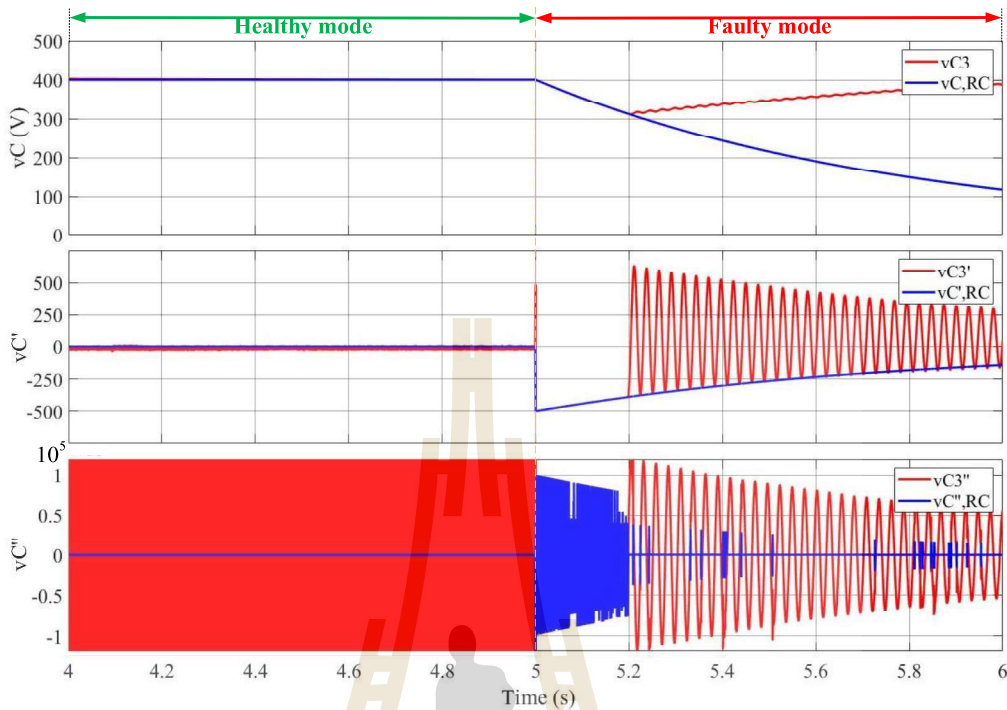
ผลตอบสนองของ  $V_{C3}$  เมื่อเกิดความผิดพร่องที่  $S_3$  พบร่วมมือค่าลดลงจากการหายประจุให้กับ  $R$  เนื่องจาก  $i_{L3}$  มีค่าเป็น 0A หันที่ที่เกิดความผิดพร่อง ซึ่งจะได้ว่าสมมูลเมื่อเกิดความผิดพร่องที่  $S_3$  ที่มีลักษณะคล้ายกับวงจร RC ที่มีแรงดันเริ่มต้นเท่ากับแรงดันอ้างอิง ดังแสดงในรูปที่ 5.30 ดังนั้นจะสามารถพิจารณา  $V_{C3}$  เมื่อเกิดความผิดพร่องที่  $S_3$  ได้จากการสมการที่ (5.7)



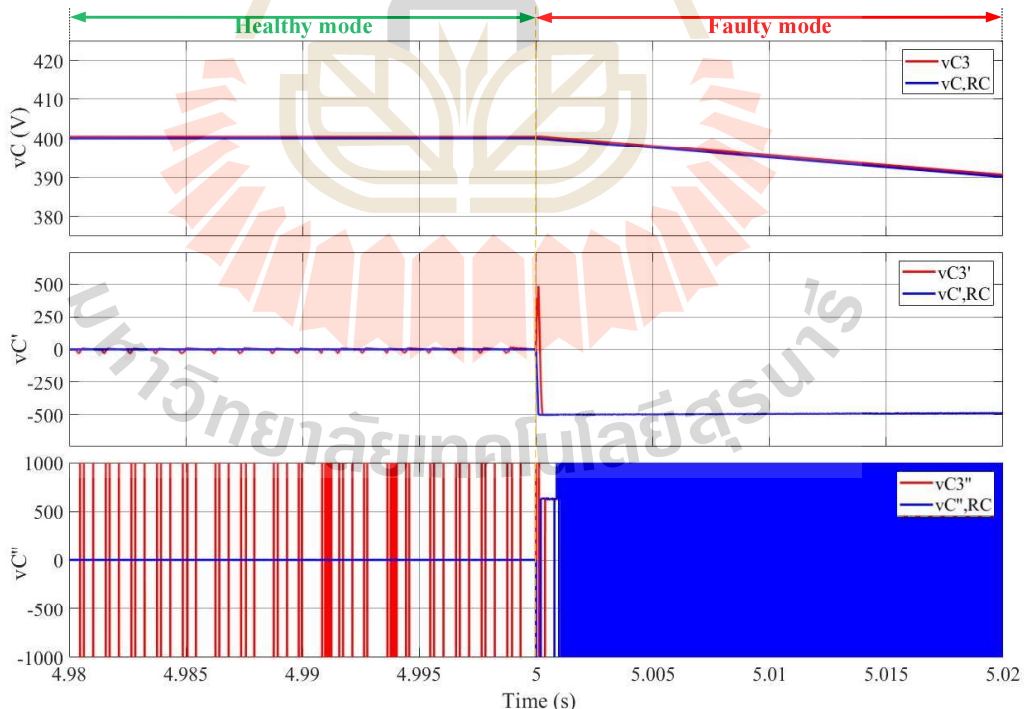
รูปที่ 5.30 วงจรสมมูลเมื่อเกิดความผิดพร่องที่  $S_3$

$$V_{C3} = V_{ref} e^{-t/RC_3} \quad (5.7)$$

การจำลองสถานการณ์ว่างแรงดันผันกำลังไฟฟ้าแบบบูสต์เรียงต่อกันสามขั้นภาคใต้ตัวควบคุมพัชชีที่พัฒนาขึ้นเมื่อเกิดความผิดพร่องที่  $S_3$  เปรียบเทียบกับวงจร RC เมื่อ  $C_3$  หายประจุให้โหลด  $R$  แสดงดังรูปที่ 5.31 โดยเกิดความผิดพร่องแบบสวิตช์เปิดวงจรที่  $S_3$  ณ วินาทีที่ 5 จะเห็นได้ว่าแรงดัน  $V_{C3}$  มีค่าลดลงจากการหายประจุให้กับ  $R$  และมีผลตอบสนองเหมือนกับวงจร RC หลังจากนั้นณ วินาทีที่ 5.2 แรงดัน  $V_{C3}$  มีค่าเพิ่มขึ้นเข้าหา  $V_{ref}$  เนื่องจากตัวควบคุมพัชชีพยายามควบคุมแรงดันให้ได้ตามต้องการโดยอาศัยสวิตช์สองตัวที่เหลือ ซึ่งยังคงทำงานได้ตามปกติ ส่วนค่าอนุพันธ์อันดับหนึ่งและค่าอนุพันธ์อันดับสองของ  $V_{C3}$  มีผลตอบสนองที่คล้ายกันในช่วงเวลาวินาทีที่ 5 ถึง 5.02



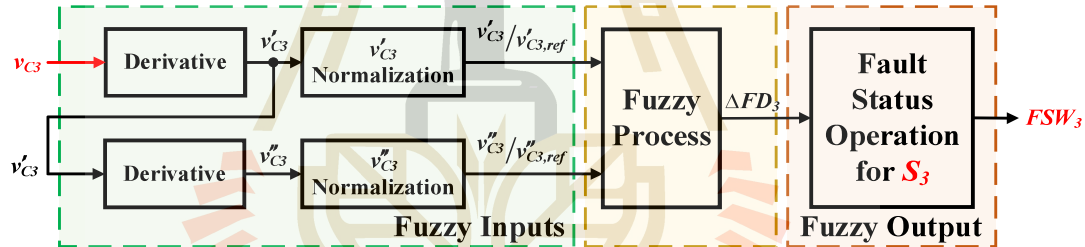
รูปที่ 5.31 ผลการเปรียบเทียบพฤติกรรมการทำงานของวงจรกรณีเกิดความผิดพร่องที่  $S_3$  และวงจร RC



รูปที่ 5.31 ภาพขยายผลการเปรียบเทียบพฤติกรรมการทำงานของวงจรกรณีเกิดความผิดพร่องที่  $S_3$   
และวงจร RC

รูปที่ 5.32 แสดงภาพขยายเพื่อให้เห็นความแตกต่างระหว่างพัฒนาระบบการทำงานของวงจรที่แสดงในรูปที่ 5.31 เมื่อพิจารณาพัฒนาระบบการทำงานของวงจรแปลงผันกำลังไฟฟ้าแบบบูสต์เรียงต่อกันสามขั้นหลังจากเกิดความผิดพร่องที่  $S_3$  และวงจร RC พบว่าแรงดัน  $v_{C3}$  ของวงจรแปลงผันกำลังไฟฟ้าแบบบูสต์เรียงต่อกันสามขั้น และแรงดัน  $v_C$  ของวงจร RC มีค่าลดลงจาก 400V อย่างต่อเนื่อง โดยการ decay ประจุให้กับ  $R$  ส่วนอนุพันธ์อันดับหนึ่งของ  $v_{C3}$  และ  $v_C$  มีค่าเท่ากับประมาณ  $-500V/s$  และอนุพันธ์อันดับสองของ  $v_{C3}$  และ  $v_C$  มีค่าเท่ากับประมาณ  $625V/s^2$  ในช่วงเวลาสั้น ๆ หลังจากเกิดความผิดพร่อง ดังนั้นจึงใช้ค่าอนุพันธ์อันดับหนึ่งและอันดับสองของ  $v_{C3}$  ในการตรวจจับความผิดพร่องแบบสวิตซ์เปิดวงจรที่  $S_3$

จากแผนภาพวิธีการตรวจจับความผิดพร่องที่  $S_3$  ข้างต้น อินพุตของการตรวจจับความผิดพร่องที่  $S_3$  ได้แก่ ค่าอนุพันธ์อันดับหนึ่งของ  $v_{C3}$  และค่าอนุพันธ์อันดับสองของ  $v_{C3}$  ที่ถูกปรับค่าสเกลในกระบวนการอิมัลไลซ์ด้วยค่าอนุพันธ์อันดับหนึ่งอ้างอิงของ  $v_{C3}$  ( $V'_{C3,ref}$ ) และค่าอนุพันธ์อันดับสองอ้างอิงของ  $v_{C3}$  ( $V''_{C3,ref}$ ) ตามลำดับ โดยที่สัญญาณ  $v_{C3}$  ได้จากการตรวจวัดค่าแรงดันที่ใช้ในกระบวนการควบคุมฟิลเตอร์ที่พัฒนาขึ้นจากนั้นทำการหาค่าอนุพันธ์ หรืออัตราการเปลี่ยนแปลงของค่าแรงดัน  $v_{C3}$  ดังรูปที่ 5.33



รูปที่ 5.33 โครงสร้างของการตรวจจับความผิดพร่องที่  $S_3$

จากโครงสร้างของการตรวจจับความผิดพร่องที่  $S_3$  ดังแสดงในรูปที่ 5.33 จะเห็นได้ว่า อินพุตค่าแรกเริ่มจากการอนุพันธ์ของ  $v_{C3}$  ให้ได้ค่าอนุพันธ์อันดับหนึ่งของ  $v_{C3}$  ( $V'_{C3,ref}$ ) หลังจากนั้นจะถูกปรับค่าสเกลด้วยค่า  $V'_{C3,ref}$  ในกระบวนการอิมัลไลซ์ ที่ได้จากการพิจารณาวงจรแปลงผันกำลังไฟฟ้าแบบบูสต์เรียงต่อกันสามขั้นเมื่อเกิดความผิดพร่องที่  $S_3$  และวงจร RC โดยที่ค่า  $V'_{C3,ref}$  สามารถพิจารณาจากผลตอบสนองทางธรรมชาติของวงจร RC ดังแสดงในรูปที่ 5.30 เมื่อ  $V_{ref}$  คือแรงดันที่ตกลงร่วมตัวกับประจุ ณ เวลา  $t = 0$  วินาที ดังสมการที่ (5.8)

$$v'_{C3} \Big|_{t=0} = -\frac{V_{ref} e^{-t/\tau_{RC}}}{RC} \quad (5.8)$$

จะเห็นได้ว่า  $V'_{C3}$  แปรผันตามเวลา อย่างไรก็ตามการตรวจจับความผิดพร่องของสวิตช์ จะเป็นต้องมีความรวดเร็ว จึงพิจารณา  $V'_{C3,ref}$  เมื่อเกิดความผิดพร่องทันที หรือช่วงเวลาที่ตัวเก็บประจุเริ่มคายประจุ ดังนั้นจึงกำหนดให้ตัวแปรเวลา มีค่าเป็นศูนย์ ( $t = 0s$ ) ซึ่งจะสามารถวิเคราะห์หาขนาด  $V'_{C3,ref}$  ได้ดังสมการที่ (5.9)

$$V'_{C3,ref} = -\frac{V_{ref}}{RC} \quad (5.9)$$

จากค่าอนุพันธ์อันดับหนึ่งของ  $V_{C3}$  ( $V'_{C3}$ ) ที่ได้จากการอนุพันธ์ข้างต้น ในขณะเดียวกัน  $V'_{C3}$  จะเข้าสู่กระบวนการอนุพันธ์อีกครั้งให้ได้ค่าอนุพันธ์อันดับสองของ  $V_{C3}$  ( $V''_{C3}$ ) หลังจากนั้นจะถูกปรับค่าสเกลลด้วยค่า  $V''_{C3,ref}$  ในกระบวนการอرمัลไลซ์ โดยที่ค่า  $V'_{C3,ref}$  สามารถพิจารณาได้จากค่าอนุพันธ์ของ  $V'_{C3}$  ดังที่แสดงในสมการที่ (5.10)

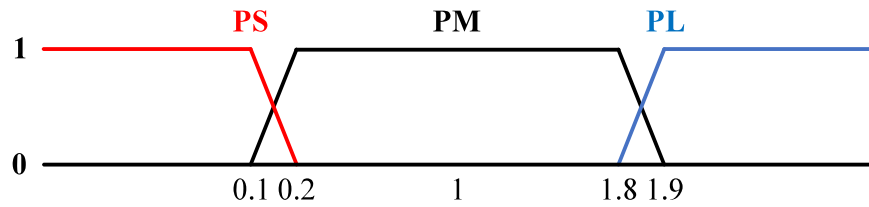
$$V''_{C3} = \frac{V_{ref} e^{-t/RC}}{RC^2} \quad (5.10)$$

เช่นเดียวกันกับการพิจารณา  $V'_{C3,ref}$  การตรวจจับความผิดพร่องของสวิตช์จำเป็นต้องมีความรวดเร็ว จึงพิจารณา  $V''_{C3,ref}$  เมื่อเกิดความผิดพร่องทันที หรือช่วงเวลาที่ตัวเก็บประจุเริ่มคายประจุ ณ เวลาที่ 0 วินาที ซึ่งจะสามารถวิเคราะห์หาขนาด  $V''_{C3,ref}$  ได้ดังสมการที่ (5.11)

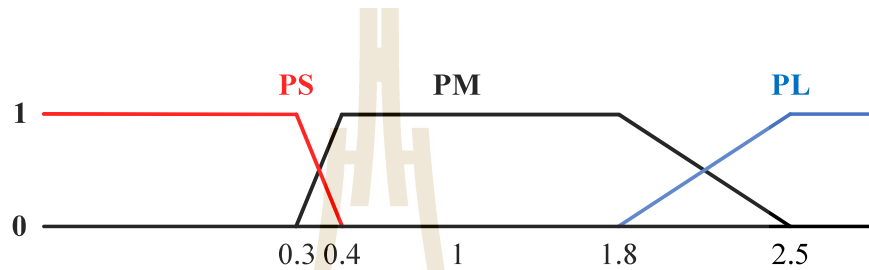
$$V''_{C3,ref} = \frac{V_{ref}}{RC^2} \quad (5.11)$$

ดังนั้nm เมื่อพิจารณาค่าพารามิเตอร์ต่าง ๆ ที่ได้กำหนดไว้ในตารางที่ 3.3 และ 3.4 ในบทที่ 3 จะสามารถคำนวณค่า  $V'_{C3,ref}$  และ  $V''_{C3,ref}$  เท่ากับ  $-500V/s$  และ  $625V/s^2$  ตามลำดับ

จากผลตอบสนองการทำงานของวงจรแปลงผันกำลังไฟฟ้าแบบบูสต์เรียงต่อกันสามขั้น เมื่อเกิดความผิดพร่องที่  $S_3$  สามารถพิจารณาฟังก์ชันสมาชิกของค่า  $V'_{C3}$  และ  $V''_{C3}$  ที่ถูกปรับค่าให้เป็นบรรทัดฐาน (Normalization) ในขอบเขตเฉพาะที่ต้องการ ดังรูปที่ 5.34 และ 5.35 ตามลำดับ ซึ่งได้จากการสังเกตพฤติกรรมการทำงานของวงจร



รูปที่ 5.34 พังก์ชันสมาชิกอนพุต  $V'_{C3}/V'_{C3,ref}$



รูปที่ 5.34 พังก์ชันสมาชิกอนพุต  $V''_{C3}/V''_{C3,ref}$

พังก์ชันสมาชิกอนพุตทั้งสองจะใช้รูปร่างของพังก์ชันสมาชิกเป็นแบบเหลี่ยมคงที่  
พังก์ชันสมาชิก  $V'_{C3}/V'_{C3,ref}$  และ  $V''_{C3}/V''_{C3,ref}$  กำหนดค่าเชิงภาษาของพังก์ชันสมาชิก 3 เซต ได้แก่  
“Positive Small: PS”, “Positive Medium: PM” และ “Positive Large: PL” ส่วนพังก์ชันสมาชิก  
เออเต็มพุตสำหรับการตรวจจับความผิดพร่องของสวิตช์ตัวที่ 3 คือสัญญาณการเปลี่ยนแปลงความผิดพร่อง  
ที่สวิตช์ตัวที่ 3 ( $\Delta FD_3$ ) จะใช้รูปร่างของพังก์ชันสมาชิกเป็นค่าคงที่เส้นตรงโน่นที่มี 3 ค่าประกอบด้วย  
“Negative Small: NS”, “Zero: Z” และ “Positive: P” ดังรูปที่ 5.36 ซึ่งเป็นรูปแบบการอนุมานฟuzzi  
แบบ Sugeno (Sugeno fuzzy inference)



รูปที่ 5.36 พังก์ชันสมาชิกการเปลี่ยนแปลงการตรวจจับความผิดพร่องที่  $S_3$  ( $\Delta FD_3$ )

เช่นเดียวกันกับการกำหนดค่าเชิงภาษาของพังก์ชันสมาชิกเออเต็มพุตสำหรับการ  
ตรวจจับความผิดพร่องที่  $S_2$  จากการศึกษาพฤติกรรมของวงจรแปลงผันกำลังไฟฟ้าแบบบูสต์เรียงต่อ  
กันสามขั้นภายในได้ตัวควบคุมฟuzzi ที่พัฒนาขึ้น พบว่าเมื่อเกิดความผิดพร่องที่  $S_3$  วงจรจะมีการ  
ตอบสนองที่คล้ายคลึงกับการเปลี่ยนจุดการทำงานของวงจรในบางสถานการณ์ ดังนั้น จึงกำหนดค่า

เชิงภาษาของฟังก์ชันสมาชิก  $\Delta FD_3$  เป็นน้อยมาก (Negative Small) ไว้ที่ -0.05 โดยค่าเมี้ยได้สมมาตรกับค่า Positive ดังที่แสดงในรูปที่ 5.36 ซึ่งจะถูกกล่าวถึงในขั้นถัดไปในหัวข้อกระบวนการแสดงสถานะความผิดพร่องที่  $S_3$

ความสัมพันธ์ของอินพุต  $v'_{C3}/V'_{C3,ref}$  และ  $v''_{C3}/V''_{C3,ref}$  และเอาต์พุต  $\Delta FD_3$  สามารถแสดงได้ดังตารางที่ 5.4 การออกแบบของฟังก์ชันระหว่างตัวแปรทั้ง 3 มีดังนี้

- 1<sup>st</sup> IF  $v'_{C3}/V'_{C3,ref} = PS$  AND  $v''_{C3}/V''_{C3,ref} = PS$  THEN  $\Delta FD_3 = N$
- 2<sup>nd</sup> IF  $v'_{C3}/V'_{C3,ref} = PS$  AND  $v''_{C3}/V''_{C3,ref} = PM$  THEN  $\Delta FD_3 = N$
- 3<sup>rd</sup> IF  $v'_{C3}/V'_{C3,ref} = PS$  AND  $v''_{C3}/V''_{C3,ref} = PL$  THEN  $\Delta FD_3 = N$
- 4<sup>th</sup> IF  $v'_{C3}/V'_{C3,ref} = PM$  AND  $v''_{C3}/V''_{C3,ref} = PS$  THEN  $\Delta FD_3 = Z$
- 5<sup>th</sup> IF  $v'_{C3}/V'_{C3,ref} = PM$  AND  $v''_{C3}/V''_{C3,ref} = PM$  THEN  $\Delta FD_3 = P$
- 6<sup>th</sup> IF  $v'_{C3}/V'_{C3,ref} = PM$  AND  $v''_{C3}/V''_{C3,ref} = PL$  THEN  $\Delta FD_3 = Z$
- 7<sup>th</sup> IF  $v'_{C3}/V'_{C3,ref} = PL$  AND  $v''_{C3}/V''_{C3,ref} = PS$  THEN  $\Delta FD_3 = N$
- 8<sup>th</sup> IF  $v'_{C3}/V'_{C3,ref} = PL$  AND  $v''_{C3}/V''_{C3,ref} = PM$  THEN  $\Delta FD_3 = N$
- 9<sup>th</sup> IF  $v'_{C3}/V'_{C3,ref} = PL$  AND  $v''_{C3}/V''_{C3,ref} = PL$  THEN  $\Delta FD_3 = N$

ตารางที่ 5.4 หน่วยความจำฟังก์ชันพันธ์ของการตรวจจับความผิดพร่องของสวิตซ์ตัวที่ 3

$v'_{C3}/V'_{C3,ref}$	PS	PM	PL
$v''_{C3}/V''_{C3,ref}$	NS	Z	NS
PS	NS	P	NS
PM	NS	Z	NS
PL	NS	Z	NS

จากการวิเคราะห์ผลลัพธ์ของฟังก์ชันสมาชิก  $\Delta FD_3$  จะเห็นได้ว่าค่าที่ได้สามารถใช้ในการระบุสภาพความผิดพร่องที่  $S_3$  ได้ โดยหากค่า  $\Delta FD_3$  มีค่าเป็นลบ จะแสดงว่าระบบอยู่ในสภาพปกติ แต่หากค่า  $\Delta FD_3$  มีค่าเป็นบวก จะบ่งชี้ถึงการเกิดความความผิดพร่อง การวิเคราะห์พฤติกรรมการทำงานของวงจรและผังกำลังไฟฟ้าแบบบูสต์เรียงต่อกันสามชั้น ทำให้สามารถออกแบบกระบวนการทางฟังก์ชันเพื่อตรวจจับความผิดพร่องที่  $S_3$  ได้ โดยกำหนดความสัมพันธ์ของอินพุตที่ใช้ในการตรวจจับความผิดพร่องในรูปของกฎฟังก์ชัน ซึ่งสามารถแสดงในรูปแบบของหน่วยความจำฟังก์ชันพันธ์ตามที่ปรากฏในตารางที่ 5.4 ตัวอย่างการตรวจจับความผิดพร่องที่  $S_3$  สามารถอธิบายได้ดังนี้

กรณีที่ 1  $V'_{C3}/V'_{C3,ref}$  เป็นสมาชิกของเซตบวกค่าน้อย ( $V'_{C3}/V'_{C3,ref} \in PS$ ) ก็ ต่อเมื่อ  $V'_{C3}$  มีค่าน้อยกว่า 0.2 เท่าของ  $V'_{C3,ref}$  กระบวนการฟ์ชีของ  $V''_{C3}$  ณ เวลาใด ๆ พบร่วมกับความเป็นไปได้ที่จะเข้าเงื่อนไขกฎฟ์ชีข้อที่ 1 ถึงกฎที่ 3 กระบวนการดังกล่าวสามารถอธิบายได้ดังนี้

- 1) กฎฟ์ชีข้อที่ 1 เมื่อ  $V''_{C3}/V''_{C3,ref}$  เป็นบวกอยู่ในเซต PS หมายถึง  $V''_{C3}$  ณ เวลาที่พิจารณา มีค่าต่ำกว่า 0.4 เท่าของ  $V''_{C3,ref}$  ดังนั้นตัวตรวจสอบความผิดพร่องต้องสร้าง  $\Delta FD_3$  ที่เป็นลบน้อย (NS) จะแสดงถึงการทำงานของวงจรในสภาพนี้เป็นการทำงานปกติ
- 2) กฎฟ์ชีข้อที่ 2 เมื่อ  $V''_{C3}/V''_{C3,ref}$  มีค่าเป็นศูนย์อยู่ในเซต PM หมายถึง  $V''_{C3}$  ณ เวลาที่พิจารณา มีค่าอยู่ในช่วง 0.3 ถึง 2.5 เท่าของ  $m_{FS2}$  ดังนั้นตัวตรวจสอบความผิดพร่องต้องสร้าง  $\Delta FD_3$  ที่เป็นลบน้อย (NS) จะแสดงถึงการทำงานของวงจรในสภาพนี้เป็นการทำงานปกติ
- 3) กฎฟ์ชีข้อที่ 3 เมื่อ  $V''_{C3}/V''_{C3,ref}$  เป็นบวกอยู่ในเซต PL หมายถึง  $V''_{C3}$  ณ เวลาที่พิจารณา มีค่ามากกว่า 1.8 เท่าของ  $V''_{C3,ref}$  ดังนั้นตัวตรวจสอบความผิดพร่องต้องสร้าง  $\Delta FD_3$  ที่เป็นลบน้อย (NS) จะแสดงถึงการทำงานของวงจรในสภาพนี้เป็นการทำงานปกติ

กรณีที่ 2  $V'_{C3}/V'_{C3,ref}$  เป็นสมาชิกของเซตค่าบวกปานกลาง ( $V'_{C3}/V'_{C3,ref} \in PM$ ) ก็ต่อเมื่อ  $V'_{C3}$  ณ เวลาที่พิจารณา มีค่าอยู่ในช่วง 0.1 ถึง 1.9 เท่าของ  $V'_{C3,ref}$  กระบวนการฟ์ชีของ  $V''_{C3}$  ณ เวลาใด ๆ พบร่วมกับความเป็นไปได้ที่จะเข้าเงื่อนไขกฎฟ์ชีข้อที่ 4 ถึงกฎที่ 6 กระบวนการดังกล่าวสามารถอธิบายได้ดังนี้

- 4) กฎฟ์ชีข้อที่ 4 เมื่อ  $V''_{C3}/V''_{C3,ref}$  เป็นบวกอยู่ในเซต PS หมายถึง  $V''_{C3}$  ณ เวลาที่พิจารณา มีค่าต่ำกว่า 0.4 เท่าของ  $V''_{C3,ref}$  ดังนั้นตัวตรวจสอบความผิดพร่องต้องสร้าง  $\Delta FD_3$  ที่เป็นศูนย์ (Z) จะแสดงถึงการทำงานของวงจรในสภาพนี้เป็นการทำงานปกติ
- 5) กฎฟ์ชีข้อที่ 5 เมื่อ  $V''_{C3}/V''_{C3,ref}$  มีค่าเป็นศูนย์อยู่ในเซต PM หมายถึง  $V''_{C3}$  ณ เวลาที่พิจารณา มีค่าอยู่ในช่วง 0.3 ถึง 2.5 เท่าของ  $m_{FS2}$  ดังนั้นตัวตรวจสอบความผิดพร่องต้องสร้าง  $\Delta FD_3$  ที่เป็นบวก (P) จะแสดงถึงการทำงานของวงจรในสภาพนี้เกิดความผิดพร่องที่  $S_3$
- 6) กฎฟ์ชีข้อที่ 6 เมื่อ  $V''_{C3}/V''_{C3,ref}$  เป็นบวกอยู่ในเซต PL หมายถึง  $V''_{C3}$  ณ เวลาที่พิจารณา มีค่ามากกว่า 1.8 เท่าของ  $V''_{C3,ref}$  ดังนั้นตัวตรวจสอบความผิดพร่อง

ต้องสร้าง  $\Delta FD_3$  ที่เป็นศูนย์ (Z) จะแสดงถึงการทำงานของวงจรในสภาพะนี้เป็นการทำงานปกติ

กรณีที่  $2 V'_{C3}/V'_{C3,ref}$  เป็นสมาชิกของเซตค่าบวกปานกลาง ( $V'_{C3}/V'_{C3,ref} \in PM$ ) ก็ต่อเมื่อ  $V'_{C3}$  ณ เวลาที่พิจารณา มีค่ามากกว่า 1.8 เท่าของ  $V'_{C3,ref}$  กระบวนการพื้นที่ของ  $V''_{C3}$  ณ เวลาใด ๆ พบร่วมความเป็นไปได้ที่จะเข้าเงื่อนไขกฎพื้นที่ข้อที่ 7 ถึงกฎที่ 9 กระบวนการดังกล่าวสามารถอธิบายได้ดังนี้

- 7) กฎพื้นที่ข้อที่ 7 เมื่อ  $V''_{C3}/V''_{C3,ref}$  เป็นบวกอยู่ในเซต PS หมายถึง  $V''_{C3}$  ณ เวลาที่พิจารณา มีค่าต่ำกว่า 0.4 เท่าของ  $V''_{C3,ref}$  ดังนั้นตัวตรวจสอบความผิดพร่องต้องสร้าง  $\Delta FD_3$  ที่เป็นลบน้อย (NS) จะแสดงถึงการทำงานของวงจรในสภาพะนี้เป็นการทำงานปกติ
- 8) กฎพื้นที่ข้อที่ 8 เมื่อ  $V''_{C3}/V''_{C3,ref}$  มีค่าเป็นศูนย์อยู่ในเซต PM หมายถึง  $V''_{C3}$  ณ เวลาที่พิจารณา มีค่าอยู่ในช่วง 0.3 ถึง 2.5 เท่าของ  $m_{FS2}$  ดังนั้นตัวตรวจสอบความผิดพร่องต้องสร้าง  $\Delta FD_3$  ที่เป็นลบน้อย (NS) จะแสดงถึงการทำงานของวงจรในสภาพะนี้เป็นการทำงานปกติ
- 9) กฎพื้นที่ข้อที่ 9 เมื่อ  $V''_{C3}/V''_{C3,ref}$  เป็นบวกอยู่ในเซต PL หมายถึง  $V''_{C3}$  ณ เวลาที่พิจารณา มีค่ามากกว่า 1.8 เท่าของ  $V''_{C3,ref}$  ดังนั้นตัวตรวจสอบความผิดพร่องต้องสร้าง  $\Delta FD_3$  ที่เป็นลบน้อย (NS) จะแสดงถึงการทำงานของวงจรในสภาพะนี้เป็นการทำงานปกติ

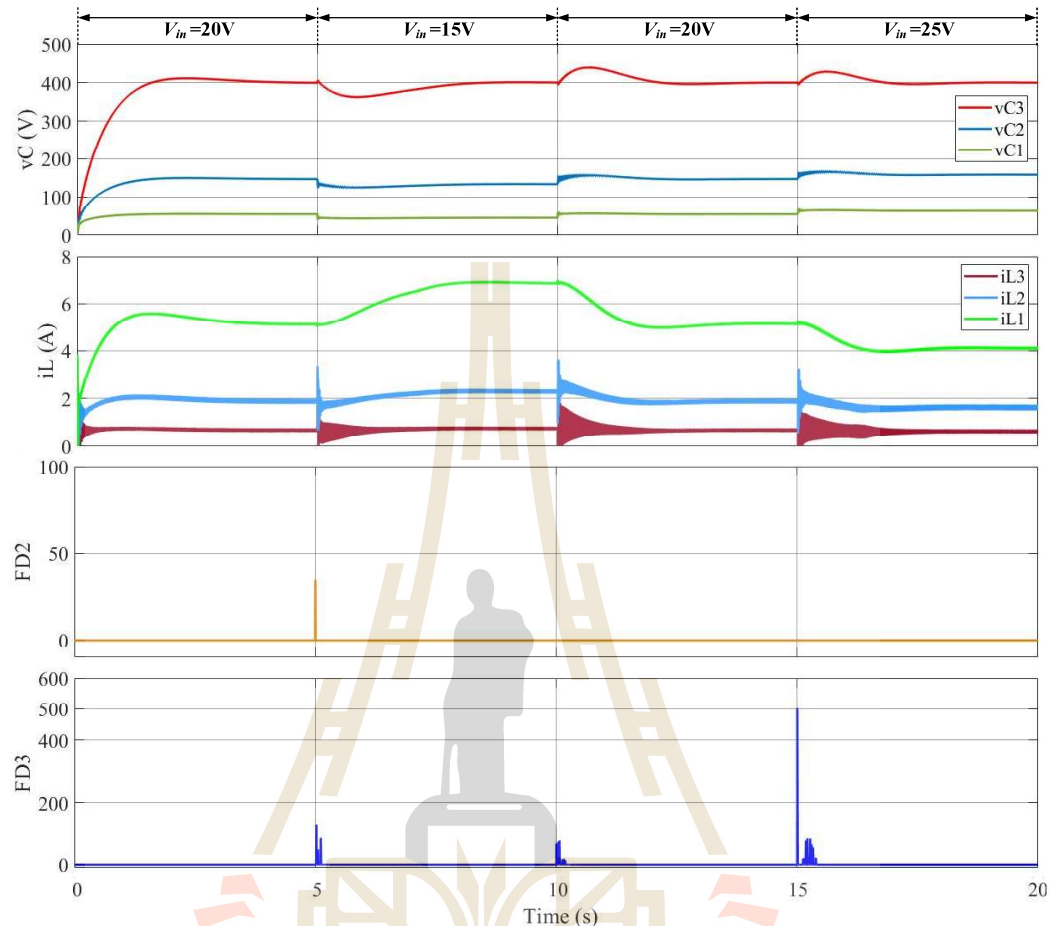
กระบวนการแสดงสถานะการผิดพร่องที่  $S_3$  จะมีกระบวนการคล้ายคลึงกับการแสดงสถานะการผิดพร่องที่  $S_2$  โดยจะแสดงสถานะการทำงานปกติ เมื่อ  $FWS_3$  เป็น 0 โดยเมื่อเกิดความผิดพร่องที่  $S_3$  สถานะ  $FSW_3$  จะเป็น 1 อย่างไรก็ตามจากการสังเกตพฤติกรรมการทำงานของวงจร พบร่วมเมื่อมีการเปลี่ยนจุดการทำงานของแรงดัน  $V_{in}$  และ  $V_{ref}$  บางกรณี ที่ทำให้กระแส  $i_{L3}$  มีค่าเป็น 0A ในระยะเวลาสั้น ๆ เท่านั้น โดยในช่วงดังกล่าว  $C_3$  จะทำหน้าที่คายประจุให้กับ  $R$  ทั้งที่ช่วงเวลาดังกล่าวควรเป็นช่วงการอัดประจุ ซึ่งผลตอบสนองดังกล่าวตรงกับกฎพื้นที่ของการตรวจสอบความผิดพร่องของสวิตช์ ตัวที่ 3 ข้อที่ 5 ที่ให้  $\Delta FD_3$  เป็นบวก (P) จึงอาศัยวิธีการบวกสะสมค่าของ  $\Delta FD_3$  เข้าช่วยเพื่อให้การตรวจสอบความผิดพร่องที่  $S_3$  มีความถูกต้องยิ่งขึ้น ค่าสัญญาณความผิดพร่องที่  $S_3$  ( $FD_3$ ) สามารถพิจารณาได้จากสมการที่ (5.12)

$$FD_{3,n} = FD_{3,n-1} + \Delta FD_{3,n} \quad (5.12)$$

จากสมการคำนวณหาเอาต์พุต  $FD_2$  ที่กล่าวมานี้ค่าเป็นไปได้ทั้งค่าบวกและลบ โดยที่ค่าบวกจะแสดงถึงการทำงานของวงจรในสภาพเกิดความผิดพร่อง เพื่อให้ได้การตรวจจับที่ถูกต้อง จึงกำหนดขอบเขตการตรวจจับความผิดพร่องของเอาต์พุต  $FD_3$  อยู่ในช่วงศูนย์ถึงค่าจำกัดการตรวจจับความผิดพร่องที่  $S_3$  ( $FLD_3$ ) เพื่อหลีกเลี่ยงการตรวจจับผิดพลาดเมื่อมีการเปลี่ยนแปลงจุดการทำงาน จึงทำการศึกษาพฤติกรรมการทำงานของวงจรภายใต้การเปลี่ยนแปลงจุดการทำงาน เพื่อให้ได้ค่า  $FLD_3$  ที่เหมาะสมจากการศึกษาพฤติกรรม ซึ่งจะกล่าวในเนื้อหาถัดไป ดังนั้นเพื่อให้ได้การตรวจจับที่ถูกต้อง กระบวนการแสดงสถานการณ์ผิดพร่องจะแสดงสถานะ  $FSW_3$  เป็น 1 ก็ต่อเมื่อค่าสัญญาณ  $FD_3$  หารด้วย  $FLD_3$  มีค่ามากกว่า 1

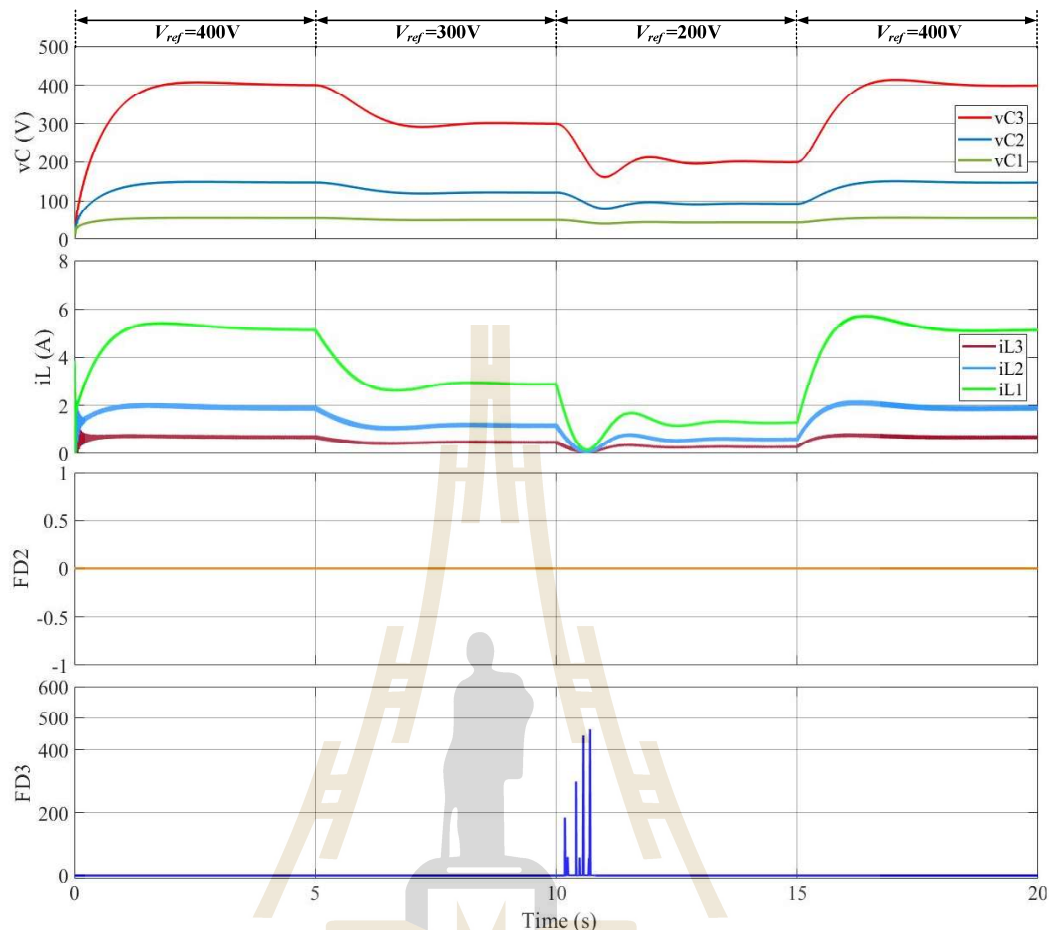
จากระบวนการแสดงสถานะการผิดพร่อง (Fault Status Operation) ของการตรวจจับความผิดพร่องที่  $S_2$  และ  $S_3$  มีค่าจำกัดการตรวจจับความผิดพร่องสวิตช์ ( $FLD_2$ ,  $FLD_3$ ) ซึ่งสามารถพิจารณาได้จากพฤติกรรมกรณีการเปลี่ยนแปลงจุดการทำงานโดยแบ่งออกเป็น 3 กรณี ประกอบด้วย ผลการจำลองสถานการณ์เมื่อมีการเปลี่ยนแปลงแรงดันอินพุต ( $V_{in}$ ) ผลการจำลองสถานการณ์เมื่อมีการเปลี่ยนแปลงแรงดันอ้างอิง ( $V_{ref}$ ) และผลการจำลองสถานการณ์เมื่อมีการเปลี่ยนแปลงโหลดตัวต้านทาน ( $R$ ) การจำลองสถานการณ์แสดงแรงดันตกคร่อมตัวเก็บประจุ ( $V_{C1}$ ,  $V_{C2}$ ,  $V_{C3}$ ) กระแสที่เหลือ่านตัวเหนี่ยวนำ ( $i_{L1}$ ,  $i_{L2}$ ,  $i_{L3}$ ) ค่าจำกัดการตรวจจับความผิดพร่อง  $FLD_2$  และ  $FLD_3$  แสดงดังรูปที่ 5.37 โดยที่เอาต์พุตของการตรวจจับความผิดพร่อง  $FD_2$  และ  $FD_3$  ได้จากสมการที่ (5.6) และ (5.12) ตามลำดับ

กรณีที่ 1 การจำลองสถานการณ์เมื่อมีการเปลี่ยนแปลง  $V_{in}$  เป็น 20V, 15V, 20V และ 25V ในช่วงเวลา 0s, 5s, 10s และ 15s ตามลำดับ โดยที่คงค่า  $V_{ref}$  และ  $R$  ไว้ที่ 400V และ 1600Ω ตามลำดับ ดังรูปที่ 5.37 สังเกตเห็นได้ว่า  $FD_2$  มีขนาดเท่าประมาณ 0, 35, 0 และ 0 ตามลำดับ เนื่องจากเมื่อมีการเปลี่ยนแปลง  $V_{in}$  จาก 20V เป็น 15V จะส่งผลให้  $m_{L1}$  เกิดการสั่นไกว และมีค่าการเปลี่ยนแปลง เกินช่วง  $-2m_{ref}$  ถึง  $2m_{ref}$  A/s อีกทั้ง  $D$  เกิดการสั่นไกว ในเวลาสั้น ๆ ผลตอบสนองที่เกิดขึ้นตรงกับกฎฟชซีที่ให้อเอาต์พุต  $\Delta FD_2$  เป็นค่า Positive สำหรับการตรวจจับความผิดพร่องที่  $S_2$  ในขณะเดียวกัน  $FD_3$  มีขนาดเท่าประมาณ 0, 125, 80 และ 500 ตามลำดับ เนื่องจากการเปลี่ยนแปลงจุดการทำงานในช่วงเวลาที่ 5s, 10s และ 15s ทำให้กระแส  $i_{L3}$  มีค่าเป็น 0A ในระยะเวลาสั้น ๆ เท่านั้น โดยในช่วงตั้งกล่าว  $C_3$  จะทำหน้าที่คายประจุให้กับ  $R$  ทั้งที่ช่วงเวลาตั้งกล่าว ควรเป็นช่วงการอัดประจุ ซึ่งผลตอบสนองที่ตรงกับกฎฟชซีที่ให้อเอาต์พุต  $\Delta FD_3$  เป็นค่า Positive ในกระบวนการฟชซีสำหรับการตรวจจับความผิดพร่องที่  $S_3$  ดังนั้นเพื่อหลีกเลี่ยงความผิดพลาดในการตรวจจับความผิดพร่องจึงกำหนดค่า  $FLD_2$  และ  $FLD_3$  เป็น 50 และ 600 ตามลำดับ



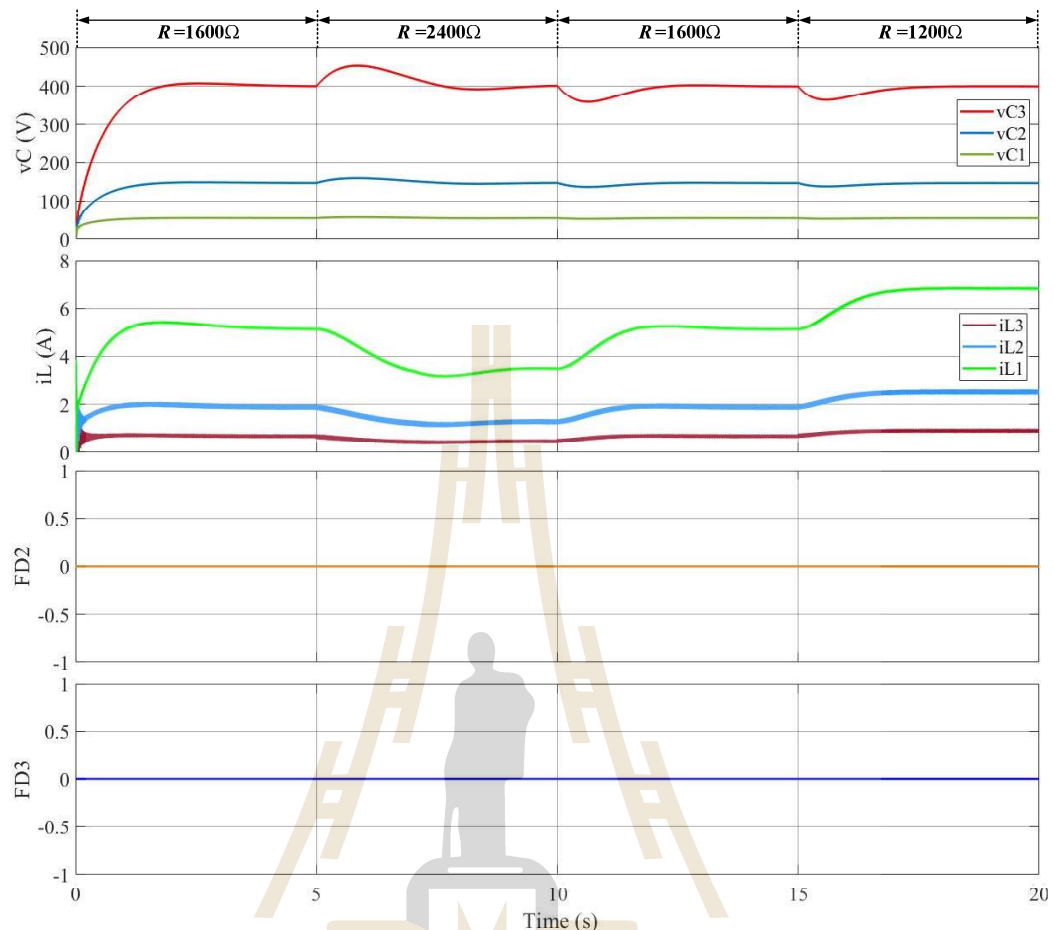
รูปที่ 5.37 การจำลองสถานการณ์หากค่า  $FLD_2$  และ  $FLD_3$  กรณีเปลี่ยนแปลงแรงดันอินพุต

กรณีที่ 2 การจำลองสถานการณ์เมื่อมีการเปลี่ยนแปลง  $V_{ref}$  เป็น 400V, 300V, 200V และ 400V ในช่วงเวลา 0s, 5s, 10s และ 15s ดังรูปที่ 5.38 พบว่าเมื่อมีการเปลี่ยนแปลงแรงดัน  $V_{ref}$  ลดลงจาก 300V เป็น 200V ส่งผลให้  $FD_3$  มีขนาดสูงสุดประมาณ 460 เนื่องจากขณะที่การเปลี่ยนแปลง  $V_{ref}$  จาก 300V เป็น 200V เท่านั้นที่ส่งผลให้  $i_{L3}$  มีค่าเป็น 0A ในช่วงระยะเวลาสั้น ๆ ซึ่งผลตอบสนองที่เกิดขึ้นตรงกับกฎพื้ซซีที่ให้อาต์พุต  $\Delta FD_3$  เป็นค่า Positive ของการตรวจจับความผิดพร่องที่  $S_3$  ในขณะเดียวกันเมื่อพิจารณาค่า  $FD_2$  จะเห็นได้ว่าเมื่อมีการเปลี่ยนแปลง  $V_{ref}$  แต่ละครั้งจะได้ค่า  $FD_2$  มีขนาดเท่ากับศูนย์ เนื่องจากผลตอบสนองที่เกิดขึ้นไม่ตรงกับกฎพื้ซซีที่ให้อาต์พุต  $\Delta FD_2$  เป็นค่า Positive ในกระบวนการพื้ซซีของการตรวจจับความผิดพร่องที่  $S_2$  อย่างไรก็ตามการกำหนดค่า  $FLD_3$  ที่ 600 ก่อนหน้านี้ ยังมีความครอบคลุมและสามารถหลีกเลี่ยงความผิดพลาดที่อาจเกิดขึ้นในการตรวจจับความผิดพร่องที่  $S_3$  ได้



รูปที่ 5.38 การจำลองสถานการณ์หากค่า  $FLD_2$  และ  $FLD_3$  กรณีเปลี่ยนแปลงเร็วตันอ้างอิง

กรณีที่ 3 การจำลองสถานการณ์เมื่อมีการเปลี่ยนแปลง  $R$  เป็น  $1600\Omega$ ,  $2400\Omega$ ,  $1600\Omega$  และ  $1200\Omega$  ในช่วงเวลา  $0s$ ,  $5s$ ,  $10s$  และ  $15s$  ตามลำดับ โดยที่ค่า  $V_{in}$  และ  $V_{ref}$  ไว้ที่  $20V$  และ  $400V$  ตามลำดับ ผลการจำลองสถานการณ์จะแสดงให้เห็นตัวเหนี่ยวนា แรงดันตกคร่อมตัวเก็บประจุ และเอาร์พุตของการตรวจจับความผิดพร่องทั้งสองสัดส่วนดังรูปที่ 5.39 ถังเกตเห็นได้ว่าเมื่อมีการเปลี่ยนแปลง  $R$  แต่ละค่า ส่งผลให้ค่าเอาร์พุต  $\Delta FD_2$  และ  $\Delta FD_3$  มีค่าเป็นศูนย์ เนื่องจากผลตอบสนองจากการเปลี่ยนแปลงจุดการทำงานที่เกิดขึ้น ไม่ตรงกับกฎฟื้ซซีที่ให้เอาร์พุต  $\Delta FD_2$  และ  $\Delta FD_3$  เป็นค่า Positive ในกระบวนการฟื้ซซีของการตรวจจับความผิดพร่องที่  $S_2$  และ  $S_3$  ตามลำดับ



รูปที่ 5.39 การจำลองสถานการณ์หากค่า  $FLD_2$  และ  $FLD_3$  กรณีเปลี่ยนแปลงโหลดตัวต้านทาน

เพื่อหลีกเลี่ยงความผิดพลาดที่เกิดจากการตรวจจับความผิดพร่อง จำเป็นต้องมีการพิจารณาค่าจำกัดการตรวจจับความผิดพร่องสวิตช์ทั้งสอง ( $FLD_2$ ,  $FLD_3$ ) โดยอาศัยผลจำลองสถานการณ์การทำงานของวงจรแปลงผันกำลังไฟฟ้าแบบบูสต์เรียงต่อกันสามขั้นภายใต้การควบคุมฟซซีที่พัฒนาขึ้น เมื่อการทำงานการเปลี่ยนแปลงจุดการทำงาน ซึ่งพบว่ากรณีเปลี่ยนแปลงแรงดันอินพุตให้ผลตอบสนองสั้น ๆ ที่คล้ายกับการเกิดความผิดพร่องที่  $S_2$  และ  $S_3$  ซึ่งผลตอบสนองที่เกิดขึ้นตรงกับกฎฟซซีที่ให้ເອາະພຸດ  $\Delta FD_2$  และ  $\Delta FD_3$  เป็นค่า Positive เมื่อพิจารณาເອາະພຸດของการตรวจจับความผิดพร่อง  $FD_2$  และ  $FD_3$  ได้จากสมการที่ (5.6) และ (5.12) ตามลำดับ ภาตใต้การเปลี่ยนแปลงจุดการทำงานได้ศึกษา ซึ่งจะสามารถกำหนดค่า  $FLD_2$  และ  $FLD_3$  ที่สามารถหลีกเลี่ยงความผิดพลาดที่เกิดจากการตรวจจับความผิดพร่องได้ดังตารางที่ 5.5

จากการศึกษาพัฒนาระบบการทำงานของวงจรในสภาพะปกติในสภาพะการเปลี่ยนแปลงจุดการทำงานต่าง ๆ และเมื่อเกิดความผิดพร่อง ภายใต้การทำงานการควบคุมฟซชีที่พัฒนาขึ้น โดยพิจารณาผลตอบสนองของกระแส  $i_{L1}$  แรงดัน  $V_{C3}$  และ สัญญาณ  $D$  ภายใต้การควบคุมฟซชีที่พัฒนาขึ้น สามารถนำมาพัฒนาวิธีการตรวจจับความผิดพร่อง (Fault detection strategy) เพื่อที่จะสามารถระบุตำแหน่งที่เกิดความผิดพร่องภายในวงจร โดยใช้กระบวนการฟซชีในการตรวจจับความผิดพร่องแสดงดังรูปที่ 5.17 การตรวจจับความผิดพร่องของแต่ละสวิตซ์มีพารามิเตอร์ต้องพิจารณาในการดำเนินการปรับค่าสเกล หรือเรียกว่าการนอร์มัลไไซด์ (Normalization) เพื่อปรับขนาดค่าให้อยู่ภายในขอบเขตการทำงานที่การควบคุมฟซชีที่พัฒนาขึ้นสามารถทำงานได้อย่างครอบคลุม ดังตารางที่ 5.5 โดยพิจารณาจากค่าพารามิเตอร์ต่าง ๆ ประกอบด้วยค่าพารามิเตอร์ตัวเห็นี่ยวน่า และตัวเก็บประจุภายในวงจร และค่าพารามิเตอร์ของการควบคุมฟซชีที่พัฒนาขึ้น ดังตารางที่ 3.3, 3.4 และ 4.2 ตามลำดับ อีกทั้งยังมีค่าจำกัดการตรวจจับความผิดพร่องทั้งสอง ( $FLD_2$ ,  $FLD_3$ )

ตารางที่ 5.5 ค่าพารามิเตอร์ของการตรวจจับความผิดพร่องแบบสวิตซ์เปิดวงจรที่พัฒนาขึ้น

การตรวจจับ ความผิดพร่อง	พารามิเตอร์	สัญลักษณ์	ขนาด	หน่วย
$S_1$	ค่าความชันของกระแสขณะเกิดความผิดพร่องที่ $S_1$	$m_{FS1}$	2,319	A/s
	ค่ากระแสที่เหล่าน $L_1$ ในสภาพะปกติ	$i_{FS1}$	5	A
$S_2$	ค่าวัสดุจักรหน้าที่อ้างอิงของสวิตซ์	$D_{ref}$	0.635	-
	ค่าความชันของกระแสขณะเกิดความผิดพร่องที่ $S_2$	$m_{FS2}$	200	A/s
	ค่าจำกัดการตรวจจับความผิดพร่องที่ $S_2$	$FLD_2$	50	-
$S_3$	ค่าอนุพันธ์อันดับหนึ่งอ้างอิงของ $V_{C3}$	$V'_{C3,ref}$	-500	V/s
	ค่าอนุพันธ์อันดับสองอ้างอิงของ $V_{C3}$	$V''_{C3,ref}$	625	V/s <sup>2</sup>
	ค่าจำกัดการตรวจจับความผิดพร่องที่ $S_3$	$FLD_3$	600	-

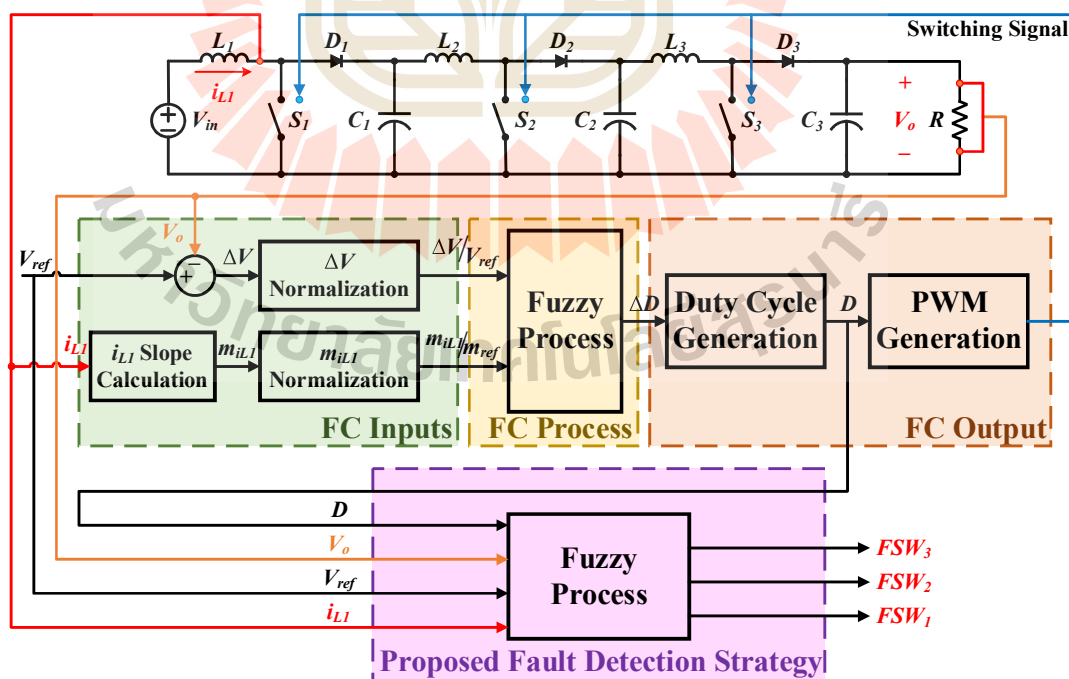
#### 5.4 การจำลองสถานการณ์

เพื่อแสดงประสิทธิผลของตัวตรวจจับความผิดพร่องที่พัฒนาขึ้นที่สามารถตรวจจับได้อย่างถูกต้องและรวดเร็ว จะอาศัยโปรแกรม MATLAB SIMULINK เข้าช่วยในการจำลองสถานการณ์การตรวจจับ

ความผิดพร่องแบบสวิตช์เปิดวงจรสำหรับวงแปรผังพันกำลังไฟฟ้าแบบบูสต์เรียงต่อกันสามขั้นภายใต้การควบคุมฟิซซีที่พัฒนาขึ้น โดยใช้ค่าพารามิเตอร์ของวงจร และค่าพารามิเตอร์การควบคุมฟิซซีที่พัฒนาขึ้น ที่กล่าวไว้ในบทที่ 3 และ 4 ตามลำดับ การจำลองสถานการณ์แบบอุตสาหกรรม 3 กรณี ได้แก่ การตรวจจับความผิดพร่องแบบสวิตช์เปิดวงจรในสภาพการทำงานปกติ การตรวจจับความผิดพร่องแบบสวิตช์เปิดวงจรภายใต้การเปลี่ยนแปลงจุดการทำงานของวงจร รวมถึงการสร้างความคงทนต่อความผิดพร่องแบบสวิตช์เปิดวงจรให้กับวงจรแปรผังพันกำลังไฟฟ้าแบบบูสต์เรียงต่อกันสามขั้น โดยสามารถระบุตำแหน่งความผิดพร่องที่เกิดขึ้นในแต่ละสวิตช์ได้อย่างถูกต้องและรวดเร็ว เพื่อให้การรักษาการทำงานของวงจรจากความผิดพร่อง โดยจะพิจารณากรณีที่สวิตช์ตัวใดตัวหนึ่งเกิดความผิดพร่องขึ้นเท่านั้น

#### 5.4.1 การตรวจจับความผิดพร่องแบบสวิตช์เปิดวงจรในสภาพการทำงานปกติ

การจำลองสถานการณ์การตรวจจับความผิดพร่องแบบสวิตช์เปิดวงจรในสภาพการทำงานปกติ เพื่อยืนยันว่าวิธีการตรวจจับความผิดพร่องแบบสวิตช์เปิดวงจรที่พัฒนาขึ้นนี้มีความสามารถในการตรวจจับความผิดพร่อง และระบุตำแหน่งของสวิตช์ได้อย่างถูกต้อง การจำลองสถานการณ์การตรวจจับความผิดพร่องแบบสวิตช์เปิดวงจรที่  $S_1$ ,  $S_2$  และ  $S_3$  โดยผลการจำลองสถานการณ์จะแสดงค่าแรงดันต่อกันร่วมตัวเก็บประจุ กระแสที่แหล่งผ่านตัวเหนี่ยวนำ และสัญญาณการตรวจจับความผิดพร่อง ตั้งแต่เริ่มต้นการทำงานของวงจรในสภาพปกติ และเกิดความผิดพร่องแบบสวิตช์เปิดวงจรที่วินาทีที่ 5 ทั้งนี้โครงสร้างที่ใช้แสดงดังรูปที่ 5.40



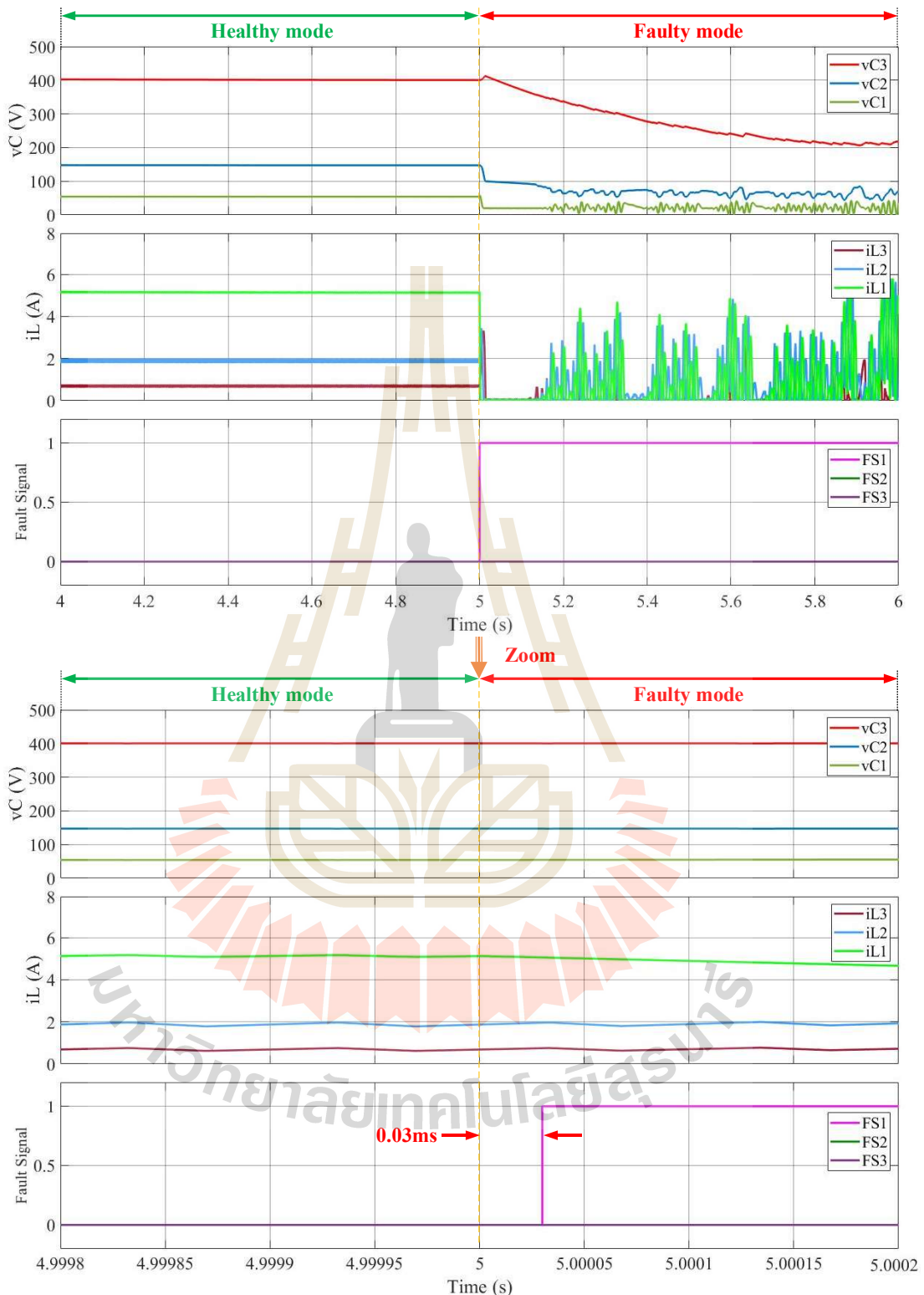
รูปที่ 5.40 โครงสร้างการควบคุมฟิซซีและการตรวจจับความผิดพร่องแบบสวิตช์เปิดวงจรที่พัฒนาขึ้น

ผลการจำลองสถานการณ์การตรวจจับความผิดพร่องแบบสวิตซ์เปิดวงจรที่  $S_1$ ,  $S_2$  และ  $S_3$  แสดงดังรูปที่ 5.41, 5.42 และ 5.43 ตามลำดับ พบพกติกรรมการทำงานของวงจร และการตรวจจับความผิดพร่องที่พัฒนาขึ้นดังนี้

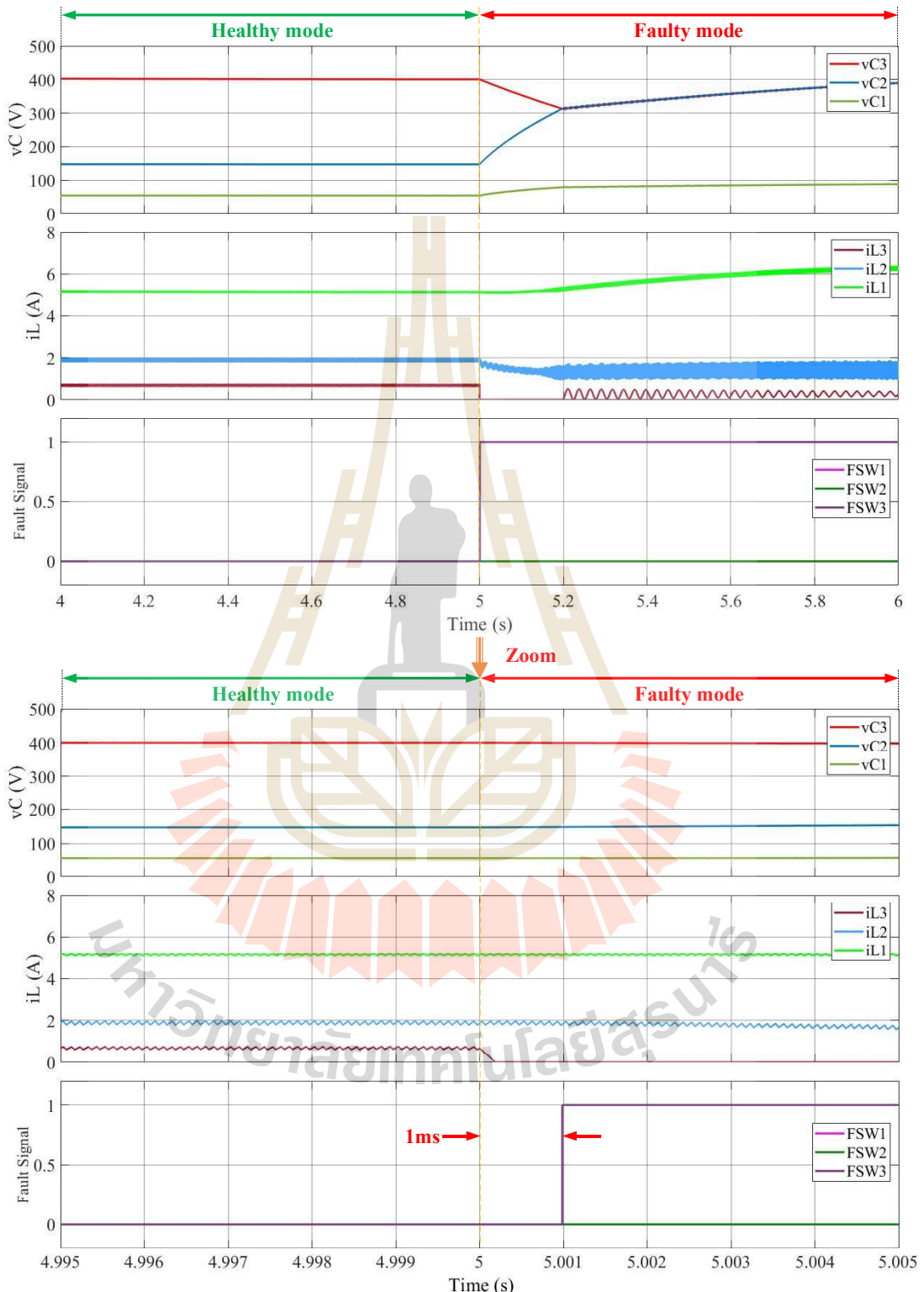
การตรวจจับความผิดพร่องแบบสวิตซ์เปิดวงจรที่  $S_1$ : พิจารณาปุ่มที่ 5.41 พบว่าแรงดัน  $V_{C1}$ ,  $V_{C2}$  และ  $V_{C3}$  ลดลงอย่างเห็นได้ชัด ส่วนกระแส  $i_{L1}$ ,  $i_{L2}$  และ  $i_{L3}$  ลดลงอย่างรวดเร็วจนถึง 0A ในการตรวจจับความผิดพร่องแบบสวิตซ์เปิดวงจรที่  $S_1$  ได้อาศัย  $i_{L1}$  และ  $m_{iL1}$  เมื่อพิจารณาภาพขยายจะเห็นได้ว่า  $i_{L1}$  มีขนาดลดลงจากสภาวะอยู่ตัวที่ค่าประมาณ 5A ลดลงจนถึง 0A และ  $m_{iL1}$  มีค่าติดลบจากการที่กระแสลดลงอย่างรวดเร็ว ซึ่งมีค่าประมาณ  $-2300A/s$  ซึ่งผลตอบสนองดังกล่าวตกอยู่ในกฎพื้นที่ 1 และ 4 ดังที่กล่าวไว้ดังตารางที่ 5.2 ทำให้สามารถตรวจจับความผิดพร่องที่เกิดขึ้นโดยใช้เวลา 0.03ms

การตรวจจับความผิดพร่องแบบสวิตซ์เปิดวงจรที่  $S_2$ : จากรูปที่ 5.47 พบว่าแรงดัน  $V_O$  ยังคงค่าตาม  $V_{ref}$  ที่ 400V โดยตัวควบคุมพื้นที่ เมื่อพิจารณา  $m_{iL1}$  พบว่าเกิดการสั่นไหวที่มีค่าการเปลี่ยนแปลงมากกว่าในสภาวะปกติอย่างเห็นได้ชัด ซึ่งผลตอบสนองดังกล่าวตกอยู่ในกฎพื้นที่ 7 และ 9 ให้ค่าเออาร์พุตเป็น Positive ของการตรวจจับความผิดพร่องที่  $S_2$  ดังที่กล่าวไว้ดังตารางที่ 5.3 ทำให้สามารถตรวจจับความผิดพร่องที่เกิดขึ้นโดยใช้เวลา 0.0054s หรือ 5.4ms

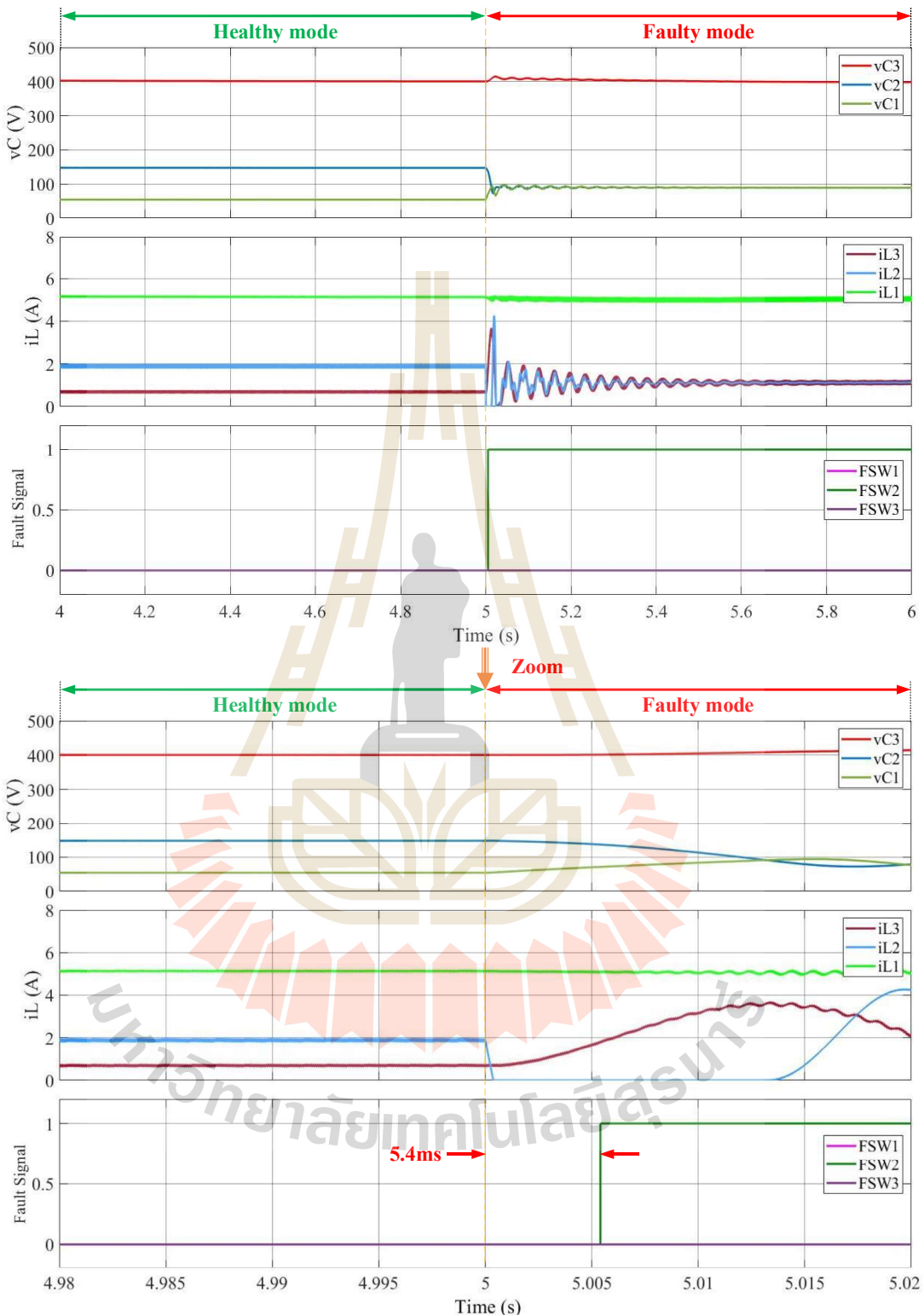
การตรวจจับความผิดพร่องแบบสวิตซ์เปิดวงจรที่  $S_3$ : พิจารณาปุ่มที่ 5.41 จะเห็นว่าแรงดัน  $V_{C3}$  มีค่าลดลงจากการคายประจุให้กับ  $R$  ส่งผลให้ค่าอนุพันธ์อันดับหนึ่งของ  $V_{C3}$  และค่าอนุพันธ์อันดับสองของ  $V_{C3}$  มีผลตอบสนองสอดคล้องกับกฎพื้นที่ 5 ให้ค่าเออาร์พุตเป็นบวก ดังที่แสดงไว้ดังตารางที่ 5.4 ทำให้สามารถตรวจจับความผิดพร่องที่เกิดขึ้นโดยใช้เวลา 1ms



รูปที่ 5.41 การจำลองสถานการณ์การตรวจจับความผิดพร่องแบบเปิดที่  $S_1$



รูปที่ 5.42 การจำลองสถานการณ์การตรวจจับความผิดพร่องแบบเปิดที่  $S_2$



รูปที่ 5.43 การจำลองสถานการณ์การตรวจจับความผิดพร่องแบบเปิดที่  $S_3$

### 5.4.2 การจำลองสถานการณ์การตรวจจับความผิดพร่องแบบสวิตช์เปิดวงจรภายใต้การเปลี่ยนแปลงจุดการทำงานของวงจร

เพื่อยืนยันประสิทธิผลของวิธีการตรวจจับความผิดพร่องแบบสวิตช์เปิดวงจรที่พัฒนาขึ้นว่าสามารถตรวจจับความผิดพร่องได้อย่างถูกต้องภายใต้สภาวะการทำงานของวงจรที่เปลี่ยนแปลง จะแบ่งออกเป็น 5 กรณี การเพิ่มขึ้นของแรงดันอินพุต การลดลงของแรงดันอินพุต การลดลงของแรงดันอ้างอิง การเพิ่มขึ้นของโหลดตัวต้านทาน และการลดลงของโหลดตัวต้านทาน

กรณีที่ 1 การจำลองสถานการณ์เมื่อมีการเปลี่ยนแปลง  $V_{in}$  เพิ่มขึ้นจาก 20V เป็น 25V ณ วินาทีที่ 5 โดยที่คงค่า  $V_{ref}$  และ  $R$  ไว้ที่ 400V และ 1600Ω ตามลำดับ จากรูปที่ 5.44 พบร่วมกัน อย่างไรก็ตาม การทำงานปกติจะมีการเพิ่มขึ้นของ  $V_{in}$  ส่งผลให้แรงดัน  $v_{C1}$ ,  $v_{C2}$  และ  $v_{C3}$  การฟุ้งเกิน อย่างไรก็ตาม ตัวควบคุมฟซซีที่พัฒนาขึ้นสามารถรักษาระดับ  $V_O$  ให้มีค่าลดลงเข้าหา  $V_{ref}$  ที่ 400V ส่วน  $i_{L1}$  และ  $i_{L2}$  มีค่าลดลง เพื่อรักษากำลังไฟฟ้าอินพุตเท่ากับกำลังไฟฟ้าเอาต์พุตไว้ที่ 100W โดยใช้เวลาในการเข้าสู่สภาวะอยู่ตัวประมาณ 2.3s หลังจากนั้นที่วินาทีที่ 10 ซึ่งแบ่งออกเป็น 3 สถานการณ์ของการเกิดความผิดพร่องที่  $S_1$ ,  $S_2$  และ  $S_3$  ดังที่แสดงดังรูปที่ 5.44 (ก), (ข) และ (ค) เมื่อพิจารณาภาพขยายจะเห็นได้ว่าผลตอบสนองความผิดพร่องแบบสวิตช์เปิดวงจรที่เกิดขึ้น ส่งผลให้ตัวตรวจจับความผิดพร่องสามารถตรวจจับความผิดพร่องที่  $S_1$ ,  $S_2$  และ  $S_3$  โดยใช้เวลา 0.024ms, 9.239ms และ 0.978ms ตามลำดับ และในที่สุดให้เห็นว่าวิธีการตรวจจับความผิดพร่องที่พัฒนาขึ้นสามารถตรวจจับได้อย่างถูกต้องและรวดเร็ว อีกทั้งยังไม่มีการตรวจจับความผิดพร่องที่ผิดพลาดในช่วงที่การเปลี่ยนแปลงของ  $V_{in}$  ที่เพิ่มขึ้น

กรณีที่ 2 การจำลองสถานการณ์เมื่อมีการเปลี่ยนแปลง  $V_{in}$  ลดลงจาก 20V เป็น 15V ณ วินาทีที่ 5 โดยที่คงค่า  $V_{ref}$  และ  $R$  ไว้ที่ 400V และ 1600Ω ตามลำดับ จากรูปที่ 5.45 พบร่วมกัน อย่างไรก็ตาม การทำงานปกติจะมีการลดลงของ  $V_{in}$  ส่งผลให้แรงดัน  $v_{C1}$ ,  $v_{C2}$  และ  $v_{C3}$  เกิดการลดลง อย่างไรก็ตาม ตัวควบคุมฟซซีที่พัฒนาขึ้นสามารถรักษาระดับ  $V_O$  ให้มีค่าเพิ่มขึ้นเข้าหา  $V_{ref}$  ที่ 400V ส่วน  $i_{L1}$  และ  $i_{L2}$  มีค่าเพิ่มขึ้น โดยใช้เวลาในการเข้าสู่สภาวะอยู่ตัวประมาณ 3s หลังจากนั้นที่วินาทีที่ 10 ซึ่งแบ่งออกเป็น 3 สถานการณ์ของการเกิดความผิดพร่องที่  $S_1$ ,  $S_2$  และ  $S_3$  เมื่อพิจารณาภาพขยายจะเห็นได้ว่าผลตอบสนองความผิดพร่องแบบสวิตช์เปิดวงจรที่เกิดขึ้น ส่งผลให้ตัวตรวจจับความผิดพร่องสามารถตรวจจับความผิดพร่องที่พัฒนาขึ้นสามารถตรวจจับได้อย่างถูกต้องและรวดเร็ว อีกทั้งยังไม่มีการตรวจจับความผิดพร่องที่ผิดพลาดในช่วงที่การเปลี่ยนแปลงของ  $V_{in}$  ที่ลดลง

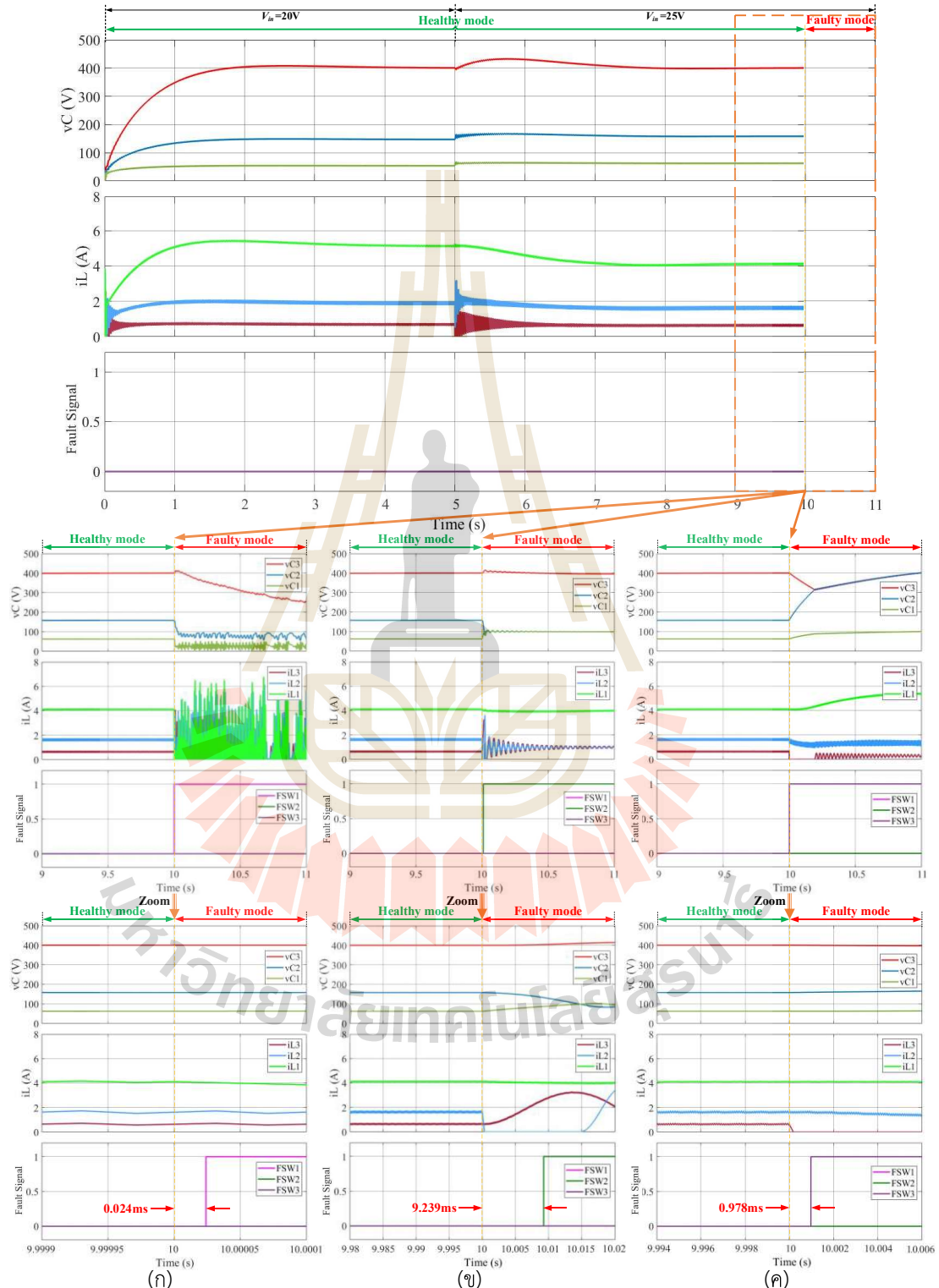
กรณีที่ 3 การจำลองสถานการณ์เมื่อมีการเปลี่ยนแปลง  $V_{ref}$  ลดลงจาก 400V เป็น 200V ณ วินาทีที่ 5 โดยที่คงค่า  $V_{in}$  และ  $R$  ไว้ที่ 20V และ 1600Ω ตามลำดับ หลังจากนั้นที่วินาทีที่ 10

เกิดความผิดพร่องแบบสวิตซ์เปิดวงจรที่  $S_1$ ,  $S_2$  และ  $S_3$  จากรูปที่ 5.46 พบว่าในสภาวะการทำงานปกติ  $V_{C1}$ ,  $V_{C2}$  และ  $V_{C3}$  ส่วน  $i_{L1}$ ,  $i_{L2}$  และ  $i_{L3}$  มีผลที่ลดลง และสอดคล้องไปในทิศทางเดียวกัน ตัวควบคุมฟซชีที่พัฒนาขึ้นสามารถรักษาระดับ  $V_O$  ให้ได้ตามต้องการที่ลดลงจาก 400V เป็น 200V โดยใช้เวลาในการเข้าสู่สภาวะอยู่ตัวประมาณ 3.5s หลังจากนั้นที่วินาทีที่ 10 ซึ่งแบ่งออกเป็น 3 สถานการณ์ของการเกิดความผิดพร่องที่  $S_1$ ,  $S_2$  และ  $S_3$  เมื่อพิจารณาภาพขยายจะเห็นได้ว่าผลตอบสนองความผิดพร่องแบบสวิตซ์เปิดวงจรที่เกิดขึ้น ส่งผลให้ตัวตรวจจับความผิดพร่องสามารถตรวจจับความผิดพร่องได้โดยใช้เวลา 0.083ms, 14.995ms และ 2.651ms ตามลำดับ แสดงให้เห็นว่าวิธีการตรวจจับความผิดพร่องที่พัฒนาขึ้นสามารถตรวจจับได้อย่างถูกต้องและรวดเร็ว อีกทั้งยังไม่มีการตรวจจับความผิดพร่องที่ผิดพลาดในช่วงที่การเปลี่ยนแปลงของ  $V_{ref}$  ลดลง

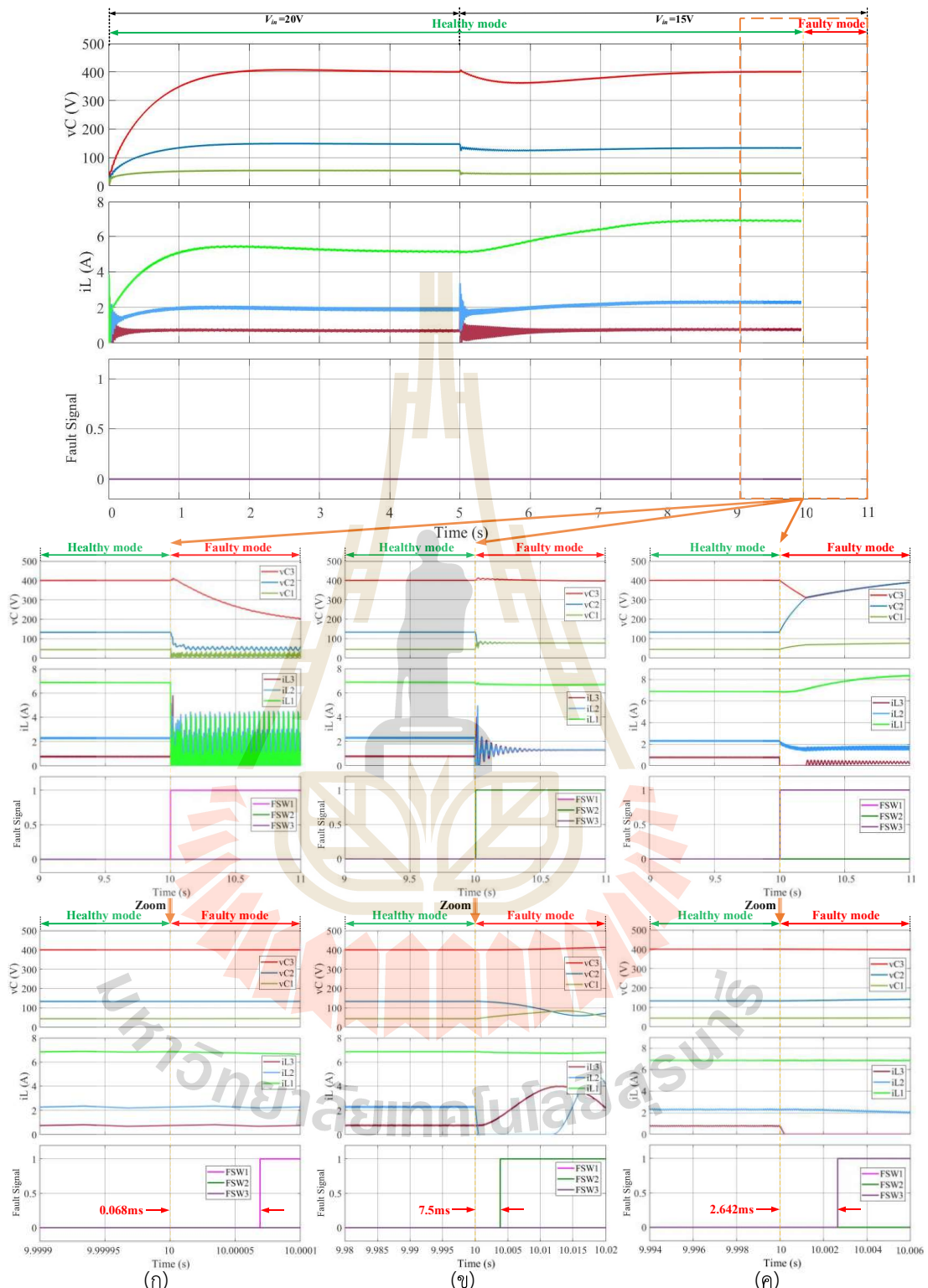
กรณีที่ 4 การจำลองสถานการณ์เมื่อมีการเปลี่ยนแปลง  $R$  เพิ่มขึ้นจาก 1600Ω เป็น 2400Ω ณ วินาทีที่ 5 โดยที่คงค่า  $V_{in}$  และ  $V_{ref}$  ไว้ที่ 20V และ 400V ตามลำดับ จากรูปที่ 5.47 พบว่าในสภาวะการทำงานปกติขณะที่มีการเพิ่มขึ้นของ  $R$  ส่งผลให้แรงดัน  $V_{C1}$ ,  $V_{C2}$  และ  $V_{C3}$  เกิดการผุ่งเกิน จากการเปลี่ยนแปลงกำลังไฟฟ้าที่ลดลงจาก 100W เป็น 66.67W อย่างไรก็ตามตัวควบคุมฟซชีที่พัฒนาขึ้นสามารถรักษาระดับ  $V_O$  ให้มีค่าตาม  $V_{ref}$  ที่ 400V โดยการปรับกระแส  $i_{L1}$ ,  $i_{L2}$  และ  $i_{L3}$  ลดลง ซึ่งใช้เวลาในการเข้าสู่สภาวะอยู่ตัวประมาณ 3s หลังจากนั้นที่วินาทีที่ 10 ซึ่งแบ่งออกเป็น 3 สถานการณ์ของการเกิดความผิดพร่องที่  $S_1$ ,  $S_2$  และ  $S_3$  ดังที่แสดงดังรูปที่ 5.47 (ก), (ข) และ (ค) เมื่อพิจารณาภาพขยายจะเห็นได้ว่าผลตอบสนองความผิดพร่องได้โดยใช้เวลา 0.031ms, 7.5ms และ 1.696ms ตามลำดับ แสดงให้เห็นว่าวิธีการตรวจจับความผิดพร่องที่พัฒนาขึ้นสามารถตรวจจับได้อย่างถูกต้องและรวดเร็ว อีกทั้งยังไม่มีการตรวจจับความผิดพร่องที่ผิดพลาดในช่วงที่การเปลี่ยนแปลงของ  $R$  ที่เพิ่มขึ้น

กรณีที่ 5 การจำลองสถานการณ์เมื่อมีการเปลี่ยนแปลง  $R$  ลดลงจาก 1600Ω เป็น 1200Ω ณ วินาทีที่ 5 โดยที่คงค่า  $V_{in}$  และ  $V_{ref}$  ไว้ที่ 20V และ 400V ตามลำดับจากรูปที่ 5.48 พบว่าในสภาวะการทำงานปกติขณะที่มีการลดลงของ  $R$  ส่งผลให้กำลังไฟฟ้าที่เพิ่มขึ้นจาก 100W เป็น 133.33W ทันที ในขณะเดียวกันแรงดัน  $V_{C1}$ ,  $V_{C2}$  และ  $V_{C3}$  เกิดการลดลง อย่างไรก็ตามตัวควบคุมฟซชีที่พัฒนาขึ้นสามารถรักษาระดับ  $V_O$  ให้มีค่าตาม  $V_{ref}$  ที่ 400V โดยการปรับค่า  $i_{L1}$ ,  $i_{L2}$  และ  $i_{L3}$  เพิ่มขึ้น ซึ่งใช้เวลาในการเข้าสู่สภาวะอยู่ตัวประมาณ 3s หลังจากนั้นที่วินาทีที่ 10 ซึ่งแบ่งออกเป็น 3 สถานการณ์ของการเกิดความผิดพร่องที่  $S_1$ ,  $S_2$  และ  $S_3$  เมื่อพิจารณาภาพขยายจะเห็นได้ว่าผลตอบสนองความผิดพร่องได้โดยใช้เวลา 0.03ms, 4.559ms และ 1.043ms ตามลำดับ แสดงให้เห็นว่าวิธีการตรวจจับความผิดพร่องที่พัฒนาขึ้น

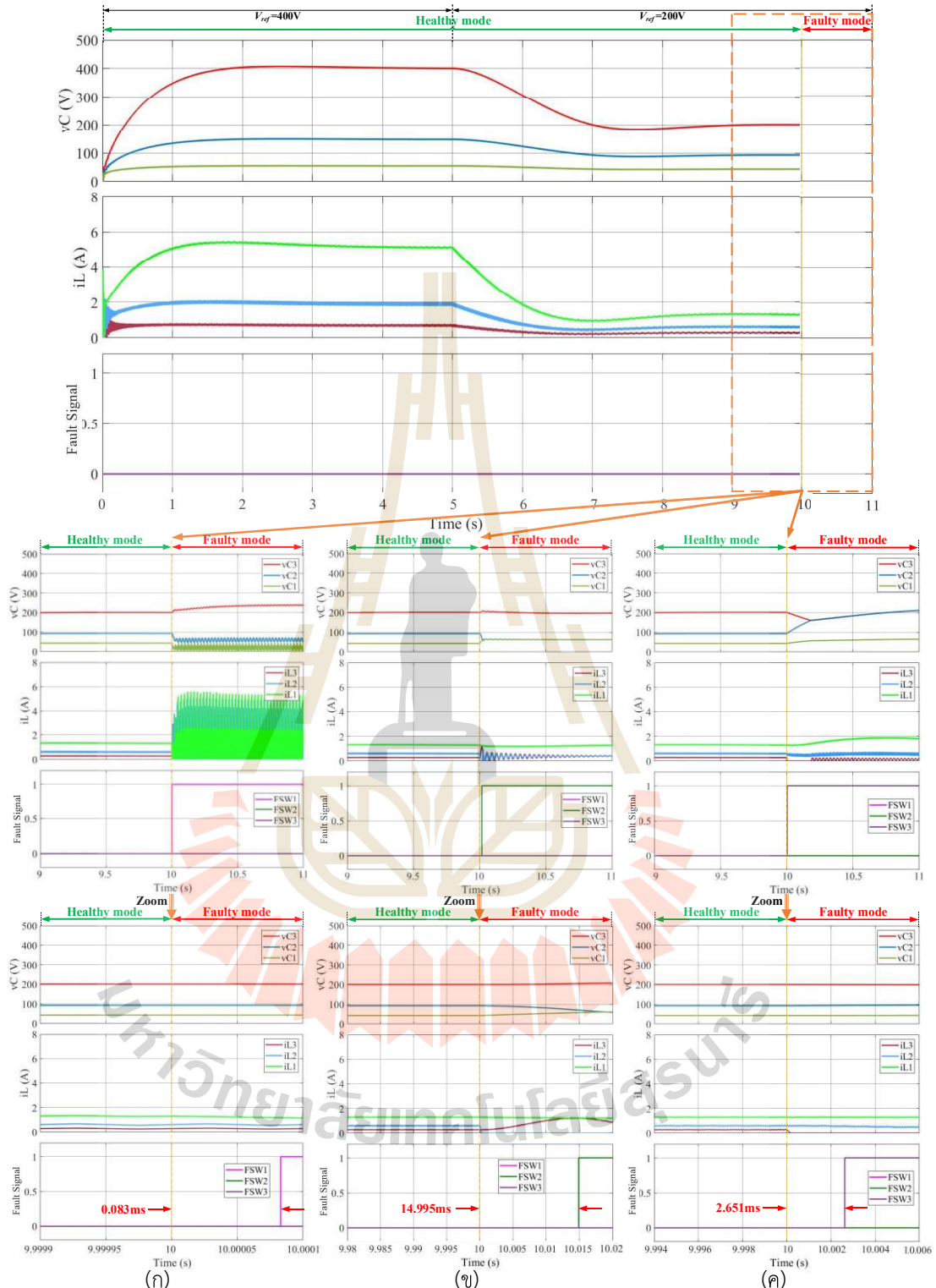
สามารถตรวจจับได้อย่างถูกต้องและรวดเร็ว อีกทั้งยังไม่มีการตรวจจับความผิดพร่องที่ผิดพลาดในช่วงที่การเปลี่ยนแปลงของ  $R$  ที่ลดลง



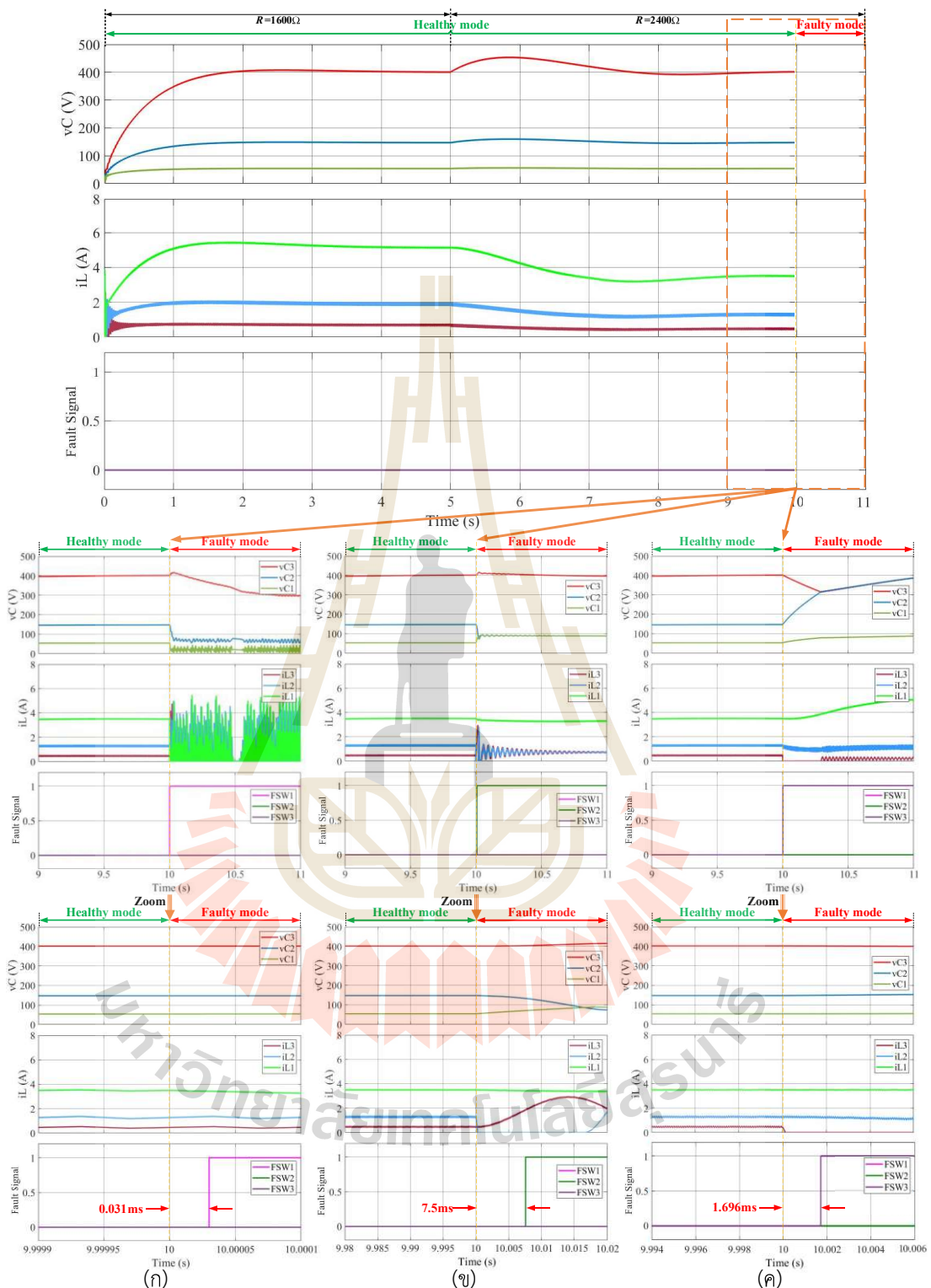
รูปที่ 5.44 ผลการตรวจจับความผิดพร่องแบบสิ่งจราจายใต้การเพิ่มขึ้นของแรงดันอินพุต



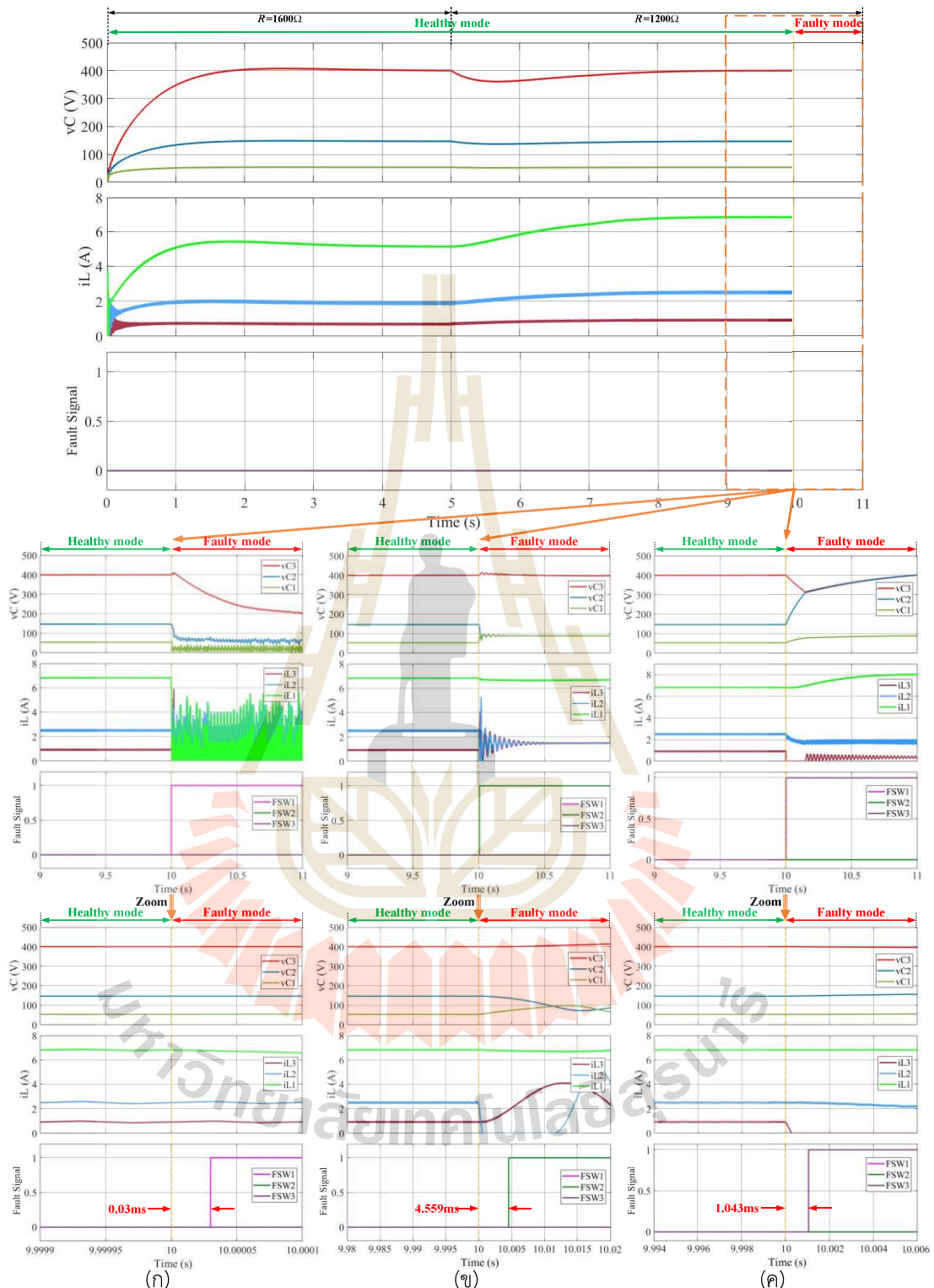
รูปที่ 5.45 ผลการตรวจจับความผิดพร่องแบบสวิตช์เปิดวงจรภายใต้การลดลงของแรงดันอินพุต



รูปที่ 5.46 ผลการตรวจจับความผิดพร่องแบบสวิตช์เปิดวงจรภายใต้การลดลงของแรงดันอ้างอิง



รูปที่ 5.47 ผลการตรวจจับความผิดพร่องแบบสวิตช์เปิดวงจรภายในตัวการเพิ่มขึ้นของโหลดตัวต้านทาน



รูปที่ 5.48 ผลการตรวจจับความผิดพร่องแบบสวิตช์เปิดวงจรภายใต้การลดลงของโหลดตัวต้านทาน

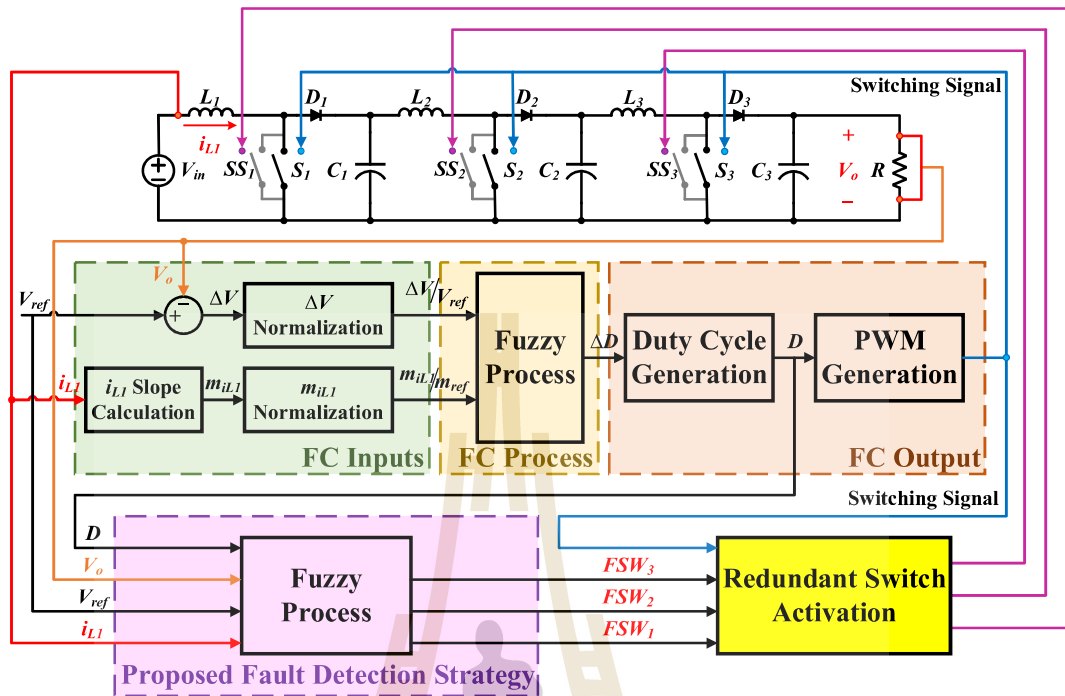
จากการจำลองสถานการณ์การตรวจจับความผิดพร่องแบบสวิตช์เปิดวงจรที่พัฒนาขึ้นสำหรับวงจรแปลงผันกำลังไฟฟ้าแบบบุสต์เรียงต่อกันสามชั้นภายใต้การเปลี่ยนแปลงจุดการทำงานของวงจร จะเห็นได้ว่าตัวตรวจจับความผิดพร่องสามารถตรวจจับ และสามารถระบุตำแหน่งที่เกิดความผิดพร่องได้อย่างรวดเร็วและถูกต้อง อีกทั้งยังไม่มีความผิดพลาด ในขณะที่มีการเปลี่ยนแปลงจุดการทำงาน โดยผลการตรวจจับความผิดพร่องแบบสวิตช์เปิดวงจรที่พัฒนาขึ้นสามารถสรุปได้ดังตารางที่ 5.6

ตารางที่ 5.6 ผลการตรวจจับความผิดพร่องแบบสวิตช์เปิดวงจรภายใต้การเปลี่ยนแปลงจุดการทำงาน

กรณี	การเปลี่ยนแปลงจุดการทำงาน	เวลาในการตรวจจับความผิดพร่อง (ms)		
		$S_1$	$S_2$	$S_3$
1	เพิ่ม $V_{in}$ จาก 20V เป็น 25V	0.024	9.239	0978
2	ลด $V_{in}$ จาก 20V เป็น 15V	0.068	7.5	2.642
3	ลด $V_{ref}$ จาก 400V เป็น 200V	0.083	14.995	2.651
4	เพิ่ม $R$ จาก 1600Ω เป็น 2400Ω	0.031	7.5	1.696
5	ลด $R$ จาก 1600Ω เป็น 1200Ω	0.03	4.559	1.043

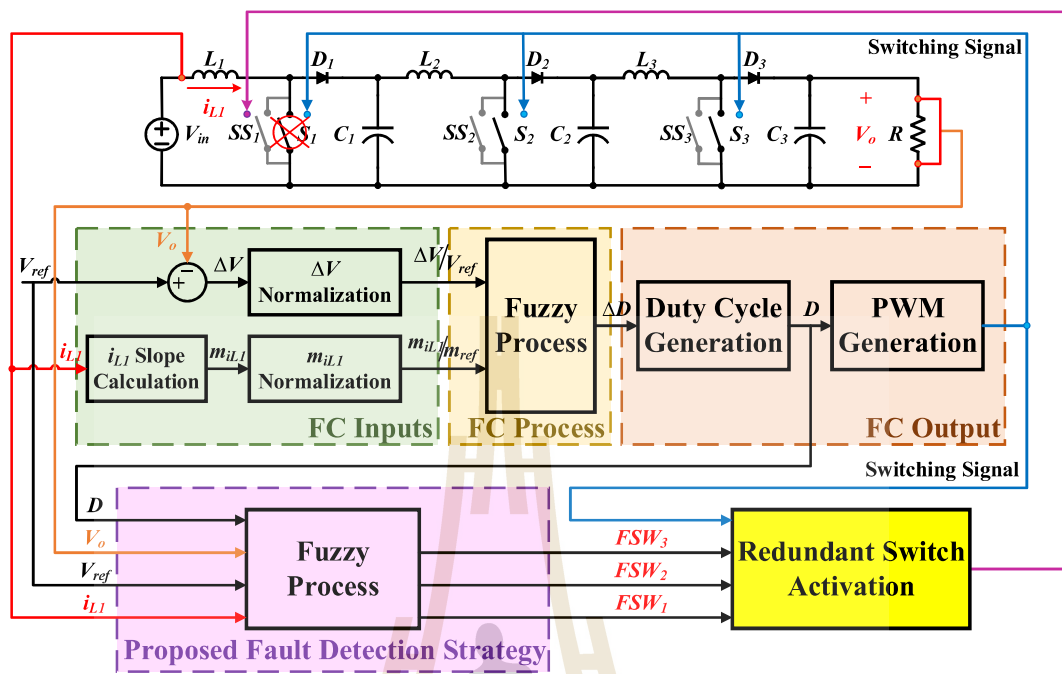
#### 5.4.3 การจำลองสถานการณ์การทำงานของวงจรภายใต้สภาวะความคงทนต่อความผิดพร่อง

ในหัวข้อนี้เป็นการจำลองสถานการณ์ของวงจรแปลงผันกำลังไฟฟ้าแบบบุสต์เรียงต่อกันสามชั้นภายใต้ตัวควบคุมพื้นที่ที่มีคงทนต่อความผิดพร่อง โดยพิจารณากรณีที่สวิตช์ตัวใดตัวหนึ่งเกิดความผิดพร่องเท่านั้นดังรูปที่ 5.49 เมื่อตรวจพบว่าสวิตช์ตัวใดเกิดความผิดพร่องจะสั่งให้สวิตช์ตัวสำรอง ( $SS_1, SS_2, SS_3$ ) ทำงานแทนทันที โดยอาศัยกระบวนการเปิดใช้งานสวิตช์สำรอง (Redundant switch activation) เพื่อให้วงจรสามารถทำงานต่อได้ด้วยสมรรถนะที่ดี ผลการจำลองสถานการณ์สามารถแบ่งออกเป็น 3 กรณี โดยพิจารณาผลของแรงดันต่ำกรรไกรомตัวเก็บประจุ กระแสที่ไหลผ่านตัวเหนี่ยวนำ และสถานะการตรวจจับความผิดพร่องทั้งสาม ทั้งสภาวะการทำงานปกติ (Healthy mode) สภาวะเกิดความผิดพร่อง (Faulty mode) และสภาวะความคงทนต่อความผิดพร่อง (Fault-tolerant mode) ดังนี้

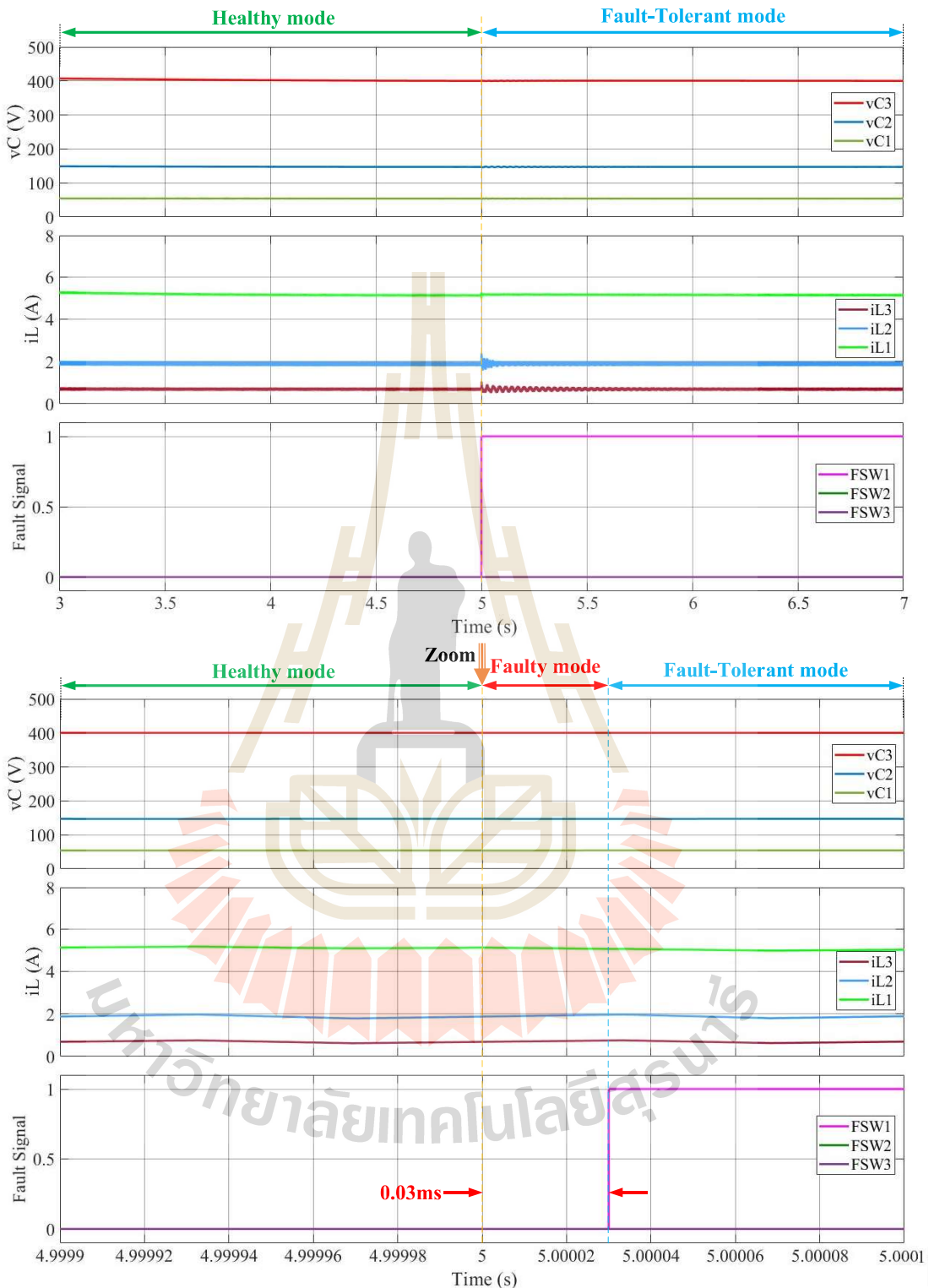


รูปที่ 5.49 โครงสร้างวงจรแปลงผันกำลังไฟฟ้าแบบบูสต์เรียงต่อกันสามขั้นที่มีความคงทนต่อความผิดพร่อง

กรณีที่ 1 การจำลองสถานการณ์ที่มีค่าคงทันต่อความผิดพร่องแบบสวิตช์เปิดวงจรที่  $S_1$  ซึ่งมีโครงสร้างวงจรสำหรับการจำลองสถานการณ์แสดงรูปที่ 5.50 เมื่อเกิดความผิดพร่องแบบสวิตช์เปิดวงจร ผลการจำลองสถานการณ์แสดงได้ดังรูปที่ 5.51 จากผลการจำลองสถานการณ์จะเห็นได้ว่าในเวลาช่วงเริ่มต้นถึงวินาทีที่ 5 วงจรแปลงผันกำลังไฟฟ้าแบบบูสต์เรียงต่อกันสามขั้นทำงานเป็นปกติ วงจรสามารถเพิ่มระดับ  $V_{in}$  ที่มีแรงตันต่ำประมาณ 20V ให้มี  $V_o$  สูงถึงประมาณ 400V ต่อมาที่เวลาวินาทีที่ 5 เกิดความผิดพร่องแบบสวิตช์เปิดวงจรขึ้นที่  $S_1$  ส่งผลให้สามารถตรวจพบความผิดพร่องได้จากผลตอบสนองที่เกิดขึ้น ซึ่งแสดงได้จากสัญญาณ  $FSW_1$  มีค่าเปลี่ยนจาก 0 เป็น 1 โดยใช้เวลาในการตรวจจับความผิดพร่องประมาณ 0.03ms หลังจากตรวจพบความผิดพร่องระบบควบคุมจะทำการส่งสัญญาณควบคุมการทำงานของสวิตช์  $S_1$  เป็นให้สวิตช์สำรอง  $SS_1$  เพื่อให้สวิตช์สำรองทำงานแทน จะสังเกตเห็นได้ว่าหลังจาก  $SS_1$  ทำงานแทนที่  $S_1$  แล้ว วงจรยังคงสามารถรักษาระดับ  $V_o$  ให้มีค่าคงที่ได้ตามต้องการ เพื่อให้วงจรยังคงทำงานต่อไปได้อย่างมีประสิทธิผล

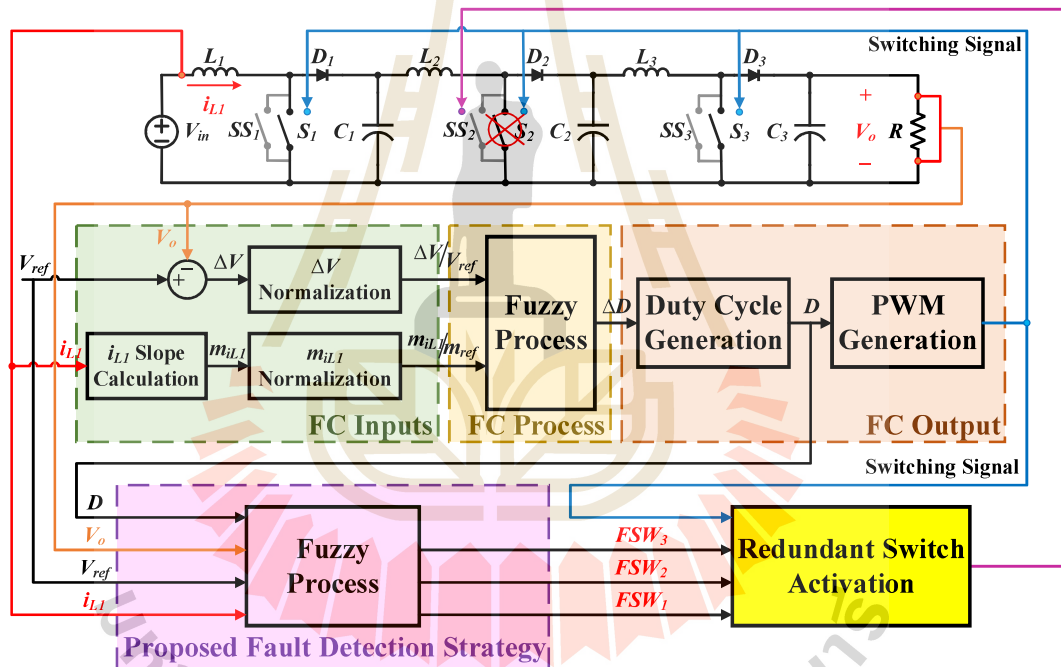


รูปที่ 5.50 วงจรแปลงผันกำลังไฟฟ้าแบบบูสต์เรียงต่อกันสามขั้นที่มีคงทนต่อความผิดพร่องที่  $S_1$

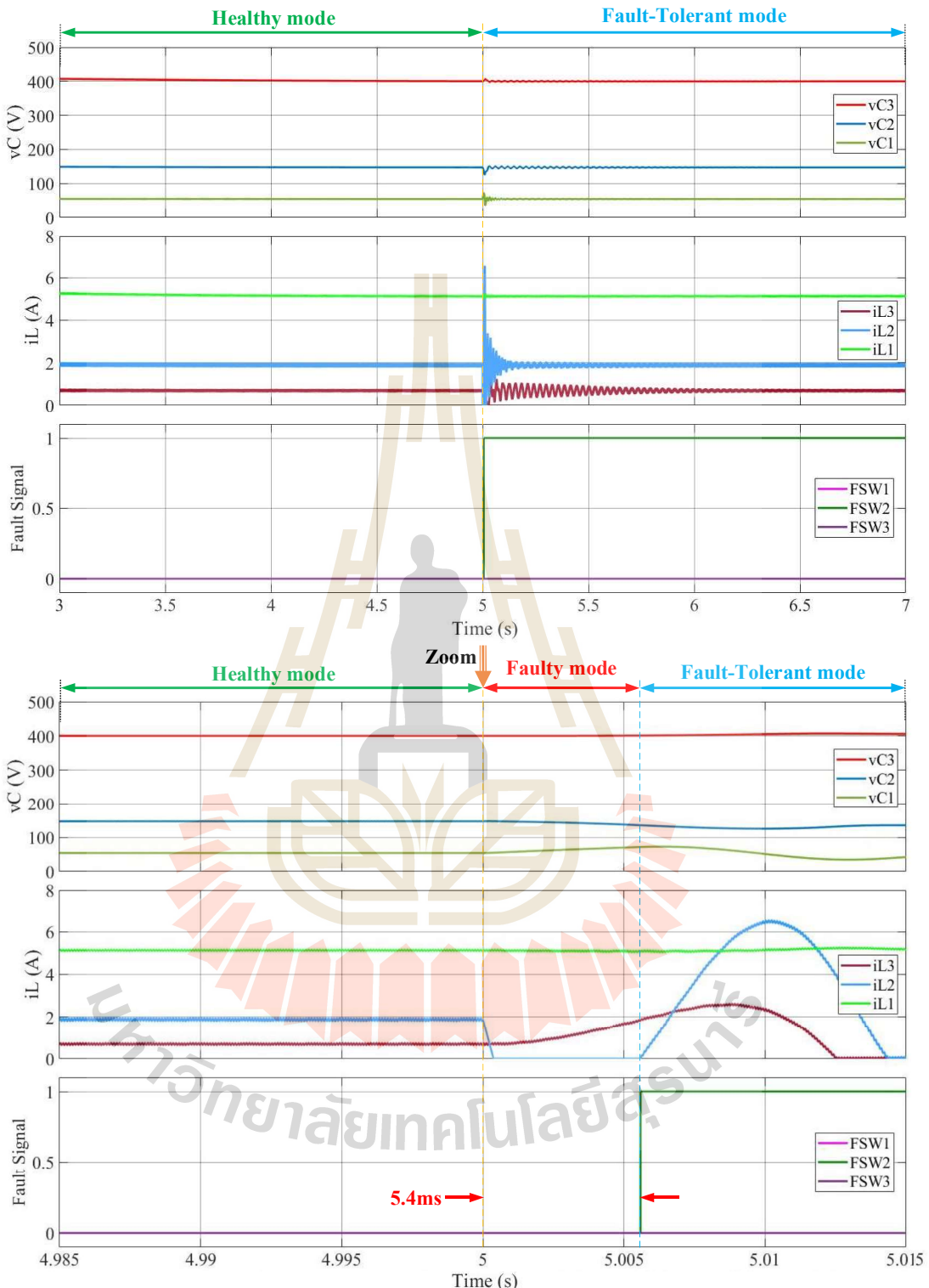


รูปที่ 5.51 ผลการจำลองกรณีเกิดความผิดพร่องที่  $S_1$  ในสถานะคงทันต่อความผิดพร่อง

กรณีที่ 2 การจำลองสถานการณ์ว่างจรที่มีคงทนต่อกำลังไฟฟ้าแบบสวิตช์เปิดวงจรที่  $S_2$  ซึ่งมีโครงสร้างวงจรสำหรับการจำลองสถานการณ์แสดงรูปที่ 5.52 เมื่อเกิดความผิดพร่องแบบสวิตช์เปิดวงจร มีผลการจำลองสถานการณ์แสดงได้ดังรูปที่ 5.53 จากผลการจำลองสถานการณ์จะเห็นที่เวลาวินาทีที่ 5 เกิดความผิดพร่องแบบสวิตช์เปิดวงจรขึ้นที่  $S_2$  ส่งผลให้สามารถตรวจพบความผิดพร่องได้จากผลตอบสนองที่เกิดขึ้น ซึ่งแสดงได้จากสัญญาณความผิดพร่องของสวิตช์  $FSW_2$  มีค่าเปลี่ยนจาก 0 เป็น 1 โดยใช้เวลาในการตรวจจับประมาณ 5.4ms หลังจากตรวจพบความผิดพร่องระบบควบคุมจะทำการส่งสัญญาณควบคุมการทำงานของ  $S_2$  ไปให้  $SS_2$  ทำงานแทน จะสังเกตเห็นได้ว่า当จะรับค่าที่  $V_o$  ให้มีค่าคงที่ได้ตามต้องการ เพื่อให้วงจรยังคงทำงานต่อไปได้อย่างมีประสิทธิผล อย่างไรก็ตาม  $i_{L2}$  และ  $i_{L3}$  เกิดการพุ่งเกิน หลังจากนั้นจะตรวจสอบความผิดพร่องให้มีค่าที่สอดคล้องกับค่า  $V_{ref}$  ที่ต้องการ

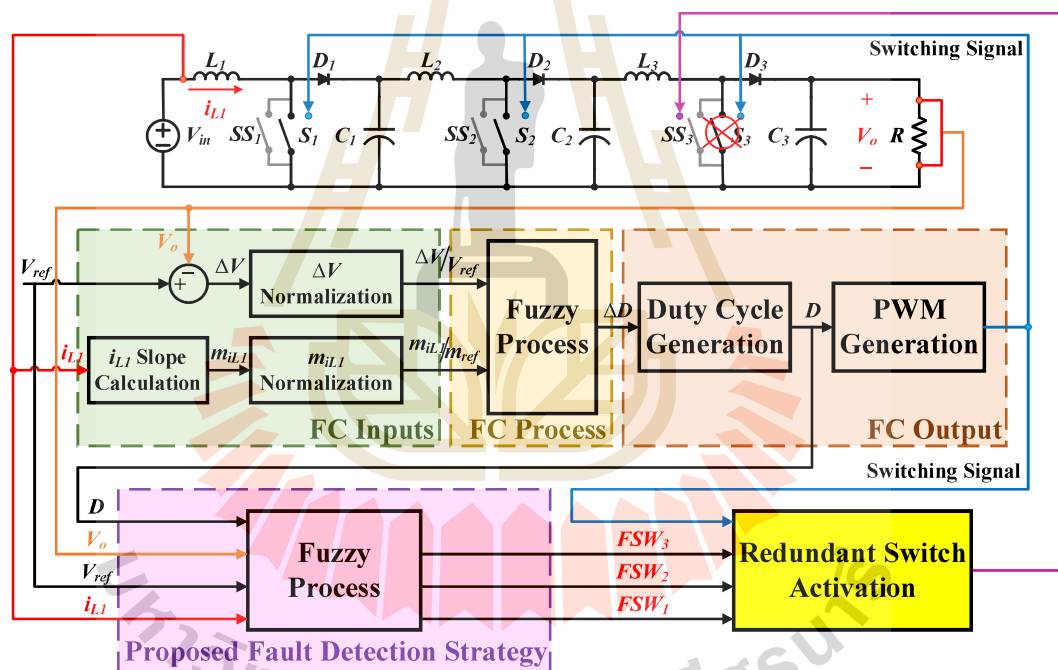


รูปที่ 5.52 วงจรแปลงผันกำลังไฟฟ้าแบบบูตเตอร์เรียงต่อกันสามขั้นที่มีคงทนต่อกำลังไฟฟ้าแบบสวิตช์เปิดวงจรที่  $S_2$

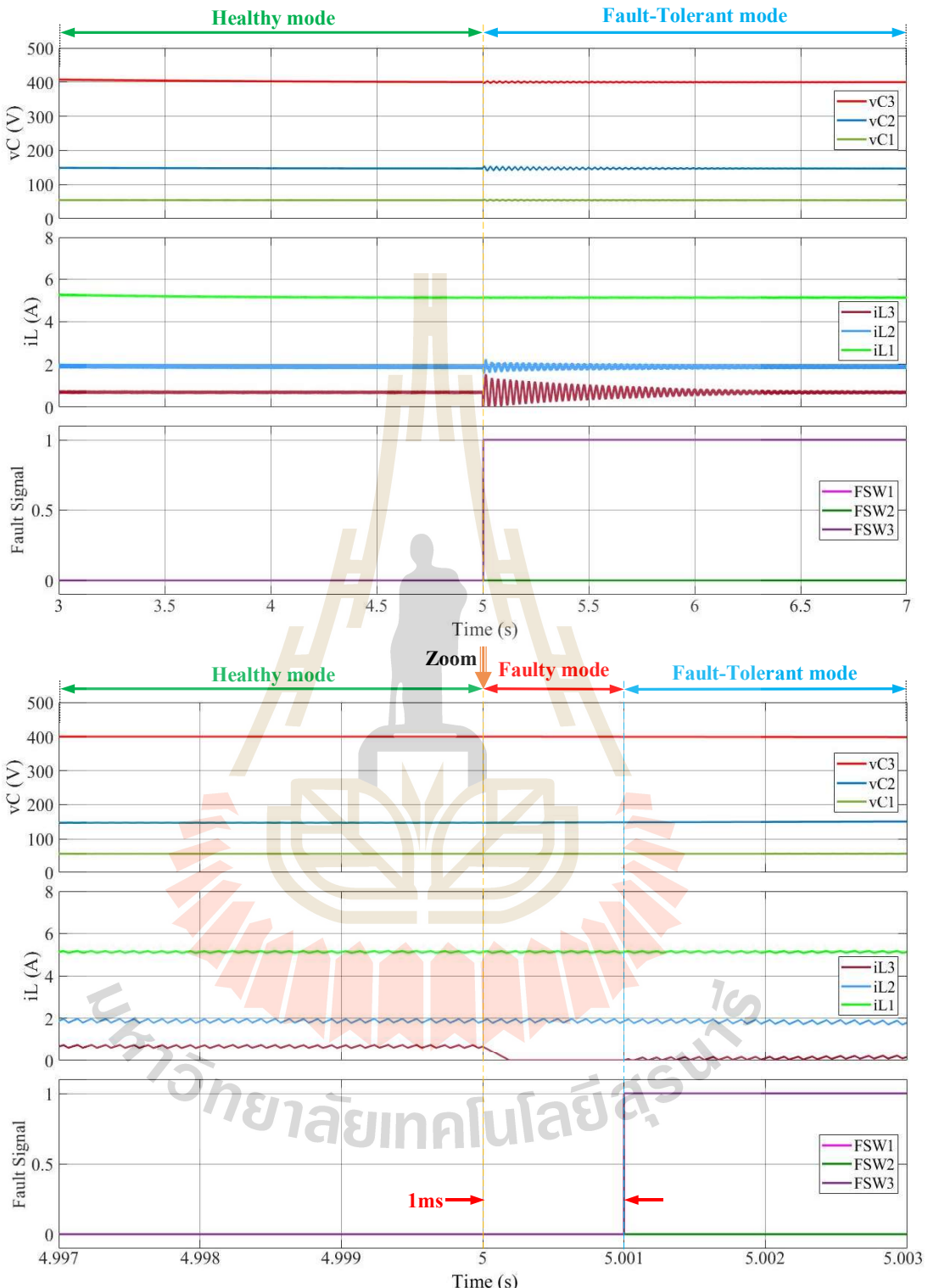


รูปที่ 5.53 ผลการจำลองกรณีเกิดความผิดพร่องที่  $S_2$  ในสภาวะคงทันต่อความผิดพร่อง

กรณีที่ 3 การจำลองสถานการณ์ว่างจรที่มีคงทนต่อความผิดพร่องแบบสวิตช์เปิดวงจรที่  $S_3$  ซึ่งมีโครงสร้างวงจรสำหรับการจำลองสถานการณ์แสดงรูปที่ 5.54 มีผลการจำลองสถานการณ์แสดงได้ดังรูปที่ 5.55 จากผลการจำลองสถานการณ์จะเห็นได้ว่าที่เวลาวินาทีที่ 5 เกิดความผิดพร่องแบบสวิตช์เปิดวงจรขึ้นที่สวิตช์  $S_3$  สามารถตรวจพบความผิดพร่องได้จากผลตอบสนองที่เกิดขึ้น ซึ่งแสดงได้จากสัญญาณความผิดพร่องของสวิตช์  $FSW_3$  มีค่าเปลี่ยนจาก 0 เป็น 1 โดยใช้เวลาในการตรวจจับประมาณ 1ms หลังจากตรวจพบความผิดพร่องระบบควบคุมจะทำการส่งสัญญาณควบคุมการทำงานของสวิตช์  $S_3$  ไปให้สวิตช์สำรอง  $SS_3$  ทำงานแทน จะสังเกตเห็นได้ว่าจะรยังคงสามารถรักษาระดับ  $V_o$  ให้มีค่าคงที่ได้ตามต้องการ เพื่อให้วางรยังคงทำงานต่อไปได้อย่างมีประสิทธิผลอย่างไรก็ตามค่ากระแส  $i_{L2}$  และ  $i_{L3}$  เกิดการสั่นไหว หลังจากนั้นระบบจะกลับคุมให้มีค่าที่สอดคล้องกับตามค่า  $V_{ref}$  ที่ต้องการ



รูปที่ 5.54 วงจรแปลงผันกำลังไฟฟ้าแบบบูสต์เรียงต่อกันสามขั้นที่มีคงทนต่อความผิดพร่องที่  $S_3$



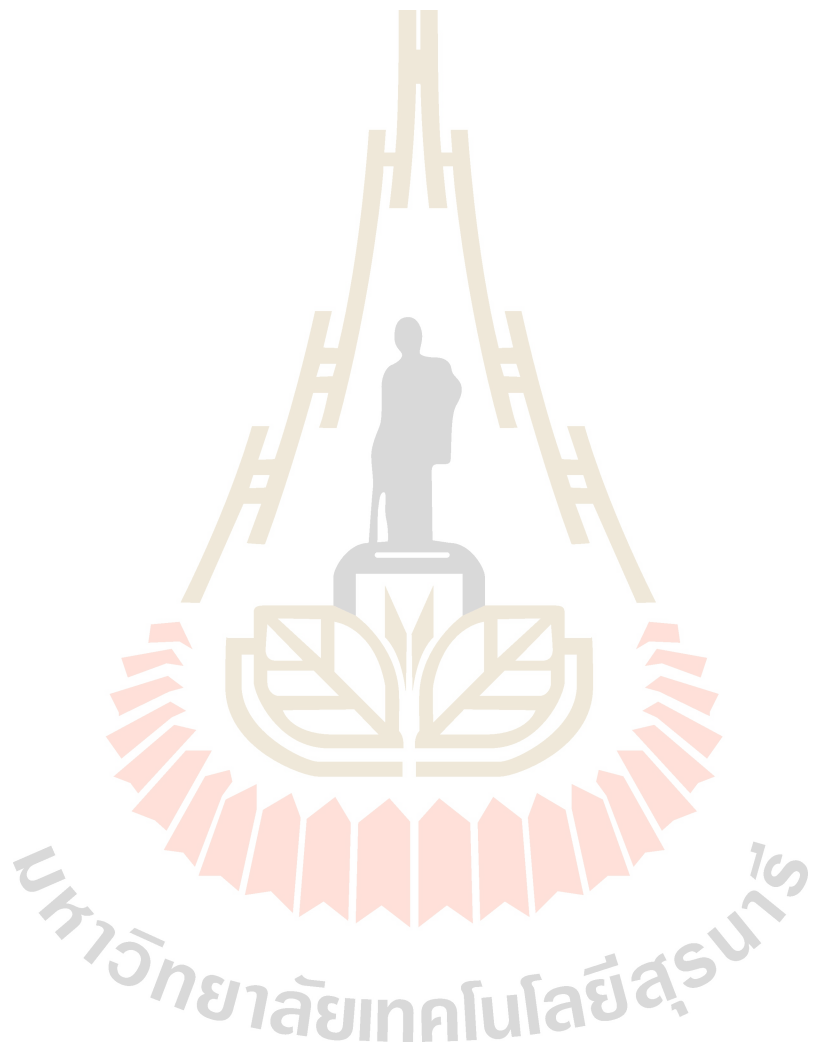
รูปที่ 5.55 ผลการจำลองกรณีเกิดความผิดพร่องที่  $S_3$  ในสภาวะคงทันต่อความผิดพร่อง

จากการจำลองสถานการณ์ทั้ง 3 กรณี แสดงให้เห็นว่า การสร้างความคงทนต่อความผิดพร่องที่พัฒนาขึ้นภายในวงจรแปลงผันกำลังไฟฟ้าแบบบูสต์เรียงต่อกันสามชั้นภายใต้ตัวควบคุมฟิซซี สามารถตรวจจับความผิดพร่องแบบสวิตช์เปิดวงจรที่สวิตช์  $S_1$ ,  $S_2$  และ  $S_3$  ในสภาพการทำงานปกติ จะเห็นได้ว่า วิธีการตรวจจับความผิดพร่องที่พัฒนาขึ้นสามารถตรวจจับความผิดพร่อง และสามารถระบุตำแหน่งที่เกิดความผิดพร่องได้อย่างรวดเร็วและถูกต้อง โดยเมื่อตรวจพบว่า สวิตช์ตัวใดเกิดความผิดพร่องจะสั่งให้สวิตช์ตัวสำรอง ( $SS_1$ ,  $SS_2$ ,  $SS_3$ ) ทำงานแทนทันที ทำให้วงจรยังคงสามารถทำงานต่อไปได้อย่างมีประสิทธิผล

## 5.5 สรุป

เนื้อหาในบทที่ 5 นี้กล่าวถึงการพัฒนาวงจรแปลงผันกำลังไฟฟ้าแบบบูสต์เรียงต่อกันสามชั้น ขณะที่มีตัวควบคุมฟิซซีที่พัฒนาขึ้น ให้มีความคงทนต่อความผิดพร่องแบบสวิตช์เปิดวงจร โดยเริ่มต้นจากการสังเกตพฤติกรรมของวงจรแปลงผันกำลังไฟฟ้าแบบบูสต์เรียงต่อกันสามชั้นขณะที่มีตัวควบคุมฟิซซีที่พัฒนาขึ้นทั้งในสภาพปกติ และสภาพเกิดความผิดพร่อง เพื่อนำมาสร้างเงื่อนไขในการตรวจจับความผิดพร่องของแต่ละสวิตช์ ในการสร้างความคงทนต่อความผิดพร่องแบบสวิตช์เปิดวงจรให้กับวงจรแปลงผันกำลังไฟฟ้าแบบบูสต์เรียงต่อกันสามชั้น เพื่อให้สามารถระบุตำแหน่งความผิดพร่องที่เกิดขึ้นในแต่ละสวิตช์ได้อย่างถูกต้องและรวดเร็ว ทำให้การกู้คืนการทำงานของวงจรจากความผิดพร่อง โดยนำกระบวนการฟิซซีมาใช้ในกระบวนการสร้างความคงทนต่อความผิดพร่อง เพื่อให้วงจรแปลงผันกำลังไฟฟ้าแบบบูสต์เรียงต่อกันสามชั้นสามารถทำงานต่อไปได้ เมื่อมีความผิดพร่องเกิดขึ้นที่สวิตช์กำลังของวงจร ในกระบวนการการตรวจจับความผิดพร่องจะอาศัยกระแสไฟฟ้าผ่านตัวเหนี่ยวนำตัวที่ 1 และแรงดันเอาร์พุต ที่ได้จากตัวตรวจจับกระแสและตัวตรวจจับแรงดันที่ใช้ในกระบวนการควบคุมฟิซซีที่พัฒนาขึ้น รวมถึงสัญญาณวัฏจักรหน้าที่ของสวิตช์ที่ได้จากควบคุมฟิซซีที่พัฒนาขึ้น ซึ่งให้ผลตอบสนองที่แตกต่างจากพฤติกรรมการทำงานของวงจรในสภาพการทำงานปกติอย่างชัดเจน เมื่อเกิดความผิดพร่องที่สวิตช์แต่ละตัว จากการจำลองสถานการณ์การตรวจจับความผิดพร่องแบบสวิตช์เปิดวงจรที่พัฒนาขึ้นสำหรับวงจรแปลงผันกำลังไฟฟ้าแบบบูสต์เรียงต่อกันสามชั้นภายใต้การเปลี่ยนแปลงจุดการทำงานของวงจร จะเห็นได้ว่า ตัวตรวจจับความผิดพร่องสามารถตรวจจับ และสามารถระบุตำแหน่งที่เกิดความผิดพร่องได้อย่างรวดเร็วและถูกต้อง อีกทั้งยังไม่มีความผิดพลาดในขณะที่มีการเปลี่ยนแปลงจุดการทำงาน และผลการจำลองสถานการณ์สุดท้ายเป็นการสร้างความ

คงทนต่อความผิดพลาด เพื่อให้วงจรยังคงสามารถทำงานต่อไปได้อย่างมีประสิทธิผลภายใต้ความผิดพลาดที่เกิดขึ้น



## บทที่ 6

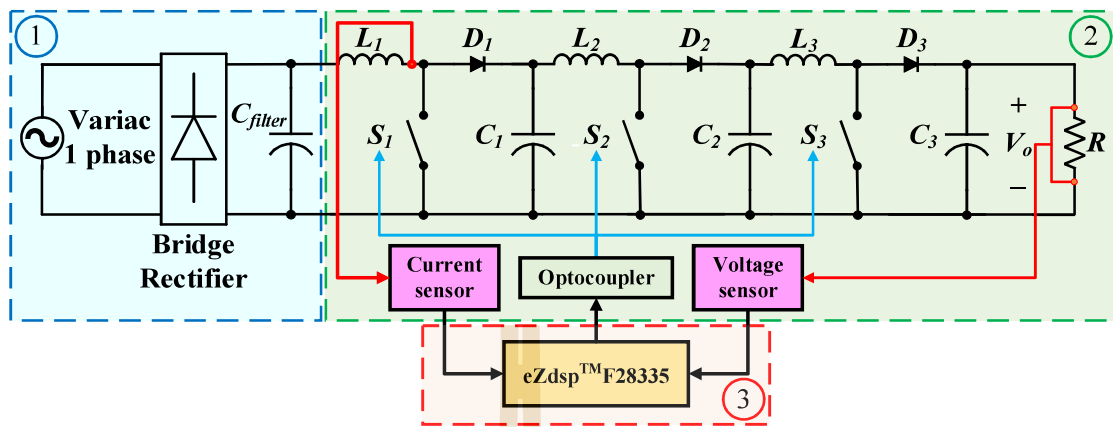
### การสร้างชุดทดสอบ

#### 6.1 บทนำ

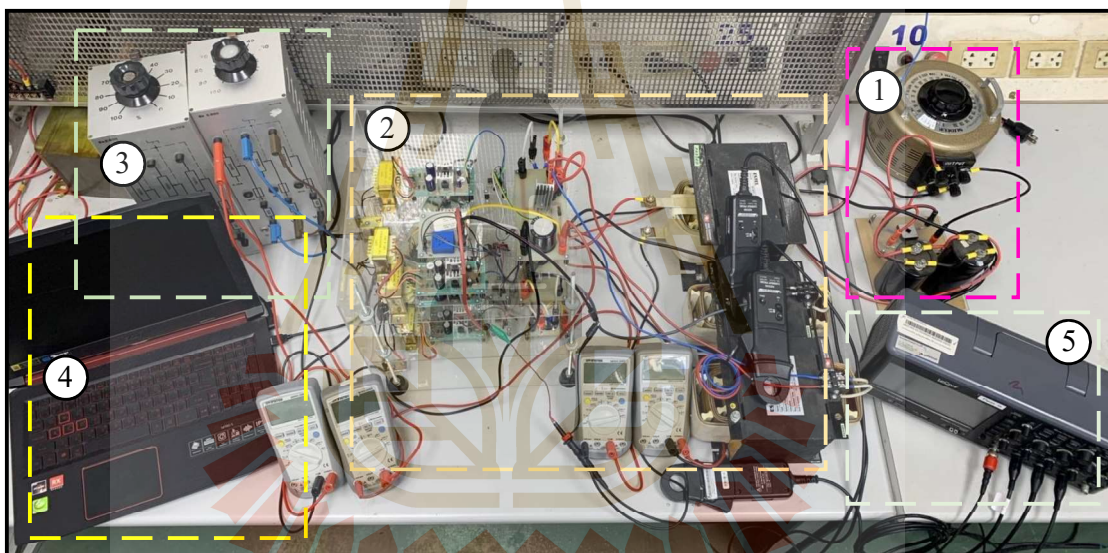
จากการออกแบบค่าพารามิเตอร์ขององค์ประกอบต่าง ๆ ภายในวงจรแปลงวงจรแปลงผันกำลังไฟฟ้าแบบบูสต์เรียงต่อกันสามขั้นดังแสดงในบทที่ 3 และการออกแบบตัวควบคุมฟซซีสำหรับวงจรแปลงผันกำลังไฟฟ้าแบบบูสต์เรียงต่อกันสามขั้นในบทที่ 4 รวมถึงการตรวจจับความผิดพร่องการระบุตำแหน่งความผิดพร่อง และการสร้างความคงทนต่อความผิดพร่องให้กับวงจรแปลงผันกำลังไฟฟ้าแบบบูสต์เรียงต่อกันสามขั้นดังแสดงในบทที่ 5 นำไปสู่การสร้างชุดทดสอบวงจรแปลงผันกำลังไฟฟ้าแบบบูสต์เรียงต่อกันสามขั้นสำหรับทดสอบการทำงานของวงจรในกรณีต่าง ๆ เพื่อยืนยันประสิทธิผล โดยการเปรียบเทียบกับผลการจำลองสถานการณ์ที่จะนำเสนอต่อไปในบทที่ 7 การสร้างชุดทดสอบประกอบด้วย การสร้างแหล่งจ่ายกำลังไฟฟ้ากระแสตรง วงจรแปลงผันกำลังไฟฟ้าแบบบูสต์เรียงต่อกันสามขั้นร่วมกับสวิตซ์สำรองที่ต่อขนาดกับสวิตซ์หลักสำหรับสร้างความคงทนต่อความผิดพร่อง วงจรตรวจจับสัญญาณกระแสที่แหล่งจ่ายไฟฟ้า วงจรตรวจจับสัญญาณแรงดันเออาร์พุต วงจรขยายแรงดันแบบแยกโดยเดสก์แลนด์ และการควบคุมแรงดันเออาร์พุตร่วมกับการสร้างความคงทนต่อความผิดพร่องด้วยบอร์ดไมโครคอนโทรเลอร์ DSP รุ่น eZdsp™F28335

#### 6.2 โครงสร้างของชุดทดสอบ

โครงสร้างชุดทดสอบของวงจรแปลงวงจรแปลงผันกำลังไฟฟ้าแบบบูสต์เรียงต่อกันสามขั้นแสดงดังรูปที่ 6.1 ซึ่งมีองค์ประกอบดังนี้ ส่วนแรกคือแหล่งจ่ายกำลังไฟฟ้ากระแสตรงที่อาศัยวงจรเรียงกระแสหนึ่งไฟสแบบบริดจ์ ส่วนที่ 2 คือวงจรแปลงวงจรแปลงผันกำลังไฟฟ้าแบบบูสต์เรียงต่อกันสามขั้น ร่วมกับวงจรขยายแรงดันแบบแยกโดยเดสก์แลนด์ ส่วนที่ 3 คือวงจรตรวจจับกระแสที่แหล่งจ่ายไฟฟ้า วงจรตรวจจับสัญญาณแรงดันเออาร์พุต และส่วนสุดท้ายเป็นบอร์ดไมโครคอนโทรเลอร์ DSP รุ่น eZdsp™F28335 โดยชุดทดสอบของวงจรแปลงวงจรแปลงผันกำลังไฟฟ้าแบบบูสต์เรียงต่อกันสามขั้นที่สร้างขึ้นในห้องปฏิบัติการแสดงดังรูปที่ 6.2



รูปที่ 6.1 โครงสร้างชุดทดสอบวงจรแปลงผันกำลังไฟฟ้าแบบบุสต์เรียงต่อกันสามขั้น

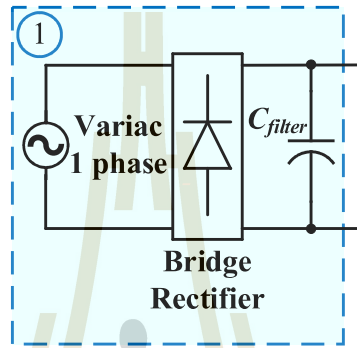


1. แหล่งจ่ายกำลังไฟฟ้ากระแสตรง
2. วงจรแปลงวงจรแปลงผันกำลังไฟฟ้าแบบบุสต์เรียงต่อกันสามขั้น วงจรขยายแรงดันแบบแยกตัวอิสระ วงจรตรวจจับกระแสที่โหลดผ่านตัวเหนี่ยวนำตัวแรก วงจรตรวจจับสัญญาณแรงดันเอาต์พุต และบอร์ดไมโครคอนโทรเลอร์ DSP รุ่น eZdsp™ F28335
3. โหลดตัวต้านทาน
4. คอมพิวเตอร์สำหรับทำงานร่วมกับบอร์ดไมโครคอนโทรเลอร์
5. ออสซิลโลสโคป

รูปที่ 6.2 ชุดทดสอบวงจรแปลงผันกำลังไฟฟ้าแบบบุสต์เรียงต่อกันสามขั้น

### 6.3 แหล่งจ่ายไฟกระแสตรง

โครงสร้างของแหล่งจ่ายไฟกระแสตรงแสดงดังรูปที่ 6.3 โดยแหล่งจ่ายไฟกระแสตรงที่มีแรงดันต่ำสร้างขึ้นจากหม้อแปลงปรับแรงดันไฟฟ้ากระแสสลับแบบหนึ่งเฟสที่มีพิกัดกระแสที่ 10A ต่อ กับวงจรเรียงกระแสแบบบริดจ์หนึ่งเฟสที่สามารถปรับแรงดันอินพุตได้ตามต้องการ หลังจากนั้นต่อเข้ากับตัวเก็บประจุ เพื่อลดการกระแสเพิ่มของแรงดันไฟฟ้า



รูปที่ 6.3 วงจรแหล่งจ่ายไฟฟ้ากระแสตรง

วงจรแหล่งจ่ายไฟฟ้ากระแสตรงสำหรับชุดทดสอบมีหม้อแปลงปรับแรงดันหนึ่งเฟส (Variac) เป็นส่วนประกอบโดยสามารถจ่ายแรงดันได้ในช่วง 0–250Vrms มีพิกัดกระแส 10A และแสดงดังรูปที่ 6.4



รูปที่ 6.4 หม้อแปลงปรับแรงดันหนึ่งเฟส

ในการแปลงแรงดันไฟฟ้ากระแสสลับที่ได้จากหม้อแปลงปรับแรงดันให้เป็นกระแสแบบเต็มคลื่น จะใช้มอดูลวงจรเรียงกระแสแบบบริดจ์หนึ่งเฟส GBPC35 โดยมีพิกัดแรงดันไฟฟ้าที่ 100V และพิกัดกระแสที่ 35A มอดูลวงจรเรียงกระแสแบบบริดจ์หนึ่งเฟส GBPC35 และแสดงดังรูปที่ 6.5



รูปที่ 6.5 มอดูลวงจรเรียงกระแสแบบบริดจ์หนึ่งเฟส GBPC35

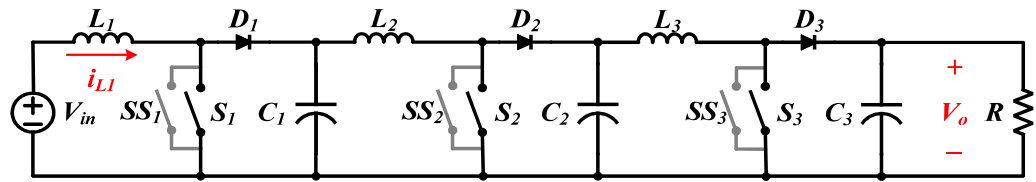
แรงดันกระแสตรงที่เป็นเอาร์พุตของวงจรเรียงกระแสแบบบริดจ์หนึ่งเฟสจะถูกกรองโดยตัวเก็บประจุแสดงดังรูปที่ 6.6 ที่ต่อขานาน เพื่อลดการกระแสเพิ่มแรงดัน ตัวเก็บประจุที่ใช้มีพิกัดแรงดันที่ 400V และมีขนาด 2200 $\mu$ F และ 3300 $\mu$ F ต่อขานานกันเป็นขนาด 5500 $\mu$ F



รูปที่ 6.6 ตัวเก็บประจุกรองแรงดันไฟฟ้ากระแสตรง

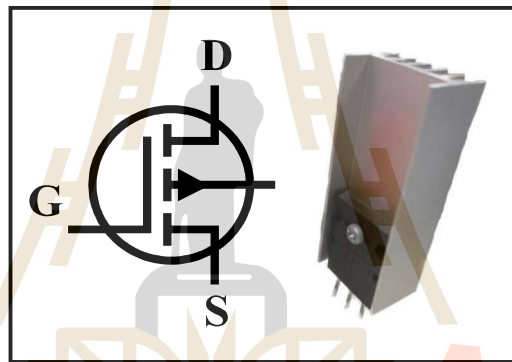
#### 6.4 วงจรแปลงผันกำลังไฟฟ้าแบบบูสต์เรียงต่อกันสามชั้น

องค์ประกอบสำคัญที่สุดของชุดทดลองคือวงจรแปลงผันกำลังไฟฟ้าแบบบูสต์เรียงต่อกันสามชั้นที่มีสวิตซ์สำรองต่อขานานกับสวิตซ์หลัก ซึ่งจะใช้ทดสอบสมรรถนะการทำงานในการทบทวน แรงดันจากแหล่งจ่ายแรงดันต่ำประมาณ 20V ให้มีแรงดันเอาร์พุตที่สูงถึง 400V และยังสามารถรักษาแรงดันให้คงที่ตามความต้องการภายใต้การเปลี่ยนแปลงจุดการทำงานที่อาศัยตัวควบคุมฟซซีที่พัฒนาขึ้น รวมถึงการตรวจจับความผิดพร่อง และการระบุตำแหน่งความผิดพร่องที่อาศัยกระบวนการทางฟซซี อีกด้วยมีการสร้างความคงทนต่อความผิดพร่องให้กับวงจร โดยวงจรแปลงผันกำลังไฟฟ้าแบบบูสต์เรียงต่อกันสามชั้นที่พิจารณาแสดงดังรูปที่ 6.7



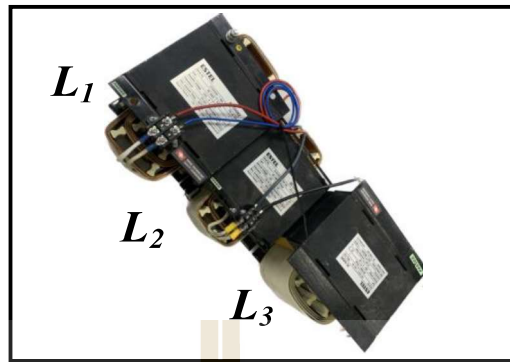
รูปที่ 6.7 วงจรแปลงผันกำลังไฟฟ้าแบบบูสต์เรียงต่อกันสามขั้นที่มีความคงทนต่อความผิดพร่อง

วงจรแปลงผันกำลังไฟฟ้าแบบบูสต์เรียงต่อกันสามขั้น ประกอบด้วยส่วนประกอบสำคัญคือ ทรานซิสเตอร์ชนิดหนึ่งที่เรียกว่ามอสเฟต โดยมอสเฟตตัวที่เลือกใช้คือ IXFK80N60P3 ซึ่งสามารถรับ แรงดันไฟฟ้าได้สูงถึง 600V และรองรับกระแสไฟฟ้าได้สูงสุด 80A เหมาะสำหรับการใช้งานในวงจรนี้ ดังแสดงในรูปที่ 6.8



รูปที่ 6.8 มอสเฟตกำลัง IXFK80N60P3

ตัวเหนี่ยวนำหั้งสามตัวจะมีขนาดตามที่ออกแบบค่าพารามิเตอร์ไว้ในบทที่ 3 ซึ่งออกแบบจาก การกำหนดการกระแสของกระแสที่เหลือผ่านตัวเหนี่ยวนำในแต่ละตัว โดยตัวเหนี่ยวนำตัวที่ 1 มี ขนาดเท่ากับ 15mH มีพิกัดกระแสที่ 25A ตัวเหนี่ยวนำตัวที่ 2 มีขนาดเท่ากับ 18.75mH มีพิกัด กระแสที่ 15A และตัวเหนี่ยวนำตัวที่ 2 มีขนาดเท่ากับ 70mH มีพิกัดกระแสที่ 10A ตัวเหนี่ยวนำหั้ง สามแสดงดังรูปที่ 6.9



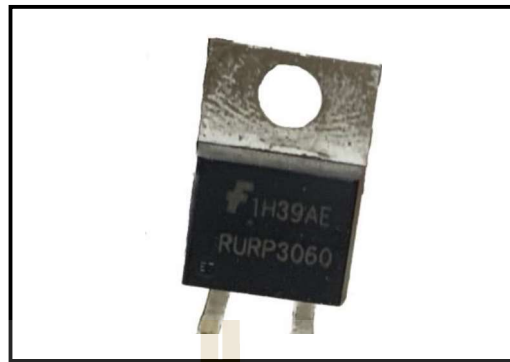
รูปที่ 6.9 ตัวเหนี่ยวนำทั้งสามตัวสำหรับชุดทดสอบ

ในการเลือกใช้ตัวเก็บประจุทั้งสามตัวแสดงดังรูปที่ 6.10 ซึ่งมีขนาดตามที่ออกแบบไว้ในบทที่ 3 โดยตัวเก็บประจุทั้งสามมีขนาดเท่ากับ  $560\mu F$  และมีพิกัดแรงดัน  $450V$



รูปที่ 6.10 ตัวเก็บประจุสำหรับชุดทดสอบ

สำหรับไดโอดกำลังทั้งสามตัวจะพิจารณาจากค่ากระแสสูงสุดที่แหล่งไฟไดโอด โดยจะอาศัยการจำลองสถานการณ์เข้าช่วยว โดยเลือกใช้ไดโอดกำลังเบอร์ RURP3060 ที่มีพิกัดกระแสที่  $30A$  และพิกัดแรงดันที่  $600V$  ยิ่งไปกว่านั้นไดโอดกำลังยังมีการฟื้นฟูย้อนกลับเร็ว (Ultrafast Diode) โดยมีเวลาฟื้นตัวย้อนกลับ (Reverse recovery time) ที่  $60ns$  ซึ่งช่วยลดระยะเวลาการเกิดกระแสไฟฟ้าย้อนกลับช่วงท้ายของการใบอัสน้อยลง ไดโอดกำลังเบอร์ RURP3060 แสดงดังรูปที่ 6.11



รูปที่ 6.11 ไดโอดกำลังสำหรับชุดทดสอบ

สำหรับโหลดตัวต้านทานจะใช้แบบปรับค่าได้ แสดงดังรูปที่ 6.12 โดยมีช่วงค่าความต้านทานที่  $140\Omega$  ถึง  $5400\Omega$  และมีค่าพิกัดกระแสที่  $1A$  ถึง  $3A$  ในการทดสอบจะพิจารณาให้โหลดตัวต้านทานทำงานที่กำลังไฟฟ้าไม่เกิน  $100W$  ที่แรงดันอาต์พุตที่  $400V$  ดังนั้นค่าความต้านทานจะมีค่าประมาณ  $1600\Omega$



รูปที่ 6.12 โหลดตัวต้านทานสำหรับชุดทดสอบ

อุปกรณ์อิเล็กทรอนิกส์สำหรับต่อที่ใช้สำหรับสร้างชุดทดสอบวงจรแปลงผ่านกำลังไฟฟ้าแบบบูสต์เรียงต่อกันสามขั้นที่กล่าวมาข้างต้น สามารถสรุปได้ดังตารางที่ 6.1

ตารางที่ 6.1 อุปกรณ์อิเล็กทรอนิกส์กำลังสำหรับสร้างชุดทดสอบ

อุปกรณ์	สัญลักษณ์	เบอร์	ขนาด	พิกัด
มอเตอร์กำลัง	$S_1, S_2, S_3,$ $SS_1, SS_2, SS_3$	IXFK80N660P3	-	80A, 600V
ตัวเหนี่ยวนำตัวที่ 1	L1	-	15mH	25A, 200V

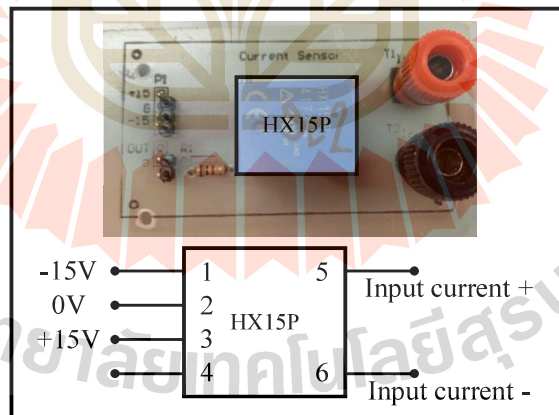
ตารางที่ 6.1 อุปกรณ์อิเล็กทรอนิกส์กำลังสำหรับสร้างชุดทดสอบ (ต่อ)

อุปกรณ์	สัญลักษณ์	เบอร์	ขนาด	พิกัด
ตัวเหนี่ยวนำตัวที่ 2	$L_2$	-	18.75mH	15A, 400V
ตัวเหนี่ยวนำตัวที่ 3	$L_3$	-	70mH	10A, 400V
ตัวเก็บประจุ	$C_1, C_2, C_3$	-	560	450V
ไดโอด	$D_1, D_2, D_3$	RURP3060	-	30A, 600V
โหลดตัวต้านทาน	$R$	-	5400 $\Omega$	100W

## 6.5 วิจัยตรวจจับสัญญาณ

การตรวจจับสัญญาณของชุดทดสอบประกอบด้วยการตรวจจับสัญญาณแรงดันเอาต์พุต ( $V_O$ ) และการตรวจจับสัญญาณกระแสไฟล์ผ่านตัวเหนี่ยวนำตัวแรก ( $i_{L1}$ ) โดยจะนำสัญญาณทั้งสองมาประมวลผลในบอร์ดไมโครคอนโทรลเลอร์ DSP รุ่น eZdsp™F28335 เพื่อใช้ในการควบคุมการทำงานของมอเตอร์กำลังให้ได้แรงดันเอาต์พุตคงที่ตามต้องการภายใต้การเปลี่ยนแปลงจุดการทำงานต่าง ๆ ของวงจร รวมถึงการตรวจจับความผิดพร่อง การระบุตำแหน่งและความผิดพร่อง และการสร้างความคงทนต่อความผิดพร่องให้กับวงจรแปลงผันกำลังไฟฟ้าแบบบูสต์เรียงต่อกันสามชั้น

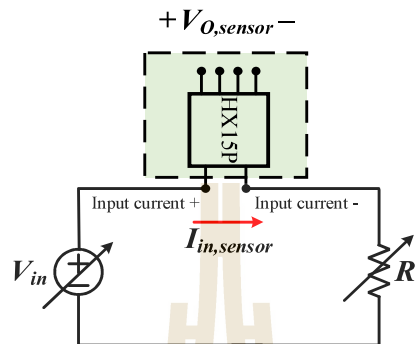
### 6.5.1 วิจัยตัวตรวจจับสัญญาณกระแส



รูปที่ 6.13 วิจัยตัวตรวจจับสัญญาณกระแส

ตัวตรวจจับสัญญาณกระแสเบอร์ HX15P ใช้ในการตรวจจับสัญญาณกระแสไฟล์ผ่านตัวเหนี่ยวนำตัวแรก ( $i_{L1}$ ) ของวงจรแปลงผันกำลังไฟฟ้าแบบบูสต์เรียงต่อกันสามชั้น ชุดทดสอบนี้จะกำหนดให้วงจรทำงานโดยมีกระแสไฟล์ผ่านตัวเหนี่ยวนำตัวแรก ( $i_{L1}$ ) ไม่เกิน 15A เพื่อไม่ให้เกินพิกัด

กราฟแสดงตัวตรวจจับสัญญาณกระแสเบอร์ HX15P ซึ่งมีพิกัดกระแสที่ 15A โดยสร้างของวงจรตรวจจับกระแสแสดงดังรูปที่ 6.13



รูปที่ 6.14 วงจรไฟฟ้าสำหรับวงจรตรวจจับสัญญาณกระแส

การปรับเทียบค่าการวัดของตัวตรวจจับสัญญาณกระแสจะอาศัยวงจรไฟฟ้าดังรูปที่ 6.14 เพื่อหาความสัมพันธ์ของกระแสอินพุต ( $I_{in,sensor}$ ) ที่แหล่งผ่านตัวตรวจจับสัญญาณกระแส โดยการวัดแรงดันเอาต์พุต ( $V_{O,sensor}$ ) ของตัวตรวจจับสัญญาณกระแส ซึ่งจะมีค่าอยู่ในช่วง 0V ถึง 3V สำหรับขั้นตอนการทดสอบปรับเทียบตัวตรวจจับสัญญาณกระแส จะมีการเปลี่ยนแปลงแรงดันอินพุต ร่วมกับการเปลี่ยนโหลดตัวต้านทาน เพื่อให้ได้ช่วงของกระแสที่เหมาะสมสำหรับหาความสัมพันธ์ของ  $I_{in,sensor}$  และ  $V_{O,sensor}$  โดยผลการทดสอบปรับเทียบตัวตรวจจับสัญญาณกระแสแสดงดังตารางที่ 6.2

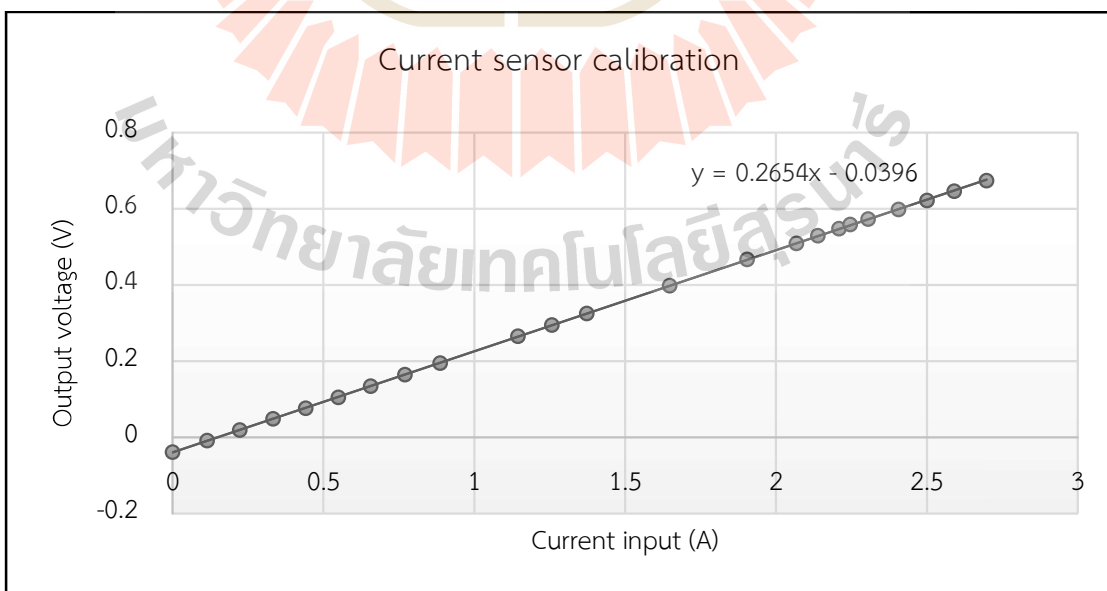
ตารางที่ 6.2 ผลการทดสอบปรับเทียบการวัดตัวตรวจจับสัญญาณกระแส

$I_{in,sensor}$ (A)				$V_{O,sensor}$ (V)			
ครั้งที่ 1	ครั้งที่ 2	ครั้งที่ 3	เฉลี่ย	ครั้งที่ 1	ครั้งที่ 2	ครั้งที่ 3	เฉลี่ย
0.000	0.000	0.000	0.000	-0.039	-0.038	-0.040	-0.039
0.120	0.114	0.112	0.115	-0.009	-0.009	-0.008	-0.009
0.212	0.241	0.216	0.223	0.018	0.021	0.019	0.019
0.340	0.336	0.323	0.333	0.049	0.049	0.047	0.049
0.454	0.450	0.419	0.441	0.079	0.078	0.073	0.077
0.527	0.576	0.544	0.549	0.101	0.110	0.104	0.105
0.657	0.618	0.696	0.657	0.134	0.126	0.142	0.134
0.785	0.762	0.762	0.770	0.168	0.163	0.163	0.164
0.816	0.887	0.958	0.887	0.179	0.195	0.210	0.195
1.156	1.145	1.134	1.145	0.268	0.265	0.262	0.265

ตารางที่ 6.2 ผลการทดสอบปรับเทียบการวัดตัวตรวจจับสัญญาณกระแส (ต่อ)

$I_{in,sensor}$ (A)				$V_{O,sensor}$ (V)			
ครั้งที่ 1	ครั้งที่ 2	ครั้งที่ 3	เฉลี่ย	ครั้งที่ 1	ครั้งที่ 2	ครั้งที่ 3	เฉลี่ย
1.194	1.295	1.282	1.257	0.280	0.304	0.301	0.295
1.455	1.263	1.400	1.373	0.345	0.299	0.332	0.325
1.696	1.680	1.565	1.647	0.410	0.406	0.378	0.398
1.828	1.999	1.885	1.904	0.448	0.490	0.462	0.467
2.067	1.943	2.191	2.067	0.509	0.479	0.540	0.509
2.225	2.139	2.053	2.139	0.550	0.529	0.508	0.529
2.099	2.386	2.143	2.209	0.521	0.592	0.531	0.548
2.246	2.111	2.381	2.246	0.558	0.525	0.592	0.558
2.351	2.282	2.282	2.305	0.585	0.568	0.568	0.573
2.214	2.406	2.598	2.406	0.551	0.599	0.646	0.599
2.525	2.500	2.475	2.500	0.628	0.622	0.616	0.622
2.486	2.668	2.616	2.590	0.620	0.665	0.652	0.646
2.860	2.482	2.752	2.698	0.714	0.620	0.687	0.674

จากตารางที่ 6.2 สามารถนำมาสร้างกราฟเพื่อหาความสัมพันธ์ระหว่างค่ากระแสอินพุต ( $I_{in,sensor}$ ) ที่ให้ผลผ่านตัวตรวจจับสัญญาณกระแส และแรงดันเอาต์พุต ( $V_{O,sensor}$ ) ของตัวตรวจจับสัญญาณกระแสได้ดังรูปที่ 6.15 และสามารถหาสมการความสัมพันธ์ได้ดังสมการที่ (6.1)

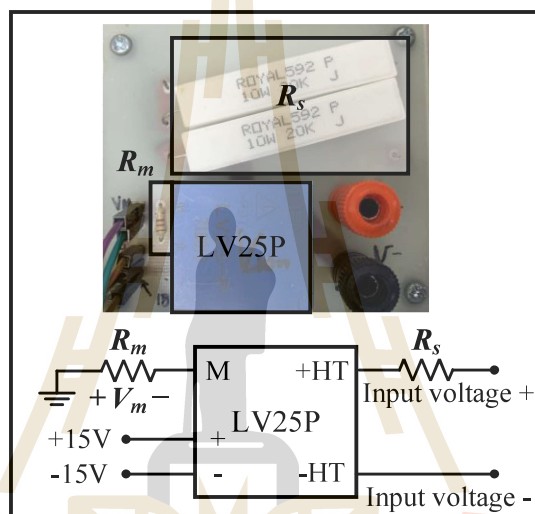


รูปที่ 6.15 กราฟความสัมพันธ์ระหว่างกระแสอินพุตกับแรงดันเอาต์พุตของตัวตรวจจับกระแส

$$V_{O,sensor} \quad t = 0.2654 I_{in,sensor} - 0.0396 \quad (6.1)$$

### 6.5.2 วงจรตรวจจับสัญญาณแรงดัน

การตรวจจับสัญญาณแรงดันເອົາຕົກພຸດຈະໃຊ້ຕັວตรว່າງຈັບສัญญาณแรงดັນເບື້ອງ LV25P ເນື່ອງຈາກສາມາຮຄຕຽວຈັບສัญญาณແຮງດັນໄດ້ໃນຂ່າງ 0V ປຶ້ງ 500V ທີ່ເໝາະສຳຮັບຊຸດທດສອບວງຈະປ່າຍ ຜັນກຳລັງໄຟຟ້າແບບບູສົດເຮີຍຕ່ອກນໍາສາມໍ້ານີ້ມີແຮງດັນເອົາຕົກພຸດທີ່ຕ້ອງການທີ່ຢູ່ໃນຂ່າງ 200V ປຶ້ງ 400V ໂຄງສ້າງຂອງວັງຈາກຈັບສัญญาณແຮງດັນແສດງທັງຮູບປີ 6.16



ຮູບປີ 6.16 ວັງຈາກຈັບສัญญาณແຮງດັນ

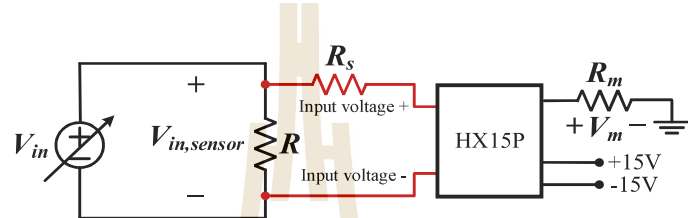
ວັງຈາກຈັບສัญญาณແຮງດັນຈະເຫັນໄດ້ວ່າມີຕັວຕ້ານທານທີ່ຝ່າງອິນພຸດ ແລະເອົາຕົກພຸດ ທີ່ກຳນົດທີ່ປົ້ອງກັນເພື່ອໄມ້ໃໝ່ໄທກະແສໄຫລເກີນ ໂດຍຝ່າງອິນພຸດມີການຕ່ອກກັບຕັວຕ້ານທານ  $R_s$  ເພື່ອປົ້ອງກັນ ໄມ້ໃໝ່ໄທກະແສໄຫລເກີນ 10mA ເນື້ອພິຈາລະນາແຮງດັນອິນພຸດເທົ່າກັບ 500V ຈະສາມາຄອກແບບ  $R_s$  ໄດ້ດັ່ງ ສາມາດກຳນົດທີ່ 6.2

$$R_s = \frac{500}{10 \times 10^{-3}} = 50k\Omega \quad (6.2)$$

ສ່ວນຝ່າງເອົາຕົກພຸດມີການຕ່ອກກັບຕັວຕ້ານທານ  $R_m$  ເພື່ອປົ້ອງກັນໄມ້ໃໝ່ໄທກະແສໄຫລເກີນ 25mA ອີກທີ່ຍັງປັບສົງສ້າງສົງໄດ້  $V_m$  ໃຫ້ມີຄ່າໄມ່ເກີນ 3V ກ່ອນເຂົ້າສູ່ບ່ອຮົດໄມ້ໂຄຣຄອນໂກຣເລອ້ວນ DSP ໂດຍ ສາມາຄອກແບບ  $R_m$  ໄດ້ດັ່ງສາມາດກຳນົດທີ່ 6.3

$$R_m = \frac{3}{25 \times 10^{-3}} = 120\Omega \quad (6.3)$$

ในการปรับเทียบตัวตรวจจับสัญญาณแรงดันมีหลักการคล้ายกับการปรับเทียบตัวตรวจจับสัญญาณกระแส โดยวงจรที่ใช้สำหรับการปรับเทียบตัวตรวจจับสัญญาณแรงดันแสดงดังรูปที่ 6.17



รูปที่ 6.17 วงจรไฟฟ้าสำหรับหาความสัมพันธ์ของตัวตรวจจับสัญญาณแรงดัน

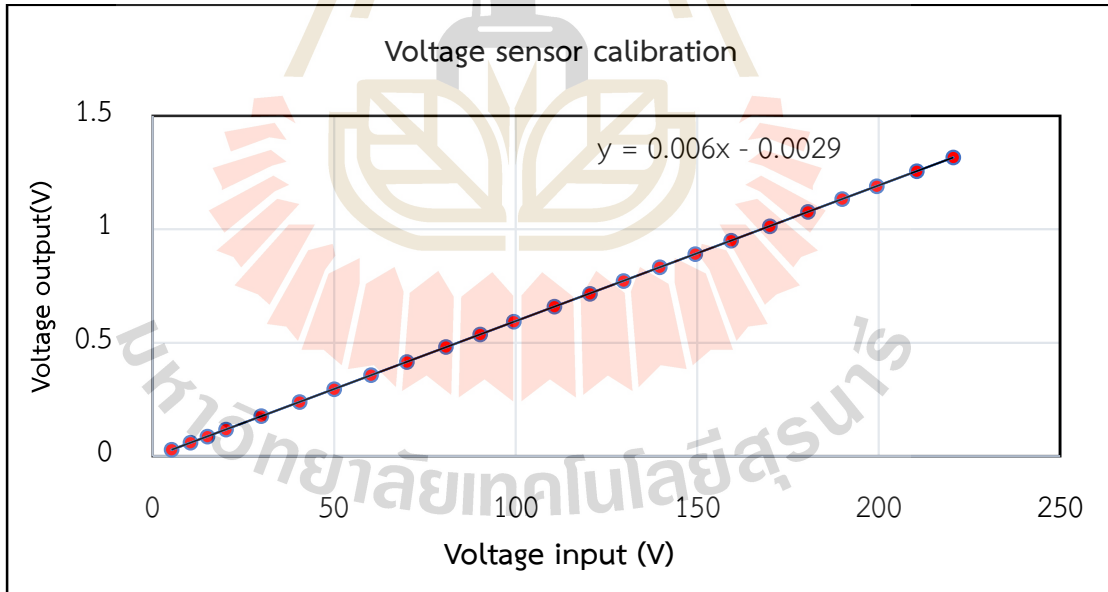
ในการหาความสัมพันธ์ของแรงดันอินพุต ( $V_{in,sensor}$ ) และแรงดันเอาต์พุต ( $V_m$ ) จะทดสอบปรับเทียบตัวตรวจจับสัญญาณแรงดันโดยการปรับค่าแรงดัน  $V_{in,sensor}$  จาก 0V จนถึง 220V และวัดค่าแรงดัน  $V_m$  ผลการทดสอบปรับเทียบตัวตรวจจับสัญญาณสัญญาณแรงดันแสดงดังตารางที่ 6.3

ตารางที่ 6.3 ผลการทดสอบปรับเทียบการวัดตัวตรวจจับสัญญาณแรงดัน

$V_{in,sensor}$ (V)				$V_m$ (V)			
ครั้งที่ 1	ครั้งที่ 2	ครั้งที่ 3	เฉลี่ย	ครั้งที่ 1	ครั้งที่ 2	ครั้งที่ 3	เฉลี่ย
5.378	5.119	5.016	5.171	0.029	0.028	0.027	0.028
9.899	11.254	10.107	10.420	0.056	0.064	0.058	0.059
15.351	15.201	14.599	15.050	0.089	0.088	0.084	0.087
20.624	20.018	20.018	20.220	0.120	0.117	0.117	0.118
27.526	29.920	32.314	29.920	0.162	0.176	0.190	0.176
40.905	40.500	40.095	40.500	0.241	0.239	0.237	0.239
51.965	49.466	48.467	49.966	0.308	0.293	0.287	0.296
57.171	64.994	58.375	60.180	0.339	0.385	0.346	0.357
71.400	70.700	67.900	70.000	0.424	0.420	0.403	0.416
81.608	80.800	79.992	80.800	0.486	0.481	0.476	0.481
85.690	92.906	92.004	90.200	0.510	0.553	0.548	0.537
99.500	93.530	105.470	99.500	0.593	0.557	0.628	0.593

ตารางที่ 6.3 ผลการทดสอบปรับเทียบการวัดตัวตรวจจับสัญญาณแรงดัน (ต่อ)

$V_{in,sensor}$ (V)				$V_m$ (V)			
ครั้งที่ 1	ครั้งที่ 2	ครั้งที่ 1	ครั้งที่ 2	ครั้งที่ 1	ครั้งที่ 2	ครั้งที่ 1	ครั้งที่ 2
112.914	109.593	109.593	110.700	0.672	0.652	0.652	0.659
110.860	120.500	130.140	120.500	0.659	0.716	0.773	0.716
130.997	129.700	128.403	129.700	0.780	0.772	0.764	0.772
132.715	143.891	142.494	139.700	0.791	0.858	0.850	0.833
158.470	137.540	152.490	149.500	0.944	0.820	0.909	0.891
160.994	159.400	157.806	159.400	0.960	0.950	0.941	0.950
161.500	175.100	173.400	170.000	0.962	1.043	1.033	1.013
191.330	166.060	184.110	180.500	1.141	0.990	1.098	1.076
180.500	205.200	184.300	190.000	1.076	1.224	1.099	1.133
199.500	187.530	211.470	199.500	1.190	1.119	1.261	1.190
214.710	208.395	208.395	210.500	1.281	1.243	1.243	1.256
209.570	227.218	225.012	220.600	1.250	1.355	1.342	1.316



รูปที่ 6.18 กราฟความสัมพันธ์ระหว่างแรงดันอินพุตกับแรงดันเอาต์พุตของตัวตรวจจับสัญญาณแรงดัน

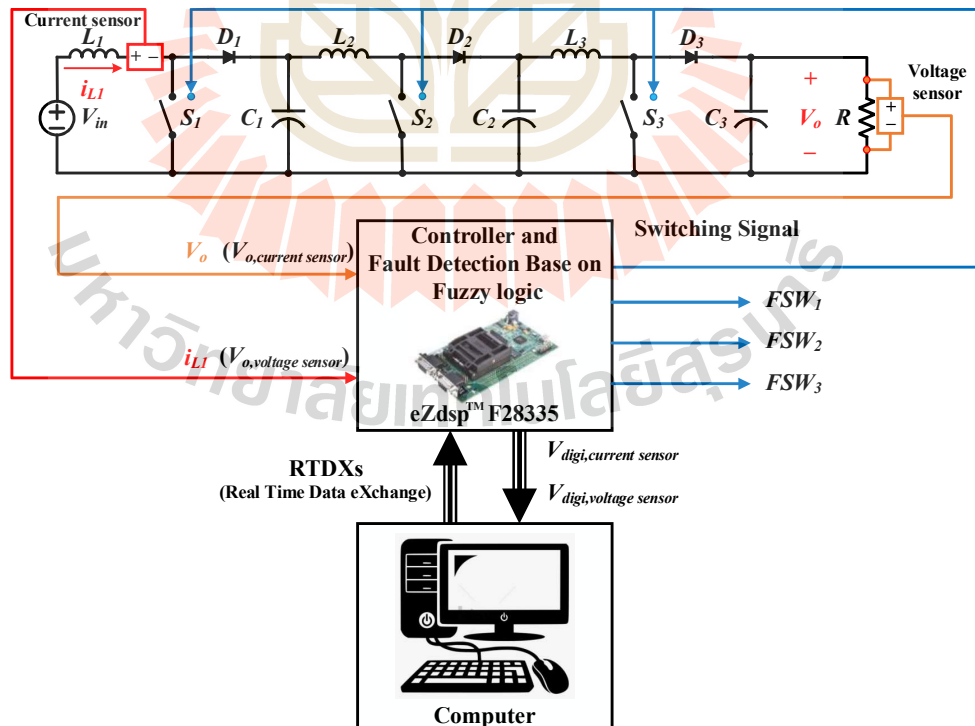
จากตารางที่ 6.3 สามารถนำมาสร้างกราฟเพื่อหาความสัมพันธ์ระหว่างค่าแรงดันอินพุต ( $V_{in,sensor}$ ) และแรงดันเอาต์พุต ( $V_m$ ) ของตัวตรวจจับสัญญาณแรงดันได้ดังรูปที่ 6.15 และสามารถหาสมการความสัมพันธ์  $V_{in,sensor}$  และ  $V_m$  ได้ดังสมการที่ (6.3)

$$V_m = 0.006V_{in,sensor} - 0.0029 \quad (6.3)$$

### 6.5.3 บอร์ดไมโครคอนโทรเลอร์

หลังจากได้แรงดันที่อยู่ในช่วง 0V ถึง 3V ตัวตรวจจับสัญญาณกระแส HX15P และตัวตรวจจับสัญญาณแรงดัน LV25P สัญญาณตั้งกล่าวจะเข้าสู่บอร์ดไมโครคอนโทรเลอร์ DSP รุ่น eZdsp™F28335 จากนั้นบอร์ดไมโครคอนโทรเลอร์จะแปลงสัญญาณแรงดันที่ได้เป็นค่าสัญญาณดิจิตอลที่อยู่ในช่วง 0 ถึง 4095 ดังนั้นจำเป็นต้องมีการปรับเทียบ โดยวงจรที่ใช้สำหรับการปรับเทียบบอร์ดไมโครคอนโทรเลอร์แสดงดังรูปที่ 6.19

ในการหาความสัมพันธ์ของแรงดันเอาต์พุตของเซนเซอร์ ( $V_{O,sensor}$ ) และสัญญาณดิจิตอล ( $N_{digi}$ ) จะทดสอบปรับเทียบโดยการปรับค่าแรงดันเอาต์พุตของเซนเซอร์  $V_{O,sensor}$  จาก 0V จนถึง 3V และสัญญาณดิจิตอล  $N_{digi}$  ผลการทดสอบปรับเทียบบอร์ดไมโครคอนโทรเลอร์แสดงดังตารางที่ 6.4

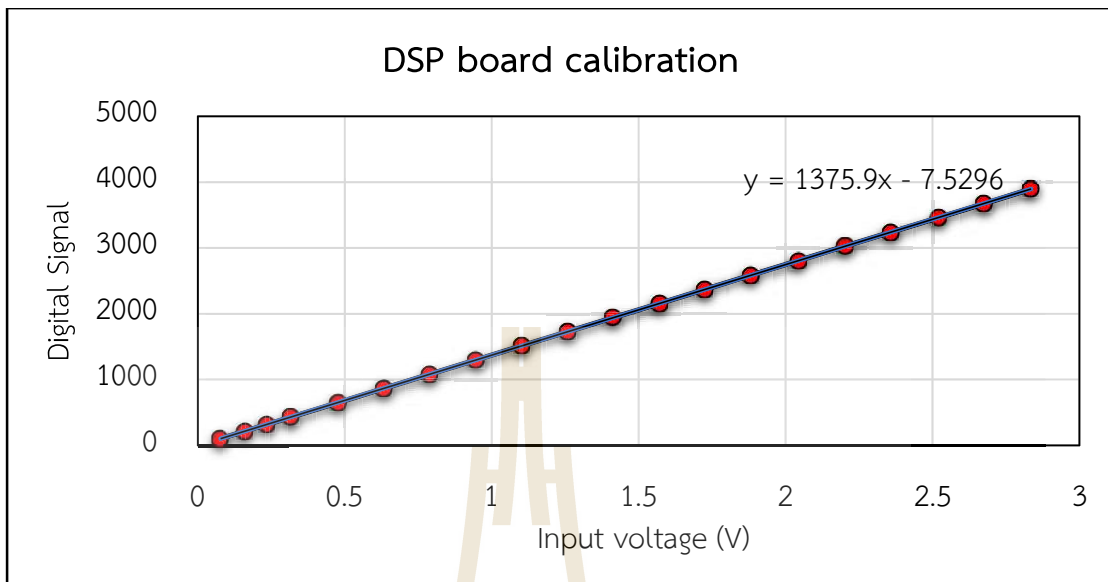


รูปที่ 6.19 วงจรสำหรับการเปรียบเทียบบอร์ดไมโครคอนโทรเลอร์

ตารางที่ 6.4 ผลการทดสอบปรับเทียบบอร์ดไมโครคอนโทรเลอร์

$V_{O,sensor}$ (V)				$N_{digi}$			
ครั้งที่ 1	ครั้งที่ 2	ครั้งที่ 3	เฉลี่ย	ครั้งที่ 1	ครั้งที่ 2	ครั้งที่ 3	เฉลี่ย
3.024	2.994	2.964	2.994	4136	4095	4054	4095
2.864	2.836	2.808	2.836	3933	3894	3855	3894
2.543	2.757	2.731	2.677	3490	3784	3747	3674
2.520	2.369	2.671	2.52	3459	3251	3667	3459
2.454	2.336	2.289	2.36	3370	3208	3143	3240
2.092	2.378	2.136	2.202	2872	3265	2932	3023
2.085	2.064	1.983	2.044	2861	2833	2721	2805
1.903	1.884	1.865	1.884	2611	2585	2559	2585
1.640	1.778	1.761	1.726	2250	2439	2415	2368
1.571	1.477	1.665	1.571	2154	2025	2283	2154
1.442	1.400	1.400	1.414	1979	1921	1921	1940
1.272	1.259	1.246	1.259	1743	1726	1709	1726
1.048	1.136	1.125	1.103	1435	1555	1540	1510
1.005	0.872	0.967	0.948	1374	1192	1322	1296
0.797	0.789	0.781	0.789	1088	1077	1066	1077
0.640	0.634	0.628	0.634	874	865	856	865
0.452	0.490	0.486	0.476	614	665	659	646
0.320	0.317	0.314	0.317	432	428	424	428
0.239	0.236	0.227	0.234	320	317	305	314
0.161	0.159	0.157	0.159	214	212	210	212
0.074	0.080	0.080	0.078	95	103	102	100

จากตารางที่ 6.4 สามารถนำมาสร้างกราฟเพื่อหาความสัมพันธ์ระหว่างค่าแรงดันเออต์พุตของเซนเซอร์ ( $V_{O,sensor}$ ) และสัญญาณดิจิตอล ( $N_{digi}$ ) ของบอร์ดไมโครคอนโทรเลอร์ได้ดังรูปที่ 6.20 และสามารถหาสมการความสัมพันธ์  $V_{O,sensor}$  และ  $N_{digi}$  ได้ดังสมการที่ (6.4)

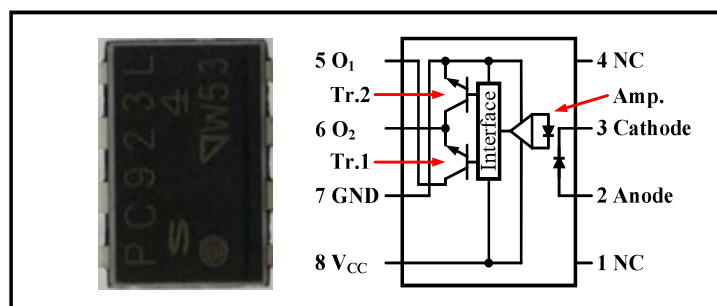


รูปที่ 6.20 กราฟความสัมพันธ์ระหว่างแรงดันเอาต์พุตของเซนเซอร์ และสัญญาณดิจิตอล

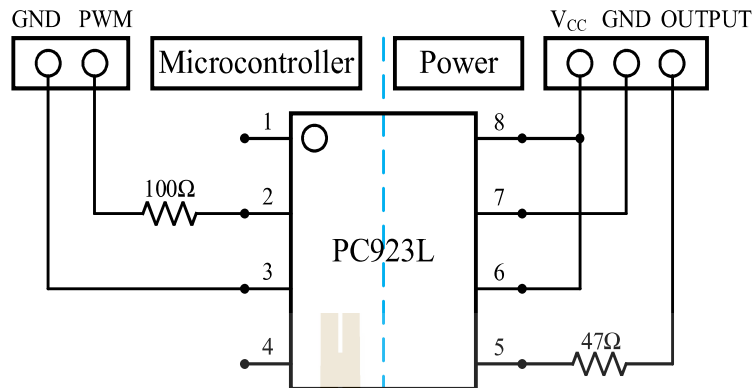
$$N_{digi} = 1375.9V_{O,sensor} - 7.5296 \quad (6.4)$$

## 6.6 วงจรขยายสัญญาณแบบแยกโดยดีไซน์

จากการควบคุมการทำงานของ mosfet กำลังด้วยกระบวนการพืชซีทีพัฒนาขึ้น บอร์ดไมโครคอนโทรลเลอร์ DSP จะให้สัญญาณการสวิตช์ที่มีระดับแรงดันประมาณ 5V ใน การขับเกต mosfet กำลังต้องใช้แรงดันที่ระดับแรงดัน 15V ดังนั้นจำเป็นต้องขยายสัญญาณควบคุมการทำงานของ mosfet กำลังด้วยวงจรขยายสัญญาณแบบแยกโดยดีไซน์ และยังทำหน้าที่แยกกราวด์ด้านแรงดันสูง และแรงดันต่ำออกจากกัน เพื่อป้องกันไม่ให้เกิดความเสียหายที่อาจเกิดขึ้นกับวงจรควบคุมขณะส่งสัญญาณการสวิตช์ ไอซีอปโตเบอร์ PC923L ถูกใช้ในวงจรขยายสัญญาณแบบแยกโดยดีไซน์แสดงดังรูปที่ 6.21 และวงจรขยายสัญญาณแบบแยกโดยดีไซน์แสดงดังรูปที่ 6.22



รูปที่ 6.21 ไอซีอปโตเบอร์ PC923L



รูปที่ 6.22 วงจรขยายแรงดันแบบแยกโดดสัญญาณ

### 6.7 การควบคุมแรงดันเออต์พุต และการตรวจจับความผิดพร่อง

สำหรับการควบคุมแรงดันเออต์พุต และการตรวจจับความผิดพร่องด้วยกระบวนการทางฟชชี จะอาศัยบอร์ดไมโครคอนโทรลเลอร์ DSP รุ่น eZdsp<sup>TM</sup>F28335 ดังรูปที่ 6.23 กระบวนการการควบคุมแรงดันเออต์พุต และการตรวจจับความผิดพร่องจะใช้สัญญาณแรงดันเออต์พุต และกระแสที่ไหลผ่านตัวเหนี่ยวนำตัวแรก จากการตรวจจับสัญญาณแรงดัน และกระแสตามลำดับ หลังจากนั้นบอร์ดไมโครคอนโทรลเลอร์จะประมวลผลจากข้อมูล และกระบวนการทางฟชชีที่โปรแกรมไว้ เพื่อสร้างสัญญาณการสวิตช์ที่เหมาะสมจากกระบวนการสร้างสัญญาณมดูเลตตามความกว้างพัลส์ (Pulse-width modulation) เพื่อควบคุมแรงดันเออต์พุตตามค่าแรงดันอ้างอิง อีกทั้งยังแสดงค่าการตรวจจับความผิดพร่องของสวิตช์ทั้งสามตัว



รูปที่ 6.23 บอร์ดไมโครคอนโทรลเลอร์ DSP รุ่น eZdsp<sup>TM</sup>F28335

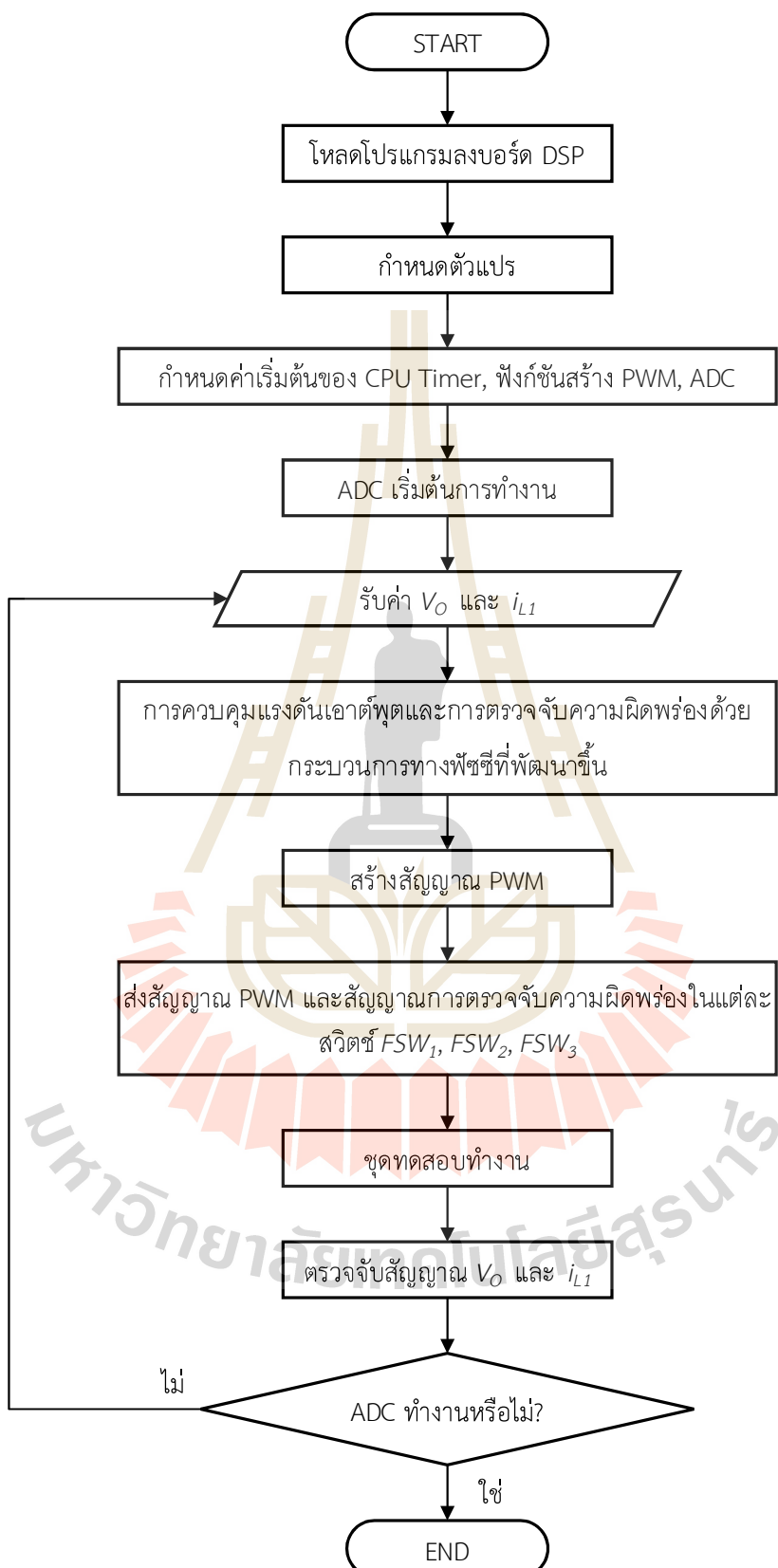
การควบคุมแรงดันເອົາຕີພຸດ ແລະ การตรวจຈັບຄວາມຜິດພ່ອງດ້ວຍກະບວນກາຣທາງຟື້ຈີຈະອາສັຍບອົບດໄມໂຄຣຄອນໂທຣເລອ່ຮ DSP ຮູ່ນ eZdsp<sup>TM</sup>F28335 ແລະ ກາຣເຂົ້າໂປຣແກຣມດ້ວຍກາຊີ ໂດຍສາມາດແສດງເປັນບັລຶກໄດ້ອະແກຣມໄດ້ດັ່ງຮູບທີ່ 6.24 ຜົ່ງສາມາດອອົບໄຫຍ້ໂປຣແກຣມອອກໄດ້ເປັນ 3 ສ່ວນ

ສ່ວນທີ່ 1 ເປັນສ່ວນທີ່ຮັບສ້າງສູງຄວາມຄ່າແຮງດັນເອົາຕີພຸດ ແລະ ກະແສທີ່ໄຫລຝ່ານຕ້ວເໜື່ອນຳຕ້ວແຮກ ທີ່ຈະປັບຄ່າດິຈິຕອລຈາກກາຣແປລງຄ່າຈາກສ້າງສູງຄວາມແອນະລື້ອກໃຫ້ເປັນດິຈິທັລ (Analog to digital converter: ADC) ໃຫ້ເຖິງບ່ານກັບຄ່າກະແສ ແລະ ແຮງດັນຈິງ

ສ່ວນທີ່ 2 ເປັນສ່ວນກາຣควบคຸມແຮງດັນເອົາຕີພຸດ ແລະ ກາຣตรวจຈັບຄວາມຜິດພ່ອງດ້ວຍກະບວນກາຣທາງຟື້ຈີ

ສ່ວນທີ່ 3 ເປັນກາຣສ້າງສ້າງຄວາມກາຣສົວິຕີ່ ດ້ວຍກະບວນກາຣເປົ້າໂປຣທີ່ກ່ຽວຂ້ອງຮ້ານທີ່ສົວິຕີ່ກັບສ້າງສູງຄວາມຮູ່ປົ້ນພື້ນເລື່ອຍ ແລະ ກາຣແສດງສ້າງສູງຄວາມຜິດພ່ອງແບບສົວິຕີ່ເປົ້າໂປຣທີ່ເກີດຂຶ້ນໃນແຕ່ລະສົວິຕີ່

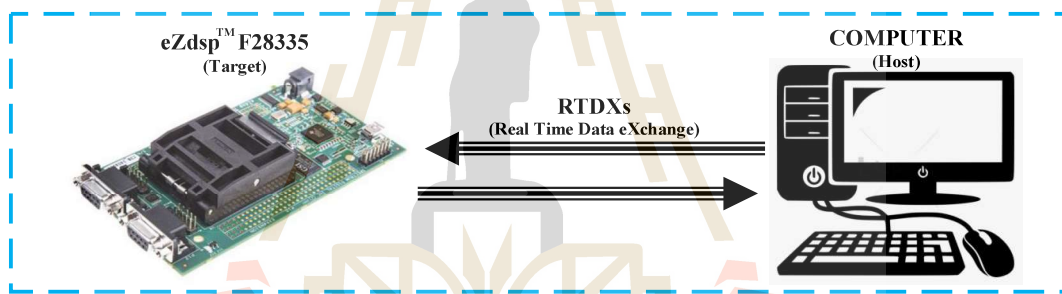




รูปที่ 6.24 ไดอะแกรมการควบคุมแรงดันเอาต์พุต และการตรวจจับความผิดพร่อง

## 6.8 การจำลองสถานการณ์ของวงจรแปลงผันกำลังไฟฟ้าแบบบูสต์เรียงต่อกันสามชั้นแบบฮาร์ดแวร์ในลูป

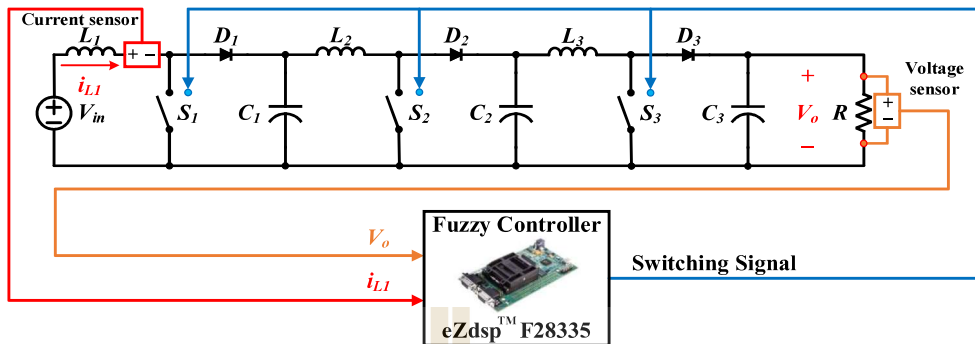
การจำลองสถานการณ์แบบฮาร์ดแวร์ในลูป (Hardware in the loop) เป็นการทำงานร่วมกันระหว่างโปรแกรม MATLAB SIMULINK และบอร์ดไมโครคอนโทรเลอร์ DSP รุ่น eZdsp™F28335 โดยจะอาศัยบอร์ดไมโครคอนโทรเลอร์ประมวลผลควบคุมการทำงานด้วยตัวควบคุมพืชซี ร่วมกับวงจรแปลงผันกำลังไฟฟ้าแบบบูสต์เรียงต่อกันสามชั้นที่มีพารามิเตอร์ภายในวงจรที่ออกแบบไว้ในบทที่ 3 สร้างขึ้นภายใต้ MATLAB SIMULINK และใช้โปรแกรม Code Composer Studio v3.3 ในการเขียนโปรแกรมควบคุมการทำงานของวงจร การทำงานของฮาร์ดแวร์ในลูปจะเป็นการรับ และส่งข้อมูลผ่านทางช่องสื่อสารแบบ RTDX (Real Time Data eXchange) เชื่อมโยงระหว่างโปรแกรม MATLAB SIMULINK (Host) และบอร์ดไมโครคอนโทรเลอร์ (Target) แสดงดังรูปที่ 6.25



รูปที่ 6.25 แผนภาพการเชื่อมโยงระหว่างโปรแกรม MATLAB SIMULINK และบอร์ด DSP

### 6.8.1 การจำลองสถานการณ์แบบฮาร์ดแวร์ในลูปของวงจรแปลงผันกำลังไฟฟ้าแบบบูสต์เรียงต่อกันสามชั้นโดยใช้ตัวควบคุมพืชซีที่พัฒนาขึ้น

การจำลองสถานการณ์แบบฮาร์ดแวร์ในลูปของวงจรแปลงผันกำลังไฟฟ้าแบบบูสต์เรียงต่อกันสามชั้นภายใต้ตัวควบคุมพืชซีที่พัฒนาขึ้น เป็นผลการจำลองสถานการณ์เปรียบเทียบระหว่างการจำลองสถานการณ์ด้วยโปรแกรม MATLAB SIMULINK และการจำลองสถานการณ์แบบฮาร์ดแวร์ในลูปเพื่อยืนยันได้ว่าการตรวจจับ และการระบุตำแหน่งความผิดพร่องที่พัฒนาขึ้น และเขียนขึ้นด้วยภาษาซี สามารถนำมาใช้ควบคุมการทำงานของชุดทดลองได้ โดยโครงสร้างการจำลองสถานการณ์แบบฮาร์ดแวร์ในลูป แสดงดังรูป 6.26



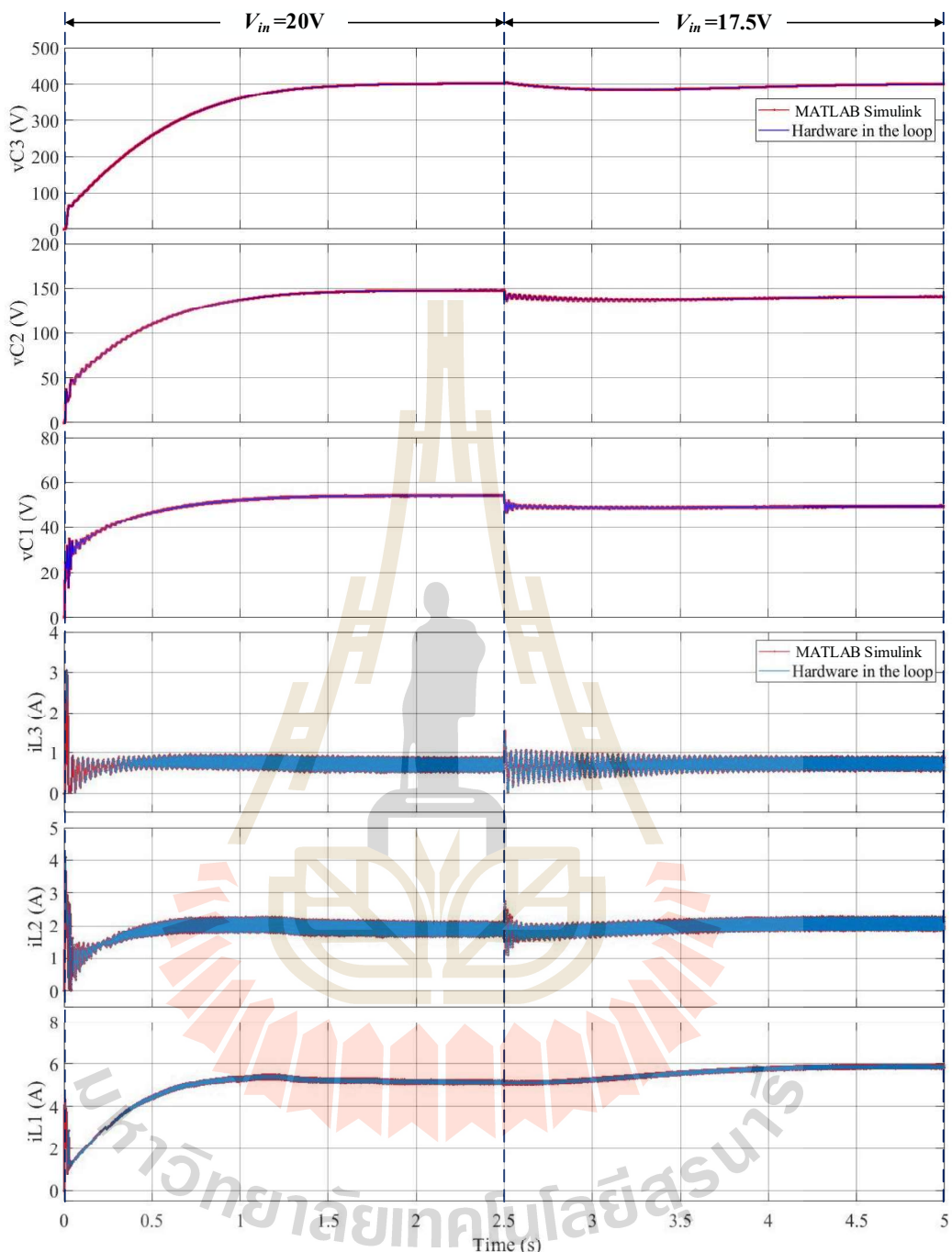
รูปที่ 6.26 โครงสร้างชาร์ดแวร์ในลูปของวงจรภายใต้ตัวควบคุมฟูซซีที่พัฒนาขึ้น

โดยพิจารณาผลการจำลองสถานการณ์แบ่งออกเป็น 3 กรณี ประกอบด้วย ผลการจำลองสถานการณ์เมื่อมีการเปลี่ยนแปลงแรงดันอินพุต ( $V_{in}$ ) ผลการจำลองสถานการณ์เมื่อมีการเปลี่ยนแปลงแรงดันอ้างอิง ( $V_{ref}$ ) และผลการจำลองสถานการณ์เมื่อมีการเปลี่ยนแปลงโหลดตัวต้านทาน ( $R$ )

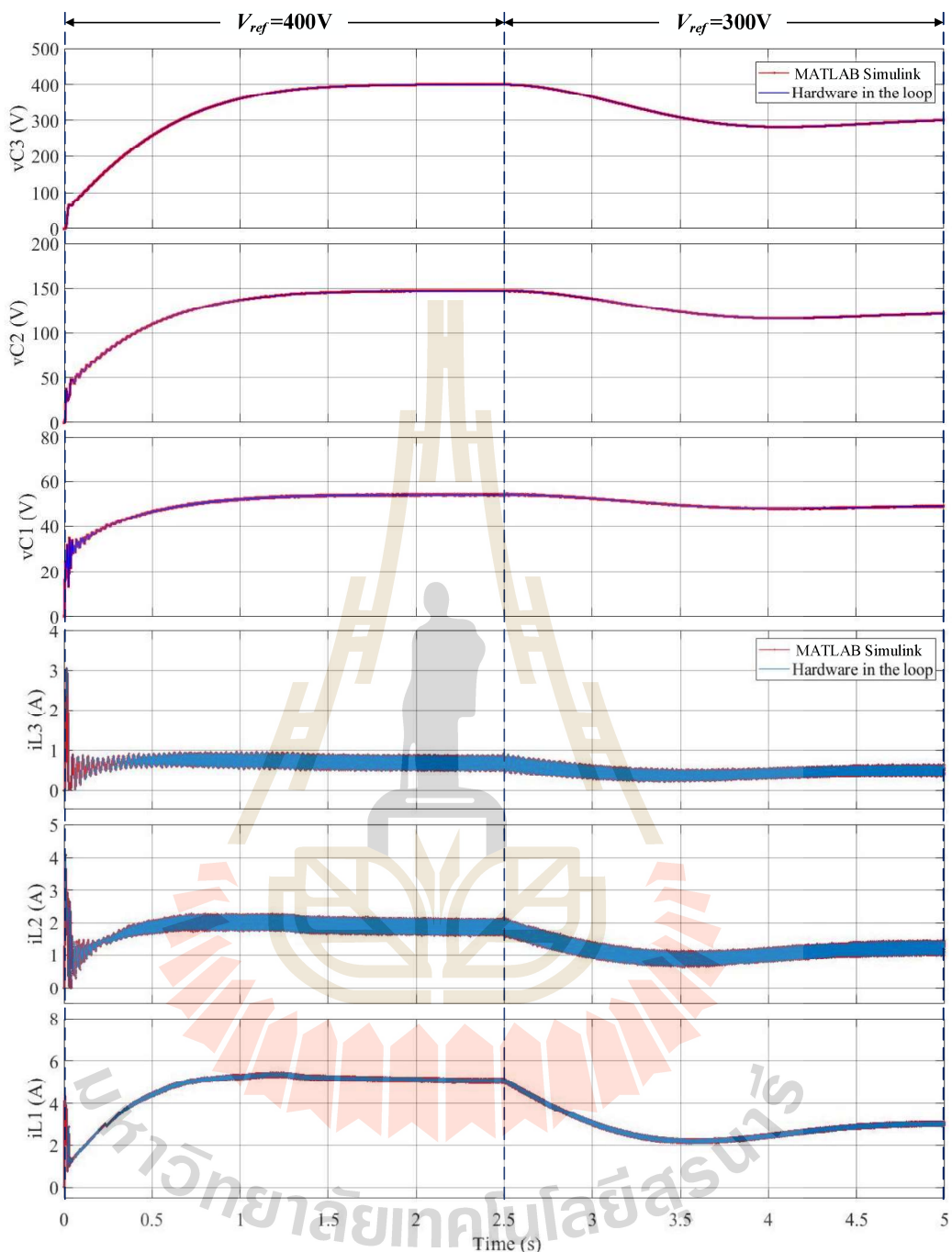
กรณีที่ 1 การจำลองสถานการณ์เปรียบเทียบเมื่อมีการเปลี่ยนแปลง  $V_{in}$  เป็น 20V และ 17.5V ในช่วงเวลา 0s และ 2.5s ตามลำดับ โดยคงค่า  $V_{ref}$  ที่ 400V และ  $R$  ที่ 1600Ω ผลการจำลองสถานการณ์เปรียบเทียบเมื่อมีการเปลี่ยนแปลง  $V_{in}$  แสดงดังรูปที่ 6.27

กรณีที่ 2 การจำลองสถานการณ์เปรียบเทียบเมื่อมีการเปลี่ยนแปลง  $V_{ref}$  เป็น 400V และ 300V ในช่วงเวลา 0s และ 2.5s ตามลำดับ โดยคงค่า  $V_{in}$  ที่ 20V และ  $R$  ที่ 1600Ω ผลการจำลองสถานการณ์เปรียบเทียบเมื่อมีการเปลี่ยนแปลง  $V_{ref}$  แสดงดังรูปที่ 6.28

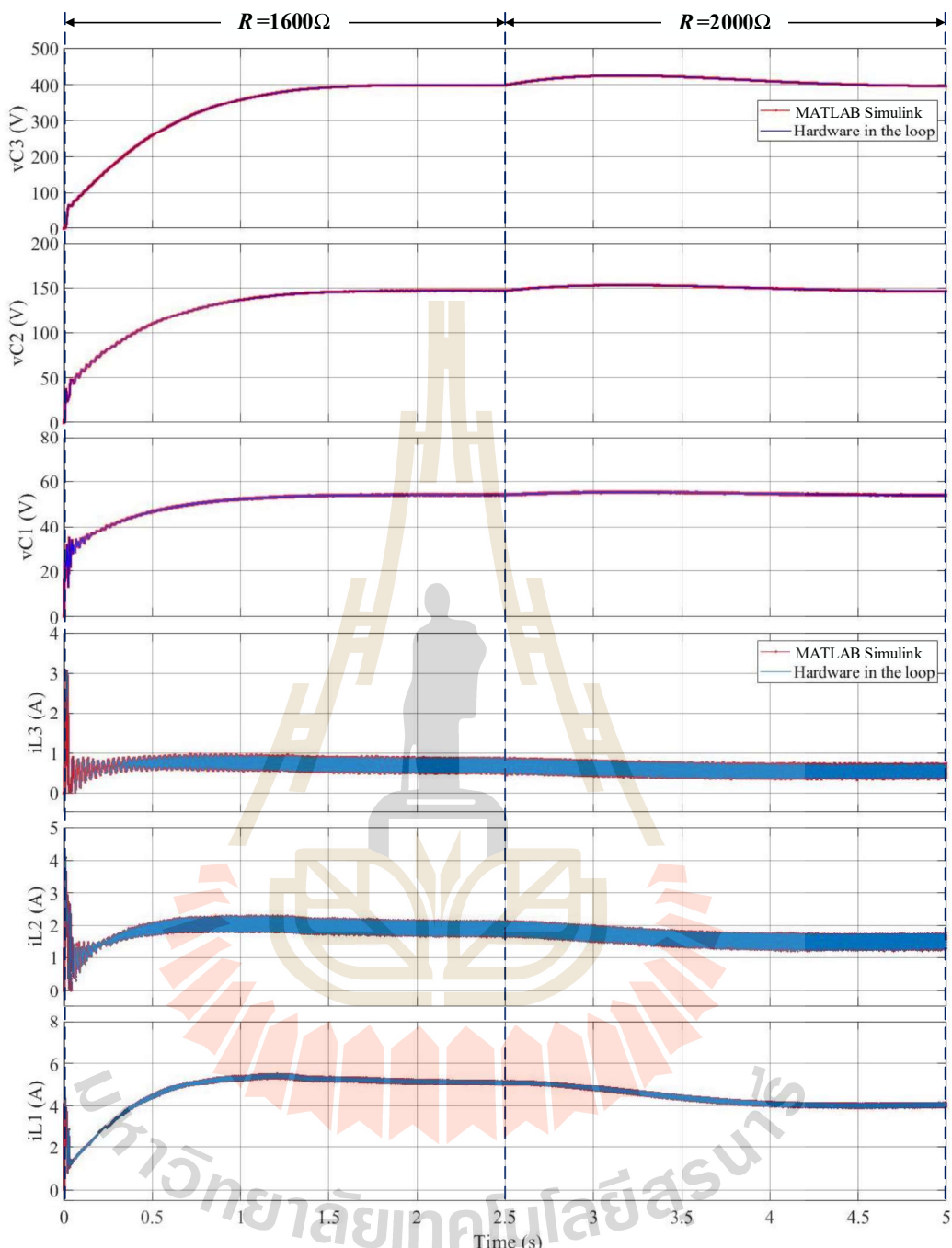
กรณีที่ 3 การจำลองสถานการณ์เปรียบเทียบเมื่อมีการเปลี่ยนแปลง  $R$  เป็น 1600Ω และ 2000Ω ในช่วงเวลา 0s และ 2.5s ตามลำดับ โดยคงค่า  $V_{in}$  ที่ 20V และ  $V_{ref}$  ที่ 400V ผลการจำลองสถานการณ์เปรียบเทียบเมื่อมีการเปลี่ยนแปลง  $R$  แสดงดังรูปที่ 6.29



รูปที่ 6.27 ผลการจำลองสถานการณ์เปรียบเทียบเมื่อมีการเปลี่ยนแปลงแรงดันอินพุต



รูปที่ 6.28 ผลการจำลองสถานการณ์เปรียบเทียบเมื่อมีการเปลี่ยนแปลงแรงดันอ้างอิง



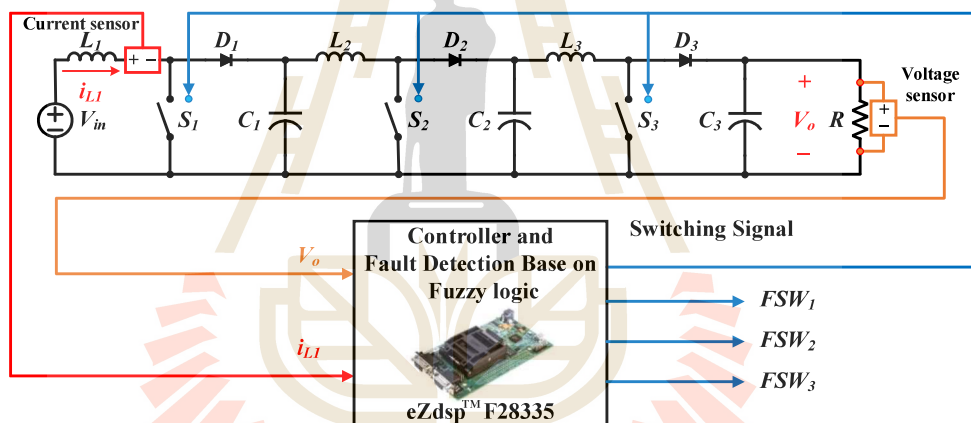
รูปที่ 6.29 ผลการจำลองสถานการณ์เปรียบเทียบเมื่อมีการเปลี่ยนแปลงโหลดตัวต้านทาน

จากผลการจำลองสถานการณ์เปรียบเทียบระหว่างการจำลองสถานการณ์ด้วยโปรแกรม MATLAB SIMULINK และการจำลองสถานการณ์แบบฮาร์ดแวร์ในลูปการควบคุมพัฒนา

พัฒนาขึ้น ทั้ง 3 กรณี จะเห็นได้ว่าผลของแรงดันตกคร่อมตัวเก็บประจุ และกระแสที่ไหลผ่านตัวเหนี่ยวนำ เป็นไปในทางสอดคล้องกับลักษณะเดียวกัน

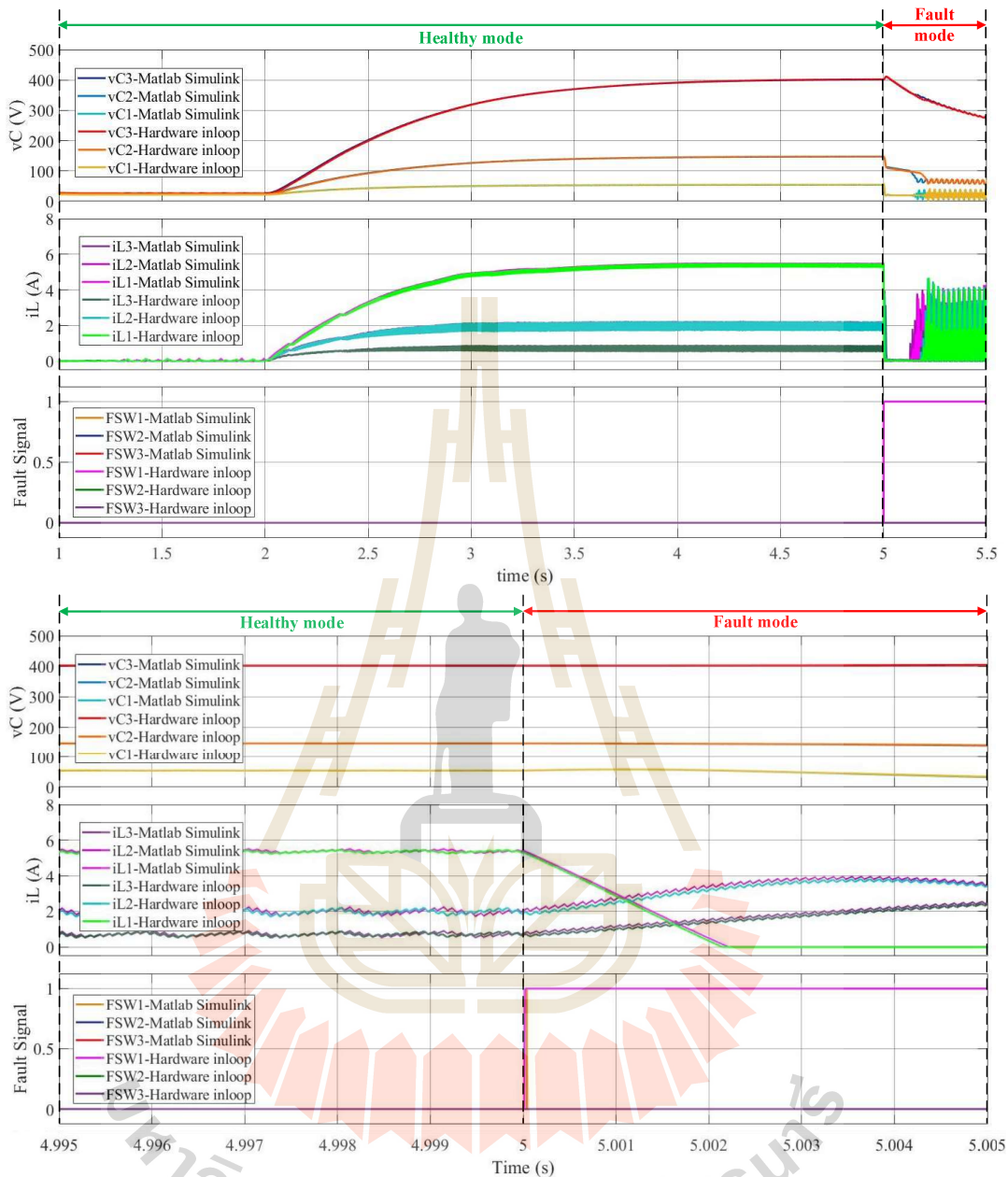
#### 6.8.2 การจำลองสถานการณ์การตรวจจับ และการระบุตำแหน่งความผิดพร่องของวงจรแปลงผันกำลังไฟฟ้าแบบบูสต์เรียงต่อกันสามขั้นแบบhardt เวอร์ในลูป

การจำลองสถานการณ์แบบhardt เวอร์ในลูปของวงจรแปลงผันกำลังไฟฟ้าแบบบูสต์เรียงต่อกันสามขั้นภายใต้ตัวควบคุมพิชชีที่พัฒนาขึ้น การตรวจจับ และการระบุตำแหน่งความผิดพร่อง ดำเนินการจำลองสถานการณ์เปรียบเทียบระหว่างการจำลองสถานการณ์ด้วยโปรแกรม MATLAB SIMULINK และการจำลองสถานการณ์แบบhardt เวอร์ในลูป โดยการจำลองสถานการณ์การตรวจจับและการระบุตำแหน่งความผิดพร่องของวงจรแปลงผันกำลังไฟฟ้าแบบบูสต์เรียงต่อกันสามขั้นแบบhardt เวอร์ในลูปแสดงดังรูป 6.30

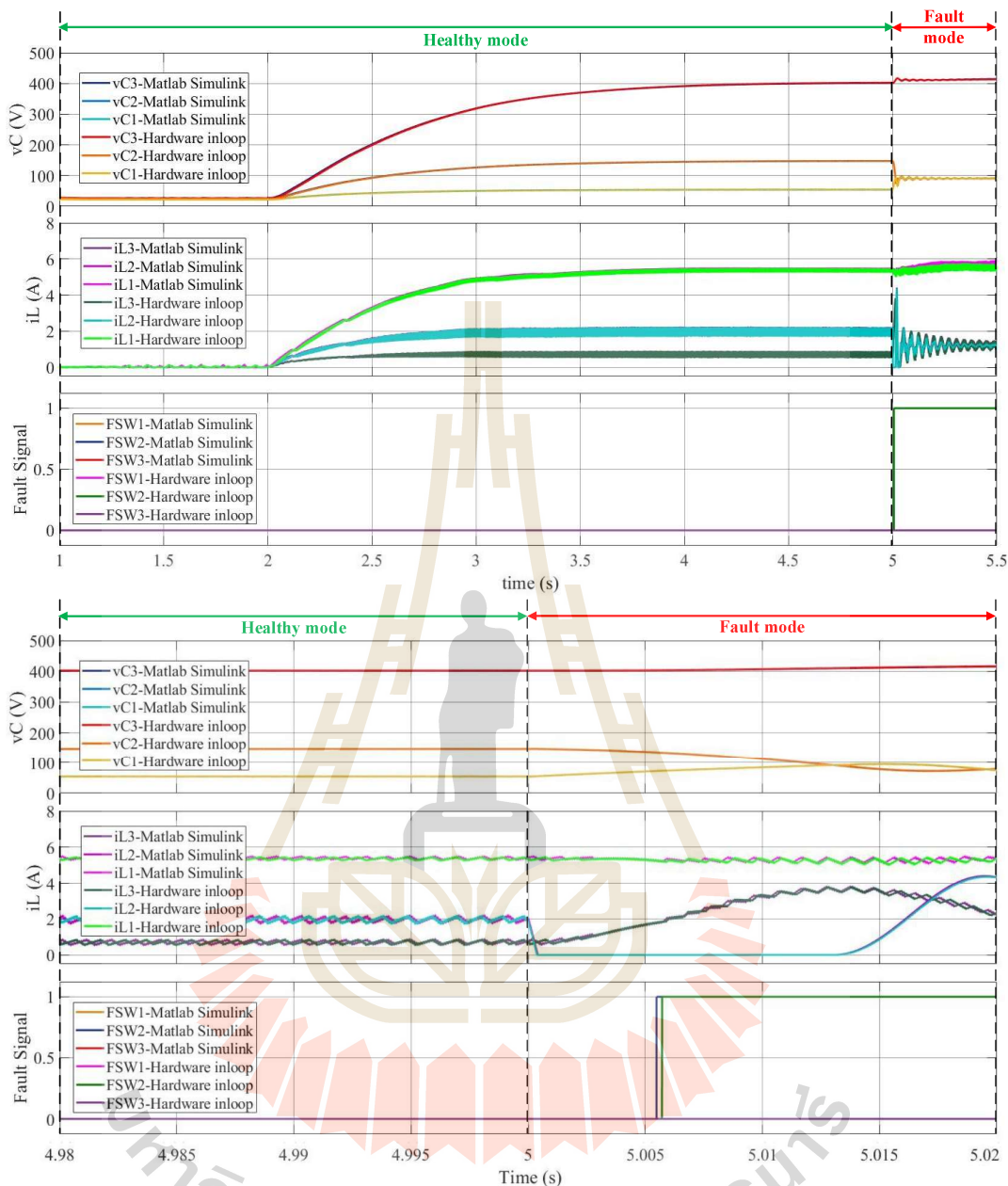


รูปที่ 6.30 โดยการจำลองสถานการณ์การตรวจจับ และการระบุตำแหน่งความผิดพร่องของวงจรแปลงผันกำลังไฟฟ้าแบบบูสต์เรียงต่อกันสามขั้นแบบhardt เวอร์ในลูป

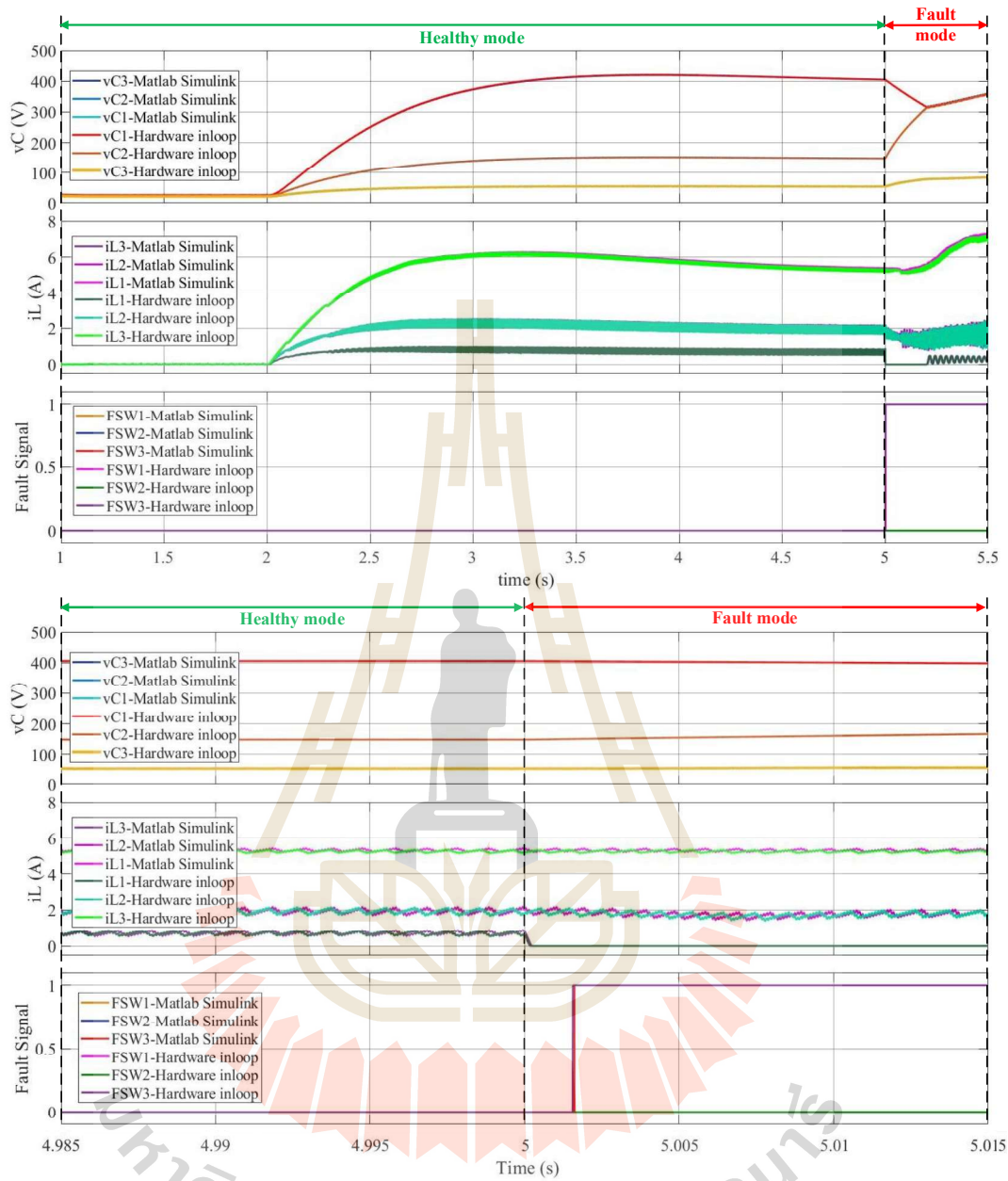
จากการจำลองสถานการณ์การตรวจจับความผิดพร่องแบบสวิตซ์เปิดวงจรที่  $S_1, S_2$  และ  $S_3$  พบร่วมระบบสามารถตรวจจับและระบุตำแหน่งของความผิดพร่องได้อย่างถูกต้อง โดยจะแสดงค่าแรงดันตกคร่อมตัวเก็บประจุ กระแสที่ไหลผ่านตัวเหนี่ยวนำ และสัญญาณการตรวจจับความผิดพร่องทั้งสามตัว ซึ่งแสดงผลในรูปที่ 6.31, 6.32 และ 6.33 ตามลำดับ



รูปที่ 6.31 การจำลองสถานการณ์แบบยาร์ดแวร์ในลูปของการตรวจจับความผิดพร่องที่  $S_1$



รูปที่ 6.32 การจำลองสถานการณ์แบบยการ์ดแวร์ในลูปของการตรวจจับความผิดพร่องที่  $S_2$



รูปที่ 6.33 การจำลองสถานการณ์แบบษาร์ดแวร์ในลูปของการตรวจจับความผิดพร่องที่  $S_3$

จากการจำลองสถานการณ์เปรียบเทียบระหว่างการจำลองสถานการณ์ด้วยโปรแกรม MATLAB SIMULINK และการจำลองสถานการณ์แบบษาร์ดแวร์ในลูปการตรวจจับ และการระบุตำแหน่งความผิดพร่อง ด้วยโปรแกรม MATLAB SIMULINK และการจำลองสถานการณ์แบบษาร์ดแวร์ในลูป ทั้ง 3 กรณี จะเห็นได้ว่าผลของการตรวจจับ และการระบุตำแหน่งความผิดพร่อง เป็นไปในทางสอดคล้องกัน ซึ่งยืนยันประสิทธิภาพของระบบที่พัฒนาขึ้นโดยใช้โปรแกรม CCStudio

และภาษาซี บนบอร์ดประมวลผล DSP eZdsp<sup>TM</sup>F28335 นำไปสู่การควบคุมทำงาน การตรวจจับ และการระบุตำแหน่งความผิดพร่องของชุดทดสอบได้

## 6.9 สรุป

บทนี้นำเสนอการสร้างชุดทดสอบของวงจรแปลงผันกำลังไฟฟ้าแบบบูสต์เรียงต่อกันสามชั้น โดยเริ่มต้นจากการพิจารณาอุปกรณ์ต่าง ๆ และค่าพิกัดที่อ้างอิงจากการบทที่ 3 อุปกรณ์ที่สำคัญ สำหรับการสร้างชุดทดสอบของวงจรแปลงผันกำลังไฟฟ้าแบบบูสต์เรียงต่อกันสามชั้นประกอบด้วย แหล่งจ่ายไฟกระแสตรง ตัวเหนี่ยวนำ ตัวเก็บประจุ มอเตอร์ ไดโอด โหลดตัวต้านทาน วงจรตรวจจับแรงดัน วงจรตรวจจับกระแส และวงจรขยายแรงดันแบบแยกโดยสัญญาณ หลังจากนั้นจะโปรแกรมการควบคุมแรงดันเอาต์พุต การตรวจจับ และการระบุตำแหน่งความผิดพร่องที่ใช้กระบวนการทางฟื้ซซี บันทึกลงในบอร์ดไมโครคอนโทรเลอร์ DSP รุ่น eZdsp<sup>TM</sup>F28335 โดยมีผลการจำลองแบบฮาร์ดแวร์ในลูปแสดงให้เห็นถึงการควบคุมแรงดันเอาต์พุต การตรวจจับ และการระบุตำแหน่งความผิดพร่องของวงจรแปลงผันกำลังไฟฟ้าแบบบูสต์เรียงต่อกันสามชั้นเป็นไปในทางสอดคล้องใกล้เคียงกันกับการจำลองสถานการณ์ด้วย MATLAB SIMULINK

## บทที่ 7

### ผลการทดสอบ

#### 7.1 บทนำ

บทนี้นำเสนอผลการทดสอบของวงจรแปลงผันกำลังไฟฟ้าแบบบูสต์เรียงต่อกันสามขั้นดังที่นำเสนอการสร้างชุดทดสอบไว้ในบทที่ 6 โดยอาศัยค่าพารามิเตอร์ต่าง ๆ ภายในวงจรที่ได้ออกแบบไว้ในบทที่ 3 และตัวควบคุมฟซชีที่พัฒนาขึ้นเพื่อรักษาแรงดันให้คงที่ตามต้องการดังที่ได้นำเสนอในบทที่ 4 รวมถึงการตรวจจับความผิดพร่องแบบสวิตช์เปิดวงจร และการสร้างความคงทนต่อความผิดพร่องโดยการสั่งให้สวิตช์สำรองทำงานแทนที่หลังจากตรวจสอบความผิดพร่องที่เกิดขึ้น เพื่อให้วงจรสามารถทำงานต่อไปได้อย่างมีประสิทธิผลดังที่นำเสนอในบทที่ 5 ในการแสดงผลการทดสอบของวงจรแปลงผันกำลังไฟฟ้าแบบบูสต์เรียงต่อกันสามขั้นจะทำการทดสอบภายใต้การเปลี่ยนแปลงจุดการทำงานของแรงดันอ้างอิง แรงดันอินพุต และโหลดตัวต้านทาน ทั้งนี้จะนำเสนอผลตอบสนองของการทำงานของวงจรเมื่อมีการเปลี่ยนแปลงจุดการทำงาน โดยพิจารณาจากแรงดันเอาต์พุต และกระแสที่ไหลผ่านตัวเหนี่ยวนำ เพื่อแสดงให้ว่าตัวควบคุมฟซชีที่พัฒนาขึ้นสามารถควบคุมให้วงจรแปลงผันกำลังไฟฟ้าแบบบูสต์เรียงต่อกันสามขั้นให้สามารถรักษาแรงดันตามต้องการได้อย่างมีประสิทธิผล รวมถึงการแสดงผลการทดสอบของวงจรแปลงผันกำลังไฟฟ้าแบบบูสต์เรียงต่อกันสามขั้น เมื่อเกิดความผิดพร่องแบบสวิตช์เปิดวงจรภายใต้การควบคุมฟซชีที่พัฒนาขึ้น ทั้งนี้ผลการทดสอบจะแสดงการตรวจจับความผิดพร่อง ต่อมาก็เป็นการระบุตำแหน่งความผิดพร่องที่เกิดขึ้นโดยสามารถระบุตำแหน่งความผิดพร่องที่เกิดขึ้นได้อย่างถูกต้อง และสุดท้ายเป็นการสร้างความคงทนต่อความผิดพร่อง เพื่อให้วงจรยังคงสามารถทำงานต่อไปได้อย่างมีประสิทธิผลภายใต้ความผิดพร่องที่เกิดขึ้น

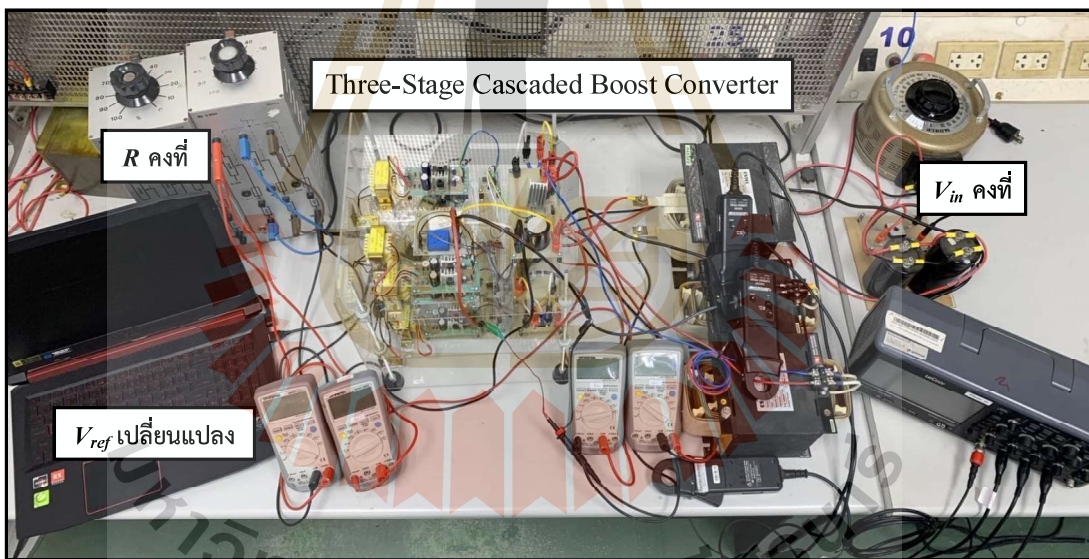
#### 7.2 ผลการทดสอบชุดทดสอบของวงจรแปลงผันกำลังไฟฟ้าแบบบูสต์เรียงต่อกันสามขั้น โดยใช้ตัวควบคุมฟซชีที่พัฒนาขึ้น

การควบคุมแรงดันเอาต์พุตด้วยบอร์ดไมโครคอนโทรเลอร์ DSP รุ่น eZdsp™F28335 เพื่อสร้างสัญญาณการสวิตช์ทั้งสามตัว โดยอาศัยตัวควบคุมฟซชีที่พัฒนาขึ้นทำการทดสอบเมื่อมีการเปลี่ยนแปลงจุดการทำงานแบ่งออกเป็น 3 กรณี ได้แก่ การเปลี่ยนแปลงแรงดันอ้างอิง แรงดันอินพุต

และโหลดตัวต้านทาน นอกจานนี้ยังได้แสดงผลการเบรียบเทียบผลการทดสอบชุดทดสอบกับผลการจำลองสถานการณ์เพื่อแสดงให้เห็นถึงประสิทธิผลของตัวควบคุมฟซซีที่พัฒนาขึ้นในการรักษาแรงดันเอาร์พุตของวงจรแปลงผันกำลังไฟฟ้าแบบบูสต์เรียงต่อกันสามขั้นให้คงที่ตามต้องการ รายละเอียดการทดสอบวงจรในแต่ละกรณีแสดงดังต่อไปนี้

### 7.2.1 กรณีการปรับเปลี่ยนแรงดันอ้างอิง

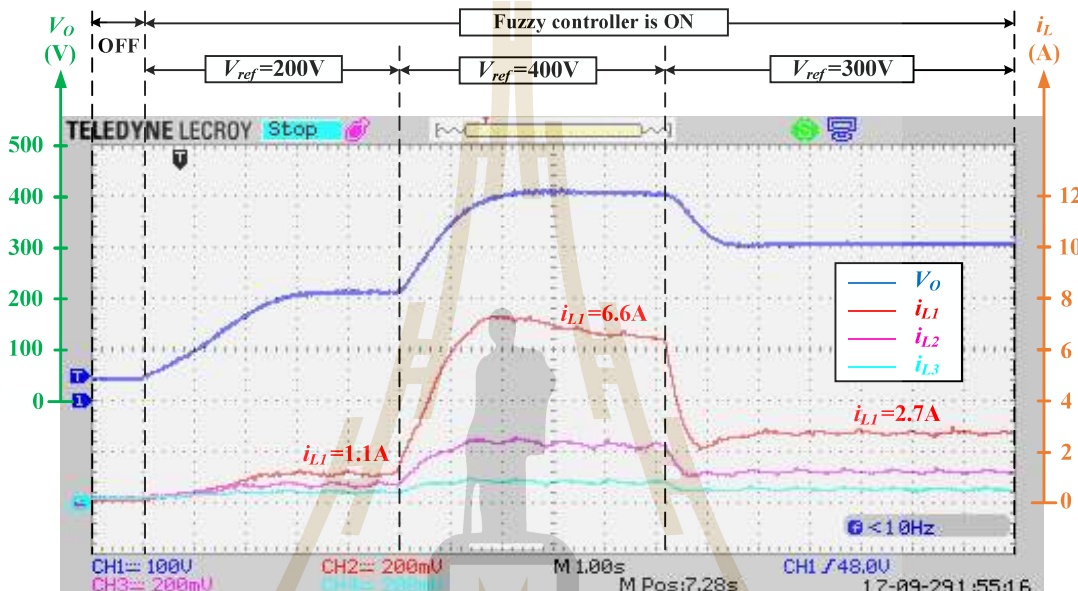
การทดสอบวงจรแปลงผันกำลังไฟฟ้าแบบบูสต์เรียงต่อกันสามขั้นเมื่อมีการปรับเปลี่ยนแรงดันอ้างอิง จะอาศัยชุดทดสอบที่แสดงดังรูปที่ 7.1 ในการทดสอบจะกำหนดให้แรงดันอ้างอิงเปลี่ยนแปลงซึ่งจะอาศัยการตั้งค่าแรงดันอ้างอิงโดยการโปรแกรมลงในบอร์ดไมโครคอนโทรลเลอร์ DSP รุ่น eZdsp™F28335 โดยแรงดันอ้างอิงจะเปลี่ยนแปลงจาก 200V เป็น 400V หลังจากนั้นเปลี่ยนเป็น 300V ส่วนแรงดันอินพุตจ่ายให้กับวงจรแปลงผันกำลังไฟฟ้าแบบบูสต์เรียงต่อกันสามขั้นคงที่ประมาณ 20V และโหลดตัวต้านทานมีขนาดคงที่ประมาณ 1600Ω ผลการทดสอบวงจรแปลงผันกำลังไฟฟ้าแบบบูสต์เรียงต่อกันสามขั้นเมื่อมีการเปลี่ยนแปลงแรงดันอ้างอิงแสดงได้ดังต่อไปนี้



รูปที่ 7.1 ชุดทดสอบวงจรเมื่อมีการเปลี่ยนแปลงแรงดันอ้างอิง

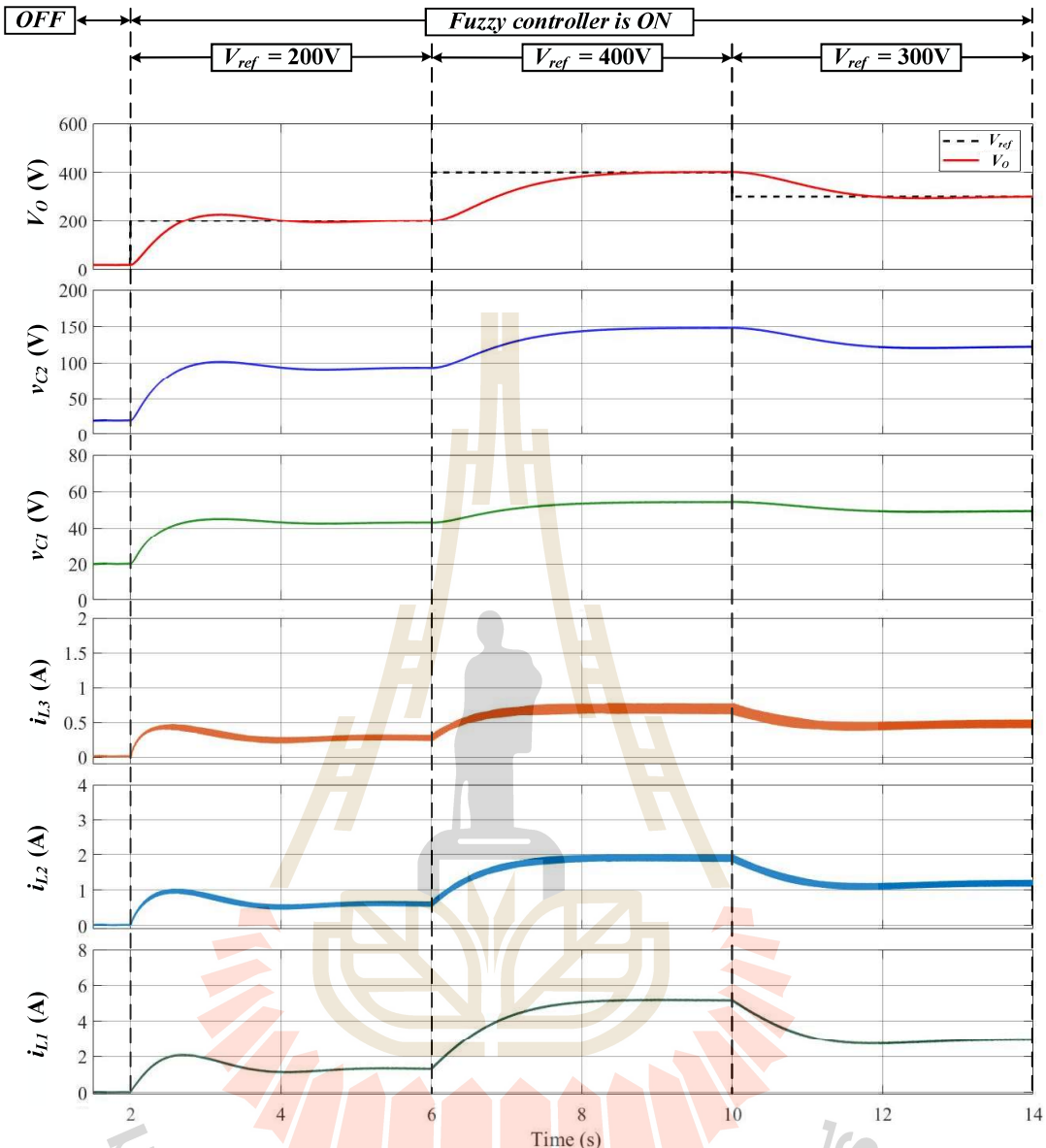
ผลการทดสอบวงจรแปลงผันกำลังไฟฟ้าแบบบูสต์เรียงต่อกันสามขั้นเมื่อมีการปรับเปลี่ยนแรงดันอ้างอิงแสดงดังรูปที่ 7.2 จะเห็นได้ว่าในขณะที่คงค่า  $V_{in}$  ที่ 20V และ  $R$  ที่ 1600Ω การทดสอบจะเปลี่ยนค่า  $V_{ref}$  เป็น 200V, 400V และ 300V โดยขณะที่เริ่มต้นการทำงานของวงจรค่ากระแสที่ไหลผ่านตัวเหนี่ยวนำ จะมีการการพุ่งเกินเล็กน้อย หลังจากนั้นตัวควบคุมฟซซีสามารถควบคุม  $V_o$  ให้คงที่ 200V โดยเข้าสู่สภาวะอยู่ตัวภายในเวลาประมาณ 2.8s ส่วน  $i_L$  เพิ่มขึ้นตามค่าแรงดันและคงที่ที่

ประมาณ 1.1A จะเห็นได้ว่าตัวควบคุมฟซซีที่พัฒนาขึ้นสามารถควบคุมค่า  $i_{L1}$  ให้มีค่าความชันตาม  $m_{ref}$  ตามกฎฟซซีที่กำหนดไว้ ต่อจากนั้นที่วินาทีที่ 5 ค่าแรงดัน  $V_{ref}$  เปลี่ยนจาก 200V เป็น 400V จะเห็นได้ว่าตัวควบคุมเพิ่มระดับ  $V_O$  และ  $i_{L1}$  จากเริ่มต้นไปยังสภาวะอยู่ตัวเป็นเวลาประมาณ 1.9s โดยที่มีค่าประมาณ 400 V และ 6.6A ตามลำดับ หลังจากนั้น  $V_{ref}$  ถูกลดลงเป็น 300V และตัวควบคุมฟซซีควบคุม  $V_O$  ไปสู่สภาวะอยู่ตัวใหม่ในเวลาประมาณ 1.2 s



รูปที่ 7.2 ผลการทดสอบวงจรเมื่อมีการเปลี่ยนแปลงแรงดันอ้างอิง

จากการทดสอบวงจรเมื่อมีการเปลี่ยนแปลงแรงดันอ้างอิงรูปที่ 7.2 เมื่อนำมาเปรียบเทียบกับผลการจำลองสถานการณ์ดังรูปที่ 7.3 พบร้าผลการจำลองสถานการณ์มีความสอดคล้องกับผลการทดสอบชุดทดสอบ แสดงให้เห็นถึงประสิทธิผลของวงจรแปลงผันกำลังไฟฟ้าแบบสต์เรียงต่อ กันสามขั้นภายในตัวควบคุมฟซซีที่พัฒนาขึ้นที่สามารถควบคุม และรักษาแรงดันแรงดันเอาร์พุตตามต้องการ

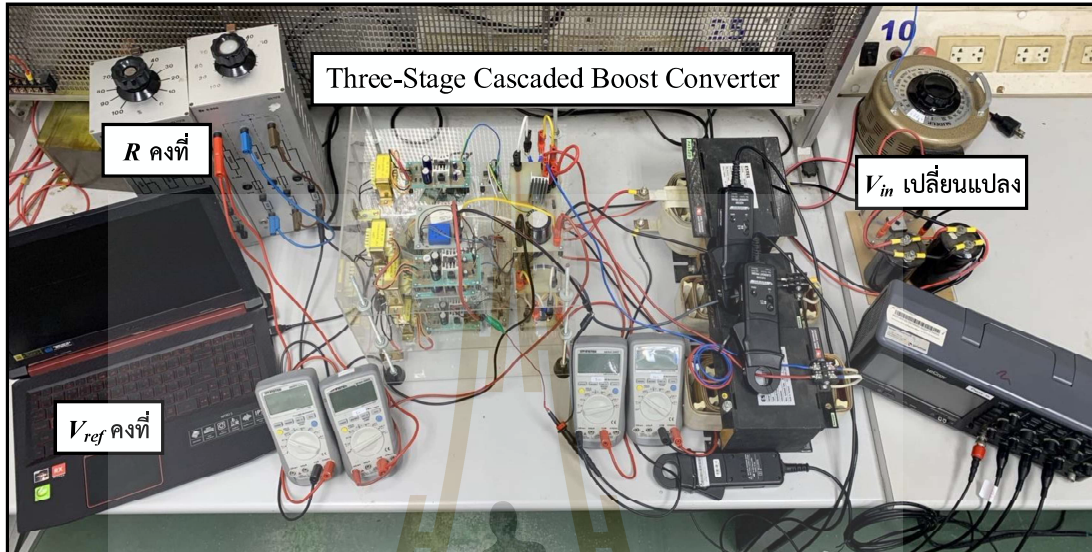


รูปที่ 7.3 ผลการจำลองสถานการณ์ว่างจรเมื่อมีการเปลี่ยนแปลงแรงดันอ้างอิง

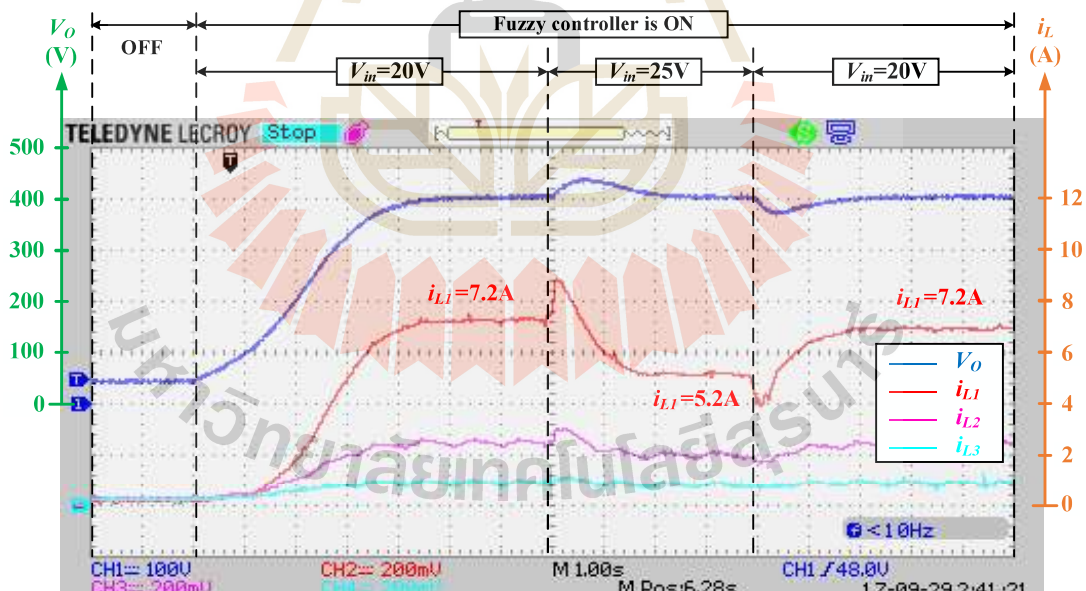
### 7.2.2 กรณีมีการปรับเปลี่ยนแรงดันอินพุต

การทดสอบว่างจรแปลงผันกำลังไฟฟ้าแบบบูสต์เรียงต่อกันสามขั้นเมื่อมีการปรับเปลี่ยนแรงดันอินพุต จะอาศัยชุดทดสอบที่แสดงดังรูปที่ 7.4 ในการทดสอบจะปรับให้แรงดันอินพุตเปลี่ยนแปลง ซึ่งจะอาศัยการปรับวงจรแหล่งจ่ายไฟฟ้ากระแสตรงสำหรับชุดทดสอบมีหม้อแปลงปรับแรงดันหนึ่งเฟส ให้ได้แรงดันอินพุตเพิ่มขึ้นจาก 20V เป็น 25V หลังจากนั้นปรับแรงดันอินพุตลดลงจาก 25V เป็น 20V โดยที่ค่าแรงดันอ้างอิง และโหลดตัวต้านทานมีค่าคงที่ตลอดการทดสอบที่ 400V

และ  $1600\Omega$  ตามลำดับ ผลการทดสอบวงจรแปลงผันกำลังไฟฟ้าแบบบูสต์เรียงต่อกันสามขั้น เมื่อมีการเปลี่ยนแปลงแรงดันอินพุตแสดงได้ดังต่อไปนี้



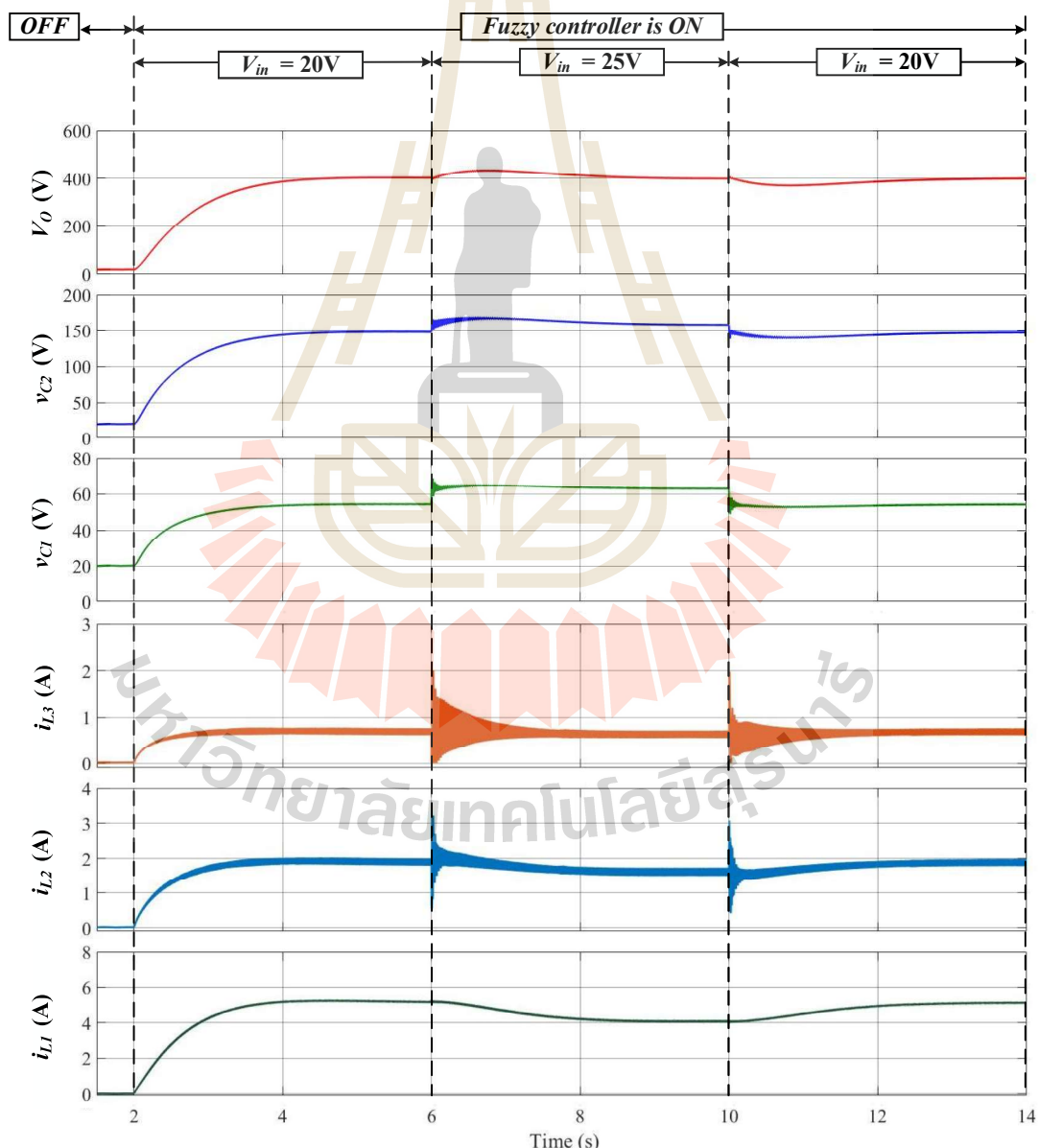
รูปที่ 7.4 ชุดทดสอบวงจรเมื่อมีการเปลี่ยนแปลงแรงดันอินพุต



รูปที่ 7.5 ผลการทดสอบวงจรเมื่อมีการเปลี่ยนแปลงแรงดันอินพุต

ผลการทดสอบวงจรแปลงผันกำลังไฟฟ้าแบบบูสต์เรียงต่อกันสามขั้น เมื่อมีการปรับเปลี่ยนแรงดันอินพุตแสดงดังรูปที่ 7.5 จะพบว่าในช่วงเริ่มต้นการทำงานของวงจรแปลงผัน

กำลังไฟฟ้าแบบบูสต์เรียงต่อ กันสามขั้น โดยมีแหล่งจ่ายแรงดัน  $V_{in}$  ที่ 20V จากรูปแสดงค่า  $V_o$  เพิ่มขึ้นจาก 20V ไปยังแรงดันอ้างอิงคือ 400V ภายในระยะเวลาประมาณ 4.2s ในเวลาเดียวกัน  $i_{L1}$  เพิ่มขึ้น และคงที่ประมาณ 7.2A ที่สภาวะอยู่ตัว หลังจากนั้น  $V_{in}$  ถูกเปลี่ยน 20V เป็น  $V_{in}$  25V ในการเปลี่ยนแปลงค่าแรงดันอินพุตส่งผลให้  $i_{L1}$  และ  $V_o$  เกิดการผุ่งเกินในช่วงเริ่มต้น จากนั้นตัวควบคุมพัชชีทำหน้าที่ควบคุมการทำงานของจ่ายอย่างมีประสิทธิผลโดยสามารถรักษา  $V_o$  ยังคงอยู่ที่ 400V และ  $i_{L1}$  มีค่าสภาวะอยู่ตัวประมาณ 5.2A ต่อมา  $V_{in}$  ถูกลดลงจาก 25V ไปยัง 20V ที่เวลา 10s ทำให้  $i_{L1}$  และ  $V_o$  ลดลงจะเห็นได้ว่าตัวควบคุมพัชชีสามารถควบคุมการทำงานของจ่ายอย่างรวดเร็ว โดยที่  $i_{L1}$  และ  $V_o$  กลับเข้าสู่สถานะตัวคงที่ โดยใช้เวลาประมาณ 1.6 s

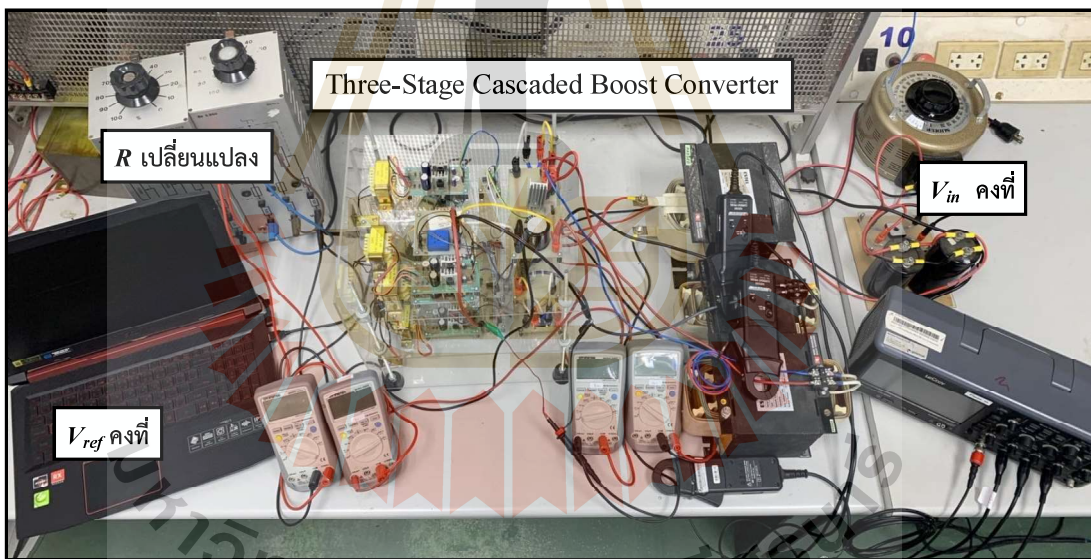


รูปที่ 7.6 ผลการจำลองสถานการณ์ว่างจรเมื่อมีการเปลี่ยนแปลงแรงดันอินพุต

จากผลการทดสอบของจริงเมื่อมีการเปลี่ยนแปลงแรงดันอินพุตดังรูปที่ 7.5 เมื่อเปรียบเทียบกับผลการจำลองสถานการณ์ดังรูปที่ 7.6 พบว่าผลการจำลองสถานการณ์มีความสอดคล้องกับผลการทดสอบชุดทดสอบ แสดงให้เห็นถึงประสิทธิผลของวงจรแปลงผันกำลังไฟฟ้าแบบบูสต์เรียงต่อ กันสามขั้นภายในได้ตัวควบคุมฟ์ซซีที่พัฒนาขึ้น ที่สามารถควบคุม และรักษาระดับแรงดันตามแรงดันอ้างอิงที่ 400V

### 7.2.3 กรณีมีการปรับเปลี่ยนโหลดตัวต้านทาน

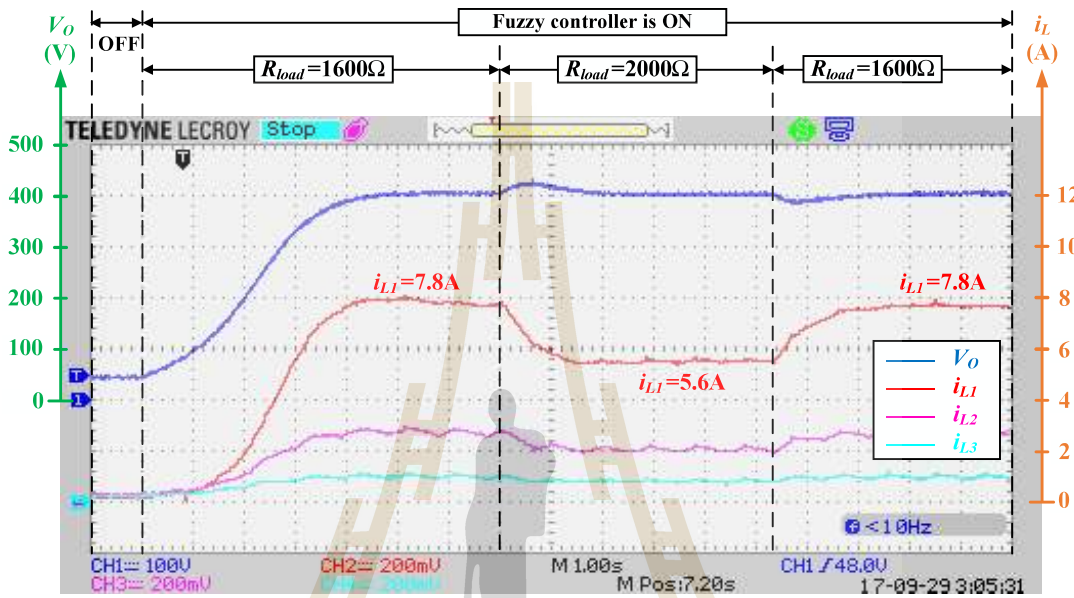
การทดสอบของจริงแปลงผันกำลังไฟฟ้าแบบบูสต์เรียงต่อ กันสามขั้นเมื่อมีการปรับเปลี่ยนโหลดตัวต้านทาน ซึ่งแสดงถึงค่ากำลังไฟฟ้าที่เปลี่ยนแปลงโดยอาศัยชุดทดสอบที่แสดงดังรูปที่ 7.7 ใน การทดสอบจะปรับให้โหลดตัวต้านทานให้เดิมค่าความต้านทานเพิ่มขึ้นจาก 1600Ω เป็น 2000Ω หลังจากนั้นปรับโหลดตัวต้านทานลดลงจาก 2000Ω เป็น 1600Ω โดยที่ค่าแรงดันอ้างอิง และแรงดันอินพุตมีค่าคงที่ตลอดการทดสอบที่ 400V และ 20V ตามลำดับ ผลการทดสอบของจริงแปลงผันกำลังไฟฟ้าแบบบูสต์เรียงต่อ กันสามขั้นเมื่อมีการเปลี่ยนแปลงโหลดตัวต้านทานแสดงได้ดังต่อไปนี้



รูปที่ 7.7 ชุดทดสอบของจริงเมื่อมีการเปลี่ยนแปลงโหลดตัวต้านทาน

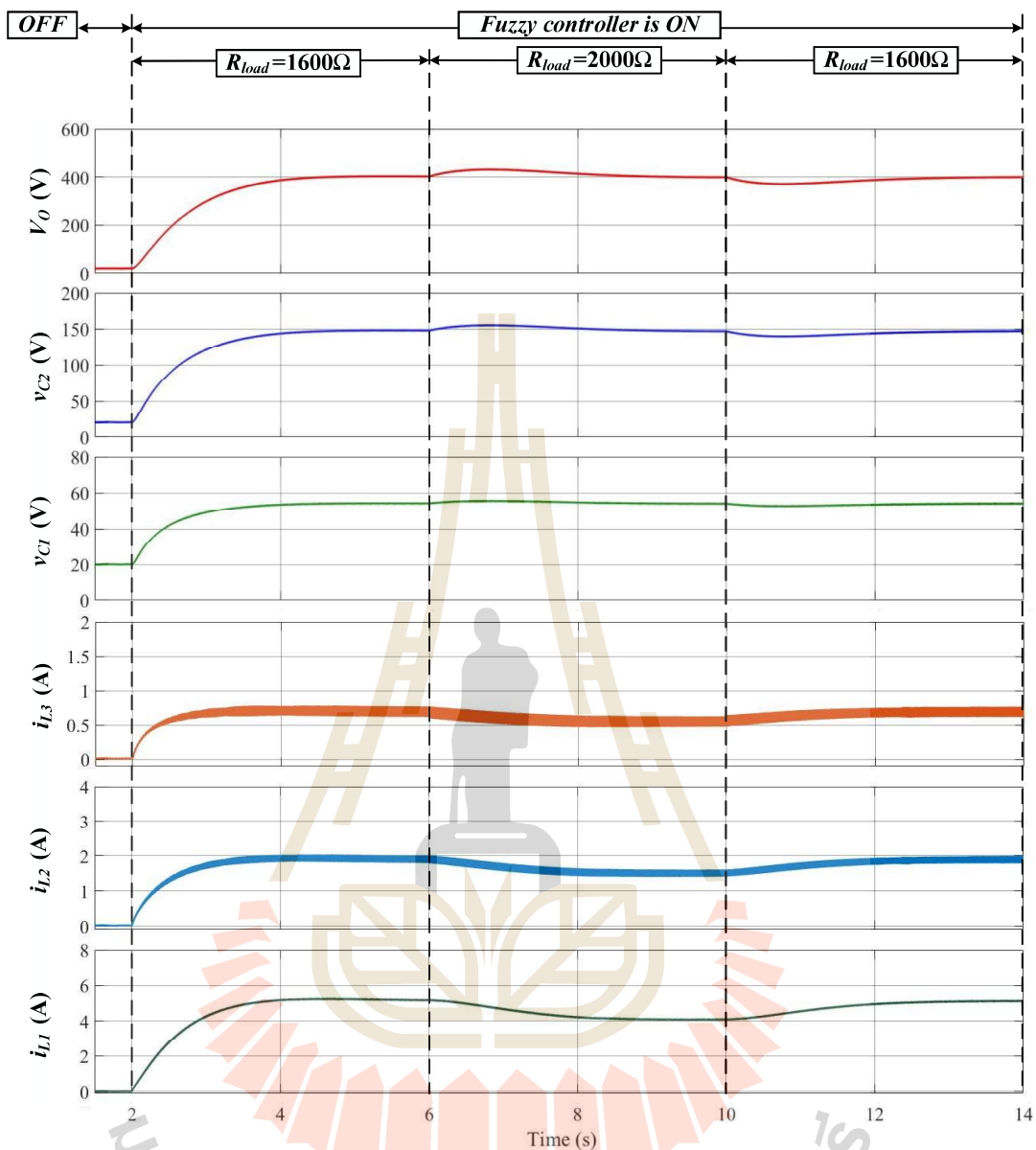
ผลการทดสอบของจริงแปลงผันกำลังไฟฟ้าแบบบูสต์เรียงต่อ กันสามขั้นเมื่อมีการปรับเปลี่ยนโหลดตัวต้านทานแสดงดังรูปที่ 7.8 จะเห็นได้ว่าในช่วงเริ่มต้นตัวควบคุมฟ์ซซีที่พัฒนาขึ้นสามารถควบคุมแรงดัน  $V_O$  จาก 20V ของแรงดันอินพุตเป็น 400V เท่ากับแรงดันอ้างอิงที่สภาวะอยู่ตัวซึ่งใช้เวลาประมาณ 4.2s ส่วน  $i_{L1}$  เพิ่มขึ้น และคงที่ที่ประมาณ 7.8A จากนั้นโหลดตัวต้านทานถูกปรับเพิ่มจาก 1600Ω เป็น 2000Ω ส่งผลให้  $V_O$  เกิดการพุ่งเกิน โดยตัวควบคุมฟ์ซซีสามารถตอบควบคุม  $V_O$

ให้ลดลงเข้าหา  $V_{ref}$  ที่ 400V อีกทั้งยังควบคุมให้  $i_{L1}$  เข้าสู่สภาพอยู่ตัวที่ 5.6A หลังจากนั้นโหลดตัวต้านทานถูกเปลี่ยนจาก  $2000\Omega$  เป็น  $1600\Omega$  ส่งผลให้แรงดัน  $V_O$  ลดลง จากนั้นตัวควบคุมพื้ชซีจะควบคุมแรงดัน  $V_O$  ให้เข้าสู่  $V_{ref}$  ที่ 400 V ส่วน  $i_{L1}$  มีค่าประมาณ 7.8A ที่สภาพอยู่ตัวโดยใช้เวลาประมาณ 1.4s



รูปที่ 7.8 ผลการทดสอบวงจรเมื่อมีการเปลี่ยนแปลงโหลดตัวต้านทาน

จากการเปรียบเทียบผลการทดสอบวงจรจริง กับผลการจำลองสถานการณ์ดังที่แสดงในรูปที่ 7.8 และ 7.9 ตามลำดับ พบว่าทั้งสองผลลัพธ์มีความสอดคล้องกัน ซึ่งยืนยันประสิทธิภาพของวงจรแปลงผันกำลังไฟฟ้าแบบบุสต์เรียงต่อกันสามขั้นภายในตัวควบคุมพื้ชซีในการรักษาแรงดันอ้างอิงที่ 400V เมื่่าว่าโหลดตัวต้านทานจะมีการเปลี่ยนแปลง

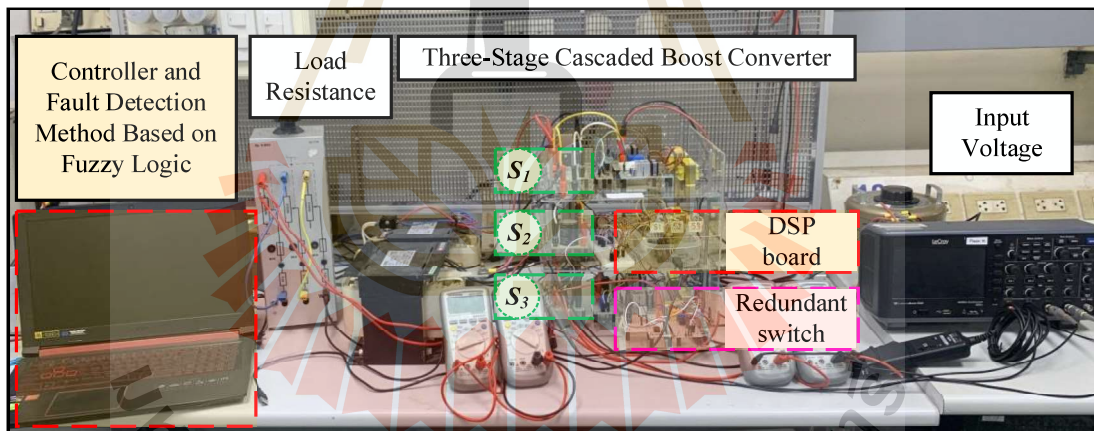


รูปที่ 7.9 ผลการจำลองสถานการณ์จะประเมินมีการเปลี่ยนแปลงโหลดตัวต้านทาน

ผลการทดสอบชุดทดลองที่มีตัวควบคุมพื้นที่ภายนอกให้การเปลี่ยนแปลงของแรงดันอ้างอิงแรงดันอินพุต และโหลดตัวต้านทาน เมื่อเปรียบเทียบกับผลการจำลองสถานการณ์พบว่ามีความสอดคล้องกันทั้งในสภาวะชั่วครู่และสภาวะอยู่ตัว ซึ่งแสดงให้เห็นถึงประสิทธิภาพของตัวควบคุมพื้นที่ใน การรักษาระดับแรงดันเอาต์พุตของวงจรแปลงผันกำลังไฟฟ้าแบบบูสต์เรียงต่อกันสามขั้น

### 7.3 ผลการทดสอบวงจรที่มีความคงทนต่อความผิดพร่องแบบสวิตช์เปิดวงจร

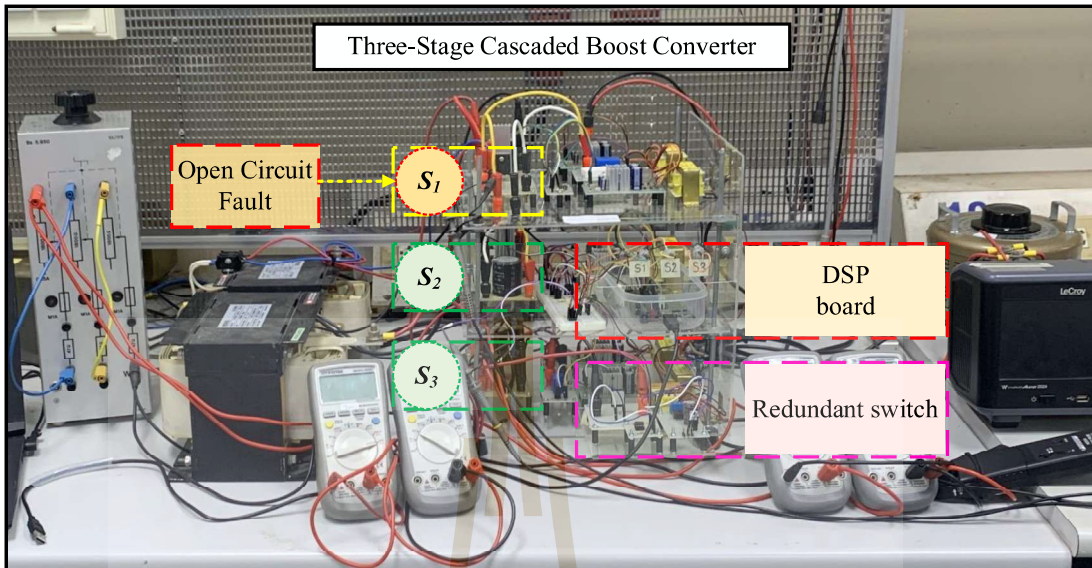
การทดสอบวงจรเมื่อเกิดความผิดพร่องแบบสวิตช์เปิดวงจรจะทำงานร่วมกับการควบคุมแรงดันเอาต์พุตด้วยการเขียนโปรแกรมลงบอร์ดไมโครคอนโทรลเลอร์ DSP รุ่น eZdsp<sup>TM</sup>F28335 แสดงตั้งรูปที่ 7.10 เพื่อสร้างสัญญาณการสวิตช์ทั้งสามตัว สำหรับรักษาแรงดันเอาต์พุตตามต้องการโดยใช้ตัวควบคุมฟัซซี่ที่พัฒนาขึ้น รวมถึงการสร้างความคงทนต่อความผิดพร่องแบบสวิตช์เปิดวงจรที่ได้พัฒนาขึ้นในบทที่ 5 โดยการทดสอบแบ่งออกเป็น 3 กรณี คือการทดสอบวงจรเมื่อเกิดความผิดพร่องแบบสวิตช์เปิดวงจรที่  $S_1$ ,  $S_2$  และ  $S_3$  ตามลำดับ โดยขั้นตอนการทดสอบแต่ละกรณีจะประกอบไปด้วยการตรวจจับความผิดพร่องที่สามารถระบุตำแหน่งความผิดพร่องที่เกิดขึ้นได้อย่างถูกต้อง และการสร้างความคงทนต่อความผิดพร่อง เมื่อเกิดความผิดพร่องแบบสวิตช์เปิดวงจร จะดำเนินการตรวจจับความผิดพร่องโดยอาศัยวิธีการตรวจจับความผิดพร่องที่พัฒนาขึ้น หลังจากนั้นจะสั่งให้สวิตช์สำรองทำงานแทนที่ โดยใช้สัญญาณสถานะความผิดพร่องเพื่อให้วงจรยังคงสามารถทำงานต่อไปได้อย่างมีประสิทธิภาพภายใต้ความผิดพร่องที่เกิดขึ้น โดยทำการเบรียบผลการทดสอบกับผลการจำลองสถานการณ์เพื่อแสดงประสิทธิผลของวิธีการตรวจจับความผิดพร่องแบบสวิตช์เปิดวงจรที่พัฒนาขึ้น



รูปที่ 7.10 ชุดทดสอบวงจรที่มีความคงทนต่อความผิดพร่องแบบสวิตช์เปิดวงจร

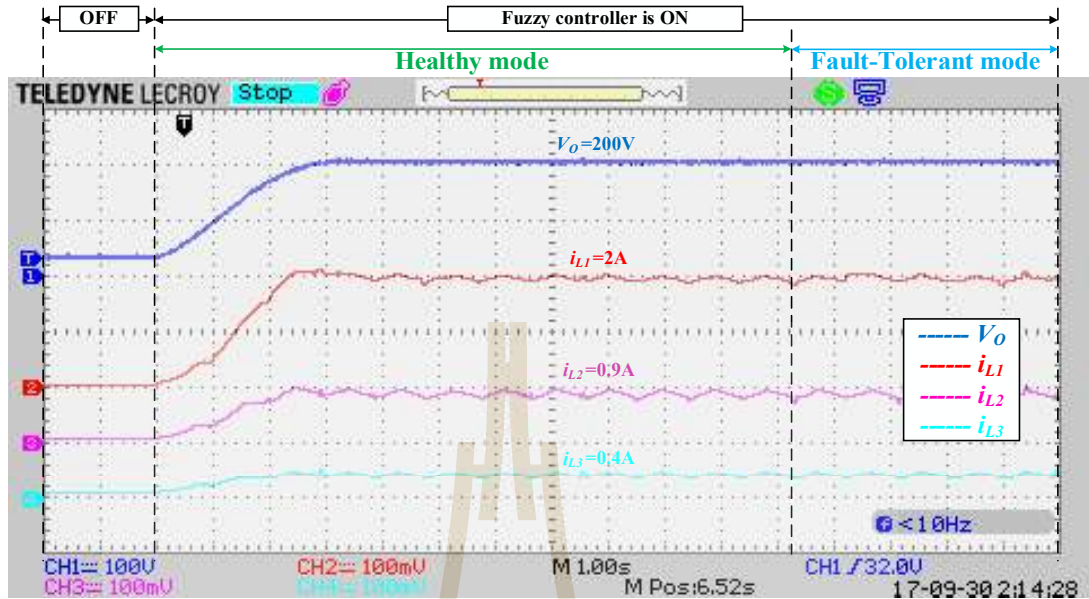
#### 7.3.1 กรณีเกิดความผิดพร่องแบบสวิตช์เปิดวงจรที่ $S_1$

การทดสอบวงรับแบบพลังผันกำลังไฟฟ้าแบบบูสต์เรียงต่อกันสามขั้น เมื่อเกิดความผิดพร่องแบบสวิตช์เปิดวงจรที่  $S_1$  จะอาศัยชุดทดสอบที่แสดงตั้งรูปที่ 7.11 ในการทดสอบจะกำหนดให้แรงดันอ้างอิงคงที่ 200V ซึ่งจะอาศัยการตั้งค่าแรงดันอ้างอิงโดยการโปรแกรมลงในบอร์ดไมโครคอนโทรลเลอร์ DSP รุ่น eZdsp<sup>TM</sup>F28335 ส่วนแรงดันอินพุตจ่ายให้กับวงจรแปลงผันกำลังไฟฟ้าแบบบูสต์เรียงต่อกันสามขั้นคงที่ประมาณ 20V และโหลดตัวต้านทานมีขนาดคงที่ประมาณ 1600Ω



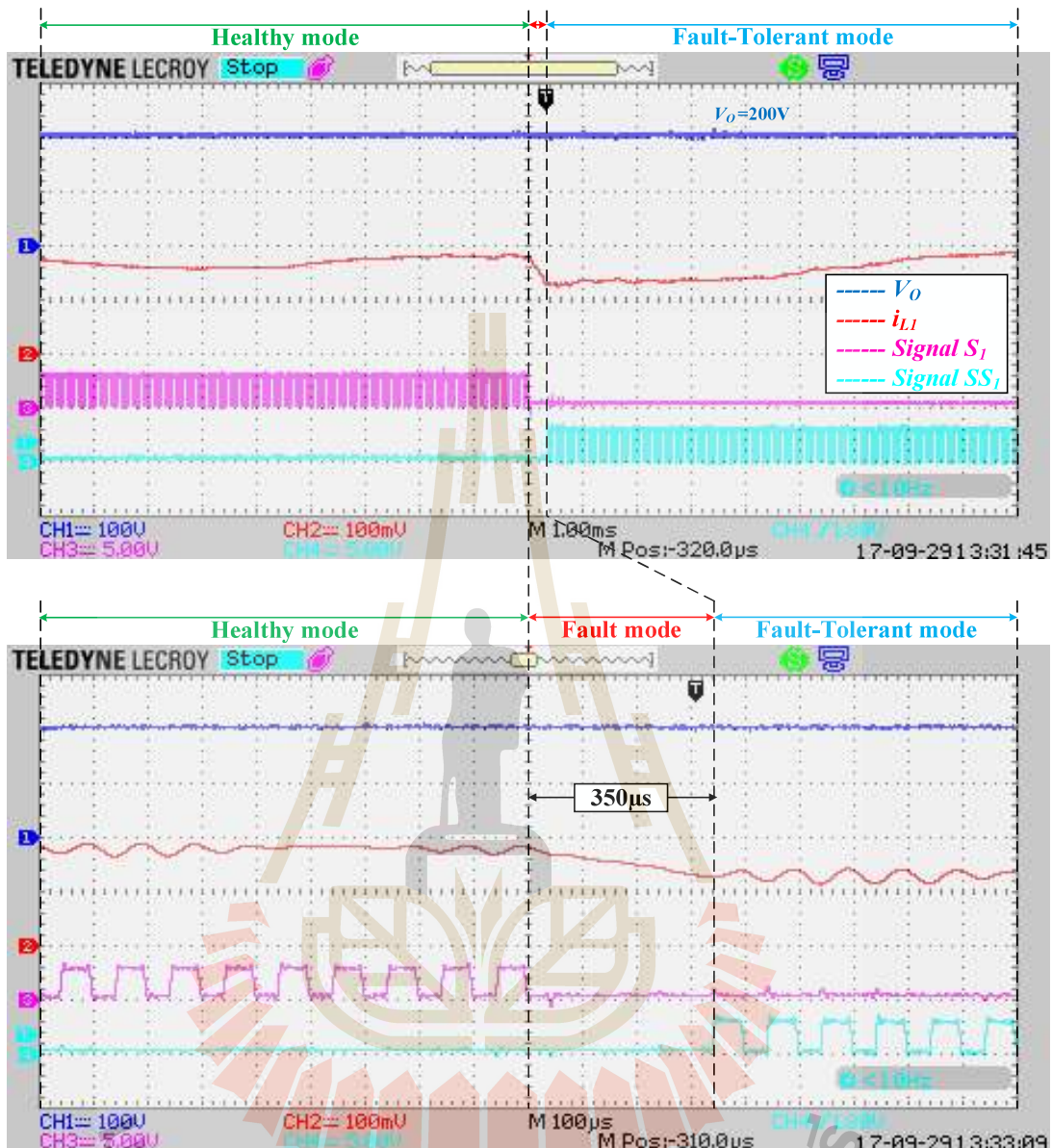
รูปที่ 7.11 ชุดทดสอบวงจรเมื่อเกิดความผิดพร่องแบบสวิตซ์เปิดวงจรที่  $S_1$

ผลการทดสอบวงจรแปลงผันกำลังไฟฟ้าแบบบุสต์เรียงต่อกันสามขั้นเมื่อเกิดความผิดพร้อมกับการสวิตซ์วงจรที่  $S_1$  และแสดงให้เห็นในรูปที่ 7.12, 7.13 และ 7.14 รูปที่ 7.12 แสดงแรงดันเอาร์พุต และกระแสผ่านตัวเหนี่ยวนำทั้งสามในช่วงโหมดปกติ ตั้งแต่เริ่มต้นการทำงานจนกระทั่งเกิดความผิดพร่อง สังเกตได้ว่าตัวควบคุมฟซซีที่พัฒนาขึ้นสามารถรักษาแรงดันเอาร์พุตได้สูงสุดที่ 200V และกระแสผ่านตัวเหนี่ยวนำ  $i_{L1}$ ,  $i_{L2}$  และ  $i_{L3}$  เพิ่มขึ้น โดยมีค่าประมาณ 2A, 0.9A และ 0.4A ตามลำดับ หลังจากนั้นที่เวลาประมาณ 11.2s เกิดความผิดพร่องที่สวิตซ์  $S_1$  จะสังเกตได้ว่าแรงดันเอาร์พุต และกระแสผ่านตัวเหนี่ยวนำทั้งสามไม่เปลี่ยนแปลง เนื่องจากสามารถตรวจสอบได้อย่างรวดเร็ว หลังจากนั้นได้ส่งสัญญาณการสวิตซ์ไปยังสวิตซ์สำรอง  $SS_1$  ให้ทำงานแทนที่เมื่อตรวจสอบพบความผิดพร่อง ตั้งกล่าว

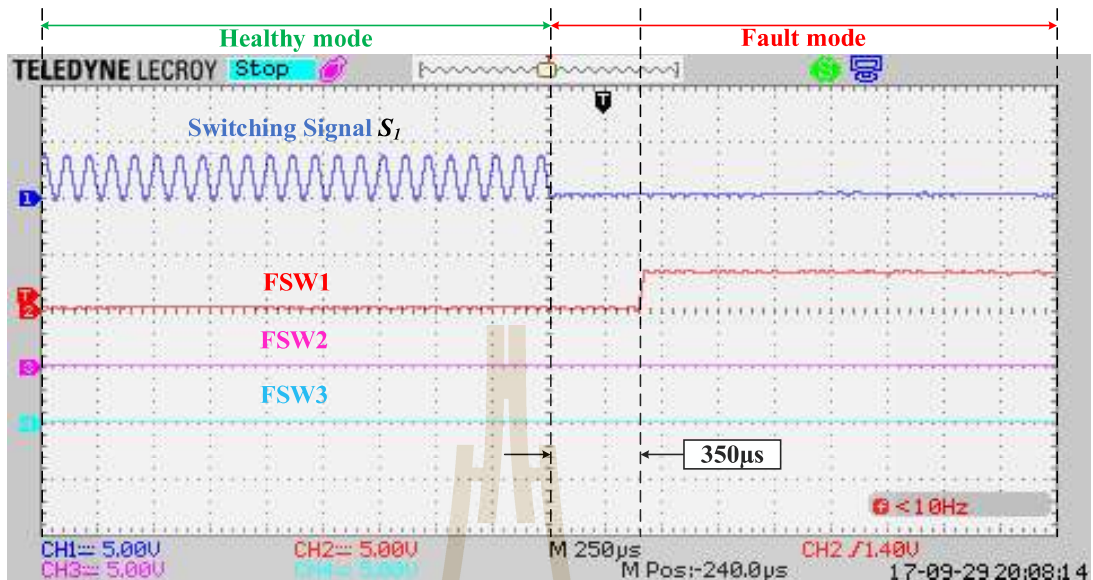


รูปที่ 7.12 ผลการทดสอบวงจรเมื่อเกิดความผิดพร่องแบบสวิตช์เปิดวงจรที่  $S_1$

เมื่อพิจารณาผลการทดสอบวงจรรูปที่ 7.13 แสดงค่าแรงดันเอาต์พุต และกระแสผ่านตัวเหนี่ยวนำตัวที่หนึ่ง สัญญาณสวิตช์  $S_1$  และสัญญาณสวิตช์สำรอง  $SS_1$  สังเกตเห็นว่าในช่วงสภาวะปกติ ก่อนเกิดความผิดพร่อง แรงดันเอาต์พุต กระแสที่ไหลผ่านตัวเหนี่ยวนำตัวที่หนึ่ง และสัญญาณการสวิตช์ที่  $S_1$  ทำงานตามปกติอยู่ในสภาวะอยู่ตัว หลังจากเกิดความผิดพร่อง สงผลให้กระแสผ่านตัวเหนี่ยวนำตัวที่หนึ่ง  $i_{L1}$  ลดลงทันที เมื่อใช้วิธีการตรวจจับความผิดพร่องแบบสวิตช์เปิดวงจรที่  $S_1$  ที่พัฒนาขึ้นสามารถตรวจจับความผิดพร่องได้อย่างถูกต้องและรวดเร็ว จากนั้นดำเนินการส่งสัญญาณการสวิตช์ให้กับสวิตช์สำรอง  $SS_1$  ทำงานแทน นอกจากนี้ผลการทดสอบในรูปที่ 7.14 แสดงสัญญาณสวิตช์ของ  $S_1$  และสัญญาณตรวจจับความผิดพร่องของสวิตช์ทั้งสามตัว ( $FSW_1, FSW_2, FSW_3$ ) ซึ่งพบว่าในช่วงสภาวะปกติก่อนเกิดความผิดพร่อง สัญญาณสวิตช์  $S_1$  ยังคงมีสัญญาณพัลส์ปกติ ส่วนสัญญาณตรวจจับความผิดพร่องของสวิตช์ทั้งสามตัวยังคงค่าเป็นศูนย์ แต่หลังจากเกิดความผิดพร่องแบบสวิตช์เปิดวงจรที่  $S_1$  โดยสัญญาณสวิตช์  $S_1$  จะมีค่าเป็นศูนย์ ส่วนสัญญาณตรวจจับความผิดพร่องของสวิตช์ที่  $S_1$  ( $FSW_1$ ) จะแสดงค่าเป็น 1 ผลตอบสนองที่เกิดขึ้นจึงส่งผลให้สามารถตรวจจับความผิดพร่องได้ และส่งสัญญาณการสวิตช์ให้กับสวิตช์สำรอง  $SS_1$  ทำงานแทนดังแสดงในรูปที่ 7.14 ในกระบวนการตรวจจับความผิดพร่องแบบสวิตช์เปิดวงจรที่  $S_1$  จะใช้เวลาเพียง 350μs หรือ 0.35ms ส่งผลให้วงจรแปลงผันกำลังไฟฟ้าแบบบูสต์เรียงต่อ กันสามขั้นทำงานได้อย่างต่อเนื่องอย่างมีประสิทธิผลในหมวดความคงทนต่อความผิดพร่อง (Fault-tolerant mode)

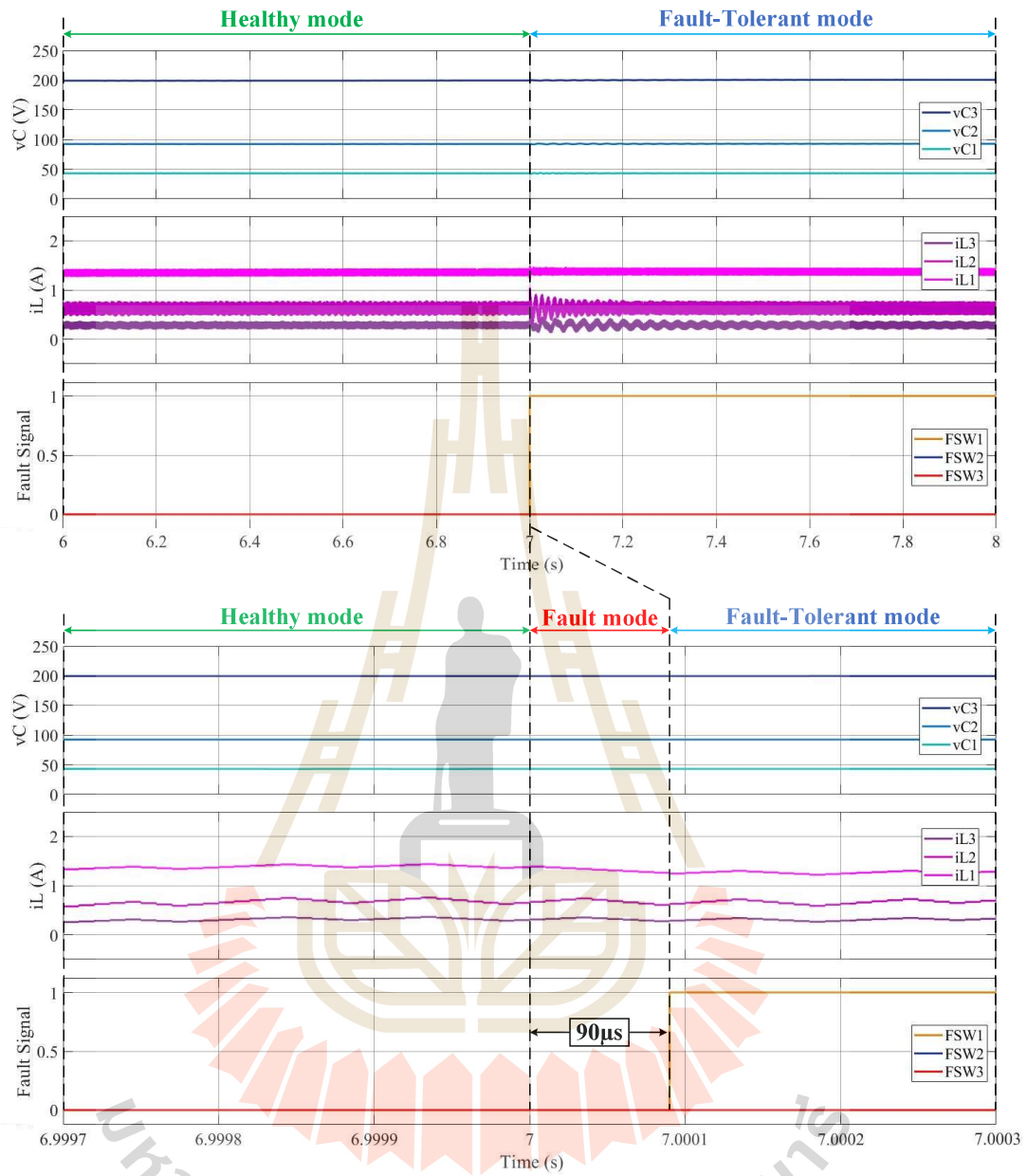


รูปที่ 7.13 ค่าแรงดันเอาต์พุต กระแสผ่านตัวเหนี่ยวนำตัวที่หนึ่ง และสัญญาณการสวิตช์เมื่อเกิดความผิดพร่องแบบสวิตช์เปิดวงจรที่  $S_1$



รูปที่ 7.14 สัญญาณการสวิตช์ และสัญญาณการตรวจจับความผิดพร่องเมื่อเกิดความผิดพร่องแบบ  
สวิตช์เปิดวงจรที่  $S_1$

จากการทดสอบของเครื่องมือที่ได้แสดงไว้ข้างต้นเมื่อนำมาเปรียบเทียบกับผลการจำลอง  
สถานการณ์ในรูปที่ 7.15 พบร่วมกันผลการจำลองสถานการณ์สามารถตรวจจับความผิดพร่องได้อย่างรวดเร็ว  
กว่าผลการทดสอบโดยใช้เวลาประมาณ 90ms หรือ 0.09ms ซึ่งความคลาดเคลื่อนนี้อาจเกิดจากอุปกรณ์  
ต่าง ๆ ภายในชุดทดสอบ และตัวตรวจจับกระแส อย่างไรก็ตามผลการจำลองสถานการณ์ยังคงมีความ  
สอดคล้องกับผลการทดสอบชุดทดสอบ แสดงให้เห็นถึงประสิทธิผลของการสร้างความคงทนต่อความผิด  
พร่อง ที่สามารถตรวจจับความผิดพร่องที่เกิดขึ้นอย่างรวดเร็วและถูกต้อง ทำให้วงจรแปลงผันกำลังไฟฟ้า  
แบบบูสต์เรียงต่อกันสามชั้นสามารถทำงานอย่างต่อเนื่องในโหมดความคงทนต่อความผิดพร่อง (Fault-tolerant mode) ได้อย่างมีประสิทธิผล

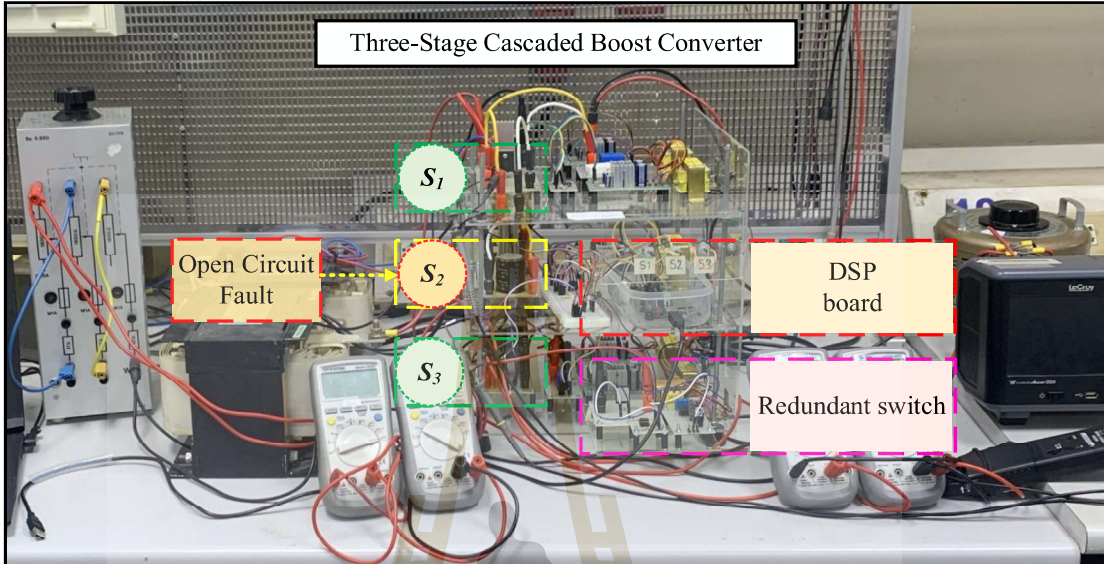


รูปที่ 7.15 ผลการจำลองสถานการณ์เมื่อเกิดความผิดพร่องแบบสวิตช์เปิดวงจรที่  $S_1$  ภายใต้สภาวะคงทันต่อความผิดพร่อง

### 7.3.2 กรณีเกิดความผิดพร่องแบบสวิตช์เปิดวงจรที่ $S_2$

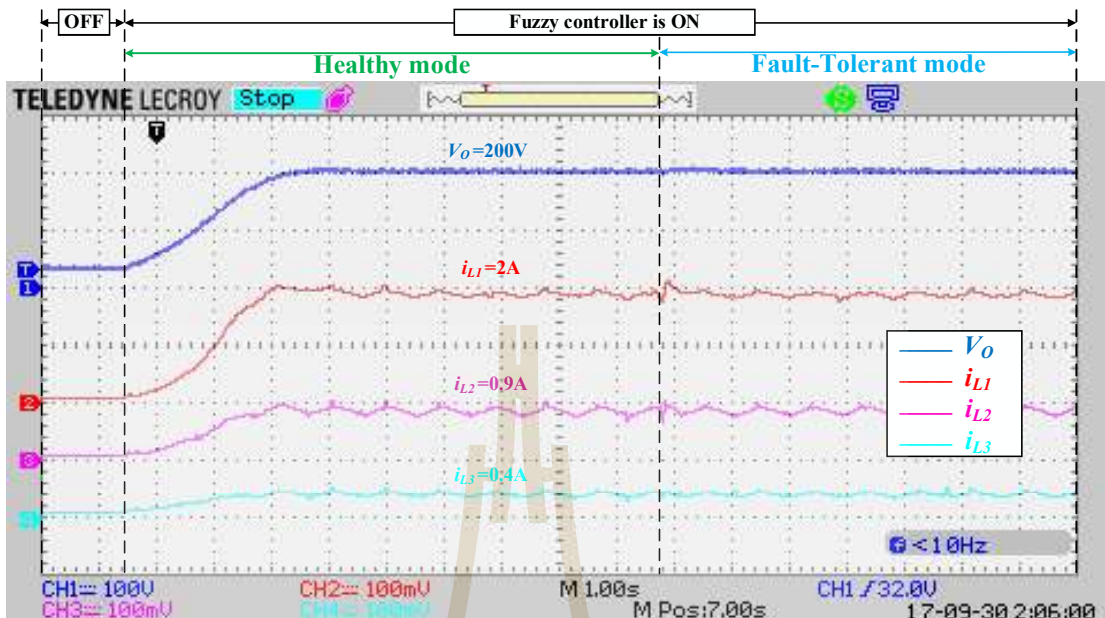
การทดสอบวงจรแเปลงพันกำลังไฟฟ้าแบบบูสต์เรียงต่อกันสามขั้น เมื่อเกิดความผิดพร่องแบบสวิตช์เปิดวงจรที่  $S_2$  จะอาศัยชุดทดสอบที่แสดงตั้งรูปที่ 7.16 ในการทดสอบจะกำหนดให้แรงดันอ้างอิงคงที่ 200V ซึ่งจะอาศัยการตั้งค่าแรงดันอ้างอิงโดยการโปรแกรมลงในบอร์ดไมโครคอน

ໂທຣເລອ່ງ DSP ຈຸນ eZdsp<sup>TM</sup>F28335 ສ່ວນແຮງດັນອິນພຸຕູຈ່າຍໃຫ້ກັບງຈຣແປລັງຜັນກຳລັງໄຟຟ້າແບບບຸສົດໆ  
ເຮັດຕ່ອກນໍາສັນນີ້ຄົງທີ່ປະມານ 20V ແລະ ໂຫດຕົວຕ້ານທານມີຂາດຄົງທີ່ປະມານ 1600Ω



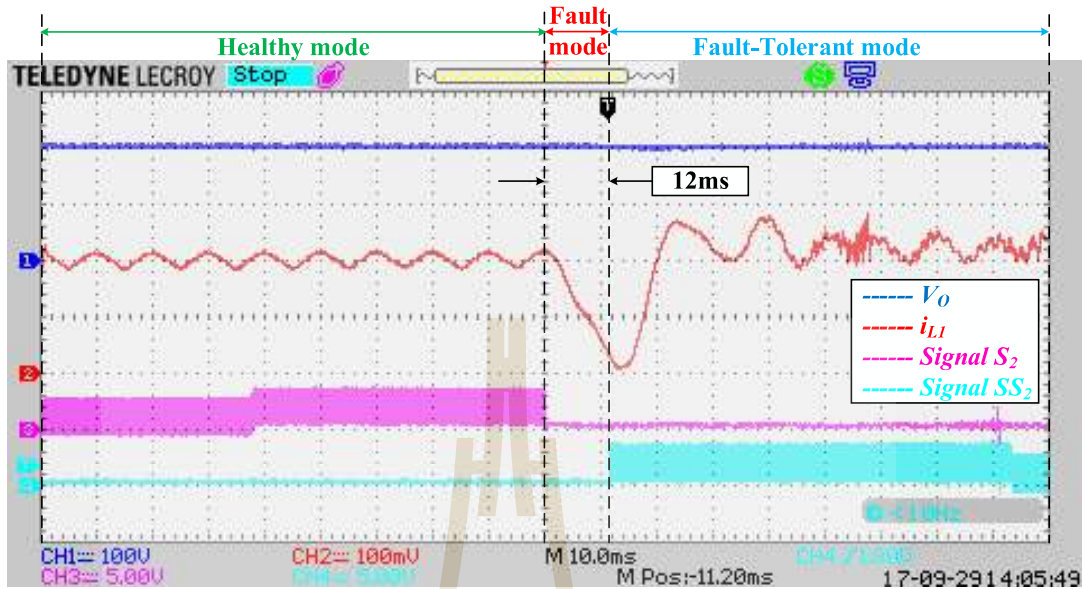
ຮູບທີ 7.16 ທຸດທະສອບງຈຣແປລັງຜັນກຳລັງໄຟຟ້າແບບບຸສົດໆເຮັດຕ່ອກນໍາສັນນີ້ມີເກີດຄວາມພິດພົອງແບບສົງເປົ້າເປົ້າເປົ້າເປົ້າ

ຜລກາທຸດສອບງຈຣແປລັງຜັນກຳລັງໄຟຟ້າແບບບຸສົດໆເຮັດຕ່ອກນໍາສັນນີ້ມີເກີດຄວາມພິດ  
ພົອງແບບສົງເປົ້າເປົ້າເປົ້າເປົ້າເປົ້າ ຖື່ນແດດໃນກາພທີ 7.17, 7.18 ແລະ 7.19 ໂດຍຮູບທີ 7.17 ແດ້ງຄ່າແຮງດັນ  
ເອົາຕົວພຸຕູ ແລະ ກະແສທີ່ໄຫລັກຕົວແນ່ຍວນນຳທີ່ສາມຕົວຂອງທຸດທະສອບງຈຣໃນໂໜ່ດກາທໍາງການປົກຕິ  
(Healthy Mode) ຕັ້ງແຕ່ທຸດທະສອບເຮີ່ມທຳນາຈະເຫັນວ່າຕ້າວຄຸມສາມາດພິມຮະດັບແຮງດັນເອົາຕົວພຸຕູ  
ແລະ ກະແສທີ່ໄຫລັກຕົວແນ່ຍວນນຳໄດ້ຕາມທີ່ຕ້ອງການ ລັ້ງຈາກນັ້ນມີເກີດຄວາມພິດພົອງແບບສົງເປົ້າເປົ້າເປົ້າເປົ້າ  
ວົງຈຣທີ່ S<sub>2</sub> ຈະສັງເກົດໄດ້ວ່າຄ່າແຮງດັນເອົາຕົວພຸຕູ ແລະ ກະແສທີ່ໄຫລັກຕົວແນ່ຍວນນຳທີ່ສາມຕົວມີການ  
ເປີ່ຍນແປລັງເລັກນ້ອຍ ສາມາດຕຽບງຈັບຄວາມພິດພົອງແບບສົງເປົ້າເປົ້າເປົ້າເປົ້າວົງຈຣທີ່ S<sub>2</sub> ແລະ ສັງສັນຍຸງມານການ  
ສົງເປົ້າເປົ້າເປົ້າເປົ້າໃຫ້ກັບສົງເປົ້າເປົ້າສຳຮອງ SS<sub>2</sub> ທຳນາທັນທີມີອ່ອງຈົບຄວາມພິດພົອງໄດ້

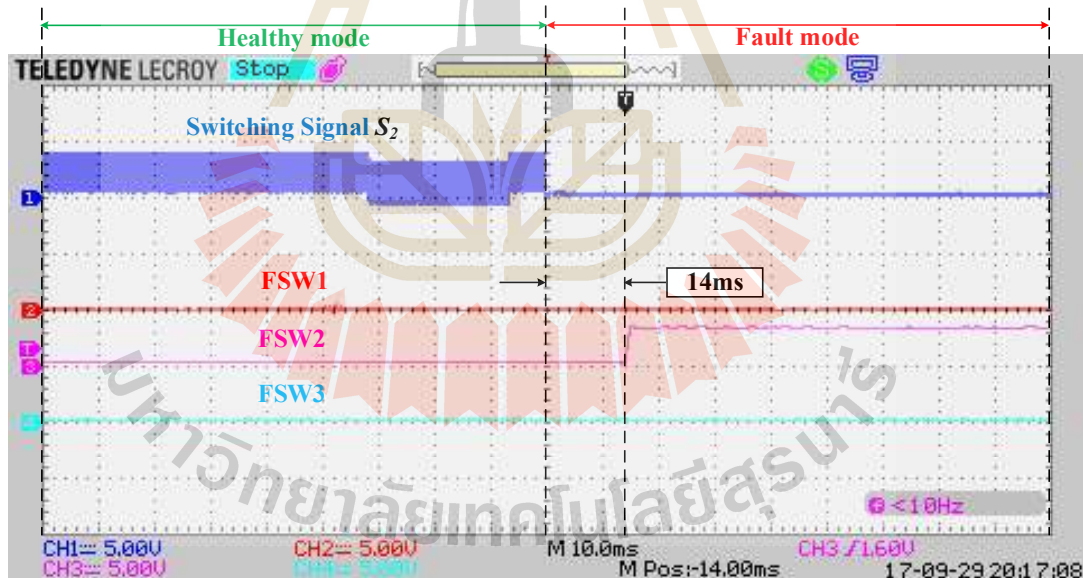


รูปที่ 7.17 ผลการทดสอบวงจรเมื่อเกิดความผิดพร่องแบบสวิตช์เปิดวงจรที่  $S_2$

เมื่อพิจารณาผลการทดสอบวงจรในรูปที่ 7.18 ซึ่งแสดงค่าแรงดันเออต์พุต และกระแสที่ไหลผ่านตัวเหนี่ยวนำตัวที่หนึ่ง และสัญญาณการสวิตช์  $S_2$  และสัญญาณการสวิตช์สำหรับสวิตช์สำรอง  $SS_2$  จะเห็นว่าในสภาวะปกติก่อนเกิดความผิดพร่อง แรงดันเออต์พุต กระแสที่ไหลผ่านตัวเหนี่ยวนำตัวที่หนึ่ง และสัญญาณการสวิตช์ที่  $S_2$  ทำงานตามปกติอยู่ในสภาวะอยู่ตัว หลังจากเกิดความผิดพร่องนั้น กระแส  $i_{L1}$  มีการเปลี่ยนแปลงอย่างเห็นได้ชัด ทำให้ความชัน  $m_{i_{L1}}$  มีค่าติดลบ ซึ่งผลตอบสนองดังกล่าว เป็นตัวบ่งชี้ถึงกระบวนการตรวจสอบความผิดพร่องแบบสวิตช์เปิดวงจรที่  $S_2$  ที่ทำได้ทันที และส่งสัญญาณการสวิตช์ให้กับสวิตช์สำรอง  $SS_2$  เพื่อทำหน้าที่แทน เมื่อพิจารณาผลการทดสอบวงจรในรูปที่ 7.19 ซึ่งแสดงสัญญาณการสวิตช์  $S_2$  และสัญญาณการตรวจสอบความผิดพร่อง  $FSW_1$ ,  $FSW_2$  และ  $FSW_3$  พบร่วมกับ สภาวะปกติก่อนเกิดความผิดพร่อง สัญญาณการสวิตช์  $S_2$  ยังคงมีสัญญาณพัลส์ปกติ ส่วนสัญญาณการตรวจสอบความผิดพร่องของสวิตช์ทั้งสามตัวมีค่าเป็นศูนย์ หลังจากเกิดความผิดพร่องที่สวิตช์  $S_2$  พบร่วมกับ สัญญาณการสวิตช์  $S_2$  จะมีค่าเป็นศูนย์ ส่วนสัญญาณการตรวจสอบความผิดพร่อง  $FSW_1$ ,  $FSW_2$  และ  $FSW_3$  จะมีค่าเป็น 0, 1 และ 0 ตามลำดับ ซึ่งแสดงถึงการเกิดความผิดพร่องแบบสวิตช์เปิดวงจรที่  $S_2$  และส่งสัญญาณการสวิตช์ให้กับสวิตช์สำรอง  $SS_2$  เพื่อทำหน้าที่แทน ในกระบวนการตรวจสอบความผิดพร่องแบบบุสต์เรียงต่อกันสามขั้นทำงานได้ต่อเนื่องอย่างมีประสิทธิผลในโหมดความคงทนต่อความผิดพร่อง



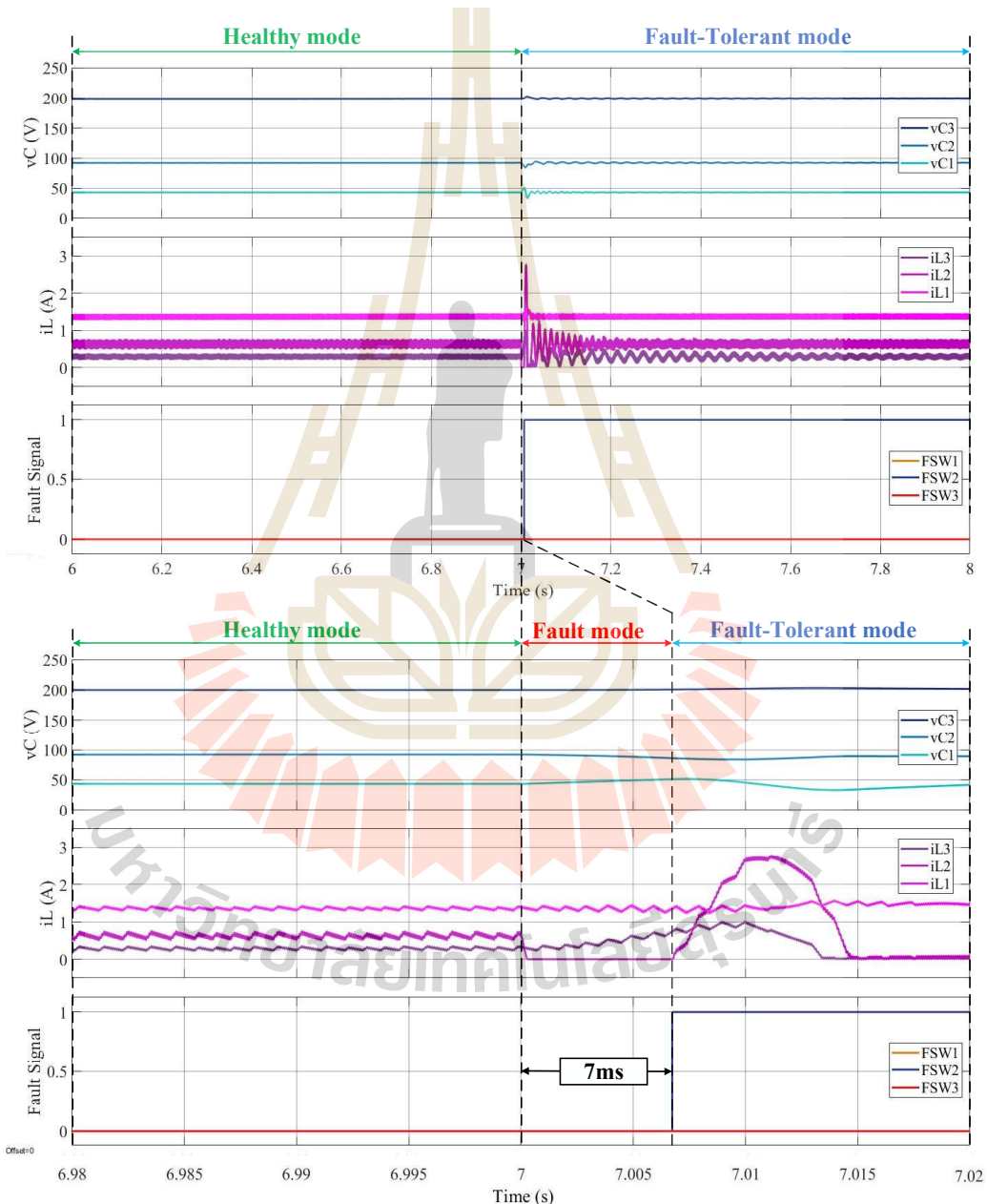
รูปที่ 7.18 แรงดันเอาต์พุต กระแสผ่านตัวเหนี่ยวนำตัวที่หนึ่ง และสัญญาณการสวิตช์เมื่อเกิดความผิดพร่องแบบสวิตช์เปิดวงจรที่  $S_2$



รูปที่ 7.19 สัญญาณการสวิตช์ และสัญญาณการตรวจจับความผิดพร่องเมื่อเกิดความผิดพร่องแบบสวิตช์เปิดวงจรที่  $S_2$

จากผลการทดสอบพบว่ารูปแบบเปล่งผ้นกำลังไฟฟ้าแบบบูสต์เรียงต่อกันสามขั้น เมื่อเกิดความผิดพร่องแบบการเปิดวงจรที่  $S_2$  ตามที่ได้แสดงไว้ข้างต้น เมื่อเทียบกับผลการจำลองสถานการณ์

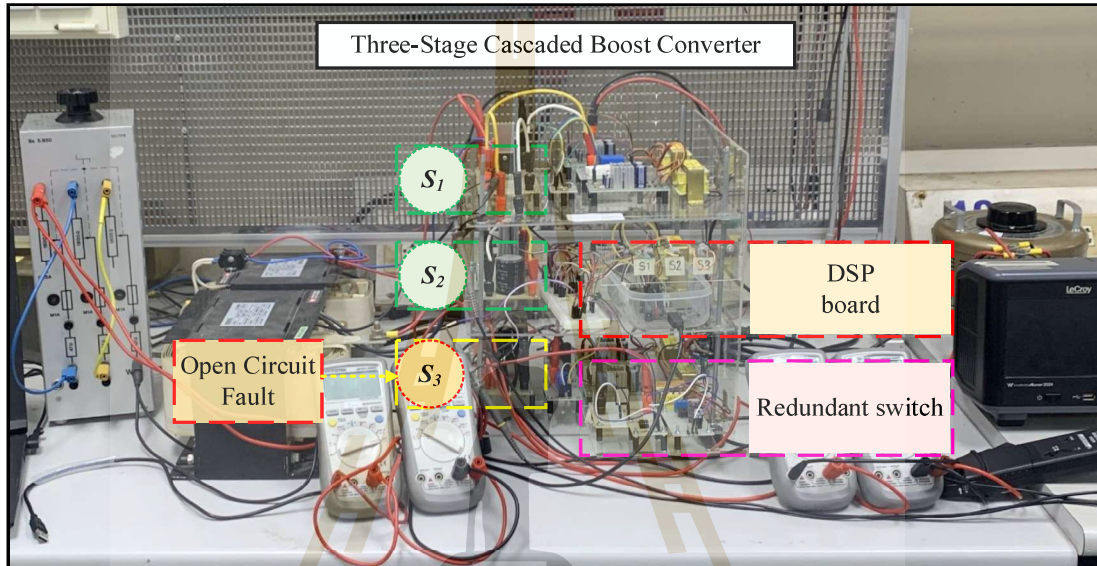
ที่แสดงในรูปที่ 7.20 จะพบว่าผลการจำลองสถานการณ์สามารถตรวจสอบจับความผิดพร่องได้เร็วกว่าผลการทดสอบจริง โดยใช้เวลาประมาณ 7ms ความคลาดเคลื่อนอาจเกิดขึ้นได้จากอุปกรณ์ต่าง ๆ ในชุดทดสอบอย่างไรก็ตามผลการจำลองสถานการณ์ยังคงมีความคล้ายคลึงกับผลการทดสอบจริงในชุดทดสอบ แสดงให้เห็นถึงประสิทธิผลในการสร้างความคงทนต่อความผิดพร่อง ซึ่งสามารถตรวจสอบจับความผิดพร่องที่เกิดขึ้นอย่างรวดเร็วและถูกต้อง ทำให้งานทำงานอย่างต่อเนื่องได้อย่างมีประสิทธิผล



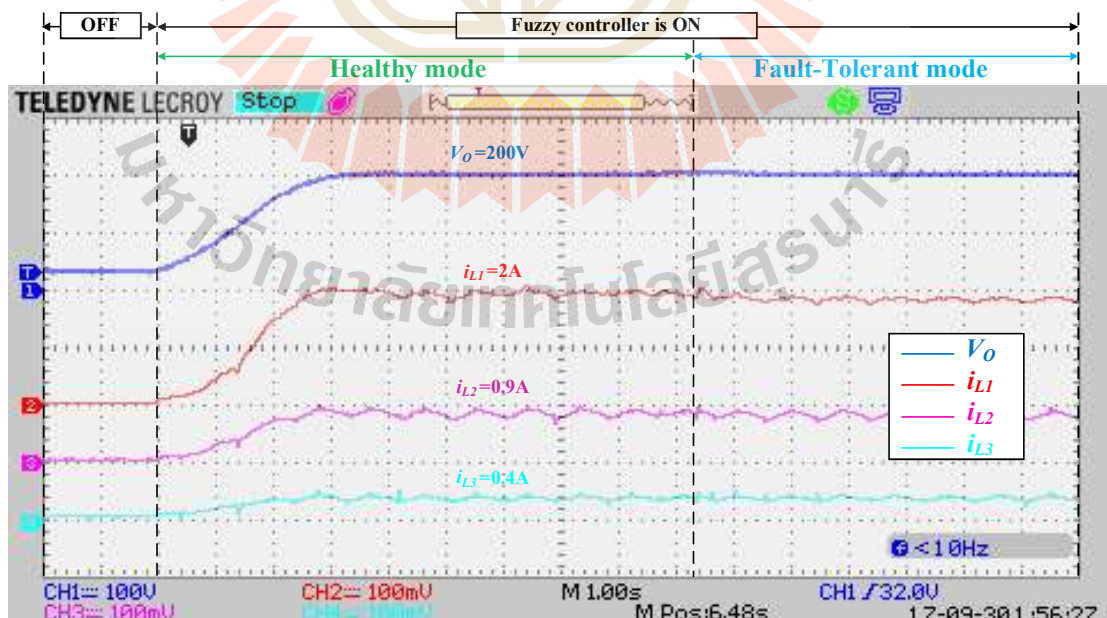
รูปที่ 7.20 ผลการจำลองสถานการณ์เมื่อเกิดความผิดพร่องแบบสวิตช์เปิดวงจรที่  $S_2$  ภายใต้สภาวะคงทนต่อความผิดพร่อง

### 7.3.3 กรณีเกิดความผิดพร่องแบบสวิตช์เปิดวงจรที่ $S_3$

การทดสอบวงจรแปลงผันกำลังไฟฟ้าแบบบูสต์เรียงต่อกันสามขั้นเมื่อเกิดความผิดพร่องแบบสวิตช์เปิดวงจรที่  $S_3$  ดำเนินการโดยใช้ชุดทดสอบตามรูปที่ 7.21 โดยกำหนดแรงดันอ้างอิงที่ 200V ผ่านการตั้งค่าในบอร์ดไมโครคอนโทรลเลอร์ DSP รุ่น eZdsp™F28335 และใช้แรงดันอินพุตคงที่ 20V พร้อมโหลดตัวต้านทาน  $1600\Omega$

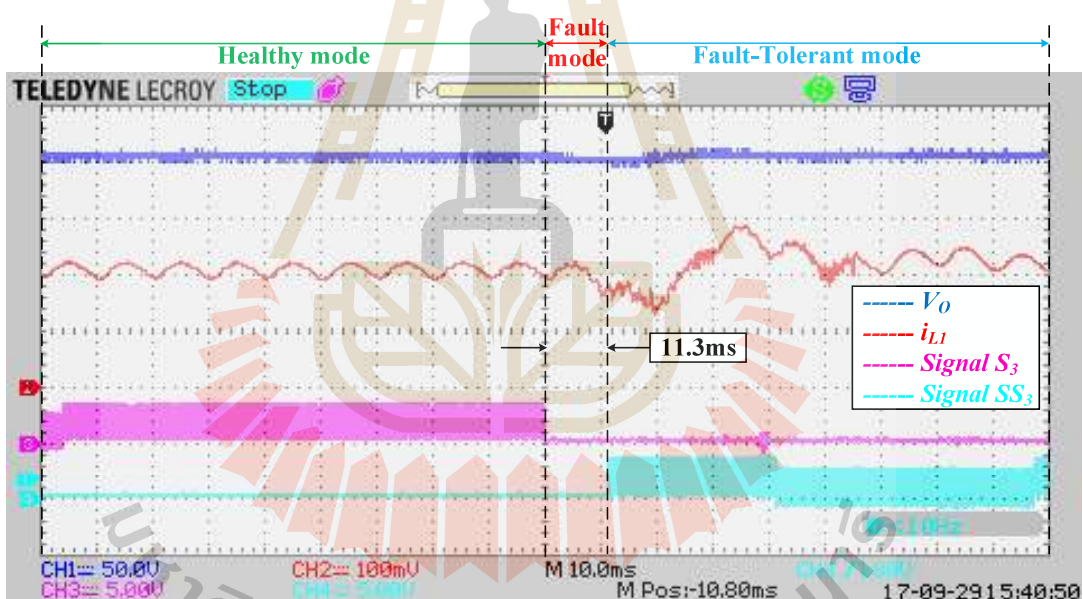


รูปที่ 7.21 ชุดทดสอบวงจรเมื่อเกิดความผิดพร่องแบบสวิตช์เปิดวงจรที่  $S_3$



รูปที่ 7.22 ผลการทดสอบวงจรเมื่อเกิดความผิดพร่องแบบสวิตช์เปิดวงจรที่  $S_3$

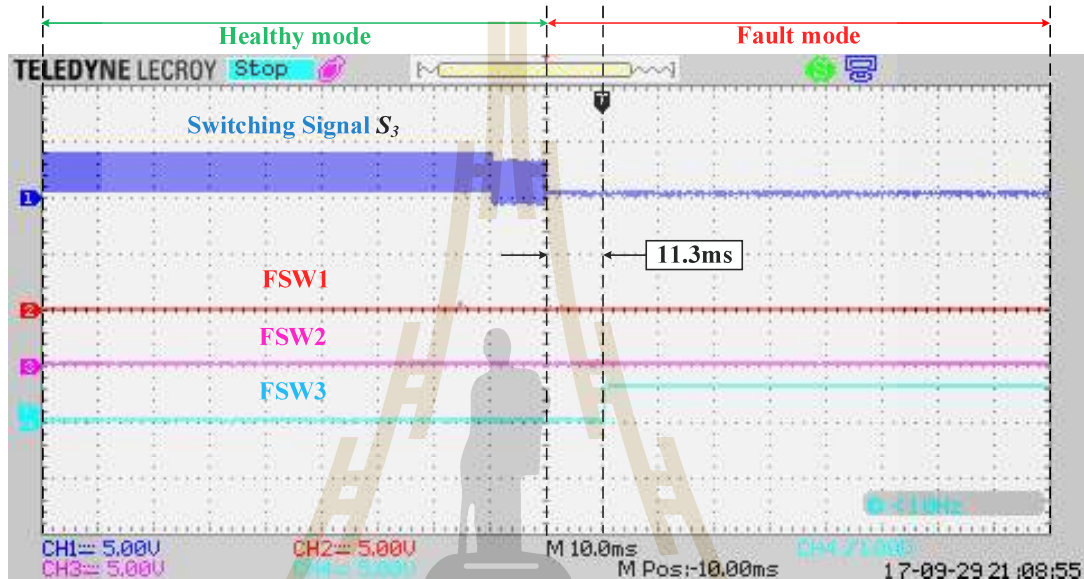
ผลการทดสอบวงจรแปลงผันกำลังไฟฟ้าแบบบูสต์เรียงต่อกันสามขั้นเมื่อเกิดความผิดพร่องแบบสวิตซ์เปิดวงจรที่  $S_3$  แสดงในรูปที่ 7.22 ในโหมดสถานะปกติ (Healthy Mode) พบร่วมกับคุณสมารถเพิ่มระดับแรงดันເອົາຕຸກ ແລະ ກະແສໄຫລຜ່ານຕັ້ງເໜີຍວຳນຳໄດ້ຕາມຄວາມຕ້ອງການ ລັງຈາກເກີດຄວາມຜິດພຽງແບບສົວືຕົ້ນເປີດວັງຈາກທີ່  $S_3$  ຈະສັງເກົດໄດ້ວ່າຄ່າແຮງດັນເອົາຕຸກ ແລະ ກະແສໄຫລຜ່ານຕັ້ງເໜີຍວຳນຳທີ່ສາມຕັ້ງຂອງຊຸດທດສອບວົງຈາກມີການເປີດຢັ້ງແລ້ງນ້ອຍ ໂດຍສາມາດຕຽບຄວາມຜິດພຽງແບບສົວືຕົ້ນເປີດວັງຈາກທີ່  $S_3$  ໄດ້ ແລະ ສັງສົນງານການສົວືຕົ້ນໃຫ້ກັບສົວືຕົ້ນສໍາຮອງ  $SS_3$  ທຳມະນາດແທນທັນທີເມື່ອຕຽບຈັບໄດ້ ເມື່ອພິຈາລະນາຜາກການທົດສອບວົງຈາກໃນຮູບທີ່ 7.23 ສະແດງຄ່າແຮງດັນເອົາຕຸກ ແລະ ກະແສໄຫລຜ່ານຕັ້ງເໜີຍວຳນຳທີ່ສາມຕັ້ງໃນໂມດການທຳມະນາດປົກຕົວ (Healthy Mode) ລັງຈາກເກີດຄວາມຜິດພຽງທີ່ໄດ້ໃຫ້ແຮງດັນເອົາຕຸກລົດລົງຈາກການຄາຍປະຈຸຂອງຕັ້ງເກີບປະຈຸ  $C_3$  ໄປຢັ້ງໂລດຕັ້ງຕ້ານທານ ທຳໄໝສາມາດຕຽບຈັບຄວາມຜິດພຽງແບບການເປີດວັງຈາກທີ່  $S_3$  ແລະ ສັງສົນງານການສົວືຕົ້ນໃຫ້ກັບສົວືຕົ້ນສໍາຮອງ  $SS_3$  ໃຫ້ທຳມະນາດແທນທັນທີເມື່ອຕຽບຈັບໄດ້



รูปที่ 7.23 ແຮງດັນເອົາຕຸກ ກະແສໄຫລຜ່ານຕັ້ງເໜີຍວຳນຳທີ່ໜຶ່ງ ແລະ ສັນງານການສົວືຕົ້ນເມື່ອເກີດຄວາມຜິດພຽງແບບສົວືຕົ້ນເປີດວັງຈາກທີ່  $S_3$

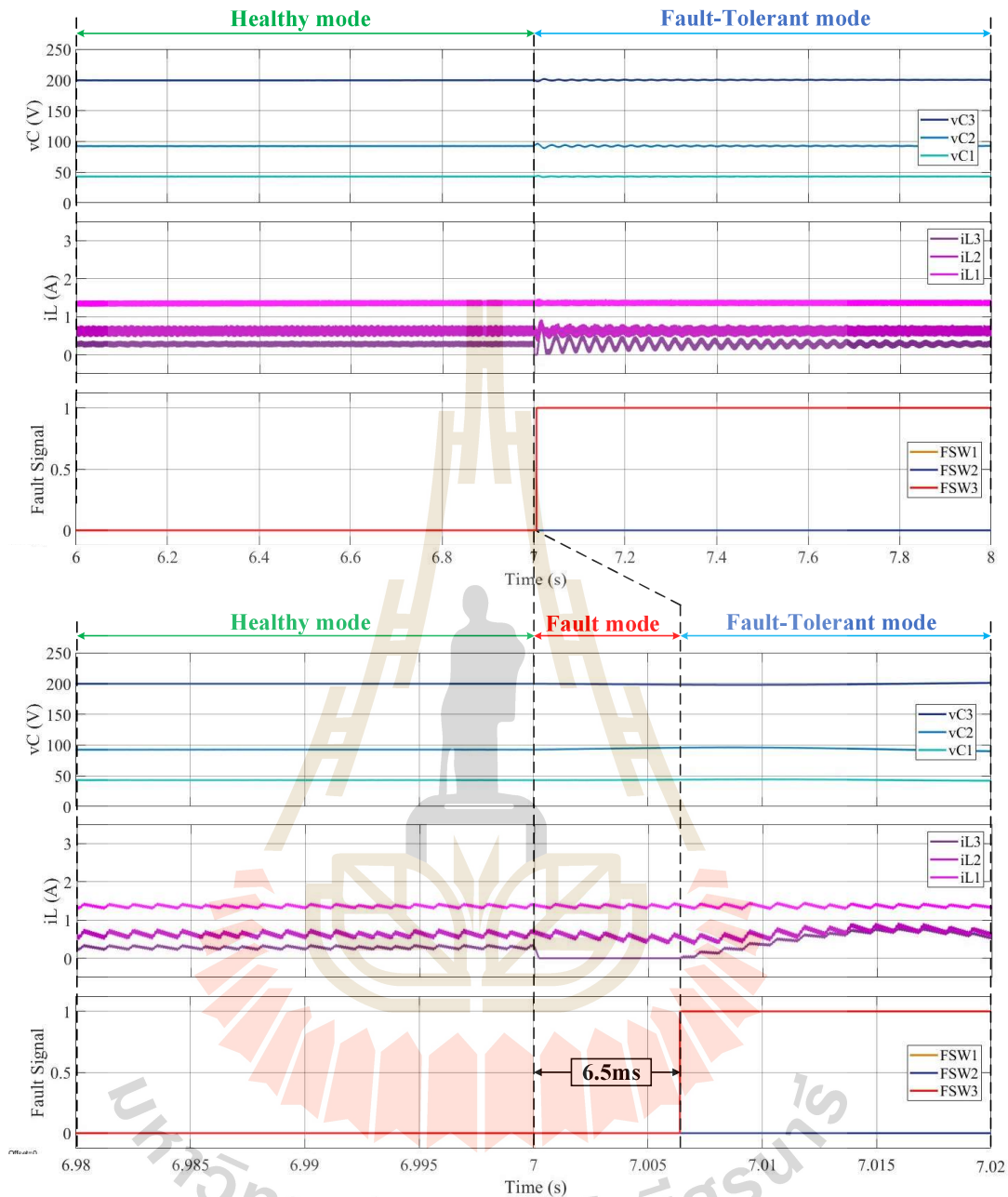
ผลการทดสอบวงจรตามรูปที่ 7.24 ที่แสดงສັນງານການສົວືຕົ້ນ  $S_3$  ແລະ ສັນງານການຕຽບຈັບຄວາມຜິດພຽງຂອງສົວືຕົ້ນທີ່ສາມຕັ້ງ  $FSW_1$ ,  $FSW_2$  ແລະ  $FSW_3$  ພບວ່າໃນໂມດການທຳມະນາດປົກຕົວ ເກີດຄວາມຜິດພຽງ ສັນງານການສົວືຕົ້ນ  $S_3$  ຍັງຄສຮ້າງສັນງານພໍລົສ ສ່ວນສັນງານການຕຽບຈັບຄວາມຜິດພຽງຂອງສົວືຕົ້ນທີ່ສາມຕັ້ງມີຄ່າເປັນສູນຍົງ ແຕ່ໜັງຈາກເກີດຄວາມຜິດພຽງທີ່ສົວືຕົ້ນ  $S_3$  ພບວ່າສັນງານການ

สวิตซ์  $S_3$  จะมีค่าเป็นศูนย์ ส่วนสัญญาณการตรวจจับความผิดพร่อง  $FSW_1$ ,  $FSW_2$  และ  $FSW_3$  จะมีค่าเป็น 0, 0 และ 1 ตามลำดับ และส่งสัญญาณการสวิตซ์ให้กับสวิตซ์สำรอง  $SS_3$  เพื่อให้ทำงานแทนทันที การตรวจจับความผิดพร่องแบบการเปิดวงจรที่  $S_3$  ใช้ระยะเวลาประมาณ 11.3ms ซึ่งทำให้วงจรแปลงผังกำลังไฟฟ้าแบบบูสต์เรียงต่อ กันสามขั้นทำงานได้ต่อเนื่องอย่างมีประสิทธิผลในโหมดความคงทนต่อความผิดพร่อง



รูปที่ 7.24 สัญญาณการสวิตซ์ และสัญญาณการตรวจจับความผิดพร่องเมื่อเกิดความผิดพร่องแบบสวิตซ์เปิดวงจรที่  $S_3$

จากการทดสอบวงจรแปลงผังกำลังไฟฟ้าแบบบูสต์เรียงต่อ กันสามขั้น เมื่อเกิดความผิดพร่องแบบสวิตซ์เปิดวงจรที่  $S_3$  ที่ได้แสดงไว้ข้างต้น เมื่อนำมาเปรียบเทียบกับผลการจำลองสถานการณ์แสดงในรูปที่ 7.25 พบราระบบจำลองสถานการณ์สามารถตรวจจับความผิดพร่องได้โดยใช้เวลาประมาณ 11.3ms ส่วนผลการจำลองสถานการณ์ในการตรวจจับความผิดพร่องที่  $S_3$  โดยใช้เวลาประมาณ 6.5ms จากผลการทดสอบและผลการจำลองสถานการณ์มีความสอดคล้องกัน ซึ่งสามารถตรวจจับความผิดพร่องที่เกิดขึ้นอย่างรวดเร็วและถูกต้อง ทำให้วงจรทำงานอย่างต่อเนื่องได้อย่างมีประสิทธิผล



รูปที่ 7.25 ผลการจำลองสถานการณ์เมื่อเกิดความผิดพร่องแบบสวิตช์เปิดวงจรที่  $S_3$

#### 7.4 สรุป

บทนี้นำเสนอผลการทดสอบของจรวจเปลงผันกำลังไฟฟ้าแบบบุสต์เรียงต่อกันสามขั้น โดยทำการทดสอบวงจรภายใต้การเปลี่ยนแปลงจุดการทำงานของแรงดันอ้างอิง แรงดันอินพุต และโหลดตัวต้านทาน อีกทั้งแสดงผลการเปรียบเทียบผลการทดสอบซัดทดสอบกับผลการจำลองสถานการณ์พบว่ามีความสอดคล้องใกล้เคียงกันทั้งในสภาวะที่ว่างคู่และสภาวะอยู่ตัว ซึ่งแสดงให้เห็นถึงประสิทธิผล

ของตัวควบคุมพัฒนาขึ้นในการรักษาและดับแรงดันเอ่าพุตของวงจรแปลงผ่านกำลังไฟฟ้าแบบบูสต์เรียงต่อกันสามขั้นภายในตัวสถานการณ์ที่มีการเปลี่ยนแปลงจุดการทำงาน นอกเหนือจากนี้ได้นำเสนอผลการทดสอบของวงจรแปลงผ่านกำลังไฟฟ้าแบบบูสต์เรียงต่อกันสามขั้นเมื่อเกิดความผิดพลาดของแบบสวิตซ์เปิดวงจรที่พัฒนาขึ้น สามารถตรวจจับ และระบุตำแหน่งความผิดพลาด รวมถึงการสร้างความคงทนต่อความผิดพลาด ให้กับวงจร จากการเปรียบเทียบผลการทดสอบชุดทดสอบกับผลการจำลองสถานการณ์พบว่ามีความสอดคล้องกัน ซึ่งแสดงให้เห็นถึงประสิทธิผลของการสร้างความคงทนต่อความผิดพลาดที่สามารถตรวจจับความผิดพลาดที่เกิดขึ้นอย่างรวดเร็วและถูกต้อง ทำให้งานทำงานอย่างต่อเนื่องได้อย่างมีประสิทธิผล



## บทที่ 8

### สรุป และข้อเสนอแนะ

#### 8.1 สรุป

วิทยานิพนธ์นี้ดำเนินการวิจัยเกี่ยวกับการพัฒนาวิธีการตัวควบคุม การตรวจจับความผิดพร่องแบบสวิตช์เปิดวงจร และการสร้างความคงทนต่อความผิดพร่อง สำหรับวงจรแปลงผันกำลังไฟฟ้าแบบบูสต์เรียงต่อกันสามขั้น ทั้งนี้งานวิจัยเริ่มต้นจากการสำรวจค้นคว้างานวิจัยในอดีตที่เกี่ยวข้อง โดยสามารถแบ่งได้สามลักษณะคือผลงานวิจัยที่เกี่ยวข้องกับวงจรแปลงผันกำลังไฟฟ้าแบบบูสต์ มีอัตราขยายแรงดันสูง ผลงานวิจัยที่เกี่ยวข้องกับการควบคุมวงจรแปลงผันกำลังไฟฟ้าแบบบูสต์เรียงต่อกันหลายขั้น และผลงานวิจัยที่เกี่ยวข้องกับวิธีการตรวจจับความผิดพร่อง และการสร้างความคงทนต่อความผิดพร่อง จากการสำรวจค้นคว้างานวิจัยในอดีตเหล่านี้ทำให้ทราบถึงโครงสร้างของวงจรแปลงผันกำลังไฟฟ้าแบบบูสต์ที่มีอัตราขยายแรงดันสูงประมาณ 20 เท่า เพื่อให้ได้ระดับแรงดันเออต์พุตที่สูงประมาณ 380V ที่ถูกนำมาใช้ในหลากหลายด้านอาทิเช่น ระบบไมโครกริดกระแสตร์ อุตสาหกรรม ขนส่ง ระบบส่งจ่ายกำลังไฟฟ้า เป็นต้น จึงจำเป็นต้องมีการพัฒนาวงจรแปลงผันกำลังไฟฟ้าแบบบูสต์ ให้มีอัตราการขยายแรงดันสูงและมีค่าวัฏจักรหน้าที่ของสวิตช์ที่ไม่สูงมาก ซึ่งวงจรแปลงผันกำลังไฟฟ้าแบบบูสต์เรียงต่อกันสามขั้นสามารถเพิ่มระดับแรงดันเออต์พุตให้สูงขึ้นตามต้องการได้ โดยค่าวัฏจักรหน้าที่ของสวิตช์แต่ละตัวไม่สูงมากนัก อีกทั้งยังเหมาะสมสำหรับระบบพลังงานทดแทน อย่างไรก็ตามยังมีข้อจำกัดทางด้านความนำ่เชื้อถือ เนื่องจากวงจรมีองค์ประกอบต่าง ๆ มากขึ้น ส่งผลให้วงจร มีความซับซ้อน อีกทั้งแหล่งจ่ายที่เป็นพลังงานทดแทนจะขึ้นกับสภาพอากาศอาจส่งผลให้แหล่งจ่ายมีระดับแรงดันไม่คงที่ จำเป็นต้องอาศัยการควบคุมวงจรที่มีประสิทธิผล เพื่อสามารถจ่ายกำลังไฟฟ้าให้กับโหลดได้อย่างเหมาะสม รวมถึงการสร้างความคงทนต่อความผิดพร่องให้กับวงจรตั้งกล่าวไว้สามารถทำงานต่อไปได้ เมื่อความผิดพร่องแบบสวิตช์เปิดวงจรเกิดขึ้นที่สวิตช์กำลัง วิธีการฟูซีโลจิก (Fuzzy logic technique) เป็นตัวเลือกที่น่าสนใจสำหรับการพัฒนาการตัวควบคุม และการตรวจจับความผิดพร่องแบบเปิดสวิตช์ เนื่องจากวิธีการนี้ช่วยลดข้อจำกัดทางแบบจำลองทางคณิตศาสตร์ที่ซับซ้อนของวงจร โดยแบบจำลองทางคณิตศาสตร์ไม่จำเป็นสำหรับตัวควบคุมฟูซี แต่จะอาศัยความรู้และความเข้าใจพฤติกรรมการทำงานของวงจรจากผู้สั่งเกตการณ์ในการออกแบบตัวควบคุมฟูซี รวมถึงการสร้างความคงทนต่อความผิดพร่องแบบสวิตช์เปิดวงจรให้กับวงจรแปลงผันกำลังไฟฟ้าแบบบูสต์เรียง

ต่อ กัน สาม ขั้น เพื่อ ให้ สามารถ ระบุ ตำแหน่ง ความ ผิด พร่อง ที่ เกิด ขึ้น ใน แต่ ละ สวิตช์ ได้ อย่าง ถูก ต้อง และ รวดเร็ว และ สามารถ ถก การ กู้ คืน การ ทำงาน ของ วงจร จา ก ความ ผิด พร่อง อย่าง ทัน ท่วง ที

ใน บทที่ 3 ได้นำ เสนอ เนื้อ หา เกี่ย ว กับ วงจร แปลง พน กำลังไฟฟ้า แบบ บูสต์ เรียง ต่อ กัน สาม ขั้น โดย อธิบาย โ ครง สร้าง ของ วงจร หลัก การ ทำงาน ของ วงจร อัตรา ขยาย แรงดัน การ อ กแบบ ค่า พารามิเตอร์ ภายนอก วงจร และ นำ เสนอ การ จำลอง สถานการณ์ การ ทำงาน ของ วงจร แปลง พน กำลังไฟฟ้า แบบ บูสต์ เรียง ต่อ กัน สาม ขั้น ที่ สามารถ ทดสอบ แรงดัน เอ้าต์พุต ของ วงจร ที่ 400V จาก ค่า วั ภจกร หน้าที่ ของ สวิตช์ ทั้ง สาม ที่ มี ค่า เท่า กัน ที่ 0.63 และ จ่าย กำลังไฟฟ้า ให้ กับ โหลด ตัว ต้าน ทาน ขนาด 1600Ω ซึ่ง ต้อง กา ลังไฟฟ้า ประ มาณ 100W โดย พิจารณา แหล่ง จ่าย แรงดัน อินพุต ที่ ค่อน ข้าง ต่ำ ประ มาณ 20V รวมถึง แสดง การ ร ะเพื่อม ของ แรงดัน ตก คร่อม ตัว เก็บ ประ จุ และ การ ร ะเพื่อม ของ กระแส ที่ โหลด ผ่าน ตัว เห็น นี่ ยวน นำ ที่ ได้ ผล ที่ สอด คล้อง ตาม ที่ อ กแบบ ไว้ อย่าง ไร ก ตาม จ ก ผล การ จำลอง สถานการณ์ การ ทำงาน ของ วงจร ขณะ ที่ ไม่มี ตัว ควบคุม พบร ะว่า มี การ ผุ่ง เกิน ของ แรงดัน ตก คร่อม ตัว เก็บ ประ จุ และ กระแส ที่ โหลด ผ่าน ตัว เห็น นี่ ยวน นำ ที่ ค่อน ข้าง สูง ซึ่ง อาจ ส่ง ผล เสีย หาย กับ อุปกรณ์ ภายนอก วงจร อิก ทั้ง ยัง ใช้ เวลา นาน ในการ เข้า สู่ สภาพ อยู่ ตัว การ อ กแบบ ตัว ควบคุม พชช. ซึ่ง เป็น ตัว เลือก ที่ น่า สนใจ เพื่อ ควบคุม การ ทำงาน ของ วงจร แปลง พน กำลังไฟฟ้า แบบ บูสต์ เรียง ต่อ กัน สาม ขั้น ให้มี สมรรถนะ การ ทำงาน ที่ ดี ขึ้น ทั้ง ใน สภาพ ชั่ว คราว และ สภาพ อยู่ ตัว สามารถ รักษา แรงดัน เอ้าต์พุต ให้ คง ที่ ได้ ตาม ต้อง กา ย ให้ สถานการณ์ การ เปลี่ยน แปลง จุด การ ทำงาน ของ วงจร

ใน บทที่ 4 ได้นำ เสนอ การ พัฒนา และ อ กแบบ ตัว ควบคุม พชช. สำหรับ วงจร แปลง พน กำลังไฟฟ้า แบบ บูสต์ เรียง ต่อ กัน สาม ขั้น เพื่อ ให้ ได้ ค่า วั ภจกร หน้าที่ สวิตช์ ที่ หมาย สม สามารถ ควบคุม ให้ ค่า แรงดัน เอ้าต์พุต คง ที่ ตาม ต้อง กา ร และ เข้า สู่ สภาพ อยู่ ตัว อย่าง รวดเร็ว ใน บทนี้ อธิบาย ถึง โ ครง สร้าง ตัว ควบคุม พชช. การ อ กแบบ การ ควบคุม พชช. และ การ จำลอง สถานการณ์ ของ วงจร แปลง พน กำลังไฟฟ้า แบบ บูสต์ เรียง ต่อ กัน สาม ขั้น ภาย ใต้ ตัว ควบคุม พชช. โดย ผล การ จำลอง สถานการณ์ จะ แสดง ถึง ประสิทธิ ผล ของ ตัว ควบคุม พชช. ที่ พัฒนา ขึ้น พบร ะว่า สามารถ รักษา แรงดัน เอ้าต์พุต ให้ คง ที่ ได้ ตาม ต้อง กา ย ให้ สถานการณ์ การ เปลี่ยน แปลง ของ แรงดัน อินพุต แรงดัน อ้าง อิง และ โหลด ตัว ต้าน ทาน อิก ทั้ง ยัง ได้นำ เสนอ ผล เปรียบ เทียบ สมรรถนะ ระหว่าง ตัว ควบคุม พชช. ที่ พัฒนา ขึ้น กับ ตัว ควบคุม พชช. ที่ ผ่าน การ จำลอง สถานการณ์ ภายนอก ให้ การ เปลี่ยน แปลง จุด การ ทำงาน เมื่อ เปรียบ เทียบ ผล การ ทำงาน ของ ตัว ควบคุม ทั้ง สอง แบบ พบร ะว่า ทั้ง ตัว ควบคุม พชช. และ ตัว ควบคุม พชช. สามารถ ควบคุม แรงดันไฟฟ้า ให้อยู่ ใน ระดับ ที่ ต้อง กา ร ได้ ใกล้ เคียง กัน อย่าง ไร ก ตาม การ อ กแบบ ตัว ควบคุม พชช. ให้ อาศัย การ ประ มาณ ค่า พารามิเตอร์ ของ วงจร เทียบ เคียง กับ วงจร แปลง พน กำลังไฟฟ้า แบบ ดั้งเดิม ทำ ให้ ต้อง ทำการ ปรับ จูน

ค่าพารามิเตอร์ของตัวควบคุมพีไอ เพื่อให้ผลตอบสนองทั้งในสภาวะชั่วครู่และสภาวะอยู่ตัวเป็นที่น่าพอใจ

ในบทที่ 5 ได้นำเสนอการพัฒนาวงจรแปลงผันกำลังไฟฟ้าแบบบูสต์เรียงต่อกันสามขั้นขณะที่มีตัวควบคุมพีซีที่พัฒนาขึ้น ให้มีความคงทนต่อความผิดพร่องแบบสวิตซ์เปิดวงจร โดยเริ่มต้นจาก การสังเกตพฤติกรรมของวงจรแปลงผันกำลังไฟฟ้าแบบบูสต์เรียงต่อกันสามขั้นขณะที่มีตัวควบคุมพีซีที่พัฒนาขึ้นทั้งในสภาวะปกติ และสภาวะเกิดความผิดพร่อง เพื่อนำมาสร้างเงื่อนไขในการตรวจจับความผิดพร่องของแต่ละสวิตซ์ ในการสร้างความคงทนต่อความผิดพร่องแบบสวิตซ์เปิดวงจรให้กับวงจรแปลงผันกำลังไฟฟ้าแบบบูสต์เรียงต่อกันสามขั้น เพื่อให้สามารถระบุตำแหน่งความผิดพร่องที่เกิดขึ้นในแต่ละสวิตซ์ได้อย่างถูกต้องและรวดเร็ว ทำให้การคุ้นเคยการทำงานของวงจรจากความผิดพร่อง โดยนำกระบวนการพีซีมาใช้ในกระบวนการสร้างความคงทนต่อความผิดพร่อง เพื่อให้วงจรแปลงผันกำลังไฟฟ้าแบบบูสต์เรียงต่อกันสามขั้นสามารถทำงานต่อไปได้เมื่อความผิดพร่องเกิดขึ้นที่สวิตซ์กำลังของวงจร ในกระบวนการตรวจจับความผิดพร่องจะอาศัยกระแสไฟฟ้าผ่านตัวเหนี่ยวนำตัวที่ 1 และแรงดันเอาร์พุต ที่ได้จากการตรวจจับกระแสไฟฟ้าและตัวตรวจจับแรงดันที่ใช้ในกระบวนการควบคุมพีซีที่พัฒนาขึ้น รวมถึงสัญญาณวัดจักรหน้าที่ของสวิตซ์ที่ได้จากควบคุมพีซีที่พัฒนาขึ้น ซึ่งให้ผลตอบสนองที่แตกต่างจากพุตติกรรมการทำงานของวงจรในสภาวะการทำงานปกติอย่างชัดเจน เมื่อเกิดความผิดพร่องที่สวิตซ์แต่ละตัว จากการจำลองสถานการณ์การตรวจจับความผิดพร่องแบบสวิตซ์เปิดวงจรที่พัฒนาขึ้นสำหรับวงจรแปลงผันกำลังไฟฟ้าแบบบูสต์เรียงต่อกันสามขั้นภายใต้การเปลี่ยนแปลงจุดการทำงานของวงจร จะเห็นได้ว่าวิธีการตรวจจับความผิดพร่องที่พัฒนาขึ้นสามารถตรวจจับ และสามารถระบุตำแหน่งที่เกิดความผิดพร่องได้อย่างรวดเร็วและถูกต้อง อีกทั้งยังไม่มีความผิดพลาด ในขณะที่มีการเปลี่ยนแปลงจุดการทำงาน และผลการจำลองสถานการณ์สุดท้ายเป็นการสร้างความคงทนต่อความผิดพร่อง เพื่อให้วงจรยังคงสามารถทำงานต่อไปได้อย่างมีประสิทธิภาพภายใต้ความผิดพร่องที่เกิดขึ้น

ในบทที่ 6 ได้นำเสนอการสร้างชุดทดลองของวงจรแปลงผันกำลังไฟฟ้าแบบบูสต์เรียงต่อกันสามขั้น อุปกรณ์ที่สำคัญสำหรับการสร้างชุดทดลองของวงจรแปลงผันกำลังไฟฟ้าแบบบูสต์เรียงต่อกันสามขั้นประกอบด้วย แหล่งจ่ายไฟฟ้ากระแสตรง ตัวเหนี่ยวนำ ตัวเก็บประจุ มอสเฟต ไดโอด โหลดตัวต้านทาน วงจรตรวจจับแรงดัน วงจรตรวจจับกระแส และวงจรขยายแรงดันแบบแยกโดยสัญญาณหลังจากนั้นจะโปรแกรมการควบคุมแรงดันเอาร์พุต การตรวจจับ และการระบุตำแหน่งความผิดพร่องที่ใช้กระบวนการทางพีซี บันทึกลงในบอร์ดไมโครคอนโทรเลอร์ DSP รุ่น eZdsp<sup>TM</sup>F28335 โดยมีผลการจำลองแบบอาร์ดแวร์ในลูปแสดงให้เห็นถึงการควบคุมแรงดันเอาร์พุต การตรวจจับ และการ

ระบุตำแหน่งความผิดพร่องของวงจรแปลงผันกำลังไฟฟ้าแบบบูสต์เรียงต่อกันสามขั้นเป็นไปในทางสอดคล้องใกล้เคียงกับการจำลองสถานการณ์ด้วย MATLAB SIMULINK

ในบทที่ 7 ได้นำเสนอผลการทดสอบของวงจรแปลงผันกำลังไฟฟ้าแบบบูสต์เรียงต่อกันสามขั้น โดยทำการทดสอบวงจรภายใต้การเปลี่ยนแปลงจุดการทำงานของแรงดันอ้างอิง แรงดันอินพุต และโหลดตัวต้านทาน อีกทั้งแสดงผลการเปรียบเทียบผลการทดสอบชุดทดสอบกับผลการจำลองสถานการณ์พบว่ามีความสอดคล้องใกล้เคียงกับผลทดสอบทั้งในสภาวะช่วงครู่และสภาวะอยู่ตัว เพื่อแสดงให้เห็นถึงประสิทธิผลของตัวควบคุมฟิลเตอร์พัฒนาขึ้นในการรักษาแรงดัน负载พุตของวงจร แปลงผันกำลังไฟฟ้าแบบบูสต์เรียงต่อกันสามขั้นตามต้องการ ภายใต้การเปลี่ยนแปลงจุดการทำงานจากนั้นได้นำเสนอผลการทดสอบของวงจรแปลงผันกำลังไฟฟ้าแบบบูสต์เรียงต่อกันสามขั้นกรณีเกิดความผิดพร่องแบบสวิตซ์เปิดวงจรภายใต้การควบคุมฟิลเตอร์ ทั้งนี้ผลการทดสอบการตรวจจับความผิดพร่องแบบสวิตซ์เปิดวงจรที่เกิดขึ้น รวมถึงสามารถระบุตำแหน่งความผิดพร่องที่เกิดขึ้นได้อย่างถูกต้อง และการสร้างความคงทนต่อความผิดพร่อง โดยเมื่อนำมาเปรียบเทียบกับผลการจำลองสถานการณ์พบว่าผลการจำลองสถานการณ์มีความสอดคล้องกับผลการทดสอบชุดทดสอบ แสดงให้เห็นถึงประสิทธิผลของการสร้างความคงทนต่อความผิดพร่องที่สามารถตรวจจับความผิดพร่องที่เกิดขึ้นอย่างรวดเร็วและถูกต้อง ส่งผลให้วงจรแปลงผันกำลังไฟฟ้าแบบบูสต์เรียงต่อกันสามขั้นภายใต้ตัวควบคุมฟิลเตอร์สามารถทำงานได้อย่างต่อเนื่อง

## 8.2 ข้อเสนอแนะเพื่อพัฒนางานวิจัยในอนาคต

1. งานวิจัยวิทยานิพนธ์นี้นำเสนอการพัฒนาและออกแบบตัวควบคุมฟิลเตอร์สำหรับวงจรแปลงผันกำลังไฟฟ้าแบบบูสต์เรียงต่อกันสามขั้น โดยที่มีแหล่งจ่ายอินพุตกระแสตรงที่คงที่ ซึ่งในอนาคตอาจมีการใช้แหล่งจ่ายเซลล์แสงอาทิตย์ ร่วมกับการตามรอยกำลังไฟฟ้าสูงสุด อีกทั้งอาจจะมีการประยุกต์ตัวควบคุมฟิลเตอร์พัฒนาขึ้นนี้เข้ากับวงจรแปลงผันกำลังไฟฟ้าที่ต่อกันมากกว่าสามขั้น หรือวงจรแปลงผันกำลังไฟฟ้าอื่น ๆ

2. งานวิจัยวิทยานิพนธ์นี้นำเสนอการสร้างความคงทนต่อความผิดพร่องแบบสวิตซ์เปิดวงจรสำหรับวงจรแปลงผันกำลังไฟฟ้าแบบบูสต์เรียงต่อกันสามขั้นที่ทำงานภายใต้ตัวควบคุมฟิลเตอร์ที่พัฒนาขึ้น ซึ่งในอนาคตอาจมีการพัฒนากระบวนการอื่น ๆ ร่วมด้วย เพื่อให้การตรวจจับความผิดพร่องเร็วขึ้น อีกทั้งยังสามารถตรวจจับความผิดพร่องแบบสวิตซ์เปิดวงจรที่มากกว่านี้ตัวพร้อมกัน

## รายการอ้างอิง

- Abouobaida, H., Abouelmahjoub, Y., & Oliveira-Assis, L. (2021). *New open circuit fault detection in a DC-DC converter*. *International Transactions on Electrical Energy Systems*, 31(11). Portico. <https://doi.org/10.1002/2050-7038.13094>.
- Alharbi, B. M., Alhomim, M. A., & McCann, R. A. (2020). *Robust control for cascade boost converter based on H-infinity controller*. *2020 IEEE Kansas Power and Energy Conference (KPEC)*. <https://doi.org/10.1109/kpec47870.2020.9167542>
- Ali, S., Raza, M. T., Abbas, G., Ullah, N., Al Otaibi, S., & Luo, H. (2022). *Sliding mode observer-based fault detection in continuous time linear switched systems*. *Energies*, 15(3), 1090. <https://doi.org/10.3390/en15031090>
- B, A. B., S, S., & G A, R. (2023). *Failure identification of power converter circuit using labVIEW myRIO*. *International Journal of Electrical and Electronics Engineering*, 10(01), 106–116. <https://doi.org/10.14445/23488379/ijeee-v10i1p110>
- Balal, A., & Shahabi, F. (2021). *Ltspice analysis of double- inductor quadratic boost converter in comparison with quadratic boost and double cascaded boost converter*. *2021 12th International Conference on Computing Communication and Networking Technologies (ICCCNT)*. <https://doi.org/10.1109/icccnt51525.2021.9579931>
- Brunson, C., Empringham, L., De Lillo, L., Wheeler, P., & Clare, J. (2015). *Open-circuit fault detection and diagnosis in matrix converters*. *IEEE Transactions on Power Electronics*, 30(5), 2840–2847. <https://doi.org/10.1109/tpel.2014.2364152>
- Cao, D., & Peng, F. Z. (2010). *Zero-current-switching multilevel modular switched-capacitor dc-dc converter*. *IEEE Transactions on Industry Applications*, 46(6), 2536–2544. <https://doi.org/10.1109/tia.2010.2073432>

- Cellatoglu, A., & Balasubramanian, K. (2010). *Renewable energy resources for residential applications in coastal areas: A modular approach.* 2010 42nd Southeastern Symposium on System Theory (SSST 2010). <https://doi.org/10.1109/ssst.2010.5442813>
- Chen, S.-M., Liang, T.-J., Yang, L.-S., & Chen, J.-F. (2011). *A cascaded high step-up DC-DC converter with single switch for micro source applications.* IEEE Transactions on Power Electronics, 26(4), 1146–1153. <https://doi.org/10.1109/tpel.2010.2090362>
- Choudhury, T. R., & Nayak, B. (2015). *Comparison and analysis of cascaded and quadratic boost converter.* 2015 IEEE Power, Communication and Information Technology Conference (PCITC). <https://doi.org/10.1109/pcitc.2015.7438108>
- Cimini, G., Ippoliti, G., Orlando, G., Longhi, S., & Miceli, R. (2017). *A unified observer for robust sensorless control of DC-DC converters.* Control Engineering Practice, 61, 21–27. <https://doi.org/10.1016/j.conengprac.2017.01.012>
- DJALAB, A., BESSOUS, N., REZAQUI, M. M., & MERZOUK, I. (2018, December). *Study of the effects of partial shading on PV array.* 2018 international conference on communications and electrical engineering (ICCEE), 1-5. <https://doi.org/10.1109/ccee.2018.8634512>
- El Aroudi, A., Mandal, K., Giaouris, D., Banerjee, S., Abusorrah, A., Al Hindawi, M., & Al-Turki, Y. (2015). *Fast-scale stability limits of a two-stage boost power converter.* International Journal of Circuit Theory and Applications, 44(5), 1127–1141. Portico. <https://doi.org/10.1002/cta.2153>
- Forouzesh, M., Siwakoti, Y. P., Gorji, S. A., Blaabjerg, F., & Lehman, B. (2016). *A survey on voltage boosting techniques for step-up DC-DC converters.* 2016 IEEE Energy Conversion Congress and Exposition (ECCE). <https://doi.org/10.1109/ecce.2016.7854792>

- Gao, D., Jin, Z., Liu, J., & Ouyang, M. (2016). An interleaved step-up/step-down converter for fuel cell vehicle applications. *International Journal of Hydrogen Energy*, 41(47), 22422–22432. <https://doi.org/10.1016/j.ijhydene.2016.09.171>
- Gkizas, G. (2021). Optimal robust control of a Cascaded DC–DC boost converter. *Control Engineering Practice*, 107, 104700. <https://doi.org/10.1016/j.conengprac.2020.104700>
- Haroun, R., El Aroudi, A., Cid-Pastor, A., & Martinez-Salamero, L. (2013). Synthesis of a power gyrator based on sliding mode control of two cascaded boost converters using a single sliding surface. *10th International Multi-Conferences on Systems, Signals & Devices 2013 (SSD13)*. <https://doi.org/10.1109/ssd.2013.6564072>
- Haroun, R., El Aroudi, A., Cid-Pastor, A., Garcia, G., Olalla, C., & Martinez-Salamero, L. (2015). Impedance matching in photovoltaic systems using cascaded boost converters and sliding-mode control. *IEEE Transactions on Power Electronics*, 30(6), 3185–3199. <https://doi.org/10.1109/tpe.2014.2339134>
- Jagtap, S., & More, D. (2020). Switch open-circuit fault diagnosis and fault-tolerant control strategy for DC–DC converters. *2020 International Conference on Communication and Signal Processing (ICCSP)*. <https://doi.org/10.1109/iccsp48568.2020.9182063>
- Jamshidpour, E., Poure, P., & Saadate, S. (2015). Photovoltaic systems reliability improvement by real-time FPGA-based switch failure diagnosis and fault-tolerant DC–DC converter. *IEEE Transactions on Industrial Electronics*, 62(11), 7247–7255. <https://doi.org/10.1109/tie.2015.2421880>
- Jamshidpour, E., Poure, P., & Saadate, S. (2018). Unified switch fault detection for cascaded non-isolated DC–DC converters. *2018 IEEE International Conference on Environment and Electrical Engineering and 2018 IEEE Industrial and Commercial Power Systems Europe (EEEIC / I&CPS Europe)*. <https://doi.org/10.1109/eeeic.2018.8494609>

- Johnson, R. S., Altin, B., & Sanfelice, R. G. (2021). *Hybrid adaptive control for the DC–DC boost converter*. *IFAC-PapersOnLine*, 54(5), 73–78. <https://doi.org/10.1016/j.ifacol.2021.08.477>
- Kalahasthi, R. B., Ramteke, M. R., & Suryawanshi, H. M. (2022). *A high step-up soft-switched DC–DC converter with reduced voltage stress for DC micro-grid applications*. *International Journal of Circuit Theory and Applications*, 51(4), 1758–1776. Portico. <https://doi.org/10.1002/cta.3499>
- Karamanakos, P., Geyer, T., & Manias, S. (2014). *Direct voltage control of DC–DC boost converters using enumeration-based model predictive control*. *IEEE Transactions on Power Electronics*, 29(2), 968–978. <https://doi.org/10.1109/tpe.2013.2256370>
- Kashani, M. G., Mobarrez, M., & Bhattacharya, S. (2014). *Variable interleaving technique for photovoltaic cascaded DC–DC converters*. *IECON 2014 – 40th Annual Conference of the IEEE Industrial Electronics Society*. <https://doi.org/10.1109/iecon.2014.7049359>
- Khwan-on, S., & Diewsurin, S. (2018). *An open-circuit switch fault detection strategy for a three-stage cascaded boost converter*. *2018 International Electrical Engineering Congress (IEECON)*. <https://doi.org/10.1109/ieecon.2018.8712175>
- Kiguchi, R., & Nishida, Y. (2019, May). *Cascaded boost converter to achieve high voltage boost rate-conduction loss analysis*. *PCIM Europe 2019; International Exhibition and Conference for Power Electronics, Intelligent Motion, Renewable Energy and Energy Management* (pp. 1–7). VDE.
- Kim, T., Lee, H.-W., & Kwak, S. (2019). *Open-circuit switch-fault tolerant control of a modified boost DC–DC converter for alternative energy systems*. *IEEE Access*, 7, 69535–69544. <https://doi.org/10.1109/access.2019.2919238>
- Kumar, S., & Rajpurohit, B. S. (2020). *A novel fault tolerant control scheme for power converter*. *2020 IEEE International Power and Renewable Energy Conference*. <https://doi.org/10.1109/iprecon49514.2020.9315247>

- Kunjittipong, N., Kongkanjana, K., & Khwan-on, S. (2020). *Comparison of fuzzy controller and PI controller for a high step-up single switch boost converter*. *2020 3rd International Conference on Power and Energy Applications (ICPEA)*. <https://doi.org/10.1109/icpea49807.2020.9280118>
- Li, L., Ding, S. X., Qiu, J., Yang, Y., & Xu, D. (2017). *Fuzzy observer-based fault detection design approach for nonlinear processes*. *IEEE Transactions on Systems, Man, and Cybernetics: Systems*, 47(8), 1941–1952. <https://doi.org/10.1109/tsmc.2016.2576453>
- Lwin, M. M. (2023). *High-performance double boost dc-dc converter based on fuzzy logic controller*. *An International Journal (MECHATROJ)*, 2(1). <https://doi.org/10.5281/ZENODO.8084661>
- Ounis, F., & Golea, N. (2015).  *$\mu$ -synthesis based robust voltage control for cascade boost power converter*. *2015 3rd International Conference on Control, Engineering & Information Technology (CEIT)*. <https://doi.org/10.1109/ceit.2015.7232982>
- Padilla, M. L. F., Lao, S. J. C., Baldovino, R. G., Bandala, A. A., & Dadios, E. B. (2017). *Fuzzy-based fault-tolerant control of Micro Aerial Vehicles (MAV) — A preliminary study*. *2017 IEEE 9th International Conference on Humanoid, Nanotechnology, Information Technology, Communication and Control, Environment and Management (HNICEM)*. <https://doi.org/10.1109/hnicem.2017.8269562>
- Rahavi, J. S. A., Kanagapriya, T., & Seyezhai, R. (2012). *Design and analysis of Interleaved Boost Converter for renewable energy source*. *2012 International Conference on Computing, Electronics and Electrical Technologies (ICCEET)*. <https://doi.org/10.1109/icceet.2012.6203850>
- Roy Choudhury, T., & Nayak, B. (2016). *Comparative steady state analysis of boost and cascaded boost converter with inductive ESR losses & capacitor current behaviour*. *International Journal of Power Electronics and Drive Systems (IJPEDS)*, 7(1), 159. <https://doi.org/10.11591/ijped.v7.i1.pp159-172>

- Shahbazi, M., Jamshidpour, E., Poure, P., Saadate, S., & Zolghadri, M. R. (2013). *Open-and short-circuit switch fault diagnosis for nonisolated DC-DC converters using field programmable gate array*. *IEEE Transactions on Industrial Electronics*, 60(9), 4136–4146. <https://doi.org/10.1109/tie.2012.2224078>
- Shoja-Majidabad, S., & Hajizadeh, A. (2020). *Decentralized adaptive neural network control of cascaded DC-DC converters with high voltage conversion ratio*. *Applied Soft Computing*, 86, 105878. <https://doi.org/10.1016/j.asoc.2019.105878>
- Siouane, S., Jovanović, S., & Poure, P. (2018). *Service continuity of PV synchronous buck/buck-boost converter with energy storage*. *Energies*, 11(6), 1369. <https://doi.org/10.3390/en11061369>
- Tofoli, F. L., Pereira, D. de C., Josias de Paula, W., & Oliveira Júnior, D. de S. (2015). *Survey on non-isolated high-voltage step-up DC-DC topologies based on the boost converter*. *IET Power Electronics*, 8(10), 2044–2057. Portico. <https://doi.org/10.1049/iet-pel.2014.0605>
- Yang, X., Zhang, H., & Ma, X. (2009). *Modeling and stability analysis of cascade buck converters with N-power stages*. *Mathematics and Computers in Simulation*, 80(3), 533–546. <https://doi.org/10.1016/j.matcom.2009.08.039>
- Ye, Y., & Eric Cheng, K. W. (2014). *Quadratic boost converter with low buffer capacitor stress*. *IET Power Electronics*, 7(5), 1162–1170. Portico. <https://doi.org/10.1049/iet-pel.2013.0205>
- Zhang, H., Li, W., Ding, H., Luo, P., Wan, X., & Hu, W. (2017). *Nonlinear modal analysis of transient behavior in cascade DC-DC boost converters*. *International Journal of Bifurcation and Chaos*, 27(09), 1750140. <https://doi.org/10.1142/s0218127417501401>

## ประวัติผู้เขียน

นายสถิต ฉิมพลี เกิดเมื่อวันที่ 27 กรกฎาคม พ.ศ. 2539 ที่อำเภอเมือง จังหวัดนครราชสีมา สำเร็จการศึกษาระดับปริญญาตรีวิศวกรรมศาสตรบัณฑิต (วิศวกรรมไฟฟ้า) เกียรตินิยมอันดับ 1 จากมหาวิทยาลัยเทคโนโลยีสุรนารี จังหวัดนครราชสีมา เมื่อ พ.ศ. 2561 และได้เข้าศึกษาต่อในระดับปริญญาโทวิศวกรรมศาสตรมหาบัณฑิต (วิศวกรรมไฟฟ้า) จากมหาวิทยาลัยเทคโนโลยีสุรนารี เมื่อ พ.ศ. 2564 โดยในขณะกำลังศึกษาระดับปริญญาโทได้เป็นผู้สอนรายวิชาปฏิบัติการต่าง ๆ ของสาขาวิชาวิศวกรรมไฟฟ้า มหาวิทยาลัยเทคโนโลยีสุรนารี ผลงานตีพิมพ์ตั้งปراภูรายละเอียดในภาคผนวก จ

